Wed. Sep 5, 2018

Room A

Oral presentation | II. Radiation, Accelerator, Beam and Medical Technologies | 202-2 Radiation Physics, Radiation Detection and Measurement

[1A01-04] Measurement Technique

Chair:Ryoichi Taniguchi(OPU)

10:00 AM - 11:05 AM Room A (B11 - B Building)

[1A01] Design and fabrication of beam profile monitor for large current proton accelerator

*Keisuke Abo¹, Kazuki Tsuchida¹, Sachiko Yoshihashi¹,
Akira Uritani¹, Kenichi Watanabe¹ (1. Nagoya Univ.)

10:00 AM - 10:15 AM

[1A02] Study on radiation measurement by plastic scintillation fiber for evaluation of radioactive concentration of contaminated rubbles

*Taro Shimada¹, Masakazu Namekawa¹, Shizuka Takai¹,
Seiji Takeda¹ (1. JAEA)

10:15 AM - 10:30 AM

[1A03] Basic examination of a new nuclear instrumentation system using incore neutron-induced prompt gamma ray

*Koichi Okada¹, Takahiro Tadokoro¹, Atsushi Fushimi¹,
Shun Sekimoto², Tsutomu Ohtsuki² (1. Hitachi, Ltd.,
2. KURNS)
10:30 AM - 10:45 AM

[1AO4] A rapid-detection method for radioactive cesium in the air

*Tatsuyuki Maekawa¹, Yuji Oshima¹ (1. Toshiba Power Systems Radiation Techno-Service Co., Ltd.)

10:45 AM - 11:00 AM

Oral presentation | II. Radiation, Accelerator, Beam and Medical Technologies | 202-2 Radiation Physics, Radiation Detection and Measurement

[1A05-07] Neutron Measurements

Chair:Tsuyoshi Misawa(Kyoto Univ.) 11:05 AM - 11:55 AM Room A (B11 -B Building)

[1A05] Development of energy-discriminated
measurement of neutron flux with boron
absorber for BNCT

*Hiroyuki Miyamaru¹, Takehiro Yamamoto¹, Isao
Murata², Takao Kojima¹, Ryoichi Taniguchi¹ (1. Osaka
Pref. Univ., 2. Osaka Univ.)
11:05 AM - 11:20 AM

[1A06] Development of a neutron moisture meter which applied LiF/CaF2 neutron detector

*TAKAHIRO TADOKORO¹, Katsunori Ueno¹, Koichi Okada¹, Kenichi Asami², Yukiya Hattori², Itaru Miura³ (1. Hitachi, Ltd., 2. Hitachi Power Solutions Co., Ltd., 3. Mitsubishi Chemical Co., Ltd.) 11:20 AM - 11:35 AM

[1A07] Development of neutron scintillator detector and neutron measuring system working under high gamma dose environment

*Yoichi Sakuragi¹, Yuichi Ikeda², Kentaro Fukuda², Katsuyuki Takagi³, Hisashi Morii³, Akifumi Koike³, Yuho Hirata⁴, Akihisa Ishikawa⁴, Kenichi Watanabe⁴

(1. TEPCO Holdings, Inc., 2. Tokuyama Corporation, 3. ANSeeN Inc., 4. Nagoya University)

11:35 AM - 11:50 AM

Oral presentation | II. Radiation, Accelerator, Beam and Medical Technologies | 202-2 Radiation Physics, Radiation Detection and Measurement

[1A08-11] Imaging

Chair:Hideki Tomita(Nagoya Univ.) 2:45 PM - 3:50 PM Room A (B11 -B Building)

[1A08] Measurements of Absolute Radioactive Profile and Identification of Radioisotopes in Japanese Red Pine Acquired at Fukushima Prefecture in 2017 *Fumihiro Kimura¹, Haruyuki Yano¹, Hikaru Kuno¹,

Masashi Takada¹, Youki Suzuki² (1. National Defense Academy of Japan, 2. Foresty and Forest Products Research Institude)

2:45 PM - 3:00 PM

[1A09] Measurement of lower part of PCV of Hamaoka

Nuclear Power Plant by using cosmic-ray muon radiography with nuclear emulsion (part7)

*Kunihiro Morishima¹, Mitsuhiro Nakamura¹, Nobuko Kitagawa¹, Akira Nishio¹, Mitsuaki Kuno¹, Yuta Manabe¹, Kenji Tsuji^{1,2}, Masataka Ooyama² (1.

Nagoya Univ., 2. CHUBU Electric power Co., Inc.)

3:00 PM - 3:15 PM

[1A10] Multiple nuclide imaging with a double photon emission coincidence detection method *Mizuki Uenomachi¹, Yuki Mizumachi¹, Yusuke Ohshima¹, Yuri Yoshihara¹, Kenji Shimazoe¹, Hiroyuki Takahashi¹ (1. The University of Tokyo) 3:15 PM - 3:30 PM

[1A11] Contamination at plutonium Fuel Research Facility of Oarai research and development Center *Takashi Yasumune¹, Yoshinari Kato¹, Eita Maeda¹, Makoto Hashimoto¹, Hideaki Miyauchi¹, Koji Takasaki¹ (1. JAEA)

3:30 PM - 3:45 PM

Oral presentation | II. Radiation, Accelerator, Beam and Medical Technologies | 202-2 Radiation Physics, Radiation Detection and Measurement

[1A12-15] Radiation Physics

Chair:Tatsuyuki Maekawa(Toshiba Power Systems Radiation Techno-Service)

3:50 PM - 4:55 PM Room A (B11 -B Building)

[1A12] n/γ Pulse Shape Discrimination using EJ-276 Plastic Scintillator for Reactor Antineutrino Observation

> *Keigo Shimizu¹, Kyohei Nakajima¹, Yoichi Tamagawa¹ (1. University of Fukui)

3:50 PM - 4:05 PM

[1A13] Change of β -decay Intensity of La-138 by Irradiation

*Ryoichi Taniguchi¹, Norio Ito¹, Hiroyuki Miyamaru¹,
Takao Kojima¹, ken-ichi Okamoto¹, Tadashi Tsujimoto²
(1. Osaka Prefecture University, 2. Reassurance
Science Academy)

4:05 PM - 4:20 PM

[1A14] Measurement of low energy x-rays in pulse from Crook tube using BaF₂ scintillator
*hirokazu ando¹, Khiem Duy Do¹, Masahumi
Masahumi^{1,2} (1. Osaka Prefecture Univercity, 2. OPU
Radiation Res. C.)

4:20 PM - 4:35 PM

[1A15] Spectrum evaluation of low energy X-ray- from a Crookes tube

*Masafumi Akiyoshi¹, Ryouichi Taniguchi¹, Hiroto Matsuura¹, Hiroyuki Miyamaru¹, Do Duy Khiem², Hirokazu Ando², Ikuo Kanno³, Takumi Hamaguchi³, Tomohisa Kakefu⁴, Kazufumi Taniguchi⁵ (1. Radiation Research Center, Osaka Pref. Univ., 2. Dep. Quantum and Radiation Eng., Osaka Pref. Univ., 3. Dep. Nuclear Engineering, Kyoto Univ., 4. J. Science Foundation, 5. C-technol)

4:35 PM - 4:50 PM

Oral presentation | II. Radiation, Accelerator, Beam and Medical Technologies | 202-2 Radiation Physics, Radiation Detection and Measurement

[1A16-19] Detection and Monitoring of Nuclear Materials Chair:Masashi Takada(National Defense Academy of Japan) 4:55 PM - 6:00 PM Room A (B11 -B Building)

[1A16] Development of active neutron DDA system for nuclear non-proliferation and nuclear security *Akira Ohzu¹, Makoto Maeda¹, Masao Komeda¹, Yosuke Toh¹ (1. Japan Atomic Energy Agency) 4:55 PM - 5:10 PM

[1A17] Development of portable interrogation system for special nuclear materials (III)

*Kai Masuda¹, Mahmoud A. Bakr¹, Yoshiyuki

Takahashi², Tsuyoshi Misawa², Norio Yamakawa³,

Toshihiro Nishioka³, Atsushi Matsuda³ (1. Institute of Advanced Energy, Kyoto University, 2. Institute for Integrated Radiation and Nuclear Science, Kyoto University, 3. Pony Industry)

5:10 PM - 5:25 PM

[1A18] Development of portable interrogation system for special nuclear materials (III)
Yoshiyuki Takahashi¹, *Tsuyoshi Misawa¹, Kai Masuda²
(1. Institute for Integrated Radiation and Nuclear Science, Kyoto University , 2. Institute of Advanced Energy, Kyoto University)
5:25 PM - 5:40 PM

[1A19] Development of portable interrogation system for special nuclear materials (III)

*Mahmoud Bakr¹, kai Masuda ¹, Masaya Yoshida ² (1.
Institute of Advanced Energy, Kyoto University, 2.

Graduate School of Energy Science, kyoto University
)

5:40 PM - 5:55 PM

Room C

Oral presentation | V. Nuclear Fuel Cycle and Nuclear Materials | 502-1 Nuclear Materials, Degradation, Radiation Effects, and Related Technology

[1CO1-O3] Severe Accident 1 Chair: Ken-Ichi Fukumoto (Univ. of Fukui) 10:00 AM - 10:50 AM Room C (B21 - B Building)

[1C01] Melting behavior of reactor core during severe accident of BWR

*Takehiro Sumita¹, Yoshinao Kobayashi¹, Shigeru Ueda², Toshio Nakagiri³ (1. Tokyo Institute of Technology, 2. Tohoku University, 3. JAEA)
10:00 AM - 10:15 AM

[1C02] Melting behavior of reactor core during severe accident of BWR

Zheng Lichun¹, Kazuya Hosoi¹, *Shigeru Ueda¹, Xu Gao¹, Shin-ya Kitamrua¹, Yoshinao Kobayashi² (1. IMRAM Tohoku University, 2. LANE Tokyo Institute of Technology)

10:15 AM - 10:30 AM

[1C03] Melting behavior of reactor core during severe accident of BWR

*Toshio nakagiri¹, ayako sudo¹, shinji yoshikawa¹, yuta abe¹, ikken sato¹ (1. JAEA)
10:30 AM - 10:45 AM

Oral presentation | V. Nuclear Fuel Cycle and Nuclear Materials | 502-1 Nuclear Materials, Degradation, Radiation Effects, and Related Technology

[1C04-07] Stainless Steel 1

Chair:Katsuhiko Fujii(INSS)

10:50 AM - 11:55 AM Room C (B21 -B Building)

- [1CO4] Fundamental technology development for evaluation of thermally ageing embrittlement of stainless steel welds used as pressure boundaries in nuclear power plants

 *Yutaka Watanabe¹, Toshiaki Horiuchi², Satoshi
 Minamoto³, Hiroshi Abe¹, Masato Koshiishi⁴ (1.

 Tohoku University, 2. Hokkaido University of Science,
 3. NIMS, 4. NFD)

 10:50 AM 11:05 AM
- [1CO5] Fundamental technology development for evaluation of thermally ageing embrittlement of stainless steel welds used as pressure boundaries in nuclear power plants

 *Hiroshi Abe¹, Yutaka Watanabe¹, Kazuma Hirata¹,
 Takamichi Miyazaki¹, Masato Koshiishi⁴, Toshiaki
 Horiuchi², Satoshi Minamoto³ (1. Tohoku Univ, 2.
 Hokkaido University of Science, 3. NIMS, 4. NFD)

 11:05 AM 11:20 AM
- [1C06] Fundamental technology development for evaluation of thermally ageing embrittlement of stainless steel welds used as pressure boundaries in nuclear power plants

 *Toshiaki Horiuchi¹, Satoshi Minamoto², Masato
 Koshiishi³, Hiroshi Abe⁴, Yutaka Watanabe⁴ (1. HUS, 2. NIMS, 3. NFD, 4. Tohoku Univ.)

 11:20 AM 11:35 AM
- [1C07] Fundamental technology development for evaluation of thermally ageing embrittlement of stainless steel welds used as pressure boundaries in nuclear power plants

*SATOSHI MINAMOTO¹, Toshiaki Horiuchi², Hiroshi Abe³, Yutaka Watanabe³ (1. National Institute for Materials Science, 2. Hokkaido University of science, 3. Tohoku University)
11:35 AM - 11:50 AM

Oral presentation | V. Nuclear Fuel Cycle and Nuclear Materials | 502-1 Nuclear Materials, Degradation, Radiation Effects, and Related Technology

[1C08-10] Stainless Steel 2

Chair: Yasuhiro Chimi (JAEA)

2:45 PM - 3:35 PM Room C (B21 -B Building)

[1C08] Localized deformation of stainless steels neutron-irradiated in PWRs

*Terumitsu Miura¹, Katsuhiko Fujii¹, Koji Fukuya¹, Yuji Kitsunai² (1. Instuitute of Nuclear Safety System, 2. Nippon Nuclear Fuel Development)

2:45 PM - 3:00 PM

[1C09] Dose dependence of solute clusters in neutronirradiated 316 stainless steels *Katsuhiko Fujii¹, Koji Fukuya¹ (1. Institute of Nuclear Safety System) 3:00 PM - 3:15 PM

[1C10] Mechanical Properties and Microstructural
Changes of Improved Stainless Steel for JOYO
Irradiated Next Generation Reactor
*Mitsutaka Nishimura¹, Ken-ichi Fukumoto³, Hideki
Matsui², Takashi Onitsuka³ (1. University of Fukui, 2.
Tohoku University, 3. Research Institute of Nuclear
Engineering)

3:15 PM - 3:30 PM

Oral presentation | V. Nuclear Fuel Cycle and Nuclear Materials | 502-1 Nuclear Materials, Degradation, Radiation Effects, and Related Technology

[1C11-13] Reactor Pressure Vessel 1 Chair:Naoyuki Hashimoto(Hokkaido Univ.) 3:35 PM - 4:25 PM Room C (B21 -B Building)

- [1C11] Physical property measurements and crystallographic analysis of G-phase Ni₁₆Si₇Mn₆ *Yoshitaka Matsukawa¹, Masatake Yamaguchi², Yoshiya Homma¹, Fumihiro Nakamori³, Hiroaki Muta³, Daichi Ito¹, Yuji Ohishi³, Yoshinao Kobayashi⁴ (1. Tohoku University, 2. Japan Atomic Energy Agency, 3. Osaka University, 4. Tokyo Institute of Technology) 3:35 PM 3:50 PM
- [1C12] Microstructure analysis using X-ray absorption on HAZ of ion-irradiated RPV steel

*Yoosung Ha¹, Keiko Iwata¹, Hisashi Takamizawa¹, Yoshihiro Okamoto¹, Iwao Shimoyama¹, Mitsunori Honda¹, Satoshi Hanawa¹, Yutaka Nishiyama¹ (1. JAEA)

3:50 PM - 4:05 PM

[1C13] Irradiation embrittlement of RPV steel model alloys with different Cu,Ni levels and recovery behavior by thermal treatment

*Yusuke Goya¹, Hideo Watanabe², Takuya Yamamoto³,
Takuya Tsuru¹ (1. Kyushu Univ, 2. RIAM, Kyushu Univ,
3. University of California, Santa Barbara)

4:05 PM - 4:20 PM

Oral presentation | V. Nuclear Fuel Cycle and Nuclear Materials | 502-1 Nuclear Materials, Degradation, Radiation Effects, and Related Technology

[1C14-17] Reactor Pressure Vessel 2

Chair:Koji Fukuya(INSS)

4:25 PM - 5:30 PM Room C (B21 - B Building)

[1C14] FY2017 Investigation for Improvement of
Evaluation Methods of Irradiation Effects on
Reactor Pressure Vessel and Core Internals
*Masato Yamamoto¹, Tomohiro Kobayashi¹ (1.
Central Research Institute of Electric Power
Industry)

4:25 PM - 4:40 PM

[1C15] FY2017 Investigation for Improvement of
Evaluation Methods of Irradiation Effects on
Reactor Pressure Vessel and Core Internals
*Tomohiro Kobayashi¹, Kenji Nishida¹, Masato
Yamamoto¹ (1. Central Research Institute of Electric
Power Industry)

4:40 PM - 4:55 PM

- [1C16] FY2O17 investigation for improvement of evaluation methods of irradiation effects on reactor pressure vessel and core internals

 *Yuichi Miyahara¹, Kenji Nishida¹, Siwei Chen¹,
 Katsuhiko Fujii² (1. CRIEPI, 2. INSS)

 4:55 PM 5:10 PM
- [1C17] FY2017 Investigation for Improvement of
 Evaluation Methods of Irradiation Effects on
 Reactor Pressure Vessel and Core Internals
 *Kenta Nishimoto¹, Tomohiro Kobayashi¹, Masato
 Yamamoto¹, Kenji Nishida¹, Yasufumi Miura¹ (1.
 Central Research Institute of Electric Power
 Industry)

5:10 PM - 5:25 PM

Oral presentation | V. Nuclear Fuel Cycle and Nuclear Materials | 502-1 Nuclear Materials, Degradation, Radiation Effects, and Related Technology

[1C18-19] Severe Accident 2

Chair:Nariaki Okubo(JAEA)

5:30 PM - 6:00 PM Room C (B21 -B Building)

[1C18] Effect of heating during the severe accident on the strength and the microstructure of LWR steels

> *Taro Fumimoto¹, Kohei Noguchi¹, Kento Takahashi¹, Shiro Jitsukawa¹ (1. National Institute of Technology, Fukushima College) 5:30 PM - 5:45 PM

[1C19] Estimation of the annealing effect on strength and microstructure of LWR steels during severe accident

*Kohei Noguchi¹, Taro Humimoto¹, Yukito Yamashita¹, Shiro Jitsukawa¹ (1. National Institute of Technology, Fukushima College) 5:45 PM - 6:00 PM

Room D

Oral presentation | V. Nuclear Fuel Cycle and Nuclear Materials | 501-2 Nuclear Fuel and the Irradiation Behavior

[1D01-06] Fuel Debris

Chair: Tatsumi Arima (Kyushu Univ.)

10:15 AM - 11:55 AM Room D (A32 - A Building)

[1D01] Research and human resource development for analysis of fuel debris and decommissioning technology of Fukushima Daiichi nuclear power plants

> *Msayoshi uno¹, Yoshinari Anoda¹, Osamu Kuwazuru², Yuuji Arita¹, Akihiro Ishimi³, Tatsumi Arima⁴ (1. Research Institute of Nuclear Engineering, University of Fukui, 2. Graduate school of Engineering, University of Fukui, 3. Japan Atomic Energy Agency, 4. Kyushu University) 10:15 AM - 10:30 AM

[1D02] Research and human resource development for analysis of fuel debris and decommissioning technology of Fukushima Daiichi nuclear power plants

> *Takashi Onitsuka¹, Kozo Katsuyama², Akihiro Ishimi², Masayoshi Uno¹ (1. Univ. of Fukui, 2. JAEA) 10:30 AM - 10:45 AM

[1D03] Research and human resource development for

analysis of fuel debris and decommissioning technology of Fukushima Daiichi nuclear power plants

*Aruto Kawakami¹, Masaki Teranishi¹, Osamu Kuwazuru¹ (1. Fukui Univ) 10:45 AM - 11:00 AM

[1D04] Research and human resource development for analysis of fuel debris and decommissioning technology of Fukushima Daiichi nuclear power plants

*Taishi Inoue¹, Yuji Arita¹, Toru Fujita¹ (1. University of Fukui)

11:00 AM - 11:15 AM

[1D05] Research and human resource development for analysis of fuel debris and decommissioning technology of Fukushima Daiichi nuclear power plants

> *Tohma lwasa¹, Tatsumi Arima¹ (1. Kyushu University)

11:15 AM - 11:30 AM

[1D06] Chemical states of plutonium and gadolinium in fuel debris

*Shiho Watanabe¹, Hiroto Ishii¹, Yuji Ohishi¹, Hiroaki Muta¹, Ken Kurosaki^{1,2,3} (1. Osaka University, 2. Research Institute of Nuclear Engineering, University of Fukui, 3. JST PRESTO)

11:30 AM - 11:45 AM

Oral presentation | V. Nuclear Fuel Cycle and Nuclear Materials | 501-2 Nuclear Fuel and the Irradiation Behavior

[1D07-09] Fundamental Properties

Chair:Masahide Takano(JAEA)

2:45 PM - 3:35 PM Room D (A32 - A Building)

[1D07] Thermal and mechanical properties of Fe₂Zr

*Daisuke Okada¹, Hiroto Ishii¹, Yuji Ohishi¹, Hiroaki

Muta¹, Ken Kurosaki^{1,2,3} (1. Osaka University, 2.

Research Institute of Nuclear Engineering, University

of Fukui, 3. JST PRESTO)

2:45 PM - 3:00 PM

[1D08] Hydrogen distribuiton in irradiated zirconium alloys by means of atom probe tomography
*Takashi Sawabe¹, Takeshi Sonoda¹ (1. CRIEPI)
3:00 PM - 3:15 PM

[1D09] Thermal properties evaluation of fluorite structure oxides

*Masato Kato¹ Taku Matsumoto¹ Hiroki Nakan

*Masato Kato¹, Taku Matsumoto¹, Hiroki Nakamura¹, Masahiko Machida¹ (1. Japan Atomic Energy Agency)
3:15 PM - 3:30 PM

Oral presentation | V. Nuclear Fuel Cycle and Nuclear Materials | 501-2 Nuclear Fuel and the Irradiation Behavior

[1D10-12] Fuel Behavior

Chair: Masayoshi Uno(Univ. of Fukui)
3:35 PM - 4:25 PM Room D (A32 - A Building)

[1D10] Evaluation of fuel behaviors by using sciencebased Integrated models for MOX properties *Shun Hirooka¹, Masato Kato¹, Masashi Watanabe¹ (1. Japan Atomic Energy Agency) 3:35 PM - 3:50 PM

[1D11] Evaluation of fuel behaviors by using science-based Integrated models for MOX properties

*Miho Kamei¹, Masayuki Naganuma¹, Yoshihisa
Ikusawa¹, Koji Maeda¹, Shinji Sasaki¹, Ozawa
Takayuki¹, Shun Hirooka¹ (1. JAEA)

3:50 PM - 4:05 PM

[1D12] Development of Fuel Performance Code FEMAXI-8

*Yutaka Udagawa¹, Masaki Amaya¹ (1. Japan Atomic Energy Agency)

4:05 PM - 4:20 PM

Oral presentation | V. Nuclear Fuel Cycle and Nuclear Materials | 501-2 Nuclear Fuel and the Irradiation Behavior

[1D13-18] Nitride Fuel

Chair: Masato Kato (JAEA)

4:25 PM - 6:00 PM Room D (A32 - A Building)

[1D13] R&D on Nitride Fuel Cycle for MA Transmutation to Enhance Safety and Economy

*Masahide Takano¹, Seiya Takaki¹ (1. JAEA) 4:25 PM - 4:40 PM

[1D14] R&D on Nitride Fuel Cycle for MA Transmutation to Enhance Safety and Economy

*Seiya Takaki¹, Makoto Harada¹, Masahide Takano¹
(1. Japan Atomic Energy Agency)
4:40 PM - 4:55 PM

[1D15] R&D on Nitride Fuel Cycle for MA Transmutation to Enhance Safety and Economy *Harada Makoto¹, Seiya Takaki¹, Masahide Takano¹

> (1. JAEA) 4:55 PM - 5:10 PM

[1D16] R&D on Nitride Fuel Cycle for MA Transmutation to Enhance Safety and Economy

*Tatsumi Arima¹, Masahide Takano², Seiiya Takaki²

(1. Kyushu univ., 2. Japan atomic energy agency)5:10 PM - 5:25 PM

[1D17] R&D on Nitride Fuel Cycle for MA Transmutation to Enhance Safety and Economy

> *Takumi Sato¹, Hirokazu Hayashi¹ (1. Japan Atomic Energy Agency)

5:25 PM - 5:40 PM

[1D18] R&D on Nitride Fuel Cycle for MA Transmutation to Enhance Safety and Economy

> *TSUYOSHI MURAKAMI¹, Masatoshi Iizuka¹, Hirokazu Hayashi² (1. Central Research Institute of Electric Power Industry, 2. Japan Atomic Energy Agency) 5:40 PM - 5:55 PM

Room E

Oral presentation | V. Nuclear Fuel Cycle and Nuclear Materials | 505-2 Waste Disposal and Its Environmental Aspects

[1E01-02] Storage Container

Chair:Tomofumi Sakuragi(RWMC)

10:15 AM - 10:50 AM Room E (A34 - A Building)

[1E01] Evaluation of physical properties of SFPIC
(Steel Fiber reinforced Polymer-Impregnated
Concrete) for Storage Container of Radioactive
Wastes

*Kenichi HONMA¹, Yasuyuki Ishida¹, Hiroyuki
Sakamoto², Kazutoshi SHIBUYA², Hisayuki KOMORI²,
Yuusuke SATOH³, Ken Tsuruta⁴, Kenji OKAMOTO⁴ (1.
TAIHEIYO CEMENT Central Research Laboratory, 2.
TAIHEIYO CONSULTANT, 3. Tokyo Power Technology
Ltd., 4. Materras Aume)
10:15 AM - 10:30 AM

[1E02] Evaluation of physical properties of SFPIC
(Steel Fiber reinforced Polymer-Impregnated
Concrete) for Storage Container of Radioactive
Wastes

*Hiroyuki Sakamoto¹, Hisayuki Komori¹, Kazutoshi Shibuya¹, Kenichi Honma², Yasuyuki Ishida², Yusuke Sato³, Ken Tsuruta⁴, Kenji Okamoto⁴ (1. Taiheiyo Consultani Co., Ltd., 2. Taiheiyo Cement Corporation, 3. Tokyo Power Technology Ltd., 4. Materras Oume Concrete Industry)

10:30 AM - 10:45 AM

Oral presentation | V. Nuclear Fuel Cycle and Nuclear Materials | 505-2 Waste Disposal and Its Environmental Aspects

[1E03-04] Waste Related to Contaminated Water Chair: Takahiro Kikuchi(JGC)

10:50 AM - 11:25 AM Room E (A34 - A Building)

[1E03] Ion-exchange modeling of cecium ions in metakaolin based geopolymer

*Yuka Morinaga¹, Satoshi Yoshida¹, Elakneswaran Yogarajah², Toyoharu Nawa³ (1. Graduate school of Engineering Hokkaido university, 2. Hokkaido university, Faculty of Engineering, 3. Hokkaido university)

10:50 AM - 11:05 AM

[1E04] Application of geopolymer for solidification of cesium adsorbed zeolite

*Kiyofumi Kurumisawa¹, Kenta Sasaki¹ (1. Hokkaido University)

11:05 AM - 11:20 AM

Oral presentation | V. Nuclear Fuel Cycle and Nuclear Materials | 505-2 Waste Disposal and Its Environmental Aspects

[1E05-06] Disposal Concept

Chair: Taiji Chida (Tohoku Univ.)

11:25 AM - 12:00 PM Room E (A34 - A Building)

[1E05] Conception that ultra-large concrete tank installed in the deep sea is the final disposal site

*Shigemi Morishige¹, Haruo Morishige¹, Yosuke Yamashiki^{1,2}, Harumi Morishige¹ (1. Fukushima Nuclear Accident Countermeasures Review Group, 2. Kyoto Univ.)

11:25 AM - 11:40 AM

[1E06] Necessity of Safety Assessment for variety of L3 disposal concept

> *Taichi Saito¹, Hajime Takao¹ (1. JGC Corporation) 11:40 AM - 11:55 AM

Oral presentation | V. Nuclear Fuel Cycle and Nuclear Materials | 505-2 Waste Disposal and Its Environmental Aspects

[1E07-12] Nuclear Waste

Chair:Toru Nagaoka(CRIEPI)

2:45 PM - 4:20 PM Room E (A34 - A Building)

[1E07] Investigation of the influence on the scaling factor by adopting SUS316 material for BWR reactor structural components.

*Kensuke Suzuki¹, Niitsu Shigehiko¹, Mitsushi Motoyama² (1. Tokyo Electric Power Company Holdings, Inc., 2. JGC CORPORATION) 2:45 PM - 3:00 PM

[1E08] Study on transport assessment of LLW disposal for chemical components and radio-active

nuclides in homogeneous wastes generated from PWR Plants

*Mitsushi Motoyama¹, Shouzou Komori², Shintaro Tsuji³, Takashi Kozawa⁴, Kentaro Miyawaki⁵, Yuichi Nibori⁶ (1. JGC Corporation, 2. Kyusyu Electric Power Co.Inc, 3. Kansai Electric Power Co.Inc, 4. Japan Nuclear Fuel Ltd, 5. Meisei University, 6. Tohoku University)

3:00 PM - 3:15 PM

[1E09] Study on transport assessment of LLW disposal for chemical components and radio-active nuclides in homogeneous wastes generated from PWR Plants

> *Naoyuki Tamura¹, Naoki YOSHII¹, Takashi KOZAWA¹, Mitsushi Motoyama², Niibori Yuich³ (1. JNFL, 2. JGC, 3. Tohoku Uni.)

3:15 PM - 3:30 PM

[1E10] Study on transport assessment of LLW disposal for chemical components and radio-active nuclides in homogeneous wastes generated from PWR Plants

> *Takao Ikeda¹, Shouzou Komori², Takashi Kozawa³, Mitsushi Motoyama¹, Kentaro Miyawaki⁴, Yuichi Nibori⁵ (1. JGC Corporation, 2. Kyusyu Electric Power Co.Inc, 3. Japan Nuclear Fuel Ltd, 4. Meisei University, 5. Tohoku University)

3:30 PM - 3:45 PM

[1E11] Leaching behavior of radionuclides from irradiated BWR cladding

*Yu Yamashita¹, Katsumi Hosaka¹, Masashi Ichikawa², Tomofumi Sakuragi³ (1. Toshiba Energy Systems &Solutions, 2. Nippon Nuclear Fuel Development, 3. Radioactive Waste Management Funding and Research Center)

3:45 PM - 4:00 PM

[1E12] Leaching behavior of radionuclides from irradiated BWR cladding

*Tomofumi Sakuragi¹, Yu Yamashita², Katsumi Hosaka², Masashi Ichikawa³ (1. RWMC, 2. TOSHIBA, 3. NFD)

4:00 PM - 4:15 PM

Oral presentation | V. Nuclear Fuel Cycle and Nuclear Materials | 505-2 Waste Disposal and Its Environmental Aspects

[1E13-17] Overpack

Chair:Atsushi Fujishima(NUMO)

4:20 PM - 5:40 PM Room E (A34 - A Building)

[1E13] Corrosion behavior of weld joint of carbon steel overpack under geological environment

*MITUYASU SHIRASE¹, KAZUTOSHI YAMAZAKI²,

TAKAHIRO KIKUCHI ², YOSHIRO KURIKI², YUMIKO
IWATA³, GEN NAKAYAMA³, YOSHIKATSU TOCHIGI³,

MAKOTO ONO⁴, MASATO KOBAYASHI¹, MASAHIRO
KWAKUBO¹ (1. RWMC, 2. JGC CORPORATION, 3. IHI
CORPORATION, 4. TAISEI CORPORATION)

4:20 PM - 4:35 PM

[1E14] Corrosion behavior of weld joint of carbon steel overpack under geological environment.

*Kazutoshi Yamazaki¹, Hajime Takao¹, Takahiro Kikuchi¹, Yoshiro Kuriki¹, Masato Kobayashi², Masahiro Kawakubo², Mitsuyasu Shirase², Yumiko Iwata³, Gen Nakayama³, Makoto Ono⁴ (1. JGC CORPORATION, 2. RADIOACTIVE WASTE MANAGEMENT FUNDING AND RESEARCH CENTER, 3. IHI Corporation, 4. TAISEI CORPORATION)

4:35 PM - 4:50 PM

[1E15] Corrosion behavior of weld joint of carbon steel overpack under geological environment

*Yumiko lwata¹, Gen Nakayama¹, Yoshikatsu Tochigi¹,

Kazutoshi Yamazaki³, Hajime Takao³, Takahiro

Kikuchi³, Yoshiro Kuriki³, Masato Kobayashi², Masahiro

Kawakubo² (1. IHI Corporation, 2. RWMC, 3. JGC

Corporation)

4:50 PM - 5:05 PM

[1E16] Corrosion behavior of weld joint of carbon steel overpack under geological environment

*Masato Kobayashi¹, kazutoshi yamazaki², hajime takao², takahiro kikuchi², Yoshiro kuriki², Yumiko lwata³, Gen Nakayama³, Makoto Ono⁴, Mitsuyasu Shirase¹, Masahiro Kawakubo¹ (1. RWMC, 2. JGC corporation, 3. IHI corporation, 4. TAISEI corporation)

5:05 PM - 5:20 PM

[1E17] Carbon steel corrosion by iron-corroding microbial community in compacted buffer materials

*Toru Nagaoka¹, Shin-ichi Hirano¹, Norio Matsumoto¹, Yuki Amano² (1. CRIEPI, 2. JAEA) 5:20 PM - 5:35 PM

Room F

Oral presentation | V. Nuclear Fuel Cycle and Nuclear Materials | 505-3 Decommissioning Technology of Nuclear Facilities

[1F01-05] Analysis, Scinario Evaluation and System Development 1

Chair:Nobutake Horiuchi(MMC) 10:40 AM - 12:00 PM Room F (A36 -A Building)

[1F01] Activation estimation for decommissioning of nuclear reactor

*Norikazu Kinoshita¹, Takuma Noto¹, Kazuaki Kosako¹, Motoyuki Asada¹, Akane Tada¹, Kohei Urabe¹, Kazuyuki Torii¹, Tsutomu Ohtsuki², Shun Sekimoto² (1. Shimizu Co., 2. KURNS)

10:40 AM - 10:55 AM

[1F02] Activation estimation for decommissioning of nuclear reactor

*Takuma Noto¹, Norikazu Kinoshita¹, Kazuaki Kosako¹, Motoyuki Asada¹, Kohei Urabe¹, Kazuyuki Torii¹, Tsutomu Ohtsuki², Shun Sekimoto² (1. Shimizu Corporation, 2. KURNS) 10:55 AM - 11:10 AM

[1F03] Sensitivity analysis on activation of reactor structural materials and radioactivity concentration in demolition wastes

*Kouhei Igarashi¹, Daisuke Kwasaki¹, Satoshi
Yanagihara¹ (1. University of Fukui)

11:10 AM - 11:25 AM

[1F04] The effects of uncertainty of radionuclide concentration in clearance measurement on the exposure dose assessment

*Minako Endou¹, Daisuke Kawasaki¹, Satoshi
Yanagihara¹ (1. Univercity of Fukui)

[1F05] Scenario Analysis on Reusing Clearanced
Materials from Nuclear Decommissioning
*kosuke yamamoto¹, Daisuke Kawasaki¹, Satoshi
Yanagihara¹ (1. University of fukui)
11:40 AM - 11:55 AM

Oral presentation | V. Nuclear Fuel Cycle and Nuclear Materials | 505-3 Decommissioning Technology of Nuclear Facilities

[1F06-11] Analysis, Scinario Evaluation and System Development 2

Chair:Norikazu Kinoshita(Shimizu) 2:45 PM - 4:15 PM Room F (A36 - A Building)

11:25 AM - 11:40 AM

[1F06] Evaluation of Project Management Parameters for Decommissioning of KARTINI Reactor *Anggoro Septilarso¹, Daisuke Kawasaki¹, Satoshi Yanagihara¹ (1. University of Fukui) 2:45 PM - 3:00 PM [1F07] A study on analysis of actual data in "Fugen"

decommissioning

*Yuya Kouda¹ (1. Fugen Decommissioning Engineering

3:00 PM - 3:15 PM

[1F08] Development of manpower estimation method for decommissioning activities *Keisuke Komatsu¹, Daisuke Kawasaki¹, Satoshi Yanagihara¹ (1. University of Fukui) 3:15 PM - 3:30 PM

[1F09] Development of estimation methods for decommissioning work period and its uncertainty

*Ryota Sugimoto¹, Daisuke Kawasaki¹, Satoshi Yanagihara¹ (1. Fukui Univ.) 3:30 PM - 3:45 PM

[1F10] Development of Technology for Evaluating
Waste Quantity Based on Automatic Generation
of 3D Models by Cutting Equipment in Nuclear
Power Plants

*Hiroshi Seki¹, Mitsuko Fukuda¹, Takuya Yoshida¹, Atsuko Enomoto¹, Mitsutaka Imamura², Hiroshi Nagase², Jyunya Tahata² (1. Hitachi, 2. Hitachi-GE Nuclear Energy)

3:45 PM - 4:00 PM

[1F11] Application of VRdose for the Decommissioning

*Yasuyoshi Taruta^{1,2}, Kawasaki Daisuke¹, Satoshi

Yanagihara¹ (1. Fukui University, 2. JAEA)

4:00 PM - 4:15 PM

Oral presentation | V. Nuclear Fuel Cycle and Nuclear Materials | 505-3 Decommissioning Technology of Nuclear Facilities

[1F12-16] Development for Fuel Debris Treatment

Chair:Daisuke Kawasaki(Fukui Univ.)

4:15 PM - 5:30 PM Room F (A36 - A Building)

[1F12] Stady on elemental analysis method of fuel debris in Fukushima Daiichi Nuclear Power Station

> *Hiroshi Hinai¹, Nobufumi Toda¹, Atsuhiro Shibata¹, Kazunori Nomura¹ (1. Japan Atomic Energy Agency) 4:15 PM - 4:30 PM

[1F13] Study on physical mechanism in aging phenomenon of fuel debris

*Seiya Suzuki¹, Kimihiko Yano¹, Masayuki Watanabe¹, Kenji koizumi¹ (1. Japan Atomic Energy Agency) 4:30 PM - 4:45 PM [1F14] Study to evaluate leaching mass of elements from damaged fuels *Hirotomo lkeuchi¹, Kimihiko Yano¹, Masayuki Watanabe¹, Kenji Koizumi¹ (1. JAEA) 4:45 PM - 5:00 PM

[1F15] The specification of storage container for fuel debris

*Makito Watakabe¹, Haruo Morishige¹, Yosuke
Yamashiki^{1,2} (1. Fukushima Nuclear Accident
Countermeasures Review Group, 2. Kyoto Univ.)
5:00 PM - 5:15 PM

[1F16] Frozen the water vapor contained in the outside air which is transmitted to the cracks and blocked the containment vessel

*Yasufumi Kitamura¹, Haruo Morishige¹, Yosuke
Yamashiki^{1,2} (1. Fukushima Nuclear Accident
Countermeasures Review Group, 2. Kyoto Univ.)
5:15 PM - 5:30 PM

Oral presentation | V. Nuclear Fuel Cycle and Nuclear Materials | 505-3 Decommissioning Technology of Nuclear Facilities

[1F17-18] Dismantling and Decontamination Technology 1

Chair:Masashi Tezuka(JAEA) 5:30 PM - 6:00 PM Room F (A36 - A Building)

5:30 PM - 5:45 PM

[1F17] Decontamination method for inside of small diameter piping waste(part3)

*TSUCHIDA DAISUKE¹, TAKAHASHI HIROSHI² (1.

JAEA, 2. Fuji Furukawa Engineering &Construction Corp.)

[1F18] Development of the Electrolytic

Decontamination Machine for Pipes

*Akira Maruyama¹, Katsuya Sasaki², Hiroyuki Daiku²,

Masahiro Ishiyama³, Yuto Yoshida³, Kenta Aratani³

(1. Ultra Finish Technology, 2. Hitachi Zosen, 3. Japan

Atomic Energy Agency)

5:45 PM - 6:00 PM

Room G

Oral presentation | V. Nuclear Fuel Cycle and Nuclear Materials | 505-1 Radioactive Waste Management

[1G01-04] Nuclide Separation and Recovery 1 Chair:Akihiro Uehara(QST)

10:00 AM - 11:10 AM Room G (A37 - A Building)

[1G01] Realization Development of the Flexible Waste

Management System for MA P&T Technology *Yoichi Endo¹, Akihiro Suzuki¹, Atsushi Ohuchi¹, Fumiki Mizusako¹ (1. NFD) 10:00 AM - 10:15 AM

- [1G02] Realization Development of the Flexible Waste
 Management System for MA P&T Technology
 *AKIHIRO SUZUKI¹, Yoichi Endo¹, Tatsuro Matsumura²,
 Tetsuo Fukasawa³ (1. NFD, 2. JAEA, 3. Hitachi GE)
 10:15 AM 10:30 AM
- [1G03] Realization Development of the Flexible Waste Management System for MA P&T Technology *Yusa Muroya¹, Yaohiro Inagaki², Tatsumi Arima², Akihiro Suzuki³ (1. ISIR, Osaka Univ., 2. Kyushu Univ., 3. NFD) 10:30 AM - 10:45 AM
- [1GO4] Realization Development of the Flexible Waste
 Management System for MA P&T Technology
 *Tetsuo Fukasawa¹, Kuniyoshi Hoshino¹, Keita Endo¹,
 Akihiro Suzuki² (1. Hitachi-GE Nuclear Energy, Ltd.,
 2. Nippon Nuclear Fuel Development Co., Ltd.)
 10:45 AM 11:00 AM

Oral presentation | V. Nuclear Fuel Cycle and Nuclear Materials | 505-1 Radioactive Waste Management

[1G05-07] Nuclide Separation and Recovery 2 Chair:Daisuke Akiyama(Tohoku Univ.) 11:10 AM - 12:00 PM Room G (A37 - A Building)

[1G05] Extraction behavior of PGMs from Simulated
High-level Liquid Waste using Functionalized
lonic Liquid
*Haruka Oosugi¹, Tadayuki Takahashi¹,², Tatsuya Ito¹,
Kiyoshi Kanie¹, Atsushi Muramatsu¹, Seong-Yun Kim¹
(1. Tohoku University, 2. Japan Nuclear Fuel
Limited)
11:10 AM - 11:25 AM

- [1G06] Zirconium separation from high-level radioactive waste by fluoride volatility method *Yuko Kani¹, Daisuke Watanabe¹, Sohei Fukui¹ (1. Hitachi, Ltd.)

 11:25 AM 11:40 AM
- [1G07] Sorption characteristics of aluminum
 hexacyanoferrate nanoparticles to Ru, Rh, Pd
 and Mo metal ions in nitric acid solution
 *Toshiki Takeuchi¹, Shinta Watanabe¹, Masato
 Nakaya¹, Ria Mishima², Miki Harigai², Yusuke Inaba²,
 Kenji Takeshita², Jun Onoe¹ (1. Nagoya Univ., 2.
 Tokyo Inst. Technol.)

11:40 AM - 11:55 AM

Oral presentation | V. Nuclear Fuel Cycle and Nuclear Materials | 505-1 Radioactive Waste Management

[1G08-10] Debris Treatment

Chair: Akihiro Suzuki (NFD)

2:45 PM - 3:35 PM Room G (A37 - A Building)

[1G08] Development of Fuel Debris Treatment
Technology by the Fluorination Method
*Kuniyoshi Hoshino¹, Keita Endo¹, Akira Sasahira¹,
Tetsuo Fukasawa¹, Takahiro Chikazawa² (1. Hitachi-GE, 2. Mitsubishi Materials)
2:45 PM - 3:00 PM

[1G09] Development of Fuel Debris Treatment
Technology by the Fluorination Method
*Keita Endo¹, Kuniyoshi Hoshino¹, Akira Sasahira¹,
Tetsuo Fukasawa¹, Takahiro Chikazawa² (1. HitachiGE, 2. Mitsubishi Materials)
3:00 PM - 3:15 PM

[1G10] Local structural analyses of the uranium and zirconium in fuel debris containing boron at the Fukushima Daiichi NPP accident

*Akihiro Uehara^{1,2}, Daisuke Akiyama³, Numako Chiya⁴, Shino Takeda¹, Atsushi Ikeda⁵, Yasuko Terada⁶, Kiyofumi Nitta⁶, Toshiaki Ina⁶, Akira Kirishima³, Nobuaki Sato³ (1. QST NIRS, 2. Kyoto Univ., 3. Tohoku Univ., 4. Chiba Univ., 5. HZDR, 6. JASRI)
3:15 PM - 3:30 PM

Oral presentation | V. Nuclear Fuel Cycle and Nuclear Materials | 505-1 Radioactive Waste Management

[1G11-13] Zeolite Waste Solidification 1

Chair:Tetsuo Fukasawa(HGNE)

3:35 PM - 4:25 PM Room G (A37 - A Building)

[1G11] Vitrification of Cs-Sorbed Zeolite Waste
Generated from Decontamination of Effluents
at Fukushima Dai-ichi NPP
*Muneharu Yamauchi¹, Yaohiro Inagaki¹, Tatsumi
Arima¹, Kazuya Idemitsu¹, Koji Yamakado¹, Nobuaki
Sato², Daisuke Akiyama², Akira Kirishima² (1. Kyushu
University, 2. Tohoku University)
3:35 PM - 3:50 PM

[1G12] Vitrification of Cs-Sorbed Zeolite Waste
Generated from Decontamination of Effluents
at Fukushima Dai-ichi NPP
*Daisuke Akiyama¹, Nobuaki Sato¹, Akira Kirishima¹,
Yaohiro Inagaki², Tatsumi Arima² (1. Tohoku

University, 2. Kyushu University) 3:50 PM - 4:05 PM

[1G13] Vitrification of Cs-Sorbed Zeolite Waste
Generated from Decontamination of Effluents
at Fukushima Dai-ichi NPP

*Yaohiro Inagaki¹, Tatsumi Arima¹, Kazuya Idemitsu¹,
Nobuaki Sato², Daisuke Akiyama², Akira Kirishima² (1.
Kyushu University, 2. Tohoku University)
4:05 PM - 4:20 PM

Oral presentation | V. Nuclear Fuel Cycle and Nuclear Materials | 505-1 Radioactive Waste Management

[1G14-16] Zeolite Waste Solidification 2 Chair: Yaohiro Inagaki (Kyushu Univ.)

4:25 PM - 5:15 PM Room G (A37 - A Building)

[1G14] Leaching behavior of Sr from B-Na-Zn solidified
 waste containing spent zeolite
 *Aiki Watanabe¹, Akane Usui¹, Tsuyoshi Arai² (1.
 Shibaura Institute of technology Graduate School , 2.
 Shibaura Institute of technology)
 4:25 PM - 4:40 PM

[1G15] Durable evaluation and chemical stability of the iron phosphate vitrified solids for low level radioactive waste

*Mouri Masahiro¹, Arai Tsuyoshi², Sato Fuminori³,
Saito Yasuo³ (1. Shibaura Institute of Technorogy Graduate School, 2. Shibaura Institute of Technorogy,
3. Japan Atomic Energy Agency)

4:40 PM - 4:55 PM

[1G16] Cs immobilization by the heat-treatment of natural mordenite and effects of sodium carbonate addition

*Aono Hiromichi¹, Takahashi Ryuichiroh¹, Itagaki Yoshiteru¹, Erni Johan¹, Naoto Matsue¹ (1. Ehime university)

4:55 PM - 5:10 PM

Room H

Oral presentation | III. Fission Energy Engineering | 304-1 Thermal Hydraulics, Energy Conversion, Energy Transfer, Energy Storage

[1H01-08] Melt Behavior 1

Chair: Masahiro Furuya (CRIEPI)

10:00 AM - 12:00 PM Room H (B32 - B Building)

[1H01] Advanced Multi-Scale Modeling and
Experimental Tests on Fuel Degradation in
Severe Accident Conditions (1)

*Yuji Nagae¹, Masaki Kurata¹ (1. JAEA) 10:00 AM - 10:15 AM

[1H02] Advanced Multi-Scale Modeling and
Experimental Tests on Fuel Degradation in
Severe Accident Conditions (1)

*Susumu Yamashita¹, Yuji Nagae¹, Masaki Kurata¹,
Hiroyuki Yoshida¹ (1. Japan Atomic Energy Agency)
10:15 AM - 10:30 AM

[1H03] Advanced Multi-Scale Modeling and
Experimental Tests on Fuel Degradation in
Severe Accident Conditions (1)

*Masaki Kurata¹, Takehiko Tou², Masahiro Tanaka³,
Susumu Yamashita¹, Yuji Nagae¹ (1. Japan Atomic
Energy Agency, 2. NIPPON STEEL &SUMIKIN
TECHNOLOGY, 3. Nippon Steel &Sumitomo Metal)
10:30 AM - 10:45 AM

[1H04] Advanced Multi-Scale Modeling and
Experimental Tests on Fuel Degradation in
Severe Accident Conditions (1)
*Saishun YAMAZAKI¹, Anton PSHENICHNIKOV¹, Yuji
NAGAE¹, Masaki KURATA¹, Kan SAKAMOTO², Kazuyuki
TOKUSHIMA³, Masaki AOMI³ (1. JAEA, 2. NFD, 3.
GNF-J)
10:45 AM - 11:00 AM

[1H05] Advanced Multi-Scale Modeling and
Experimental Tests on Fuel Degradation in
Severe Accident Conditions (1)

*Hai Vu Pham¹, Suguru Matsuura², Shotaro Nakajima²,
Makoto Nanko², Yuji Nagae¹, Masaki Kurata¹ (1.

JAEA, 2. Nagaoka Univ. Tech.)

11:00 AM - 11:15 AM

[1H06] Advanced Multi-Scale Modeling and
Experimental Tests on Fuel Degradation in
Severe Accident Conditions (1)

*Yuji Ohishi¹, Toshiki Kondo¹, Hiroaki Muta¹, Ken
Kurosaki¹ (1. Osaka University)

11:15 AM - 11:30 AM

[1H07] Advanced Multi-Scale Modeling and
Experimental Tests on Fuel Degradation in
Severe Accident Conditions (1)
*Takumi Sato¹, Naoya Hirata², Katsunari Oikawa², Yuji
Nagae¹, Masaki Kurata¹ (1. Japan Atomic Energy
Agency, 2. Tohoku university)
11:30 AM - 11:45 AM

[1H08] Advanced Multi-Scale Modeling and Experimental Tests on Fuel Degradation in Severe Accident Conditions (1)

*Ayako Sudo¹, Fumiki Mizusako², Kuniyoshi Hoshino³,

Takumi Sato¹, Yuji Nagae¹, Masaki Kurata¹ (1. Japan

Atomic Energy Agency, 2. Nippon Nuclear Fuel

Development, 3. Hitachi-GE)

11:45 AM - 12:00 PM

Oral presentation | III. Fission Energy Engineering | 304-1 Thermal Hydraulics, Energy Conversion, Energy Transfer, Energy Storage

[1H09-12] Melt Behavior 2

Chair:Kei Ito(Kyoto Univ.)

2:45 PM - 3:50 PM Room H (B32 - B Building)

[1H09] Deepening Understanding of Ex-Vessel Corium
Behavior by Multi-Physics Modeling
*Akifumi Yamaji¹, Masahiro Furuya², Yuji Ohishi³,
Guangtao Duan¹ (1. Waseda University, 2. Central
Research Institute of Electric Power Industry, 3.
Osaka University)
2:45 PM - 3:00 PM

[1H10] Deepening Understanding of Ex-Vessel Corium
Behavior by Multi-Physics Modeling
*Masahiro Furuya¹, Akifumi Yamaji², Yuji Ohishi³ (1.
CRIEPI, 2. Waseda Univ., 3. Osaka Univ.)
3:00 PM - 3:15 PM

[1H11] Development of Numerical Simulation Method for Relocation Behavior of Molten Materials in Nuclear Reactors *Yutaro Hihara¹, Hideaki Monji¹, Yutaka Abe¹, Hiroyuki Yoshida², Susumu Yamashita² (1. University of Tsukuba, 2. Japan Atomic Energy Agency) 3:15 PM - 3:30 PM

[1H12] Experimental Investigation of Hydrodynamic
Effect on Eutectic Melting of Sn-Bi Binary
System
*Shota Ueda¹, Kenta Inagaki², Kondo Masahiro³, Koji
Okamoto¹ (1. The University of Tokyo, 2. Central
Research Institute of Electric Power Industry, 3.
National Institute of Advanced Industrial Science and
Technology)

Oral presentation | III. Fission Energy Engineering | 304-1 Thermal Hydraulics, Energy Conversion, Energy Transfer, Energy Storage

[1H13-16] Droplet and Liquid Film Chair:Hide Okada(IAE) 3:50 PM - 4:55 PM Room H (B32 -B Building)

3:30 PM - 3:45 PM

[1H13] Countercurrent Flow Limitation in a Pressurizer

Surge Line

*Michio Murase¹, Koji Nishida¹, Takayoshi Kusunoki¹, Raito Goda², Akio Tomiyama² (1. Institute of Nuclear Safety System, Inc., 2. Kobe University) 3:50 PM - 4:05 PM

- [1H14] Droplet-Entrainment Behavior at the Interface of High-Speed Gas Jet into a Liquid Pool
 *Taro Sugimoto¹, Shimpei Saito¹, Akiko Kaneko¹,
 Yutaka Abe¹, Akihiro Uchibori², Takashi Takata²,
 Hiroyuki Ohshima² (1. Univ. of Tsukuba, 2. JAEA)
 4:05 PM 4:20 PM
- [1H15] Study on secondary droplet during liquid jet collision onto solid surface

 *Yi Zhan¹, Yusuke Kuwata¹, Kiyotaka Maruyama¹, Koji Enoki¹, Tomio Okawa¹, Mitsuhiro Aoyagi², Takashi Takata² (1. The University of Electro-Communications, 2. Japan Atomic Energy Agency)

 4:20 PM 4:35 PM
- [1H16] Ultrasound measurement of liquid film on pipe inner surface

 *Yuki Wada¹, Jun Sagawa², Akira Satou¹, Yasuteru
 Sibamoto¹, Taisuke Yonomoto¹ (1. JAEA, 2. MES)

 4:35 PM 4:50 PM

Room I

Oral presentation | III. Fission Energy Engineering | 304-1 Thermal Hydraulics, Energy Conversion, Energy Transfer, Energy Storage

[1101-07] Thermal-Hydraulic Numerical Simulation Chair:Masaaki Tanaka(JAEA)

10:00 AM - 11:55 AM Room I (B33 -B Building)

- [1101] Numerical simulation of two-phase flow in 4x4 simulated fuel bundle using TPFIT

 *Ayako Ono¹, Taku Nagatake¹, Takayuki Suzuki¹,

 Hiroyuki Yoshida¹ (1. Japan Atomic Energy Agency)

 10:00 AM 10:15 AM
- [1102] Numerical simulation of reverse flow to the branch line of a mixing tee pipe

 *Yoichi Utanohara¹, Koji Miyoshi¹, Masayuki Kamaya¹

 (1. INSS)

10:15 AM - 10:30 AM

[1103] Modeling of Bathtub Vortex

*Kei Ito¹, Daisuke Ito¹, Yasushi Saito¹, Toshiki Ezure²,

Masaaki Tanaka² (1. Kyoto University, 2. Japan

Atomic Energy Agency)

10:30 AM - 10:45 AM

[1104] Numerical simulations of phase-change heat

transfer by lattice Boltzmann method *Shimpei Saito¹, Kota Kawasaki¹, Ken-ichi Ebihara², Akiko Kaneko¹, Yutaka Abe¹, Kazuya Koyama³ (1. Univ. Tsukuba, 2. JAEA, 3. MFBR) 10:45 AM - 11:00 AM

- [1105] Preliminary CFD simulation of critical heat flux for subcooled water flow boiling in vertical heated tubes

 *KAI WANG¹, Nejdet Erkan¹, Koji Okamoto² (1.

 Department of Nuclear Engineering and Management,
 School of Engineering, The University of Tokyo, 7-3-1

 Hongo, Bunkyo-ku, Tokyo 113-8654, Japan, 2. Nuclear Professional School, School of Engineering, The
 University of Tokyo, 2-22 Shirakata, Tokai-mura,
 Ibaraki, 319-1188, Japan)

 11:00 AM 11:15 AM
- [1106] Heat Transfer Coefficient of Liquid Metal under Low Peclet Number Conditions
 *Hiroyasu MOCHIZUKI¹ (1. Tokyo Institute of Technology, Institute of Innovative Research, LANE)
 11:15 AM - 11:30 AM
- [1107] Investigation of the Fluctuating Force
 Characteristics due to Internal Two-phase Flow
 *Shuichiro Miwa¹, Takashi HIBIKI² (1. Hokkaido
 University, 2. Purdue University)
 11:30 AM 11:45 AM

Oral presentation | III. Fission Energy Engineering | 304-1 Thermal Hydraulics, Energy Conversion, Energy Transfer, Energy Storage

[1108-12] Fast Reactor Thermal Hydraulics 1 Chair:Koji Morita(Kyushu Univ.) 2:45 PM - 4:05 PM Room I (B33 -B Building)

- [1108] Development of multi-level, multi-scenario simulation systems for sodium cooled fast reactor
 - *norihiro doda¹, hideo araseki¹, kunihiko nabeshima¹, takashi takata¹, masaaki tanaka¹, hiroyuki ohshima¹ (1. JAEA)

2:45 PM - 3:00 PM

- [1109] Development of multi-level, multi-scenario simulation systems for sodium cooled fast reactor
 - *Akihiro Uchibori¹, Mitsuhiro Aoyagi¹, Kei Ito², Takashi Takata¹, Hiroyuki Ohshima¹ (1. JAEA, 2. Kyoto Univ.) 3:00 PM - 3:15 PM
- [1110] Development of multi-level, multi-scenario simulation systems for sodium cooled fast

reactor

*Akikazu Kurihara¹, Shin Kikuchi¹, Ryota Umeda¹, Takashi Takata¹, Hiroyuki Ohshima¹ (1. Japan Atomic Energy Agency)

3:15 PM - 3:30 PM

[1111] Development of multi-level, multi-scenario simulation systems for sodium cooled fast reactor

*Yoshihiro Deguchi¹, Shin Kikuchi², Akikazu Kurihara², Takashi Takata², Hiroyuki Ohshima² (1. Tokushima University, 2. JAEA)
3:30 PM - 3:45 PM

[1112] Development of multi-level, multi-scenario simulation systems for sodium cooled fast reactor

*Shin Kikuchi¹, Nobuyoshi Koga², Akikazu Kurihara¹, Takashi Takata¹, Hiroyuki Ohshima¹ (1. Japan Atomic Energy Agency, 2. Hiroshima University) 3:45 PM - 4:00 PM

Oral presentation | III. Fission Energy Engineering | 304-1 Thermal Hydraulics, Energy Conversion, Energy Transfer, Energy Storage

[1113-18] Fast Reactor Thermal Hydraulics 2 Chair:Mamoru Konomura(Univ. of Fukui) 4:05 PM - 5:40 PM Room I (B33 -B Building)

- [1113] Mechanism of heat transfer from molten fuel pool to structural wall in EAGEL 1D1 test

 *Koji Morita¹, Ryusei Ogawa¹, Xiaoxing Liu¹, Wei Liu¹,

 Kenji Kamiyama² (1. Kyushu University, 2. JAEA)

 4:05 PM 4:20 PM
- [1114] PLANDTL-2 Experiment for Evaluation of Decay
 Heat Removal in Sodium-cooled Fast Reactors
 *Toshiki Ezure¹, Jun Kobayashi¹, Takamitsu Onojima¹,
 Akikazu Kurihara¹, Masaaki Tanaka¹ (1. JAEA)
 4:20 PM 4:35 PM
- [1115] Development of Simulation Code of Bubble and
 Dissolved Gas Behavior in Sodium-cooled Fast
 Reactor Primary Coolant System
 *Kentarou Matsushita¹, Kei Ito², Toshiki Ezure¹,
 Masaaki Tanaka¹ (1. Japan Atomic Energy Agency, 2.
 Kyoto Univ.)

4:35 PM - 4:50 PM

[1116] Study on coolant behavior in damaged core of sodium-cooled fast reactor

*Tatsuya Kurisaki¹, Daisuke Ito², Kei Ito², Yasushi
Saito², Yuya imaizumi³, Ken-ichi Matsuba³, Kenji
Kamiyama³ (1. Kyoto Univ., 2. KURNS, 3. JAEA)

4:50 PM - 5:05 PM

[1117] Self-leveling Behavior of Mixed Solid Particles in Cylindrical Bed Using Gas-injection Method *Le Hoang Sang Phan¹, Phi Manh Ngo¹, Ryo Miura¹, Yusuke Tasaki¹, Tatsuya Matsumoto¹, Wei Liu¹, Koji Morita¹ (1. Kyushu Univ.) 5:05 PM - 5:20 PM

[1118] Studies on Advanced Measurement and Control of Liquid Sodium Flow Field

*Yuta Akimoto¹, Yuma Michishita¹, Takeshi Fukuda¹

(1. Osaka Univ.)

5:20 PM - 5:35 PM

Room J

Oral presentation | VII. Health Physics and Environmental Science | Health Physics and Environmental Science

[1J01-06] Dose Assessment 1 Chair:Yoshitaka Yoshida(JANSI) 2:45 PM - 4:20 PM Room J (A41 -A Building)

- [1J01] Evaluation of Radiation Dose by Recycling of Pd and Zr Recovered from High-level Radioactive Waste
 - *Sentaro Takahashi¹, Tomoyuki Takahashi¹, Satoshi Fukutani¹, Maiko Ikegami¹, Takumi Kubota¹, Sota Tanaka², Kayoko Iwata², Rui Akayama², Yuko Kinashi¹ (1. KURNS, 2. Kyoto Univ.)
 2:45 PM 3:00 PM
- [1J02] Evaluation of Radiation Dose by Recycling of Pd and Zr Recovered from High-level Radioactive Waste

*Takumi Kubota¹, Kayoko Iwata², Maiko Ikegami¹, Satoshi Fukutani¹, Yuko Kinashi¹, Tomoyuki Takahashi¹, Sentaro Takahashi¹ (1. KURNS, 2. kyoto Univ.)

3:00 PM - 3:15 PM

- [1J03] Evaluation of Radiation Dose by Recycling of Pd and Zr Recovered from High-level Radioactive Waste
 - *Satoshi Fukutani¹, Takumi Kubota¹, Maiko Ikegami¹, Kayoko Iwata², Sota Tanaka², Rui Akayama², Tomoyuki Takahashi¹ (1. KURNS, 2. Kyoto Univ.) 3:15 PM - 3:30 PM
- [1J04] Evaluation of Radiation Dose by Recycling of Pd and Zr Recovered from High-level Radioactive Waste
 - *Tomoyuki Takahashi¹, Sota Tanaka², Kayoko Iwata²,

Rui Akayama², Takumi Kubota¹, Satoshi Fukutani¹, Maiko Ikegami¹, Yuko Kinashi¹, Sentaro Takahashi¹ (1. KURNS, 2. Kyoto Univ.) 3:30 PM - 3:45 PM

[1J05] Study of the level 3PRA method using WinMACCS

*Masaharu Tsuzaki¹, Ryogo Kurokawa¹, Koichi Sada¹ (1. CRIEPI)

3:45 PM - 4:00 PM

[1J06] Study of the level 3 PRA method using WinMACCS

*Ryogo Kurokawa¹, Masaharu Tsuzaki¹, Koichi Sada¹
(1. Central Research Institute of Electric Power Industry)

4:00 PM - 4:15 PM

Oral presentation | VII. Health Physics and Environmental Science | Health Physics and Environmental Science

[1J07-12] Dose Assessment 2

Chair:Tomoyuki Takahashi(Kyoto Univ.) 4:20 PM - 6:00 PM Room J (A41 -A Building)

[1J07] Unsertainty and sensitivity analsysis of doses to the public after the Fukushima Daiichi Nuclear Plant accident

> *Shogo Takahara¹, Masatoshi WATANABE^{1,2} (1. Japan Atomic Energy Agency, 2. V.I.C.) 4:20 PM - 4:35 PM

[1J08] Ratios between spatial and individual radiation doses in litate Village

*Makoto Imai^{1,2}, Souji Obara², Tadashi Ogawa², Yoichi Tao², Muneo Kanno², Masaji Takahashi², Kazuhiko Iijima³, Tadashi Ishikawa³, Shin-ichi Sasaki³ (1. Kyoto Univ., 2. Resurrection of Fukushima, 3. KEK)

4:35 PM - 4:50 PM

[1J09] Development of the computer code for dose estimation from external exposure to radioactive plume having an arbitrary shape *DAIKI SATOH¹, HIROMASA NAKAYAMA¹, TAKUYA FURUTA¹ (1. JAEA)

4:50 PM - 5:05 PM

[1J10] Study on Radiation Dose Evaluation based on the

*Yoshitaka Yoshida¹, Shunsuke Takahashi² (1. Institute of Nuclear Safety System, 2. Kansai Electric Power Co.)

5:05 PM - 5:20 PM

[1J11] Indoor radiocaesium contamination in residential

houses near the FDNPP and evaluation of internal exposure to residents
*Hiroko Yoshida¹, Naohide Shinohara², Kentaro Manabe³ (1. Tohoku Univ., 2. AIST, 3. JAEA)
5:20 PM - 5:35 PM

[1J12] Development of a function calculating
deposition probabilities of inhaled aerosols
compatible with the revised Human Respiratory
Tract Model

*Kentaro Manabe¹, Fumiaki Takahashi¹ (1. JAEA) 5:35 PM - 5:50 PM

Room K

Oral presentation | VII. Health Physics and Environmental Science | Health Physics and Environmental Science

[1K01-07] Environmental Radioactivity and Monitoring 1

Chair:Daiki Satoh(JAEA) 10:00 AM - 11:55 AM Room K (B41 -B Building)

[1K01] Investigation on distribution of radioactive substances in Fukushima

*Kimiaki Saito¹ (1. Japan Atomic Energy Agency) 10:00 AM - 10:15 AM

[1K02] Investigation on distribution of radioactive substances in Fukushima

*Masaki Andoh¹, Norihiro Matsuda¹, Kimiaki Saito¹ (1. JAEA)

10:15 AM - 10:30 AM

[1K03] Investigation on distribution of radioactive substances in Fukushima

*Jun Goto¹, Takeshi Takahashi¹, Shu Sengoku¹, Hidenori Yoshida², Tatsuya Kondo¹ (1. Niigata University, 2. Niigata University of Health and Welfare)

10:30 AM - 10:45 AM

[1K04] Investigation on distribution of radioactive substances in Fukushima

*Minoru Tanigaki¹ (1. Kyoto University) 10:45 AM - 11:00 AM

[1K05] Investigation on distribution of radioactive substances in Fukushima

*Kazuya Yoshimura¹, Jyun Saegusa¹ (1. JAEA) 11:00 AM - 11:15 AM

[1K06] Investigation on distribution of radioactive substances in Fukushima

*Takuya Yamashita¹, Kimiaki Saito¹, Akihiro Kitamura¹

(1. Japan Atomic Enargy Agancy) 11:15 AM - 11:30 AM

[1K07] Investigation on distribution of radioactive substances in Fukushima

*Tetsuro Sato¹, Masaki Andoh², Kimiaki Saito² (1. Hitachi Solutions East Japan, Ltd., 2. Japan Atomic Energy Agency)

11:30 AM - 11:45 AM

Oral presentation | VII. Health Physics and Environmental Science | Health Physics and Environmental Science

[1K08-14] Environmental Radioactivity and Monitoring 2

Chair: Taiga Okumura (Univ. of Tokyo) 2:45 PM - 4:40 PM Room K (B41 -B Building)

[1K08] Investigation on distribution of radioactive substances in Fukushima

*Norihiro MATSUDA¹, Satoshi MIKAMI¹, Kimiaki SAITO¹

(1. Japan Atomic Energy Agency)

2:45 PM - 3:00 PM

[1K09] Investigation on distribution of radioactive substances in Fukushima

*Hiroaki Kato¹, Yuichi Onda¹, Zul Hilmi Saidin¹ (1.

Center for Research in Isotopes and Environmental Dynamics, University of Tsukuba)

3:00 PM - 3:15 PM

[1K10] Investigation on distribution of radioactive substances in Fukushima *Junko Takahashi¹, Daichi Hihara¹, Kenji Tamura¹, Yuichi Onda¹ (1. Univ. of Tsukuba) 3:15 PM - 3:30 PM

[1K11] Investigation on distribution of radioactive substances in Fukushima

*Momo Kurihara¹, Toshiro Yamaguchi¹, Hiroaki Kato¹,
Yuichi Onda¹ (1. CRiED, University of Tsukuba)

3:30 PM - 3:45 PM

[1K12] Investigation on distribution of radioactive substances in Fukushima

*YUICHI ONDA¹, Sho Iwagami¹, Hiroaki Kato¹, Maki
Tsujimura¹ (1. CRiED University of Tsukuba)

3:45 PM - 4:00 PM

[1K13] Investigation on distribution of radioactive substances in Fukushima

*Yoshifumi Wakiyama¹, Yuichi Onda² (1. Institute of Environmental Radioacitivity, Fukushima Universiy, 2. Center for Research in Isotopes and Environmental Dynamics, University of Tsukuba)

4:00 PM - 4:15 PM

[1K14] Investigation on distribution of radioactive substances in Fukushima

*Hiroshi Takemiya¹, Kimiaki Saito¹, Hiroko Yoshida²

(1. JAEA, 2. Tohoku Univ.)

4:15 PM - 4:30 PM

Oral presentation | VII. Health Physics and Environmental Science | Health Physics and Environmental Science

[1K15-19] Environmental Radioactivity and Monitoring 3

Chair: Jun Goto (Niigata Univ.) 4:40 PM - 6:00 PM Room K (B41 -B Building)

[1K15] Analysis for the time variation of the air dose rate in Fukushima prefecture

*Kazuya Matsumoto¹, Nobuyuki Sato², Yutaka Kimura¹,
Hiroshi Takemiya², Akiyuki Seki², Hiromi Inoue¹,
Hiroyuki Sugai¹ (1. Fukushima Prefectural Centre for
Environmental Creation , 2. Japan Atomic Energy
Agency)

4:40 PM - 4:55 PM

[1K16] Numerical Studies for Seasonal Fluctuation of Cesium Transport at Dam Reservoir in the Hama-dori District of Fukushima Prefecture *Susumu Yamada¹, Masahiko Machida¹, Hiroshi Kurilkami¹, Akihiro Kitamura¹ (1. JAEA)

4:55 PM - 5:10 PM

[1K17] Dissolution of radiocesium-bearing
microparticles released by the Fukushima
nuclear accident
*Taiga Okumura¹, Noriko Yamaguchi², Terumi Dohi³,

Kazuki lijima³, Toshihiro Kogure¹ (1. UTokyo, 2. NARO, 3. JAEA)
5:10 PM - 5:25 PM

[1K18] Theoretical study of selective cesium complexation mechanism by fungi organic matter in forest

*Hiroya Suno¹, Masahiko Machida¹, Terumi Dohi¹ (1.

Japan Atomic Energy Agency)

[1K19] A method of estimating vertical distribution of radioactivity concentration in soil from NaI(TI) detector pulse height distribution

*Hisashi Ichikawa¹, Hiromi Yamazawa¹, Jun Moriizumi¹, Shigekazu Hirao² (1. Nagoya Univ., 2. Fukushima Univ.)

5:40 PM - 5:55 PM

5:25 PM - 5:40 PM

Room L

Oral presentation | III. Fission Energy Engineering | 303-1 Reactor Instrumentation, Instrumentation System, Reactor Control

[1L01-04] Measuring, Monitoring, and Wireless System

Chair: Yasutake Fujishima 10:15 AM - 11:20 AM Room L (D12 -D Building)

[1L01] Hydrogen concentration detector system for Severe Accident installed inside Primary Containment Vessel (PCV) *Kisato Habu¹, Toshiaki Ito¹, Kiyotaka Wakita¹,

*Kisato Habu', Toshiaki Ito', Kiyotaka Wakita', Motoshige Yagyu¹, Masashi Yamage² (1. Toshiba Energy Systems &Solutions Corporation, 2. Toshiba Corporation)

10:15 AM - 10:30 AM

[1L02] Core Cooling Monitoring System based on Radiation Detection

*Tsukasa Sugita¹, Kenichi Yoshioka¹, Makoto Takemura¹, Hidehiko Kuroda¹, Akira Moroi¹, Naotaka Oda¹, Toshiaki Ito¹ (1. TOSHIBA ENERGY SYSTEMS &SOLUTIONS CORPORATION)

10:30 AM - 10:45 AM

[1L03] Core Cooling Monitoring System based on Radiation Detection

*Makoto Takemura¹, Tsukasa Sugita¹, Hidehiko Kuroda¹, Akira Moroi¹, Naotaka Oda¹, Toshiaki Ito¹ (1. Toshiba Energy Systemus &Solutions Corporation)

10:45 AM - 11:00 AM

[1L04] Wireless System with Controlling

Electromagnetic Wave Distribution in Nuclear Power Plant

*hidehiko kuroda¹, takahiro shirota¹, yoshiro ikeda¹, jumpei ogawa², hiroyuki nishikawa ², takeshi hasegawa¹, naotaka oda¹, naoki asano¹ (1. TOSHIBA ENERGY SYSTEMS &SOLUTIONS CORPORATION, 2. Toshiba Corporation)

. 05...2a 00. po. ac.o...

11:00 AM - 11:15 AM

Oral presentation | III. Fission Energy Engineering | 303-3 Human-Machine Systems, Advanced Information Processing

[1L05-06] Lesson and Training Chair:Hidehiko Kuorda(TOSHIBA ESS)

11:20 AM - 11:55 AM Room L (D12 -D Building)

[1L05] Derivation of Lessons from TV Conference of

Fukushima Daiichi Nuclear Power Plant Accident(1)

*Kyoko Oba¹, Atsufumi Yoshizawa², Masaharu Kitamura³ (1. Japan Atomic Energy Agency, 2. Nagaoka University of Technology, 3. Research Institute for Technology Management Strategy) 11:20 AM - 11:35 AM

11:35 AM - 11:50 AM

Oral presentation | II. Radiation, Accelerator, Beam and Medical Technologies | 203-1 Accelerator and Beam Acceleration Technology

[1L07-09] Beam Diagnostics and Accelerator Technology

Chair: Takafumi Kondoh (Osaka Univ.) 2:45 PM - 3:35 PM Room L (D12 -D Building)

[1L07] Energy measurement of coherent transition radiation

*Koichi Kan¹, Jinfeng Yang¹, Masao Gohdo¹, Takafumi Kondoh¹, Yoichi Yoshida¹ (1. ISIR, Osaka Univ.) 2:45 PM - 3:00 PM

[1L08] Progress on Ultrasensitive Detection Techniques for Hard-to-measure Nuclide ⁴¹Ca with the 6 MV Tandem Accelerator Mass Spectrometry System *Kimikazu Sasa¹, Seiji Hosoya², Tsutomu Takahashi¹, Kenta Takano¹, Yuta Ochiai¹, Yasuji Oura³, Keisuke Sueki¹ (1. Univ. Tsukuba, 2. QST, 3. Tokyo Metropolitan Univ.)

3:00 PM - 3:15 PM

[1L09] Progress report of a negative ion generation technique in a compact ion microbeam system *Takeru Ohkubo¹, Yasuyuki Ishii¹ (1. QST) 3:15 PM - 3:30 PM

Oral presentation | II. Radiation, Accelerator, Beam and Medical Technologies | 203-3 Application of Beams, Target

[1L10-14] Radiation Chemistry, Biology and Gamma-ray Application

Chair:Koichi Kan(Osaka Univ.) 3:35 PM - 5:00 PM Room L (D12 -D Building)

[1L10] Delbruck scattering by laser Compton scatternig gamma-rays

*Takehito Hayakawa¹, James Kevin Koga¹, Toshiyuki Shizuma¹, Zen Heishun², Toshiteru Kii², Hideaki Ohgaki², Masaki Fujimoto³, Masahiro Kato³ (1. QST, 2. Kyoto Univ., 3. IMS)
3:35 PM - 3:50 PM

[1L11] Upgrade Plan of CT Isotope Imaging by LCS-NRF in UVSOR

*Hideaki Ohgaki Ohgaki¹, Heishun Zen¹, Hani Negm^{5,1}, Toshiteru Kii¹, Takehito Hayakawa², Toshiyuki Shizuma², Masahiro Kato³, Masaki Fujimoto³, Hiroyuki Toyokawa⁴, Yoshitaka Taira⁴ (1. Institute of Advanced Energy, 2. National Institutes for Quantum and Radiological Science and Technology, 3. Institute for Molecular Science, 4. National Institute of Advanced Industrial Science and Technology, 5. Assuit University)

3:50 PM - 4:05 PM

[1L12] Influence of secondary electrons on dissociation of biomolecules in liquids by fast heavy-ion collisions

*Hidetsugu Tsuchida¹, Kensei Kitagima¹, Shinji Nomura¹, Akihiro Kajiwara¹, Takuya Majima¹, Manabu Saito¹ (1. Kyoto Univ.) 4:05 PM - 4:20 PM

[1L13] Study on primary process of radiation-induced chemical reaction of metal resist ligands

*Teppei Yamada¹, Satoshi Ishihara¹, Hiroki Yamamoto²,

Yusa Muroya¹, Yoshitaka Komuro³, Daisuke Kawana³,

Akiyoshi Yamazaki³, Takahiro Kozawa¹ (1. ISIR. Osaka Univ, 2. QST, 3. Tokyo Ohka Kogyo)

4:20 PM - 4:35 PM

[1L14] Study of early stage of radiation chmistry in alkane by pulseradiolysis and probe molecule.

*Takafumi Kondoh Kondoh¹, Masao Gohdo¹, Kimihiro Norizawa¹, Koichi Kan¹, Jinfeng Yang¹, Seiichi Tagawa¹, Yoichi Yoshida¹ (1. ISIR, Osaka University)
4:35 PM - 4:50 PM

Room M

Oral presentation | III. Fission Energy Engineering | 301-1 Reactor Physics, Utilization of Nuclear Data, Criticality Safety

[1M01-04] Uncertainty Evaluation 1 Chair:Tomohiro Endo(Nagoya Univ.)

10:00 AM - 11:10 AM Room M (E11 -E Building)

[1M01] Study on uncertainty propagation due to nuclear analysis codes on statistical safety evaluation method

*Teppei Yamana¹, Hirohisa Kaneko¹, Yuji Honma¹,

Kenichi Harada², Kohei Mochizuki³, rui kagiyama³, Takeshi Yamada³ (1. GNF-J, 2. Chubu Electric Power Co., Inc, 3. Hitachi GE) 10:00 AM - 10:15 AM

[1M02] Study on uncertainty propagation due to nuclear analysis codes on statistical safety evaluation method

*Kohei Mochizuki¹, Rui Kagiyama¹, Takeshi Yamada¹,
Teppei Yamana², Yuji Honma², Hirohisa Kaneko²,
Kenichi Harada³ (1. Hitachi-GE, 2. GNF-J, 3. CHUBU Electric Power)

10:15 AM - 10:30 AM

[1M03] Proposal of efficient MCCV method using sensitivity evaluation result *Shunsuke NIHIRA¹, Go Chiba¹ (1. Hokkaido Univ) 10:30 AM - 10:45 AM

[1MO4] Investigation of uncertainty evaluation methodology for spent fuel pit due to nuclear data and manufacturing tolerances based on statistical approach

*Tetsuya Sugimura¹, Kazuki Kirimura¹, Hiroki Koike¹, Daisuke Sato¹, Toshikazu Takeda² (1. MHI, 2. Fukui Univ.)

Oral presentation | III. Fission Energy Engineering | 301-1 Reactor Physics, Utilization of Nuclear Data, Criticality Safety

[1M05-07] Uncertainty Evaluation 2 Chair:Cheol Ho Pyeon(Kyoto Univ.) 11:10 AM - 12:00 PM Room M (E11 -E Building)

10:45 AM - 11:00 AM

[1M05] Nuclear data-induced uncertainty
quantification of prompt neutron decay
constant using the first-order perturbation
theory

*Tomohiro Endo¹, Akio Yamamoto¹ (1. Nagoya University)

11:10 AM - 11:25 AM

[1M06] An Influence of Choice of Delayed Neutron
Models on Inverse Kinetics Analysis

*Kazuki Takahashi¹, Kunihiro Nakajima¹, Atsushi
Sakon², Sin-ya Hohara², Kengo Hashimoto² (1.
Graduate School of Science and engineering, Kindai
University, 2. Atomic Energy Research Institute,
Kindai University)

11:25 AM - 11:40 AM

[1M07] Development of a prediction model for modeling approximation error using the principal

component analysis and the Kriging
*Tomomi Hanai¹, Akio Yamamoto¹, Tomohiro Endo¹,
Kento Yamamoto², Yasunori Ohoka², Hiroaki Nagano²
(1. Nagoya Univ., 2. Nuclear Fuel Industries, Ltd.)
11:40 AM - 11:55 AM

Oral presentation | III. Fission Energy Engineering | 301-1 Reactor Physics, Utilization of Nuclear Data, Criticality Safety

[1M08-13] Criticality Safety 1

Chair: Yasunobu Nagaya (JAEA)

2:45 PM - 4:25 PM Room M (E11 -E Building)

[1M08] Theoretical Development of Method to
Estimate Reactivity and Fissile Isotope Ratio at
the Same Time Based on Power Profile in Quasi
Steady State

*Yuichi Yamane¹ (1. Japan Atomic Energy Agency) 2:45 PM - 3:00 PM

[1M09] Exponent dependency of neutron multiplication factor distribution in system randomized with $1/f^{\beta} \ frequency \ spectrum$

*Shouhei Araki¹, Yuichi Yamane¹, Taro Ueki¹, Kotaro Tonoike¹ (1. Japan Atomic Energy Agency) 3:00 PM - 3:15 PM

[1M10] Criticality control technique development for Fukushima Daiichi fuel debris

*Takuya UMANO^{1,2}, Mitsuaki YAMAOKA^{1,2}, Rei KIMURA^{1,2}, Yamato HAYASHI^{1,2} (1. International Research Institute for Nuclear Decommissioning, 2. Toshiba Energy Systems &Solutions Corporation)

3:15 PM - 3:30 PM

[1M11] Criticality control technique development for
Fukushima Daiichi fuel debris
*Yamato Hayashi^{1,2}, Rei Kimura^{1,2}, Masahiko Kuroki^{1,2}
(1. IRID, 2. Toshiba ESS)
3:30 PM - 3:45 PM

[1M12] Criticality control technique development for Fukushima Daiichi fuel debris *Shinya Kano^{1,2}, Satoshi Wada^{1,2}, Tsuyoshi Misawa³, Kitamura Yasunori³ (1. IRID, 2. Toshiba Energy Systems &Solutions Corp., 3. Kyoto Univ.) 3:45 PM - 4:00 PM

[1M13] Criticality control technique development for Fukushima Daiichi fuel debris *Satoshi Wada^{1,2}, Shinya Kano^{1,2}, Tsuyoshi Misawa³, Yasunori Kitamura³ (1. IRID, 2. Toshiba Energy Systems &Solutions, 3. Kyoto University) 4:00 PM - 4:15 PM Oral presentation | III. Fission Energy Engineering | 301-1 Reactor Physics, Utilization of Nuclear Data, Criticality Safety

[1M14-19] Criticality Safety 2

4:25 PM - 4:40 PM

4:55 PM - 5:10 PM

Chair:Go Chiba(Hokkaido Univ.)

4:25 PM - 6:00 PM Room M (E11 -E Building)

[1M14] Criticality control technique development for Fukushima Daiichi fuel debris

*Takeshi Mitsuyasu¹, Yuichi Morimoto¹, Koichi
Okada¹, Masanori Akaike¹, Tsuyoshi Misawa²,

Tasunori Kitamura² (1. IRID(Hitachi-GE), 2. Kyoro
Univ.)

[1M15] Criticality control technique development for Fukushima Daiichi fuel debris

*YASUHIRO HARADA¹, Makoto Nakano¹, Kazuya Yamaji¹, Tsuyoshi Misawa², Yasunori Kitamura² (1. IRID(MHI), 2. Kyoto Univercity) 4:40 PM - 4:55 PM

[1M16] Criticality control technique development for
Fukushima Daiichi fuel debris
*Yuta Shindo^{1,2}, Kazuya Ishii^{1,3}, Tsuyoshi Misawa⁴,
Yasunori Kitamura⁴ (1. International Research
Institute for Nuclear Decommissioning, 2. Toshiba
Energy Systems &Solutions Corporation, 3. HitachiGE Nuclear Energy, Ltd, 4. Kyoto University)

[1M17] Criticality control technique development for Fukushima Daiichi fuel debris

*Ryo Ishibashi^{1,3}, Kazuya Ishii^{1,3}, Toshiyuki Fujita^{2,3}, Yuta Shindo^{2,3}, Yuuichi Morimoto^{1,3} (1. Hitachi-GE Nuclear Energy, Ltd., 2. Toshiba Energy Systems &Solutions, Co, 3. International Research Institute for Nuclear Decommissioning)

5:10 PM - 5:25 PM

[1M18] Criticality control technique development for Fukushima Daiichi fuel debris *Shohei Kawano¹, Yuta Shindo¹, Tetsuji Kaneko¹ (1. Toshiba Energy Systems &Solutions Corporation) 5:25 PM - 5:40 PM

[1M19] Development of the insoluble neutron absorbers using self-assembled surfactant aggregates(2)

*Noriaki Ushio¹, Kouji Koyanagi¹, Hiroyuki Terazaki¹

(1. Kao Corporation)

5:40 PM - 5:55 PM

Room N

Oral presentation | VI. Fusion Energy Engineering | 601-1 Plasma Technology, including Inertial Confinement Fusion / 601-4 Reactor Component Technology, First Wall, Divertor, Magnet

[1N01-07] Engineering and Design for Nuclear Fusion (Heat and Mass-transfer Characteristic, Engineering Design)

Chair: Teppei Otsuka (Kindai Univ.)

10:00 AM - 11:55 AM Room N (D23 -D Building)

[1N01] Spatial Distribution of Ion Generation in a Linear-type Inertial Electrostatic Confinement **Fusion Device**

> *Tomonobu Itagaki¹, Jun Hasegawa¹, Shinnosuke Tabata¹, Eiki Hotta¹, Kei Takakura¹ (1. Tokyo Institute of Technology) 10:00 AM - 10:15 AM

[1N02] Design against Cavitation in a Downstream Conduit of the Liquid Lithium Target for IFMIF *ChangHo Park¹, Hiroo Kondo¹, Makoto Oyaizu¹, Yasushi Hirakawa², Tomohiro Furukawa² (1. National Institutes for Quantum and Radiological Science and Technology, 2. Japan Atomic Energy Agency) 10:15 AM - 10:30 AM

[1N03] Emissivity measurement on lithium-lead droplet while falling in vacuum *Fumito Okino¹, Keisuke Mukai¹, Juro Yaqi¹, Satoshi Konishi¹ (1. I.A.E. Kyoto-U.) 10:30 AM - 10:45 AM

[1NO4] Plasma-driven hydrogen isotope permeation in tungste deposition layer *Daisuke Mori¹, Kazunari Katayama¹, Satoshi Fukada¹ (1. Kyushu Univ.) 10:45 AM - 11:00 AM

[1N05] Development of tungsten laminated composite for suppresion of low-temperature brittleness *Takefumi Hazama¹, Shuhei Nogami¹, Hiroyuki Noto², Takuya Nagasaka², Takeshi Miyazawa¹, Akira Hasegawa¹ (1. Tohoku University, 2. National Institute for Fusion Science) 11:00 AM - 11:15 AM

[1N06] Evaluation on structural integrity of cylindrical blanket structure under load conditions of ITER *Wenhai Guan¹, Hyoseong Gwon¹, Hisashi Tanigawa¹, Takanori Hirose¹, Yoshinori Kawamura¹ (1. QST) 11:15 AM - 11:30 AM

[1N07] A fast discharge scheme of toroidal field coils

for a fusion demo reactor *yasuyuki Itoh¹, Hiroyasu Utoh^{2,3}, Yoshiteru Sakamoto^{2,3}, Ryoji Hiwatari^{2,3} (1. Fukui University of Technology, 2. National Institutes for Quantum and Radiological Science and Technology, 3. Joint Special Design Team for Fusion DEMO) 11:30 AM - 11:45 AM

Oral presentation | VI. Fusion Energy Engineering | 601-3 Tritium Science and Technology (Fuel Recovery and Refining, Measurement, lisotope Effect, Safe Handling)

[1N08-10] Tritium Engineering (Detritiation and Recovery Process)

Chair:Yoshimi Kasugai(JAEA) 2:45 PM - 3:35 PM Room N (D23 -D Building)

[1N08] Evaluation of production of tritiated methane in catalytic reactor of detritiation system *Yuki Edao¹, Hiroo Asahara¹, Katsumi Sato¹, Yasunori Iwai¹ (1. QST) 2:45 PM - 3:00 PM

[1N09] Study on detritiation efficiency of atmospheric detritiation system in an event of fire at fusion

> *Yasunori IWAI¹, Yuki EDAO¹ (1. National Institutes for Quantum and Radiological Science and Technology)

3:00 PM - 3:15 PM

3:15 PM - 3:30 PM

[1N10] Recovery of tritium in liquid blanket from counter-current liquid-gas flow *Satoshi Fukada¹, Kinjyo Mao¹, Nishikawa Terunori¹, Katayama Kadzunari¹, Makoto Oya¹ (1. Kyushu University)

Oral presentation | VI. Fusion Energy Engineering | 601-3 Tritium Science and Technology (Fuel Recovery and Refining, Measurement, lisotope Effect, Safe Handling)

[1N11-15] Tritium Engineering (Tritium Release Behavior)

Chair: Takumi Chikada (Shizuoka Univ.) 3:35 PM - 4:55 PM Room N (D23 -D Building)

[1N11] Tritium sorption and desorption behavior on the surface of the Li₂TiO₃ with excess Li *Haruaki Sakagawa¹, Kazunari Katayama¹, Satoshi Fukada¹, Tsuyoshi Hoshino² (1. KYUSHU Univ., 2. QST) 3:35 PM - 3:50 PM

[1N12] Tritium desorption behavior from soil immersed

in tritiated water

*Kazunari Katayama¹, Daiki Ishii¹, Toshiharu Takeishi¹, Satoshi Fukada¹ (1. Kyushu Univ.)

3:50 PM - 4:05 PM

[1N13] Behavior of tritium release from a stainless vessel of the mercury target as a spallation neutron source

> *Yoshimi Kasugai¹, Koichi Sato¹, Kazutomo Takahashi², Yukihiro Miyamoto¹, Tetsuya Kai¹, Masahide Harada¹, Kasuhiro Haga¹, Hiroshi Takada¹ (1. J-PARC Center, JAEA, 2. J-PARC Center, KEK) 4:05 PM - 4:20 PM

[1N14] Hydrogen dissolution and desorption behavior ${\rm for}\ {\rm Y\text{-}doped}\ {\rm BaCeO_3}$

*Tadahiro Iwasa¹, Kenichi Hashizume¹ (1. Kyushu Univ.)

4:20 PM - 4:35 PM

[1N15] Tritiumu release from graphite containing tritium at ambient temperature

*Masanori Hara¹, Masao Matsuyama¹, Kenji Okuno² (1. University of Toyama, 2. Shizuoka University) 4:35 PM - 4:50 PM

Permeaton and Absorption Behavior)

Oral presentation | VI. Fusion Energy Engineering | 601-3 Tritium Science and Technology (Fuel Recovery and Refining, Measurement, lisotope Effect, Safe Handling)

[1N16-19] Tritium Engineering (Tritium

Chair:Kazunari Katayama(Kyushu Univ.) 4:55 PM - 6:00 PM Room N (D23 -D Building)

[1N16] Effect of surface nitriding and peening treatments on deuterium permeation behaviors through ferritic steels

> *Teppei Otsuka¹, Tomoya Sonobe¹, Shougo Mori¹, Takayuki Umekage¹, Miho Tsuyama¹, Yuichiro Takemura¹ (1. Kindai University) 4:55 PM - 5:10 PM

[1N17] Influence of surface oxidation on deuterium permeation through reduced activation ferritic steel F82H

*Takumi Chikada¹, Keisuke Kimura¹, Jumpei Mochizuki¹, Seira Horikoshi¹, Moeki Matsunaga¹, Hikari Fujita², Kouhei Okitsu², Teruya Tanaka³, Yoshimitsu Hishinuma³, Yoshiteru Sakamoto⁴ (1. Shizuoka Univ., 2. Univ. of Tokyo, 3. NIFS, 4. QST) 5:10 PM - 5:25 PM

[1N18] Radial distribution of hydrogen atoms from RF

discharge tube

*Shintaro Nakano¹, Daisuke Yuki¹, Ikuji Takagi¹ (1. Kyoto Univ.)

5:25 PM - 5:40 PM

[1N19] Study on the structure of Li rod using Zr particles for T-production in HTGR

*Ryo Okamoto¹, Hideaki Matsuura¹, Yuki Koga¹,
Takuro Suganuma¹, Kazunari Katayama², Teppei
Otsuka³, Minoru Goto⁴, Shigeaki Nakagawa⁴, Estuo
Ishitsuka⁴, Kenji Tobita⁵ (1. Kyushu Univ.
Engineering, 2. Kyushu Univ. Interdisciplinary
Graduate School of Engineering Science, 3. Kindai
Univ. Faculty of Science and Engineering, 4. JAEA, 5.
QST)

5:40 PM - 5:55 PM

Room O

Oral presentation | I. General Issues | General Issues

[1009,01-05] Communication

Chair: Yasuhisa Oya (Shizuoka Univ.)

10:15 AM - 11:55 AM Room O (D25 -D Building)

[1009] Strategic Emergency Decision-making and Role of Real-time Disaster Damage Prediction System

> *Kohta Juraku¹, Shin-etsu Sugawara² (1. Tokyo Denki Univ., 2. CRIEPI) 10:15 AM - 10:30 AM

[1001] Social value-orientation for science and technology, and nuclear risk communication

*Reiko Kuwagaki¹ (1. Central Research Institute of Electric Power Industry Socio-economic Research Center)

10:30 AM - 10:45 AM

[1002] Visit of the underground research center by Nuclear critics and ther opinion changes.

*Shinji Mitani¹ (1. Nuclear Communications)

10:45 AM - 11:00 AM

[1003] Dialogue with college students on geological disposal of high-level radioactive waste

*Naoki Yamano¹ (1. Radiation Dose Analysis and Evaluation Network)

11:00 AM - 11:15 AM

[1004] Interest of high-level radioactive waste disposal in dialogue of university student *Sachiyo Kamimura¹, Yoshimi Kawamoto¹ (1. University of fukui) 11:15 AM - 11:30 AM

[1005] Comprehensive evaluation system for ¹³⁷Cs migration and radiation levels in Fukushima Prefecture

*Fumiya Nagao¹, Akihiro Kitamura¹, Hiroshi Saito¹, Hiroshi Tamiya¹, Takeshi Matsubara¹ (1. Japan Atomic Energy Agency) 11:30 AM - 11:45 AM

Oral presentation | I. General Issues | General Issues

[1006-09] Nuclear Policy

Chair:Tetsuo Sawada(Tokyo Tech)

2:45 PM - 3:50 PM Room O (D25 -D Building)

[1006] Nuclear-Biomass Hybrid System 2 for Electricity Demand Fluctuation

> *Hoseok Nam¹, Keisuke Mukai¹, Satoshi Konishi¹ (1. Kyoto University)

2:45 PM - 3:00 PM

[1007] Market Possibility of Nuclear-Biomass Hybrid System 2

> *satoshi konishi¹, nam hoseok¹, shutaro takeda², keisuke mukai¹ (1. IAE,Kyoto University, 2. Graduate School of Advanced Integrated Studies in Human Survivability, Kyoto University)

3:00 PM - 3:15 PM

[1008] Clarifying the logical structure of court discussion on nuclear safety from analyzing judicial decisions about nuclear power plants *Go Kikuchi¹, Tuyoshi Takada¹ (1. Unuversity of Tokyo)

3:15 PM - 3:30 PM

Oral presentation | I. General Issues | General Issues

[1O10-13] Human Resource Development Chair:Satoshi Konishi(Kyoto Univ.)

3:50 PM - 4:55 PM Room O (D25 -D Building)

[1010] Improvement of the severe accident practice tool

*IKUO KAWASAKI¹, AKIRA NAKAMURA¹, SHUNSUKE TAKAHASHI² (1. Institute of Nuclear Safety System, Incorporated, 2. The Kansai Electric Power co.,inc.) 3:50 PM - 4:05 PM

[1011] Effect of energy environmental education for university students

*Shinichi Oiso¹ (1. INSS)

4:05 PM - 4:20 PM

[1012] Present status and future prospective for human resource development of radiation safety specialist

*Yasuhisa Oya¹, Kenji Okuno¹, Yuji Hatano², Kazunari Katayama³, Akihiro Nohtomi³, Kenichi Hashizume³, Masanori Hara² (1. Shizuoka Univ., 2. Univ. of Toyama, 3. Kyushu Univ.)
4:20 PM - 4:35 PM

[1013] Analysis of the structure of *Genshiryoku-mura* toward a paradigm shift of consensus building (7)

*Tetsuo Sawada¹, Mask Bando² (1. Tokyo Institute of Technology, 2. NPO JEIN) 4:35 PM - 4:50 PM

Oral presentation | I. General Issues | General Issues

[1014-16] Nuclear Non-proliferation and Nuclear Security

Chair: Yoshiki Kimura(JAEA) 4:55 PM - 5:45 PM Room O (D25 -D Building)

[1014] Current Activities of Human Capacity Building Support by ISCN/JAEA

*Mitsutoshi Suzuki¹, Naoko Noro¹, Yosuke Naoi¹ (1. Japan Atomic Energy Agency, Integrated Support Center for Nuclear Nonproliferation and Nuclear Security)

4:55 PM - 5:10 PM

[1015] A study on how to simultaneously promote and strengthen nuclear nonproliferation and nuclear security

> *Takashi Kimura¹, Ryo Shimizu¹, Makiko Tazaki¹, Hiroshi Tamai¹, Kazunori Suda¹ (1. Japan Atomic Energy Agency)

5:10 PM - 5:25 PM

[1016] A study on how to simultaneously promote and strengthen nuclear nonproliferation and nuclear security

> *ryo shimizu¹, takashi kimura¹, makiko tazaki¹, hiroshi tamai¹, kazunori suda¹ (1. Japan Atomic Energy Agency)

5:25 PM - 5:40 PM

Room P

Oral presentation | IV. Nuclear Plant Technologies | 403-1 Risk Assessment Technology, Application of Risk Information

[1P01-07] PRA Methodology

Chair:Katsumi Ebisawa(CRIEPI) 10:00 AM - 11:55 AM Room P (E21 -E Building)

[1P01] Internal Flooding PSA of ABWR *Kyohei Echizen¹, Yuki Ishiwatari², Daichi Shiota², Takashi Sumikawa² (1. Hitachi Industry &Control Solutions, Ltd., 2. Hitachi-GE Nuclear Energy, Ltd.)

10:00 AM - 10:15 AM

[1P02] Establishment of Internal Fire PRA Guide for Japanese NPPs

> *Tsuyoshi Uchida¹, Koji Shirai¹, Hiroyuki Takeuchi², Shingo Oda³, Kohei Sugita⁴ (1. NRRC, CRIEPI, 2. Toshiba, 3. Hitach GE Nuclear Energy, 4. MHI) 10:15 AM - 10:30 AM

[1P03] Development of internal event (level 1) MUPRA evaluation method

*Hiromichi Miura¹, Ryou Inomata¹, Kenichi Kanda¹,

Tomoaki Yoshida¹ (1. CRIEPI NRRC)

10:30 AM - 10:45 AM

[1P04] Development of internal event (level 1) MUPRA evaluation method

*Ryou Inomata¹, Hiromichi Miura¹, Kenichi Kanda¹, Tomoaki Yoshida¹ (1. criepi NRRC) 10:45 AM - 11:00 AM

[1P05] Research on Dynamic PRA methodology considering dependencies of Multi-unit nuclear power plant

*Kakeru Asano¹, Akira Yamaguchi¹, Sunghyon Jang¹ (1. Univ. of Tokyo)

11:00 AM - 11:15 AM

[1P06] Development of Seismic-Tsunami PRA methodology

*Hirohisa Yamakawa¹, Hitoshi Muta¹, Yasuki Ohtori¹
(1. Tokyo City University)

11:15 AM - 11:30 AM

[1P07] Examples of PRA application to the prioritization of measures for safety enhancement at nuclear power plant

*Kenichiro Ikuno¹, Norihiro Ohara¹, Hirohisa Tanaka¹

(1. The Kansai Electric Power CO.,INC.)

11:30 AM - 11:45 AM

Oral presentation | IV. Nuclear Plant Technologies | 403-1 Risk Assessment Technology, Application of Risk Information

[1P08-13] Seismic Counter Measures against Cliff
Edges

Chair:Tsuyoshi Uchida(CRIEPI) 2:45 PM - 4:25 PM Room P (E21 -E Building)

- [1P08] Development of seismic counter measures against cliff edges for enhancement of comprehensive safety of nuclear power plants *Tsuyoshi Takada¹, Tatsuya Itoi¹, Takenori Hida¹, Hitoshi Muta², Osamu Furuya³, Keisuke Minagawa⁴, Hidemasa Yamano⁵, Akemi Nishida⁵ (1. The University of Tokyo, 2. Tokyo City University, 3. Tokyo Denki University, 4. Saitama Institute of Technology, 5. Japan Atomic Energy Agency)

 2:45 PM 3:00 PM
- [1P09] Development of seismic counter measures
 against cliff edges for enhancement of
 comprehensive safety of nuclear power plants
 *Hitoshi Muta¹, Yasuki Ohtori¹, Ken Muramatsu¹,
 Tsuyoshi Takada², Tatsuya Itoi² (1. Tokyo City
 University, 2. The University of Tokyo)
 3:00 PM 3:15 PM
- [1P10] Development of seismic counter measures against cliff edges for enhancement of comprehensive safety of nuclear power plants

 *Akemi Nishida¹, Byunghyun Choi¹, Hidemasa Yamano¹,
 Tsuyoshi Takada² (1. JAEA, 2. The Univ. of Tokyo)
 3:15 PM 3:30 PM
- [1P11] Development of seismic counter measures against cliff edges for enhancement of comprehensive safety of nuclear power plants *Keisuke Minagawa¹, Satoshi Fujita², Osamu Furuya², Tsuyoshi Takada³ (1. Saitama Institute of Technology, 2. Tokyo Denki University, 3. The University of Tokyo)

 3:30 PM 3:45 PM
- [1P12] Development of seismic counter measures against cliff edges for enhancement of comprehensive safety of nuclear power plants *Hidemasa Yamano¹, Akemi Nishida¹, Byunghyun Choi¹, Tsuyoshi Takada² (1. JAEA, 2. Univ. of Tokyo) 3:45 PM 4:00 PM
- [1P13] Development of seismic counter measures against cliff edges for enhancement of comprehensive safety of nuclear power plants *Takenori Hida¹, Atsushi Ohno¹, Tatsuya Itoi¹, Tsuyoshi Takada¹ (1. The University of Tokyo) 4:00 PM 4:15 PM

Oral presentation | IV. Nuclear Plant Technologies | 403-1 Risk Assessment Technology, Application of Risk Information

[1P14-19] Fault Displacement PRA

Chair:Hidemasa Yamano(JAEA) 4:25 PM - 6:00 PM Room P (E21 -E Building)

[1P14] Improvement of Fault Displacement PRA

Methodology and Example of its Application to a

Hypothetical NPP

*Katsumi Ebisawa¹, Hideaki Tsutsumi¹, Toshi Sakai¹, Futoshi Tanaka², Ryusuke Haragushi², Tetsuhiro Gou², Kunihiko Sato³, Huji Nikaido⁴, Yoshinori Mihara⁴, Shinichi Yoshida⁵ (1. Central Research Institute of Electric Power Industry, 2. MHI, 3. MHI Nuclear Systems Solution Engineering, 4. Kajima, 5. Obayashi) 4:25 PM - 4:40 PM

[1P15] Improvement of Fault Displacement PRA

Methodology and Example of its Application to a

Hypothetical NPP

*hideaki tsutsumi¹, sakai toshiaki¹, yuyama ayumi¹, ebisawa katsumi¹, mihara yoshinori², nikaido yuji², haraguchi ryusuke³ (1. Central Research Institute of Electroric Power Indutry, 2. kajima Copration, 3. Mitsubishi Heavy Industries) 4:40 PM - 4:55 PM

[1P16] Improvement of Fault Displacement PRA

Methodology and Example of its Application to a

Hypothetical NPP

*Yuji Nikaido¹, Yoshinori Mihara¹, Hideaki Tsutsumi², Ayumi Yuyama², Toshiro Sakai², Katsumi Ebisawa², Ryusuke Haraguchi³ (1. Kajima Corporation, 2. CRIEPI, 3. Mitsubishi Heavy Industry) 4:55 PM - 5:10 PM

[1P17] Improvement of Fault Displacement PRA

Methodology and Example of its Application to a

Hypothetical NPP

*Futoshi Tanaka¹, Manabu Miyata¹, Ryusuke Haraguchi¹, Kunihiko Sato⁴, Shinichi Yoshida³, Hideaki Tsutsumi², Toshiaki Sakai², Katsumi Ebisawa² (1. MHI, 2. CRIEPI, 3. Obayashi, 4. MHINSS) 5:10 PM - 5:25 PM

[1P18] Improvement of Fault Displacement PRA

Methodology and Example of its Application to a
Hypothetical NPP

*Ryusuke Haraguchi¹, Tetsuhiro Gou¹, Kunihiko Sato², Shinichi Yoshida³, Hideaki Tsutsumi⁴, Toshiaki Sakai⁴, Katsumi Ebisawa⁴ (1. Mitsubishi Heavy Industries, LTD., 2. MHI Nuclear Systems And Solution Engineering Co., Ltd, 3. OBAYASHI Corp., 4. Central Research Institute of Electric Power Industry) 5:25 PM - 5:40 PM

[1P19] Investigation and Consideration about Risk
Evaluation by Fault Displacements for Nuclear
Facilities(2)

*Masanobu Kamiya¹, Kouichi Kamiya¹, Tsutomu Ogawa¹
(1. JAPC)
5:40 PM - 5:55 PM

Oral presentation | II. Radiation, Accelerator, Beam and Medical Technologies | 202-2 Radiation Physics, Radiation Detection and Measurement

[1A01-04] Measurement Technique

Chair:Ryoichi Taniguchi(OPU)

Wed. Sep 5, 2018 10:00 AM - 11:05 AM Room A (B11 -B Building)

- [1A01] Design and fabrication of beam profile monitor for large current proton accelerator
 - *Keisuke Abo¹, Kazuki Tsuchida¹, Sachiko Yoshihashi¹, Akira Uritani¹, Kenichi Watanabe¹ (1. Nagoya Univ.)

10:00 AM - 10:15 AM

- [1A02] Study on radiation measurement by plastic scintillation fiber for evaluation of radioactive concentration of contaminated rubbles *Taro Shimada¹, Masakazu Namekawa¹, Shizuka Takai¹, Seiji Takeda¹ (1. JAEA) 10:15 AM 10:30 AM
- [1A03] Basic examination of a new nuclear instrumentation system using incore neutron-induced prompt gamma ray

*Koichi Okada¹, Takahiro Tadokoro¹, Atsushi Fushimi¹, Shun Sekimoto², Tsutomu Ohtsuki² (1. Hitachi, Ltd., 2. KURNS)

10:30 AM - 10:45 AM

[1A04] A rapid-detection method for radioactive cesium in the air

*Tatsuyuki Maekawa¹, Yuji Oshima¹ (1. Toshiba Power Systems Radiation Techno-Service Co., Ltd.)

10:45 AM - 11:00 AM

大電流陽子加速器におけるビームプロファイルモニタの設計・製作

Design and fabrication of beam profile monitor for large current proton accelerator *阿保 圭祐 ¹, 土田 一輝 ¹, 吉橋 幸子 ¹, 渡辺賢一 ¹, 山﨑淳 ¹, 瓜谷章 ¹ ¹ 名古屋大学

現在名古屋大学では、BNCT 用加速器型中性子源のための Dynamitron 加速器が設置され調整中である。ターゲットへ適切にビームを照射するため、加速器からの陽子ビームのプロファイルをモニタリングすることは重要である。本研究では、Dynamitron 加速器からの大電流(15 mA)ビームを測定可能な BPM を設計・製作し、動作確認を行った。

キーワード: ホウ素中性子捕捉療法,加速器,ビームプロファイルモニタ

1. 緒言

名古屋大学では、加速器中性子源を用いた BNCT システムの開発を行っている。IBA 社製 Dynamitron 加速器は、最大エネルギー2.8 MeV、最大電流 15 mA の低エネルギーかつ大電流の陽子ビームを出力する。陽子ビームを適切にターゲットへ照射し、中性子を得るためには、ビーム軌道やエミッタンスを知ることは重要であり、一般にワイヤスキャナモニタ(以下 WSM)が用いられる。既存の WSM は、ビームにワイヤを通過させることでビーム電流を取得し、ビーム分布を取得するものであるが、熱負荷の影響により大電流での測定が困難である。そのため、本研究では大電流ビームを測定可能な WSM の開発を行った。

2. WSM システム構成

ワイヤ材料の選定では、高融点物質の中でも特に融点が高く、またワイヤ加工が可能であるタングステン(W)を採用した。しかし、ワイヤ材料のみでビームからの熱負荷等の課題を解決することは難しいため、動作システムの検討を行った。ビーム照射によるワイヤの温度上昇に伴い熱電子が発生し、正確なプロファイルの取得が難しくなる。そのため、熱拡散・輻射を考慮し、温度上昇を抑えることが可能な動作速度を計算し、高速動作が可能な WSM システムの構築を行った。図 1 に構築した WSM の概略図を示す。モ

ーターにより 180° 回転する間に、ワイヤはビーム管内の 82 mm×82 mm の領域をスキャンし、ワイヤを通して陽子ビーム電流を取得する。回転速度は 204 rpm であり、これによりワイヤの温度上昇を 800 K以下に抑えることが出来る。電子ビームを用いた予備実験において、ワイヤ上昇温度が約 1500 K以上で熱電子の影響が確認されており、800 K以下に抑えることで十分な計測が出来る。

3. 実験方法

WSM システムを Dynamitron 加速器のビームラインに 設置し、陽子ビーム電流を計測し、プロファイルを取得 する。さらに、WSM システムの下流側に冷却付きの銅板

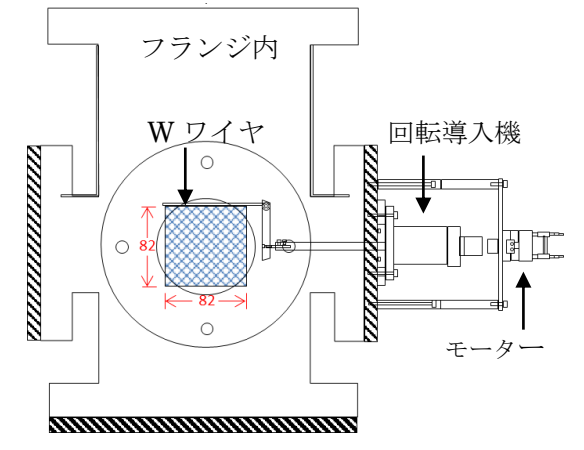


図1回転式 WSM の概略図

ターゲットを取りつけ、ビームの熱負荷による銅板の温度分布を赤外線カメラにより測定する。温度分布と WSM によって得られたプロファイルを比較し、本システムの整合性を確かめる。

^{*}Keisuke Abo¹, Kazuki Tsuchida¹, Sachiko Yoshihashi¹, Kenichi Watanabe¹ and Atsushi Yamazaki¹, Akira Uritani¹

¹Nagoya Univ.

放射能濃度評価のためのシンチレーションファイバーによる測定方法の検討

Study on radiation measurement by plastic scintillation fiber for evaluation of radioactive concentration of contaminated rubbles

*島田 太郎 ¹、 行川 正和 ¹、高井 静霞 ¹、武田 聖司 ¹ 日本原子力研究開発機構 安全研究センター

東京電力福島第一原子力発電所で発生した低濃度がれきの限定再利用に向け、多点数の測定データが取得可能なシンチレーションファイバーを用いた測定方法を検討した。

キーワード:シンチレーションファイバー、福島第一原子力発電所、がれき、再利用、放射能濃度

- 1. **緒言**:福島第一原子力発電所敷地内に保管される低濃度汚染がれき類を資源化して敷地内のある特定用途に限定して再利用することが検討されている。再利用にあたり、資源化物がめやす濃度口を超えないこと、及び、濃度のばらつきが小さいことを測定によって確認する必要がある。そこで本研究では、多点数の測定データを取得可能なプラスチックシンチレーションファイバー (PSF) を用いた放射線測定と逆解析手法により対象物の放射能濃度とその分布を評価できる方法の整備を目指し、PSF による資源化物を対象とした測定方法の検討を行った。なお、PSF は全ガンマ線測定であるが、測定対象とする核種は Cs-137 とし、資源化物中でのガンマ線の非弾性散乱を想定して、低エネルギーガンマ線も考慮することとした。
- 2. PSF の特性: PSF にはテクノエーピー社製 D-phod の 10m 長さファイバーバンドル 7 本タイプを使用した。コイン型 Cs-137 密封線源を PSF に密着させて計数したところ、線源位置に計数ピークが現れ、飛行時間法による位置検出であることからピークの半値幅は 95cm となった。また、エネルギー校正用の密封線源を用いて同様に測定した結果、ガンマ線エネルギーが 320keV 以下で低下するにつれて、検出効率が減少した。このとき、計数ピーク位置が線源位置よりも PSF 長さ方向でプラス側に移動した。低エネルギーで発光量の少ないガンマ線に対し、Cs-137 で校正された D-phod の適用範囲を超えたものと考えられる。
- 3. 測定体系の構築: 資源化したがれきを模擬した砕石中に Cs-137 密封線源を配置した $50cm \times 50cm \times 40cm$ 高さのアクリル容器内の模擬資源化物周囲を、図 1 のように、らせん状に取り囲む形で 10m 長さの PSF を設置し、容器を水平移動及び回転させ 6 面全ての放射線測定を実施した。砕石は 10cm 角のアクリルボックスに密度が $1.63g/cm^3$ になるように詰め、密封線源を収納するボックスにはその中心に線源を配置した。
- 4. 測定シミュレーション: 同体系を対象にモンテカルロシミュレーションコード MCNP5 によって PSF 各

検出位置におけるガンマ線エネルギー別のフラックスを解析した。PSF 検出位置はレーザー計測により 3 次元座標を取得し、長さ 10cm 直径 2cm の体積検出器として設定した。本解析結果に対し、長さ方向については計数ピークを半値幅 95cmとしたガウス関数補正するとともに、ガンマ線エネルギーに応じた検出効率と位置ずれについて補正を行った。また、PSF計数率測定結果と比較して、検量線 y=0.07468x を設定した。

5. 結果: 図 2 に(x, y, z)=(5, 15, 35)位置に 1.04MBq の Cs-137線源を配置した場合の容器位置 No.1~3 の測定結果と解析結果の比較を示す。各位置での測定時間は 10 分とした。ピーク位置で最大 30%程度の差が現れる場合もあるが、測定結果と解析結果がおおむね一致した。解析によって得られた単位線源に対する PSF 応答関数ライブラリと PSF 測定結果に基づいて ML-EM 法を用いた逆解析を試行したところ、容器全体の放射能濃度及びその分布がほぼ一致した。以上の結果から、PSF による多点数測定により、資源化物の放射能濃度を推定できる可能性が示された。

参考文献:[1] 三輪ほか、原子力学会秋の大会 2016, 1I08

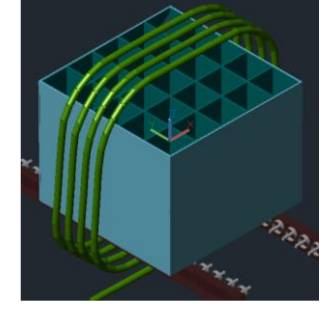


図 1 PSF を用いた測定体系の例(位置 No.2)

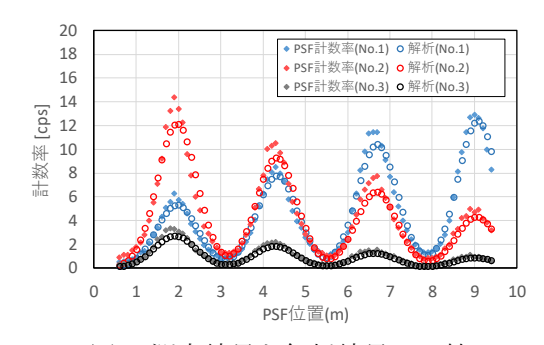


図2 測定結果と解析結果の比較

^{*}Taro Shimada¹, Masakazu Namekawa¹, Shizuka Takai¹ and Seiji Takada¹

¹ Nuclear Safety Research Center, Japan Atomic Energy Agency,

本研究は原子力規制委員会原子力規制庁「平成29年度廃棄物の限定再利用に関する検討」として実施したものである。

炉内中性子誘導即発ガンマ線による核計装システムの基礎検討

Basic examination of a new nuclear instrumentation system

using incore neutron-induced prompt gamma ray

*岡田 耕一¹, 田所 孝広¹, 伏見 篤¹, 関本 俊², 大槻 勤²¹日立, ²京大複合研

核分裂物質を用いずに炉内局所出力を監視する方法を考案した。計装管内に設置した金属と中性子の反応によって放出されるガンマ線を計測し、金属位置ごとの中性子束を監視する。中性子照射試験を実施し、6 MeV 以上のガンマ線エネルギ分析から局所出力監視に必要な4種金属を同定可能であることを確認した。キーワード:核計装、中性子、即発ガンマ線

1. 緒言

核計装で用いられる中性子検出器は核分裂電離箱である。核分裂電離箱により原子炉定格運転時の線量率環境で中性子とガンマ線を分けて計測することは難しい。そこで精度向上のために中性子のみを計測可能な手法を考案した。本手法では計装管内に複数種類の金属を配置し、炉外にガンマ線検出器を設置する。中性子との核反応によって金属の種類ごとに固有のエネルギの即発ガンマ線が放出される。計測されたガンマ線のエネルギから金属設置位置を同定し、計数率から中性子束を推定することで局所出力を監視する。

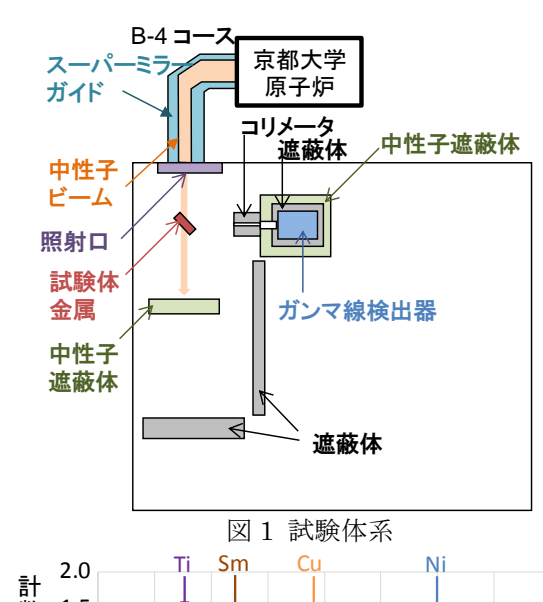
2.成立性確認

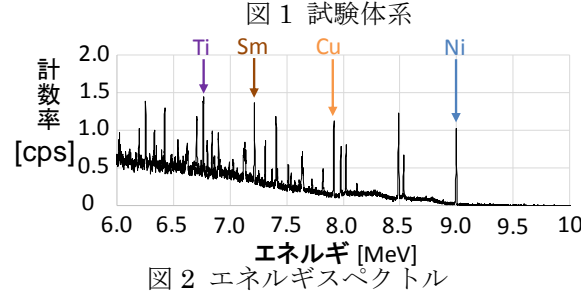
2-1. 金属の選定

計装管内に設置する金属として、沸騰水型原子炉の局所出力領域モニタの軸方向監視位置と同数の 4 種の金属を選定する必要がある。崩壊ガンマ線などのバックグラウンドに埋もれないように 6 MeV 以上の即発ガンマ線を放出する金属を抽出し、中性子捕獲反応断面積およびガンマ線放出率から Sc, Ti, V, Ni, Cu, Sm の 6 種を候補金属として選定した。

2-2. 中性子照射試験

選定した金属を用いた中性子照射試験を京大複合研(旧原子炉実験所)の B-4 照射孔で実施した。試験体系を図 1に示す。試験体金属に中性子(10⁷/cm²/s)を照射し,発生した即発ガンマ線を中性子ビームの進行方向から 90°の方向に設置した高純度ゲルマニウム半導体検出器(HPGe)で測定した。6 MeV 以上のエネルギ範囲では中性子捕獲反応に起因した即発ガンマ線による全吸収ピークおよびエスケープピークが見られたが,その他の核反応に伴う成分は見





られなかった。6 MeV 以上のエネルギスペクトル(図2)から4種金属由来のガンマ線のピークを同定できることを確認し、HPGeのエネルギ分解能によって本手法が成立する見通しを得た。

3. 結論

核計装に用いられる核分裂電離箱に代わる新たな出力監視手法を考案した。中性子照射試験を実施し、本手法により 6 MeV 以上の即発ガンマ線で 4 点の中性子束の監視が可能である見通しを得た。

*Koichi Okada¹, Takahiro Tadokoro¹, Atsushi Fushimi¹, Shun Sekimoto² and Tsutomu Otsuki²

¹Hitachi Ltd., ²KURNS

空気中を浮遊する放射性物質の早期検知手法に関する検討(その3)

-帰還困難区域におけるフィールド試験結果-

Rapid detection method of radioactive particles in the atmosphere

The field tests in "Difficult-to-return zone" and final evaluations —

*前川 立行 ¹, 大島 雄志 ¹

東芝電力放射線テクノサービス(TRS)

これまでに我々は、天空側に開口した遮蔽体を持つNaI(TI)シンチレーションスペクトロメータを用いた、空気中放射性セシウムの早期検知方式を提案してきた。今回は、これまで開発・改良を進めてきた当該装置を帰還困難区域に仮設し、フィールド試験により性能実証を行った。その結果、従来型環境 γ 線モニタに於いて議論となる、天然放射性核種の降雨・日変動影響は極めて小さく、実環境においても、設計性能を安定的に維持できる事を実証した。キーワード:放射性セシウム、空気中放射能濃度、早期検知、監視、 γ 線、スペクトロメータ、帰還困難区域

1. 緒言

東京電力福島第一原子力発電所の廃炉作業や中間貯蔵事業と隣接する帰還困難区域に於いては、万が一の放射性セシウムの大規模再飛来リスクに対し、区域内立ち入り者の内部被ばく回避の観点から、異常事象の早期検知手法の確立が極めて重要である。このため我々は、これまでに第3の監視装置ともいうべき、空気中放射性セシウムを対象とした早期検知技術の開発を進めてきた 1230。これまでに帰還困難区域のバックグラウンド条件で適用可能な装置を開発してきたが、今回は装置を当該区域で連続測定を行い、性能実証を行った。

2. フィールド試験の目的と概要

従来型の環境γ線モニタでは、天然放射性核種(ラドントロン)の日変動や降雨変動により、明らかな線量率指示値変動が生じる事が知られている。本装置では、空気中の僅かな放射性セシウムの存在を検知するため、この様な自然変動の影響が小さい事が好ましく、この点についての性能実証を主目的とした。2 t トラックの荷台に装置一式を搭載し、10~11 月の約3週間、大熊町スポーツセンター駐車場で連続測定を行った。

3. 測定:評価結果

- ・日変動について図1に測定結果を示す。試験期間中、終日に亘り降雨の無かった4日について、Cs-137領域の総計数をプロットしたものである。これからみて明らかな様に、昼夜の地表面温度・空気対流に起因するラドントロン濃度の変動影響は殆ど見られない事を確認した。
- ・降雨変動については、試験期間中数回の降雨について評価した。特に 11/4,11/14 は雨量が多く、図 2 に示す様に、Cs-137 領域総計数が一時的に増加した。スペクトルに対しピーク探索を行ったところ、Bi-214(609keV)と定性されるピークが一時的に観測された。これは、空気中 Bi-214 が雨で降下し、検出器カバーに付着したものと考えられる。11/14 の例では、15:50 頃の降雨終了で総計数は最大値に達し、以降、Pb-214 と Bi-214 の放射平衡に基づく減衰特性に従い減衰する事を確認した。これにより、ピーク探索による Cs-137 誤検知の回避ができる事、これによる検出限界の上昇は、実用上、無視し得るレベルである事を確認した。

4. まとめ

これまでの開発検証と、今回のフィールド試験の結果、本方式が帰還困難区域における大規模なセシウム再飛来の早期検知に有効で、かつ実用的な監視手段である事を確認した。

なお、本研究内容は、中間貯蔵・環境安全事業株式会社から委託された「平成 29年度除染土壌等の減容等技術実証事業」で実施した成果の一部を含んでいる。

<参考文献>

- 1) 前川、大島、他、日本原子力学会 2016 年秋の大会予稿集 2002
- 2) 前川、大島、他、日本原子力学会 2017 年春の年会予稿集 ID 12
- 3) T.Maekawa, Y.Oshima, J.Nucl. Sci. and Tech., Vol.55, No.2, 181-191, 2018

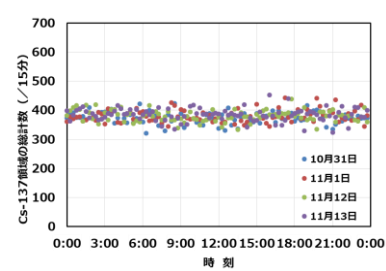


図1 日変動の確認

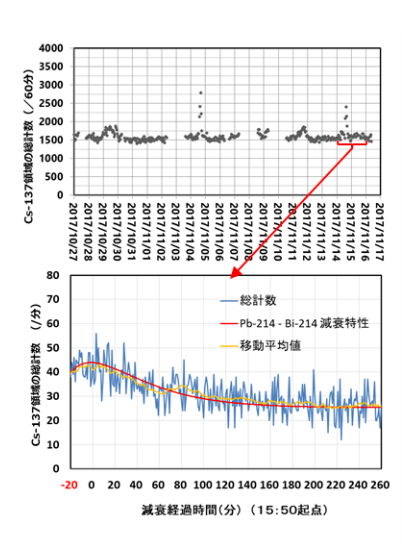


図2 降雨変動の確認

^{*}Tatsuyuki Maekawa¹, Yuji Oshima¹, Toshiba Power Systems Radiation Techno-Service Co., Ltd.

Oral presentation | II. Radiation, Accelerator, Beam and Medical Technologies | 202-2 Radiation Physics, Radiation Detection and Measurement

[1A05-07] Neutron Measurements

Chair:Tsuyoshi Misawa(Kyoto Univ.)

Wed. Sep 5, 2018 11:05 AM - 11:55 AM Room A (B11 -B Building)

[1A05] Development of energy-discriminated measurement of neutron flux with boron absorber for BNCT

*Hiroyuki Miyamaru¹, Takehiro Yamamoto¹, Isao Murata², Takao Kojima¹, Ryoichi Taniguchi¹ (1. Osaka Pref. Univ., 2. Osaka Univ.)

11:05 AM - 11:20 AM

[1A06] Development of a neutron moisture meter which applied LiF/CaF2 neutron detector

*TAKAHIRO TADOKORO¹, Katsunori Ueno¹, Koichi Okada¹, Kenichi Asami², Yukiya Hattori², Itaru Miura³ (1. Hitachi, Ltd., 2. Hitachi Power Solutions Co., Ltd., 3. Mitsubishi Chemical Co., Ltd.)

11:20 AM - 11:35 AM

[1A07] Development of neutron scintillator detector and neutron measuring system working under high gamma dose environment

*Yoichi Sakuragi¹, Yuichi Ikeda², Kentaro Fukuda², Katsuyuki Takagi³, Hisashi Morii³, Akifumi Koike³, Yuho Hirata⁴, Akihisa Ishikawa⁴, Kenichi Watanabe⁴ (1. TEPCO Holdings, Inc., 2. Tokuyama Corporation, 3. ANSeeN Inc., 4. Nagoya University)

11:35 AM - 11:50 AM

1A05 2018年秋の大会

BNCT 加速器中性子源に対するホウ素吸収体を用いた エネルギー群別中性子東計測法の開発

Development of energy-discriminated measurement of neutron flux with boron absorber for BNCT accelerator neutron source

*宮丸 広幸¹, 山本 雄大¹, 村田 勲², 小嶋 崇夫¹, 谷口 良一¹ ¹阪府大院, ²阪大院

p-Li 反応を原理とした BNCT 用加速器中性子源からの中性子束をエネルギー群ごとに評価可能な検出法を開発している。モンテカルロシミュレーションの計算結果により、10 cm 厚程度の窒化ホウ素板を中性子吸収体として用い、中性子による計数を吸収体の厚みの関数として得ることで、熱外と高速の中性子束を概ね分離できることが分かった。またエネルギー群ごとの中性子束を推定するための各種手法について検討した。

キーワード: BNCT,加速器中性子源,中性子計測,モンテカルロシミュレーション

1. 緒言

中性子による新しいガン治療法であるホウ素中性子捕捉療法 (BNCT) では、熱外中性子束は当然のことながら、同時に含まれる高速成分、熱成分についても正確に測定・評価することが重要である。我々は p-Li 核反応を原理とした BNCT 用加速器中性子源からの中性子束をエネルギー群ごとに計測、評価可能な検出器の開発を行っている。本講演では計測の原理ならびに評価法についてモンテカルロシミュレーションによる計算結果を中心に紹介する。

2. 計測法の原理

2.1. 中性子束の計測

これまでの先行研究にてヘリウム 3 やフッ化ホウ素ガス等を中性子吸収体として 1/v 法則に従い中性子束が減少する特徴を利用して、エネルギー成分ごとに中性子束を弁別しその量を評価する手法を提案してきた。本研究では吸収体に新たに窒化ホウ素粉末を用い、銀活性硫化亜鉛シンチレーターと組み合わせ、 $B-10(n,\alpha)$ Li-7 反応によるアルファ線を計測する方式を考案し検出器を製作した。高線量場やガンマ線の影響に対応するため、シンチレーターの発光は集光レンズで集められ、光ファイバーに導入、伝送され、遠方に設置された光電子増倍管で計測する。

2.2. エネルギー群ごとの中性子束の推定

本研究では 1/v 法則が適用される範囲の中性子束を対象としておよそ 800keV 程度を計測可能エネルギーの上限としている。実験では吸収体の厚さを変更しながら中性子計数率の変化を測定する。あらかじめモンテカルロシミュレーション計算にて導出された厚さ位置ごとの反応率データ、すなわち応答関数と計数率データから逆問題を解くことでエネルギー群ごとの中性子束を推定する。現在、この解法では勾配降下法やベイズ推定法を試みており、エネルギー群数を 5 つ程度の場合には良好な結果が得られている。

^{*}Hiroyuki Miyamaru¹, Takehiro Yamamoto¹, Isao Murata², Takao Kojima¹ and Ryoichi Taniguchi¹

¹Osaka Pref. Univ., ²Osaka Univ.

LiF/CaF2 中性子検出器を適用した中性子水分計の開発

Development of a neutron moisture meter which applied LiF/CAF2 neutron detector

*田所 孝広¹, 上野 克宜¹, 岡田 耕一¹, 浅見 研一², 服部 行也², 三浦 到³

1日立製作所 研究開発グループ,2日立パワーソリューションズ,3三菱ケミカル

プラント配管の外面腐食検査に、Cf-252 中性子線源と He-3 中性子検出器を用いた中性子水分計が適用 されている。今回、LiF/CaF2 中性子検出器を適用した中性子水分計の試作、基礎性能評価試験を実施 したので、その結果を報告する。

キーワード:中性子水分計,配管,外面腐食,He-3中性子検出器,LiF/CaF2中性子検出器

1. 緒言

中性子水分計は、中性子源から放出される高速中性子が、水分中の水素との多重弾性散乱によりエネルギを失い熱中性子化することを利用し、高速中性子の照射方向と逆の方向に散乱されてきた熱中性子を測定することで水分を検出する方式の水分計である。従来中性子水分計用に使用されている He-3 中性子検出器は100%輸入に頼っており、安定供給の観点からも代替の検出器が望まれている。

2. 試験概要

図1に試作中性子水分計の試験体系を示す。試作中性子水分計は,従来の中性子水分計と基本的構造を同じものとし,He-3 中性子検出器に変えて,Li を高濃度化した LiF/CaF2 シンチレータと μ PMT を組合せることで小型化を図ったLiF/CaF2 中性子検出器を適用した。Cf-252中性子線源から発生する中性子を中性子減速材で減速させた後,測定対象物(水分)に照射し,照射方向に対して後方に散乱する中性子を測定した。検出器が水分を見込む側に中性子遮蔽体を設け,水分量に対する遮蔽体無しと有りの時の計数率の差分値を評価した。

3. 試験結果·考察

水分量に対する計数率の差分値の測定結果を図 2 に示す。計数率の差分値と水分量が比例しておりLiF/CaF2 中性子検出器を適用することで、水分検知が可能なことを確認した。また、その傾きから、従来のHe-3 中性子検出器を用いた中性子水分計と同程度の水分検知性能を有することが確認できた。

測定対象物(水分)

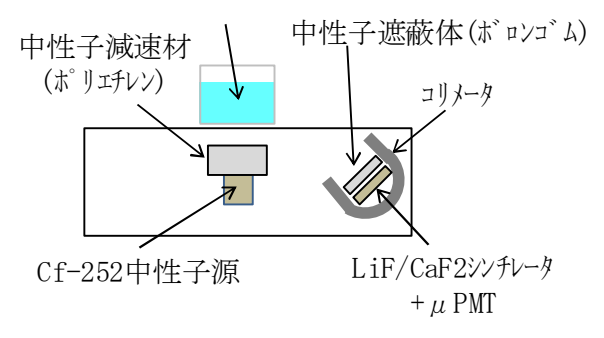


図1 試験体系

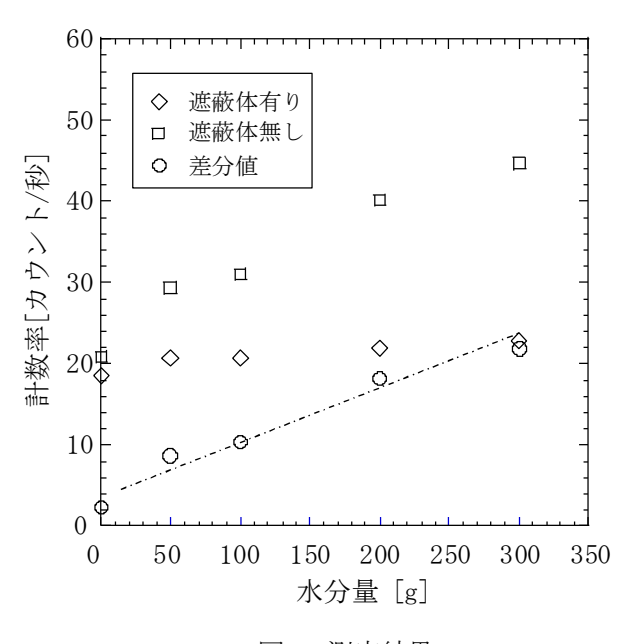


図2 測定結果

^{*}Takahiro Tadokoro¹, Katsunori Ueno¹, Koichi Okada¹, Kenichi Asami², Yukiya Hattori² and Itaru Miura³

¹Hitachi, Ltd., Research & Development Group, ²Hitachi Power Solutions Co., Ltd., ³Mitsubishi Chemical Corporation.

高ガンマ線量環境下で使用できる中性子シンチレーターの測定素子 および中性子測定技術の開発

Development of neutron scintillator detector and neutron measuring system working under high gamma dose environment

*桜木 洋一¹、池田 祐一²、福田 健太郎²、都木 克之³、森井 久史³、小池 昭史³、 平田 悠歩⁴、石川 諒尚⁴、渡辺 賢一⁴ 「東京電力 HD, ²トクヤマ, ³ANSeeN, ⁴名古屋大学大学院

高ガンマ線環境下で中性子を測定する技術として、LiF/Eu 添加(Eu:)CaF₂ 共晶体と光ファイバーを組み合わせた素子を開発した。照射に劣化しない材料を組み合わせることで、高ガンマ線環境下で長期間の使用に耐える素子の開発に見通しを得た。また、臨界監視にも使えるリアルタイム計測技術を開発した。

キーワード:中性子シンチレーター、臨界監視

1. 緒言

福島第一原子力発電所の廃炉作業では、燃料デブリの所在の特定や、燃料デブリを取り出す際の臨界管理を適切に行う必要がある。そのためには小型で中性子検出感度が高く、かつ高ガンマ線量下でも使用できる中性子検出器が有効と考えられる。本研究ではLiF/Eu:CaF₂ 共晶体に耐放射線性に優れた光ファイバーと反射材を組み合わせた素子を試作し、高ガンマ線環境で長時間の中性子弁別性能の評価を行った。

2. 検出器概要

検出器は素子、光ファイバー、光電子増倍管、多チャンネル波高分析器で構成される。素子は透明樹脂の小球の表層部に LiF/Eu:CaF₂ 共晶体の微粒子を分散させたもので、外周を拡散反射材で覆っている。また、現場での使用を見通すため、多数本の光ファイバーをバンドル化し、柔軟で扱い易いケーブルを持つ検出器を試作した。

3. 実験·結果

素子および伝送用光ファイバーを 72Gy/h のガンマ線の環境下に置き、計数測定を行った。図 1 は照射時間 68時間、累積線量 4.9kGy の信号強度を示したものである。いずれの試験体も 9 割以上の信号強度を維持することがわかった。

図 2 は中性子束をパラメーターとして、計測時間に対する累積カウント数を示したものである。300 分程度で中性子束 0nv (0 個/cm2・sec) カウント数 2 に対して中性子束 1. 1nv のカウント数が 10 となり、中性子を有意に弁別できることがわかった。この計数システムは PC 上で素子毎に計数できるシステムとなっており、多数の素子の計数を PC 上で加算することで、短時間での中性子計測も可能となる。

*Youichi Sakuragi¹、 Yuichi Ikeda²、 Kentaro Fukuda²、 Katsuyuki Takagi³、 Hisashi Morii³、 Akifumi Koike³、 Yuho Hirata ⁴、 Akihisa Ishikawa ⁴、 Kenichi Watanabe⁴

¹TEPCO Holdings, Inc.、 ²Tokuyama Corporation、 ³ANSeeN Inc.、 ⁴Nagoya University

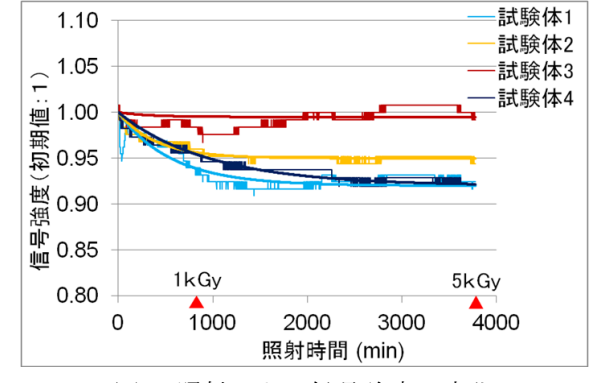


図1 照射による信号強度の変化

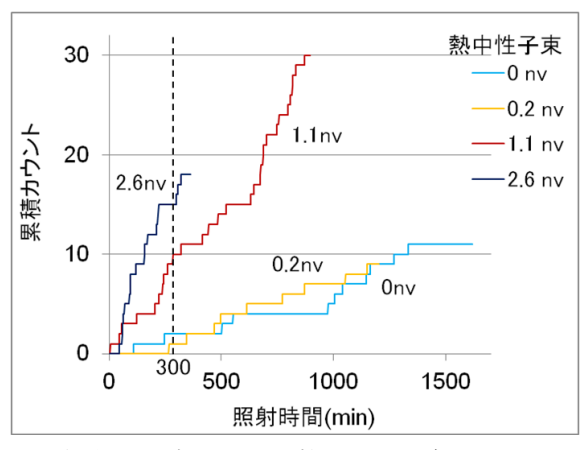


図 2 中性子累積カウント数 1nv=1 個/cm2·sec

Oral presentation | II. Radiation, Accelerator, Beam and Medical Technologies | 202-2 Radiation Physics, Radiation Detection and Measurement

[1A08-11] Imaging

Chair:Hideki Tomita(Nagoya Univ.)

Wed. Sep 5, 2018 2:45 PM - 3:50 PM Room A (B11 -B Building)

[1A08] Measurements of Absolute Radioactive Profile and Identification of Radioisotopes in Japanese Red Pine Acquired at Fukushima Prefecture in 2017

*Fumihiro Kimura¹, Haruyuki Yano¹, Hikaru Kuno¹, Masashi Takada¹, Youki Suzuki² (1. National Defense Academy of Japan, 2. Foresty and Forest Products Research Institude)

2:45 PM - 3:00 PM

[1A09] Measurement of lower part of PCV of Hamaoka Nuclear Power Plant by using cosmic-ray muon radiography with nuclear emulsion (part7)

*Kunihiro Morishima¹, Mitsuhiro Nakamura¹, Nobuko Kitagawa¹, Akira Nishio¹, Mitsuaki Kuno¹,

Yuta Manabe¹, Kenji Tsuji^{1,2}, Masataka Ooyama² (1. Nagoya Univ., 2. CHUBU Electric power Co., Inc.)

3:00 PM - 3:15 PM

[1A10] Multiple nuclide imaging with a double photon emission coincidence detection method

*Mizuki Uenomachi¹, Yuki Mizumachi¹, Yusuke Ohshima¹, Yuri Yoshihara¹, Kenji Shimazoe¹, Hiroyuki Takahashi¹ (1. The University of Tokyo)

3:15 PM - 3:30 PM

[1A11] Contamination at plutonium Fuel Research Facility of Oarai research and development Center

*Takashi Yasumune¹, Yoshinari Kato¹, Eita Maeda¹, Makoto Hashimoto¹, Hideaki Miyauchi¹, Koji Takasaki¹ (1. JAEA)

3:30 PM - 3:45 PM

2017年に伐倒されたアカマツの絶対放射能評価と放射性同位体の識別

Measurements of Absolute Radioactive Profile and Identification of Radioisotopes in Japanese Red Pine Acquired at Fukushima Prefecture in 2017

*木村 文洋¹, 矢野 晴之¹, 久野 晃¹, 髙田 真志¹, 鈴木 養樹²
¹防衛大学校,²森林研究・整備機構 森林総合研究所

2017年に伐倒されたアカマツの木材内部の絶対放射能分布をイメージングプレートを用いて計測した。 高純度ゲルマニウム半導体検出器および低バックグランド β 線スペクトロメータを用いてアカマツに含まれている放射性同位体を識別した。本研究により、木材サンプル中の放射性同位体はセシウム 137、自然放射性物質である炭素 14 およびカリウム 40 が主であることがわかった。

キーワード: 木材、イメージングプレート、セシウム 137、放射能計測、同位体識別、ベータ線、 ガンマ線、高純度ゲルマニウム半導体検出器、低バックグランドβ線スペクトロメータ

1. 緒言

福島第一原子力発電所の事故により、森林を含む広範な地域が放射能汚染した。現在、木材の放射能汚染調査は乾燥した木材を粉砕することによって行われている。本研究では生木に近い状態の放射能分布を調査するため、水分を保持した木材サンプルを利用した[1][2]。今回、木材サンプル中に含まれている放射性同位体を識別し、放射能分布の絶対放射能を再評価した。

2. 実験

木材サンプルは、2017 年に福島県川内村山林で伐倒されたアカマツであり、地表からの高さが異なる3種類である。アカマツ断面の放射能分布を計測するために、約7日間アカマツサンプルを鉛遮蔽体内でイメージングプレート (以下、IP) に曝露した。得られた結果を図1に示す。放射能量を較正するために、濃度が異なる $KC1(^{40}K)$ を滴下したろ紙も併せて鉛遮蔽体内で IP に曝露した。

また、KC1(⁴K)を滴下したろ紙の絶対放射能を評価するために低バックグランド放射能自動測定装置を用いてろ紙から放出されるベータ線を計測した。

さらに、木材サンプル中に含まれる放射性同位体を識別するために、高純度ゲルマニウム半導体検出器(以下、HpGe 検出器)を使用した。併せて HpGe 検出器では計測できないベータ線放出核種である炭素 14 を検出するために低バックグランド β 線スペクトロメータ (以下、ピコベータ) も使用した。この測定結果を用いて放射性同位体を識別した。

3. 結果および考察

HpGe 検出器とピコベータにより得られたスペクトルデータを図 2 および図 3 に示した。これらのスペクトルを解析した結果によると、アカマツサンプルに含有している放射性同位体は、セシウム 137 が 21.2%、カリウム 40 が 50%、炭素 14 が 28.8%であることがわかった。

また、木材サンプル中に含まれる単位面積あたりの放射能の値を比較すると、HpGe 検出器による値は 9.8×10^{-3} Bq/cm^2 、IP による値は 7.2×10^{-3} Bq/cm^2 であり両者の値は誤差範囲内で一致している。 測定結果について、さらに解析を進めている。

今回のアカマツ中に含まれる放射能の約 3/4 は自然放射性物質が起因であることがわかった。放射性セシウムによる放射能汚染が少ない樹木については、自然放射性物質についても注意を払う必要がある。

模皮

図 1. 地表面から 2.5m のアカマツ 断面の放射能分布

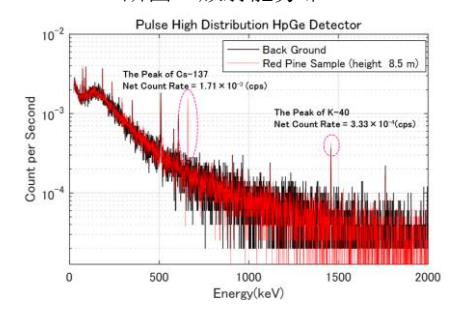


図 2. 高純度ゲルマニウム半導体 検出器による測定結果

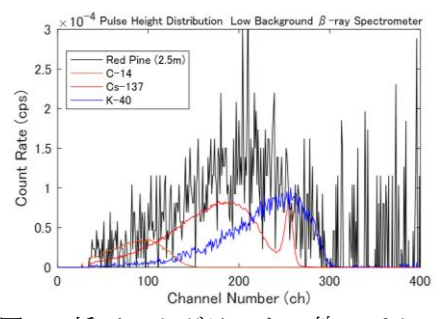


図 3. 低バックグランド β 線スペクトロメータによる測定結果

参考文献

- [1] 髙田真志 他 「木材内部の放射性物質 2 次元分布の計測」2L04 日本原子力学会 2017 年秋の年会
- [2] 木村文洋 他 「2017 年伐倒したアカマツ内部の放射性物質 2 次元分布の計測」1H13 日本原子力学会 2018 年の年会

^{*}Fumihiro Kimura¹, Haruyuki Yano ¹, Hikaru Kuno¹, Youki Suzuki², and Masashi Takada¹

¹National Defense Academy of Japan, ²Forest Research and Management Organization

原子核乾板を用いた透過型ミューオンラジオグラフィによる 浜岡原子力発電所2号機格納容器下部の観測(その7)

宇宙線ミューオンラジオグラフィにより原子力発電所の原子炉圧力容器・格納容器下部を遠隔非破壊にて 検知するため、"電源不要かつコンパクトかつ防水性に優れた"検出器である原子核乾板を浜岡原子力発電 所2号機原子炉建屋地下2階の複数箇所に設置し観測を行った。本講演では解析状況について報告を行う。

キーワード: ミューオンラジオグラフィ, 透過型, 原子核乾板, 宇宙線, 原子炉格納容器

1. 緒言

福島第一原子力発電所1号機から3号機の原子炉内燃料デブリを遠隔非破壊にて検知するために、透過型ミューオンラジオグラフィが適用されている。これらの観測では、いずれも地上部にミューオン検出器を設置している。上空から飛来する宇宙線ミューオンを用いて原子炉圧力容器(RPV)底部及び原子炉格納容器(PCV)下部の観測を行うには、より低い位置となるように検出器を地下に設置する必要がある。

2. 観測の概要

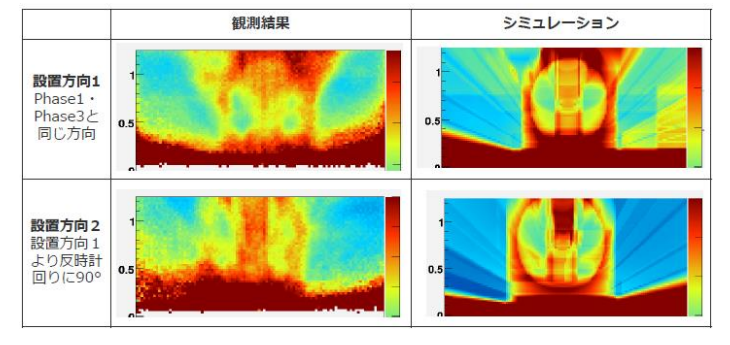
電源不要・コンパクト・防水性・高い角度分解能という性能を有する原子核乾板を用いて、浜岡原子力発電所 2 号機の原子炉建屋地下 2 階、あるいは原子炉建屋周辺の排水用立坑 (サブドレン)の下部にて 2015年度に観測を実施した[1][2]。2016年8月23日から 2017年2月17日に Phase3として、原子炉建屋地下2階にて、原子核乾板を軽量かつ高い平面性を有するアルミハニカム製の治具に固定し冷蔵機能を有するボックスに入れ約7℃の安定した温度環境にて観測を実施した[3]。観測結果をシミュレーション結果と比較したところ、PCVやペデスタル等の構造が確認できたがシミュレーション結果と一致しない部分もあった[4]。その原因を明らかにするため、2017年10月25日から2018年2月21日に Phase4として、原子炉建屋地下2階の3箇所に原子核乾板を設置し3方向からの観測を実施した[5]。このとき、原子炉建屋1階の重量物の位置関係にも注目しながら観測を実施した。

3. 観測結果の概要

Phase4 の観測結果の一例として、2 方向からの観測結果とシミュレーション結果を表 1 に示す。

本講演では、異なる方向からの観測結果や、 原子炉建屋1階の重量物の位置関係を考慮し た観測結果について報告を行う。

表1 Phase4 の観測結果とシミュレーション結果の一例



参考文献

- [1] 日本原子力学会 2016 年春の年会予稿集 (2K04)
- [3] 日本原子力学会 2017 年春の年会予稿集 (2D04)
- [5] 日本原子力学会 2018 年春の年会予稿集 (2H11)
- [2] 日本原子力学会 2016 年秋の大会予稿集 (3003)
- [4] 日本原子力学会 2017 年秋の大会予稿集 (2L03)

^{*}K.Morishima¹, M.Nakamura¹, K.Tsuji², M.Ooyama², A.Nishio¹, M.Kuno¹, Y. Manabe¹ and N.Kitagawa¹

¹Nagoya Univ., ²CHUBU Electric Power Co., Inc.

1A10 2018年秋の大会

2 光子同時検出法による多核種イメージング

Multiple nuclide imaging with a double photon emission coincidence detection method *上ノ町 水紀 ¹, 水町 祐貴 ¹, 大島 佑介 ¹, 吉原 有里 ¹, 島添 健次 ¹, 高橋 浩之 ¹ 東京大学大学院

A Compton camera with a double photon emission coincidence detection method can improve the signal to noise ratio more than the conventional method. In this study, we applied this method to the multiple nuclide imaging. We will report on experiment results of the multiple nuclide imaging.

キーワード:コンプトンカメラ、2光子同時検出、多核種イメージング

1. 緒言

近年、医療分野や原子力分野において、広いエネルギー範囲のガンマ線源の分布測定技術が求められている。コンプトンカメラはガンマ線イメージング技術の一つであり、広いエネルギー範囲にも対応可能であるが、SN 比の低さや奥行き方向の分解能が問題となっていた。そこで我々は ¹³⁴Cs や ⁶⁰Co といった複数のガンマ線を同時に放出する核種を対象として、複数のコンプトンカメラでガンマ線を同時計測することで SN 比を向上させる手法[1]によるコンプトンイメージングについての研究を行っている。本研究ではこの手法を多核種イメージングへ適用させ、その有用性を検証した。

2. 実験方法

2 台のコンプトンカメラを線源から 60 mm 離れた位置に対向に設置し、複数線源の同時撮像を行なった。 コンプトンカメラは Ce:GAGG シンチレータと SiPM を組み合わせた 8×8 アレイの散乱体と吸収体で構成されている。結晶サイズは散乱体が $5\times10\times10$ mm³、吸収体が $10\times10\times10$ mm³ である。各チャンネルの SiPM からの信号は dynamic Time over Threshold (dToT)法[2]を用いて並列に処理し、エネルギーを取得した。また、同時計数のため、2 台のコンプトンカメラのデータ取得ボードに外部から同期信号を入力した。

3. 結果

図 1 に 2 つの 22 Na 点線源の同時撮像結果を示す。左が単光子による再構成結果、右が二光子同時検出による再構成結果である。x=30 [mm]の位置に 397 kBq、x=-20[mm]の位置に 125 kBq の点線源を置き、150 分間測定した。二光子同時計測により、より鮮明な画像が得られ、SN 比は 397 kBqの線源に対し 2.92 から 6.40、125 kBq の線源に対し、1.80 から 3.60 に向上した。

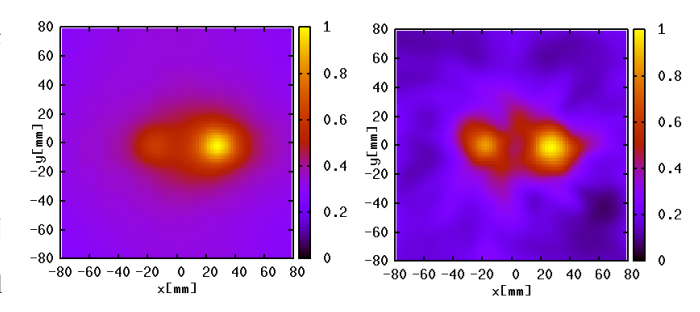


図 1:2 つの 22 Na 点線源の同時撮像結果(左:単光子、右:二光子)

4. まとめ

二光子同時検出法により2つの 22 Naの点線源の同時撮像を行った結果、SN 比が向上し、より鮮明な画像が得られた。発表では 22 Na、 134 Cs の点線源の同時撮像結果についても報告する。

参考文献

[1] Y. Yoshihara et al., "Evaluation of double photon coincidence Compton imaging method with GEANT4 simulation", Nucl. Instr. And Meth. A, 873, 51-55, (2017)

[2] K. Shimazoe et al., "Dynamic Time Over Threshold Method", IEEE Trans. On Nucl. Sci. Vol. 59, No. 6, 3213-3217, (2012)

*Mizuki Uenomachi¹, Yuki Mizumachi¹, Yusuke Oshima¹, Yuri Yoshihara¹, Kenji Shimazoe¹ and Hiroyuki Takahashi¹ The University of Tokyo.

大洗研究開発センター燃料研究棟における汚染 イメージングプレートを用いた飛散粒子の空気力学的放射能中央径の調査

Contamination at plutonium Fuel Research Facility of Oarai research and development Center Evaluation of the activity median aerodynamic diameter of plutonium and americium particles by using imaging plates

*安宗 貴志」, 加藤 祥成」, 前田 英太」, 宮内 英明」, 橋本 周」, 高崎 浩司」 1日本原子力研究開発機構

日本原子力研究開発機構大洗研究開発センターの燃料研究棟における事故の状況調査のため、事故現場 である燃料研究棟 108 号室から取得したスミヤ試料及びダストフィルタをイメージングプレートにより測 定し、貯蔵容器から飛散した放射性物質の空気力学的放射能中央径が 4 μm 以上と評価された。

キーワード: イメージングプレート, 空気力学的放射能中央径

1. 緒言

平成 29 年 6 月 6 日に日本原子力研究開発機構大洗研究開発センターの燃料研究棟において、管理区域 内の 108 号室のフードで核燃料物質の貯蔵容器の点検等作業中、貯蔵容器内の核燃料物質収納容器を封入 していた樹脂製の袋が破裂した。室内で作業をしていた作業員が、飛散したプルトニウム (Pu) 等のダス トで汚染され、吸入摂取により内部被ばくした。

国際放射線防護委員会は作業者による放射性核種の吸入摂取について、吸入した放射性物質の空気力学 的放射能中央径 (AMAD) が 1 μm と 5 μm の場合の実効線量係数を示しており、内部被ばく線量の評価に おいて、作業者が吸入摂取した可能性のある放射性粒子の AMAD は重要な情報となる。

そこで、事故の発生後に採取または回収した 108 号室の床のスミヤ試料 14 枚と Pu ダストモニタのサン プリングろ紙 1 枚について、イメージングプレート (IP) で放射能量を測定し、画像解析により室内に飛 散した Pu 等の粒子の AMAD の評価を行った。

2. 測定及び結果

IP (BAS-MS2025, 富士フイルム (株) にラミネート処理した各試料 (図 1(a))を接触させ、α線を露光し た。露光が完了した IP を読取装置 (FLA-5100, 富士フイルム㈱) で読 み取り、放射線画像を取得した(図 1(b))。読み取った放射線画像から文 献[1]の手法に基づき、個々の粒子の 弁別、放射能量及び粒子径の算出等 を行い、AMAD を評価した。なお、 評価の際には、現実的に最も AMAD が小さく保守側の結果と





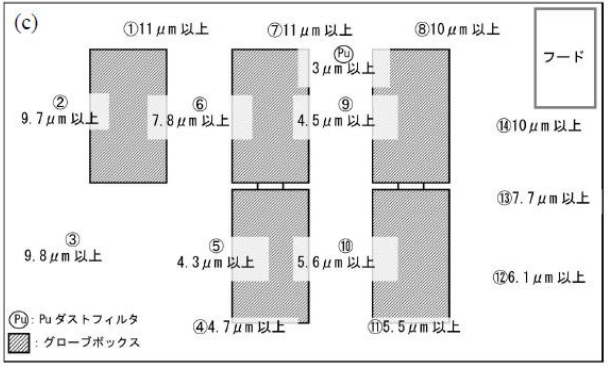


図 1 (a) ラミネート処理されたスミヤ試料の例 (b) 得られた放射線画像の例 (c) 評価した粒子の AMAD と 108 号室の位置との関係

なるように条件を仮定した。得られた試料毎の AMAD と 108 号室の位置との関係を図 1(c)に示す

スミヤろ紙からは飛散した粒子の AMAD は 4.3~11 μm 以上と評価され、保守側に最も小さく評価して も約4 μm AMAD 以上と考えられる。また、サンプリングろ紙からは、AMAD は3.0 μm と評価された。

[1] K. Takasaki et al.; "An Autoradiographical Method Using an Imaging Plate for the Analyses of Plutonium Contamination in a Plutonium Handling Facility", Journal of NUCLEAR SCIENCE and TECHNOLOGY, Vol. 48, No. 6, p. 1-8 (2011)

^{*}Takashi Yasumune¹, Yoshinari Kato¹, Eita Maeda¹, Hideaki Miyauchi¹, Makoto Hashimoto¹, Koji Takasaki¹

¹Japan Atomic Energy Agency.

Oral presentation | II. Radiation, Accelerator, Beam and Medical Technologies | 202-2 Radiation Physics, Radiation Detection and Measurement

[1A12-15] Radiation Physics

Chair: Tatsuyuki Maekawa (Toshiba Power Systems Radiation Techno-Service) Wed. Sep 5, 2018 3:50 PM - 4:55 PM Room A (B11 - B Building)

[1A12] n/γ Pulse Shape Discrimination using EJ-276 Plastic Scintillator for Reactor Antineutrino Observation

*Keigo Shimizu¹, Kyohei Nakajima¹, Yoichi Tamagawa¹ (1. University of Fukui) 3:50 PM - 4:05 PM

[1A13] Change of β-decay Intensity of La-138 by Irradiation

*Ryoichi Taniguchi¹, Norio Ito¹, Hiroyuki Miyamaru¹, Takao Kojima¹, ken-ichi Okamoto¹, Tadashi Tsujimoto² (1. Osaka Prefecture University, 2. Reassurance Science Academy)
4:05 PM - 4:20 PM

[1A14] Measurement of low energy x-rays in pulse from Crook tube using BaF₂ scintillator

*hirokazu ando¹, Khiem Duy Do¹, Masahumi Masahumi¹¹² (1. Osaka Prefecture Univercity, 2. OPU Radiation Res. C.)

4:20 PM - 4:35 PM

[1A15] Spectrum evaluation of low energy X-ray- from a Crookes tube

*Masafumi Akiyoshi¹, Ryouichi Taniguchi¹, Hiroto Matsuura¹, Hiroyuki Miyamaru¹, Do Duy Khiem ², Hirokazu Ando², Ikuo Kanno³, Takumi Hamaguchi³, Tomohisa Kakefu⁴, Kazufumi Taniguchi⁵ (1. Radiation Research Center, Osaka Pref. Univ., 2. Dep. Quantum and Radiation Eng., Osaka Pref. Univ., 3. Dep. Nuclear Engineering, Kyoto Univ., 4. J. Science Foundation, 5. C-technol) 4:35 PM - 4:50 PM

原子炉ニュートリノ観測に向けた EJ-276 プラスチックシンチレータにおける n/ γ 波形弁別

粒子弁別能のある EJ-276 プラスチックシンチレータ(Eljen Technology 社製)において 252 Cf 線源を用いて n/γ の波形弁別実験を行い、部分積分法と Shape Indicator 法による弁別能評価を行った結果、弁別能を示す Factor of Merit (FOM)が 2 以上となり、どちらの方法でも n/γ 弁別が十分可能であることが確認できた。

キーワード: 放射線計測, 原子炉, ニュートリノ

現在、小型原子炉ニュートリノモニター開発のための研究が各国で行われており、日本においても東北大学・北里大学・新潟大学・福井大学が共同でニュートリノモニター研究を行っており、福井大学はプラスチックシンチレータ(PS)の性能評価を行っている。北里大学が主導する PANDA 実験では、固体であるため安定で可搬性がよく、難燃性の PS を用いて、原子炉中で核分裂の後に放出される反電子ニュートリノve を検出し、原子炉の稼働状況を観測する研究が進められている。しかし、PS は粒子弁別が難しいという欠点があるため、地上に設置するモニターにとって宇宙線や高速中性子など様々なバックグラウンド事象がニュートリノ事象の観測を阻害する要因となる。

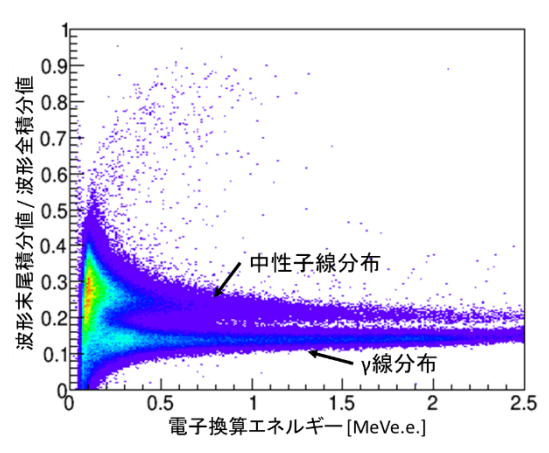


図: ²⁵²Cf 線源を用いた、中性子,γ 線照射実験の 部分積分法による解析図

ニュートリノモニターでは、入射した反電子ニュートリノ \bar{v}_e が PS 内で逆 β 崩壊を起こして発生する陽電子の先発信号と、逆 β 崩壊時に放出される中性子が熱化し Gd や Li に吸収され発光する後発信号を用いた遅延同時計数法を採用している。しかしながらバックグラウンド事象として、宇宙線由来の高速中性子が上記の先発反応事象と酷似した事象を起こす。そのバックグラウンド事象は反電子ニュートリノ事象に対して 2 桁程多いため更なる有効な低減が必要である。本研究では、ニュートリノ起因で発生する陽電子とその対消滅 γ 線の事象と、中性子起因の疑似事象を先発信号波形の違いから弁別する研究を行っており、今回は波形解析の手法である部分積分法と Shape Indicator 法において、どちらも FOM が 2 以上となり弁別能が確認できたことについて報告する。また、熱中性子を吸収し発光する LiF:ZnS シートを用いた後発事象の観測波形についても報告する。

参考文献

[1] S.Oguri et al., Nuclear Instruments and Methods A757 (2014) 33-39

[2] Y. Sawamura, Master Thesis, Tohoku University (2012)

^{*}Keigo Shimizu1, Kyohei Nakajima1 and Yoichi Tamagawa1

¹University of Fukui

La-138 の放射線照射によるベータ崩壊の変化

Change of β-decay Intensity of La-138 by Irradiation

*谷口良一¹、伊藤憲男¹、宮丸広幸¹、小嶋崇夫¹、岡本賢一¹、辻本 忠²
¹大阪府立大学放射線研究センター、²安全安心科学アカデミー

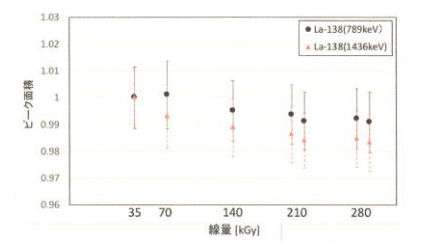
Cs-137 による環境汚染問題の解決をめざして長寿命 β 核種の短寿命化の検討を行っている。本研究では、 半減期 1000 億年の La-138 を試料として γ 線照射、X 線照射、電子線照射を行ない、照射量に関係した β 崩壊の若干の変化が観測された。

キーワード:核励起、 β 崩壊、短寿命化

[はじめに] β 崩壊は崩壊前の原子核の状態と崩壊後の状態によって崩壊確率が決まるとされている。長寿命核種はその差が大きく従って崩壊の禁制度が高く長寿命であるとされている。ところが原子核を何らかの方法で核励起することによってその寿命を劇的に短縮することが可能である。例えば Cs-137 は 30 年の半減期を持つが、核励起することで半減期は 1 時間程度に短縮すると予想される $^{1)}$ 。ただし、励起断面積と励起寿命を考えた場合、この現象を実際に利用することは困難であるとの意見も多い。我々は天然の放射性核種である La-138 を試料として、この短寿命化が、どの程度であるかの評価を行っている $^{2)3)}$ 。

[実験] La 試料を府立大学が所有するコバルト線源および電子線形加速器で照射した。 β 崩壊の測定には Ge 検出器を用い照射前後の変化を比較した。La-138 のスペクトルには β 崩壊(788keV)と EC(1436keV)の 2 種類のピークが現れる。このピークの面積の変化を評価した。図 1 に金属 La を空気中で Co-60 照射した 場合の結果、図 2 に金属 La を電子線形加速器の X 線照射(8MeV, 2μ A)で照射した結果、図 3 に酸化 La を 水中で Co-60 照射した結果を示す。金属 La 試料では数%程度の減少が観測されているが、酸化 La では減

少は観測されていない。現時点で、この現象を説明することは困難である。電子線の直接照射など、他の照射も試みており、データの 蓄積を行っている段階である。



1.00 1436keV 10.00 1436keV 10

図1 金属 La の Co-60 空気中照射

図2 金属LaのX線照射

図3 酸化 La の Co-60 水中照射

本研究の一部は平成 28-29 年度科学研究費助成金による。

[参考文献] 1) 「長寿命ベータ崩壊核種の短寿命化」谷口良一他、原子力学会 2017 年秋の大会、3L09 2)「La-138 のガンマ線照射によるベータ崩壊の変化」谷口良一他、原子力学会 2018 年年会、2H02

3)「γ/X線照射によるベータ崩壊核種の短寿命化」谷口良一他、第55回 RI 研究会予稿集(2018年) p98

^{*}Ryoichi Taniguchi¹, Norio Ito¹, Hiroyuki Miyamaru¹, Takao Kojima¹, Ken-ichi Okamoto¹ and Tadashi Tsujimoto²,

¹Radiation Research Center, Osaka Prefecture University, ²Reassurance Science Academy

BaF₂シンチレータを用いたクルックス管からの パルス状低エネルギーエックス線の測定

Measurement of low energy x-rays in pulse from Crook tube using BaF2 scintillator *安藤 太一¹, Do Duy Khiem¹, 秋吉 優史 ¹.²

1大阪府立大学 工学研究科 量子放射線系専攻,2大阪府立大学放射線研究センター

誘導コイルを用いたクルックス管からは短い時間領域で低エネルギーのエックス線がパルス状に放出される. その為,得られる信号はパイルアップしてしまい,一般的な放射線検出器では評価を行いにくい. 本研究では.発光の減衰時間が短い BaF2 シンチレータを用いてエックス線の測定を行った.

キーワード:X線 クルックス管 BaF2 シンチレータ

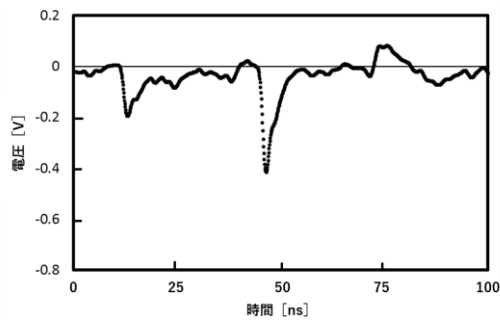
1. 研究の目的

平成 29 年 3 月に公布された中学校学習指導要領の改訂に伴い,「真空放電と関連付けながら放射線の性質と利用にも触れること」という内容が追加され,クルックス管の活用が不可欠となっている.一方,古い製品の一部には低エネルギーではあるが,非常に強い強度の X 線を放出する製品が存在する.

クルックス管からは短い時間領域で低エネルギーのエックス線がパルス状に放出される. 一般的な放射線検出器を用いて測定を行うと、信号が重なりパイルアップしてしまい、正しいエネルギーや検出数の評価を行えない. そこで本研究では陽電子寿命測定等に用いられる BaF_2 シンチレータを使用してクルックス管から放出される X 線の測定を行った. この検出器は高速応答で信号の立下りが早く、時間分解能の高い測定が可能である.

2. 実験方法と結果

実験は Φ 20×10 の BaF₂ シンチレータと紫外領域の発光を検知できる光電子増倍管(浜松ホトニクス H33778-51)を用いて行った。検出した信号は高速パルスを観察する事が可能な高性能デジタルオシロスコープ(TELEDYNE LECROY HDO 4024A-MS)を用いて観察を行った。図1に検出できたクルックス管由来の X 線の信号を示す。



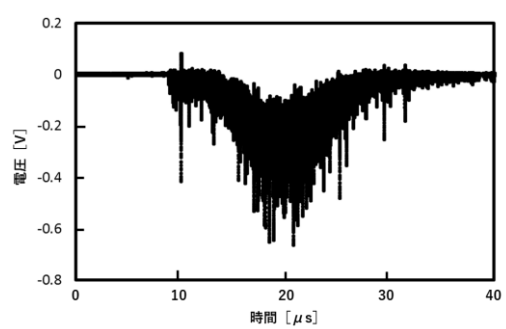


図 1 クルックス管由来の X 線による信号(左)とタイムレンジを拡げて測定した信号(右)

3. 考察と今後の展望

511 keV の γ 線一発を BaF2 シンチレータで検出を行うと 10 ns 程度のパルス信号が得られる. 同様にしてクルックス 管由来の X 線を測定すると, 10 ns 程の信号が確認できた. さらにタイムレンジを拡げて測定を行うと 20 μ s 程の非常 に長時間のパルス信号が確認できた. またこの特徴的な X 線は常に放出されているわけではなく、平均 200 μ s 間隔に 放出されている事が分かった. 以上の結果より、クルックス管からは短い時間領域に非常に多くの低エネルギーX 線が 放出されるため、従来の計測、評価方法では、パイルアップしてしまい評価できないことが分かった. 今後、信号を積分する等新しい計算、評価手法の確立を行う.

^{*}Hirokazu Ando¹, Do Duy Khiem¹ and Masafumi Akiyoshi^{1,2}

¹Osaka Prefecture Univercity., ²OPU Radiation Res. C.

クルックス管からの低エネルギーX 線スペクトル評価

Spectrum evaluation of low energy X-ray- from a Crookes tube.

*秋吉 優史¹, 谷口 良一¹, 宮丸 広幸¹, 松浦 寛人¹, Do Duy Khiem¹, 安藤 太一¹, 神野 郁夫², 濱口 拓², 掛布 智久³, 谷口 和史⁴

1大阪府大量子放射線系専攻、2京都大原子核工学専攻、3日本科学技術振興財団、4千代田テクノル

クルックス管から放出される X 線は、20keV 程度とエネルギーが低いため通常のサーベイメーターでは測定出来ない。さらに、誘導コイルからの高電圧出力がパルス状であるため発生する X 線についてもパルス状であり、半導体検出器などではパイルアップにより正常な計測を行う事が出来ない。このため、線量測定にはガラスバッジなどの積算線量計か、電離箱などの電流モードでの測定が適している。本発表では非常に小さい絞りを用いて線量を絞ることにより、 $CZT(Cd_{0.9}Zn_{0.1}Te)$ 検出器や、EBe 窓の EGe 半導体検出器を用いてスペクトル計測を行い、アルミ板を用いた遮蔽法による線減衰係数からのエネルギー評価との比較を行う。

キーワード: 放射線教育、クルックス管、低エネルギーX線、エネルギースペクトル評価

1. クルックス管による理科教育と漏洩 X 線

平成 29 年 3 月に公布された中学校学習指導要領の改訂において「電流とその利用」単元の静電気と電流に関する内容の取扱に於いて「**真空放電と関連付けながら放射線の性質と利用にも触れること**」と言う内容が新しく追加されており、指導要領の解説からもクルックス管の活用が不可欠である。ところが多くの製品で、エネルギーは低いが直近で 10mSv/h を大きく超える非常に高い強度の X 線が放出されていることが明らかになってきている。

印加電圧のコントロールや遮蔽体の使用により線量率を下げ、安全に教育を行うためのガイドライン策定を有志によるプロジェクトで実施しているが、正確な線量評価、エネルギー評価が安全評価のためには不可欠である。

2. クルックス管から漏洩した X 線のエネルギースペクトルの評価

まずGMサーベイメーターと遮蔽体を用いた応答から大まかなエネルギーを評価した上で、ガラスバッジによる線量評価を行った。その結果、放電極距離 20mm で僅かに放電が起こる放電出力の場合、20keV 強程度の有効エネルギーであることが確認できた。ガラスバッジは内部に複数のフィルターが入っているため、同様にそれらに対する応答からエネルギー評価が可能であり(FX型の場合)、有効エネルギーは18keVと評価された。

本研究ではそれらの測定に加えて、 $CZT(Cd_{0.9}Zn_{0.1}Te)$ 検出器や、Be 窓の Ge 半導体検出器を用いてスペクトル計測を行った。測定を行う上で、数十 cps 程度の低い計数率に於いてもパイルアップが起こってしまい、高エネルギー側に長く尾を引くスペクトルとなった。このため、 ϕ 0.5mm0鉛薄板を用いたコリメーターにより、入射 X線量を極端に減らすことによって 10cps 以下での測定を行い、パイルアップの少ないスペクトルを取得した。コリメーターの向きなどによって大きく線量やスペクトルが異なるため、非常に測定は困難であったが、慎重な測定により誘導コイルの設定によって僅かにスペクトルがシフトしていることが確認された。印加電圧のパルスは誘導コイルの設定によって一定の電圧が出力されているのではなく一定のばらつきを有していたため、ヒストグラム評価した上で、発生するX線スペクトルの評価と、ガラス管壁による遮蔽を考慮した、放出 X線スペクトルの検証を行う予定である。

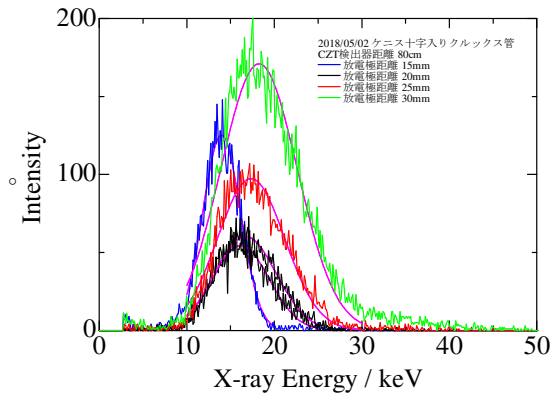


図 1. CZT 検出器で測定した低エネルギーX線のスペクトル。 放電極距離 15mm のみアパーチャー径 3mm

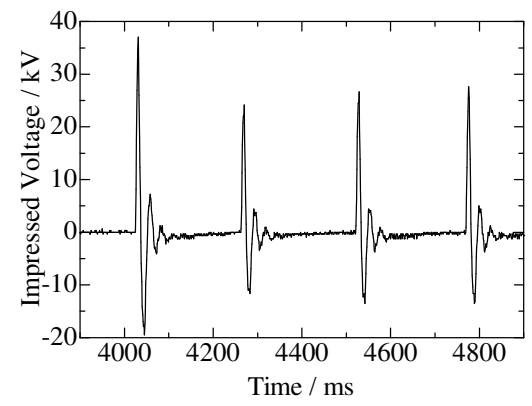


図 2. 放電針距離 30mm での誘導コイルからの出力電圧 パルスの一例。30kV を超えるパルスが確認できる。

^{*}Masafumi Akiyoshi¹ (akiyoshi@riast.osakafu-u.ac.jp), Ryouichi Taniguchi¹, Hiroyuki Miyamaru¹, Hiroto Matsuura¹, Do Duy Khiem¹, Hirokazu Ando¹, Ikuo Kanno², Takumi Hamaguchi², Tomohisa Kakefu³, Kazufumi Toniguchi⁴

¹Gradiated School of Engineering, Osaka Prefecture University, ²Kyoto University, ³JSF, ⁴Chiyoda Technol.

Oral presentation | II. Radiation, Accelerator, Beam and Medical Technologies | 202-2 Radiation Physics, Radiation Detection and Measurement

[1A16-19] Detection and Monitoring of Nuclear Materials

Chair: Masashi Takada (National Defense Academy of Japan)

Wed. Sep 5, 2018 4:55 PM - 6:00 PM Room A (B11 -B Building)

- [1A16] Development of active neutron DDA system for nuclear non-proliferation and nuclear security
 - *Akira Ohzu¹, Makoto Maeda¹, Masao Komeda¹, Yosuke Toh¹ (1. Japan Atomic Energy Agency) 4:55 PM - 5:10 PM
- [1A17] Development of portable interrogation system for special nuclear materials (III)

*Kai Masuda¹, Mahmoud A. Bakr¹, Yoshiyuki Takahashi², Tsuyoshi Misawa², Norio Yamakawa³, Toshihiro Nishioka³, Atsushi Matsuda³ (1. Institute of Advanced Energy, Kyoto University, 2. Institute for Integrated Radiation and Nuclear Science, Kyoto University, 3. Pony Industry) 5:10 PM - 5:25 PM

[1A18] Development of portable interrogation system for special nuclear materials (III)

Yoshiyuki Takahashi¹, *Tsuyoshi Misawa¹, Kai Masuda² (1. Institute for Integrated Radiation and Nuclear Science, Kyoto University, 2. Institute of Advanced Energy, Kyoto University) 5:25 PM - 5:40 PM

[1A19] Development of portable interrogation system for special nuclear materials (III)

*Mahmoud Bakr¹, kai Masuda ¹, Masaya Yoshida ² (1. Institute of Advanced Energy, Kyoto University, 2. Graduate School of Energy Science, kyoto University)
5:40 PM - 5:55 PM

核不拡散・核セキュリティ用ダイアウェイ時間差分析装置の開発 - 中性子吸収シートの効果 -

Development of active neutron DDA system for nuclear non-proliferation and nuclear security

- Effect of neutron absorber sheet -

*大図 章 ¹, 前田 亮 ¹, 米田 政夫 ¹, 藤 暢輔 ¹ 『原子力機構

核不拡散・核セキュリティ分野における核燃料物質測定技術の向上に資するため、小型中性子源を用いたダイアウェイ時間差分析装置の開発を実施している。核燃料物質の検出限界を向上させるため、測定室の内面に中性子吸収シートを取り付けた。その効果をシミュレーション及び試験により評価した。

キーワード:アクティブ中性子法、NDA、DDA、核不拡散、核セキュリティ、核燃料、シミュレーション

1. 緒言

原子力機構では、核不拡散・核セキュリティに資するため使用済み燃料等の高線量核物質測定法の確立を目指しており、その一環としてアクティブ中性子非破壊測定法の一つであるダイアウェイ時間差分析法 (DDA 法)の技術開発を実施している[1]。DDA 法は、中性子を核分裂性物質に照射し、誘発される核分裂反応によって放出される中性子を測定する。照射する中性子の一部は、エピサーマル及び熱中性子となって測定室に滞留して測定器に検出されるためバックグランドレベルを押し上げ、核物質の検出感度を劣化させる。原子力機構が開発した FNDI 法では、測定室の内面に中性子吸収シートを取り付けることでバックグラウンドとなる中性子を取り除いている。本講演では、その効果を調査した結果について報告する。

2. 試験装置

図1にDDA 測定システムの概念図(鉛直断面図)を示す。DDA 測定システムの外側は、ポリエチレンとステンレスの2層構造となっており、その内部には厚さ $5 \, \mathrm{cm}$ のステンレスで仕切られた測定室がある。測定室には、中性子発生管と He-3 中性子検出器バンクが設置され、その中心に円筒形の HDPE 製モデレータ(厚さ: $6 \, \mathrm{cm}$)を装着したバイアル瓶容器(直径約2. $5 \, \mathrm{cm}$ 、高さ約 $4 \, \mathrm{cm}$)を設置した。この測定室の内面に赤い点線で示すように中性子吸収シート($B_4 \, \mathrm{C}$ ゴム: $45 \, \mathrm{wt}$ %、 $3 \, \mathrm{mm}$ 厚)を取り付けて試験を行った。

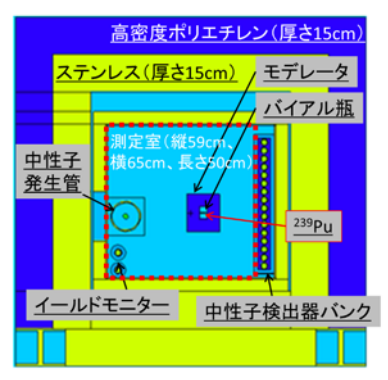


図1 DDA 測定システム概念図

3. 試験結果

試験で得られた中性子時間スペクトルを図 2 に示す。中性子吸収シートの有無(黒線と青線)でスペクトルを比較すると、中性子吸収シートがある場合にスペクトルのバックグランド(BG)が大きく低減することが分かった。その結果、検出限界が大きく改善し²³⁹Pu量として 2mg まで検出できることが確認された(赤線)。

謝辞:本研究開発は、文部科学省「核セキュリティ強化等推進事業 費補助金」事業の一部である。

参考文献 [1]大図他、原子力学会 2018 春の年会 3H09

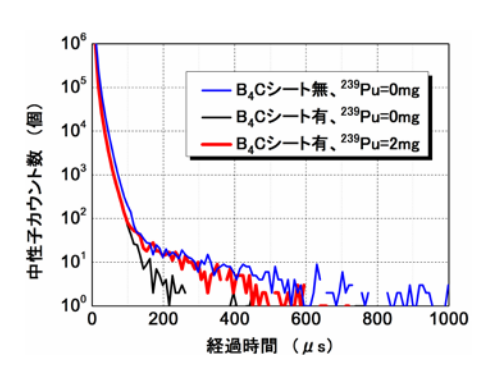


図2 B₄C シートの有無による中性子 時間スペクトルの相違

^{*}Akira Ohzu¹, Makoto Maeda¹, Masao Komeda¹ and Yosuke Toh¹ JAEA

ポータブル特定核物質検知システムの開発(III) (1)天然ウランを用いた実験

Development of Portable Interrogation System for Special Nuclear Materials (III)

(1) Experiments Using Natural Uranium

*増田 開¹, Mahmoud A. Bakr¹, 高橋 佳之², 三澤 毅², 山川 倫央³, 西岡 利浩³, 松田 淳³ 「京大エネルギー理工学研究所,²京大複合原子力科学研究所,³ポニー工業(株)

中性子アクティブ法に基づく、従来無いポータブルの、特定核物質非破壊検知システムを開発している。 天然ウラン試料を用いて行った試作機の検知性能評価実験の結果について報告する。

キーワード:中性子アクティブ法、特定核物質検知、閾エネルギー中性子解析法、ポータブル中性子源、張力準安定流体検出器、DD 核融合、慣性静電閉じ込め核融合

- 1. 緒言 CBRNe と呼ばれる 5 つの脅威のうち,化学兵器(C),生物兵器(B),放射性物質(R)と爆薬(e)に対しては、空港・港湾等における据置型の検査装置や、不審物の発見現場で用いられるポータブルの検査装置が配備されている。一方で、核(N)テロに用いられる可能性のある特定核物質を検知可能な装置は、技術的難易度の高いポータブル装置はおろか据置型装置としても実用化されていない。この弱点を補強する検知システムの開発が本計画の目的である。
- 2. 実験 提案している閾エネルギー中性子解析法[1]に基づくポータブル検査装置試作機を開発した。慣性静電閉じ込め方式のポータブル DD 中性子源(>5×10⁷ n/sec 定常、直径 20cm、長さ 70cm、35 kg)1台と、DD 中性子やガンマ線に不感であるため周囲に遮蔽物を必要としない張力準安定流体検出器[2]9台(3×3に配置)からなる検出器アレー(90cm×100cm×50cm、30kg)3式からなる。床面に設置した0.8m×1m×1mの検査体積(想定不審物)中に20kgの天然ウランと中性子減速材から

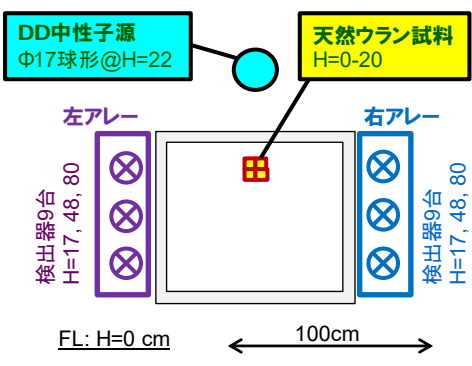


図 1 試作機によるウラン検知実験配置

なる NU 試料を配置した(図1)。3 式のうちの2式の検出器アレー(左および右アレー)を配置、承認条件の制約のため DD 中性子源は定格の 1/50 の強度($\sim10^6$ n/sec)で運転し、合計約7時間照射・計測した。

3. 結果・考察 発生 DD 中性子あたりのカウント数の全検出器にわたる平均値とその 68%信頼区間は、NU 試料有無の場合にそれぞれ 8.77 ± 0.73 と 2.96 ± 0.25 [$\times10^{-10}$] であった。この結果から、DD 中性子源を定格運転した場合の検知率は、ANSI 規格[3]に従って誤検知率<5%および検査時間 $<90\sec$ の条件下で、>99%と評価される。検査体積中の NU 試料が中性子源に近い位置(図 1 参照)にある検知に有利な条件下ではあるものの、NU 試料のウラン 235 含有量が ANSI 規格の約 1/7 であることや、3 式の検出器アレーのうちの 2 式のみを用いた結果であることも考慮すれば、最初の試作機試験結果としては十分な結果であると考えている。発表では、NU 試料の位置や量が異なる場合の実験結果についても報告する。

参考文献

- [1] 増田開他、日本原子力学会 2016 年春の年会予稿集、2B04。
- [2] 西岡利浩他、日本原子力学会 2017 年春の年会予稿集、2D14。
- [3] IEEE ANSI Standard N42.41 (2008)

^{*}Kai Masuda¹, Mahmoud A. Bakr¹, Yoshiyuki Takahashi², Tsuyoshi Misawa², Norio Yamakawa³, Toshihiro Nishioka³ and Atsushi Matsuda³

¹Inst. Advanced Energy, Kyoto Univ., ²Inst. Integrated Rad. Nucl. Sci., Kyoto U., ³Pony Industry Co. Ltd.

1A18 2018年秋の大会

ポータブル特定核物質検知システムの開発(III) (2)解析による評価

Development of Portable Interrogation System for Special Nuclear Materials (III)

(2) Numerical Analysis

高橋 佳之¹, *三澤 毅¹, 増田 開²

1京大複合原子力科学研究所,2京大エネルギー理工学研究所

中性子アクティブ法に基づく、従来無いポータブル特定核物質非破壊検知システムの開発を行っている。 本報告では、現在開発中のシステムによる高濃縮ウラン探知性能を確認するための MCNP による解析結果 について報告する。

キーワード:核物質探知システム、特定核物質、閾エネルギー中性子解析法、MCNP

- 1. **緒言** テロに用いられる可能性が高い特定核物質 (SNM) を検知するために、閾エネルギー中性子解析 法[1]に基づくポータブル検査装置システムの開発を行っている。本研究では、本シリーズ発表 (1) において報告する DD 中性子源、張力準安定流体検出器 (TMFD)、天然ウラン (NU) を用いた実験に関して、連続エネルギーモンテカルロ計算コード MCNP による数値解析を実施し、その性能を評価した。
- 2. 解析 本研究で用いる TMFD は、中性子が検出器の有感部に入射し、内包された有機溶媒中の水素原子が反跳されることによって生じる突沸現象を捉えることにより中性子を検出する装置である。そこで、MCNP による検出器内物質の中性子弾性散乱反応率を求めることにより実験をシミュレーションし、実験結果と比較することによって探知システムの性能を評価した。 TMFD を用いた閾エネルギー中性子解析法では、核分裂性物質が体系内に存在しない場合、原理的には DD 中性子源から発生する 2.45MeV 以上のエネルギーの中性子は測定されないので、本計算では中性子エネルギー2.45MeV を境として、その上下のエネルギーに対する中性子との反応率をそれぞれ算出することとした。計算体系に核分裂性物質がない場合、2.45MeV 以上の中性子との反応率は 0 となる。計算対象は、本シリーズ発表 (1) で報告する体系であり、中性子源、それぞれの TMFD 検出器の有感部、コンクリート床(厚さ 15cm)、NU ターゲットを模擬し、それぞれの検出器ユニットにおける反応率を求めた。
- 3. 結果・考察 2.45MeV 以下の中性子に対する反応率は、各条件についてそれほど大きな差異はなく、実験と同様、DD 中性子源との位置関係による影響が大きいことが分かった。2.45MeV 以上の中性子に対する NU 20 kg 体系 (NU20) と NU 板の各板間に 1/4 インチのポリエチレン (PE) 板を挟んだ体系 (Poly-Pile-NU20) の反応率を比較すると、PE 板の効果によって実効増倍率が増加し、その結果、検出器の反応率が 20%程度増加することが分かった。同様に、Poly-Pile-NU20 と NU 量を半分の 10 kg にした体系 (Poly-Pile-NU10) を比較すると、NU の増加によって、計算では約 2 倍程度反応率が増加した。さらに、中性子源と不審物との間に厚さが 5cm の PE 板(幅・高さは共に 50cm)を設置した場合、PE 板の減速の効果によって反応率は 8 %程度上昇し、減速材挿入の有効性を確認した。発表では、NU 試料の位置や量が異なる場合の結果、さらに高濃縮ウランを対象とした場合の計算結果と探知性能について報告する。

参考文献

[1] 増田開他、日本原子力学会 2016 年春の年会予稿集、2B04。

Yoshiyuki Takahashi¹, *Tsuyoshi Misawa¹, Kai Masuda²

¹Inst. Integrated Rad. Nucl. Sci., Kyoto U., ²Inst. Advanced Energy, Kyoto Univ.

Development of Portable Interrogation System for Special Nuclear Materials (III)

(3) The status and Achievements of the Ultra-Compact Neutron Generator based on IEC for SNM Interrogation System

*Mahmoud Bakr¹, Kai Masuda¹ and Masaya Yoshida²

¹Institute of Advanced Energy, Kyoto Univ., ²Graduate School of Energy Science, Kyoto University

The second prototype of the ultra-compact neutron generator based on inertial electrostatic confinement fusion with a titanium anode of 17 cm in diameter was fabricated and tested. A neutron yield more than 7×10^7 n/s from DD fusion reactions was achieved by applying 6.3 kW. The modification which has been made on the first prototype and test performance comparisons between the two prototypes will be presented in this paper.

Keywords: Special nuclear materials, inertial electrostatic confinement fusion, neutron generator

1. Introduction: We are developing the first of its kind, portable, and lightweight active interrogation system for special nuclear materials (SNMs) [1]. The inertial electrostatic confinement (IEC) fusion device [2] is utilized as a neutron source in this system. The 1^{st} and 2^{nd} prototypes have been fabricated and tested. Specifications, operational conditions, and achievements of the 1^{st} and 2^{nd} prototypes are presented in Table 1 in comparison with IEC fabricated 11 years ago by our group, and the R&D goals.

Table 1. Parameters of 1st & 2nd prototypes compared with existing transportable IEC together with R&D goals.

	IEC-LM 2007	1 st prototype	2 nd prototype	R&D target
	Achieved	IEC17	IEC17	
Diameter [cm]	36	22	22	<25
Length [cm]	130	60	70	< 70
Weight [kg]	>40(SUS)	42 (SUS)	35(TI)	<30
Anode dia. [cm]	25	17	17	-
Cathode dia. [cm] (Molybdenum)	8	6	6	=
Vacuum withstand voltage [kV]	100/100	110/120	120/120	120
Discharge voltage [kV]	80	70	70	<120
Discharge power [kW]	8	10.5	6.3	<24
DD NPR [10 ⁷ n/sec]	1	2.8	7.5	>5

2. **Results:** In the 2^{nd} prototype of the IEC17, Ti has been used as anode material instead of SUS in the 1^{st} version for two reasons; to decrease the total weight of the device and to increase the neutron production rate (NPR). Preliminary measurements of NPR have been carried out at a different applied voltage with a maximum power of 6.3 kW, and the results are shown in Fig. 1. It can be seen in figure 1 that $\sim 7.5 \times 10^7$ n/s was achieved at 70 kV applied voltage and 90 mA grid current, which is found to be seven times higher than that produced by the 1^{st} prototype at the same applied power ($\sim 20\%$ of the power supply capacity). The improvement in the NPR can be explained by the fusion reaction taking place on the anode surface between the energetic neutrals, which are generated from the frequent charge exchange collisions between energetic ions and background neutral molecules, and the embedded ions on the Ti surface.

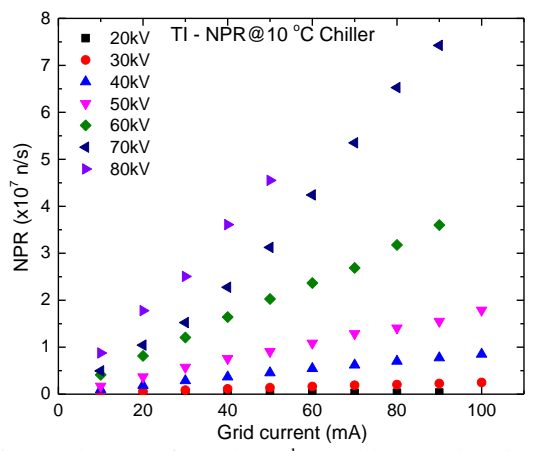


Fig. 1. The NPR from the 2nd portable IEC chamber

3. Conclusions: Using Ti as an anode material in the 2^{nd} prototype of the IEC neutron generator introduces a significant enhancement on the NPR compared to SUS anode in the 1^{st} prototype at the same applied power. This tendency due to the fusion reaction occurred in the anode surface between the energetic neutrals with the background neutral molecules and embedded ions on the Ti surface. The achieved NPR from the 2^{nd} prototype was 7.5×10^7 n/s by applying only $\sim 20\%$ of the power supply capacity. This NPR exceeds the R&D goal for the neutron generator to be used in the SNM interrogation system.

References

- [1] M. Bakr et al., to be published in the CAARI 2018 proceeding.
- [2] R.L. Hirsch, J. Appl. Phys. 38, 4522 (1967).

Oral presentation | V. Nuclear Fuel Cycle and Nuclear Materials | 502-1 Nuclear Materials, Degradation, Radiation Effects, and Related Technology

[1C01-03] Severe Accident 1

Chair:Ken-Ichi Fukumoto(Univ. of Fukui)

Wed. Sep 5, 2018 10:00 AM - 10:50 AM Room C (B21 -B Building)

- [1CO1] Melting behavior of reactor core during severe accident of BWR

 *Takehiro Sumita¹, Yoshinao Kobayashi¹, Shigeru Ueda², Toshio Nakagiri³ (1. Tokyo Institute of Technology, 2. Tohoku University, 3. JAEA)

 10:00 AM 10:15 AM
- [1CO2] Melting behavior of reactor core during severe accident of BWR

 Zheng Lichun¹, Kazuya Hosoi¹, *Shigeru Ueda¹, Xu Gao¹, Shin-ya Kitamrua¹, Yoshinao Kobayashi²

 (1. IMRAM Tohoku University, 2. LANE Tokyo Institute of Technology)

 10:15 AM 10:30 AM
- [1C03] Melting behavior of reactor core during severe accident of BWR *Toshio nakagiri¹, ayako sudo¹, shinji yoshikawa¹, yuta abe¹, ikken sato¹ (1. JAEA) 10:30 AM 10:45 AM

沸騰水型軽水炉過酷事故における炉心溶融物の挙動 (1) メタル系、酸化物系溶融物によるステンレス鋼製構造物の破壊

Melting behavior of reactor core during severe accident of BWR

(1) Fracture behavior of stainless structure materials by molten metallic and oxidic corium

*墨田 岳大1, 小林 能直1, 植田 滋2, 中桐 俊男3

1東京工業大学,2東北大学,3日本原子力研究開発機構

沸騰水型軽水炉過酷事故時には、炉心溶融物がステンレス鋼(SS)製炉心下部構造物を損傷させたと考えられる.本研究では、メタル系溶融物を模擬した SS-B₄C 系融体や、酸化物系溶融物を模擬した UO₂-Zr(O) 系融体による、固相 SS の破損挙動の評価を目的として、各融体中への SS 固相の浸漬試験を行った.

キーワード: 過酷事故, 燃料デブリ取り出し, 共晶溶融, 原子炉材料, ステンレス鋼

1. 緒言

福島原発などの、過酷事故(Severe Accident, SA)を起こした BWR の廃止措置を進めるためには、SA 時に生じる原子炉構成材料間の反応を把握する必要がある。事故が発生して炉心が過熱すると、初めに制御棒 (B_4C) が、制御棒被覆管(ステンレス鋼、SS)との共晶溶融反応により、液化して溶融コリウムを形成して流下する。さらに温度が上昇すると、燃料棒 (UO_2) が燃料棒被覆管(Zircaloy)との共晶溶融反応により、制御棒と同様に、炉心下部へ落下していく。SA 時には、これら溶融コリウムが、SS 製炉心下部構造物を損傷させたと考えられる。溶融コリウムには、制御棒由来のメタル系コリウム(SS-B4C)と、燃料棒由来の酸化物系コリウム(UO_2 -Zircaloy)、およびそれらの複合コリウムが考えられる[I]、本研究では、メタル系コリウムを模擬した SS-B4C 系融体や、酸化物系コリウムを模擬した UO_2 -Zr(O)系融体による、固相 SS の破損挙動の評価を目的として、各融体中への SS 固相の浸漬試験を行った。

2. 実験

2-1. メタル系溶融コリウムへの SS 棒浸漬試験

メタル系溶融コリウム模擬試料として SS-B₄C 共晶合金を作製した. SUS304 粉末試料と B₄C 粉末試料を 3.7 mass%B となるように混合し, アルミナるつぼに装入した. このるつぼを SiC 電気炉に装入し, 1723 K,

Ar-3 %H₂雰囲気下で 90 min 保持後水冷し,溶融物模擬試料を得た.作製した合金を適量アルミナるつぼに入れ,SiC電気炉に装入し,Ar-3 %H₂雰囲気下,所定の温度で予備溶融させた.溶融後,SUS304棒状試験片を,るつぼに対して昇降できるようになっている回転浸漬試験用試験片ホルダーに取り付け,るつぼ直上に装入,保持した.2 min 予熱した後,試験片を降ろし,直ちに所定の回転速度で浸漬試験を開始した.所定の時間経過後,回転を止め,直ちに試験片を取り出し,水冷した.試験温度は1523~1623 K,回転速度は0~1000 rpm で,浸漬時間は30~240 sec で行った.

2-2. 酸化物系溶融コリウムへの SS 棒浸漬試験

酸化物系溶融コリウム模擬試料として UO₂-ZrO₂-Zr 溶融物を, CVR 研究所(チェコ共和国)が有する浮揚型誘導溶解炉(コールドクルーシブル)を用いて作製した. 溶融物温度が約2873 K で安定した後に, SUS304 棒状試験片を浸漬した. 所定の時間経過後試験片を取り出し冷却した. 浸漬時間は2~10 sec で行った.

3. 結果 • 考察

図 1 に 1523K, 300 rpm でのメタル系溶融コリウム中への浸漬後試験片外観を,図 2 に 70mass% UO_2 -30mass%(50mol% ZrO_2 +50mol%Zr)コリウム中への浸漬後試験片外観を示す.浸漬時間の増加に伴う SS 固相の破損量の増加が確認された.本発表では得られた結果について考察する.



図1 メタル系コリウム中への浸漬後外観



図2 酸化物系コリウム中への浸漬後外観

参考文献

[1] R. Sasaki, S. Ueda, S. Kim, X. Gao, S. Kitamura, J. Nucl. Mater., 477, 205-214 (2016)

^{*}Takehiro Sumita¹, Yoshinao Kobayashi¹, Shigeru Ueda², and Toshio Nakagiri³

¹Tokyo Institute of Technology, ²Tohoku University, ³Japan Atomic Energy Agency

沸騰水型軽水炉過酷事故における炉心溶融物の挙動 (2) 制御棒とチャンネルボックスから生成する溶融物

Melting behavior of reactor core during severe accident of BWR

(2) Liquid phase formation from control blade and channel box

鄭 立春¹,細井 一矢¹,*植田 滋¹,高 旭¹,北村 信也¹,小林 能直²

¹東北大学,²東京工業大学

沸騰水型軽水炉の炉心溶融では、ステンレス鋼により構成される制御棒とジルカロイを用いたチャンネルボックスの初期溶融挙動が生成物と溶融挙動を決定する。これらの素材は融点が異なるため、相対的に低温で生成するステンレス鋼系融体と固体ジルカロイの反応による溶融挙動を調査の対象とした。表面に酸化相を形成した固体ジルカロイとステンレス鋼系融体を1300℃において接触し界面における相形成および溶融挙動を観察した。

キーワード: 炉心溶融、ステンレス鋼、ジルカロイ、福島第一事故

- 1. **緒言** 福島第一原発の燃料デブリの取り出し作業においては、デブリの詳細な性状や堆積位置などについて把握する必要があるが、そのために燃料デブリの形成過程についての知見が求められる。制御棒とチャンネルボックスの融点は著しく異なるため、溶融過程でステンレス系融体と固体 Zircaloy-4 との反応が起きた可能性があるが、固液共存を想定した研究例は少ない。本研究ではチャンネルボックスの材料である Zircaloy-4 と制御棒材料である SUS304-B₄C 系合金の融体(ステンレス鋼系融体)との水蒸気を含む雰囲気下、1300°Cでの反応に及ぼす Zircaloy-4 表面の酸化相の影響を検討した。
- 2. 実験方法 Zircaloy-4 を 1200 \mathbb{C} の H_2 O/Ar 雰囲気下で所定時間加熱し表面に $100\mu m$ 厚の酸化相を形成した。SUS304 と B_4 C を Ar 中で加熱溶融の後冷却し、2.0%B, 0.9%C を含有する Fe-Cr-Ni 合金を生成した。ジルコニアるつぼ中に酸化処理した Zircalo-4 と合金試料を入れ、 H_2 O/Ar 雰囲気下において所定時間 1300 \mathbb{C} で加熱した。加熱後の試料は炉から取り出し He 気流下で急冷した後、観察試料とした。
- 3. 反応挙動 Fig.1 に、所定の雰囲気下で 60min 加熱した試料の溶融合金と Zircaloy-4 界面近傍の断面を示す。Zricalo-4 の金属部分は形状を保ち固体であったことが確認できる。同様に酸化相の生成を行わなかった Zircaloy-4 試料について加熱試験を行ったが、Fe 等固溶による共晶温度のため溶融した。溶融合金と Zircaly-4 の金属相は直接接しないため、Zircaloy-4 金属相の溶融は抑制された。Zircaloy-4 の酸化相と金属相との界面付近を EPMA により観察したところ Fe, Cr, Zr, 等が検出され、厚さ 10μm 程度の液相を含む相が新たに形成していることが観察された。この結果か

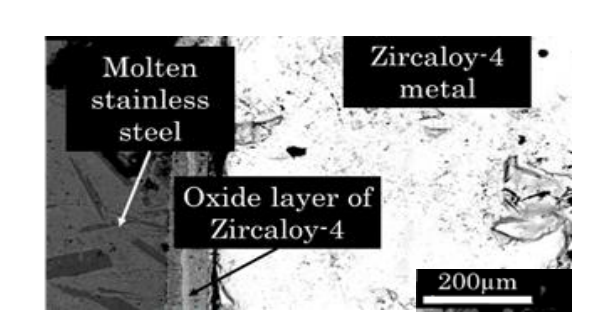


Fig.1 Cross sections of sample heated at 1300° C for 60 min in H_2O/Ar atmosphere using Zircaloy-4

- ら Zircaloy-4 表面に酸化相が存在する場合であっても Zircaloy-4 の酸化相中を溶融合金成分が拡散し、金属相とステンレス鋼系融体との反応と溶融はわずかに進行したことがわかった。
- 4. 結論 Zircaloy-4 表面に 100µm 厚の酸化相を生成し、ステンレス鋼系融体と接触する試験を行った。酸化相を生成することで金属融体と金属 Zircaloy-4 の接触が妨げられ、溶融が抑制された。しかし酸化相と金属相の境界では、Fe 等を含む融体の生成が確認され、酸化物相内をステンレス鋼系融体の成分が拡散することが示された。

本研究は、平成27年度科学技術試験研究委託事業「沸騰水型軽水炉過酷事故後の燃料デブリ取り出しアクセス性に関する研究」において実施されたものです。

*Shigeru Ueda¹, Zheng Lichun¹, Kazuya Hosoi¹, Gao Xu¹, Shin-ya Kitamura¹ and Yoshinao Kobayashi² ¹Tohoku Univ., ²Tokyo Institute of Technology

沸騰水型軽水炉過酷事故における炉心溶融物の挙動 (3) 実機条件検討と溶融物移行挙動

Melting behavior of reactor core during severe accident of BWR

(3) Analysis of accident condition and molten material relocation behavior *中桐 俊男 ¹, 須藤 彩子 ¹, 吉川 信治 ¹, 阿部 雄太 ¹, 佐藤 一憲 ¹ 日本原子力研究開発機構

福島第一原発2号機の事故時の炉容器内の温度・雰囲気組成の分布条件を検討し、模擬溶融物移行試験 等により事故時溶融物移行挙動評価を行った。

キーワード: 炉心溶融、構造材料、福島第一事故

1. 緒言

本研究では、RELAP/SCDAPSIM コードにより福島第一原発(以下、1F)2号機の事故時の炉容器内温度・雰囲気組成分布を時刻歴で評価するととともに、制御棒由来のメタル系溶融物による制御棒リミッター部を模擬した破損試験結果や原子力機構で別途実施した模擬燃料集合体のプラズマ加熱試験結果を踏まえた事故時の溶融物移行挙動を評価した。

2. 研究内容

2-1. 福島2号機の炉容器内温度・雰囲気組成評価

RELAP/SCDAPSIM コードによる典型的な BWR 事故条件の結果を基に、燃料集合体から炉心下部支持構造部に至る領域の温度条件と雰囲気条件を評価した。解析体系を図 1 に、炉心支持板から 7.6cm 上の炉心部温度を図 2 に示すが、ステンレス鋼からなる炉心支持板等の融点の約 1,450℃まで温度上昇するのは約 8.5~9h 以降の Channel-1、Channel-2 である。また、図 3 に示すように炉心部の H_2O/H_2 比は $10^{-1}\sim10^4$ の範囲となり、高さ方向に小さくなり酸化性の低い雰囲気となることがわかる。この H_2O/H_2 比では ZrO_2 、 ZrO_3 、 ZrO_3 FeO 等の酸化物が生成可能である。

2-2. 溶融物移行举動評価

メタル系溶融物による制御棒リミッター部を模擬したステンレス試験体の破損は見られなかった。別途原子力機構で実施したプラズマ加熱試験では高融点のスラグ系溶融物の生成と下方への移行が確認されている。これらの結果から、1F事故時の炉心支持板周辺構造物の破損は、炉心溶融開始後の比較的早い時刻で発生するメタル系溶融物ではなく、遅れて落下する高融点のスラグ系溶融物によるものと推定される。

本研究は、平成27年度科学技術試験研究委託事業「沸騰水型軽水炉過酷事故後の燃料デブリ取り出しアクセス性に関する研究」において実施されたものです。

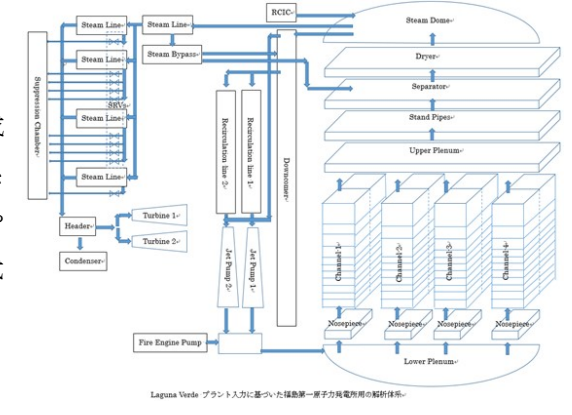


図 1 解析体系図

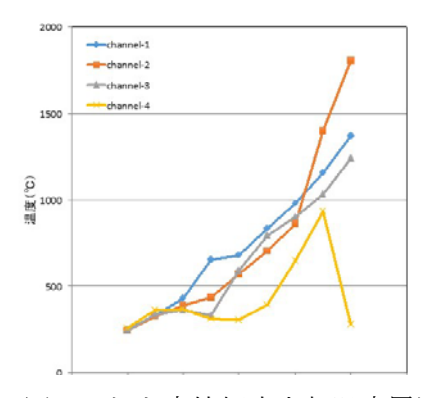


図2 炉心支持板直上部温度履歴

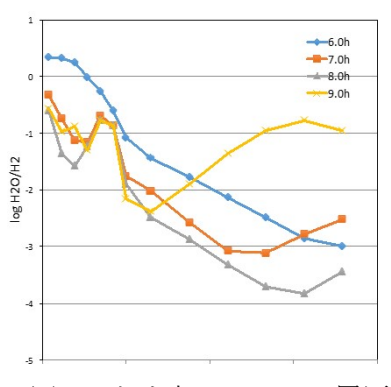


図3 炉心部 H₂O/H₂比履歴

^{*}Toshio Nakagiri¹, Ayako Sudo¹, Shinji Yoshikawa¹, Yuta Abe¹ and Ikken Sato¹ ¹Japan Atomic Energy Agency

Oral presentation | V. Nuclear Fuel Cycle and Nuclear Materials | 502-1 Nuclear Materials, Degradation, Radiation Effects, and Related Technology

[1C04-07] Stainless Steel 1

Chair:Katsuhiko Fujii(INSS)

Wed. Sep 5, 2018 10:50 AM - 11:55 AM Room C (B21 -B Building)

[1C04] Fundamental technology development for evaluation of thermally ageing embrittlement of stainless steel welds used as pressure boundaries in nuclear power plants

*Yutaka Watanabe¹, Toshiaki Horiuchi², Satoshi Minamoto³, Hiroshi Abe¹, Masato Koshiishi⁴ (1. Tohoku University, 2. Hokkaido University of Science, 3. NIMS, 4. NFD) 10:50 AM - 11:05 AM

[1C05] Fundamental technology development for evaluation of thermally ageing embrittlement of stainless steel welds used as pressure boundaries in nuclear power plants

*Hiroshi Abe¹, Yutaka Watanabe¹, Kazuma Hirata¹, Takamichi Miyazaki¹, Masato Koshiishi⁴, Toshiaki Horiuchi², Satoshi Minamoto³ (1. Tohoku Univ, 2. Hokkaido University of Science, 3. NIMS, 4. NFD)

11:05 AM - 11:20 AM

[1C06] Fundamental technology development for evaluation of thermally ageing embrittlement of stainless steel welds used as pressure boundaries in nuclear power plants

*Toshiaki Horiuchi¹, Satoshi Minamoto², Masato Koshiishi³, Hiroshi Abe⁴, Yutaka Watanabe⁴ (1. HUS, 2. NIMS, 3. NFD, 4. Tohoku Univ.)

11:20 AM - 11:35 AM

[1C07] Fundamental technology development for evaluation of thermally ageing embrittlement of stainless steel welds used as pressure boundaries in nuclear power plants

*SATOSHI MINAMOTO¹, Toshiaki Horiuchi², Hiroshi Abe³, Yutaka Watanabe³ (1. National Institute for Materials Science, 2. Hokkaido University of science, 3. Tohoku University) 11:35 AM - 11:50 AM

1C04

圧力バウンダリ構成部で使用されるステンレス溶接金属の 熱時効脆化評価のための基盤技術開発

(5) 概要

Fundamental technology development for evaluation of thermally ageing embrittlement of stainless steel welds used as pressure boundaries in nuclear power plants

(5) Summary

*渡邉 豊¹, 堀内 寿晃², 源 聡³, 阿部 博志¹, 越石 正人⁴¹ ¹東北大学, ²北海道科学大学, ³物質・材料研究機構, ⁴日本核燃料開発

ステンレス鋼溶接部の熱時効組織変化の特異性の評価・把握、2 相組織の熱時効に及ぼす中性子照射効果の評価、計算科学に基づく時効組織変化の予測技術開発を実施することで、圧力バウンダリ構成部に使用されるステンレス溶接金属の熱時効組織変化評価の基盤技術を開発した。本稿では、全体概要を述べる。

キーワード: オーステナイト系ステンレス鋼、溶接金属、熱時効脆化

1. 緒言

原子炉容器内面クラッドや一次系配管の溶接部等には、ステンレス溶接金属が使用されている。ステンレス溶接金属は2相組織であるため、長期間の運転により熱時効脆化を起こすことが懸念される。しかし、従来、ステンレス鋳鋼については熱時効脆化評価が行われているものの、ステンレス溶接金属については明確な要求がない。本研究では、ステンレス溶接金属の熱時効脆化要因と予想されるスピノーダル分解等のミクロ組織調査に基づいて熱時効組織変化挙動を明らかにするとともに、その予測手法を計算材料科学によるシミュレーションにより開発した。また、中性子照射を受けたステンレス溶接金属のミクロ組織調査を行い、照射環境の熱時効組織変化に及ぼす影響を検討した。

2. 全体計画

- (1) ステンレス溶接金属の熱時効試験:ステンレス溶接金属の熱時効硬化挙動に及ぼす成分あるいは溶接条件の影響評価、ステンレス鋳鋼について蓄積されてきた知見との比較により相違の有無を考察する。
- (2) 照射済み溶接金属のミクロ組織調査:透過型電子顕微鏡ならびに3次元アトムプローブを用いたミクロ組織調査に基づいて、熱時効硬化挙動への中性子照射影響の有無を明らかにする。
- (3) ステンレス溶接金属の熱時効組織変化モデルの開発:熱時効組織変化挙動への中性子照射影響を考慮した① G 相析出予測モデル、② スピノーダル分解予測モデル、を開発する。

3. 成果の概要

ステンレス鋼溶接金属とステンレス鋳鋼との間で、熱時効硬化挙動(硬化速度ならびに最大硬さ)に大きな違いは無いと判断された。また、熱時効に中性子照射が重畳することで、単純熱時効条件と比較してスピノーダル分解ならびに G 相形成が加速されることを支持する結果が得られた。さらに、照射による過剰空孔の影響を加味したスピノーダル分解予測モデルとの連成により、過剰空孔が存在する母相から G 相が析出するモデルを構築し、本事業で得られた実験データを再現可能な熱時効予測モデルを構築した。

謝辞

本研究の一部は、「文部科学省 英知を結集した原子力科学技術・人材育成推進事業」により実施された「圧力バウンダリ構成部で使用されるステンレス溶接金属の熱時効脆化評価のための基盤技術開発」の成果である。

^{*}Yutaka Watanabe¹, Toshiaki Horiuchi², Satoshi Minamoto³, Hiroshi Abe¹, Masato Koshiishi⁴

¹Tohoku Univ., ²Hokkaido Univ. of Science, ³National Institute for Materials Science, ⁴Nippon Nuclear Fuel Development

圧力バウンダリ構成部で使用されるステンレス溶接金属の 熱時効脆化評価のための基盤技術開発

(6) ステンレス鋼の熱時効硬化挙動ならびに照射材のミクロ組織調査

Fundamental technology development for evaluation of thermally ageing embrittlement of stainless steel welds used as pressure boundaries in nuclear power plants

(6) Effects of thrmal aging and neutron irradiation on microstructural changes of stainless steel welds *阿部 博志¹, 渡邉 豊¹, 平田一真¹, 宮崎孝道¹, 越石正人⁴、堀内 寿晃², 源 聡³
「東北大学, ²北海道科学大学, ³物質・材料研究機構, ⁴日本核燃料開発

ステンレス鋼溶接金属の熱時効材について、フェライト相の硬さならびにミクロ組織を調査した。照射材を対象とした3次元アトムプローブ分析結果から、熱時効に中性子照射が重畳することで、単純熱時効条件と比較してスピノーダル分解ならびにG相形成が加速されることを支持する結果が得られた。

キーワード: オーステナイト系ステンレス鋼、溶接金属、熱時効脆化

1. 緒言

ステンレス溶接金属は長期間の運転により、ステンレス鋳鋼と同様に熱時効脆化を起こすことが懸念される。本研究では、ステンレス溶接金属の熱時効硬化挙動ならびにミクロ組織変化に及ぼす成分あるいは溶接条件の影響を評価するとともに、ステンレス鋳鋼について蓄積されてきた知見との比較により相違の有無を考察した。また、照射材を対象とした透過型電子顕微鏡(TEM)ならびに 3 次元アトムプローブ (3DAP) を用いたミクロ組織調査に基づいて、熱時効硬化挙動への中性子照射影響の有無を評価した。

2. 実験方法

316L 鋼溶接試験体について、スピノーダル分解が優先して生じると考えられる 300℃台前半の温度域を中心に最大で 12000 時間熱時効処理を行い、微小硬度計を用いてフェライト相の硬化挙動を評価すると共に、TEM 観察によりフェライト相内のミクロ組織変化を調査した。また、上記供試材について非照射・未時効材、非照射・時効(275℃・8000 時間)材、照射($5\times10^{24}\,\mathrm{n/m^2}$ 、 $2\times10^{22}\,\mathrm{n/m^2}$)・時効(275℃・8000 時間)材の 4 種類を準備し、TEM 観察ならびに 3DAP 分析によりミクロ組織を調査した。

3. 結果及び考察

本研究の範囲内では、ステンレス鋼溶接金属とステンレス鋳鋼との間で、熱時効硬化挙動(硬化速度ならびに最大硬さ)に大きな違いは無いと判断された。むしろ、鋼種(すなわち δ 相成分)の影響の方がより大きいと考えられた。成分の観点からは、Mo が時効硬化の加速因子として働くことが示唆された。これは、これまで主にステンレス鋳鋼で報告されていた知見と整合する。照射材を対象とした 3DAP 分析においては、いずれの照射材においてもスピノーダル分解によるものと推察される Cr 濃度変調ならびにNi-Mn-Si クラスター(G 相前駆体)の形成が認められた。一方で非照射材においては、時効の有無によらず有意なミクロ組織変化は認められなかった。すなわち、熱時効に中性子照射が重畳することで、単純熱時効条件と比較してスピノーダル分解ならびにG 相形成が加速されることを支持する結果が得られた。

謝辞

本研究の一部は、「文部科学省 英知を結集した原子力科学技術・人材育成推進事業」により実施された「圧力バウンダリ構成部で使用されるステンレス溶接金属の熱時効脆化評価のための基盤技術開発」の成果である。

*Hiroshi Abe¹, Yutaka Watanabe¹, Kazuma Hirata¹, Takamichi Miyazaki¹, Masato Koshiishi⁴, Toshiaki Horiuchi², Satoshi Minamoto³

¹ Tohoku Univ., ² Hokkaido Univ. of Science, ³ National Institute for Materials Science, ⁴ Nippon Nuclear Fuel Development

1006 2018年秋の大会

圧力バウンダリ構成部で使用されるステンレス溶接金属の 熱時効脆化評価のための基盤技術開発 (7) G 相析出予測モデルの開発

Fundamental technology development for evaluation of thermally ageing embrittlement of stainless steel welds used as pressure boundaries in nuclear power plants

(7) Development of prediction model for G phase precipitation *堀内 寿晃 ¹, 源 聡 ², 越石 正人 ³, 阿部 博志 ⁴, 渡邉 豊 ⁴ ¹ 北海道科学大学, ²物質・材料研究機構, ³日本核燃料開発, ⁴東北大学

G 相析出による 2 相ステンレス鋼の照射下熱時効劣化挙動を評価するために、熱力学データベースを新規開発して熱力学平衡計算を行うとともに、G 相析出のシミュレーションを行い、照射の影響を加味した G 相析出挙動を評価した。G 相析出挙動の計算結果は、本研究の実測値の傾向と良く一致した。

キーワード: 二相ステンレス鋼、G相、熱力学計算、相安定性、析出挙動

1. 緒言

原子炉容器内面クラッドや一次系配管の溶接部に用いられる二相ステンレス溶接金属は、長期間の運転によりフェライト相中に G 相(Ni, Si, Mn を主体とする金属間化合物)が析出して熱時効脆化を起こすことが懸念されているが[1]、多成分系の G 相に関しての熱力学的な考察はこれまでほとんどなく、照射下における長期間の熱時効試験も容易ではない。本研究では熱力学データベースを新規開発して熱力学平衡計算を行うとともに、G 相析出のシミュレーションを行い、照射の影響を加味した G 相析出挙動を評価した。

2. 計算方法

本研究の実験で用いたステンレス溶接金属に対して、新規開発した熱力学データベースを使用して Thermo-Calc (ver. 2017b)により G 相の安定性に及ぼす空孔濃度、温度及び合金組成の影響を評価した。さらに、TC-PRISMA を使用し、拡散データベースは MOB2 (ver. 2.5)を使用して G 相析出挙動のシミュレーションを行った。界面エネルギー等の計算に必要なパラメータは、文献値及び本研究の実験結果を参考にして 調整した。照射による過剰空孔の影響については拡散速度の増加という形でモデル化した。

3. 結果及び考察

熱力学平衡計算の結果、照射によりフェライト母相に過剰空孔が導入されても、G 相を含む各相の安定性にはほとんど影響がないことが示唆された。G 相析出挙動計算の結果は、本研究で得られた熱時効硬化挙動の実測値の傾向と非常に良く一致した。また、各熱時効時間に対する G 相のサイズ分布やフェライト相の各元素濃度等、長時間の熱時効における G 相析出及び成長挙動に関する様々な情報を取得できることが示された。さらに、照射下においては G 相析出開始時間が数百分の 1 になることが予測された。

謝辞

本研究の一部は、「文部科学省 英知を結集した原子力科学技術・人材育成推進事業」により実施された「圧力バウンダリ構成部で使用されるステンレス溶接金属の熱時効脆化評価のための基盤技術開発」の成果である。

参考文献

[1] A. Trautwein and W. Gysel: Stainless Steel Castings, ASTM STP 756 (1982), 165-189.

^{*}Toshiaki Horiuchi¹, Satoshi Minamoto², Masato Koshiishi³, Hiroshi Abe⁴, Yutaka Watanabe⁴

¹Hokkaido Univ. of Science, ²National Institute for Materials Science, ³Nippon Nuclear Fuel Development, ⁴Tohoku Univ.

圧力バウンダリ構成部で使用されるステンレス溶接金属の 熱時効脆化評価のための基盤技術開発 (8) スピノーダル分解予測モデルの開発

Fundamental technology development for evaluation of thermally ageing embrittlement of stainless steel welds used as pressure boundaries in nuclear power plants

(8) Development of prediction model for spinodal decomposition *源 聡¹, 堀内 寿晃², 越石 正人³, 阿部 博志⁴, 渡邉 豊⁴¹物質・材料研究機構,²北海道科学大学,³日本核燃料開発,⁴東北大学

照射下において空孔が過剰に存在する場合のフェライト相のスピノーダル分解が、2 相ステンレス鋼の照射下熱時効劣化挙動に及ぼす影響を評価するために、熱力学データベースや拡散に関する影響を考慮した上で二相分離の計算を行い、照射の影響を検討した。本研究の実測値からは照射によりスピノーダル分解が加速されることが確認されたが、本計算においても同様の傾向を得ることができた。

キーワード: 二相ステンレス鋼、スピノーダル分解、熱力学計算、相安定性

1. 緒言

原子炉容器内面クラッドや一次系配管の溶接部に用いられる二相ステンレス溶接金属は、長期間の運転によりフェライト相がスピノーダル分解を起こし熱時効脆化に影響を及ぼす可能性が示唆されている[1]が、照射によって導入される過剰空孔を考慮した報告はほとんどない状態である。本研究では成分系を Fe, Cr に絞り過剰空孔が導入された場合の Gibbs エネルギーの変化や拡散定数の変化を見積り、動力学的な計算を行うことで、スピノーダル分解の時間的、空間的な影響を評価した。

2. 計算方法

照射による過剰空孔の存在を仮定して、Fe-Cr 二元系合金のフェライト相に関して、Gibbs エネルギーと拡散定数の変化を見積り、スピノーダル組成の変化などを検討した。これらのパラメータを用いて動力学計算を行い、スピノーダル分解の可能性について検討を行った。

3. 結果及び考察

まず過剰空孔を含まない場合の相分離に関して、これまでの実験結果の知見との照合を行った。二相分離の可能性は、保持温度と Cr の濃度にも大きく依存することが相平衡状態図より示唆されるが、それを反映する結果となった。さらに過剰空孔が導入されると、過剰空孔がない場合と比較して、スピノーダル分解の速度は加速される傾向となった。これは、過剰空孔量と保持温度、さらに Cr 量によって大きく変化するが、数倍から数十倍の速さでスピノーダル分解が加速されることがわかった。

謝辞

本研究の一部は、「文部科学省 英知を結集した原子力科学技術・人材育成推進事業」により実施された 「圧力バウンダリ構成部で使用されるステンレス溶接金属の熱時効脆化評価のための基盤技術開発」の成果である。

参考文献

[1] 桑野寿. "2 相ステンレス鋼の時効脆化と寿命予測." まてりあ 35.7 (1996): 747-752.

^{*}Satoshi Minamoto¹, Toshiaki Horiuchi², Masato Koshiishi³, Hiroshi Abe⁴, Yutaka Watanabe⁴

¹National Institute for Materials Science, ²Hokkaido University of Science, ³Nippon Nuclear Fuel Development, ⁴Tohoku Univ.

Oral presentation | V. Nuclear Fuel Cycle and Nuclear Materials | 502-1 Nuclear Materials, Degradation, Radiation Effects, and Related Technology

[1C08-10] Stainless Steel 2

Chair: Yasuhiro Chimi (JAEA)

Wed. Sep 5, 2018 2:45 PM - 3:35 PM Room C (B21 -B Building)

[1C08] Localized deformation of stainless steels neutron-irradiated in PWRs *Terumitsu Miura¹, Katsuhiko Fujii¹, Koji Fukuya¹, Yuji Kitsunai² (1. Instuitute of Nuclear Safety System, 2. Nippon Nuclear Fuel Development)

2:45 PM - 3:00 PM

[1C09] Dose dependence of solute clusters in neutron-irradiated 316 stainless steels

*Katsuhiko Fujii¹, Koji Fukuya¹ (1. Institute of Nuclear Safety System) 3:00 PM - 3:15 PM

[1C10] Mechanical Properties and Microstructural Changes of Improved Stainless Steel for JOYO Irradiated Next Generation Reactor

*Mitsutaka Nishimura¹, Ken-ichi Fukumoto³, Hideki Matsui², Takashi Onitsuka³ (1. University of Fukui, 2. Tohoku University, 3. Research Institute of Nuclear Engineering)

3:15 PM - 3:30 PM

1008 2018年秋の大会

PWR 照射ステンレス鋼の局所変形挙動 - BFB 材と FTT 材の比較 -

Localized deformation of stainless steels neutron-irradiated in PWRs

- Comparison between baffle former bolt and flux thimble tube -

*三浦照光¹、藤井克彦¹、福谷耕司¹、橘内裕寿²
「原子力安全システム研究所、²日本核燃料開発

PWR で照射されたバッフルフォーマボルト (BFB) 材とシンブルチューブ (FTT) 材を 320℃ で 3%引張変形させた。 ネッキング領域は FTT 材の方が狭く、伸びが同じでも局所ひずみは BFB 材より大きくなることが分かった。また、粒 界近傍では局所方位差が大きくなったが、BFB 材と FTT 材で粒界近傍の方位差に大きな違いは認められなかった。 キーワード: 照射誘起応力腐食割れ、ステンレス鋼、中性子照射、局所ひずみ、局所方位差

1. 緒言

照射誘起応力腐食割れ(IASCC)の発生試験には、高照射材の入手が可能な 316 ステンレス鋼製の FTT が試験材として多用されており、IASCC の発生応力は BFB 材に比べて FTT 材の方が低い傾向が報告されている[1]。 BFB 材と FTT 材では結晶粒径と表面硬さおよび変形挙動に違いがあり、IASCC 挙動に影響する可能性が指摘されているが[1]、変形挙動の違いについては詳しく分かっていない。本研究では、BFB 材と FTT 材で IASCC 挙動が異なる原因を明らかにする一環として、320°C で BFB 材と FTT 材を引張変形させ、SEM 観察と EBSD 測定により変形挙動の違いを調べた。

2. 試験

PWR で 19dpa 照射された BFB 材と 17dpa 照射された FTT 材から、ゲージ部寸法がそれぞれ $2.5 \times 0.9 \times 0.5$, 10.2mm の引 張試験片を作製し、コロイダルシリカで表面研磨した後、10.2mm の引 試験を実施した。試験後、試験片表面の酸化膜を脱膜処理し、SEM 観察を行った。また、表面のすべり線による凹凸をコロイダルシリカによる再研磨で除去した後、EBSD 測定を実施して粒界近傍の局所方位差を評価した。

3. 結果

試験後のゲージ部の SEM 像を図に示す。BFB 材のネッキング領域は FTT 材より広く、局所ひずみは BFB 材では最大 6%であったが、FTT 材では最大 20%であった。局所ひずみが 5~6%の領域で局所方位差を調べた結果、粒界近傍では方位差が大きくなる傾向があり、粒内と粒界近傍での方位差の違いは BFB 材の方が大きかったが、粒界近傍の方位差は BFB 材と FTT 材で大きな違いは認められなかった。結晶粒径が大きい BFB 材では (BFB: 74μm、FTT: 10μm)、隣接粒が変形しても粒界近傍が局所的に変形して影響を緩和できるが、粒径が小さい FTT 材では隣接粒の変形を緩和できずに結晶粒全体が変形し、その隣の結晶粒へとせん断方向に変形が伝播していく可能性が

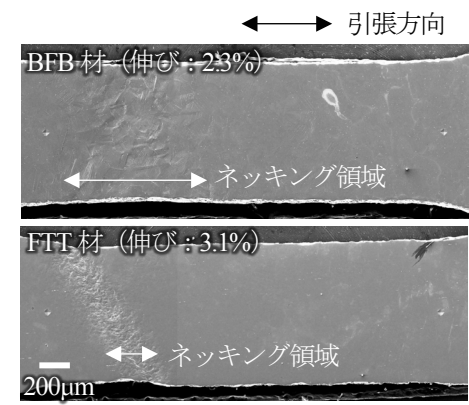


図 試験後のゲージ部の SEM 像

考えられる。このため、FTT 材ではネッキング領域が狭く、局所方位差も粒内と粒界近傍で大きく異ならなかったと推測された。伸びが同じでも局所ひずみが大きくなる FTT 材の方が、IASCC を発生し易い可能性が考えられる。

参考文献

[1] K. Takakura et al., 14th Int. Conf. on Environmental Degradation of Materials in Nuclear Power Systems, Virginia Beach, VA, August 23-27, 2009.

^{*}Terumitsu Miura¹, Katsuhiko Fujii¹, Koji Fukuya¹, Yuji Kitsunai²

¹Instuitute of Nuclear Safety System, ²Nippon Nuclear Fuel Development

1C09

照射ステンレス鋼の溶質原子クラスタの照射量依存性

Dose dependence of solute clusters in neutron-irradiated 316 stainless steels

*藤井 克彦, 福谷 耕司 原子力安全システム研究所

実機軽水炉で照射されたステンレス鋼についてアトムプローブ(APT)分析を行い、溶質原子クラスタ形成に対する中性子照射の影響を調べた結果、低照射量から Ni-Si クラスタが形成し、照射量の増加に伴い Mn を含む Ni-Si クラスタが形成することが分かった。

キーワード:中性子照射、ステンレス鋼、アトムプローブトモグラフィ、溶質原子クラスタ

1. 緒言

軽水炉内構造物材料として使用されるオーステナイトステンレス鋼の中性子照射によるミクロ組織変化やミクロ組成変化は照射誘起応力腐食割れの発生や靱性の低下を引き起こす。このため、主として透過型電子顕微鏡(TEM)による評価が行われ、ミクロ組織変化に関しては転位ループやブラックドット、キャビティ、γ′析出物の形成について多くの報告がなされている。近年、原子レベルの空間分解能を有する質量分析法である APT 分析が中性子照射材やイオン照射材に対して試みられ、溶質原子クラスタの形成が報告されつつあるが数はまだ少ない。本研究では、最大 74dpa まで照射されたステンレス鋼を APT 分析で調べ、溶質原子クラスタの照射による変化を調べた。

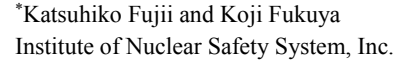
2. 方法

供試材は国内軽水炉で照射された冷間加工 SUS316 ステンレス鋼である。材料組成(wt%)は Fe-0.04C-0.62Si-1.63Mn-0.022P-0.006S-12.6Ni-16.94Cr-2.22Mo であり、照射量は 3、11、35、53、74dpa である。APT の測定には、日本原子力研究開発機構の原子炉廃止措置研究センターの管理区域内に設置された CAMECA 社製の LEAP3000XHR を用いた。測定はレーザーパルスモードで行い、試料温度 35K、レーザー 出力 0.3nJ、パルス周波数 200kHz とした。なお、測定用の針状の試料は集束イオンビーム加工装置を用いて作製した。

3. 結論

各照射量で Ni-Si クラスタが高密度にマトリックスに存在した。3dpa 照射材からクラスタは直径が 6~10nm の比較的大きなもの (Large cluster) と直径が 3~4nm の小さなもの (Small cluster) からなっていた。図に照射

に伴うクラスタの数密度の変化を示す。クラスタの数密度の合計は小さなクラスタの増加に伴い増加したが、大きなクラスタは逆にわずかに減少した。また、クラスタの平均組成は各照射量でクラスタの大きさと数密度、平均組成は11dpa 照射材、35dpa 照射材、53dpa 照射材および74dpa 照射材でほぼ同じであり、11dpa 以上で飽和する傾向であったが、35dpa 以上の照射材で Mn を含む大きなクラスタが存在した。11dpa から35dpa への照射量の増加に伴いクラスタの一部が変化することが示唆された。



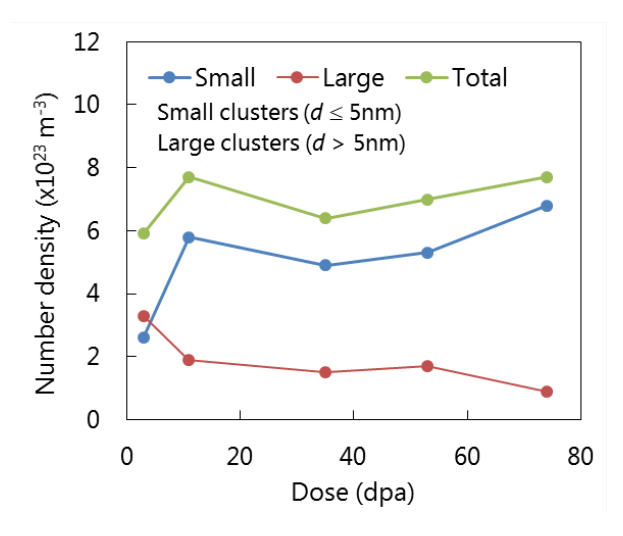


図 照射に伴うクラスタの数密度の変化

常陽照射した次世代炉向け改良ステンレス鋼の機械的性質と微細組織変化

Mechanical Properties and Microstructural Changes of Improved Stainless Steel for JOYO Irradiated Next

Generation Reactor

*西村 光隆¹,福元 謙一²,鬼塚 貴志²,松井 秀樹³ 「福井大学大学院,²福井大原子力研,³東北大学(名誉教授)

本研究では次世代炉向け改良ステンレス鋼について、中性子照射により生じる機械的性質と微細組織変化について調査を行った。

キーワード:ステンレス鋼,中性子照射

1. 緒言

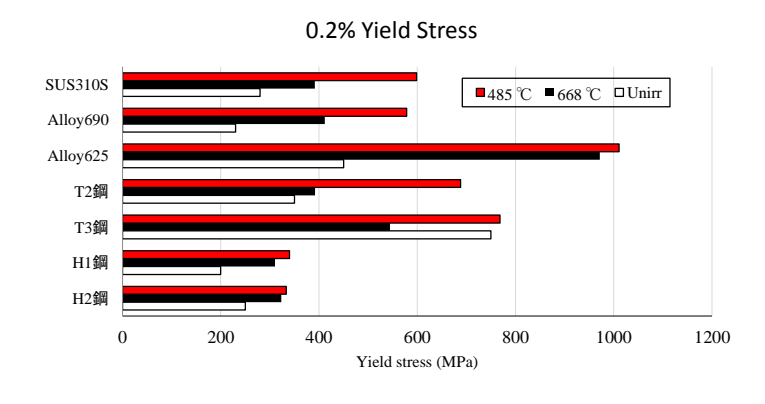
次世代原子カシステムとして高い熱効率と小型化が可能な超臨界水冷却炉(SCWR)が提案され、燃料被覆管としてステンレス鋼が検討されているが、温度範囲が広く中性子照射量が大きいことから被覆管材料の健全性がシステムの成立性を決定する重要な課題となっている。特に炉心環境における材料の劣化を予測する上で、超臨界水による腐食、重照射による照射損傷組織発達に伴う機械的特性の変化のデータの取得が望まれている。本研究では常陽炉で SCWR 運転温度における中性子照射により生じる機械的性質と微細組織変化について調査を行った。

2. 実験方法

試料は Ni 基合金およびステンレス鋼を用いた(SS310 鋼、Alloy690、Alloy625、T2 鋼 (T6N)、T3 鋼 (T6F)、H1 鋼、H2 鋼)。T2 鋼と T3 鋼は SUS310 をベースにしたもので T3 鋼は微細粒化したものである。H1 鋼は SUS316 に、H2 鋼は SUS310 に Zr を添加したものである。試料は SSJ 引張試験片 (16x4x0.25mm)を用い、照射は常陽炉の CMIR-6 照射リグにて行われ、公称温度・公称線量の条件として、 485° C・4.3x 10^{25} n/m² および 668° C・4.3x 10^{25} n/m² で行った。照射環境は液体 Na 雰囲気下で行われた。照射後室温にて引張試験と SEM による破面観察を行った。また、TEM により微細組織観察を行った。

3. 結果

図 1 は 485 $\mathbb C$ および 668 $\mathbb C$ で常陽炉照射された各種鋼と非照射材の室温引張試験により得られた降伏応力の比較図を示す。概ね 485 $\mathbb C$ 照射において硬化が顕著であった。Alloy625 合金が最も硬化しており、伸びの低下も著しく SEM 破面観察において破断面は粒界割れをしており照射硬化の影響が最もみられた。図 2 は 485 $\mathbb C$ $\mathbb C$ で照射した Alloy625 合金の破断面である。 $\mathbb C$ による微細組織観察の結果については発表にて報告する。



485°C 668°C

400μm

400μm

50μm

図1 各種鋼の室温引張試験による降伏応力

図2 Alloy625 合金の破断面

参考文献

[1] Junya Kaneda, Shigeki Kasahara, Jiro Kuniya, Kumiaki Moriya, Fumihisa Kano, Norihisa Saito, Akio Shioiri, Tamaki Shibayama, Heishichiro Takahashi, "GENERAL CORROSION PROPERTIES OF TITANIUM BASED ALLOYS FOR THE FUEL CLADDINGS IN THE SUPERCRITICAL WATER-COOLED REACTOR (2005)

^{*} Mitsutaka Nishimura¹, Ken-ichi Fukumoto², Takashi Oniduka² and Hideki Matsui³

¹University of Fukui., ²Research Institute of Nuclear Engineering., ³Tohoku university.

Oral presentation | V. Nuclear Fuel Cycle and Nuclear Materials | 502-1 Nuclear Materials, Degradation, Radiation Effects, and Related Technology

[1C11-13] Reactor Pressure Vessel 1

Chair: Naoyuki Hashimoto (Hokkaido Univ.)

Wed. Sep 5, 2018 3:35 PM - 4:25 PM Room C (B21 -B Building)

- [1C11] Physical property measurements and crystallographic analysis of Gphase Ni₁₆Si₇Mn₆
 - *Yoshitaka Matsukawa¹, Masatake Yamaguchi², Yoshiya Homma¹, Fumihiro Nakamori³, Hiroaki Muta³, Daichi Ito¹, Yuji Ohishi³, Yoshinao Kobayashi⁴ (1. Tohoku University, 2. Japan Atomic Energy Agency, 3. Osaka University, 4. Tokyo Institute of Technology)
 - 3:35 PM 3:50 PM
- [1C12] Microstructure analysis using X-ray absorption on HAZ of ion-irradiated RPV steel
 - *Yoosung Ha¹, Keiko Iwata¹, Hisashi Takamizawa¹, Yoshihiro Okamoto¹, Iwao Shimoyama¹, Mitsunori Honda¹, Satoshi Hanawa¹, Yutaka Nishiyama¹ (1. JAEA) 3:50 PM - 4:05 PM
- [1C13] Irradiation embrittlement of RPV steel model alloys with different Cu,Ni levels and recovery behavior by thermal treatment
 - *Yusuke Goya¹, Hideo Watanabe², Takuya Yamamoto³, Takuya Tsuru¹ (1. Kyushu Univ, 2. RIAM, Kyushu Univ, 3. University of California, Santa Barbara)

4:05 PM - 4:20 PM

1C11 2018年秋の大会

G相(Ni₁₆Si₇Mn₆)の物性測定と結晶構造解析: 軽水炉圧力容器の脆化寿命予測の高精度化に資する基礎研究

Physical property measurements and crystallographic analysis of G-phase Ni₁₆Si₇Mn₆:

A fundamental study for lifetime prediction of reactor pressure vessel steels undergoing irradiation-induced embrittlement

*松川 義孝 ¹, 山口 正剛 ², 本間 佳哉 ¹, 中森 文博 ³ 牟田 浩明 ³, 井藤 大智 ¹, 大石 佑治 ³, 小林 能直 ⁴

1東北大学・金研,2原子力研究開発機構,3大阪大学,4東京工業大学

原子炉圧力容器鋼の照射脆化の引き金となる析出物 "G 相 (Ni16Si7Mn6)"のバルク材をアーク溶解で作成し、物性測定を行った結果について報告する。第一原理計算の結果と比較した結果についても言及する。

キーワード: 圧力容器、脆化、析出物、物性、状態図

軽水炉の圧力容器本体を構成する低合金鋼(A533B など)の照射脆化の主な要因は、照射と長時間時効 の相乗効果で生じるナノサイズの析出物である。運転開始直後の数年間は主に Cu が析出するが、30-40 年 経過すると Cu はあらかた枯渇し、代わりに Ni と Mn、Si などが析出し始める[1]。この Ni-Mn-Si 析出物は、 これまで長い間素性がわからず、便宜上 late-blooming phase と呼ばれてきたが、2013 年頃から、これは金 属間化合物 G 相(Ni_1 6 Si_7 Mn_6)と考えるのが妥当であると指摘する報告が目立つようになってきた[2]。こ の最新の知見を考慮すると、圧力容器の脆化寿命予測の精度を向上させるための具体的な指針の一つとし て、G 相の析出メカニズムを明らかにし[3]、それを踏まえて析出の予測精度を向上させることが有効であ ると考えられる。そのためには、析出の熱力学的な駆動力を正確に評価することが必要不可欠であるが、 現状ではG相の物性についての情報が乏しいため、計算結果の妥当性を検証することが困難である。本研 究では、G 相そのものの単相インゴットをアーク溶解で作成し、融点や比熱、熱膨張係数、破壊靭性とい った物性データを取得し、さらに自由エネルギーを実験で導出することを試みた。実験データを Thermo-cale などの状態図計算に反映させることが、本研究の最終的な目標である。Thermo-calc の既存のデータベース (TCFE8) で算出した G 相の融点は、実際の融点とは約800 K も異なることが明らかとなった。また、G 相は非常に脆く、インゴットに少しでもクラックが入ると、素手でも簡単に割れてしまうことが明らかと なった。実験及び熱力学計算と並行して第一原理計算も行い、シミュレーションで実験データをどこまで 正確に再現できるのかも評価した。G 相の単位胞を構成する原子の数は 116 もあり、さらに磁性の取り扱 いにも配慮しなくてはならないため、大規模な第一原理計算が必要になる。今回の発表は、原子力学会に おける本研究プロジェクトの最初の報告であるため、主に概要と展望について紹介する予定である。

本発表の一部は科研費(16K06767と17H03375)と ISIJ 鉄鋼助成金(第26回)の成果である。

参考文献

- [1] Zinkle, S. J. & Was, G. S. Acta Mater. 61, 735–758 (2013). [2] Sprouster, D. J. et al. Scripta Mater. 113, 18–22 (2016).
- [3] Matsukawa, Y. et al. Acta Mater. 116, 104–113 (2016).

*Yoshitaka Matsukawa¹, Masatake Yamaguci², Yoshiya Homma¹, Fumihiro Nakamori³, Hiroaki Muta³, Daichi Ito¹, Yuji Ohishi³, Yoshinao Kobayashi⁴; ¹Tohoku University, ²Japan Atomic Energy Agency, ³Osaka University, ⁴Tokyo Institute of Technology

イオン照射した原子炉圧力容器鋼溶接熱影響部の X 線吸収を用いた微細組織分析

Microstructure analysis using X-ray absorption on HAZ of ion-irradiated RPV steel *河 作成,岩田 景子,髙見澤 悠,岡本 芳浩,下山 巖,本田 充紀,塙 悟史,西山 裕孝日本原子力研究開発機構

原子炉圧力容器鋼の溶接熱影響部 (HAZ) について、広域 X 線吸収微細構造(EXAFS)解析を用いて、イオン照射による溶質原子周辺の構造変化を調べた。

キーワード:圧力容器鋼、溶接熱影響部、X線吸収微細構造、イオン照射

1. 緒言

原子炉圧力容器鋼の溶接熱影響部 (HAZ) では、熱履歴に応じて組織が分布している。HAZ の照射硬化やメカニズムを知るにはHAZの組織毎の照射による微細構造変化を調べることが重要である。EXAFS は、X 線のエネルギーを連続的に変えながら入射し、元素固有のエネルギーで内殻電子が励起される際の吸収エネルギーについて透過 X 線または蛍光 X 線から分析する手法であり、特定元素に着目して結合距離や化学状態の情報を取得できる。3 次元アトムプローブなどではナノオーダー領域における溶質原子クラスター等が観察できるが、EXAFS では観察する領域の平均的な情報として非破壊的に評価できる。本研究では、ステンレスオーバーレイクラッド (以下、クラッド) 直下に生じる HAZ の未照射材及びイオン照射材に対して、EXAFS による特定元素の X 線吸収スペクトルを取得し、微細構造の変化を調査した。

2. 実験

低合金鋼 (Cu: 0.16wt.%) のクラッド直下の HAZ に対して、290°Cで 2.8 MeV の Fe²⁺イオン照射を行った。損傷量は照射表面から 600 nm の深さにおいて約 0.5 dpa であった。放射光施設 (KEK PF BL-27B) において、未照射材及び照射材に対する X線の入射角を 45 度とした蛍光法を用いて Cu K 吸収端 (8984 eV)、Mn K 吸収端 (6539 eV) 及び Mo K 吸収端 (20003 eV) の EXAFS 測定を実施した。取得した X 線吸収スペクトルの解析には WinXAS 3.2 を使用した。

3. 結果

図1に Cu K 吸収端と Mn K 吸収端の未照射材及び照射材のフーリエ変換スペクトルを示す。また、実験結果と比較するため、XAFS 理論計算ソフト FEFF により中心原子を <math>Cu に置換した Fe の bcc 型結晶構造 (bcc Fe-Cu)や空孔型欠陥を想定した結晶構造(bcc Fe-Cu-欠陥型)の理論フーリエ変換スペクトルを示す。<math>Cu K 吸収端のスペクトルについて、照射材のピーク高さは未照射材に比べ全体的に減少しており <math>Cu原子周囲の原子配列の乱れの増加もしくは配位数が減少したことが判る。FEFF によるモデル計算の結果も同様であることから、イオン照射により空孔型欠陥が生成し、Cu 溶質原子は空孔型欠陥との複合体で存在する可能性が示唆された。また、Mn K 吸収端のスペクトルでは照射による変化が認められないことから、溶質原子の中でも <math>Cu と照射欠陥の親

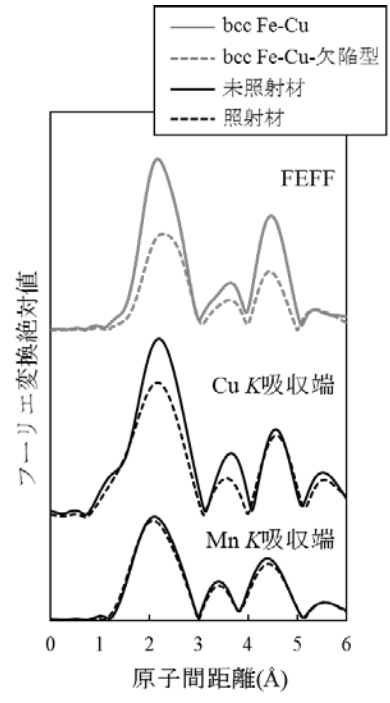


図 1 Cu K 吸収端、Mn K 吸収端 のフーリエ変換後スペクトル及び FEFF による理論スペクトル

和性が高いものと考えられる。一方、Mo K 吸収端のスペクトルについて、未照射材では熱履歴に応じて分布する HAZ の各組織により違いが認められ、Mo 系炭化物の分布が HAZ の組織によって異なることが推測された。なお、イオン照射による Mo K 吸収端のスペクトルには未照射材と比較して有意な変化が認められなかった。

*Yoosung Ha, Keiko Iwata, Hisashi Takamizawa, Yoshihiro Okamoto, Iwao Shimoyama, Mitsunori Honda, Satoshi Hanawa, Yutaka Nishiyama

Japan Atomic Energy Agency

1C13 2018年秋の大会

照射による原子炉圧力容器鋼の Cu,Ni 添加効果と熱処理による回復挙動

Irradiation embrittlement of RPV steel model alloys with different Cu,Ni levels

and recovery behavior by thermal treatment

*合屋 佑介¹,都留 拓也¹,渡辺 英雄²,山本 琢也³¹九州大学,²九州大学 応用力学研究所,³カリフォルニア大学サンタバーバラ校

原子炉圧力容器鋼モデル合金材に、中性子照射または重イオン照射し、添加元素による脆化効果ならびに熱 処理による脆化回復から溶質元素クラスターの挙動について検討した。

キーワード: 照射脆化, 重イオン照射, 原子炉圧力容器鋼, 中性子照射

1. 緒言

原子炉圧力容器鋼(以下、RPV 鋼)は,運転中に中性子照射を受けることにより,照射欠陥が形成され,高経年化に伴い脆化する.この照射脆化の主要因の一つとして,鋼材中の不純物である Cu や他の添加元素の集合体から成る照射欠陥クラスターの形成が挙げられる.この照射欠陥クラスターは,APT 観察などにより, Cu や Ni, Mn, Si などが集積していることが確認されている.本研究では,Cu や Ni が実用鋼に及ぼす影響について調べるために,IVAR プログラムで使用されている Cu および Ni 含有量の異なる RPV 鋼モデル合金 材の中性子照射や重イオン照射を行い,照射脆化と熱処理による回復挙動を検討した.

2. 実験方法

試料は BR2 炉で中性子照射した Ni の含有量が異なる 4 種類(LA 材, LB 材, LC 材, LD 材)と Cu の含有量が異なる 3 種類(LG 材, LH 材, LI 材)の RPV 鋼モデル合金を用いた. 照射条件は, 照射温度が 290℃, 照射量が 8.28×10²³[n/m²](約 0.16dpa)である. これらの試料と重イオン照射で照射した試料の内部組織観察を収差補正電子顕微鏡にて行った.

中性子照射済み (BR2) 試料の脆化回復実験には日本電子株式会社製の加熱ホルダーを用いて, 試料温度を290℃から600℃まで50℃刻みで30分間, 真空中(約3.0×10⁴[Pa])で熱処理し, それぞれの熱処理が終わった時点でビッカース硬さ試験機を用いて硬度測定を行った.

3. 結果と考察

図1に、BR2 試料と IVAR による硬度変化の照射量依存性を示す. この結果は、IVAR の傾向とは異なり、Cu 濃度が低い LG 材は急激な硬度上昇を示している. これは、照射速度の違いによるものだと推測される.

BR2 試料の Cu 濃度依存性の熱処理による脆化回復結果を図 2 に示す.図 2 では Cu 濃度の低い材料の硬度は 350℃から大きく低下しているのに対し、Cu 濃度の高い LC 材は 350℃まで硬度低下を示さない.この結果から、Cu を含まないクラスターは Cu を含むクラスターより早く消失していることがわかる. さらに、Ni 濃度依存性については、Ni 濃度の低い LA 材は 400℃付近からゆるやかに硬度低下を示すのに対し、Ni 濃度の高い LC、LD 材は 450℃付近で大きく硬度低下をしている.また、実用 RPV 鋼である A533B 材の熱処理による硬度低下のピークは約 450℃付近であり、LA 材や LG 材は挙動が異なる.以上から、Cu や Ni 濃度の低い材料ではクラスターの消失温度領域が異なると予想でき、今後内部組織観察を行う.

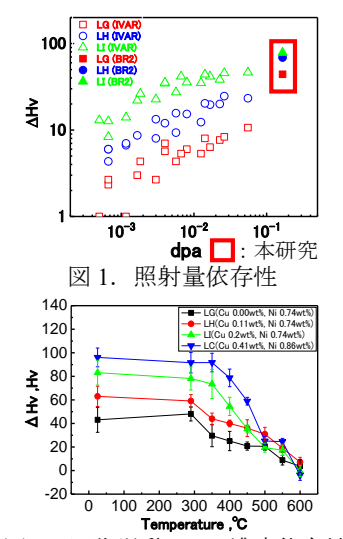


図 2. 回復挙動の Cu 濃度依存性

^{*}Yusuke Goya¹, Takuya Tsuru¹, Hideo Watanabe², Takuya Yamamoto³

¹Kyushu Univ., ²RIAM, Kyushu Univ., ³University of California, Santa Barbara.

Oral presentation | V. Nuclear Fuel Cycle and Nuclear Materials | 502-1 Nuclear Materials, Degradation, Radiation Effects, and Related Technology

[1C14-17] Reactor Pressure Vessel 2

Chair:Koji Fukuya(INSS)

Wed. Sep 5, 2018 4:25 PM - 5:30 PM Room C (B21 -B Building)

[1C14] FY2O17 Investigation for Improvement of Evaluation Methods of Irradiation Effects on Reactor Pressure Vessel and Core Internals

*Masato Yamamoto¹, Tomohiro Kobayashi¹ (1. Central Research Institute of Electric Power Industry)

4:25 PM - 4:40 PM

[1C15] FY2O17 Investigation for Improvement of Evaluation Methods of Irradiation Effects on Reactor Pressure Vessel and Core Internals *Tomohiro Kobayashi¹, Kenji Nishida¹, Masato Yamamoto¹ (1. Central Research Institute of Electric Power Industry)

4:40 PM - 4:55 PM

- [1C16] FY2O17 investigation for improvement of evaluation methods of irradiation effects on reactor pressure vessel and core internals *Yuichi Miyahara¹, Kenji Nishida¹, Siwei Chen¹, Katsuhiko Fujii² (1. CRIEPI, 2. INSS) 4:55 PM - 5:10 PM
- [1C17] FY2O17 Investigation for Improvement of Evaluation Methods of Irradiation Effects on Reactor Pressure Vessel and Core Internals

 *Kenta Nishimoto¹, Tomohiro Kobayashi¹, Masato Yamamoto¹, Kenji Nishida¹, Yasufumi Miura¹

 (1. Central Research Institute of Electric Power Industry)

 5:10 PM 5:25 PM

平成 29 年度原子炉圧力容器及び炉内構造物の照射影響評価手法の高度化 (1) Zion 発電所 1 号機圧力容器廃炉材の板厚方向破壊靭性分布

FY2017 Investigation for Improvement of Evaluation Method of Irradiation Effects on Reactor Pressure

Vessel and Core Internals

(1) Through-wall fracture toughness distribution of decommissioned Zion Unit 1 reactor pressure vessel material

*山本 真人 ¹、小林 知裕 ¹

『雷力中央研究所

米国で廃炉となった Zion 発電所 1 号機の圧力容器母材を対象に板厚各部の破壊靭性を評価した。加圧熱衝撃事象等で対象とする内表面近傍では監視試験で使用する 1/4 厚さより破壊靭性が高いことを確認した。 キーワード:原子炉圧力容器鋼、廃炉材、破壊靭性、マスターカーブ法、超小型 C(T)試験片

1. 緒言

加圧熱衝撃等に対する健全性評価部位である圧力容器内面近傍は、照射脆化監視試験片^[1]の採取位置である板厚の 1/4 厚さと比べて破壊靭性の実力値が高い可能性がある。マスターカーブ法(MC 法)と外形寸法 4×10×9.6mm の超小型 C(T)試験片 (Mini-C(T)試験片) による破壊靭性の直接評価技術^[2]を活用し、15 有効炉年の商用運転後に廃却された実機圧力容器母材^[3]の板厚方向の破壊靭性分布を明らかにした。

2. 実験

210mm の板厚を 17 層に分割し、内面側から 1, 2, 3, 4, 5, 7, 16 および 17 層目から T-L 方位、1, 2, 3, 4, 5 および 7 層目から L-S 方位の Mini-C(T)試験片を、それぞれ 18 体作製した(図 1)。延性-脆性遷移の評価指標である参照温度 T_0 を、各層毎、方位毎に MC 法にて評価し、その板厚方向分布を得た。

3. 結果

図2のとおり、全ての層、全ての方位について、有効な T_o が評価された。監視試験片の採取方位として定められている T-L 方位は、板厚方向への亀裂進展における実力値である L-S 方位に対し、ほぼ同等かそれ以下の靭性(同等以上の T_o)を持ち、1/4 厚さ以外の部位に対しても T-L 方位で保守的に評価できることが確認された。圧力容器内表面近傍は、板厚中央に比べ脆化が大きいにもかかわらず高い破壊靭性(低い T_o)を示した。両者の差は $30\sim40^\circ$ Cであり、内表面近傍の照射条件で換算して凡そ 15 有効炉年分の照射脆化量に相当する。当該発電所では監視試験材料を用いた脆化評価により、その全運転期間の脆化量に相当する潜在的な保守性を有していたことが明らかとなった。

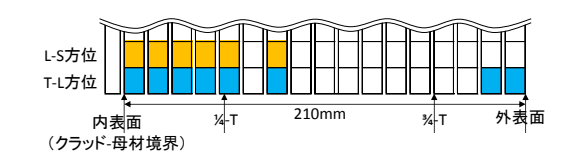


図 1 板厚方向の試験片採取位置

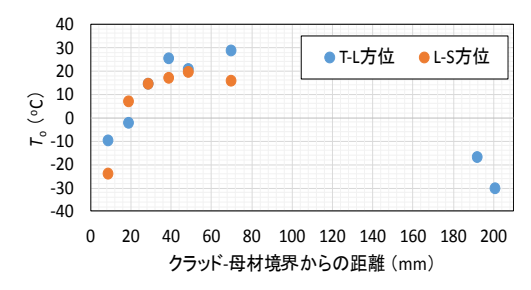


図2 板厚方向の 7。の分布

参考文献

- [1] 日本電気協会規程 JEAC4201-2007(2013)
- [2] Yamamoto, et al., ASTM STP1576, STP157620140020 (2015)
- [3] Rosseel, et al., ORNL/TM-2016/240(2016)

本成果は、経済産業省資源エネルギー庁の平成 29 年度原子力の安全性向上に資する共通基盤整備のための技術開発事業(原子炉圧力容器及び炉内構造物の照射影響評価手法の高度化)により得られたものである。

^{*}Masato Yamamoto1 and Tomohiro Kobayashi1

¹Central Research Institute of Electric Power Industry

平成 29 年度原子炉圧力容器及び炉内構造物の照射影響評価手法の高度化 (2) Zion 発電所 1 号機圧力容器鋼の板厚方向各部における 中性子照射に伴うミクロ組織変化

FY2017 Investigation for Improvement of Evaluation Method of Irradiation Effects on Reactor Pressure Vessel and Core Internals

(2) Through-wall microstructural changes of decommissioned Zion Unit 1 RPV steel due to neutron irradiation

*小林 知裕 ¹、西田 憲二 ¹、山本 真人 ¹

¹電力中央研究所

Zion 発電所 1 号機から採取した圧力容器鋼の板厚各部における硬さおよび溶質原子クラスターの形成を評価した。圧力容器内表面に最も近い位置から採取した試験片の硬さは約 237HV を示し、容器内表面から容器内部に進むにつれて硬さが低下した。材料中には、鉄を主体にニッケル、マンガン、シリコンおよび銅を含むクラスターが形成しており、その大きさは 2.8~2.9 nm であった。

キーワード:原子炉圧力容器鋼、廃炉材、アトムプローブ、硬さ

1. 緒言

原子炉圧力容器に対する現行の加圧熱衝撃評価が有する裕度を明確化するため、前報[1]では、試験炉照射された圧力容器鋼模擬材の機械的特性およびミクロ組織を調査し、圧力容器内表面および内表面から板厚 1/4 深さ位置(1/4-T)における中性子照射前の延性脆性遷移温度の差が、現行評価手法の持つ裕度となる可能性があることを報告した。続いて、本報では米国で廃炉となった Zion 発電所 1 号機の圧力容器母材を対象とし、圧力容器の板厚各部から採取した試験片について、硬さおよび溶質原子クラスターの形成を評価した結果を報告する。

2. 実験

210 mm 厚さの圧力容器鋼を板厚方向に対して 17 層に分割した。容器内表面側から 1、2、3、4、5 および 7 層目の材料に対して、硬さ試験を行うと共に、1、2 および 5 層目の材料については、アトムプローブにより溶質原子クラスター形成を評価した。これらの材料のクラッド-母材境界からの距離は、それぞれ 9、19、29、39、49 および 70 mm であり、照射量は、6.4、5.8、5.3、4.8、4.4 および 3.6×10^{18} n/cm² (E > 1 MeV)と見積もられる。

3. 結果

容器内表面に最も近い 1 層目から採取した試験片の硬さは、約 237HV を示し、容器内部に進むにつれ、硬さが低下する傾向を示した。1 層目および 2 層目、1/4-T 付近の 5 層目から採取した何れの試験片も、鉄を主体にニッケル、マンガン、シリコンおよび銅を含むクラスターが形成していた。各試験片中のクラス

ターの平均直径は 2.8~2.9 nm とほぼ同程度であったが、クラスター数密度および体積率は容器内表面側から採取した試験片の方が若干高い結果となった。

本成果は、経済産業省資源エネルギー庁の平成29年度原子力の安全性 向上に資する共通基盤整備のための技術開発事業(原子炉圧力容器及 び炉内構造物の照射影響評価手法の高度化)により得られたものであ る。

参考文献

[1] 小林他, 日本原子力学会 2017 年秋の大会, 2I01 (2017).

*Tomohiro Kobayashi¹、 Kenji Nishida¹ and Masato Yamamoto¹

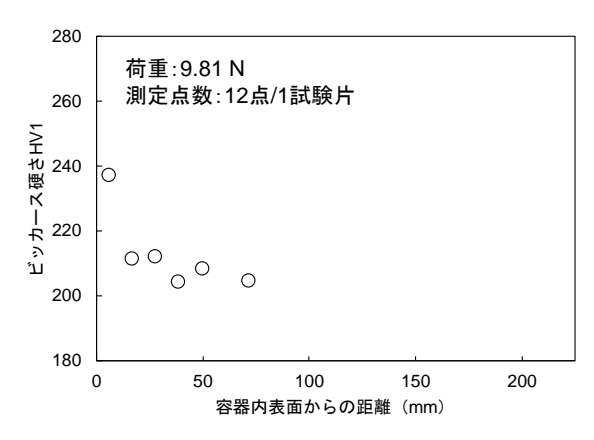


図1 ビッカース硬さ HV1 の板厚方向分布

¹Central Research Institute of Electric Power Industry

平成 29 年度原子炉圧力容器及び炉内構造物の照射影響評価手法の高度化 (3) 中性子照射を受けたオーステナイト系ステンレス鋼のミクロ組織と降伏強度 の相関

FY2017 investigation for improvement of evaluation methods of irradiation effects on reactor pressure vessel and core internals

(3) Correlation between microstructure and yield strength in neutron irradiated austenitic stainless steels

*宮原 勇一」, 西田 憲二」, 陳 思維」, 藤井 克彦2

1電力中央研究所、2原子力安全システム研究所

高速炉で照射されたオーステナイト系ステンレス鋼のミクロ組織を透過型電子顕微鏡(TEM)観察とアトムプローブトモグラフィー(APT)分析により評価した。照射に伴う降伏強度の増分は、前報中性子炉で照射されたステンレス鋼と同様にオロワン機構に基づいて推定できることを確認した。

キーワード: オーステナイト系ステンレス鋼,中性子照射,アトムプローブ,TEM,降伏強度

1. 緒言

前報^[1]では、熱中性子炉(JMTR)で照射されたステンレス鋼において、クラスターの強度因子αを一定値の 0.068 とすることでオロワン機構に基づいた降伏強度増分の推定が可能となることを報告した。本報では、高速炉(BOR-60)で照射された市販純度(CP)のステンレス鋼の結果を報告する。

2. 実験

米国の CIR プロジェクトにおいて高速炉 (BOR-60) で約 5~47dpa 照射されたステンレス鋼 (CIR CP316 と CIR CP304L) の TEM 観察と APT 分析を実施し、ミクロ組織と降伏強度増分の相関について検討した。

3. 結果

TEM では、ブラックドット、完全転位ループおよびフランクループが観察され、一部の試料ではγ'相が観察された。APTでは、ニッケルとシリコンが濃化したクラスター (Ni-Si クラスター)と一部の試料で銅が濃化したクラスター (Cu クラスター)が観察された。表 1 に観察したミクロ組織のサイズと数密度の範囲を示す。また、降伏強度増分の実測値と前報と同様の手法で推定した計算値の関係を図 1 に示す。図中の Ref.は、文献のTEM 観察結果を用いて評価している。照射前の加工度が高いCIR CP316 において計算値が高い傾向にあるが、クラスターの強度因子を 0.068 とした前報と同様の手法で降伏強度の増分を比較的良く推定できることが確認された。

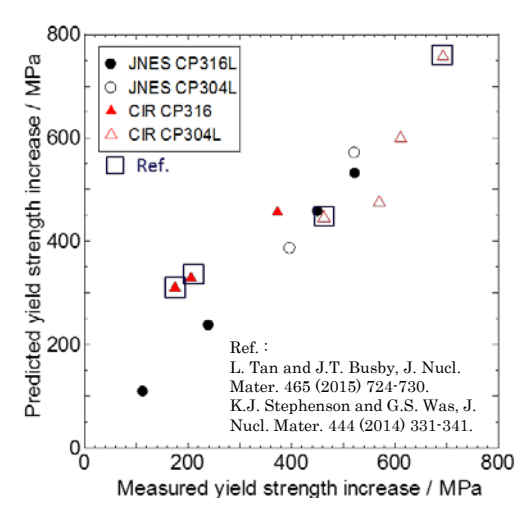


図1 降伏強度増分の実測値と計算値

表 1 CIR プロジェクト材で観察されたミクロ組織の平均サイズと数密度の範囲

	ブラックドット 完全転位ループ	フランクループ	γ'	Ni-Si クラスター	Cu クラスター
サイズ (nm)	5.5 ~ 5.8	7.7~9.8	~ 6.1	2.6~8.6	2.0~2.5
数密度(m-3)	$1.0 \sim 1.4 \times 10^{23}$	$5.9 \sim 8.3 \times 10^{22}$	$\sim 5.7 \times 10^{21}$	$1.7 \sim 6.8 \times 10^{23}$	$4.6 \sim 9.5 \times 10^{23}$

本成果は、経済産業省資源エネルギー庁の平成 29 年度原子力の安全性向上に資する共通基盤整備のための技術開発事業 (原子炉圧力容器及び炉内構造物の照射影響評価手法の高度化) により得られたものである。

参考文献

[1] 宮原他, 日本原子力学会 2017 年秋の大会, 2I03 (2017).

*Yuichi Miyahara¹, Kenji Nishida¹, Siwei Chen¹ and Katsuhiko Fujii² ¹CRIEPI, ²INSS

平成 29 年度原子炉圧力容器及び炉内構造物の照射影響評価手法の高度化 (4) 圧力容器鋼 JRO 材の板厚方向各部における金属組織評価

FY2017 Investigation for Improvement of Evaluation Methods of Irradiation Effects on Reactor Pressure

Vessel and Core Internals

(4) Evaluation of metallographic structure in each part in the thickness direction of JRQ material *西本 健太 1 、小林 知裕 1 、山本 真人 1 、西田 憲二 1 、三浦 靖史 1

『電力中央研究所

原子炉圧力容器鋼を模擬した IAEA 標準材 JRQ 材の板厚方向各部における機械的特性の差に寄与する組織要因を明らかにするため、金属組織を詳細に評価した。板厚 225 mm の JRQ 材の板厚表面近傍では、筋状の組織が認められず、化学成分も概ね均一に分布していたが、24 mm 以上内部では、圧延方向に対して平行で筋状に伸びた組織が観察され、Ni、Mn、Mo等の元素の濃化が認められた。

キーワード: 圧力容器鋼、金属組織、偏析、EPMA

1. 緒言

本事業では、これまでに照射量の板厚方向減衰と未照射時の機械的特性分布の重ね合わせの効果について、原子炉圧力容器鋼を模擬した IAEA 標準材 JRQ 材を用いて調査してきた。その結果、板厚表面における未照射の延性脆性遷移温度が板厚内部よりも低く、同程度の照射を受けても板厚内部に比べて低い遷移温度であることがわかっている[1]。この板厚表面と板厚内部の機械的特性の差に寄与する組織要因を明らかにするため、JRQ 材の板厚方向各部について金属組織評価を実施した。

2. 実験

225 mm 厚さの鋼材を板厚方向に 13 枚のレイヤーに分割した未照射の JRQ 材の中から、板厚表面から 6 ~113 mm の採取深さの材料について光学顕微鏡観察および EPMA による元素分布の分析を実施した。板厚表面近傍と 1/2-T 近傍については、同視野で板厚方向に約 3 μm 間隔で金属組織写真を撮影し、3 次元像を構築することで組織の 3 次元形状や体積率を評価した。

3. 結論

板厚表面近傍では筋状組織が認められなかったが、24 mm 以上内部では圧延方向に対して平行で筋状に伸びた組織が観察された。EPMA による分析結果から、板厚表面近傍では化学成分も概ね均一に分布していたが(図 1(a))、24 mm 以上内部の筋状の組織では Ni、Mn、Mo等の元素が濃化しており、特に 1/2-T 近傍において顕著であった(図 1(b))。金属組織の3次元観察を行った結果、1/2-T 近傍における筋状の組織は幅が約 230 μm で、圧延方向には 2 mm 以上伸びており、体積率は約 25%であった。

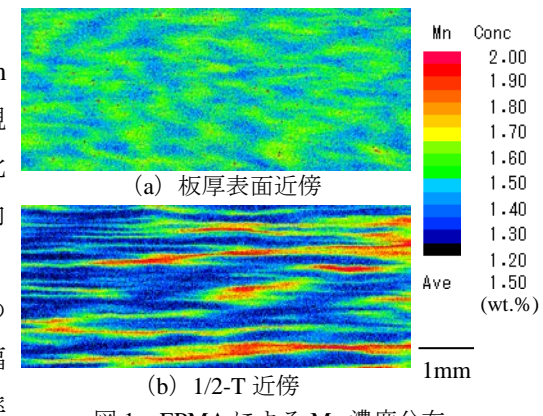


図1 EPMA による Mn 濃度分布

本成果は、経済産業省資源エネルギー庁の平成 29 年度原子力の安全性向上に資する共通基盤整備のための技術開発事業(原子炉圧力容器及び炉内構造物の照射影響評価手法の高度化)によるものである。

参考文献

[1] 小林他, 日本原子力学会 2017 年秋の大会, 2I01 (2017).

^{*}Kenta Nishimoto¹, Tomohiro Kobayashi¹, Masato Yamamoto¹, Kenji Nishida¹, Yasufumi Miura¹

¹Central Research Institute of Electric Power Industry

Oral presentation | V. Nuclear Fuel Cycle and Nuclear Materials | 502-1 Nuclear Materials, Degradation, Radiation Effects, and Related Technology

[1C18-19] Severe Accident 2

Chair:Nariaki Okubo(JAEA)

Wed. Sep 5, 2018 5:30 PM - 6:00 PM Room C (B21 -B Building)

[1C18] Effect of heating during the severe accident on the strength and the microstructure of LWR steels

*Taro Fumimoto¹, Kohei Noguchi¹, Kento Takahashi¹, Shiro Jitsukawa¹ (1. National Institute of Technology, Fukushima College)

5:30 PM - 5:45 PM

[1C19] Estimation of the annealing effect on strength and microstructure of LWR steels during severe accident

*Kohei Noguchi¹, Taro Humimoto¹, Yukito Yamashita¹, Shiro Jitsukawa¹ (1. National Institute of Technology, Fukushima College)

5:45 PM - 6:00 PM

炉材料の強度及び微細組織に対する過酷事故時の熱影響の推定 (1) 格納容器鋼の強度特性変化の検討

Estimation of the annealing effect on strength and microstructure of LWR steels during severe accident

(1) Residual strength estimation of the reactor structure after the severe accident

*文元 太郎 ¹、野口 耕平 ¹、髙橋 憲人 ¹、實川 資朗 ¹ 1.福島工業高等専門学校

溶融燃料が接近したことにより福島第一原子力発電所の1号機などの格納容器材料は1週間以上にわたって加熱され、構造強度に影響を受けた可能性がある.現在、熱履歴などを考慮した格納容器強度評価の詳細については不明な点が多い.格納容器の強度推定は、今後の復旧作業の円滑な進捗(作業安全の確保を含む)に有用と考えられる.ここでは福島第一原子力発電所で使用されている格納容器材料において加熱条件、冷却条件等をパラメータに熱履歴を与え、格納容器鋼の強度特性への影響を実験的に検討した。

キーワード: 福島第一原子力発電所 、廃炉措置 、格納容器鋼の強度、温度履歴の効果、破壊靭性

1. 緒言

東日本大震災に際し福島第一原子力発電所は過酷事故を生じ、原子炉の炉内機器は損傷を受けたと考えられる。本研究では格納容器の材料及び類似材を用いた実験により硬さ値、破壊靭性値、引張特性等のデータを取得し、その結果から加熱/冷却条件とその影響を評価することを目的とする。

2. 実験

本研究では、マーク I 型原子炉の格納容器材料である SGV480 の類似材である STS370、さらにマーク II 型原子炉の格納容器材料である SA738B を用いた。事故時の熱影響として(推定)、溶融までは含まないが広い範囲となるよう、加熱温度はオーステナイト化(Ac1)温度以上まで、保持時間(温度は一定)として 1000 時間程度まで、冷却速度は TMI-2 の圧力容器で報告された急冷までを考慮した(冷却時の水の噴霧状態などを調整し数種類の冷却速度を与えた)。このように熱履歴を与えた試験片に単軸引張、除荷コンプライアンス法による破壊靭性試験等を行った。

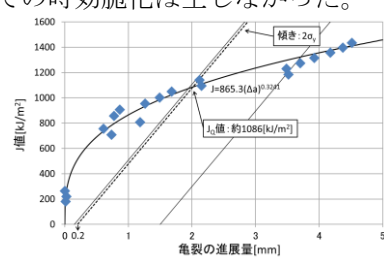
3. 結果 考察

ST370 鋼の受け入れ材、時効及び急冷材の硬さ(Hv)は 110-130 程度、90-120 程度及び 210-220 程度であった。SA738B 鋼については、受け入れ材及び急冷材で、それぞれ 200 及び 400 程度であった.

破壊靭性試験では亀裂が進展し始める破壊靭性値である J_Q 値を比較し、特性の変化を評価することにした.受け入れ材の STS370 の J_Q 値は $1086kJ/m^2$ 程であった(靭性値と強度の関係から試験片寸法が ASTM などでの要求値を満たさなかったので J_Q とした; 板厚 15mm または 17.5mm). 1000 $\mathbb C$ で 30 分間保持後急冷,及び 650 $\mathbb C$ で 100 時間保持後に徐冷した STS370 の J_Q 値はそれぞれ $114kJ/m^2$ 及び $1335kJ/m^2$ であった. 降伏強度は、長時間保持後徐冷した場合 170MPa に下がった(受け入れ材は 299MPa)。一方、SA738B の受け入れ材の J_Q 値は約 $800kJ/m^2$ となり,1000 $\mathbb C$ で 15 分間保持後急冷した試験片の J_Q 値は約 $150kJ/m^2$ となった.

加熱後急冷した試験片では靭性が低下した。 J_Q 値を圧力容器の破壊評価に用いられる K 値に換算すると最小のもので $150 MPa\sqrt{m}$ 程度になり、これは脆性破壊するには大きいと推定される。

加熱後徐冷した試験片では硬さ値が低下するが、靭性は増加した。よって、実験した加熱条件では高温での時効脆化は生じなかった。



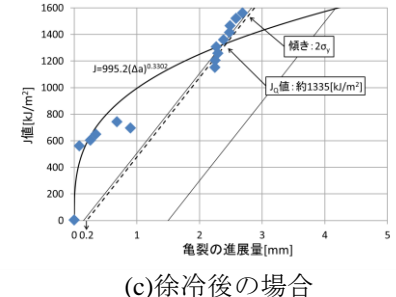


図 (a)受け入れ材の J-R 曲線

(b)急冷後(-30°C/秒以上)の場合

参考文献

[1] 「燃料デブリ取り出しに向けた技術開発について」, 平成25年10月8日, 鈴木俊一

[2] G.E. Korth, et al., Nuclear Engineering Design 167(1997)267-285

^{*} Taro Fumimoto¹, Kohei Noguchi¹, Kento Takahashi¹ and Shiro Jitsukawa¹

¹NIT Fukushima college

炉材料の強度及び微細組織に対する過酷事故時の熱影響の推定 (2) 事故熱影響を受けた炉材料などの強度及び微細組織の検討

Estimation of the annealing effect on strength and microstructure of LWR steels during severe accident (2)Effects of heating on the strength and the microstructure of the reactor materials during severe accident *野口 耕平¹、文元 太郎¹、山下 幸人¹、實川 資朗¹

1. 福島工業高等専門学校

イオン照射で欠陥を導入した 316 鋼を焼鈍すると、微細組織は焼鈍温度/時間に従い変化した。照射で導入された微細組織の焼鈍への応答を把握し定式化することで、事故過程解析に寄与できると考えている。

キーワード:福島第一原子力発電所、炉内機器、照射損傷、熱履歴、イオン照射、微細組織 1. 緒言

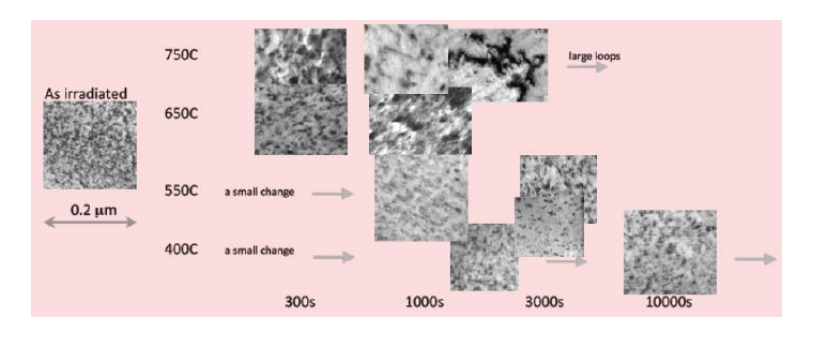
316 鋼などの炉内機器材料では、中性子の照射損傷により微細組織が変化する。この微細組織は、加熱により特徴的な変化を生じるとしばしば指摘される。これを用いれば、微細組織から事故時の熱履歴などを推定し得ると考えられる。この手法は、福島第一原発などでの過酷事故の解析に、さらに炉内機器の残存強度推定の手がかりにもなると考えられるため、微細組織変化と焼鈍条件の関係などを評価することにした。なお、TMI-2では、圧力容器の温度履歴の推定に、硬さ及び微細組織が用いられた[1,2]。

2. 実験方法

試料は 6mm×3mm×1mm の短冊状の 316 鋼(0.013C-0.47Si-17.4Cr-12.6Ni-1.55Mn-2.5Mo-0.025P-0.001S-0.1N-Fe、Kobelco製)とした。1100℃での溶体化処理後、バフ研磨、電解研磨(リン酸-硫酸-メタノール)にて仕上げ、量研機構高崎の TIARA 施設にて、10MeV の 3 価の鉄イオンと、1MeV のヘリウムイオンを 300℃で照射した。弾き出し損傷量を 1dpa、ヘリウムイオン量は、弾き出し損傷量との比で 10appmHe/dpaとした。照射後、400℃以上で焼鈍し、FIB にて透過電顕試料を作製し、微細組織変化などを評価した。

3. 結果・考察

焼鈍後の微細組織を図に示す。比較的低い温度である 400℃での焼鈍でも,保持時間が 10000s では変化が見られ,転位ループの数密度は,焼鈍前の $4.5 \times 10^{23} / \mathrm{m}^3$ 程度から半分程度に,大きさは 2 倍程度に変化した。同様な変化は,500 から 650℃の焼鈍でも,それぞれ 3000s から 300s 程度の保持時間で生じる。750℃では 1000s までの焼鈍で,転位ループの数密度は 1 桁程度減少した。なお,転位ループは格子間原子型と思われるが,焼鈍による転位ループの数密度の減少と,平均的な大きさの増加が同時に生じる機構は明瞭ではない (格子間原子の放出は考えにくい)。数密度と大きさ両方が同時に変化するため,数密度-大きさ関係から,焼鈍の温度と時間を独立に解析することは容易でないが,一方,事故解析から,水-Zr 反応などで燃料が溶融するほど高温となった期間は 2-3 時間程度に限られるようであり,従って,その期間での温度の推定には,今回の結果から示唆される方法は利用が可能と期待される (実際には,事故機からのサンプルへの適用が重要であろう)。一方,原子空孔のクラスターである積層欠陥四面体については,純銅では,「焼鈍での数密度の変化は限られるが大きさ分布が広くなる」との報告があることを考慮すれば[3],積層欠陥四面体についての評価を加えることで,温度履歴の評価精度を高められる可能性も期待できると考えている。ところで,今後の廃炉作業では,がれきなどの残存物の強度も一定の意味を持つと思われる。これに対しては,転位密度から降伏応力を推定する手法についても示す (σ = α G b(ρ) $^{1/2}$)。



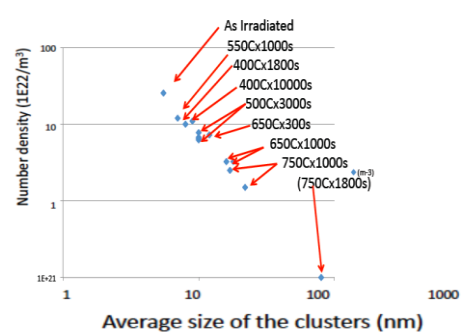


図 焼鈍による微細組織変化の温度及び時間依存性(左: 微細組織, 右: 焼鈍材中のループ径と数密度)

参考文献

- [1] R. Pelli, TMIV(92)SF01.
- [2] G.E. Korth, et al., Nuclear Engineering Design 167(1997)267-285
- [3] B.N. Singh, D.J. Edwards and P. Toft, Riso R·1213, 2001

^{*}Kohei Noguchi¹, Taro Humimoto¹, Yukito Yamashita¹, Shiro Jitsukawa¹

^{1.} National Institute of Technology, Fukushima College

Oral presentation | V. Nuclear Fuel Cycle and Nuclear Materials | 501-2 Nuclear Fuel and the Irradiation Behavior

[1D01-06] Fuel Debris

Chair:Tatsumi Arima(Kyushu Univ.)

Wed. Sep 5, 2018 10:15 AM - 11:55 AM Room D (A32 - A Building)

- [1D01] Research and human resource development for analysis of fuel debris and decommissioning technology of Fukushima Daiichi nuclear power plants *Msayoshi uno¹, Yoshinari Anoda¹, Osamu Kuwazuru², Yuuji Arita¹, Akihiro Ishimi³, Tatsumi Arima⁴ (1. Research Institute of Nuclear Engineering, University of Fukui, 2. Graduate school of Engineering, University of Fukui, 3. Japan Atomic Energy Agency, 4. Kyushu University) 10:15 AM 10:30 AM
- [1D02] Research and human resource development for analysis of fuel debris and decommissioning technology of Fukushima Daiichi nuclear power plants
 *Takashi Onitsuka¹, Kozo Katsuyama², Akihiro Ishimi², Masayoshi Uno¹ (1. Univ. of Fukui, 2. JAEA)

10:30 AM - 10:45 AM

- [1D03] Research and human resource development for analysis of fuel debris and decommissioning technology of Fukushima Daiichi nuclear power plants

 *Aruto Kawakami¹, Masaki Teranishi¹, Osamu Kuwazuru¹ (1. Fukui Univ)

 10:45 AM 11:00 AM
- [1D04] Research and human resource development for analysis of fuel debris and decommissioning technology of Fukushima Daiichi nuclear power plants

 *Taishi Inoue¹, Yuji Arita¹, Toru Fujita¹ (1. University of Fukui)

 11:00 AM 11:15 AM
- [1D05] Research and human resource development for analysis of fuel debris and decommissioning technology of Fukushima Daiichi nuclear power plants

 *Tohma Iwasa¹, Tatsumi Arima¹ (1. Kyushu University)

 11:15 AM 11:30 AM
- [1D06] Chemical states of plutonium and gadolinium in fuel debris

 *Shiho Watanabe¹, Hiroto Ishii¹, Yuji Ohishi¹, Hiroaki Muta¹, Ken Kurosaki^{1,2,3} (1. Osaka

 University, 2. Research Institute of Nuclear Engineering, University of Fukui, 3. JST PRESTO)

 11:30 AM 11:45 AM

福島第一原子力発電所の燃料デブリ分析・廃炉技術に関わる研究・人材育成 (9)公募研究の全体概要と燃料デブリ研究の実績

Research and human resource development for analysis of fuel debris and decommissioning technology of Fukushima Daiichi nuclear power plants

(9)Outline of the research and achievement of study on fuel debris analysis *宇埜正美 ¹, 安濃田良成 ¹, 桑水流理 ¹, 有田裕二 ¹ 石見明洋 ², 有馬立身 ³

¹福井大学, ²JAEA, ³九州大学

抄録

文部科学省の英知を結集した原子力科学技術・人材育成推進事業として福井大が受託した「福島第一原子力発電所の燃料デブリ分析・廃炉技術に関わる研究・人事育成」の全体概要とその中でも4機関が連携した燃料デブリ分析研究のこれまでの成果を紹介する。

キーワード:燃料デブリ、溶融凝固体、X線 CT、破壊挙動解析、FP 放出・溶出、融点

1. 公募研究の全体概要緒言

福井大学では、文部科学省の英知を結集した原子力科学技術・人材育成推進事業として「福島第一原子力発電所の燃料デブリ分析・廃炉技術に関わる研究・人事育成」を西日本の5つの大学と若狭湾エネルギー研究センターおよび日本原子力研究開発機構(JAEA)と連携して行っている。ここでは図1に示す様に、(1)廃止措置技術コースで廃止措置作業の最適化研究と福島第一原子力発電所見学を含む4つの人材育成事業を、(2)燃料デブリ分析コースで燃料デブリ研究と京都大学原子炉実験所での実習を含む3つの人材育成事業を、また(3)廃炉技術開発コースで非破壊検査、除染技術の開発と3つの人材育成事業を行っている。



図1 公募の全体概要

図2 燃料デブリ分析研究の概要

2. 燃料デブリ分析研究の概要

この内、(2) 燃料デブリ分析コースの①デブリ物性・分析研究では、大阪大学にて熱力学計算、主要な化合物の合成とその物性測定研究、福井大学と JAEA による模擬溶融凝固デブリの合成とその物性測定および X 線 CT 撮像とそれらをもとにした破壊挙動解析、福井大学での模擬燃料デブリからの FP 放出・溶出挙動研究、九州大における模擬燃料デブリの融点評価技術の開発を行っている。当日は、このうちの大阪大学を除く3つの機関におけるこれまでの研究成果を報告する。

謝辞:本研究は、文部科学省の英知を結集した原子力科学技術・人材育成推進事業による委託業務として、 国立法人 福井大学が実施した平成 27〜29 年度「福島第一原子力発電所の燃料デブリ分析・廃炉技術に関わ る研究・人材育成」の成果を取りまとめたものである。

^{*}Masayoshi Uno¹, Yoshinari Anoda¹, Osamu Kuwazuru¹, Yuji Arita¹, Akihiro Ishimi², Tatumi Arima³

¹University of Fukui, ²JAEA, ³Kyusyu University

1D02 2018年秋の大会

福島第一原子力発電所の燃料デブリ分析・廃炉技術に関わる研究・人材育成 (10) UO2 を含む溶融凝固体の物性

Research and human resource development for analysis of fuel debris and decommissioning technology of Fukushima Daiichi nuclear power plants

(10) Properties of Frozen Body of Melted Debris Containing UO₂
*鬼塚 貴志 ¹, 勝山 幸三 ², 石見 明洋 ², 宇埜 正美 ¹
¹福井大学, ²JAEA

抄録

共晶反応を利用して 1800° で溶融した UO_2 - B_2O_3 、 ZrO_2 - Al_2O_3 、 UO_2 - B_2O_3 / ZrO_2 - Al_2O_3 凝固体について、X 線回折や SEM 観察による同定、ビッカース硬度試験、ナノインデンター硬さ試験による緻密な部分の機械的性質を調べ、大きな「す」を含む試料の圧縮試験結果と比較検討した。

キーワード:燃料デブリ, X線回折, SEM 観察, ビッカース硬度試験, ナノインデンター硬さ試験

1. 緒言

切断や粉砕などの手法で燃料デブリを飛散させずに取り出すには、デブリの各物性を正確に把握することが必要である。前報では擬似燃料デブリとして UO_2 - B_2O_3 溶融凝固体を作製しその物性について報告した。本報では ZrO_2 - Al_2O_3 、 UO_2 - B_2O_3 / ZrO_2 - Al_2O_3 の溶融凝固体を作製し物性を評価した結果について報告する。

2. 実験方法

 UO_2 と B_2O_3 の粉末をモル比で UO_2 : B_2O_3 =77.5:22.5、 ZrO_2 と Al_2O_3 の粉末を ZrO_2 : Al_2O_3 =37.5:62.5 とそれぞれ共晶組成となるように混合し、 UO_2 - B_2O_3 : ZrO_2 - Al_2O_3 は UO_2 - B_2O_3 : ZrO_2 - Al_2O_3 =76:24 のモル比で混合して、高温炉を使用して Ar 気流中にて 1800 で 10 分間加熱することにより溶融した。冷却過程で 120 で 120 で 10 分間加熱することにより溶融した。冷却過程で 120 で 120 で

3. 結果・考察

溶融凝固体の SEM 観察の結果からデンドライト組織が確認でき、共晶による溶融凝固に成功したことが確認できた。光顕観察と X 線 CT 解析から、溶融凝固体は冷却速度が遅いほど大きなすができる傾向が得られた。圧縮試験の結果、すのある試料は内部のすが潰れることによりすの無い焼結体と比べて低い応力で破壊が始まり、破壊応力はすに大きく依存した。緻密な部分のビッカース硬度試験およびナノインデンター硬さ試験の結果は、冷却速度との系統的な相関は得られず、硬さ値に焼結体との顕著な差はなかった。

謝辞

本研究は、文部科学省の英知を結集した原子力科学技術・人材育成推進事業による委託業務として、国立法人福井大学が実施した平成27~29年度「福島第一原子力発電所の燃料デブリ分析・廃炉技術に関わる研究・人材育成」の成果を取りまとめたものである。

^{*}Takashi Onitsuka¹, Kozo Katsuyama², Akihiro Ishimi² and Masayoshi Uno¹

¹University of Fukui, ²Japan Atomic Energy Agency.

福島第一原子力発電所の燃料デブリ分析・廃炉技術に関わる研究・人材育成 (11) 模擬燃料デブリのミクロ材料特性とマクロ圧縮強度

Research and human resource development for analysis of fuel debris and decommissioning technology of Fukushima Daiichi nuclear power plants

(11) Microscopic material properties and macroscopic compression strength of simulated nuclear fuel debris *川上 有都 ¹, 寺西 正輝 ¹, 桑水流 理 ¹

1福井大学

模擬燃料デブリのミクロな弾塑性特性をナノインデンテーションにより同定した. 凝固欠陥の代替として 鋳造材の鋳巣の形状を使用し、同定した材料特性と併せて、空隙率の異なる複数の有限要素モデルを作成 した. マクロな圧縮強度に対する空隙の影響を有限要素解析により評価し、圧縮試験の結果と比較した. キーワード:燃料デブリ、二酸化ウラン、空隙、圧縮強度、有限要素解析、ナノインデンテーション

1. 緒 言

福島第一原子力発電所における核燃料デブリの取り出しに際して、デブリを分割した上で、安全に取り出す必要があるため、デブリの機械的性質の把握が重要である.デブリは一度溶融し、固化しているため、多数の凝固欠陥を含んでいると予想される.本研究では圧縮強度に対する空隙率の影響を明らかにする.

2. ミクロ材料特性の同定

模擬燃料デブリとして溶融固化した共晶 UO_2 - B_2O_3 を使用し、ナノインデンテーション試験を実施した. 圧子にはバーコビッチ圧子を用い、押込荷重は 98 mN として 12 点測定し、最も硬度の低い結果を材料同定に使用した. 荷重と変位の関係を 2 次近似し[1]、有限要素解析の結果がこの曲線に一致するように、材料定数を同定した[2]. ただし有限要素解析は軸対称 2 次元問題で近似し、ひずみ硬化曲線(降伏応力 σ_Y と塑性ひずみ σ_Y の関係)には Swift 式を用いた. 有限要素解析には MSC Marc を使用した. 同定の結果、ヤング率は σ_Y = 7288 (σ_Y = 728

3. マクロ圧縮強度の推定

溶融凝固体の模擬欠陥としてアルミニウム鋳造合金の鋳巣の 3 次元画像[3]を使用した. 画像は連続研磨面の光学顕微鏡画像である。そこから直径 $670~\mu m$,高さ $700~\mu m$ の円柱形に画像を切り抜き,空隙率の異なる 8 通りの有限要素モデルを作成した。これを上下から剛体板で挟み,接触解析により 10%圧縮ひずみを与えた。材料特性には上記のヤング率とひずみ硬化曲線を使用し,ポアソン比は 0.3 とした。解析には Abaqus を使用した。解析より得られた公称ヤング率と公称 0.2%耐力と空隙率の関係を図 1 に示す。図中に回帰曲線の近似関数を示す。指数の違いから,ヤング率より 0.2%耐力の方が空隙率の影響が強く,強度の低下が大きいことがわかる。また,図 1(b)には実際の圧縮試験で得られた圧縮破壊強度を併せて示した。解析と実験の比較より,解析は模擬デブリの強度を過大評価しており,空隙による強度低下も小さい。解析では延性材料を仮定しており,延性破壊強度として耐力を用いたが,実際の UO_2 - B_2O_3 は脆性破壊したので,強度評価法に問題がある。ひずみ硬化を無視し,弾完全塑性体を用いた解析[4]と比較すれば,空隙による強度低下は大きくなっているため,強度は材料の非弾性特性に依存することが明らかであり,今後は脆性的な挙動を評価する解析方法について検討する必要がある。

謝辞

本研究は,文部科学省の英知を結集した原子力科学技術・人材育成推進事業による委託業務として,国立大学法人福井大学が実施した平成29年度「福島第一原子力発電所の燃料デブリ分析・廃炉技術に関わる研究・人材育成」の成果の一部である.

参考文献

- [1] 小笠原永久, ほか, 日本機械学会論 文集 A編, 70 (2004), 1592-1534.
- [2] Li, H., et al., Int. J. Solids Structures, 81 (2016), 151-159.
- [3] 桑水流理, ほか, 日本機械学会論文 集 A 編 77 (2011), 1046-1050.
- [4] 寺西正輝, 桑水流理, 日本原子力学会 2017 年秋の大会 (2017), 3J06.

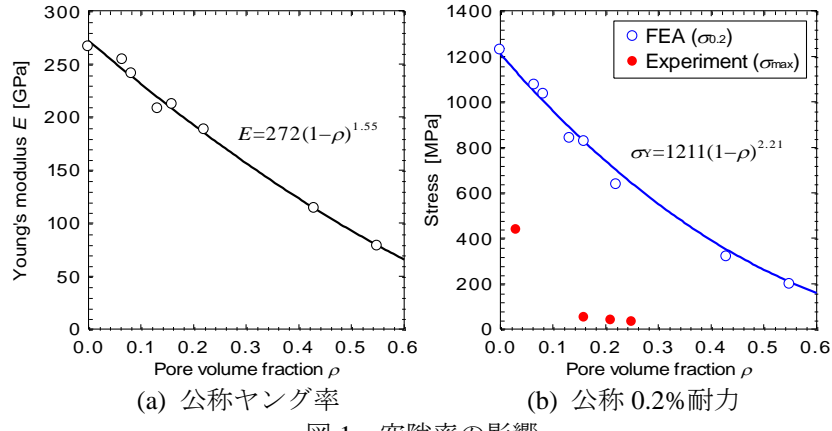


図1 空隙率の影響

^{*}Aruto Kawakami¹, Masaki Teranishi¹ and Osamu Kuwazuru¹

¹University of Fukui

福島第一原子力発電所の燃料デブリ 分析・廃炉技術に関わる研究・人材育成 (12) SrZrO₃の生成・溶出挙動

Research and human resource development for analysis of fuel debris and decommissioning technology of Fukushima Daiichi nuclear power plants

(12) Formation and dissolution behavior of SrZrO₃

*井上 大志、有田 裕二、藤田 透福井大学

燃料デブリ中に含まれ、水中に溶出しやすいストロンチウムの安定化に寄与する化合物として期待される $SrZrO_3$ の生成のしやすさと溶出挙動を調べた。その結果 $SrZrO_3$ の生成は速やかに起こり、多くの Sr は安定化され、水中への溶出は抑制されることがわかった。

キーワード:模擬デブリ、FP 放出、ストロンチウム

1. 研究の背景と目的

福島第一原子力発電所事故では炉心溶融が起こり、燃料デブリが生成された。現在その多くは水中で保持され、核分裂生成物 (FP) の溶出が懸念されている。これまでの模擬燃料デブリを用いた FP 溶出・放出試験 [1,2]によって、FP 成分では Sr が溶出しやすいことがわかった。ただし、Sr Zr 0_3 の生成も確認され、Sr Zr 0_3 が Sr の溶出を阻害している可能性が示された [2]。今回の試験では Sr Zr 0_3 生成のしやすさを明らかにするとともにどの程度 Sr の溶出が阻害されるか明らかにすることを目的とした。

2. 実験概要

試料は、Sr0 と Zr0₂を同モル混合した後、放電プラズマ焼結で作製した。焼結条件は真空中 1200℃で 30 分保持、加圧は 3kN とした。未反応の Sr0 の量が異なる試料を作製するため、焼結 1 回のものと、焼結後試料を粉砕して混合した後もう一度焼結した試料(焼結 2 回試料)、同様に焼結 3 回した試料を作製した。それぞれの試料は X 線回折によって存在する相を確認した後、質量分析装置を用いた昇温脱離ガス分析と水中への溶出試験を実施して Sr の放出・溶出挙動を評価した。

3. 結果及び考察

焼結試料の X 線回折スペクトルを図1に示す。図1より、焼結1回の試料で、ほぼ SrZrO3 は単相に近い状態になっていることがわかった。このことから、SrZrO3の生成は速やかに起こり、多くの SrO は安定化されることが示された。また、溶出試験では、Sr の溶出量は、試料中のに含まれる Sr の 2%程度であった。これは、試料表面に残っていた未反応のSrO が溶け出したものと考えられる。昇温脱離ガス分析においても、900℃までの温度で

は試料からのSr およびSr0の放出は検出されなかった。

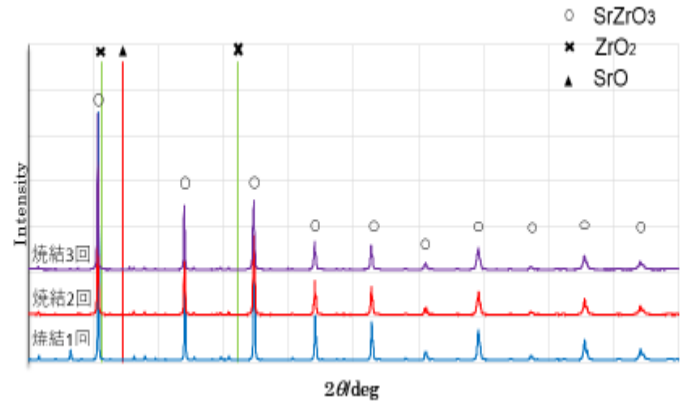


図1 X線回析スペクトル

以上の結果から、Sr は ZrO₂によって安定化され、放出・溶出が抑制されると考えられる。

=44.40

本研究は文部科学省原子力システム研究開発事業-英知を結集した原子力科学技術・人材育成推進事業(廃止措置研究・人材育成強化プログラム)の一環として実施している。

参考文献

[1] 平等、有田、第 64 回質量分析討論会(2016.5) 3B-02-1640, [2] 有田他、原子力学会 2017 秋の大会 3J08

University of Fukui

^{*} Taishi Inoue, Yuji Arita, Toru Fujita

福島第一原子力発電所の燃料デブリ分析・廃炉技術に関わる研究・人材育成 (13) CeO₂-ZrO₂及び UO₂-ZrO₂の溶融挙動

Research and human resource development for analysis of fuel debris and decommissioning technology of Fukushima Daiichi nuclear power plants

(13) Melting behaviors of CeO₂-ZrO₂ and UO₂-ZrO₂ *岩佐 龍磨,有馬 立身,稲垣 八穂広,出光 一哉 九州大学

 CeO_2 - ZrO_2 固溶体に対してレーザー加熱を利用した無容器法で融点を推定すると共に、レーザーフラッシュ法(LF法)により比熱・熱伝導率を評価した。合わせて、分子動力学法(MD法)により CeO_2 - ZrO_2 及び UO_2 - ZrO_2 固溶体の溶融温度を評価した。

キーワード:燃料デブリ、レーザー加熱、分子動力学、融点、放射率

- 1. **緒言**:過酷事故の事象進展を解析する上で、核燃料・被覆管・原子炉構造材等から生じる燃料デブリの熱物性は重要であるが、化学組成が複雑であることから、系統的な測定・評価が必要とされる。本研究では、燃料デブリ模擬試料として、まずは CeO_2 - ZrO_2 固溶体に対して、比熱・熱伝導率評価及び融点測定を実施した。また、MD 法を用いて CeO_2 - ZrO_2 および UO_2 - ZrO_2 に対して溶融温度を評価した。
- 2.1. 比熱・熱伝導率及び融点測定: CeO_2 - ZrO_2 ディスク状試料に対して LF 法により比熱及び熱拡散率を測定し、熱伝導率を評価した。熱伝導率は ZrO_2 添加率の増加と共に減少し、温度依存性は低下した(図 1)。融点は以下の手順で評価した。試料を耐圧セル内に置き、連続レーザーで予備加熱した後に、局所的に Nd:YAG レーザーにより溶融させた。溶融部の温度は放射温度計で計測し、熱停留点を特定した。熱停留点での放射スペクトルから放射率を求め、融点評価を試みた。これまでに放射スペクトルからは信頼性のある融点は得られていない。そこで、便宜的に積分球で求めた室温の放射率から融点を求めた。 ZrO_2 添加量が 25 mol%、50 mol% で融点は低下したが、全体的に既知の値より高いものとなった[1]。
- **2-2.** 分子動力学法による融点評価: CeO_2 - ZrO_2 及び UO_2 - ZrO_2 の両系において、初期状態で結晶相と液相を共存させ、温度-圧力一定のもとで計算する方法(Two-phase simulation: TPS)を用いて融点を評価した。計算には二体ポテンシャル関数を採用し[2]、 CeO_2 に対しては新たにパラメータを決定し、 ZrO_2 に対してはより実験値の融点に近くなるようパラメータを修正した。 CeO_2 - ZrO_2 系では ZrO_2 添加量が 40-80 mol%(図 2)、 UO_2 - ZrO_2 系では 50-80 mol%付近で融点が最も低くなった。

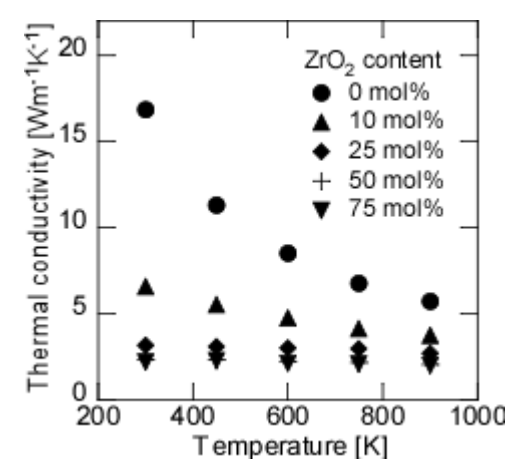


図 1 CeO₂-ZrO₂の LF 法による熱伝導率

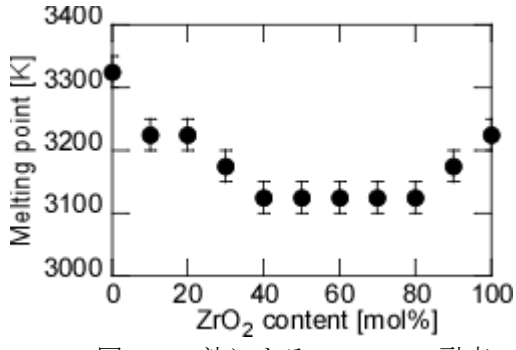


図 2 TPS 法による CeO₂-ZrO₂融点

*本研究は、文部科学省の英知を結集した原子力科学技術・人材育成推進

事業による委託業務として、福井大学から再委託を受けた九州大学が実施した平成 29 年度「福島第一原子力発電所の燃料デブリ分析・廃炉技術に関わる研究・人材育成」の成果を含みます。

参考文献 [1] P. Duran, et al., J. Mater. Sci. 25 (1990) 5001. [2] A. Pedone, et al., J. Phys. Chem. B110 (2008) 11780.

^{*}Tohma Iwasa, Tatsumi Arima, Yaohiro Inagaki, Kazuya Idemitsu, Kyushu Univ.

燃料デブリ中のプルトニウムとガドリニウムの化学形態

Chemical states of plutonium and gadolinium in fuel debris

*渡部 志保 ¹, 石井 大翔 ¹, 大石 佑治 ¹, 牟田 浩明 ¹, 黒崎 健 ^{1,2,3}

¹大阪大学, ²福井大学, ³JST さきがけ

酸化状況下にある燃料デブリの模擬物質として、 $(U, Zr, Ce)O_2$ と $(U, Zr, Gd)O_2$ を作製した。ここで、Ceは Pu の模擬元素である。この模擬物質を高温大気中で酸化した際の Ce と Gd の化学形態を評価した。 キーワード: 燃料デブリ、酸化、プルトニウム、ガドリニウム

1. 緒言

福島第一原子力発電所事故では、炉心溶融により燃料デブリが生成された。廃炉に向けた取り組みとして、燃料デブリの特性把握は重要である。とりわけ、燃料デブリの主成分である $(U, Zr)O_2$ 酸化物相中に含まれると考えられる Gd と Pu は、再臨界と内部被爆にそれぞれ影響を及ぼす。また、燃料デブリは酸化雰囲気に晒されている可能性があるが、その際に Gd と Pu がどういった化学形態で存在しているのかは完全に解明されていない。そこで本研究では、燃料デブリの主成分である $(U, Zr)O_2$ に Gd と Gd と

2. 実験方法

3. 結果と考察

図 1 に、作製した試料の酸化試験前後の粉末 XRD パターンを示す。Ce を添加した模擬燃料デブリは、酸化試験によって蛍石型結晶構造を有する UO_2 相から U_3O_8 相へと変化した。一方、Gd を添加した模擬燃料デブリは、酸化試験によって UO_2 相から UO_2 相と U_3O_8 相の二

相に分離した。SEM-EDX 分析の結果から、酸化試験の前後どちらの場合においても、Ce と Gd は試料中に均一に固

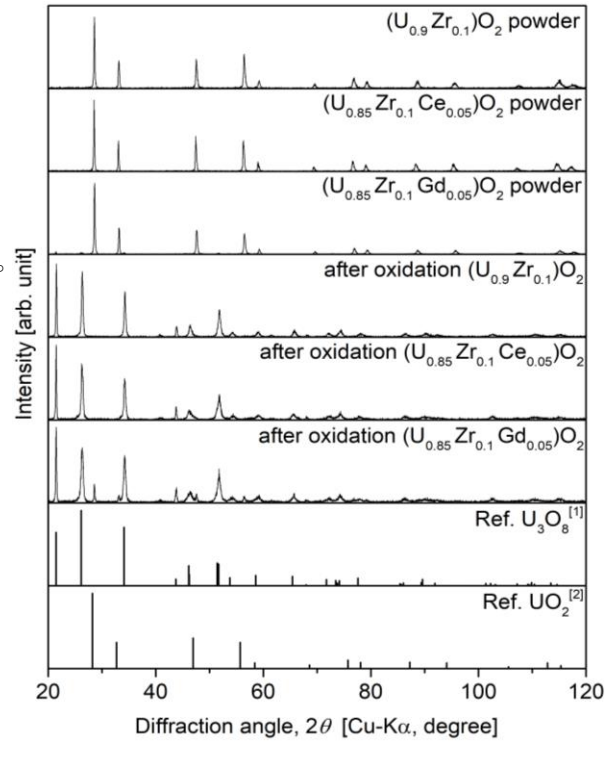


図1 作製した試料の酸化試験前後の粉末 XRD パターン

溶していることが確認された。Ce 添加と Gd 添加の試料の相状態の違いに関する詳細は、当日報告する。

参考文献

- [1] B. Wasserstein, Nature London, 174, 1004, 1954.
- [2] S. Siegel, Acta Crystallographica, 8, 617, 1955.

^{*}Shiho Watanabe¹, Hiroto Ishii¹, Yuji Ohishi¹, Hiroaki Muta¹, Ken Kurosaki^{1,2,3}

¹Osaka University, ²University of Fukui, ³ JST PRESTO.

Oral presentation | V. Nuclear Fuel Cycle and Nuclear Materials | 501-2 Nuclear Fuel and the Irradiation Behavior

[1D07-09] Fundamental Properties

Chair: Masahide Takano (JAEA)

Wed. Sep 5, 2018 2:45 PM - 3:35 PM Room D (A32 - A Building)

[1D07] Thermal and mechanical properties of Fe₂Zr

*Daisuke Okada¹, Hiroto Ishii¹, Yuji Ohishi¹, Hiroaki Muta¹, Ken Kurosaki^{1,2,3} (1. Osaka University, 2. Research Institute of Nuclear Engineering, University of Fukui, 3. JST PRESTO) 2:45 PM - 3:00 PM

[1D08] Hydrogen distribuiton in irradiated zirconium alloys by means of atom probe tomography

*Takashi Sawabe¹, Takeshi Sonoda¹ (1. CRIEPI) 3:00 PM - 3:15 PM

[1D09] Thermal properties evaluation of fluorite structure oxides

*Masato Kato¹, Taku Matsumoto¹, Hiroki Nakamura¹, Masahiko Machida¹ (1. Japan Atomic Energy Agency)

3:15 PM - 3:30 PM

Fe₂Zr の熱的および機械的性質

Thermal and mechanical properties of Fe₂Zr

*岡田 大輔¹, 石井 大翔¹, 大石 佑治¹, 牟田 浩明¹, 黒崎 健^{1,2,3}

¹大阪大学, ²福井大学附属国際原子力研究所, ³JST さきがけ

燃料デブリの金属相に存在していると考えられる Fe₂Zr の熱的および機械的性質を評価した。

キーワード:燃料デブリ,金属相,Fe₂Zr,熱物性,機械的性質

1. 緒言

福島第一原子力発電所の炉内に形成した燃料デブリの性状や物性を理解することは、優先度の高い研究課題とされている。しかしながら、燃料デブリ中に存在すると考えられる金属相に関しては、その相状態や各種物性はほとんど調べられていない。本研究では、燃料デブリ中の金属相を構成する主要な相の一つであると考えられる Fe₂Zr に着目し、その相状態や各種基礎物性を評価した。

2. 実験方法

アーク溶解により作製した Fe_2Zr のインゴットを粉砕した後に、放電プラズマ焼結することでバルク体を得た。作製した試料の相状態を走査型電子顕微鏡(Scanning Electron Microscope: SEM)及び X 線回折(X-Ray Diffraction: XRD)法で評価した。各種基礎物性として、線熱膨張係数、比熱、熱拡散率、音速を測定した。測定した音速から弾性定数を、比熱と熱拡散率から熱伝導率を、それぞれ算出した。

3. 結果

本研究により評価した Fe_2Zr の比熱と熱伝導率の温度依存性を、図 1 と図 2 にそれぞれ示す。熱伝導率に関しては、酸化物相の主成分である UO_2 と ZrO_2 の熱伝導率と比較した。図 1 から、 Fe_2Zr の比熱の温度依存性において、670 K 付近にラムダ型のピークが存在するが、これは磁気相転移によるものだと考えている。図 2 から、 Fe_2Zr の熱伝導率は、酸化物相と比較して全ての温度域で高いことがわかった。また、670 K 付近でまでは温度上昇とともに減少し、その後増加に転じるような温度依存性を示すことがわかった。

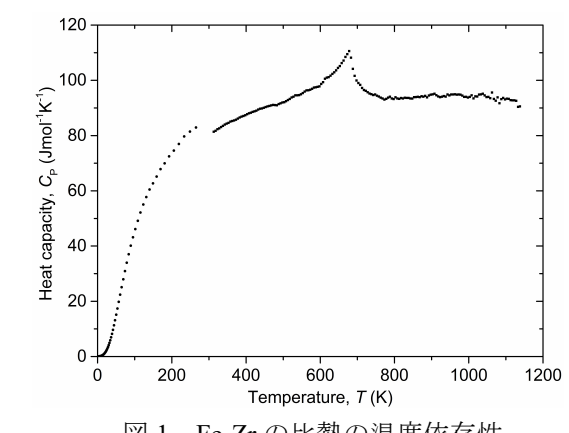


図1 Fe₂Zr の比熱の温度依存性

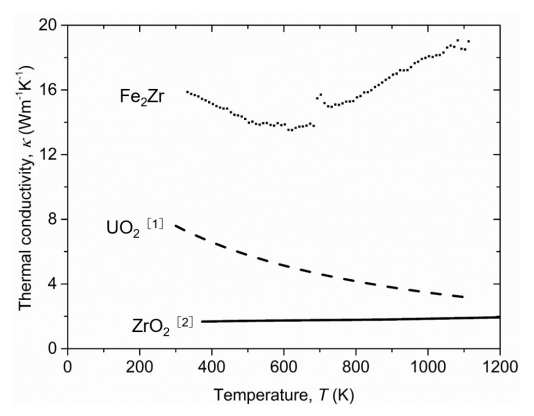


図 2 Fe₂Zr の熱伝導率の温度依存性、UO₂ [1] と ZrO₂ [2] についてのデータを併せて示す

参考文献

[1] J. K. Fink, "Thermophysical properties of uranium dioxide," J. Nucl. Mater. 279, 1-18 (2000).

[2] W. D. Kingery, J. Francl, R.L. Coble, T. Vasilos, "Thermal Conductivity: X, Data for Several Pure Oxide Materials Corrected to Zero Porosity," *J. Amer. Ceram. Soc.* 37, 107-110 (1954).

^{*}Daisuke Okada¹, Hiroto Ishii¹, Yuji Ohishi¹, Hiroaki Muta¹, Ken Kurosaki^{1,2,3}

¹Osaka University, ²Reseach Institute of Nuclear Engineering, University of Fukui, ³JST PRESTO.

照射ジルコニウム合金中の水素分布のアトムプローブ観察

Hydrogen distribution in irradiated zirconium alloy by means of atom probe tomography

*澤部 孝史¹, 園田 健¹

¹電力中央研究所

照射ジルコニウム合金中の水素原子の分布をアトムプローブ (APT) 測定結果より評価した。母相において水素化物と推定される水素原子の濃化した領域が観察された。濃化領域の大きさの違いから、最初に生成する微小な水素化物と成長した水素化物の二種類に区別できると考えられた。

キーワード:ジルコニウム合金,燃料被覆管,水素化物,照射欠陥,アトムプローブトモグラフィー

1. 緒言

被覆管の外表面は炉水との接触により酸化し、この反応により発生する水素の一部が被覆管へ吸収される。 高燃焼時では被覆管の水素吸収速度が増大する傾向にあり、一因として中性子照射量の増加による析出物 の照射誘起固溶や照射欠陥の形成などのミクロ組織の照射挙動による影響が考えられる。当所はこれまで に照射ジルコニウム合金中の元素分布の変化と照射欠陥の関係を APT 測定の結果から明らかにしており [1.2]、本研究では母相中の水素原子分布を評価した。

2. 試料と実験方法

照射ジルコニウム合金は、商用 BWR で最大 15×10^{25} /m² (E > 1 MeV)まで照射された Fe 添加改良合金 (Fe 量 0.43 at%) と比較用のジルカロイ-2 (0.29 at%) を用いた。APT 測定データは LEAP4000X-HR により取得し、三次元アトムマップを構築した。

3. 結果と考察

水素は質量電荷比スペクトルにおいて、H+, 2H+, ZrH²+として検出され、これらを水素分布評価に用いた(図 1)。アトムマップから水素は母相中で局所的に濃化した。形状は、10-20 nm程度の粒状とAPT測定範囲より大きい板状(もしくはクサビ状)の二種類が確認され(図 2)、水素化物と推定される。粒状水素化物は極微小であることから、最初に母相に生成した水素化物と考えられ、板状水素化物は粒状水素化物から成長した水素化物と考えられた。

参考文献

[1] T. Sawabe, T. Sonoda, J. Nucl. Sci. Technol. in press.

[2] 澤部孝史, 園田健, 日本原子力学会 2018 年春の年会, 予稿集 3D12.

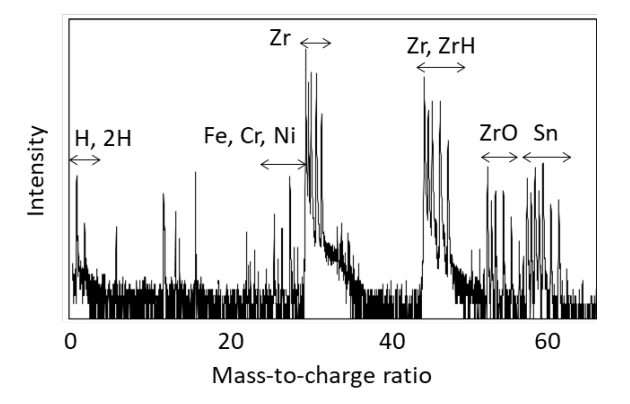


図1 照射後試料の質量電荷比スペクトル.

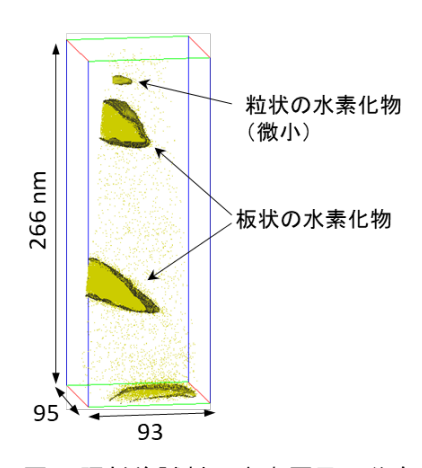


図2 照射後試料の水素原子の分布.

^{*}Takashi Sawabe1 and Takeshi Sonoda1

¹Central Research Institute of Electric Power Industry

1D09

蛍石型酸化物の熱物性評価

 UO_2 や PuO_2 などの蛍石構造を有する 6 種類の酸化物について、熱物性及び機械物性について比較・評価し、比熱及び熱伝導率を記述する式について検討した。

キーワード: 蛍石酸化物,アクチナイド酸化物,熱物性

1. 緒言

酸化物燃料の基礎物性について機構論的に記述することを目的に、蛍石構造を有する CeO_2 、 ThO_2 、 UO_2 、 NpO_2 、 PuO_2 、 AmO_2 の 6 種類の酸化物について基礎特性を比較評価した。さらに、基礎データ間の関連性について検討し、比熱及び熱伝導率について評価を行った。

2. 実験データベース

実験データとして、酸素ポテンシャル、格子定数、ヤング率、せん断率、ポアッソン比、熱膨張率、比熱、熱伝導率及び融点についてレビューし、比較評価した。6 種類の化合物のうち、 $U0_2$ はハイパーストイキオメトリの領域に、 ThO_2 を除く残りの 4 種類は、ハイポストイキオメトリ組成領域に広がっている。 ThO_2 は定比組成で安定であり、広範囲の酸素ポテンシャルで安定に存在し、他の酸化物は、 $NpO_2 < UO_2 < PuO_2 < CeO_2 < AmO_2$ の順で酸素ポテンシャルが高くなる傾向である。融点と熱膨張率の関係などの他の特性においては、明らかな傾向は観察できなかった。

3.熱物性の評価

図1に比熱の温度依存性[1]を示す。機械物性及び熱膨張係数を用いると、デバイ温度とグリュナイゼン係数を評価することができるため、比熱(Cp)を定積比熱(Cv)と熱膨張の寄与(Cd)の和として得ることができる。図1中に例としてCeO2の計算結果を示すが、実験データと良い一致を示している。



[1] Konings, et al., J. of Phy. Chem. Ref. Data, 43, 013101(2014)

[2] Slack, Solid State Physics, 34(1979)1-71

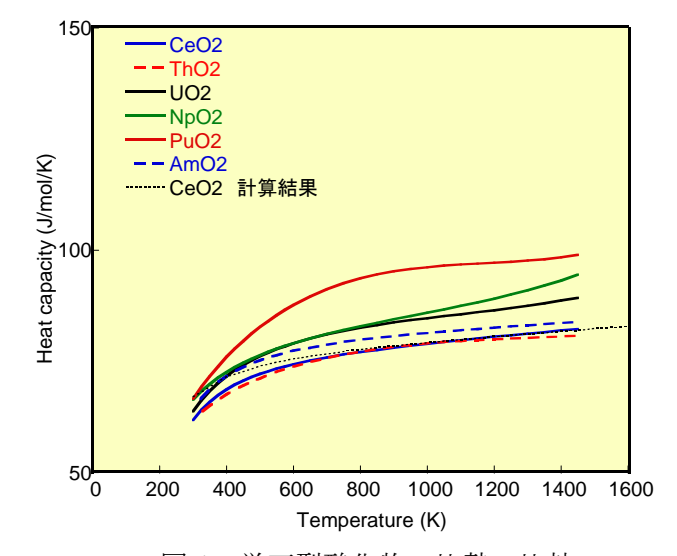


図1 蛍石型酸化物の比熱の比較

^{*}Masato Kato¹, Taku Matsumoto¹, Hiroki Nakamura¹ and Masahiko Machida¹

¹Japan Atomic Energy Agency

Oral presentation | V. Nuclear Fuel Cycle and Nuclear Materials | 501-2 Nuclear Fuel and the Irradiation Behavior

[1D10-12] Fuel Behavior

Chair: Masayoshi Uno (Univ. of Fukui)

Wed. Sep 5, 2018 3:35 PM - 4:25 PM Room D (A32 - A Building)

[1D10] Evaluation of fuel behaviors by using science-based Integrated models for MOX properties

*Shun Hirooka¹, Masato Kato¹, Masashi Watanabe¹ (1. Japan Atomic Energy Agency) 3:35 PM - 3:50 PM

[1D11] Evaluation of fuel behaviors by using science-based Integrated models for MOX properties

*Miho Kamei¹, Masayuki Naganuma¹, Yoshihisa Ikusawa¹, Koji Maeda¹, Shinji Sasaki¹, Ozawa Takayuki¹, Shun Hirooka¹ (1. JAEA)

3:50 PM - 4:05 PM

[1D12] Development of Fuel Performance Code FEMAXI-8

*Yutaka Udagawa¹, Masaki Amaya¹ (1. Japan Atomic Energy Agency) 4:05 PM - 4:20 PM

高速炉 MOX 燃料の機構論的統合モデルを用いた燃料挙動の評価 (1) O/M 再分布の評価

Evaluation of fuel behaviors by using science-based integrated models for MOX properties

(1) Evaluation of O/M redistribution

*廣岡 瞬¹,加藤 正人¹,渡部 雅¹ 「日本原子力研究開発機構

MOX 燃料の機構論的統合モデルのうち、酸素拡散係数を用いて照射中の O/M 再分布の経時変化を評価 した。2000K を超えるような高温部では O/M 再分布は数十分で完結するが、1000K では数十時間かけて O/M 再分布が進行する結果が得られた。

キーワード: MOX, O/M, 照射, 酸素ポテンシャル, 酸素拡散

1. 緒言

原子力機構では高速炉用 MOX 燃料の様々な基礎特性について幅広いパラメータで取得してきた。これらの基礎特性は機構論的にモデル化することで、それぞれの特性が相互に関連し、燃料組成に対して連続的に整理することができる。本シリーズ発表では、MOX 燃料の機構論的統合モデルを用いた照射中の燃料挙動の評価の一つとして、酸素/金属比(O/M) 再分布の評価について報告する。

照射中の MOX 燃料には径方向に急峻な温度勾配が付与されるため、これが駆動力となって酸素の拡散が起こり、O/M が再分布する。O/M は熱伝導率等の様々な物性に影響を及ぼすことから特に重要な燃料挙動である。酸素の拡散は比較的速く、これまでは径方向の温度分布に対して平衡状態となる O/M が評価されてきた。しかし、出力上昇中のような照射初期では O/M 再分布は平衡状態に至っていないと考えられ、O/M 再分布の経時変化の評価が必要となる。機構論的統合モデルとして酸素拡散係数 [1]が整理されたため、酸素拡散係数を用いた O/M 再分布の経時変化の評価が可能となった。

2. 評価方法

O/M 分布の経時変化は、(1)式により簡易的に評価する方法が提案されている[2]。

$$c(r,t) = c(r,0) \exp\left(-\frac{t}{\tau}\right) + c(r,\infty) \left\{1 - \exp(-\frac{t}{\tau})\right\} \tag{1}$$

cは定比組成(O/M=2)からの差、rは径方向における中心からの距離、t は時間、 τ は時定数である。時定数は $\tau=(r_{out}^2-r_{in}^2)/17.2D$ (Dは酸素拡散係数)と報告されており、温度、O/M 及び Pu 含有率について整理した酸素拡散係数を用いた。(1)式を用いて、照射中の径方向の温度分布と O/M 再分布について経時変化を評価した。

3. 評価結果・考察

局所的な温度に対して、O/M 変化に要する時間を図1に示す。縦軸の0 は初期状態のO/M を、縦軸の1 は平衡状態のO/Mを示す。2000Kでは1時間以内にO/M変化が完結するが、1000KではO/M変化に1日程度を要することが分かる。ペレット表面付近は照射中1000K程度に冷却されているため、ペレット表面のO/M再分布にはある程度の時間を要することが考えられる。発表では照射中のO/M変化に関して、温度勾配に対して平衡状態のみを評価した場合と、経時変化を評価した場合の比較についても紹介する。

参考文献

[1] M. Kato et al., J. Nucl. Mater., 487(2014)424-432.

[2] K. Lassmann, J. Nucl. Mater., 150(1987)10-16.

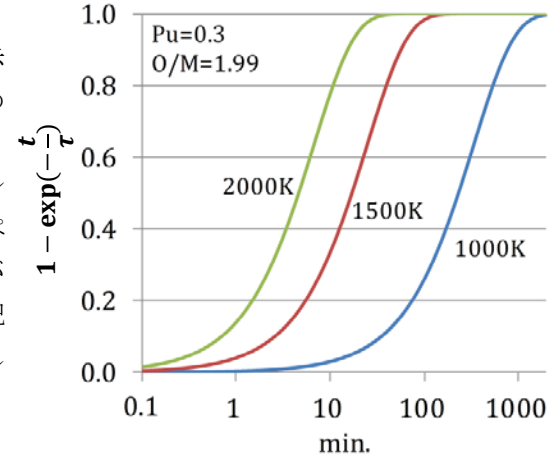


図 1 O/M 再分布の時間変化

^{*}Shun Hirooka¹, Masato Kato¹ and Masashi Watanabe¹

¹Japan Atomic Energy Agency

高速炉 MOX 燃料の機構論的統合モデルを用いた燃料挙動の評価 (2) Pu, Am 再分布の評価

Evaluation of fuel behaviors by using science-based integrated models for MOX properties (2) Evaluation of Pu and Am redistribution

*亀井 美帆 ¹, 永沼 正行 ¹, 生澤 佳久 ¹, 前田 宏治 ¹, 佐々木 新治 ¹, 小澤 隆之 ¹, 廣岡 瞬 ¹日本原子力研究開発機構

MOX 燃料の機構論的統合モデルのうち蒸気圧モデルを用いて、照射初期の Pu 及び Am 再分布を評価した。照射初期の Pu 及び Am 再分布について、照射中の蒸気圧による寄与を明らかにした。

キーワード: MOX 燃料, O/M 比, プルトニウム, アメリシウム, 再分布

1. 緒言

高速炉 MOX 燃料において、照射による Pu、Am のペレット径方向濃度変化 (Pu・Am 再分布) は、燃料の融点等に影響を与えるため、重要な挙動である。 Pu、Am の照射初期の再分布挙動等を把握するため、高速実験炉「常陽」で Am-MOX 燃料の短期照射試験(B14 試験)を実施した。本研究では、この試験燃料を対象に O/M 比による Pu・Am 再分布挙動への影響について、蒸気圧を評価し検討した。

2. 照射試験·結果[1]

B14 試験では、Pu 含有率 31 wt.%、Am 含有率 2.4 wt.%、O/M 比 3 レベル (1.96、1.98、2.00) の燃料ピンについて、48 時間のプレコンディショニングの後、最大線出力 470 W/cm で 10 分間の短期照射を行った。照射後試験 (PIE) で EPMA 測定の結果、いずれの試料においても燃料中心側で Pu・Am 濃度は最大となる分布となり、中心側での Pu・Am・U 再分布量と O/M 比の関係を図 1 に示した。ここで、O/M 比の増大に伴い Pu、Am の再分布量は増加する傾向にあり、特に O/M 比が2.00 で再分布量が大きく、Am 再分布量は Pu 再分布量よりも大きく増加していることがわかる。

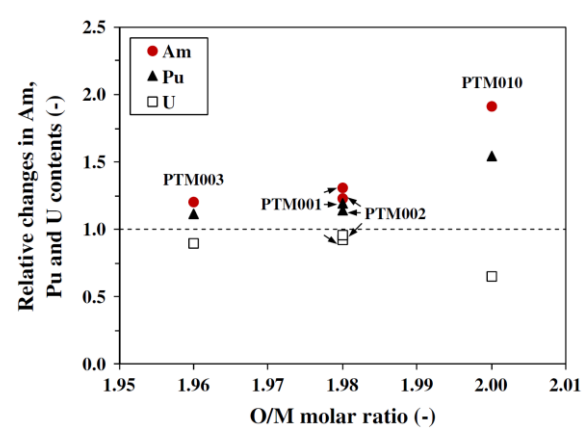


図 1 O/M 比と燃料中心側の Pu,Am 再分布量 の関係[1]

3. 考察

Pu・Am 再分布挙動は固相拡散と気相輸送によるものと知られているが、上記のような照射初期では、燃料組織変化を伴う燃料の径方向温度勾配による製造時気孔の蒸発・凝縮移動過程での気相輸送が支配的であり、再分布量は U・Pu・Am 系の蒸気圧差に起因するものと考えられる。そこで、MOX 燃料の機構論

的統合モデル[2]にある蒸気圧モデル[3]を用いて、最大線出力時の蒸気圧を計算した結果を図2に示す。この結果から、O/M 比の増大に伴い Pu・Am 再分布量が増大したのは、Pu・Am 分圧に対する U 分圧比 (U 分圧/Pu 分圧、U 分圧/Am 分圧) が増大したことが起因したと考えられる。O/M 比が 2.00 のとき、Pu、Am とも再分布量が大きく、特に Am で大きくなったことは、これらの分圧比の傾向により説明できることが分かった。本検討の結果得られた知見を燃料挙動解析コードに取り入れることで、照射初期における Pu・Am 再分布評価の精度の向上が期待でき、次期高速炉の燃料設計裕度の適正化に資するものと考える。

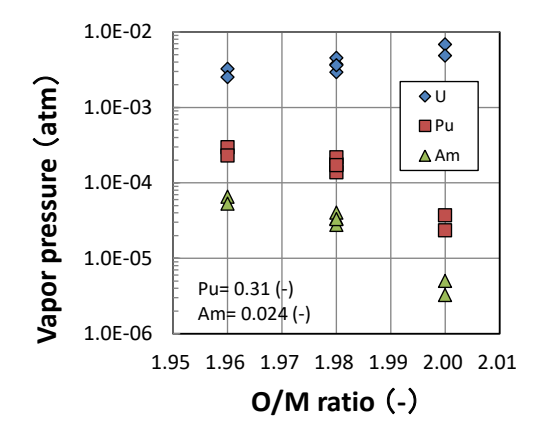


図 2 O/M 比と最大線出力時の蒸気圧の関係

参考文献

[1] K. Maeda et al, J. Nucl. Mater., 416 (2011) 158-165.

[2] 2018 年日本原子力学会春の年会,予稿(2018) 3D01-3D03. [3] Y.Ikusawa et al, Proc., ICONE22 (2014) 30005.

^{*}Miho Kamei¹, Masayuki Naganuma¹, Yoshihisa Ikusawa¹, Koji Maeda¹, Shinji Sasaki¹, Takayuki Ozawa¹, and Shun Hirooka¹ ¹Japan Atomic Energy Agency

燃料挙動解析コード FEMAXI-8 の開発 軽水炉燃料挙動モデルの改良と総合性能の検証

Development of Fuel Performance Code FEMAXI-8

Model Improvements for Light Water Reactor Fuel Analysis and Systematic Validation

*宇田川豊1, 天谷 政樹1

1日本原子力研究開発機構

燃料挙動解析コード FEMAXI-8 を開発した。前バージョンに対しモデル改良及び新規モデル導入、データ/処理構造の見直し等を行い、144 ケースに拡充した検証データベースによりその予測/計算性能を確認した。

キーワード: 燃料挙動解析コード, FEMAXI, 軽水炉燃料, 高燃焼度, 核分裂生成ガス放出

1. 緒言

FEMAXI-8 は、軽水炉燃料の通常運転時及び異常過渡条件下の挙動解析を目的として日本原子力研究開発機構が開発整備を進めてきた FEMAXI(前バージョン FEMAXI-7 は 2012 年公開[1])の最新バージョンである。FEMAXI については、実験データ解析や燃料設計等研究/開発のツールとして主に高燃焼度燃料の挙動解析向けモデル等の拡充を進めてきたが、照射試験データに基づく検証は前バージョンまで小規模に留まり、燃料研究分野における更なる適用拡大や燃料安全評価等の分野での活用に向け、解析結果の信頼性向上が課題であった。そこで、FEMAXI-8 の開発に合わせ、FEMAXI の検証として最大となる 144 ケースの照射試験データを用いた検証を行い、その軽水炉燃料挙動に関する予測性能/計算性能を確認した。

2. FEMAXI 検証用データベース構築

燃料挙動全体に及ぼす影響が大きく重要度の高い、燃料中心温度及び核分裂生成ガス放出率(FGR)を 主たる検証項目とし、これらの実測データが充実する OECD ハルデン計画の照射試験データ、OECD/NEA

の国際燃料実験(IFPE)データベース内のランプ試験データ、 等を収集し、FEMAXI 検証用のデータベースを構築した。

3. FEMAXI-8 開発に係る課題抽出及びプログラム改良

前バージョンにおいて、急激な温度変化の繰り返しを伴う解析時の数値的な安定性、及び実測データの再現性の問題が確認されたことから、前者については熱/力学連成、軸方向ノード間相互作用、摩擦力算定、応力再配分及び時間制御に係る各アルゴリズムの改良、後者については燃料ペレット内部におけるクラックの熱的影響の考慮、FGRを決定づける結晶粒界ガスバブル連結過程における粒界やガスバブルのジオメトリ効果の考慮等の改良を行った。

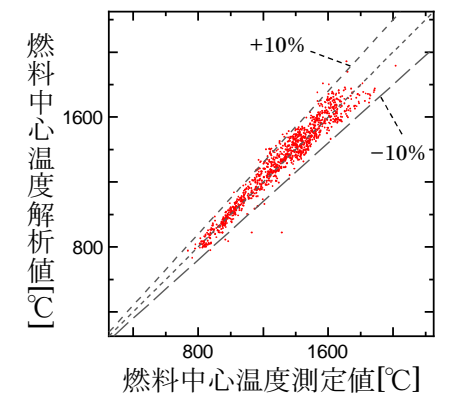


図 1 UO₂ 燃料中心温度の比較

4. 検証解析

 UO_2 、MOX 及び Gd 添加燃料を対象とした照射試験 144 ケース (到達燃焼度 3-99 GWd/tU、最大線出力 146-585 W/cm、初期内圧 0.1-3.4 MPa、He 組成比 0.0-1.0、初期ギャップ 42-508 μm の範囲)について、FEMAXI-8 の検証解析を実施した。解析値/実測値間の誤差は燃料中心温度については概ね相対誤差 10%以内(図 1: UO_2 燃料ケースの例)、FGR については検証ケース全体の標準偏差(絶対値)にして 5%以内であった。

参考文献

[1] 鈴木他、"軽水炉燃料解析コード FEMAXI-7 のモデルと構造"、JAEA-Data/Code 2013-014 (2013)

^{*}Yutaka Udagawa¹, and Masaki Amaya¹

¹Japan Atomic Energy Agency

Oral presentation | V. Nuclear Fuel Cycle and Nuclear Materials | 501-2 Nuclear Fuel and the Irradiation Behavior

[1D13-18] Nitride Fuel

Chair: Masato Kato (JAEA)

Wed. Sep 5, 2018 4:25 PM - 6:00 PM Room D (A32 - A Building)

[1D13] R&D on Nitride Fuel Cycle for MA Transmutation to Enhance Safety and Economy

*Masahide Takano¹, Seiya Takaki¹ (1. JAEA)

4:25 PM - 4:40 PM

[1D14] R&D on Nitride Fuel Cycle for MA Transmutation to Enhance Safety and Economy

*Seiya Takaki¹, Makoto Harada¹, Masahide Takano¹ (1. Japan Atomic Energy Agency) 4:40 PM - 4:55 PM

[1D15] R&D on Nitride Fuel Cycle for MA Transmutation to Enhance Safety and Economy

*Harada Makoto¹, Seiya Takaki¹, Masahide Takano¹ (1. JAEA)

4:55 PM - 5:10 PM

[1D16] R&D on Nitride Fuel Cycle for MA Transmutation to Enhance Safety and Economy

*Tatsumi Arima¹, Masahide Takano², Seiiya Takaki² (1. Kyushu univ., 2. Japan atomic energy agency)

5:10 PM - 5:25 PM

[1D17] R&D on Nitride Fuel Cycle for MA Transmutation to Enhance Safety and Economy

*Takumi Sato¹, Hirokazu Hayashi¹ (1. Japan Atomic Energy Agency)

5:25 PM - 5:40 PM

[1D18] R&D on Nitride Fuel Cycle for MA Transmutation to Enhance Safety and Economy

*TSUYOSHI MURAKAMI¹, Masatoshi Iizuka¹, Hirokazu Hayashi² (1. Central Research Institute of Electric Power Industry, 2. Japan Atomic Energy Agency)

5:40 PM - 5:55 PM

安全性・経済性向上を目指した MA 核変換用 窒化物燃料サイクルに関する研究開発

(3) α線自己照射損傷による結晶格子と焼結体膨張の相関

R&D on Nitride Fuel Cycle for MA Transmutation to Enhance Safety and Economy

(3) Lattice and Bulk Expansion of Nitride Fuel Pellet by Self-irradiation Damage *高野 公秀,髙木 聖也

原子力機構

燃料製造後の保管中に蓄積する格子欠陥と He 原子の燃料ふるまいへの影響に関する基礎知見取得のため、(Pu,Cm,Zr)N 窒化物燃料ペレットを焼結し、室温保管時の格子定数とペレット寸法の経時変化を測定した。

キーワード:マイナーアクチノイド,核変換,窒化物燃料,自己照射損傷,膨張

1. 緒言

マイナーアクチノイド (MA) を高濃度に含有した燃料には、製造後の保管中に α 線自己照射損傷による格子欠陥と He 原子の蓄積が速く進む。格子欠陥蓄積による結晶格子膨張はよく知られた現象であるが、バルク (焼結体) 寸法変化に関する既存知見はほとんどない。ここでは、主要な α 線源として 244 Cm を添加した窒化物燃料ペレットを焼結し、室温保管時の格子定数と寸法の経時変化の相関データを取得した。

2. 実験方法

 $Pu_{0.80}Cm_{0.20}O_2$ 粉末から炭素熱還元法により $Pu_{0.80}Cm_{0.20}N$ 窒化物固溶体を調製した。これにボールミル粉砕した ZrN 粉末を混合して成型体を窒素気流中 $1600^{\circ}C$ で 6 時間加熱し、 $Pu_{0.24}Cm_{0.06}Zr_{0.70}N$ 固溶体を得た。これを乳鉢中で微粉砕し、成型体を $1700^{\circ}C$ で 5.5 時間加熱することで、理論密度の 80%以上のディスク状及びペレット状の焼結体を得た。加熱後速やかにディスク状試料を粉末化して室温での X 線回折測定を開始するとともに、ペレット状試料の寸法(直径及び高さともに約 3.6~mm)を分解能 $1~\mu m$ のデジタルマイクロメータで測定した。格子定数と寸法の経時変化データを約 3000~時間に渡って取得した。なお、試料中の金属元素全体に対する実効崩壊定数 λ は、 $5.61\times10^{-11}~s^{-1}$ である。

3. 結果と考察

格子定数とペレット寸法の初期値に対する変化を図 1 に示す。格子膨張は、理論式 $\Delta a/a_0 = A[1-\exp(-B\lambda t)]$ によく則っており、膨張の飽和値を示す A 値として 4.93×10^3 を得た。ZrN を含まない CmN の室温での値が 4.31×10^3 [1]であるので、これよりも大きい。A 値の物理的解釈では、結晶格子内の金属原子密度に比例することが知られており、格子定数の小さい ZrN と固溶体化したことで金属原子密度が約 24% 増大したためと考えられる。一方、ペレット直径・高さともに格子膨張にほぼ同期して増大し、格子膨張より幾分大きな値に飽和した。

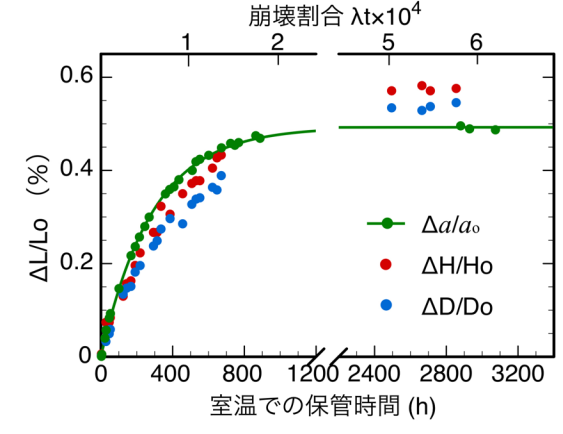


図1 室温での格子定数とペレット寸法経時変化

この類似性から、ペレット膨張の主要因は、フレンケル欠陥蓄積に伴う結晶格子膨張であると言える。今後 さらに測定を継続し、格子膨張が飽和した状態において He 原子蓄積の影響で寸法変化が起こるか否か確認 する予定である。

*本報告は、原子力機構が委託先として実施した平成29年度文部科学省原子力システム研究開発事業「安全性・経済性向上を目指したMA核変換用窒化物燃料サイクルに関する研究開発」の成果の一部です。

参考文献 [1] M. Takano, H. Hayashi, K. Minato, J. Nucl. Mater. 448 (2014) 66-71.

^{*}Masahide Takano and Seiya Takaki, Japan Atomic Energy Agency (JAEA)

安全性・経済性向上を目指した MA 核変換用 窒化物燃料サイクルに関する研究開発 (4) 燃料模擬物質の粉砕条件と焼結密度の相関

R&D on Nitride Fuel Cycle for MA Transmutation to Enhance Safety and Economy

(4) Correlation of Milling Condition and Sintered Density of Nitride Fuel Surrogate Material
* 髙木 聖也,原田 誠,高野 公秀
原子力機構

MA 核変換用窒化物燃料に関して、ポアフォーマ添加による焼結密度制御のための基礎的な知見を得るために、様々な粉砕条件のもと Dy_{0.3}Zr_{0.7}N 模擬窒化物燃料の焼結実験を行った。

キーワード:マイナーアクチノイド (MA),窒化物燃料,粉砕,焼結

1. 緒言

マイナーアクチノイド(MA)核変換用窒化物燃料では、燃焼時のスエリング緩和を目的とした低密度燃料の技術開発が必要である。適切なポリマー微粒子をポアフォーマとして添加し、窒化物ペレットの焼結を行うことで、緻密な組織を有しつつ、燃料中に気孔を形成させ低密度窒化物燃料を得る。本研究では、MAを希土類 Dyで模擬した $Dy_{0.3}Zr_{0.7}N$ 模擬窒化物燃料の粉末を様々な粉砕条件で粉砕し焼結することで、ポアフォーマによる密度制御技術開発のための基礎的な知見を得ることを目的とした。

2. 実験方法

3. 結果と考察

粉砕粉末の性状分析の結果、粉砕時間 10 分~150 分の間で焼結密度への影響が懸念される不純物酸素・炭素濃度の試料間での大きな差異は見られず、比表面積は粉砕時間に比例して増大した。図 1 に、理論密度に対する焼結体相対密度の粉砕粉末比表面積依存性を示す。WC 製のボール及び粉砕容器を用いた場合、Si₃N₄を用いた場合よりも到達する比表面積が大きくなることがわかった。一方、Si₃N₄を用いた場合、比表面積が小さいにも関わらず、より高密度で緻密な組織が得られることがわかった。この要因として、WC を用いた粉砕では粉末粒子内の歪みの程度が高く、これが結晶粒成長を阻害していることが X 線回折測定により示唆された。得られた試験データから、焼結温度 1973 K 及

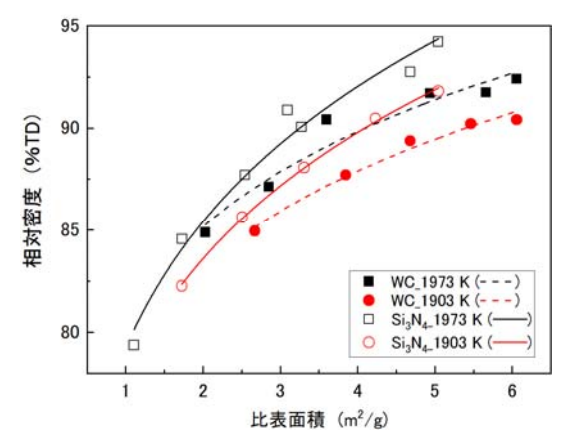


図 1 焼結体相対密度と粉砕粉末の 比表面積依存性

び 1903 K において相対密度 90 %TD を確保するために必要な粉砕条件を定め、H30 年度のポアフォーマ添加試験の際の基本条件とした。

*本報告は、原子力機構が委託先として実施した平成29年度文部科学省原子力システム研究開発事業「安全性・経済性向上を目指したMA核変換用窒化物燃料サイクルに関する研究開発」の成果の一部です。

^{*}Seiya Takaki, Makoto Harada and Masahide Takano, Japan Atomic Energy Agency

安全性・経済性向上を目指した MA 核変換用 窒化物燃料サイクルに関する研究開発 (5) 模擬燃料と被覆管材料の化学的両立性

R&D on Nitride Fuel Cycle for MA Transmutation to Enhance Safety and Economy

(5) Chemical Compatibility between Cladding and Fuel Surrogate Materials

*原田 誠, 髙木 聖也, 高野 公秀 原子力機構

核変換用窒化物燃料の被覆管候補材料と模擬窒化物燃料について、被覆管溶融温度での短時間の反応試験及び通常運転温度における長時間の反応試験を行った。どちらの試験でも模擬窒化物燃料成分と被覆管成分による反応層の形成は認められず化学的両立性は優れていることがわかった。

キーワード:マイナーアクチノイド、核変換、窒化物燃料、被覆管、化学的両立性

1. 緒言

核変換用窒化物燃料の被覆管材料として、耐照射性及び高温強度に優れる T91 フェライト鋼が候補となっている。しかし、窒化物燃料と T91 フェライト鋼の化学的両立性に関するデータは不足している。化学的両立性を評価することは、原子炉通常運転における燃料の健全性を担保するだけでなく、過酷事故における事象進展を理解する上でも重要となる。そこで本研究では模擬窒化物燃料と被覆管材料について、被覆管溶融温度での短時間の反応試験及び通常運転温度での長時間の反応試験を行った。

2. 実験方法

試料は、模擬窒化物燃料として ZrN と Dy_{0.3}Zr_{0.7}N の焼結体を、被覆管材料として T91 フェライト鋼と SUS316L オーステナイト鋼を用いた。被覆管溶融温度の短時間試験は、集光加熱で温度勾配を生じさせる方法と電気炉で等温加熱する方法で行った。溶融状態の保持時間はそれぞれ約5分、30分であった。通常運転温度での長時間試験は、模擬窒化物燃料と被覆管材料の接触を保った状態でガラス管に封入し、電気炉で 773K、923K および 1073K の3条件で加熱した。保持時間はそれぞれの温度で約60日、21日、4日とした。試験後に試料を樹脂に包埋し、切断、研磨を経て SEM/EDX により断面観察および元素分析を行った。

3. 結果と考察

被覆管溶融状態の試験では、どちらの加熱方法でも反応層は確認されなかったが、 模擬燃料から脱離した粒子が界面付近の 被覆管層で観察された。脱離した粒子は酸 化物あるいは酸化窒化物であり、被覆管材料に不純物として含まれていた酸素と反応して、選択的に脱離したものと考えられる。通常運転温度での長時間試験の結果の 一例を図1に示す。試料断面の観察から模

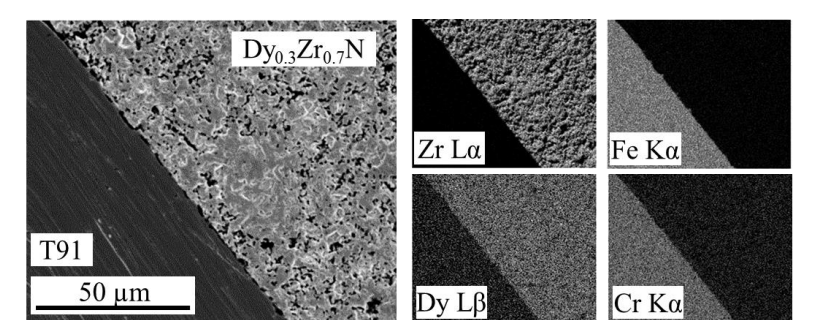


図1 試料断面と元素分析結果(773K、60日間保持)

擬燃料と被覆管材料の接触が保たれていたことが確認できた。元素分析の結果、すべての条件で反応層および相互拡散は確認できなった。どちらの試験においても反応層が確認できなかったことから被覆管材料と模擬燃料の化学的両立性は良好であることがわかった。以上の結果を踏まえて、平成 30 年度は模擬 FP 元素を加えた体系での通常運転温度での長時間試験を行う予定である。

*本報告は、原子力機構が委託先として実施した平成 28 年度および 29 年度文部科学省原子力システム研究開発事業「安全性・経済性向上を目指した MA 核変換用窒化物燃料サイクルに関する研究開発」の成果の一部です。

^{*}Makoto Harada, Seiya Takaki and Masahide Takano, Japan Atomic Energy Agency (JAEA)

安全性・経済性向上を目指した MA 核変換用 窒化物燃料サイクルに関する研究開発

(6) レーザー加熱による融点測定技術の適用性検討

R&D on Nitride Fuel Cycle for MA Transmutation to Enhance Safety and Economy

(6) Melting Point Measurement of Nitride: A Laser Heating Application

*有馬 立身 ¹, 髙木 聖也 ², 高野 公秀 ²

¹九州大学, ²原子力機構

窒化ジルコニウムを母材とした模擬窒化物燃料に対して、レーザー加熱を利用した非接触・高速測定法の 融点評価への適用性を検討するとともに、模擬窒化物の組成依存性を評価した。

キーワード:窒化物燃料,レーザー加熱,融点,放射率

1. 緒言

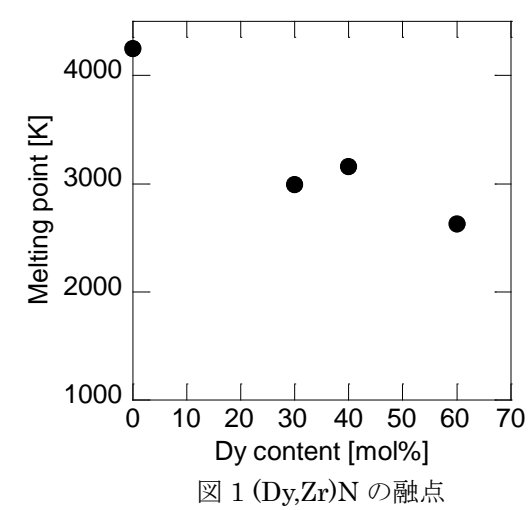
窒化物燃料の不活性母材となる ZrN は、高融点[1]、高熱伝導率[2]といった燃料には有利な性質を持つが、原子炉の安全性の観点からは、その溶融挙動の理解は必要不可欠である。これまでに、ZrN の溶融挙動は、調和的でない、液相と気相に分解する、雰囲気の窒素ガス圧の依存性を有する等複雑であり、このような不活性母材に、マイナーアクチノイド (MA) が高濃度に添加されるとその溶融挙動は一層複雑になると予想される。本研究では、模擬窒化物燃料試料に対する液相生成温度の評価を目的とし、H29 年度までに測定法の確立および組成依存性を調査するために、レーザー加熱法を用いた溶融試験を実施した。

2. 実験方法

測定対象は、原子力機構から供与された窒化物試料、(Dy,Zr)N および(Er,Zr)N であった。ここで Dy および Er は MA の模擬物質である。これらを、窒素ガス高圧セル中に置き、レーザー加熱法を用いて溶融挙動を測定した。試料の加熱・溶融には半導体レーザー(940 nm)およびロングパルス YAG レーザー(1068 nm)、温度変化のモニターには高速放射温度計、放射率評価には、室温にて積分球、溶融時にて可視分光計を使用した。更に溶融試験後、一部の試料に対しては SEM-EDS による観察・組成分析を行った。

3. 結果と考察

窒化物試料は熱衝撃に対して脆く、溶融挙動は現状では溶融箇所の温度変化のみでしか推察することができず、液相から固相へ変化する相転移温度(=熱停留点)を特定できていない。そのため、熱停留点での輻射スペクトルの取得も困難であった。そこで、窒化物が溶融時に熱分解すること、MA模擬元素が蒸発しやすいことを考慮し、温度上昇時の固相から液相への熱停留点を融点と見なした。便宜的に室温での放射率を用いて、その点での融点を求めた結果を図1に示す。DyN含有率の増加に伴い、液相生成温度が低下する傾向を確認した。今後、相転移温度の明確化、輻射スペクトルからの放射率評価、液相生成温度の組成・窒素分圧依存性評価を実施していく予定である。



*本報告は、原子力機構が受託し、九州大学が再委託先として実施した平成29年度文部科学省原子力システム研究開発事業「安全性・経済性向上を目指したMA核変換用窒化物燃料サイクルに関する研究開発」の成果の一部です。

参考文献 [1] T.B. Massalski, Binary alloy phase diagrams, 2nd ed., ASM International, (1996). [2] T. Nishi, M. Takano, et al., J. Nucl. Sci. Technol. 48 (2011) 359-365.

^{*}Tatsumi Arima¹, Seiya Takaki², Masahide Takano², ¹Kyushu Univ., ²Japan Atomic Energy Agency

1D17 2018年秋の大会

安全性・経済性向上を目指した MA 核変換用 窒化物燃料サイクルに関する研究開発

(7)(Dy,Zr)N ペレットを装荷した燃料ピン模擬体の剪断試験

R&D on Nitride Fuel Cycle for MA Transmutation to Enhance Safety and Economy

(7) Shearing experiments of simulated fuel pins containing (Dy,Zr)N pellets

*佐藤 匠、林 博和

原子力機構

模擬燃料ペレットとして(Dy,Zr)N 焼結体を用いた燃料ピン模擬体の剪断・ペレット破砕試験を、剪断幅を変化させて行い、得られた物質の重量・粒度分布を測定した。

キーワード:マイナーアクチノイド、窒化物燃料、乾式再処理、燃料ピン剪断、加速器駆動システム

1. 緒言

MA 核変換用燃料ピンとして、T91 フェライト鋼(改良 9Cr-1Mo 鋼)被覆管中に窒化物燃料ペレットを装荷してボンド材として He ガスを充填したものが候補となっている。使用済窒化物燃料の乾式再処理のための前処理工程では、不活性ガス雰囲気において燃料ピンの剪断を行うことが提案されている。本研究では、前処理条件と得られる物質性状の相関を明らかにすることを目標として、燃料ピン模擬体を用いたピン剪断・ペレット粉砕試験を行い、得られた物質の重量・粒度分布を測定した。

2. 実験方法

燃料ピン模擬体として、SUS304 オーステナイト鋼模擬被覆管(外径 7.0 mm×内径 6.0 mm×150 mm)に (Dy,Zr)Nペレット(直径約 5.6 mm×高さ約 8.0~8.1 mm、84~85 %TD、10 個)及びステンレス製スペーサーを装荷したものを用いた。試験には、Ar ガス雰囲気グローブボックス内に設置されている金属燃料ピン模擬体用に開発された剪断装置を用いた。燃料ピン模擬体を剪断幅 10,5,2.5 mm の条件で剪断し、回収物をステンレス製篩及び篩振とう器を用いて分級した。分級後の模擬燃料ピン破砕片から模擬被覆管及び (Dy,Zr)N の剪断片をピンセット及びラジオペンチ等で分離後に重量測定を行って粒度分布を評価した。

3. 結果と考察

剪断幅 5 mm 及び 10mm では、燃料ピン模擬体はほぼ元の形状を保ったまま剪断され、(Dy,Zr)N は大部分が円柱状で残った状態で回収された。これらの条件では、模擬被覆管の変形を小さく抑えながら剪断可能であること、模擬燃料ペレットの大まかな形状が保たれ、模擬被覆管との分離が容易であることが明らかになった。一方、剪断幅 2.5 mmでは被覆管片全体が潰れ、中に(Dy,Zr)N 片が残っていないものが多かった。

表 1 に (Dy,Zr)N 破断片の粒度分布及び回収率を示す。粒径 0.1mm~1mm 及び粒径 0.1mm 以下の物質は、剪断幅 10mm ではそれぞれ 5.6%及び 0.4%, 剪断幅 5mm では 6.4%及び 0.8%, 剪断幅 2.5mm では 47%及び 4.2%となり、剪断幅を小さくするほど粒径の小さい破砕片の割合が増えることが明らかになった。

表1 (Dy,Zr)N 破断片の粒度分布及び回収率

	(Dy,Zr)N 破断片の割合(%)					
粒径(mm)	剪断幅	剪断幅	剪断幅			
	10mm	5mm	2.5mm			
>4.0	88.8	80.2	17.8			
$2.0 \sim 4.0$	1.5	2.1	10.6			
$1.0 \sim 2.0$	1.6	3.2	17.2			
$0.50 \sim 1.0$	2.3	2.5	20.6			
$0.30 \sim 0.50$	1.5	1.6	11.2			
0.15~0.30	1.3	1.7	11.1			
0.10~0.15	0.4	0.7	4.1			
0.045~0.10	0.3	0.5	3.0			
< 0.045	0.1	0.3	1.2			
回収物合計	97.8	92.8	96.7			

*本報告は、原子力機構が委託先として実施した平成29年度文部科学省原子力システム研究開発事業「安全性・経済性向上を目指したMA核変換用窒化物燃料サイクルに関する研究開発」の成果の一部です。

^{*}Takumi Sato and Hirokazu Hayashi, Japan Atomic Energy Agency

安全性・経済性向上を目指した MA 核変換用 窒化物燃料サイクルに関する研究開発 (8) 液体 Cd 中への Zr 及び Ce の還元抽出挙動

R&D on Nitride Fuel Cycle for MA Transmutation to Enhance Safety and Economy

(8) Reductive extraction of Zr and Ce in liquid Cd

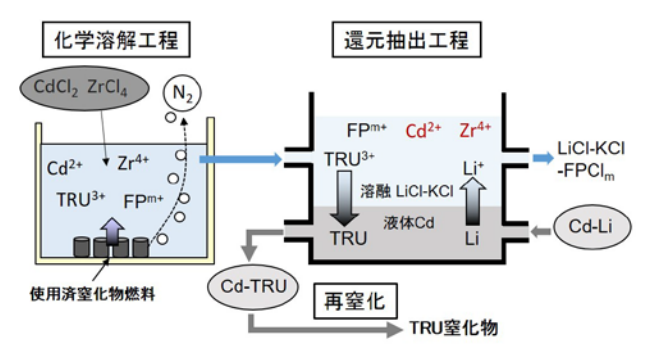
*村上 毅 ¹, 飯塚 政利 ¹, 林 博和 ² ¹ 電力中央研究所, ²原子力機構

溶融 LiCl-KCl-ZrCl₄-CeCl₃ (723 K)中において、液体 Cd 中への Zr および Ce の還元析出試験を行った。得られた合金サンプルおよび溶融塩浴サンプルの組成分析結果を基に、これまでにほとんど知見のない Zr の分離係数(Ce 基準)を求めた。

キーワード:還元抽出,溶融塩,カドミウム,ジルコニウム

1. 緒言

化学溶解法[1]による使用済窒化物燃料の再処理(図)では、還元抽出工程の溶融塩浴中に Cd^{2+} や Zr^{4+} が多く含まれる。そのため還元抽出工程において、アクチニドや希土類と共にCdやZrも液体金属中に回収されると考えられる。しかしながら Cd^{2+} や Zr^{4+} を多く含んだ系における還元抽出挙動に関する報告はほとんどないため、その基礎的な挙動から明らかにすることが



め、その基礎的な挙動から明らかにすることが 図 化学溶解法[1]による窒化物燃料の再処理法の概念図 求められる。本研究では、まず Zr と希土類 FP の一つである Ce の還元抽出試験を行い、これまでにほとん ど知見のない Zr の分離係数を求めることを目的とした。

2. 実験

試験は Ar 雰囲気のグローブボックス内で行った。ZrCl₄ 及び CeCl₃ を添加した共晶組成の LiCl-KCl 塩 (LiCl: KCl = 58.8: 41.2 mol%)をアルミナ坩堝(内径 54 mm)中で溶融した(浴温 723 K)。小アルミナ坩堝(内径 12 mm)に Cd-Li 合金を装荷し、これを溶融塩中に浸漬して液体 Cd 中への Zr 及び Ce の還元抽出試験を実施した。試験は ZrCl₄ 濃度(0.042~0.077 at%)、CeCl₃ 濃度(0.166~0.975 at%)や Cd 中 Li 濃度(0.275~0.834 at%)を変えて、8RUN 行った。液体 Cd 表面電位(Ag/AgCl 参照極基準)を測定し、還元抽出反応の進行をモニタした。試験後に採取した溶融塩浴及び Cd 合金中の Zr 及び Ce 濃度を ICP-OES 又は ICP-MS により測定した。

3. 結果

*本報告は、原子力機構が受託し、電力中央研究所が再委託先として実施した平成29年度文部科学省原子力システム研究開発事業「安全性・経済性向上を目指したMA核変換用窒化物燃料サイクルに関する研究開発」の成果の一部です。

参考文献 [1] T. Satoh, K. Nishihara and M. Takano, "Reprocessing of spent nitride fuel by chemical dissolution in molten salt —results on plutonium nitride containing inert matrix materials—," Proc. 12th OECD/NEA IEMPT, 199-207 (2013).

^{*}Tsuyoshi Murakami¹, Masatoshi Iizuka¹ and Hirokazu Hayashi²

¹Central Research Institute of Electric Power Industry, ²Japan Atomic Energy Agency

Oral presentation | V. Nuclear Fuel Cycle and Nuclear Materials | 505-2 Waste Disposal and Its Environmental Aspects

[1E01-02] Storage Container

Chair:Tomofumi Sakuragi(RWMC)

Wed. Sep 5, 2018 10:15 AM - 10:50 AM Room E (A34 - A Building)

- [1E01] Evaluation of physical properties of SFPIC (Steel Fiber reinforced Polymer-Impregnated Concrete) for Storage Container of Radioactive Wastes
 - *Kenichi HONMA¹, Yasuyuki Ishida¹, Hiroyuki Sakamoto², Kazutoshi SHIBUYA², Hisayuki KOMORI ², Yuusuke SATOH³, Ken Tsuruta⁴, Kenji OKAMOTO⁴ (1. TAIHEIYO CEMENT Central Research Laboratory, 2. TAIHEIYO CONSULTANT, 3. Tokyo Power Technology Ltd., 4. Materras Aume) 10:15 AM 10:30 AM
- [1E02] Evaluation of physical properties of SFPIC (Steel Fiber reinforced Polymer-Impregnated Concrete) for Storage Container of Radioactive Wastes
 - *Hiroyuki Sakamoto¹, Hisayuki Komori¹, Kazutoshi Shibuya¹, Kenichi Honma², Yasuyuki Ishida², Yusuke Sato³, Ken Tsuruta⁴, Kenji Okamoto⁴ (1. Taiheiyo Consultani Co., Ltd., 2. Taiheiyo Cement Corporation, 3. Tokyo Power Technology Ltd., 4. Materras Oume Concrete Industry) 10:30 AM 10:45 AM

放射性廃棄物保管用 SFPIC(鋼繊維補強ポリマー含浸コンクリート)の物性評価 (1) 力学特性および耐久性に関する評価

Evaluation of physical properties of SFPIC (Steel Fiber reinforced Polymer-Impregnated Concrete)

for Storage Container of Radioactive Wastes

(1) Evaluation on Mechanical Properties and Durability

*本間 健一¹, 石田 泰之¹, 坂本 浩幸², 小森 久幸², 渋谷 和俊², 佐藤 祐輔³, 鶴田 健⁴, 岡本 賢治⁴

1太平洋セメント,2太平洋コンサルタント,3東京パワーテクノロジー,4マテラス青梅工業

水分を多く含むスラッジ状の放射性廃棄物や塩分を含む放射性廃棄物の保管容器材料として期待される、SFPIC(鋼繊維補強ポリマー含浸コンクリート)について力学特性および中性化等の耐久性の評価を行った。

キーワード: SFPIC 放射性廃棄物保管容器 力学特性 耐久性 耐中性化 耐凍害性

1. 緒言

放射性物質に汚染された廃棄物(以下、放射性廃棄物)の運搬・保管を目的として、鋼製容器、普通コンクリート製容器、有機材料製容器等が開発されてきたが、鋼製容器は錆等によって生じる開口からの内容物の漏洩、普通コンクリート製容器は水分や塩分の浸透による漏洩、有機材料製容器は紫外線や放射線による劣化などが懸念される。今後、原子力発電所の廃炉に伴い、水分を多く含むスラッジ状廃棄物や塩分を含む廃棄物など、既存の保管容器では適用困難な廃棄物の発生が予想される。鋼繊維補強ポリマー含浸コンクリート(SFPIC)はコンクリートのじん性を向上させるために鋼繊維で補強し、さらに物質移行による劣化の原因となる細孔にポリマーを含浸した複合材料であり、放射性廃棄物の保管容器材料として期待される¹⁾。本研究では SFPIC の放射性廃棄物保管容器材料としての各種物性評価を実施した。本報告では第1報として力学特性および耐久性に関する評価結果を報告する。

2. 試験方法

鋼繊維補強コンクリートを乾燥・脱気後、ポリマーを含浸する方法により SFPIC 試験体を作製し、また、 比較用として普通コンクリートを作製し、各種物性評価を行った。

3. 評価結果

表 1 に評価項目、試験方法及び評価結果を、図 1 に促進中性化後の中性化深さを示す。SFPIC の圧縮強度は普通コンクリートの約 3.6 倍となった。また SFPIC は塩害環境下・凍害環境下においても内部鉄筋の腐食や表面の劣化は認められなかった。さらに中性化がほとんど進行しないこと、水分が浸透しにくいこと、寸法安定性に優れることも確認された。

表 1 評価項目、試験方法及び評価結果

評価項目	試験方法	評価結果		
		SFPIC	普通コンクリート	
強度	圧縮強度	173.0kN/mm ²	48.3kN/mm ²	
		1/3.UKIN/IIIIII	(材齢 91 日)	
耐塩害性	塩水散水-熱風乾燥繰返	鉄筋腐食は認められない	全面にわたり鉄筋腐食	
	し後の内部鉄筋の状態	(30 サイクル)	(30 サイクル)	
耐凍害性	急速凍結融解繰返し後の	約98%。表面健全	約70%。表面劣化	
	相対動弾性係数、外観	(1550 サイクル)	(1550 サイクル)	
耐中性化	促進中性化後の中性化深	ほぼゼロ	平均 2.7cm	
	さ	(90 日後)	(90 日後)	
透水性	5kgf/cm²の水圧を加圧後	0.01cm	1.2cm	
	の水の浸透深さ	(8週間加圧)	(1週間加圧)	
寸法	乾燥後の長さ変化	+100 μ 程度	-1000 μ 程度	
安定性		(6ヵ月後)	(6ヵ月程度)	

(a)SFPIC



(b)普通コンクリート



中性化深さ

図 1 **SFPIC** 及び普通コンク リートの中性化深さ

参考文献

[1] 荒木邦夫、満木泰郎、進士義正、石崎寛治郎、峰岸敬一、須藤儀一: 低・中レベル放射性廃棄物の処理・処分用 PIC容器、日本原子力研究所、JAERI-M 9389(1981).

*Kenichi Honma¹, Yasuyuki Ishida¹, Hiroyuki Sakamoto², Hisayuki Komori², Kazutoshi Shibuya², Yuusuke Sato³, Ken Tsuruta⁴, and Kenji Okamoto⁴

¹Taiheiyo Cement, ²Taiheiyo Consultant, ³ Tokyo Power Technology, ⁴Materras Oume Concrete Industry

放射性廃棄物保管用 SFPIC(鋼繊維補強ポリマー含浸コンクリート)の物性評価 (2) Cs、Sr、Cl の浸透挙動に関する評価

Evaluation of physical properties of SFPIC (Steel Fiber reinforced Polymer-Impregnated Concrete)

for Storage Container of Radioactive Wastes

(2) Evaluation on permeation behavior of Cs, Sr and Cl

*坂本 浩幸¹, 小森 久幸¹, 渋谷 和俊¹, 本間 健一², 石田 泰之² 佐藤 祐輔³, 鶴田 健⁴, 岡本 賢治⁴

1太平洋コンサルタント,2太平洋セメント,3東京パワーテクノロジー,4マテラス青梅工業

水分を多く含むスラッジ状廃棄物や塩分を含む廃棄物の保管容器の材料として期待される鋼繊維補強ポリマー含浸コンクリート(SFPIC)の Cs, Sr および Cl の浸透挙動を評価した。また、耐放射線性の確認を目的として、 γ 線、電子線を照射した SFPIC の圧縮強度および塩素イオンの浸透挙動を評価した。

キーワード: SFPIC 放射性廃棄物保管容器 物質移行特性 耐放射線性 γ線 電子線

1. 緒言

廃炉に伴い発生が予想される、水分を多く含むスラッジ状廃棄物や塩分を含む廃棄物保管容器の材料として期待される SFPIC¹⁾ について、Cs、Sr および Cl の浸透挙動を評価した。また、耐放射線性の評価として、 γ 線、電子線を照射した SFPIC の強度および Cl の浸透挙動を評価した。何れの元素も浸透深さは数 mm 程度で浸透深さの進展は小さく、最も深くまで浸透した Cl の見かけの拡散係数は $1.6\sim2.9\times10^{-10} cm^2/sec$ であり、普通コンクリートに比べて 2 桁以上小さな値となった。また、 γ 線を照射した試験体では、圧縮強度は積算線量の増加に比例してわずかに低下する傾向を示したが、SFPIC の浸透抑制効果は、 γ 線、電子線ともに非照射と同程度であった。

2. 試験方法

Cs、Sr および Cl の浸透挙動は、土木学会基準 JSCE-G572 「浸せきによるコンクリート中の塩化物イオン の見掛けの拡散係数試験方法(案)」を参考に(試験体形状と n 数のみ異なる)して実施した。耐放射線性 の評価は、 60 Co による γ 線を 500kGy および 1,000kGy、 β 線を模擬した 2MeV の電子線を 500kGy、1,000kGy および 2,000kGy 照射した後に圧縮強度と Cl の浸透挙動を評価した。

3. 評価結果

3-1. 浸透挙動の評価結果

健全試料の見掛けの拡散係数測定結果を表 1 に示す。見掛けの拡散係数は Cl>Cs>Sr の順となり、SFPIC の Cl の見掛けの拡散係数は普通コンクリートの 2 桁〜3 桁小さな値となった。浸漬試験期間の経過に伴う元素の進展は僅かであった。浸漬試験期間 30 ヶ月における Cs の見掛けの拡散係数から厚さ 60mm の SFPIC を透過する期間は 400 年間であり、137Cs や90Sr については 60mm の厚さで大幅な減衰が期待できる。

3-2. 耐放射線性の評価結果

ッ線を照射した SFPIC の CI の見掛けの拡散係数を表 2 に示す。1,000kGy のッ線を照射した SFPIC の圧縮強度は、線量の増加に伴い低下し、健全試料の 173.0N/mm² から 149.4N/mm² と 14%程度低下したが、一般に超高強度コンクリートに分類される高い圧縮強度を保持していることが確認された。2,000kGy の電子線を照射した SFPIC の強度低下は 3% とわずかであった。

1,000kGy の γ 線を照射した SFPIC の CI の見掛けの拡散係数は、健全試料に比べてやや大きくなったが桁が変わることは無く、2,000kGy の電子線照射では見掛けの拡散係数に変化は生じなかった。

	表1 健全試料の見掛けの拡散係数測定結果 (cm²/sec)								
	元素	Cs			Sr		CI		
I	浸漬試験期間(月)	6	12	30	6	12	6	12	30
I	SFPIC	1.6×10^{-10}	9.5×10^{-11}	9.5×10^{-11}	3.2×10^{-11}	3.2×10^{-11}	2.9×10^{-10}	2.9×10^{-10}	1.6×10^{-10}
I	普通コンクリート	71 × 10-8	9 N × 10 ⁻⁸	20 × 10-8	1.0×10^{-10}	9.0×10^{-10}	11 × 10-7	9 7 × 10 ⁻⁸	65 × 10 ⁻⁸

表2 γ 線を照射したSFPICのCIの見掛けの拡散係数 (cm^2/sec)										
放射線の種類 γ線 電子線										
積算線量(kGy)	50	00	10	00	500 1000			20	00	
浸漬試験期間(月)	6	12	6	12	6	12	6	12	6	12
拡散係数	2.9×10^{-10}	5.1×10^{-10}	3.8×10^{-10}	3.8×10^{-10}	1.9×10^{-10}	1.9×10^{-10}	1.3×10^{-10}	9.5×10^{-11}	1.3×10^{-10}	1.3×10^{-10}

参考文献

[1] 荒木邦夫、満木泰郎、進士義正、石崎寛治郎、峰岸敬一、須藤儀一: 低・中レベル放射性廃棄物の処理・処分用 PIC 容器、日本原子力研究所、JAERI-M 9389(1981).

^{*}Hiroyuki Sakamoto¹, Hisayuki Komori¹, Kazutoshi Shibuya¹, Kenichi Honma², Yasuyuki Ishida², Yusuke Sato³, Ken Tsuruta⁴, Kenii Okamoto⁴

¹Taiheiyo Consultant, ²Taiheiyo Cement, ³Tokyo Power Technology, ⁴ Materras Oume Concrete Industry

Oral presentation | V. Nuclear Fuel Cycle and Nuclear Materials | 505-2 Waste Disposal and Its Environmental Aspects

[1E03-04] Waste Related to Contaminated Water

Chair: Takahiro Kikuchi (JGC)

Wed. Sep 5, 2018 10:50 AM - 11:25 AM Room E (A34 - A Building)

[1E03] Ion-exchange modeling of cecium ions in metakaolin based geopolymer *Yuka Morinaga¹, Satoshi Yoshida¹, Elakneswaran Yogarajah², Toyoharu Nawa³ (1. Graduate school of Engineering Hokkaido university, 2. Hokkaido university, Faculty of Engineering, 3. Hokkaido university)

10:50 AM - 11:05 AM

[1EO4] Application of geopolymer for solidification of cesium adsorbed zeolite *Kiyofumi Kurumisawa¹, Kenta Sasaki¹ (1. Hokkaido University) 11:05 AM - 11:20 AM

メタカオリンを原料としたジオポリマーにおける Cs イオン吸着量予測

Prediction of Cesium incorporation in Metakaolin-based geopolymer

*森永 祐加¹, 吉田 慧史², エラクネス ヨガラジャ²名和 豊春³, ¹北海道大学大学院, ²北海道大学 工学研究院, ³北海道大学

本研究では、メタカオリンを用いたジオポリマーにおける Cs イオンの吸着予測を行った。イオン交換モデルを用いることで Cs 吸着量は概ね予測が可能であった。

キーワード: セシウムイオン, イオン交換, K-geopolymer, Na-geopolymer, 地球化学モデリング

1. はじめに

福島第一原子力発電所で発生した汚染水に含まれる Cs イオンの吸着には現在ゼオライトが用いられているが、二次廃棄物として発生する廃ゼオライトの処分方法を検討する必要がある ¹⁾。近年固化材の新材料としてジオポリマーが注目されており、ジオポリマーで固化するためには Cs イオンの吸着モデルを構築する必要がある。よって、本研究ではメタカオリンを用いたジオポリマーに着目し、Cs イオンの吸着実験及び熱力学的モデルを用いて吸着量の予測を行った。

2. 実験概要及びモデル概要

ジオポリマーの作製には水ガラス及びメタカオリンを用いた。水ガラスには $M_2O:SiO_2:H_2O=1:1:11(M: Na$ あるいは K)になるように調整し、メタカオリンは水ガラスの M_2O とメタカオリンの Al_2O_3 の比が 1 となるよう配合した。モルタルミキサーで 15 分間練り混ぜた後 3 日間 40° Cに設定した恒温槽中で試料を作製した。 $150\,\mu$ m に粉砕した後、 $CsNO_3$ の濃度が 0.1mM から 7mM の 5 水準の溶液中でジオポリマーの浸漬実験を行った。また、Cs イオンの吸着量はイオン交換モデルを用い、アルカリイオンの溶出量で平衡定数を決めた後 Cs イオンの吸着量の予測を行った。モデルに用いた式を以下に示す。

$$X - A + Cs^{+} \leftrightarrow X - Cs + A^{+}$$

$$K_{Cs} = [X - Cs][A^{+}]/[X - A][Cs^{+}]$$

3. 実験結果及びモデル結果

Cs イオンの吸着量の予測結果を図 1 に示す。4mM 以上において Na-geopolymer では多少乖離がみられたものの、イオン交換モデルを用いた結果 Cs イオンの吸着量を予測できた。また、K-geopolymer と Na-geopolymer では実測値、予測値とともにCs イオンの吸着量には大差がないことが明らかとなった。

参考文献

1) 目黒義弘、佐藤淳也:ジオポリマー放射性廃棄物への 適用概要、デコミッショニング技法、No. 54、pp.48-55 (2016)

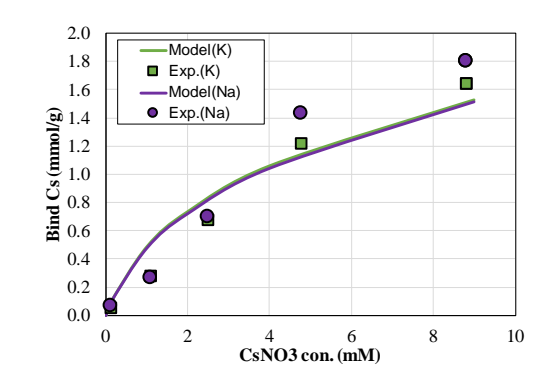


図 1:Cs イオンの吸着量における実測値と 予測値の比較

^{*1}Yuka Morianga¹, Satoshi Yoshida¹, Elakneswaran Yogarajah² and Toyoharu Nawa³

¹Graduate school of Engineering Hokkaido Univ., ²Faculty of Engineering Hokkaido Univ., ³Hokkaido Univ.

1E04 2018年秋の大会

セシウム吸着ゼオライトの固化のためのジオポリマー硬化体の基礎的検討

Application of geopolymer for solidification of cesium adsorbed zeolite

*胡桃澤 清文¹, 佐々木 健太¹ ¹北海道大学大学院

福島第一原子力発電所では、放射性汚染水の処理の際に発生する廃棄物としてセシウム吸着ゼオライトの 処分方法の確立が急務となっている。本研究では、ジオポリマーによるゼオライトの固化技術の検討に向 け、ゼオライトを混和したジオポリマー硬化体の基礎的物性を検討した。

キーワード: セシウム, ジオポリマー硬化体, 微細構造

1. 緒言

福島第一原子力発電所では、放射性汚染水の処理の際に発生する廃棄物としてセシウム吸着ゼオライトの処分方法の確立が急務となっている。そこでセシウムを吸着したゼオライトの適切な処分方法の確立のためにジオポリマー硬化体の適用を本研究において検討を行った。特に硬化体の微細構造の測定を行い、その適用可能性について検討を行った。

2. 実験概要

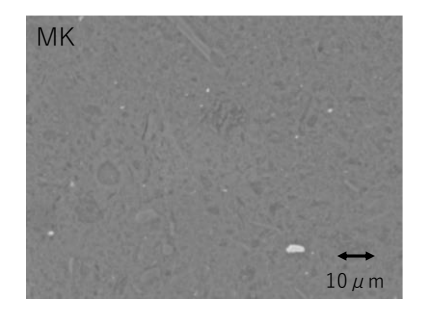
ジオポリマー硬化体作製のためにメタカオリン及び高炉スラグ微粉末、アルカリ刺激剤としてケイ酸カリウム溶液および水酸化カリウムを用いた。試験体の大きさは溶出試験を行うためφ11の円柱試料を作製した。試料は封緘にて1日養生後、40℃で1日養生しさらに26日間20℃にて封緘養生を行った。養生後の試料断面を研磨して反射電子像によって観察を行った。

3. 実験結果と考察

図 1 に反射電子像の測定結果を示す、未反応のメタカオリンは ほとんど観察されず、均質な微細構造であることがわかった。ま た、高炉スラグ微粉末を混和した試料では未反応の高炉スラグが 残存していた。また、EDX によって元素分析を行った結果を表 1 に示す。スラグ周りとマトリックスでは若干その組成が異なるこ とが示された。

4. 結論

ジオポリマー硬化体の微細構造はメタカオリンを用いたものでは均質なものであり、20%高炉スラグ微粉末を置換したものでは未反応スラグが一部残存している結果であることを明らかにした。



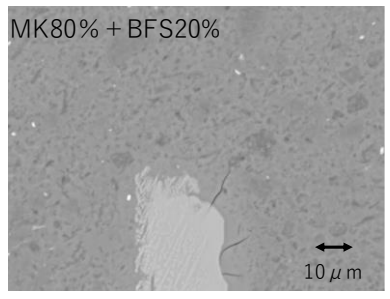


図1 反射電子像測定結果

表 1 元素組成測定結果

	MK	Mk+BFS20	MK+BFS20(
	IVIIX	WKTBF320	around BFS)
Na2O	0.65	0.70	1.05
MgO	0.65	2.04	2.09
Al2O3	18.53	17.46	11.55
SiO2	62.72	58.44	61.50
K20	17.45	14.32	14.50
CaO	ı	7.05	9.31
SiO2/Al2O3	3.38	3.35	5.32
K2O/Al2O3	0.94	0.82	1.25
CaO/Al2O3	-	0.40	0.81
(CaO+K2O)/		1.00	0.00
Al2O3	_	1.22	2.06

^{*}Kiyofumi Kurumisawa¹, Kenta Sasaki¹

¹ Hokkaido Univ..

Oral presentation | V. Nuclear Fuel Cycle and Nuclear Materials | 505-2 Waste Disposal and Its Environmental Aspects

[1E05-06] Disposal Concept

Chair: Taiji Chida (Tohoku Univ.)

Wed. Sep 5, 2018 11:25 AM - 12:00 PM Room E (A34 - A Building)

[1E05] Conception that ultra-large concrete tank installed in the deep sea is the final disposal site

*Shigemi Morishige¹, Haruo Morishige¹, Yosuke Yamashiki^{1,2}, Harumi Morishige¹ (1. Fukushima Nuclear Accident Countermeasures Review Group, 2. Kyoto Univ.)

11:25 AM - 11:40 AM

[1E06] Necessity of Safety Assessment for variety of L3 disposal concept

*Taichi Saito¹, Hajime Takao¹ (1. JGC Corporation)

11:40 AM - 11:55 AM

深海に設置した超大型のコンクリート製タンクを最終処分地とする構想

*森重茂美¹,森重晴雄¹,山敷庸亮¹²,森重はるみ¹ 「福島事故対策検討会,²京都大学

近年、欧州で北海の海底下までトンネルを掘り、その海底下を最終処分地とする構想がある。 このトンネルは自然岩盤をくり抜き、厚さ 1m程度のコンクリート壁を覆っているが、地盤のズレに よる破水の危機が常にある。国内においても海岸地の近くの沿岸にトンネルを掘り最終処分地とする 構想がある。これに対して深海で壁厚 20m から 40mの壁厚を持つコンクリート製容器を設置し 保管する構想を提案するものである。

キーワード:最終処分地、深海、コンクリート製タンク

1. 緒言

20 年前に著者の一人は三菱重工在籍時に深海での最終処分地を視野に深海電力貯蔵プラントの研究を行った。壁厚さ 20m、直径 100m、長さ 300m、100 万 t 規模である。この時北海油田のコンクリートリグに開発経験をもつフランスドリス社と共同研究を行った。鋼製の型枠から製作する案であったが、地組に問題があり断念した。今回は炭素繊維シートの二重シートを海底で膨らまし、そのシート間にコンクリートを注入すれば、現実に施工可能な工法とした。

2. 現在の最終処分地構想

各国の最終処分地については事実上、定まっていない。ヨーロッパは岩塩の洞窟内との案もあったが現実に至っていない。最近では北海の島からトンネルを海底に掘削しその空間を処分地とする構想もある。日本国内は廃炉計画を受け、国内で人里離れた山間を最終処分地とする構想がある。どの構想もトンネルを掘削しその空間を処分地としているが、トンネル内は狭く、壁厚が1mと薄く、常に地下水が流入している。最終的には水没させる案もあるが生活圏に放射性物質が散在する可能性がある。多少でも生活圏の範囲内にあり、設置に合意ができていない。安全が確認されても人が近づけるかぎり定まらない状況である。

3. 深海での処分地構想

当方の深海での保管として位置づけしている。当方の海洋タンクは常に深海の外圧を全断面に圧縮を受けており、コンクリートが有効に使われるメリットがある。地権が及ぶ範囲でなく、安全が確認されば設置は可能である。図-1に初期の製作イメージを示す。

4. 現在の海洋タンク設置構想

湾内で二重の炭素繊維シートを水圧で広げ、この二重シートの間にコンクリートを打設養生し、内側の水を抜けばタンクが海上に浮上する案で構造は地組が不要となりシンプルになった。(図 2)

廃棄される核燃料は長期に渡り膨大な熱エネルギーを放出している。このエネルギーを活用し、自発的に深海でメンテナンスを行うことも検討課題の一つである。

5. 今後の課題

実際に施工を行い、安全性を確認する実証試験が必要である。現 状原子力の海洋投棄禁止条約を日本は批准しており。海洋保全に対 して国際的な承認も必要となる。

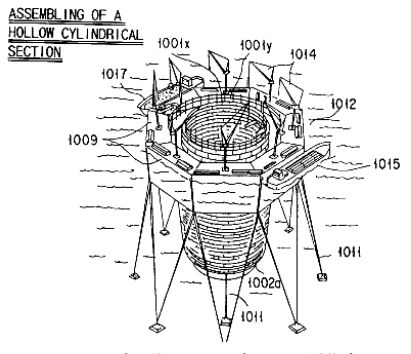


図-1 初期の深海設置構想

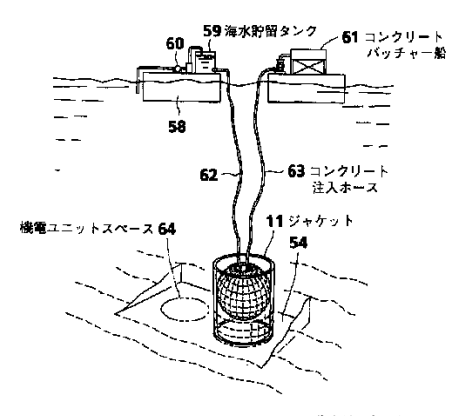


図2繊維シートを用いた製作方法

参考文献

- [1] 三菱重工技報 > 第 34 巻 第 5 号 船舶・海洋特集 「深海電力貯蔵システムの提案」森重晴雄、小室隆信、1997 年 9 月 http://www.mhi.co.jp/technology/review/pdf/345/345354.pdf
- [2]土木学会年次学術講演会講演概要集 第2部「深海電力貯蔵プラント」森重晴雄 1993年 09月
- [3]エネルギー・資源学会研究発表会講演論文集「深海電力貯蔵プラント」三菱重工業森重晴雄,牛島憲文, 田川雅士,山口信行 1994 年 04 月

^{*}Shigemi Morishige¹, Haruo Morishige² Yosuke Yamashiki^{1,2} and, Harumi Morishige²

¹. Fukushima Nuclear Accident Countermeasures Review Group, ²Kyoto Univ.

1E06 2018年秋の大会

多様な L3 処分概念に対する評価方法の必要性について

Necessity of Safety Assessment for variety of L3 disposal concept

高尾 肇¹, *斉藤 太一¹ 「日揮(株)

低レベル放射性廃棄物について、我が国では放射能濃度の規模ごとに処分概念が定義されており、その中において L3 廃棄物は、「トレンチ処分(地上又は地表から深さ五十メートル未満の地下に埋設)」することとなっている。これに対して多様な処分概念を導入することにより、幅広い立地条件への適用が可能である。本検討では多様な処分概念における核種移行評価について検討する。

キーワード: 低レベル放射性廃棄物, L3 トレンチ処分, 多様な処分概念, 核種移行評価, 付加機能

1. 緒言

従来の L3 廃棄物処分における評価は、「トレンチ処分(地上又は地表から深さ五十メートル未満の地下

に埋設)」を想定した被ばく経路にて核種移行評価を実施している。しかしながら、立地条件によっては従来の処分概念において想定される被ばく経路では不足する場合が考えられる。ここでは様々な立地条件に対して、多様な処分概念を導入した場合に想定される被ばく経路について違い等を検討した。

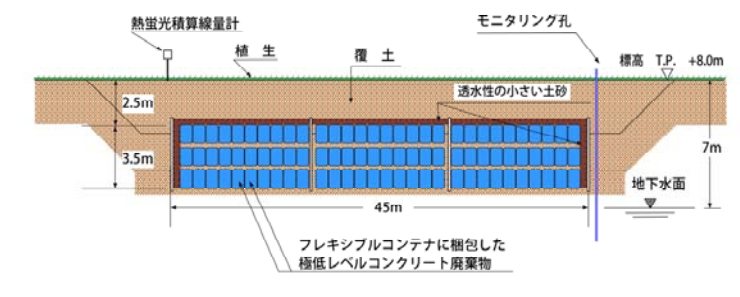


図1 従来のトレンチ処分概念例[1]

2.処分概念における被ばく経路

従来のL3 廃棄物処分の概念で想定している被ばく経路については、埋設地に降った雨水等が廃棄物に接触して廃棄物中の放射性物質が溶出し、その廃棄物を透過した水が、埋設地の下を流れる地下水とともに河川や海などへ流出し、それらを汚染媒体として被ばくする経路を設定している。

これに対して埋設地の立地条件によっては、放射性物質を含んだ地下水が海などの流出点に到達する前に他の地点に流出する場合も考えられる。この場合には、従来想定している被ばく経路に加え、新たに被ばく経路を追加する必要がある。また、各被ばく経路における評価結果によっては遮水機能等を考慮した場合の評価についても検討した。

3. 結論

L3 廃棄物の処分において、立地条件等および流出点の状況によっては、評価結果が基準を満足しない場合もある。その場合には、従来の処分概念では遮水機能等は不要であるが、遮水機能等の対策を付加した処分概念とするなどの立地条件に適用した概念の選択が有益であるとともに、それらの評価方法の確立が必要である。

表 1 L3 処分概念の多様性(施設) [2]

立地の特徴		適用し得る概念の例	イメージ	
平坦な地形	地下水面が低い	素掘りトレンチ	(従来概念)	
	地下水面が高い	地下水位より高い位置に定置して盛土		
		透水を妨げる層を敷設したトレンチ	.2.	
斜面のある	地下水面が低い	斜面を削って平坦化した上で、素掘りトレンチ	NOW, ME	
地形	地下水面が高い	地下水位より高い位置で削って平坦化し盛土		
		削って平坦化し、透水を妨げる層を敷設しトレンチ		
谷のある	谷が深い	谷を埋立てて平坦化レトレンチ	-5-	
地形	谷が浅い	谷を埋立てて平坦化し、盛土	.0	
既設の	トンネルあり	既設のトンネルを利用し、閉鎖時に密閉		
急斜面や崖のある地形		真横にトンネルを敷設し、閉鎖時に密閉		
地表面に望ましい地形なし		地下にトンネルを敷設し、閉鎖時に密閉	politica participation and an arrival participation and an arrival participation and arrival participation arrival participation and arrival participation arrival participation and arrival participation arrival participation arrival participation arrival participation and arrival participation arrival p	

参考文献

- [1] 阿部昌義,大越実,吉森道郎,"極低レベルコンクリート廃棄物の埋設実地試験",デコミッショニング技報,第 15号, pp.50-58, (1996).
- [2] 電気事業連合会、"性能規定化に係る規制検討要望について(トレンチ処分)、2.L3 処分概念の多様性ニーズ(施設)"、原子力規制委員会 HP、平成 28 年 10 月 12 日

^{*}Taichi Saito¹, Hajime Takao^{1,}

¹JGC Corporation

Oral presentation | V. Nuclear Fuel Cycle and Nuclear Materials | 505-2 Waste Disposal and Its Environmental Aspects

[1E07-12] Nuclear Waste

Chair:Toru Nagaoka(CRIEPI)

Wed. Sep 5, 2018 2:45 PM - 4:20 PM Room E (A34 - A Building)

[1E07] Investigation of the influence on the scaling factor by adopting SUS316 material for BWR reactor structural components.

*Kensuke Suzuki¹, Niitsu Shigehiko¹, Mitsushi Motoyama² (1. Tokyo Electric Power Company Holdings, Inc., 2. JGC CORPORATION)

2:45 PM - 3:00 PM

[1E08] Study on transport assessment of LLW disposal for chemical components and radio-active nuclides in homogeneous wastes generated from PWR Plants

*Mitsushi Motoyama¹, Shouzou Komori², Shintaro Tsuji³, Takashi Kozawa⁴, Kentaro Miyawaki⁵, Yuichi Nibori⁶ (1. JGC Corporation, 2. Kyusyu Electric Power Co.Inc, 3. Kansai Electric Power Co.Inc, 4. Japan Nuclear Fuel Ltd, 5. Meisei University, 6. Tohoku University)
3:00 PM - 3:15 PM

[1E09] Study on transport assessment of LLW disposal for chemical components and radio-active nuclides in homogeneous wastes generated from PWR Plants

*Naoyuki Tamura¹, Naoki YOSHII¹, Takashi KOZAWA¹, Mitsushi Motoyama², Niibori Yuich³ (1. JNFL, 2. JGC, 3. Tohoku Uni.)

3:15 PM - 3:30 PM

[1E10] Study on transport assessment of LLW disposal for chemical components and radio-active nuclides in homogeneous wastes generated from PWR Plants

*Takao Ikeda¹, Shouzou Komori², Takashi Kozawa³, Mitsushi Motoyama¹, Kentaro Miyawaki⁴, Yuichi Nibori⁵ (1. JGC Corporation, 2. Kyusyu Electric Power Co.Inc, 3. Japan Nuclear Fuel Ltd, 4. Meisei University, 5. Tohoku University)

3:30 PM - 3:45 PM

[1E11] Leaching behavior of radionuclides from irradiated BWR cladding

*Yu Yamashita¹, Katsumi Hosaka¹, Masashi Ichikawa², Tomofumi Sakuragi³ (1. Toshiba Energy Systems &Solutions, 2. Nippon Nuclear Fuel Development, 3. Radioactive Waste Management Funding and Research Center)

3:45 PM - 4:00 PM

[1E12] Leaching behavior of radionuclides from irradiated BWR cladding

*Tomofumi Sakuragi¹, Yu Yamashita², Katsumi Hosaka², Masashi Ichikawa³ (1. RWMC, 2. TOSHIBA, 3. NFD)

4:00 PM - 4:15 PM

BWR 原子炉構成材料の SUS316 系採用による スケーリングファクタへの影響検討

Investigation of the influence on the scaling factor by adopting SUS316 material for BWR reactor structural components

*鈴木 健介¹,新津 茂彦¹,本山 光志²
¹東京電力ホールディングス(株),²日揮(株)

東京電力ホールディングス(株)が所有する原子力発電所(BWR)について、原子炉構成材料が、SUS304系から SUS316系への変更が大幅に進んでいることによる Tc-99/Co-60 のスケーリングファクタへの影響について検討した。

<u>キーワード</u>: 放射性廃棄物,スケーリングファクタ,放射能濃度の確認,原子炉構成材料,SUS316,SUS304,原子炉水,Tc-99,Co-60

1. 諸言

東京電力ホールディングス(株)が所有する原子力発電所 (BWR) では、原子炉水に接触している材料が、SUS304 系から SUS316 系への変更が大幅に進んでいる。この変更に伴い、SUS316 系では Mo が添加されていることから、これが、原子炉水にそのまま溶出すると、原子炉水が汚染源となる放射性廃棄物中の Tc-99/Co-60 のスケーリングファクタが 1 桁程度上昇する可能性がある [1]、[2]。このため、発電所の管理にて、原子炉水中の γ 線放出核種の濃度を定期的に測定している結果から、Tc-99/Co-60 への影響について検討した。

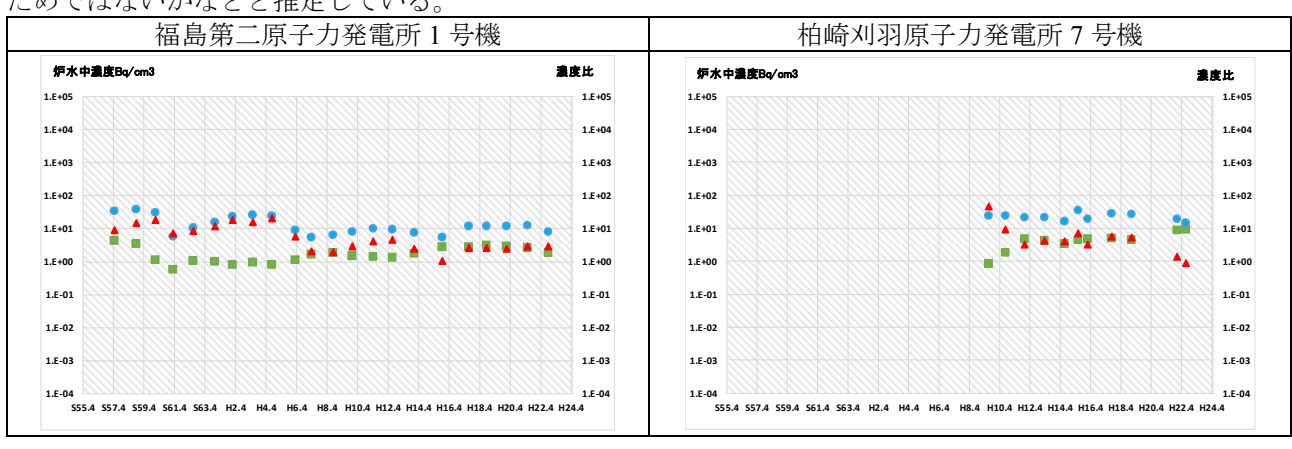
2. 原子炉水の定期的な測定結果に基づく検討

原子炉水に含まれる金属から Tc-99 と Tc-99m の主要な生成源となる元素は Mo であり、これらは同位体なので、原子炉水から各種の機器・配管への移行性は同等になることから、原子炉水における Tc-99m の濃度が変化していない場合には、廃棄物中の Tc-99 の濃度も変化していないと考えられる。

福島第二原子力発電所 1 号機及び柏崎刈羽原子力発電所 7 号機における Tc-99m と Co-60 の原子炉水の定期的な測定結果を運転サイクルで平均したものと、これから求めた Tc-99m/Co-60 の放射能濃度比の経年変化を以下に示す。ここで示した以外の発電所を含め、いずれも、原子炉水中の Tc-99m/Co-60 の放射能濃度比は概ね $10^0 \sim 10^1$ であり、Tc-99m の測定においては、同程度の γ 線のエネルギとなる同伴する他の γ 線放出核種の影響を受けるため、オーダで傾向を判断すると、Tc-99m/Co-60 の放射能濃度比に大きな変化は認められない。なお、Tc-99m の半減期は 6 時間と短いので、その親核種であり、原子炉水で観測されることのある Mo-99 から計算される Tc-99 の放射能濃度と Co-60 との放射能濃度比は、Tc-99/Co-60 のスケーリングファクタのばらつきに対して保守性を見込まない平均値とほぼ一致する。

3. 検討結果

福島第二原子力発電所 1 号機(1982年運開)から柏崎刈羽原子力発電所 7 号機(1997年運開)に至るまでに SUS304 系から SUS316 系への変更が大幅に進んでいるが、これによる Tc-99m/Co-60 への影響は確認できないことから、Tc-99/Co-60 のスケーリングファクタへの影響もほとんどないと考えられる。この理由については、現在検討中であるが、SUS304 に比較して SUS316L からの原子炉水への Mo の溶出率が低下するためではないかなどと推定している。



■Co-60 濃度 ■Tc-99m 濃度 ▲Tc-99m/Co-60

参考文献

- [1]独立行政法人原子力安全基盤機構 JNES-RF-2013-2028 平成 26 年 2 月
- [2]一般社団法人日本原子力学会 AESJ-SC-F022:2011 2012年9月

^{*}Kensuke Suzuki¹,Shigehiko Niitsu¹and Mitsushi Motoyama²

¹Tokyo Electric Power Company Holdings.Inc., ²JGC Co.

PWR の均質・均一固化体における塩・核種の 埋設処分における移行評価に関する検討 (1) アスファルト固化体からの浸出挙動と母材の化学的安定性について

Study on transport assessment of LLW disposal for chemical components and radio-active nuclides in homogeneous wastes generated from PWR Plants

(1) Leaching behavior from wastes solidified by bitumen and study of their chemical stability in the LLW disposal site

*本山 光志¹, 小森 省三², 辻 慎太郎³, 小澤 孝⁴, 宮脇 健太郎⁵, 新堀 雄一⁶ ¹日揮(株), ²九州電力(株), ³関西電力(株), ⁴日本原燃(株), ⁵明星大学, ⁶東北大学

国内の PWR 発電所から発生するアスファルト固化体を埋設処分する際の固化体に含まれる塩及び核種の環境への移行性評価における基礎的検討の一環として、埋設処分環境におけるアスファルト固化体の母材の化学的安定性について検討した。

キーワード: 浅地中処分、PWR の均質・均一固化体、PWR アスファルト固化体、拡散係数、溶解速度、塩及び核種の移行評価

1. 諸言

PWR 発電所から発生するアスファルト固化体を埋設処分する際の固化体に含まれる塩及び放射性核種の環境への移行評価に関しては、拡散係数モデルにより評価できると考えられている。これは、アスファルト母材が疎水性の固型材料であり、アスファルト固化体中の塩(粒子)をアスファルト母材が覆うため、アスファルト固化体の外部に接液している溶液への塩及び放射性核種の浸出は、外部から固化体内に浸入する水が律速するためと考えられる「11」。ただし、埋設施設の移行評価は、1万年のような長期的な期間を想定することから、アスファルトが徐々に溶解する可能性があり、このような期間が経過しても、アスファルト母材の溶解により想定される移行量は、拡散係数モデルで評価される移行量よりも小さいことが必要である。このため、埋設環境を想定した、アスファルト母材の溶解速度について検討した。

2. 試験内容と結果

アスファルト母材の溶解速度を把握するため,アスファルト固化体の製作用に PWR 発電所で使用されているストレートアスファルト 40/60(「アスファルト母材」と呼ぶ)を入手して,薄い板状に整形して表面積を大きくし,埋設環境を模擬したアルカリ性の溶液(水酸化カルシウム飽和液(pH = 12.5))及び参考としてアルカリ性の強い 1N の水酸化ナトリウム溶液に浸漬(固相約 10g,液相 450ml)し,溶液中の TOC 濃度の経時的な変化を測定した。浸漬試験は脱炭酸の環境で,試験温度は埋設環境で想定される 10° としている。この浸漬試験では,試験期間が 1 年程度経過しても,溶液中の TOC 濃度はバックグラウンド程度となった。なお,PWR 発電所から発生するアスファルト固化体を模擬した試料でも試験を実施しているが,結果は同じであった。

このため、埋設環境の条件とは異なるが、参考までに浸漬液を超純水とすることで、TOCのバックグラウンドを下げて、上記と同様の浸漬試験を実施した。この試験でも、溶液中のTOC濃度はバックグラウンド程度となった。この試験では、アスファルト試料の表面積をできるだけ大きくすることも試みている。なお、浸漬温度を60℃にする加速試験を試みたが、試験中にアスファルト試料が変形したので採用していない。

更に、試験に供したアスファルト母材に含まれる成分を分析し、アスファルト母材の流動性を高めるために混合されている飽和分及び芳香族分の割合を把握し、この成分の溶出性を把握するため、上記の浸漬液を用いて GC-MS 及び IR を使用して測定した。この測定でも、特に有機成分の検出は認められなかった。

なお、参考までに、アスファルト母材の骨格になると考えられるアスファルテンの割合が多いアスファルト試料を用いて、上記と同様の浸漬試験(浸漬液は純水)を実施した。この場合も、溶液中の TOC 濃度はバックグラウンド程度となった。

3. 検討結果

上記の試験結果から、浸漬液中の TOC(バックグランウドの影響を含む)から、アスファルト母材の溶解速度(アスファルト母材の 100%は炭素と仮定)を求めると、①埋設環境を模擬したアルカリ性の溶液(水酸化カルシウム飽和液(pH = 12.5)、アスファルト固化体を含む)は約 $0.1g/m^2/y$ 、②1N の水酸化ナトリウム溶液は約 $0.2g/m^2/y$ 、③超純水(アスファルトテンの多いアスファルト試料も含む)は約 $0.03g/m^2/y$ 、④超純水(表面積を大きくする)は約 $0.01g/m^2/y$ となった。

以上から、アスファルト母材の溶解速度は $1g/m^2/y$ 以下であることを確認し、これは、拡散係数で評価される移行量よりも小さくなる見通しであることを確認した。

参考文献

[1]宮脇健太郎,鈴木泰博,本山光志「アスファルト固化体からの環境影響物質の長期浸出挙動と浸出機構」廃棄物資源 循環学会論文誌,Vol.29, pp.131-142, 2018 (掲載予定)

*Mitsushi Motoyama¹, Shouzou Komori², Shintaro Tsuji³, Takashi Kozawa⁴, Kentaro Miyawaki⁵ and Yuichi Niibori⁶

¹JGC Co., ²Kyusyu Electric Power Co., Inc., ³The Kansai Electric Power Co., Inc., ⁴Japan Nuclear Fuel Ltd., ⁵Meisei University, ⁶Tohoku University

PWR の均質・均一固化体における塩・核種の 埋設処分における移行評価に関する検討 (2) アスファルト固化体の埋設施設における流動安定性評価について

Study on transport assessment of LLW disposal for chemical components and radio-active nuclides in homogeneous wastes generated from PWR Plants

(2) As a fundamental study for the evaluation of the leaching behavior from bituminized waste (asphalt solidified PWR waste), we studied the flow characteristics of asphalt in disposal facility.

PWR アスファルト固化体からの浸出評価の基礎的検討の一環として、埋設施設におけるアスファルトの流動安定性について評価・検討した。その結果、砂程度に劣化した埋設設備で想定される浸透率(約 $10^{-10}\,\mathrm{m}^2$)および 3%程度の動水勾配から実埋設環境(10%)における長期の流動性を評価すると、1 万年の流動距離 $1\,\mathrm{cm}$ 以下となり、アスファルト固化体は埋設施設内に安定して留まることが確認された。

キーワード: 浅地中処分、PWR の均質・均一固化体、PWR アスファルト固化体,流動特性

1. 諸言

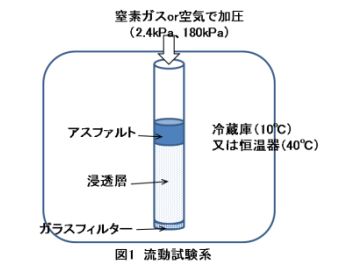
本シリーズ発表 (1) で示されるように PWR から発生するアスファルト固化体の移行評価に関しては、拡散係数モデルにより評価できると考えられている。一方で、アスファルトは粘弾性のある固型化材料であることから、拡散係数モデルによる評価が成立する前提として、アスファルト固化体が安定して埋設施設内に留まることが必要である。そこで埋設環境におけるアスファルトの流動特性について評価した。

2. 試験方法

安全評価で考慮する砂程度に劣化したセメントバリアの状態を想定し、カラム(内径 3 cm)の上部にアスファルト(ストレートアスファルト:針入度 40/60)を、下部の浸透層にモルタル強度試験用の標準砂(平均粒径 0.75 mm)を充てんした。砂は、地下環境を模擬し表面を湿らせた条件(含水率約 6%)、もしくは浸透層(充

てん砂)までを完全に冠水飽和させた条件とした。カラムは恒温槽 $(10^{\circ}$ 、 40°)に設置し、アスファルト上面から窒素ガス(もしくは空気)で加圧した。試験系の概略を図1に示す。

なお、アスファルトの流動試験に先立ち、砂充てんカラムの通水試験を行い、 浸透率約 $3.5\times10^{-10}\,\mathrm{m}^2$ を得た。また、流動試験に用いたアスファルトの粘度の温 度依存性($50^{\circ}C\sim80^{\circ}C$)を回転粘度計(Anton Paar MCR302)により測定し、それらの 値から $10^{\circ}C$ および $40^{\circ}C$ の粘度を推定するとそれぞれ $1\times10^{5}\sim1\times10^{6}\,\mathrm{Pa\cdot s}$ ($10^{\circ}C$)、



 $5\times10^3\sim5\times10^4$ Pa·s (40°) となった。さらに、アスファルト固化体の粘性も、同様に $50^\circ\sim80^\circ$ の高温域にて測定し、得られた値はアスファルト単独に比較して約1桁程度高いことを確認した。

3. 試験結果および結言

10℃では試験期間中に有意なアスファルトの流動を観測できなかった。そこで加速的試験として温度を 40℃とし、2.4 kPa および 180 kPa で加圧した。図 2 に 2.4 kPa において、流動長(浸透深さ)の時間変化を計測した試験結果と、ダルシー流速を計算した結果 (通水試験で得た試験系の浸透率と 40℃のアスファルトの粘性から算出)とを比較して示す。試験結果を精緻に表現するためには相 対浸透率等を考慮する必要があるが、流動距離を過大(保守側)

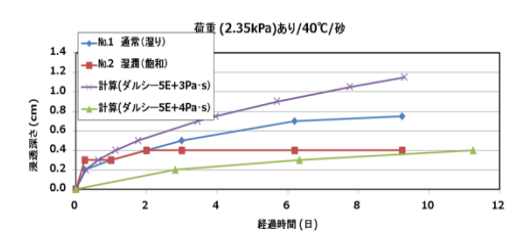


図2 流動試験結果と簡易計算(ダルシー)の比較

に算出する目的においては、粘性の下限と透水試験から得られる固有浸透率から移行距離を評価する方法が考えられる。これより、砂程度に劣化した埋設設備で想定される浸透率(約 $1\times 10^{-10}\,\mathrm{m}^2$)および 3%程度の動水勾配(圧力勾配)から実埋設環境(10° C)における長期の流動性を評価すると、1 万年経過しても、アスファルト固化体は安定して埋設施設内に留まる(流動距離 $1\mathrm{cm}$ 以下)といえる。

^{*} Naoyuki Tamura ¹, Naoki Yoshii ¹, Takashi Kozawa ¹, Mitsushi Motoyama ², and Yuichi Niibori ³

¹ Japan Nuclear Fuel Ltd., ² JGC Co., ³Tohoku University

PWR の均質・均一固化体における塩・核種の 埋設処分における移行評価に関する検討 (3) セメント固化体における塩の拡散挙動について

(3) セメント固化体における塩の拡散挙動について

Study on transport assessment of LLW disposal for chemical components and radio-active nuclides in homogeneous wastes generated from PWR Plants

(3) Leaching behavior of chemical components from wastes solidified by cement

*池田 孝夫¹, 小森 省三², 小澤 孝³本山 光志¹, 宮脇健太郎⁴, 新堀 雄一⁵¹日揮(株), ²九州電力(株), ³日本原燃(株), ⁴明星大学, ⁵東北大学

国内の PWR 発電所から発生するセメント固化体を埋設処分する際の固化体に含まれる塩及び核種の環境への移行性評価を行うために、模擬セメント固化体を製作し、約 2.5 年間の浸漬試験を行い、これらセメント固化体における塩の拡散挙動を検討した。

<u>キーワード</u>: 浅地中処分,PWR の均質・均一固化体,セメント固化体,拡散係数,溶解速度,塩及び核種 の移行評価

1. 諸言

PWR 発電所では本シリーズ発表(1)及び(2)のアスファルト固化体以外に、セメント固化体が均質・均一固化体として発生している。このセメント固化体には、ほう酸ナトリウムが主成分である濃縮廃液の状態でバーミキュライト入りのセメントで固型化したもの(VC 固化体)、及び濃縮廃液をほう酸カルシウムの脱水ケークにしてセメントで固型化したもの(AC 固化体)の2種類がある。このようなセメント固化体を埋設処分する際の固化体に含まれる成分(ほう素)及び放射性核種の環境への移行評価を行うため、模擬固化体を製作し、IAEAで示される試験案 [1] に準拠した浸漬試験を約2.5年間に渡り実施した。

2. 浸漬試験方法

セメント固化体の製作用に PWR 発電所で使用されている材料(セメント、混和材料等)を入手して,直径 50mm,高さ 50mm の円柱状の模擬固化体を製作し,196cm³の浸漬液に浸漬する試験を実施した。ここで,接液面/浸漬液は 10cm³/cm²とし [1],試験温度は埋設環境で想定される 10℃とした。

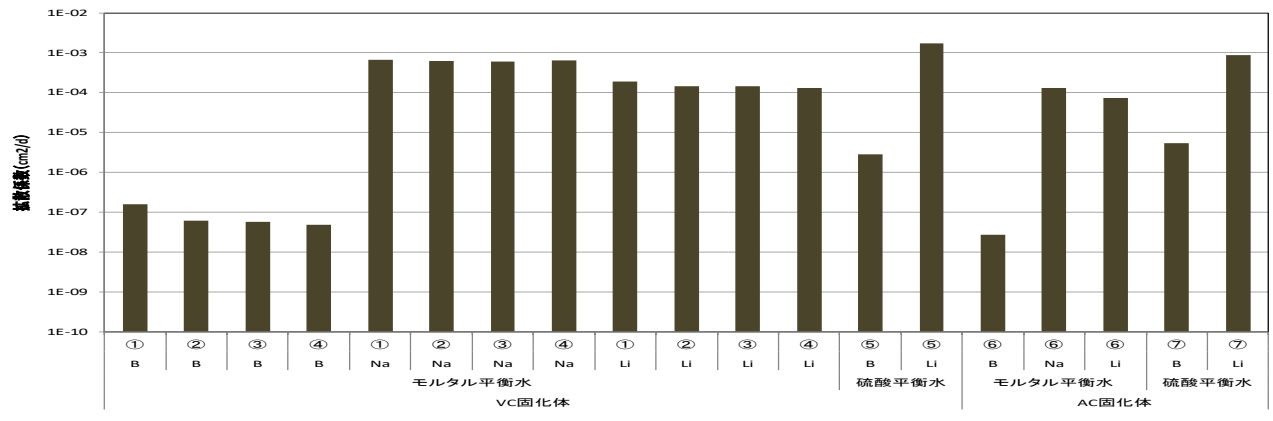
浸漬試験に用いた溶液は、埋設環境で想定される標準的な溶液条件(モルタル平衡水)、及び埋設施設内で同伴している BWR から発生するセメント固化体からの影響を考慮した硫酸ナトリウムが過剰に含まれる条件(硫酸平衡水)としている。

浸漬開始後,一定間隔(1週間は毎日,2週目~9週目は毎週,それ以降 6 か月間は毎月,それ以降は半年毎 [1])で,浸漬液全量を交換して,浸漬液中の B,Na,Li の分析を行った。

3 試験結果

上記の浸漬試験の結果、積算浸出比($=\Sigma$ ((浸漬液中の濃度×浸漬液量)/初期含有量))は、浸漬期間の平方根にほぼ比例しており、この傾向は、試験終了日まで変化がなく、固化体からの浸出挙動は、見かけの拡散係数モデルで評価できる見通しであることが示された。また、浸漬液中のほう素濃度は、別途試験して求めたモルタル平衡水中の飽和濃度よりも低く、溶解度制限には達していないと考えられる。

また,見かけの拡散係数は下図の通りであり,ほう素の拡散係数は,ナトリウム及びリチウムより小さく,モルタル平衡水で約 1×10^7 cm²/d,硫酸平衡水で約 1×10^5 cm²/dとなることを確認した。



①~⑦:同じ番号は同一固化体を指す。硫酸平衡水は Na 濃度が高いので拡散係数は算出していない。

参考文献

[1]Hopse, E.D. "Leach Testing of Immobilized Radioactive Waste Solids" Atomic Energy Rev. 9, p. 195-207 (1971)

^{*}Takao Ikeda¹,Shouzou Komori², Takashi Kozawa³,Mitsushi Motoyama¹ Kentaro Miyawaki⁴ and Yuichi Niibori⁵ ¹JGC Co., ²Kyusyu Electric Power Co., ³Japan Nuclear Fuel Ltd., ⁴Meisei University, ⁵Tohoku University

照射済み BWR 燃料被覆管からの核種放出挙動評価 -(1) 長期浸漬試験と炭素 14 浸出率-

Leaching behavior of radionuclides from irradiated BWR cladding

– (1) Long-term immersion test and result of carbon 14 leaching behavior –

*山下 雄生¹,保坂 克美¹,市川 真史²,桜木 智史³

¹東芝エネルギーシステムズ株式会社, ²日本核燃料開発株式会社, ³(公財)原環センター

地層処分後の燃料被覆管からの炭素 14 等の核種浸出挙動を評価するため、処分環境を模擬した溶液中で約 10 年にわたって照射済み BWR 被覆管の浸漬試験を実施した。浸漬期間の経過とともに核種浸出率は低下傾向を示し、現実的な浸出率データを蓄積することができた。

キーワード: TRU 廃棄物、炭素 14、燃料被覆管、浸出率、地層処分

1. 緒言

再処理で発生する被覆管の廃材はTRU廃棄物として地層処分される。炭素 14 (¹⁴C) はTRU廃棄物の安全評価において重要核種とされ、その長期挙動は短期の浸出データから保守的に評価された[1]。より現実的な安全評価に資することを目的に、照射済み被覆管を用いて最長 9.5 年の浸漬試験を実施した。

2. 実験

金属腐食との相関を考察するため照射済み BWR 燃料被 覆管の内外面酸化膜を研磨除去し、浸漬試料とした。材料 間差異の確認のため STEP1, STEP3 被覆管を試料に選定した。室温・窒素雰囲気下で pH 12.5, Eh -250 mV の NaOH 水 溶液に試料を浸漬して密封した。所定期間経過後に気相中 14 C 量 (A_G/Bq) 、浸漬液中 14 C 量 (A_L/Bq) を測定し、浸漬試料中 14 C 量(I/Bq)で除することで 14 C 浸出率(R/-)を算定した。

 $R = (A_G + A_L) / I$

5.0E-05 4.0E-05 4.0E-05 4.0E-05 1.0E-05 0.0E+00 0

図1 長期浸漬試験における ¹⁴C 浸出率

3. 結果と考察

図1に既往報告結果[2]と共に、長期浸漬試験における ¹⁴C

浸出率データを示す。浸漬初期は浸漬期間とともに ¹⁴C 浸出率は上昇したが、浸漬 3 年以降の浸出率はほぼ一定となった。浸漬 5.5 年の STEP1,3 の浸出率の比較から材料間差異は小さいと評価した。TRU 廃棄物の安全評価[1]で設定された ¹⁴C 浸出率に比べて低い値となり、より現実的な浸出データを蓄積できたと考えられる。発表では、試験手法の詳細とともに、金属腐食挙動との相関に関する考察等について報告する。 ※本発表は経済産業省資源エネルギー庁からの委託事業である「平成 29 年度高レベル放射性廃棄物等の地層処分に関する技術開発事業(TRU 廃棄物処理・処分技術高度化開発)」の成果の一部である。

参考文献

[1] 電気事業連合, 核燃料サイクル機構: TRU 廃棄物処分技術検討書-第2次 TRU 廃棄物処分研究開発とりまとめ-, JNC TY1400 2005-013, FEPC TRU-TR2-2005-02 (2005).

[2] Yamashita et al., Mater. Res. Soc. Symp. Proc. 2014; 1665: 187-194.

¹Toshiba Energy Systems & Solutions Corporation, ²Nippon Nuclear Fuel Development Co., LTD., ³Radioactive Waste Management Funding and Research Center

^{*}Yu Yamashita¹, Katsumi Hosaka¹, Masashi Ichikawa² and Tomofumi Sakuragi³

照射済み BWR 燃料被覆管からの核種放出挙動評価 -(2) 炭素 14 の化学種および調和腐食モデルの考察-

Leaching behavior of radionuclides from irradiated BWR cladding

- (2) C-14 speciation and corrosion-related congruent release – *桜木 智史¹, 山下 雄生², 保坂 克美², 市川 真史³

1(公財)原環センター,2東芝エネルギーシステムズ株式会社,3日本核燃料開発株式会社

地層処分後の燃料被覆管からの炭素 14 等の核種浸出挙動を評価するため、処分環境を模擬した溶液中で BWR 被覆管の浸漬試験を約 10 年継続した。浸出した炭素 14 は溶存有機種が多いがガス成分や溶存無機も 検出された。また、ジルカロイ中の存在状態によって核種の浸出挙動が影響されることが示唆された。

キーワード: TRU 廃棄物、地層処分、被覆管、炭素 14、腐食、化学形態

1. 緒言

使用済み燃料の再処理で発生する被覆管の廃材は TRU 廃棄物として地層処分される予定である。放射化によって生成した炭素 14 (14C) は処分後の安全評価において重要核種に位置づけられ、その化学形態は放出後の核種移行シナリオや移行パラメータに影響する。ここでは、処分環境を模擬した条件下で最長 9.5 年間の浸漬試験で得られた放出 14C の化学形態、浸出した核種および金属成分から考察した金属腐食と核種放出の関係(調和腐食モデル)について報告する。

2. 実験

照射済み BWR 燃料被覆管 (酸化膜除去済み)を室温・窒素雰囲気下で NaOH 水溶液 (pH 12.5, Eh -250mV) に浸漬・密封した。所定期間経過後、各バッチの気相への ¹⁴C 放出量、液相への無機 ¹⁴C、有機 ¹⁴C、ガンマ線放出核種、Zr 等金属元素の浸出量を測定した。

3. 結果と考察

既に報告した2年未満[1]および酸化膜付き被 覆管[2]とともに、図1に放出された 14 Cの結果 を示す。短期的にはガス成分および溶存無機 14 Cの

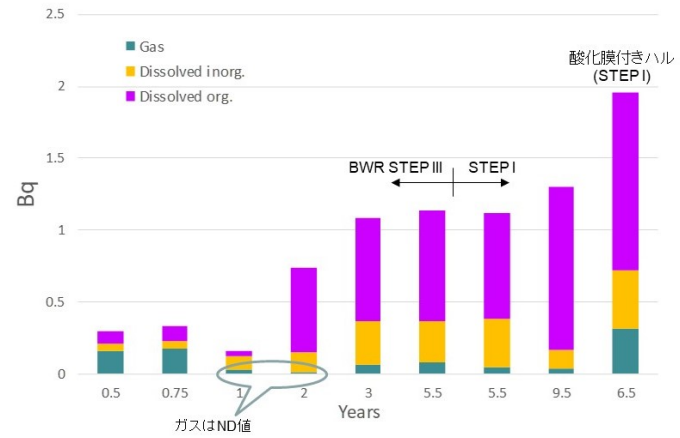


図1 照射済みBWR被覆管から放出した¹⁴Cの経時変化と存在形態

割合が、浸漬2年以降は溶存有機 ¹⁴C の割合が高かった。ガス形態 ¹⁴C も確認されたことから、安全評価においては金属腐食で生じる水素ガスをキャリアとしたガス移行シナリオが重要となる可能性がある。発表では、調和腐食モデルに関して核種・金属成分の浸出量と金属腐食量との関係について考察する。

※本発表は経済産業省資源エネルギー庁からの委託事業である「平成 29 年度高レベル放射性廃棄物等の地層処分に関する技術開発事業 (TRU 廃棄物処理・処分技術高度化開発)」の成果の一部である。

参考文献

- [1] Yamashita et al., Mater. Res. Soc. Symp. Proc. 2014; 1665: 187-194.
- [2] Sakuragi et al., Procedia Chemistry 2016; 21: 341-348.

¹Radioactive Waste Management Funding and Research Center, ²Toshiba Energy Systems & Solutions Corporation, ³ Nippon Nuclear Fuel Development Co., LTD.

^{*}Tomofumi Sakuragi¹, Yu Yamashita² Katsumi Hosaka² and Masashi Ichikawa³

Oral presentation | V. Nuclear Fuel Cycle and Nuclear Materials | 505-2 Waste Disposal and Its Environmental Aspects

[1E13-17] Overpack

Chair: Atsushi Fujishima (NUMO)

Wed. Sep 5, 2018 4:20 PM - 5:40 PM Room E (A34 - A Building)

[1E13] Corrosion behavior of weld joint of carbon steel overpack under geological environment

*MITUYASU SHIRASE¹, KAZUTOSHI YAMAZAKI², TAKAHIRO KIKUCHI ², YOSHIRO KURIKI², YUMIKO IWATA³, GEN NAKAYAMA³, YOSHIKATSU TOCHIGI³, MAKOTO ONO⁴, MASATO KOBAYASHI¹, MASAHIRO KWAKUBO¹ (1. RWMC, 2. JGC CORPORATION, 3. IHI CORPORATION, 4. TAISEI CORPORATION)

4:20 PM - 4:35 PM

[1E14] Corrosion behavior of weld joint of carbon steel overpack under geological environment.

*Kazutoshi Yamazaki¹, Hajime Takao¹, Takahiro Kikuchi¹, Yoshiro Kuriki¹, Masato Kobayashi², Masahiro Kawakubo², Mitsuyasu Shirase², Yumiko Iwata³, Gen Nakayama³, Makoto Ono⁴ (1. JGC CORPORATION, 2. RADIOACTIVE WASTE MANAGEMENT FUNDING AND RESEARCH CENTER, 3. IHI Corporation, 4. TAISEI CORPORATION)
4:35 PM - 4:50 PM

[1E15] Corrosion behavior of weld joint of carbon steel overpack under geological environment

*Yumiko Iwata¹, Gen Nakayama¹, Yoshikatsu Tochigi¹, Kazutoshi Yamazaki³, Hajime Takao³, Takahiro Kikuchi³, Yoshiro Kuriki³, Masato Kobayashi², Masahiro Kawakubo² (1. IHI Corporation, 2. RWMC, 3. JGC Corporation)

4:50 PM - 5:05 PM

[1E16] Corrosion behavior of weld joint of carbon steel overpack under geological environment

*Masato Kobayashi¹, kazutoshi yamazaki², hajime takao², takahiro kikuchi², Yoshiro kuriki², Yumiko Iwata³, Gen Nakayama³, Makoto Ono⁴, Mitsuyasu Shirase¹, Masahiro Kawakubo¹ (1. RWMC, 2. JGC corporation, 3. IHI corporation, 4. TAISEI corporation)
5:05 PM - 5:20 PM

[1E17] Carbon steel corrosion by iron-corroding microbial community in compacted buffer materials

*Toru Nagaoka¹, Shin-ichi Hirano¹, Norio Matsumoto¹, Yuki Amano² (1. CRIEPI, 2. JAEA) 5:20 PM - 5:35 PM

炭素鋼オーバーパック溶接部の地下環境での腐食挙動に関する研究

その1 試験計画

Corrosion behavior of weld joint of carbon steel overpack under geological environment
Part1 Experimental plan

*白瀬 光泰¹, 山崎 一敏², 高尾 肇², 菊池 孝浩², 栗木 良郎², 岩田 裕美子³, 中山 元³, 栃木 善克³, 小野 誠⁴, 小林 正人¹, 川久保 政洋¹

1 (公財) 原子力環境整備促進・資金管理センター, 2日揮株式会社, 3株式会社 IHI, 4大成建設株式会社

オーバーパックの腐食代は既往の実験室規模での長期浸漬試験等の結果に基づいて設定されている。実地下環境で生じる腐食現象を把握/評価し、実際の地層処分場で生じ得る現象を推測するとともに、既往の評価結果の妥当性を検証する試験計画を策定した。本報告では、各試験の位置付けについて説明する。

キーワード:腐食,炭素鋼オーバーパック,地下環境,試験計画

1. 背景

オーバーパックの候補材料である炭素鋼について、これまでに実験室規模の試験により、母材及び溶接部の腐食速度 や腐食の均一性等、多くの知見が得られている。実験室規模の試験の妥当性の検証、実際の地下環境で生じる腐食現象 を評価するための、腐食試験を計画した。

2. 腐食に係る因子の抽出と整理、試験の位置付け

実寸大のオーバーパックは、直径 840mm、長さ 1,350mm の円筒形であり、表面には材料の異なる母材部と蓋の接合部 (溶接部)が存在する。周囲に施工される緩衝材は、すき間や密度分布、地下水の浸潤挙動の差により、実験室規模の試験の様に全体が速やかに均一な環境とならない可能性がある。前者を腐食に係る「材料因子」、後者を「環境因子」とし、実験室規模試験と実際の地層処分場の環境条件やスケールの違いを補完する 3 種類の腐食試験を表 1 の様に設定した。

スコールスートの日子の正立の一つの人人の一つでした人は、そので一口に行う。							
因子		実験室規模試験	小規模試験		工学規模試験	実際の HLW 地層処分	
	試験片寸法	数cm	十数cm	数十cm	φ 10cm x L1.23m	実寸大	
材料	腐食試験片 (母材/溶接)	溶接試験体から採取	工学規模試験体から 採取	工学規模試験体と同一	鍛造丸棒に TIG 溶接を付与	鍛造製胴体に 蓋を溶接接合	
	加熱方法	試験容器ごと恒温槽 内で加熱・保温	試験片裏面に設置し たヒーターで加熱	模擬 OP 内に設置したヒーターで加熱	模擬OP内に設置したヒー ターで加熱	ガラス固化体の発熱	
環境	緩衝材	厚さ数mm、Tiカラム 内に圧密	ブロック ※隙間なし	ブロック方式 意図的に隙間付与	ブロック方式 円形ブロック 12 段	複数の施工 オプション有	
	試験環境	Ti 製カラム 模擬溶液	角型セル 模擬溶液	模擬試験孔 模擬溶液	地下試験孔 実地下水		

表 1 腐食に係る因子の整理と本事業で実施した腐食試験の位置付け(太枠内)

3. 試験の実施

表 1 に示す 3 種類の腐食試験について、設置から解体までの試験手順の検討及び試験設備の構築の後、最長で約 3 年間の腐食試験を行い、試験後の腐食試験体の分析及び評価を実施した。

本報告は資源エネルギー庁の受託事業「処分システム工学確証技術開発」の成果四の一部である。

参考文献

- [1] 山崎、他、不均質な地層処分環境下におけるオーバーパックの炭素鋼容接部の腐食挙動、2017 秋の大会、3110
- [2] 例えば、(公財) 原環センター、平成29年度処分システム工学確証技術開発報告書(第1分冊)、2018.3

*Mitsuyasu Shirase¹, Kazutoshi Yamazak², Hajime Takao², Takahiro Kikuchi², Yoshiro kuriki², Yumiko Iwata³, Gen Nakayama³,

Yoshikatsu Tochigi³, Makoto Ono⁴, Masato Kobayashi¹ and Masahiro Kawakubo¹

¹RWMC, ²JGC CORPORATION, ³IHI CORPORATION, ⁴TAISEI CORPORATION

炭素鋼オーバーパック溶接部の地下環境での腐食挙動に関する研究

その2 工学規模の模擬オーバーパックの腐食挙動

Corrosion behavior of weld joint of carbon steel overpack under geological environment.

Part 2 Corrosion behavior of engineering scale testing.

*山崎 一敏¹, 高尾 肇¹, 菊池 孝浩¹, 栗木 良郎¹, 小林 正人², 川久保 政洋², 白瀬 光泰², 岩田 裕美子³, 栃木 善克³, 中山 元³, 小野 誠⁴、中山 雅⁵

¹日揮株式会社,²(公財)原子力環境整備促進・資金管理センター,³株式会社 IHI,⁴大成建設株式会社 ⁵国立研究開発法人 日本原子力研究開発機構

炭素鋼オーバーパックの腐食挙動に影響を及ぼす因子のうち、実験室規模試験では再現が難しい材料(大きさ)と現実的な環境因子を考慮するため、地下環境での工学規模試験を実施した。腐食現象を支配する因子を制御して評価することを目的として、地上において同規模のモックアップ試験も実施した。約3年間の試験の結果、模擬オーバーパック母材と溶接部の平均腐食量と最大腐食量に大きな差はみられなかった。一方、実験室規模試験とは異なり、初期の過渡的な期間では緩衝材と模擬オーバーパックの密着性による腐食の局在化も確認された。

キーワード: 腐食, 炭素鋼オーバーパック, 地下環境, 工学規模試験, 溶接継手, 緩衝材ブロック

1. 緒言

炭素鋼オーバーパックの腐食挙動を調べる上で、実験室規模試験では再現が難しい材料の大きさと環境因子による影響を調査するために、地下環境(幌延 URL 深度 350m)での工学規模試験(地下試験)を実施した。並行して、地上での環境因子を制御したモックアップ試験(地上試験)も実施し、腐食挙動を比較した。

2. 試験方法・分析

試験系は堅置きの緩衝材ブロック施工方式を模擬した。緩衝材ブロックは、ベントナイトとケイ砂を7:3 に混合し、乾燥密度が1.6Mg/m³になるように圧縮成型した。模擬オーバーパックは φ100mm×1,230mm の鍛造丸棒で長手方向に溶接部(TIG 溶接)を180°間隔で2本付与した。地下試験は幌延 URL の深度350mに掘削した試験孔を用いた。地上試験では、幌延の地下水組成に合わせて調整した模擬地下水を使用し、ステンレス製の模擬処分孔に試験体を設置した。腐食量は、試験前後の模擬オーバーパックの表面形状を接触式3次元座標測定器(CMM)により測定し、その差から求めた。

3. 結果

地下試験では緩衝材と模擬オーバーパックの密着性の差によると思われる腐食の局在化が確認された(図 1)。この局在化はオーバーパックと緩衝材のクリアランス部で、緩衝材の膨潤の不均一性によって、オーバーパックと緩衝材の接触が不均質に

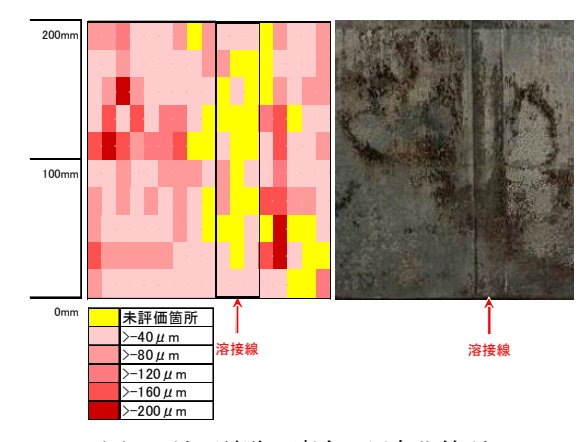


図1 地下試験 腐食の局在化箇所 左図: 酸洗後模擬オーバーバック試験体 腐食深さ分布 右図: 測定箇所の酸洗後表面画像

なったためと考えられる。緩衝材の密着性の差を除けば、地下試験 (990 日) 及び地上試験 (683 日) の何れの試験においても、模擬オーバーパック表面の母材と溶接部の間で、平均腐食量と最大腐食量に大きな差はみられなかった。長期的には、酸素が消費され、緩衝材の膨潤が進み、模擬オーバーパックと均一に接することで、緩衝材中の物質移行が抑制され、還元環境での腐食が進行し、局在化の進展は抑制されると推察される。本報告は資源エネルギー庁からの委託事業「処分システム工学確証技術開発」の成果「20の一部である。

参考文献

- [1] 山崎、他、不均質な地層処分環境下におけるオーバーパックの炭素鋼溶接部の腐食挙動、2017秋の大会、3110
- [2] 例えば(公財) 原環センター、平成29年度処分システム工学確証技術開発報告書(第1分冊)、2018.3
- *Kazutoshi Yamazaki¹, Hajime Takao¹, Takahiro Kikuchi¹, Yoshiro Kuriki¹, Masato Kobayashi², Masahiro Kawakubo², Mitsuyasu Shirase², Yumiko Iwata³, Yoshikatsu Tochigi³, Gen Nakayama³, Makoto Ono⁴, Masashi Nakayama⁵

¹JGC CORPORATION, ²RWMC, ³IHI Corporation, ⁴TAISEI CORPORATION, ⁵JAEA

炭素鋼オーバーパック溶接部の地下環境での腐食挙動に関する研究

その3 全面腐食挙動に及ぼす緩衝材の膨潤過程の影響

Corrosion behavior of weld joint of carbon steel overpack under geological environment Part 3 Effect of bentonite swelling process on homogeneous corrosion *岩田 裕美子¹,中山 元¹,栃木 善克¹,小林 正人²,川久保 政洋²,

山崎 一敏 ³, 高尾 肇 ³, 菊池 孝浩 ³, 栗木 良郎 ³, 小野 誠 ⁴

¹株式会社 IHI, ²(公財) 原子力環境整備促進・資金管理センター, ³日揮株式会社, ⁴大成建設株式会社

埋設後初期の緩衝材ブロックと炭素鋼オーバーパックとの不均一な接触履歴が炭素鋼の全面腐食挙動に与える影響を調査するため、緩衝材の膨潤過程を考慮した経時変化確認試験を実施した。初期の緩衝材の膨潤による炭素鋼試験体との不均一な接触により局所的な腐食が発生したが、約2年間経過後の試験体では、局在化した腐食の進展性は乏しく、平均腐食深さと最大腐食深さの相関関係は、既往の実験室規模試験の傾向と同様であった。

キーワード: 腐食, 炭素鋼オーバーパック, 地下環境, 緩衝材ブロック、試験方法

1. 緒言

緩衝材ブロックの飽和・膨潤に伴う炭素鋼オーバーパックとの不均一な接触履歴が炭素鋼の全面腐食挙動に与える影

響を調査するため、接触履歴に関する経時変化を確認するための試験を実施した。

2. 試験方法 • 分析

幌延URLの工学規模試験で用いた試験装置を再現した部分モデル試験装置を複数用意し、試験期間をパラメータとして所定期間後に試験片を取り出して観察した。緩衝材ブロックはケイ砂30%混合ベントナイトを乾燥密度1.6Mg/m³に圧縮成型したもの、炭素鋼試験片は工学規模試験用に製作した模擬オーバーパックから切り出したものを使用した。緩衝材側から脱気した模擬地下水を供給し、一定期間後に試験体を取り出して外観を観察した。腐食深さは試験前後の試験片表面の接触式3次元形状計測値の差分から求めた。

1,000h 2,496h 3,984h 7,392h 溶接ビード 13,757h 16,608h

図1 試験片取り出し時(付着物除去後、酸洗前)の外観

3. 結果

試験片表面は、試験経過につれて茶色い錆から黒色の硬い皮膜に覆われた状態に推移した。脱錆後の表面には局所的な凹みが認められ、ベントナイトや水分の不均質な接触・過渡状態が初期の腐食挙動に影響することを示した(図 1)。約 2 年間の時間経過において、平均腐食深さは時間の経過とともに深くなるが、一部の局在化した部分の腐食の進展性は乏しく、本試験における平均腐食深さと最大腐食深さの相関関係は、既往の長期ベントナイト中の腐食試験[1]の傾向と同様であった(図 2)。

本報告は資源エネルギー庁の委託事業「処分システム工学確証技術開発」の成果^[2]の一部である。

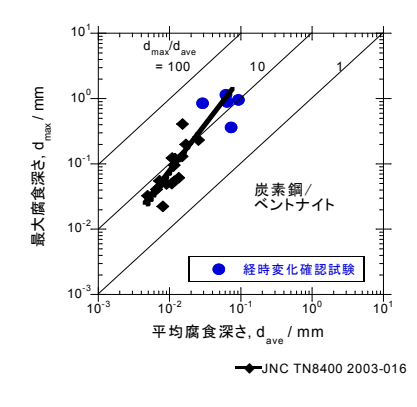


図2 平均腐食深さと最大腐食深さの関係

参考文献

- [1] 弱アルカリ性およびアルカリ性環境における炭素鋼オーバーパックの局部腐食進展挙動 JNC TN8400 2003 016 (2003).
- [2] 例えば、(公財) 原環センター、平成29年度処分システム工学確証技術開発報告書(第1分冊)、2018.3
 - *Yumiko Iwata¹, Gen Nakayama¹, Yoshikatsu Tochigi¹, Masato Kobayashi², Masahiro Kawakubo², Kazutoshi Yamazaki³, Hajime Takao³, Takahiro Kikuchi³, Yoshiro Kuriki³, Makoto Ono⁴
 - ¹IHI Corporation, ²RWMC, ³JGC CORPORATION, ⁴TAISEI CORPORATION

炭素鋼オーバーパック溶接部の地下環境での腐食挙動に関する研究

その4 まとめ

Corrosion behavior of weld joint of carbon steel overpack under geological environment
Part4 Summary

*小林 正人¹, 山崎 一敏², 高尾 肇², 菊池 孝浩², 栗木 良郎², 岩田 裕美子³, 中山 元³, 栃木 善克³, 小野 誠⁴, 白瀬 光泰¹, 川久保 政洋¹

1 (公財) 原子力環境整備促進・資金管理センター、2日揮株式会社、3株式会社 IHI、4大成建設株式会社

実験室規模試験に対し、今回実施した経時変化確認試験、不均一腐食試験(既報)[1]、工学規模試験では、人工バリアの施工時に生じるオーバーパックと緩衝材間のすき間による緩衝材との接触、水の浸潤挙動が初期の腐食の局在化に影響することが示唆された。

キーワード: 腐食, 炭素鋼オーバーパック, 地下環境, 炭素鋼溶接部

1. はじめに

実験室規模試験に対し、腐食に係る「材料因子」、「環境因子」に着目した工学規模試験、小規模試験(経時変化試験、不均一腐食試験^{II})を実施し、実際の地下環境で人工バリアの定置から、緩衝材の飽和・膨間に至る過程で炭素鋼オーバーパック全体、及び溶接部に生じる腐食現象を把握、評価した。

2. 腐食に係る「材料因子」「環境因子」の影響について

2-1. 材料因子の影響

いずれの試験においても母材に対し溶接部の顕著な腐食は認められなかった。既報の酸化性雰囲気の浸漬試験で認められたアーク溶接金属部の選択的な腐食^口は生じなかった。系内の酸素が有限で初期に消費されれば、溶接部の選択的な腐食は生じないと考えられる。

2-2. 環境因子の影響

本試験では実際の人工バリアの定置作業(ブロック方式)を想定し、模擬オーバーパックと緩衝材の間に 5mm のすき間を設けた。また、試験装置全体を恒温槽内で加熱・保温する実験室規模の試験に対し、今回の工学規模試験はガラス固化体の発熱を模擬するため試験体自体をヒーターで加熱したが、これにより周辺に生じる温度勾配は腐食挙動に有意な影響を与えなかった。すき間の水蒸気、膨潤した緩衝材が模擬オーバーパックと接触、若しくはすき間からの溶液の侵入により腐食反応が開始となる。実験室規模の試験片と緩衝材が密着した初期状態での結果と異なり、緩衝材と模擬オーバーパックの接触状態の差により初期の不均一な腐食が生じることが認められた。試験体の大型化により周囲の緩衝材の挙動は均等では無くなり不均一な腐食の要因と成り得ると予想したが、その影響は実験室規模の試験で得た不均一性と有意な差とはならないことを確認した。

3. まとめ

いずれの試験においても母材と溶接部に有意な差は無く、オーバーパックの封入技術として溶接は適用可能である。初期の過渡的な期間では、オーバーパックと緩衝材の接触や浸潤挙動が、腐食の不均一、局在化に影響することが示唆された。これに対しては、人工バリア定置工程(例えば隙間充填)に対策を講じることで、長期の寿命評価の初期の不確実性を低減できると考えられる。

本報告は資源エネルギー庁の委託事業「処分システム工学確証技術開発」の成果「3の一部である。

参考文献

- [1] 山崎、他、不均質な地層処分環境下におけるオーバーパックの炭素鋼容接部の腐食挙動、2017 秋の大会、3110
- [2] (公財) 原環センター、平成23年度処分システム工学要素技術高度化開発報告書(第2分冊)、2012.3
- [3] 例えば、(公財) 原環センター、平成29年度処分システム工学確証技術開発報告書(第1分冊)、2018.3

*Masato Kobayashi¹, Kazutoshi Yamazak², Hajime Takao², Takahiro Kikuchi², Yoshiro kuriki², Yumiko Iwata³, Gen Nakayama³,

Yoshikatsu Tochigi³, Makoto Ono⁴, Mitsuyasu Shirase¹ and Masahiro Kawakubo¹

¹RWMC, ²JGC CORPORATION, ³IHI CORPORATION, ⁴TAISEI CORPORATION

鉄腐食性微生物群集による緩衝材中の炭素鋼の腐食挙動

Carbon steel corrosion by iron-corroding microbial community in compacted buffer materials

*長岡 亨¹, 平野 伸一¹, 松本 伯夫¹, 天野 由記² ¹電中研, ²原子力機構

湖沼底泥より集積培養した鉄腐食性微生物群集を用いて、乾燥密度の異なる緩衝材中にて炭素鋼試験片の腐食試験を実施した結果、複数種の微生物が相乗的に腐食挙動に関与している可能性が明らかとなった。

Keywords: bio-corrosion, carbon steel, , microbial community, compacted buffer material, bentonite

- 1. 背景・目的 地層処分における炭素鋼処分容器の腐食挙動評価に関して、これまで嫌気性微生物の代表である硫酸還元菌を対象とした検討が行われてきた[1]。しかし、これらの検討は反応期間が3か月程度と短期間であったことや、近年、硫酸還元菌以外のメタン生成菌、酢酸生成菌、硝酸還元菌など、種々の微生物が単独または複合的に金属腐食に影響を及ぼすことが報告[2]されており、これらの複合微生物の影響を加味した上でのより長期的な炭素鋼処分容器の腐食挙動を評価することが望まれる。
- 2. **試験方法** 湖沼底泥試料を微生物源として、金属鉄をエネルギー源として利用可能な微生物生育培地を用いて鉄腐食性微生物群集を集積培養し、腐食試験に用いた。腐食試験では、異なる乾燥密度(1.0, 1.3, 1.6 g/cm³)に圧縮成型した緩衝材(クニゲル V1:5 号珪砂=7:3)中に炭素鋼試験片を包埋した試験セルを、培養液に浸漬して飽和させた後、培養液に上述の集積培養した微生物群集を植菌し、嫌気性雰囲気下、30℃あるいは 50℃恒温下で静置し、最長 1 年間、炭素鋼試験片の重量減損量、代謝産物を測定するとともに、緩衝材中の微生物量および微生物群集の変化を解析した。
- 3. 結果・考察 炭素鋼試験片の重量減損量に及ぼす緩衝材の乾燥密度の影響については、試験温度 30℃、乾燥密度 1.0g/cm³、試験期間 1 年の場合において顕著な重量減損が認められたが(図)、他の乾燥密度条件では顕著な減損は認められなかった。乾燥密度が大きくなるに伴い、緩衝材内の膨潤圧が増大することで、空隙サイズ、栄養塩供給速度、水分活性等が低下し、微生物活性が抑制されることで腐食速度が低下した可能性がある。また、試験温度 50℃では、乾燥密度 1.0g/cm³ を含めて顕著な減損は認められなかった。一方、各温度・乾燥密度条件における炭素鋼試験片近傍の緩衝材試料を対象とした微生物群集解析の結果、いずれの

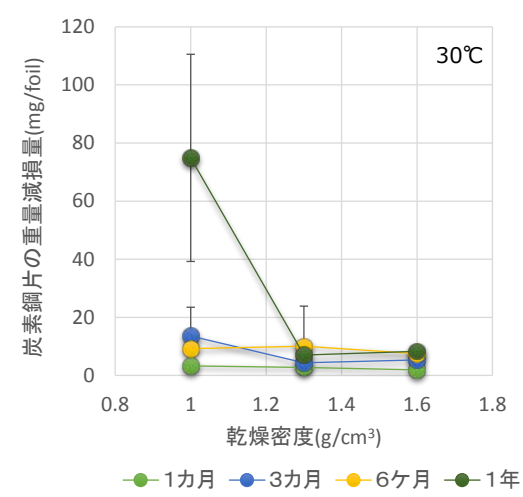


図 緩衝材中の炭素鋼試験片の腐食試験結果

条件下においても微生物群集の構成比は試験前後で大きく変化しており、炭素鋼の重量減損量が最も多い 試料において硫酸還元菌やメタン生成菌等の腐食性微生物が多く検出されたことから、これらの微生物が 相乗的に作用して炭素鋼の腐食を促進している可能性が示唆された。

本成果は、経済産業省資源エネルギー庁の委託事業である「使用済燃料直接処分技術開発(平成 26 年度)」 および「直接処分等代替処分技術開発(平成 27~29 年度)」の一部である。

参考文献

- [1] 地層処分研究開発第2次取りまとめ(1999)- 分冊2 地層処分の工学技術 JNC TN1400 99-0022
- [2] Mand et al. (2014), Front. Microbiol., 10.3389/fmicb.2014.00268

^{*}Toru Nagaoka¹, Shin-ichi Hirano¹ Norio Matsumoto¹ and Yuki Amano² ¹CRIEPI, ²JAEA

Oral presentation | V. Nuclear Fuel Cycle and Nuclear Materials | 505-3 Decommissioning Technology of Nuclear Facilities

[1F01-05] Analysis, Scinario Evaluation and System Development 1 Chair:Nobutake Horiuchi(MMC)

Wed. Sep 5, 2018 10:40 AM - 12:00 PM Room F (A36 - A Building)

- [1F01] Activation estimation for decommissioning of nuclear reactor

 *Norikazu Kinoshita¹, Takuma Noto¹, Kazuaki Kosako¹, Motoyuki Asada¹, Akane Tada¹, Kohei

 Urabe¹, Kazuyuki Torii¹, Tsutomu Ohtsuki², Shun Sekimoto² (1. Shimizu Co., 2. KURNS)

 10:40 AM 10:55 AM
- [1F02] Activation estimation for decommissioning of nuclear reactor

 *Takuma Noto¹, Norikazu Kinoshita¹, Kazuaki Kosako¹, Motoyuki Asada¹, Kohei Urabe¹, Kazuyuki
 Torii¹, Tsutomu Ohtsuki², Shun Sekimoto² (1. Shimizu Corporation, 2. KURNS)

 10:55 AM 11:10 AM
- [1F03] Sensitivity analysis on activation of reactor structural materials and radioactivity concentration in demolition wastes

 *Kouhei Igarashi¹, Daisuke Kwasaki¹, Satoshi Yanagihara¹ (1. University of Fukui)

 11:10 AM 11:25 AM
- [1F04] The effects of uncertainty of radionuclide concentration in clearance measurement on the exposure dose assessment *Minako Endou¹, Daisuke Kawasaki¹, Satoshi Yanagihara¹ (1. Univercity of Fukui) 11:25 AM - 11:40 AM
- [1F05] Scenario Analysis on Reusing Clearanced Materials from Nuclear Decommissioning

*kosuke yamamoto¹, Daisuke Kawasaki¹, Satoshi Yanagihara¹ (1. University of fukui) 11:40 AM - 11:55 AM 1F01 2018年秋の大会

廃止措置時の放射化放射能量評価 (1) コンクリートの放射化元素分析

Activation Estimation for Decommissioning of Nuclear Reactor

(1) Analyses of Activation Element in Concrete

*木下 哲一¹, 能任 琢真¹, 小迫 和明¹, 浅田 素之¹, 多田 茜¹, 卜部 光平¹, 鳥居 和敬¹, 大槻 勤², 関本 俊² ¹清水建設, ²京都大学複合原子力科学研究所

コンクリートの構成材料である複数の骨材とセメントの化学成分分析を行い、分析方法や材料に由来する 元素濃度差異の違いがもたらす放射化量推定への影響について検討した。

キーワード: コンクリート, 骨材, セメント, 微量元素分析, 化学処理, 廃炉

1. 緒言

原子力発電所廃止措置において生体遮蔽コンクリートなどに蓄積した放射化放射能量を正確に推定することにより、L1~L3 およびクリアランス物に分類される各レベルの廃棄物量を正確に見積もることができる。各対象部位における放射化の計算精度は、分析に由来する元素濃度と輸送計算に由来する中性子スペクトルに主に依存する。本研究では、コンクリートの構成素材である複数の骨材とセメントの成分分析を行い、分析方法や材料に由来する元素濃度の違いがもたらす放射化量推定への影響について検討した。

2. 実験方法

主に西日本の採石場 10 か所から 10 kg 程度の骨材を入手し、ロールミルおよびジェットミルを用いて試料を粉砕・撹拌した。この骨材と地球化学標準物質 JG-3 および、異なる工場で製造された普通ポルトランドセメント 3 種類とフライアッシュセメント 1 種類について放射化分析および湿式化学処理を行い、目的元素の分析を行った。非破壊分析は①中性子放射化分析を用いた。湿式化学処理では、②アルカリ溶融+酸溶解、③フッ酸分解+過塩素酸処理、④フッ酸分解+ホウ酸マスクの手法により前処理し、ICP-MS を用いて目的元素の分析を行った。

3. 結果

標準岩石 JG-3 に含まれる Fe、Co、Cs、Euを 4 種類の手法により分析して得られた公称値に対する分析値の比を図 1 に示す。放射化分析と②の前処理法は、骨材中の元素は公称値に近い分析値が得られたが、フッ酸分解を行うと公称値の半分以下の値を示した元素もあった。一方、セメント試料は放射化分析と同程度の分析値が出る傾向が強かった。採石場の違いによる骨材中の元素組成の違い、製造工場の違いによるセメント中の元素組成の違い、これらの元素組成がもたらす放射化量への影響について紹介する。

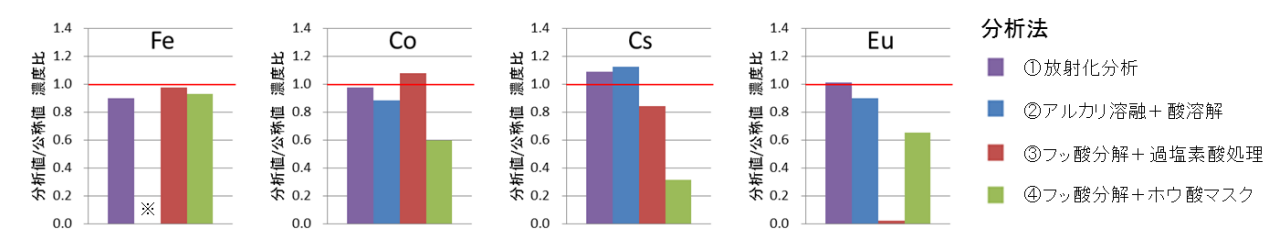


図1 標準岩石 JG-3 より分析された Fe、Co、Cs、Eu の分析値/公称値。※は分析していない。

^{*}N. Kinoshita¹, T. Noto¹, K. Kosako¹, M. Asada¹, A. Tada¹, K. Urabe¹, K. Torii¹, T. Ohtsuki², S. Sekimoto²
¹Shimizu Co., ²KURNS

廃止措置時の放射化放射能量評価 (2) モンテカルロ計算を用いた放射化精度検証

Activation estimation for decommissioning of nuclear reactor

(2) Precision of activation using Monte Carlo simulation

*能任 琢真 ¹, 木下 哲一 ¹, 小迫 和明 ¹, 浅田 素之 ¹, 卜部 光平 ¹, 鳥居 和敬 ¹, 大槻 勤 ², 関本 俊 ²

1清水建設,2京都大学複合原子力科学研究所

原子力発電所廃止措置時の生体遮蔽等の放射化量を正確に推定するために、計算精度に由来する放射化量 評価への影響を検討した。京都大学研究用実験炉(KUR)(以下京大炉とする)で標準試料の中性子照射を 行い、生成放射能を測定すると共に、モンテカルロ計算を実施し得られる生成放射能との比較を行った。

キーワード:廃止措置,放射化,標準試料,シミュレーション

1. 緒言

原子力発電所の廃止措置において、放射性廃棄物の適切な処分には、生体遮蔽等のコンクリートの放射 化量の状況を適正に評価することが重要である。本研究は、京大炉で行った標準試料の放射化実験の結果 と、モンテカルロ計算と放射化計算により得られた放射化量の計算値を比較し、計算精度の評価を行った。

2. 実験及びシミュレーション

京大炉の 1MW 運転中に、標準溶液から作った標準試料を炉心内に輸送し、中性子照射を行った。標準試料中の元素は Mn, Fe, Co, Ga, As, Cu, Eu, Sb, Ir, Au であり、輸送管 Pn-2 にて 4 時間照射を行った。試料は冷却後に HPGe 半導体検出器により放射化放射能を測定し、照射直後の比放射能(Bq/g)を求めた。

MCNP5を使用したモンテカルロ計算により、 照射時の燃料配置を正確に表現し、Pn-2内の詳細な中性子スペクトルの計算を行った。このスペクトルを用いて、ORIGEN-S (SCALE6.2)により照射直後の比放射能を計算した。4時間照射で得られた実験値と計算値を比較した結果を図1に示す。計算結果は実験値と約10%以内で一致した。

3. 結論

運転条件から計算した中性子スペクトルを用いた放射化計算により、標準試料に対する放射化量は約 10%の計算精度であることがわかっ

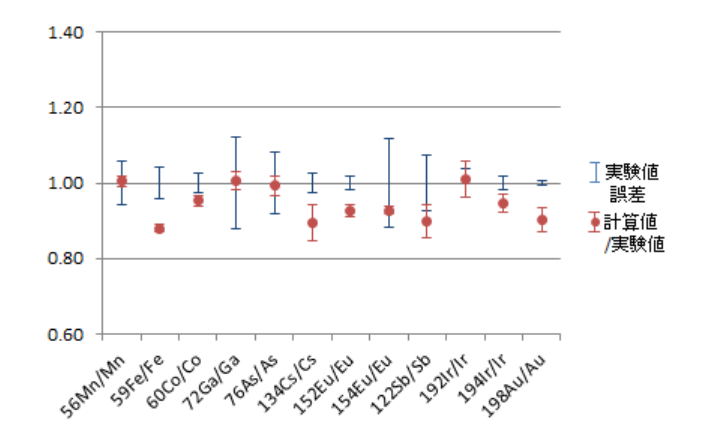


図 1 Pn-2 における比放射能の計算値と実験値の比較

た。今後、実際のコンクリート試料における放射化計算精度の検証を進めてゆく。

^{*}Takuma Noto¹, Norikazu Kinoshita¹, Kazuaki Kosako¹, Motoyuki Asada¹, Kohei Urabe¹, Kazuyuki Torii¹, Tsutomu Ohtsuki² and Shun Sekimoto²

¹Shimizu Corporation, ²KURNS

1F03 2018年秋の大会

原子炉構造物の放射化特性及び解体廃棄物の放射能濃度に係る感度分析

Sensitivity analysis on activation of reactor structural materials and radioactivity concentration in demolition wastes

*五十嵐 康平, 川崎 大介, 柳原 敏

福井大学

廃止措置を実施する際に発生する放射化廃棄物の特性評価をした。具体的には、中性子輸送と放射化のシミュレーションを計算した。その際生体遮蔽体に用いられるコンクリートの組成の不確実性に注目した。 キーワード: 放射化計算,廃止措置,解体廃棄物,放射能濃度,感度分析

1. 緒言

原子炉施設の解体においては多量の廃棄物が発生するが、解体廃棄物の放射能濃度を事前に把握することは廃止措置計画の立案において重要である。解体対象物中の放射性核種の濃度はその材料組成や原子炉の運転履歴等に依存するが、種々の不確実性・不確定性が含まれる[1]。本研究では、生体遮蔽体の放射化放射能に着目し、材料組成や運転履歴等の個々の不確実性要因に対する放射能濃度の感度分析を行った。

2. 解析条件

1100MW 級 BWR の生体遮蔽体内側表面における中性子束をもとに、生体遮蔽体内の中性子輸送計算および放射化計算を行った。軽水炉を簡略化した図1のようなジオメトリを設定した。生体遮蔽体内側表面に中性子源を配置し、生体遮蔽体に入射する中性子を模擬した。生体遮蔽体内側には簡略化のためステンレス鋼と水のみを配置した。中性子束の計算には粒子輸送計算コード PHITS を、放射化の計算には D-CHAIN を使用し、コンクリート内の放射性核種濃度の半径方向の分布を算出した。コンクリート中に存在する Eu-152の親核種の濃度は 2.88E-8[g/cc]とした。1Mev の高速中性子、0.025ev の熱中性子をそれぞれ照射させた。

3. 結果

40年間運転した原子炉における生体遮蔽体内の Eu-152 濃度分布を計算結果の例として図 2 に示す。青線は 0.025eV の熱中性子源を生体遮蔽体内側表面に配置した場合の放射能濃度分布を示し、橙線は 1MeV の高速中性子を同様に配置した場合の放射能濃度分布を示す。各々の中性子源の強度は 1100MW 級 BWR の熱中性子東・高速中性子東の値[1]をもとに設定した。生体遮蔽体表面に入射する高速中性子、熱中性子の Eu152 濃度への寄与を比較するとその殆どが高速中性子の入射に起因することが確認された。内側と外側で約 4

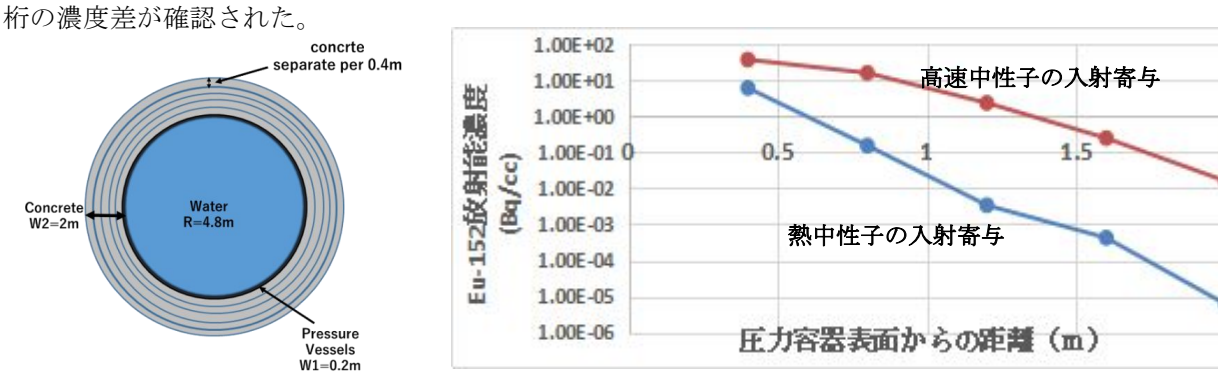


図1 計算に用いたジオメトリ (断面)

図 2 原子炉停止時の放射能濃度空間分布

参考文献: [1]J.C. Evans et al Pacific Northwest Laboratory NUREG_CR-3474_Long-lived Activation Products in reactor Materials

^{*}Kouhei Igarashii'Daisuke Kawasaki'and Satoshi Yanagihara.'

^{&#}x27;University of FUKUI.

1F04 2018年秋の大会

クリアランス検認時の放射性核種濃度の不確実性が被ばく線量評価に及ぼす影響

The effects of uncertainty of radionuclide concentration

in clearance measurement on the exposure dose assessment

*遠藤 美奈子¹, 川崎 大介¹, 柳原 敏¹

1福井大学

合理的なクリアランス検認の手法を確立するために、クリアランス検認時の放射性核種濃度測定における測定結果の不確実性が、クリアランスレベル設定時に用いられた被ばく線量率の計算モデルによって得られた被ばく線量率の不確実性に及ぼす影響を分析した。

キーワード: クリアランス検認、濃度測定、不確実性

1. はじめに

原子力施設で発生するクリアランス対象物の検認を行う際の放射性核種濃度測定においては、測定 手法の特性や対象物中の放射性核種濃度の空間的不均一性などに起因して種々の不確実性が生じる。 対してクリアランスレベル設定に用いられた被ばく線量評価においては、放射能濃度は均一化される と仮定されている[2]。本研究では、核種濃度の不均一性など、クリアランス検認時の濃度測定の不確 実性を、クリアランスレベル設定に用いられた被ばく線量評価モデルに取り込むことによって、これ らの不確実性が被ばく線量評価に及ぼす影響を分析した。

2. 解析方法

クリアランス対象物の埋設処分における 41 経路及び再使用・再利用における 32 経路の評価対象となっているシナリオについて放射能濃度の影響が大きいと考えられるものを評価した。その一例として、地下水移行シナリオにおける井戸水飲用による被ばく評価の模式図を図に示す。処分施設中の放射性核種濃度はクリアランス廃棄物と非放射性廃棄物の混合割合などから算出され、従来は均一な濃度として扱われていた。本研究ではこの濃度に空間分布があるものとして、処分施設直下の帯水層への核種の漏出率が位置に依存する被ばく線量評価モデルを作成した。このモデルでは帯水層では地下水の流れに沿って移流・分散してゆき、下流側にある井戸水を飲用することにより被ばくする。尚、被ばく線量評価におけるパラメータ設定は原子力安全委員会及び放射線安全規制委員会[1][3]での設定を用いた。

3. まとめ

上記のモデルにおいて処分施設中の放射性核種が異なる濃度分布を持つ場合を想定して、それに基づく被ばく線量算出結果の比較を行い、その結果から均一濃度の仮定が適用できる条件を抽出する予定である。

参考文献

[1]大越実(1999) 「主な原子炉施設におけるクリアランスレベルの導出方法」,『保健物理』34(4),353~358 [2]原子力安全委員会 放射線廃棄物安全基準専門部会(1999)「主な原子炉施設におけるクリアランスレベルについて」 [3]放射線安全規制委員会 文部科学省 科学技術・学術政策局(2010)「放射線障害防止法に規定するクリアランスレベル について」

^{*}Minako Endou¹, Daisuke kawasaki² and Satoshi Yanagihara³ ¹University of Fukui,

1F05 2018年秋の大会

廃止措置で発生するクリアランス物の再利用に向けたシナリオの検討

原子力施設の廃止措置に伴い発生するクリアランス物の再利用に至るまでのシナリオの検討及び評価する ことで、今後の計画的な廃止措置の進展に資する。

キーワード:廃止措置,クリアランス,有価物,再利用,検認,再利用製品,処理

1. 緒言

クリアランス物は原子力施設の廃止措置で多種多量に発生するが、これまで再利用に供された実績は少ない。このため、解体撤去工事の進展に伴い、クリアランス物が発生しても施設内に長期的に留まる可能性が高く、原子力施設内の保管場所等の廃止措置計画の合理的な進行に影響を及ぼす懸念がある。本研究ではクリアランス物の発生から再利用に至るまでのシナリオを検討し、クリアランス物の有効利用の促進を図ることを目的にする。

2. 方法

原子力施設内で発生したクリアランス対象物の発生から再利用に至るまでに必要となる工程を抽出する。 また、再利用可能な製品ごとに工程の各段階において、選択可能な指標(パラメータ)を再利用の可能性検討 としてコスト等を評価し、クリアランス物の再利用可能性を総合的に分析する。図 1 に簡易的な工程と代 表的なパラメータ 中を示す。また、これらに加えて社会的受容性等も考慮してクリアランス物の発生から 再利用に至るまでのシナリオに対して、再利用製品ごとにその有効性を評価する。

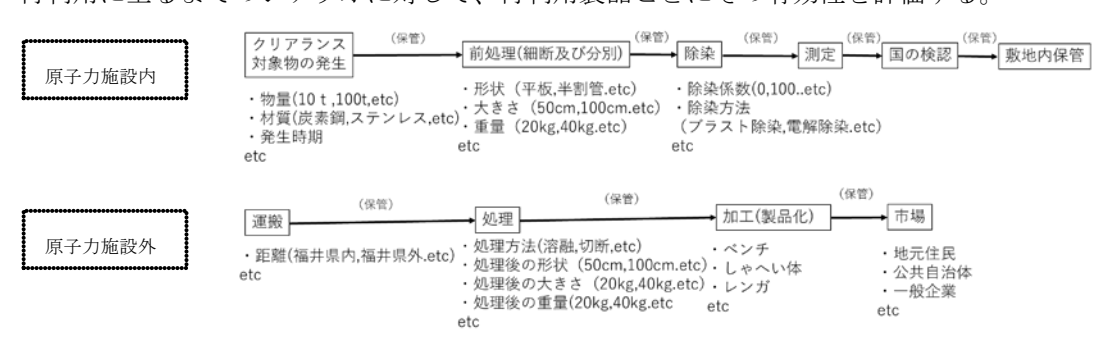


図 1. クリアランス対象物の発生から再利用に至るまでの過程

3. 結果および考察

再利用製品として、これまでに制作されたベンチ、しゃへい体、レンガなどに対する簡易評価の結果、 一般的に流通している同様の機能を有していたとしても、クリアランス物発生量の少なさ等が一因となる コスト面や、需要性のある製品を制作するに至っていないことが課題として考えられた。

4. まとめ

今後、現実的なクリアランス物の発生量等を入力として、廃止措置施設近隣の企業における技術的可能 性等も考慮して最適な再利用製品の正確に係るシナリオ評価を進める。

参考文献

[1] 「日本原子力学会標準 実用発電用原子炉施設等の廃止措置の計画」(2011年 原子力学会)

^{*}Kosuke Yamamoto¹, Satoshi Yanagihara¹ and Daisuke Kawasaki¹

¹Fukui Univ.

Oral presentation | V. Nuclear Fuel Cycle and Nuclear Materials | 505-3 Decommissioning Technology of Nuclear Facilities

[1F06-11] Analysis, Scinario Evaluation and System Development 2

Chair: Norikazu Kinoshita (Shimizu)

Wed. Sep 5, 2018 2:45 PM - 4:15 PM Room F (A36 - A Building)

[1F06] Evaluation of Project Management Parameters for Decommissioning of KARTINI Reactor

*Anggoro Septilarso¹, Daisuke Kawasaki¹, Satoshi Yanagihara¹ (1. University of Fukui) 2:45 PM - 3:00 PM

[1F07] A study on analysis of actual data in "Fugen" decommissioning

*Yuya Kouda¹ (1. Fugen Decommissioning Engineering Center) 3:00 PM - 3:15 PM

[1F08] Development of manpower estimation method for decommissioning activities

*Keisuke Komatsu¹, Daisuke Kawasaki¹, Satoshi Yanagihara¹ (1. University of Fukui) 3:15 PM - 3:30 PM

[1F09] Development of estimation methods for decommissioning work period and its uncertainty

*Ryota Sugimoto¹, Daisuke Kawasaki¹, Satoshi Yanagihara¹ (1. Fukui Univ.) 3:30 PM - 3:45 PM

[1F10] Development of Technology for Evaluating Waste Quantity Based on Automatic Generation of 3D Models by Cutting Equipment in Nuclear Power Plants

*Hiroshi Seki¹, Mitsuko Fukuda¹, Takuya Yoshida¹, Atsuko Enomoto¹, Mitsutaka Imamura², Hiroshi Nagase², Jyunya Tahata² (1. Hitachi, 2. Hitachi-GE Nuclear Energy)
3:45 PM - 4:00 PM

[1F11] Application of VRdose for the Decommissioning

*Yasuyoshi Taruta^{1,2}, Kawasaki Daisuke¹, Satoshi Yanagihara¹ (1. Fukui University, 2. JAEA) 4:00 PM - 4:15 PM 1F06 2018 Fall Meeting

Evaluation of Project Management Parameters for Decommissioning of KARTINI Reactor

*Anggoro Septilarso¹, Daisuke Kawasaki¹ and Satoshi Yanagihara¹

*University of Fukui.

A decommissioning activity of a KARTINI TRIGA Reactor was planned using systematic methodology tool, COSMARD. The advantages/disadvantages of multiple decommissioning scenarios were compared based on calculation of man-power needed and waste amount.

Keywords: TRIGA Reactor, COSMARD, Man-Power, Waste Amount, Decommissioning

1. Introduction

A study of scenarios for decommissioning are important to be done by considering project management parameters. In addition, a reliable estimation on project management parameters, such as waste amount generated, the required man-power, and radiation exposure of the decommissioning activities for each scenario will plays an important role in the decision making of selecting suitable scenario. These parameters are naturally site-specific based on facility type and involving numerous tasks and items, therefore should be estimated by using systematic methodology tool. The objective of the present study is to develop scenarios and select optimum one based on the calculation of project management parameters.

2. Methodology

First, we needed to develop scenarios considering such attributes, as the time frame, economy, procedure, and future use. Then we established the Work Breakdown Structure (WBS) for each possible scenarios. Next, we calculated the project management parameters for each scenario using COSMARD. Last, based on those parameters we compare the advantages/disadvantages of each scenarios. By applying this methodology, all parameters can be quantified and make it easier to be directly used in the decision making process.

3. Result and Discussion

By considering the site specific of the KARTINI TRIGA Reactor, we put the future use of the site as the top priority in the developing the scenario. Therefore, first we consider two fundamental scenarios; the overall dismantling (in which all reactor structures except the building are dismantled) to use the building for other nuclear purposes, and the partial dismantling (in which only the highly radioactive components are dismantled) to transform the remaining components and the building into a museum. We also consider other attributes, such as the time frame, economy, and procedure of the dismantling activities, in the scenario development. For the example of estimation of project management parameters, the calculation result shows that for the overall dismantling it will need 930.3 man-days with arising 707.4 tons of wastes. On the other side, the partial dismantling will need 423.6 man-days with arising 43.7 tons of wastes. This result shows that the overall dismantling can dismantle about 16 times larger amount of wastes with around twice as large manpower as the partial dismantling.

4. Conclusion

Two main scenarios considered in the study are overall dismantling and partial dismantling by considering some attributes. The project management parameters for each scenario are evaluated using systematic methodology tool, COSMARD, and the advantages/disadvantages of the scenario are compared each other.

References

[1] Yanagihara S, COSMARD: The Code System for Management of JPDR Decommissioning, Journal of Nuclear Science and Technology. 30(9), 890-899, 1993.

「ふげん」廃止措置における実績データの分析

A study on analysis of actual date in "FUGEN" decommissioning *香田 有哉 ¹,柳原 敏 ²

1日本原子力研究開発機構 新型転換炉原型炉ふげん,2福井大学

「ふげん」廃止措置工事において収集したプロジェクト管理データ(作業人工数、解体物量等)を整理 して JPDR 解体作業における実績データと比較する等の分析を行い、廃止措置費用評価等に用いるための 単位作業係数(単位重量当たりに要する作業人工数(人・時/トン))としてまとめた。

キーワード:ふげん、プロジェクト管理データ、廃止措置費用評価、単位作業係数

1. 緒言

我が国では、今後、廃止措置を進めることとなる原子力施設が増加することが予想されるが、その計画 立案にとって、これまでに実施された作業で得られた情報は有用となる。「ふげん」の廃止措置工事は平成 20 年から進められており、これまでに主要なタービン設備の解体撤去が完了した。そこで、これまでの実績から得られた作業人工数等のデータを整理・分析し、解体対象機器種別ごとに単位作業係数として整備 した。

2. データ収集及び分析

廃止措置作業は、準備作業、解体作業、後処理作業から構成されており、各々の作業に対して作業人工 数等のプロジェクト管理データを収集した。また、解体作業については、配管・弁、熱交換器、復水器、 架台等の機器種別ごとに作業人工数と解体物量の相関関係を評価した。

3. 結果及び考察

タービン設備は部分的に汚染があるものの放射能レベルは極めて低く作業員への被ばくはほとんどないことが、事前の測定で確認されたため、バンドソーやガス溶断機といった一般的な工法にて解体撤去を実施した。既に解体を完了した主要なタービン設備の解体撤去の結果を表—1 に、作業人工数と物量の相関関係を図-1に示す。「ふげん」における配管とサポートの解体に係る単位作業係数は37.4人・時/トンであり、JPDR 実績の31.9人・時/トンに比べ2割程度の差であった。一方で復水器や熱交換器等の大型機器では、JPDR 実績と比較して単位作業係数は2倍近く大きくなる傾向を確認した。

4. 結言

「ふげん」の廃止措置で得られた実績データから、解体作業における機器種別ごとに単位作業係数の分析を進めた。 今後、更にデータ拡充及び JPDR との比較等の分析を進めるとともに、大型発電炉の廃止措置作業計画への適用を考慮して体系的な整備を進める。

表-1 主なタービン設備解体の実績

機器種別	物量(ton)	作業人工数(人・時)
復水器	555.4	17,784.5
熱交換器	152.6	5,646.9
湿分分離器	44.9	1,238.4
配管等	383.1	16,670.5
合計	1,136.1	41,340.4

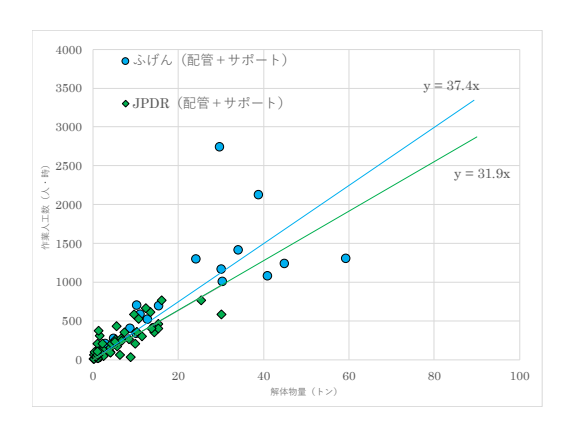


図-1 作業人工数と解体物量の相関関係

^{*}Yuya Koda¹ and Satoshi Yanagihara²

¹Japan Atomic Energy Agency Decommissioning Engineering Center. ²University of Fukui.

1F08 2018年秋の大会

廃止措置における作業人工数予測手法の開発 統計的学習による多様な実績情報の分析とモデル化

Development of manpower estimation method for decommissioning activities

Analysis and modeling of various records by statistical learning

*小松 啓祐 ¹、川崎 大介 ¹、柳原 敏 ¹

¹福井大学

JPDR の実績データの分析を行い、各機器、各作業条件ごとの人工数をもとに、廃止措置作業の人工数予測モデルの開発を行った。統計的学習を用いた実績情報の分析に基づき、作業人工数評価において重要となる作業特性項目を抽出した。

キーワード:廃止措置,人工数予測,統計的学習, JPDR

- **1. 緒言** 廃止措置における過去の実績を活用した作業人工数予測の手法の確立を目的とし、これまで 我々の研究室では人工数計算モデルの検討を進めてきた。従来の手法では、予め解体対象物の種類や作 業環境などの作業特性によって過去の実績データを区分し、特定の説明変数を設定して区分ごとに回帰 モデルを作成していた。本研究では、これらの作業特性のうちに基づき、作業人工数評価において重要 となる作業特性項目を抽出した。
- **2. 検討方法** 任意の解体作業の特性を、各要素の値が 1 または 0 のベクトル $\mathbf{x} = (x_1, x_2, ..., x_p)$ で表し、人工数を

$$f(\mathbf{x},m) = b_0 \cdot m \cdot \prod_{j=1}^p b_j^{x_j}$$

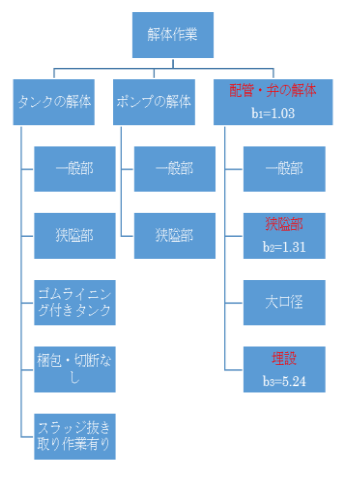


図 1 ポンプ,タンク,配管・弁の解体作業の作業特性

- **3. 結果** 一例として, $\alpha=0.05$ でラッソ回帰を適用した結果, $b_j \neq 1$ となった特性を図 1 において赤字で示す(図中の数字は b_j の値を表す). 白地の特性は b_j =1 であり,人工数予測の際に影響を及ぼさない特性である.この例では,タンクとポンプの解体作業は特性による区別なく,すべて同じ回帰式で人工数が表されることを示している.
- **4. 結論** ラッソ回帰を用いて、複数の作業特性から、人工数予測に重要な特性を抽出し、作業人工数 予測モデルを構築した.

[参考文献]

[1]白石 邦生 他 JPDR-Data/Code 98-010,JAERI,1998

[2]窪田 晋太郎 他 ふげん発電所の機器撤去に係る人工数評価式-3,JAEA,2014

^{*}Keisuke Komatsu¹, Daisuke Kawasaki¹ and Satoshi Yanagihara¹

¹University of Fukui

廃止措置工事に関する作業期間とその不確実性の見積もり手法の開発

Development of estimation methods for decommissioning work period and its uncertainty

*杉本 涼太 ¹、川崎 大介 ¹、柳原 敏 ¹

「福井大学

本研究の目的は、廃止措置に必要な作業期間を、不確実性とともに計算できるモデルを開発することである。まず、JPDR データ[1]を対象として統計分析を行い、分布つきで算出された人工数 (人・時)をその作業の期間(day)に変換する手法を検討した。これに基づき、人工数の不確実性が作業期間に及ぼす影響を検討した。

キーワード:廃止措置、人工数、統計分析、作業期間

1. **はじめに** 廃止措置プロジェクトを予定通り終了させるためには、必要な人工数や期間を、不確実性を含めて把握することが不可欠である。過去の研究[1]では JPDR の解体実績[2]を用いて在来工法が適用されるポンプやタンク等の切断・収納作業に要する人工数を、機器の重量を変数として見積もるモデルを作成した。本研究ではこの人工数に基づく作業日数の見積もり手法を作成し、人工数の不確実性が作業日数に及ぼす影響を検討した。

2. 作業日数の計算方法 JPDR の解体実績に基づき作 成された人工数モデル[1]を用いると、解体対象機器の重 量から、解体作業人工数の分布(期待値と標準偏差)を 得られる。この情報と投入される人員数から作業日数が 算出できる。予定された 1 日の作業にかかる実際の時間 は不確定であるため、JPDR データを参照し正規分布に従 うと仮定した。本検討ではランダムサンプリングによっ て作業時間を決定した。ただし、この作業時間が定めら れた上限を超過した場合は, 超過した割合だけ作業が次 の作業日に持ち越されると仮定した。予定された作業量 が完了するまでにかかった日数を作業日数として算出し た。モンテカルロ法を用いた多数のリアライゼーション により、各々の作業に必要な人工数の分布と1日の作業 時間の分布から、作業日数の分布を取得した。また、複 数の機器が存在する領域の作業日数は、個々の機器の解 体作業にかかる日数を積算し算出した。また1日あたり の作業時間の上限に対する作業日数の感度分析を行った。

3. 結果・考察 原子力施設の一部であるサービスフロア

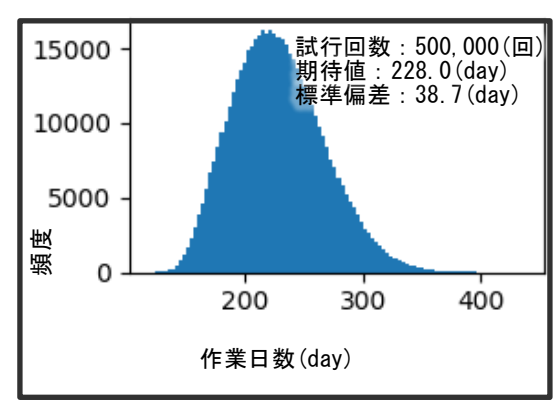


図 1: サービスフロアの作業日数のヒストグラム

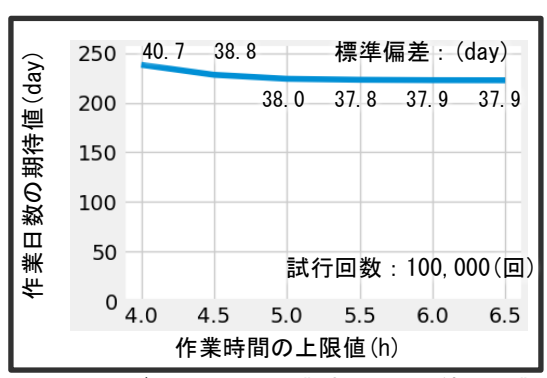


図 2: サービスフロアの作業時間の上限値と作業日数の期待値の関係

領域を対象にモンテカルロ法を適用し、領域の解体作業に必要な作業日数の分布を得た結果を図1に示す。 図2には、作業時間の上限値を徐々に大きくした場合の作業日数の変化を示した。上限値の増加と共に作業日数は減少したが、減少量は軽微であった。

4. まとめ 人工数と作業時間の不確実性を反映した作業日数の計算モデルを作成し、原子力施設の領域を対象に必要日数を見積もった。また、特定のパラメータを連続的に変化させた際の応答特性を検討した。

参考文献

[1] 杉本涼太 日本原子力学会 2017 秋の大会 2D06. [2] 白石 他、 JAERI-Data/Code 98-010、 1998.

^{*}Sugimoto Ryota 1 Daisuke Kawasaki 1 and Satoshi Yanagihara 1 University of Fukui

原子カプラント機器切断 3D モデル自動生成に基づく廃棄物量評価技術の開発

Development of Technology for Evaluating Waste Quantity Based on Automatic Generation of 3D Models by Cutting Equipment in Nuclear Power Plants

*関 洋¹,福田 光子¹,吉田 卓弥¹,榎本 敦子¹,今村 光孝²,長瀬 博²,田畑 潤也²
¹日立研開,²日立GE

大型機器の 3D モデルに対して、仮想切断面を廃棄物収納容器に格納できる寸法で配置することで、切断片の 3D モデルを自動的に生成する技術を開発した。今回開発した手法と、開発済みの 3D CAD システムのプラグインソフトウェアとの連携により、機器切断片を収納するのに必要な容器の個数を効率的に算定できる見通しを得た。

キーワード: 廃止措置, 放射性廃棄物, 3D CAD, 廃棄物量, 被曝量評価

1. はじめに

原子力プラントの廃止措置計画を支援するシミュレーション技術として、配管・機器の切断片を廃棄物収納容器に収納可能とする寸法、質量、放射能濃度の制限を満たす機器の切断形状を自動的に計算する手法を開発した。

2. 機器切断 3D モデル自動生成機能

廃止措置対象プラントの大型機器の切断片について,据え付け 位置から廃棄物収納容器に格納され,保管されるまでの残留放射 能量の管理や,解体作業時の被曝量計算を実現するため,以下の特 徴を持つ機能を開発した(図 1)。

- ① 仮想切断平面の配置: 大型機器の長手方向の軸に等間隔の寸法と, 軸に直行する水平面に等角度で仮想切断面を設定。
- ② 切断寸法の最適化:容器収納の寸法制限,放射能濃度,質量制限の条件が満たされるまで切断寸法を縮小。
- ③ 切断順序の決定と空間線量率の計算:切断順序と搬出条件で変化する被曝量を計算するため,切断過程における機器内面が開放された状態での空間線量率を計算。

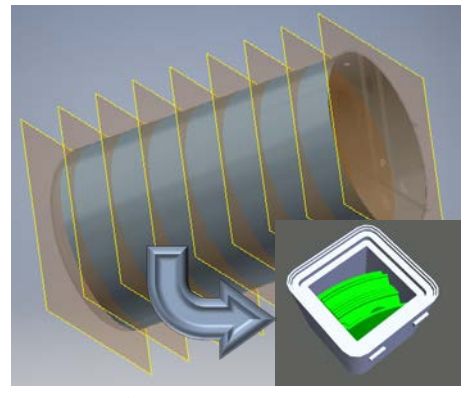


図 1 仮想切断面の配置による機器 3D 部品切断に基づく廃棄物モデル生成

3. 結果·考察

上記手法に基づき, 3D CAD システムのプラグイン・ソフトウェアとして,内部構造を有する3種類の大型機器(熱交換器,ポンプ,タンク)の自動切断シミュレーションに関わるプロトタイプシステムを構築した。本システムにより,機器の切断長,容器に収納する切断片の数,必要な廃棄物収納容器の個数,廃棄物の質量と含有される残留放射能の量,切断作業に関わる被曝量を一括計算する機能の動作を確認した。これにより,安全かつ経済的な廃止措置作業を実施するための基盤の提供を目指す。

^{*}Hiroshi Seki¹, Mitsuko Fukuda¹, Takuya Yoshida¹, Atsuko Enomoto¹, Mitsutaka Imamura², Hiroshi Nagase² and Jyunya Tahata²

¹Hitachi, ²Hitachi-GE Nuclear Energy

1F11 2018年秋の大会

廃止措置における三次元解体作業シミュレーションシステムの活用

Application of VRdose for the Decommissioning

*樽田 泰宜^{1,2},川崎 大介¹,柳原 敏¹ ¹福井大学,²日本原子力研究開発機構

抄録 廃止措置において解体シミュレーション(VRdose)の活用を検討すべく社会調査と分析を実施した. VR 導入には技術的なハードルがあるもののコミュニケーションツールとしての可能性を指摘した.

キーワード: 廃止措置, シミュレーション, VR, 知識マネジメント

1. 緒言

仮想現実(Virtual Reality: VR)は 1990 年代後半から様々な分野で注目を集めており、エンターテインメント業界だけでなく医療等の多方面でも活用されている技術である。原子力の世界では、設計前の詳細検討や共有、作業訓練、保守管理などでの研究事例[1]がいくつかある。また、ノルウェーのエネルギー技術研究所では解体シミュレーションソフト(VRdose)[2]が開発されている。これは、3D-CADデータを基に、解体シミュレーション(3D動画の作業アニメーション)と、放射線量を可視化するソフトである。廃止措置分野では、安全を前提とした既存技術の組み合わせや応用に注力されることが多くあるが、本研究では廃止措置において他分野の技術導入による影響や課題を射程に、VR技術の導入がどのように貢献しうるのかを明らかにすることを目的とする。

2. 研究内容

研究では主に先行研究調査, 現場観察, ヒアリングを実施する. 先行研究調査では, 分野を問わず従来作業や業務が VR に置き換わった事例を調査する. 現場観察と調査では, 廃止措置中の「ATR ふげん」を対象に, 解体作業計画の立案から実施に至る作業手順の抽出を行う. さらに, VRdose の特性調査と VRdose を用いた解体作業のシミュレートを実施する. シミュレーション結果については, 実際の作業員へのアンケート調査から理解度, 業務への貢献度, 導入意向などの観点から評価を行う.

3. 結果と考察

VRdose の特性調査を実施した結果、机上検討や他者と計画を共有できる利点はあるが 3D-CAD データの準備と加工、ソフトウェアの習熟、放射線物理の専門知識などが必要であることが分かった。聞き取りからは、VRdose 導入には従前方法を大きく越える利点の必要性が指摘された。さらにシミュレートに対しては現場の詳細な再現性よりも作業イメージを把握することが有効であるとの結果も得られた。これは、VRが従前作業の置き換えではなく、従前方法も含めた業務の補助ツールとしての有用性を示唆するものである。つまり、計画立案者、作業員、放射線管理者をつなぐ共通のコミュニケーションツールという位置付けである。コミュニケーションツールとして活用するには知識マネジメントの観点から異なるプロジェクト従事者が有する知識の明示化や合意形成の促進させるための方策を検討することが重要である。

参考文献

- [1] 吉川榮和他, 1996, 人工現実感(バーチャルリアリティ)の原子力工学への適用, 日本原子力学会誌, 38 9, 737-745
- [2] Iguchi, Y., et al, 2004, Development of Decommissioning Engineering Support System (DEXUS) of the Fugen Nuclear Power Station. Journal of nuclear science and technology, 41, 3, 367-375

^{*}Yasuyoshi Taruta^{1, 2}, Daisuke Kawasaki¹ and Satoshi Yanagihara¹

¹University of Fukui, ²Japan Atomic Energy Agency.

Oral presentation | V. Nuclear Fuel Cycle and Nuclear Materials | 505-3 Decommissioning Technology of Nuclear Facilities

[1F12-16] Development for Fuel Debris Treatment

Chair:Daisuke Kawasaki(Fukui Univ.)

Wed. Sep 5, 2018 4:15 PM - 5:30 PM Room F (A36 - A Building)

[1F12] Stady on elemental analysis method of fuel debris in Fukushima Daiichi Nuclear Power Station

*Hiroshi Hinai¹, Nobufumi Toda¹, Atsuhiro Shibata¹, Kazunori Nomura¹ (1. Japan Atomic Energy Agency)

4:15 PM - 4:30 PM

[1F13] Study on physical mechanism in aging phenomenon of fuel debris

*Seiya Suzuki¹, Kimihiko Yano¹, Masayuki Watanabe¹, Kenji koizumi¹ (1. Japan Atomic Energy Agency)

4:30 PM - 4:45 PM

[1F14] Study to evaluate leaching mass of elements from damaged fuels

*Hirotomo Ikeuchi¹, Kimihiko Yano¹, Masayuki Watanabe¹, Kenji Koizumi¹ (1. JAEA)

4:45 PM - 5:00 PM

[1F15] The specification of storage container for fuel debris

*Makito Watakabe¹, Haruo Morishige¹, Yosuke Yamashiki^{1,2} (1. Fukushima Nuclear Accident Countermeasures Review Group, 2. Kyoto Univ.)

5:00 PM - 5:15 PM

[1F16] Frozen the water vapor contained in the outside air which is transmitted to the cracks and blocked the containment vessel

*Yasufumi Kitamura¹, Haruo Morishige¹, Yosuke Yamashiki^{1,2} (1. Fukushima Nuclear Accident Countermeasures Review Group, 2. Kyoto Univ.)

5:15 PM - 5:30 PM

福島第一原子力発電所の燃料デブリの元素分析方法の検討

Study on elemental analysis method of fuel debris of Fukushima Daiichi Nuclear Power Station

*比内 浩 1,2, 戸田 暢史 1,2, 柴田 淳広 1,2, 野村 和則 1,2

¹日本原子力研究開発機構,²国際廃炉研究開発機構 IRID

福島第一原子力発電所(1F)の燃料デブリの構成元素を精度よく分析するためには、前処理として定量性が確保された溶解法が必要である。本検討では、難溶解性である燃料デブリの前処理として、燃料デブリで想定されている各種物質について、アルカリ融解法の融解条件等の適応性評価を実施した。また、汎用的な ICP-AES による金属元素の定量分析法では、主成分元素の干渉影響を調べた。結果として、燃料デブリ試料の元素分析について見通しが得られた。

キーワード:福島第一原子力発電所、燃料デブリ、元素分析

1. 緒言

1F の事故により燃料、被覆管及び炉内構造物が溶融固化した燃料デブリが生成している。今後、原子炉内部から採取されるこれらの燃料デブリの構成元素を精密に分析するためには、試料の破壊分析が必要であるが、スリーマイル島原子力発電所(TMI)等における知見から加熱強酸に対して難溶解性と推定され、前処理として定量性が確保された溶解法が必要である。そこでより強い分解力を期待できるアルカリ融解法について融解条件の最適化、及び燃料デブリで想定されている各種物質への適応性を検討した。また、アルカリ融解法により溶液化した試料中に含まれる金属元素に対する汎用的なICP-AESによる定量分析法について、課題摘出とその解決策の検討を行った。

2. 実験方法

融剤として過酸化ナトリウムを使用し、融解条件として試料粒径、融剤比、及び加熱温度をパラメータとした融解試験を実施した。また、表に示す物質な対象による。また、表に示す物質な対象による。

を対象として、融解法の適応性を調べた。ICP-AES による元素分析では燃料デブリの主成分元素(Al, B, Ca, Cr, Fe, Gd, K, Mg, Ni, Si, Zr, U, Pu)の相互干渉の影響を調べた。

表 対象物質

試験対象物質	全量融解の 時間(min)				
酸化物					
ZrO₂	15				
SiO ₂	15				
Al_2O_3	15				
Cr₂O₃	15				
Fe ₃ O ₄	15				
ZrSiO ₄	15				
(U,Zr)O ₂	30				
(U,Pu,Zr)O₂	30				
金属					
ジルカロイ2	30				
Zr(O)	15				
SUS316	60				
Fe₂Zr	15				
ホウ化物等					
B₄C	15				
ZrB ₂	15				
Fe₂B	15				
混合物					
ZrO ₂ + SUS316	15				
(U,Pu,Zr)O ₂ + SUS316	30				

試料量:50~100mg

3. 結果

燃料デブリで想定されている各種物質について、アルカリ融解法により表に示す時間にて溶解可能であることを確認した。このうち B_4C については、融解加熱時に反応が激しいため、段階的に昇温する必要があることがわかった。また、U 及び Pu を含む物質を対象に本操作を遮蔽セル内で行うことにより、遠隔操作で実施可能であることを確認した。

ICP-AES 測定の干渉評価では、定量分析に適し、分光干渉等の影響がより少ない分析線を調べた。その結果、Si や Pu ではすべての分析線で図に示すような U による干渉影響が認められた。この問題を解決するため、U 濃度による補正を検討し、適切に

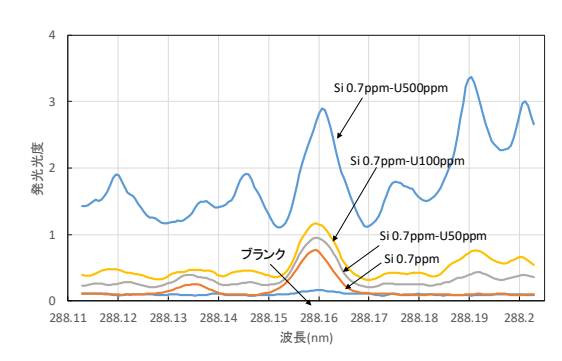


図 ICP-AES プロファイル (一例)

導出した補正式によりこれら元素の定量が可能であることを見出した。

これらの結果により燃料デブリ試料の元素分析について見通しが得られた。

※本件は、経済産業省/平成 26 年度補正予算「廃炉・汚染水対策事業費補助金(燃料デブリ性状把握)」及び平成 28 年度補正予算「廃炉・汚染水対策事業費補助金(燃料デブリの性状把握・分析技術の開発)」に係る補助事業の成果の一部である。

^{*}Hiroshi Hinai^{1,2}, Nobufumi Toda^{1,2}, Atsuhiro Shibata^{1,2}, and Kazunori Nomura^{1,2}

¹Japan Atomic Energy Agency, ²International Research Institute for Nuclear Decommissioning

燃料デブリの経年変化における物理学的メカニズムに関する研究

(1) 周期的な温度変動による総クラック長さの変化

Study on physical mechanism in aging phenomenon of fuel debris (1) Transition of total crack length by cyclic temperature fluctuation

*鈴木 誠矢」,矢野 公彦」,渡部 雅之」,小泉 健治」

温度変動による燃料デブリの経年変化挙動を評価するため、熱膨張率および破壊じん性により代替物質を選定し、周期的な温度変動下でのクラック長さの変化を評価した。実際の燃料デブリが受けるとされる環境よりも過酷な温度変動条件ではあるものの、温度変動の影響により単位面積当たりの総クラック長さが増加することを確認した。

キーワード:燃料デブリ,経年変化,物理学的メカニズム,クラック,温度変化,風化

1. 緒言

福島第一原子力発電所(以下、「1F」という。)における燃料デブリの取り出し開始は2021年度以降と想定されており、取り出しにも相応の時間を要すると考えられる。また、取り出した燃料デブリは長期間保管される可能性もある。このような長期にわたる1F廃止措置におけるリスクを検討する場合、燃料デブリ性状の経年変化を適切に予測することが重要である。燃料デブリの主成分の多くは酸化物であるため、経年変化のメカニズムとして、気温変化に伴う物質間の熱膨張率の違いによる岩石中でのクラックの発生・伝播により破壊に至る、岩石の風化[1,2]と同様のメカニズムで、燃料デブリの微粉化が進む可能性が考えられる。しかし、燃料デブリの経年変化に対する気温変化の影響度など、物理学的メカニズムの影響度を定量的に評価するような既存の知見はない。そこで本報では、その影響度の定量的評価の一環として、酸化物-金属の溶融固化体試料に周期的な温度変動(以下、「熱サイクル」という。)を加え、酸化物の総クラック長さの変化を測定した。

2. 実験

燃料デブリの代替として使用する材料は前述の物理学的メカニズムの影響の観点から、熱膨張率とクラックの進展しやすさを表す破壊じん性の値により選定した。酸化物については、熱膨張率および破壊じん性の値が UO_2 に近い Y_2O_3 を、金属は実際に炉内にあると考えられるステンレス鋼を選定し、酸化物を溶融金属で覆った酸化物-金属の溶融固化体試料を用いた。

長期保管される燃料デブリが影響を受けると考えられる数十年間の気候変動および自己発熱を考慮し、溶融固化体試料に対して電気炉で基準温度を中心に ± 25 $^{\circ}$ $^{\circ}$ 0 熱サイクルを与えることでクラックの発生・伝播を促した。これらを樹脂包埋した上で、切断・研磨処理を施して、断面の総クラック長さを測定した。総クラック長さの測定は、レーザー顕微鏡により得られた Y_2O_3 部の画像に対して、モノクロ画像化、エッジ処理、2 値化処理、クラック以外の削除を施した後、画像処理ツールを用いてクラックを自動的に選別して長さを

計測した。 **3. 結果**

熱サイクルを与えた試料の単位面積当たりの総クラック長さの変化を図に示す。熱サイクル数の影響として、基準温度が 225 での場合、熱サイクル数が増えるにつれ Y_2O_3 内部のクラックが増加する傾向を確認した。一方、基準温度が 425 での場合は、熱サイクル数とクラックの長さに単純な増加傾向はなかった。これは、材料の温度差による機械的物性(破壊じん性、弾性率等)の違いが影響したものと考えられる。

このような知見を蓄積することにより、燃料デブリの経年変化に 対する温度変動の影響を定量的に評価することが可能になると考 えられる。今後は、溶出などの化学的メカニズムに影響を与える表 面積の変化についても検討を加えるとともに、ウランを含む材料で のデータ取得を行っていく予定である。

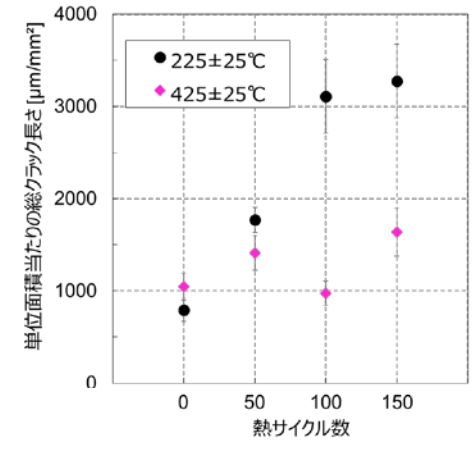


図 単位面積当たりの総クラック長さ (平均値)

参考文献

[1].BLAND, Will J.; ROLLS, David. Weathering: an introduction to the scientific principles. Routledge, 2016. [2].KIMIYA, Kazukuni. Rock Weathering from a Geologial Standpoint. Journal of the Japan Society of Engineering Geology, 1991, 32.3: 120-129.

^{*}Seiya SUZUKI¹, Kimihiko YANO¹, Masayuki WATANABE¹, Kenji KOIZUMI¹. ¹Japan Atomic Energy Agency

損傷燃料の溶出量評価手法の構築に向けた研究 (1)複数の相からなるステンレス鋼-ジルカロイ溶融固化物の元素溶出挙動

Study to evaluate leaching mass of elements from damaged fuels

(1)Leaching behavior of multiphase molten debris in the system of stainless steel and zircaloy

*池内 宏知 ¹, 矢野 公彦 ¹, 渡部 雅之 ¹, 小泉 健治 ¹

『原子力機構

複数の相からなる燃料デブリからの溶出挙動の評価手法検討の一環として、2 相を含むステンレス鋼-ジルカロイ溶融固化物からの各元素の溶出量を評価した。その結果、金属デブリについては、多相からの元素

溶出量が、多相を構成する単相からの溶出量および各相の面積比を用いて評価可能との見通しを得た。

キーワード:燃料デブリ,経年変化,溶出,複合相,ステンレス鋼-ジルカロイ合金

1. 緒言

過酷事故により生成した燃料デブリは、取り出しまで水により冷却されるため、含まれる元素が冷却水中へ溶出する可能性がある。また、その保管においては、同伴する水分に元素が溶出する可能性がある。固体側のインベントリ変化を予測する上では、燃料デブリからの元素溶出量を評価する必要があるが、燃料デブリは核燃料(UO₂)とジルカロイ(Zry)やステンレス鋼(SS)との高温反応により複数の相が混在しており、ガラス固化体等の比較的均一な固体の溶出量評価とは異なるアプローチが必要と考えられる。本報告では、複数の相を有する SS-Zry 系合金からの元素溶出量を静的浸漬試験により評価し、多相系での元素溶出量の評価方針について検討を行った。

2. 方法

チャンネルボックス(Zry)と制御棒ブレード(SS)との反応に由来する金属質のデブリを想定し、Zrと SSを原料とした複合相試料をアーク溶解法により作製した。当該試料は、主に(Fe,Cr) $_2Zr$ と (Fe,Ni) Zr_2 の二相に分かれている(図 1)。また、各相からの元素溶出量の寄与を評価するため、これら二相の単相試料を作製した。複合相試料および単相試料について、燃料デブリのおかれる環境を想定し、コンクリート平衡液($pH \sim 12.3$)中に浸漬させ、総浸漬期間中の合金成分元素(Fe,Cr,Ni,Zr,Ru)の溶出量を ICP-AESまたは ICP-MS による元素濃度測定から評価した。

3. 結果および考察

複合相試料からは、合金成分元素のうち Ni が優先的に溶出する傾向が認められたことから、Ni の溶出量に着目して検討した。複合相試料からの Ni の溶出量は、単相試料である(Fe,Ni) Zr_2 からの Ni の溶出量と、複合相中の(Fe,Ni) Zr_2 が占める面積比から評価される溶出量と、エラーバーの範囲で整合した(図 2)。

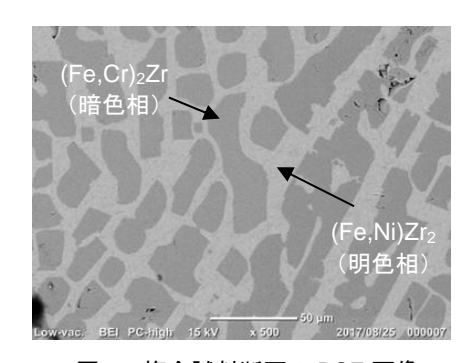


図1 複合試料断面の BSE 画像

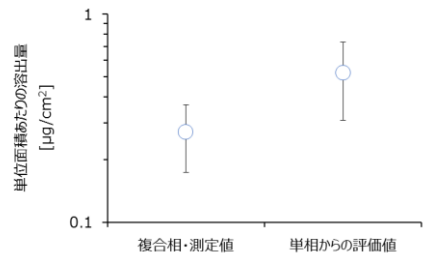


図2 Niの溶出量の比較の一例

このことから、複数の相をもつ金属デブリからの元素溶出量については、それを構成する単相試料の溶出量データと各相の面積比を用いることでおおまかな評価が可能である見通しを得た。今後、酸化物について主要なデブリである UO₂-Zry 系について、同様の検証が必要である。

^{*}Hirotomo Ikeuchi¹, Kimihiko Yano¹, Masayuki Watanabe¹ and Kenji Koizumi¹

¹JAEA

燃料デブリ用保管容器の仕様について

The specification of storage container for fuel debris

*渡壁牧人¹,森重晴雄¹,山敷庸亮^{1,2}
¹福島事故対策検討会,²京都大学

燃料デブリを対象とした保管容器は原状の研究を見る範囲では暫定的であり、燃料デブリ回収後、入れ替えを必要とする。今回長期保管を見据えた保管容器の考え方を整理しその考え方を提示した。

キーワード:燃料デブリ、保管容器、真空蒸着、シームレス

1. 緒言

前回の大会でアイス工法の燃料デブリを保管容器に収納に至るまでの方法を述べた。今回は保管容器のメンテナンスを出来るだけ長期にわたりフリーに近づける方策を検討した。期間も100年以上を見据える必要がある。無蓋化、溶接レス、大容量保存などについて提案する。

2.無蓋化

いままでの保管容器は当たり前のように蓋が存在する。蓋があれば必ず気密性を確保する為に蓋のフランジ溝に樹脂製のリングや金属製のガスケットが使用される。リングもガスケットはその弾性範囲内で気密性を確保しており、その復元力がなくなれば長期にわたり蓋のボルトを締め付けているとこの復元力は次第に失われガスケットと蓋のフランジに微細な隙間が漏洩してしまう。従って通常どの保管容器もシールの取替に最長でも10年1度は必要である。蓋はボルト締め付けを止め冷やし篏合とする構造とする。燃料デブリは粉体輸送し、バルブの開閉で締め切りを行う。従って無蓋化を提案する。

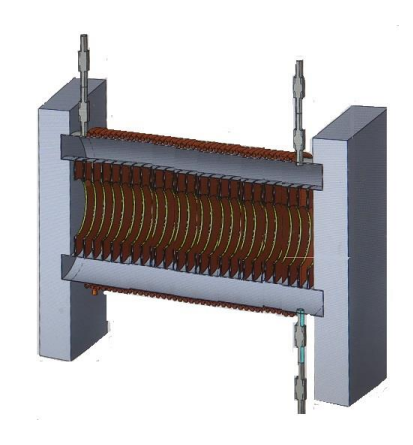


図-1 保管容器イメージ

3.溶接レス

溶接するとどの溶接部も残留応力が残り、やがて歪からひび割れへと発展する。また溶接部は高温で処理されていることから、そこを起点として腐食に至りやすい。溶接は基本的になくし、これも篏合方式を提案する。

4.多層巻き

燃料デブリを保管するためには遮蔽が重要である。最も高い線量にたいしては 10^{-10} 程度の低減効果は必要と考える。構内の輸送規準を満たす為にも表面から 1 m離れとところで 0.1 mSv/h 以下は必要と考える。輸送時に遮蔽用の外箱を用意する方法もあるが、一瞬でもその隙間を抜ける線量を通過すれば致死線量となることから一時的な措置は危険である。鋼材を用いても 50 c m程度の厚さが必要となる。現状の施工技術では圧延材料にしても鋳物にしても製作は困難である。将来的にたとえ可能であっても経済的に高価となる。したがって多層巻きを提案する。金属の腐食は一点か集中して進む腐食が多い。例えばチタンの 1 mmのロール材にカーボン材料を織り込んだ保管容器も腐食遅延の効果があると考える。

5.容量

現状 1 個あたり数 $100 \, \mathrm{k} \, \mathrm{g}$ と少ない。このままでは数千個の保管容器が必要となる。事実上管理できないことから $100 \, \mathrm{t} \, \mathrm{程度}$ を収納する保管容器が必要である。

6.許容漏洩率

篏合部もスズなどの低融点金属を使用し漏洩防止を図る。しかし漏洩は少なくなるが完全に止めることは 困難である。どこまで漏洩が許容できるか今後基準を決める必要がある。

7.結論

燃料デブリを回収する保管容器はどの研究も暫定的な仕様であり、恒久的な仕様を確定する必要がある。 参考文献

- [1] 日本原子力学会 2017 年春の大会 福島第一発電所における臨界対策を常時行う燃料デブリ回収案 森重晴雄、森重晴貴、山敷庸介
- [2] 日本原子力学会 2016年春の大会 福島事故対策・燃料デブリアイス回収工法 森重晴雄,森重晴貴,山敷庸介
- [3] ASME PVP2017 ICE FUEL DEBIRIS COLLECTION METHOD AT FUKUSHIMA NUCLEAR POWER STATION (PRESENTAION ONLY) 2017 年 7 月 18 日 Haruo Morishige, Yousuke Yamashiki.

^{*}Makito Watakabe¹, Haruo Morishige¹ and Yosuke Yamashiki^{1,2}

¹. Fukushima Nuclear Accident Countermeasures Review Group, ²Kyoto Univ..

キレツに伝わって侵入する外気に含まれる水蒸気を凍結し格納容器を封鎖

Frozen the water vapor contained in the outside air which is transmitted to the cracks and blocked the containment vessel

*北村康文¹,森重晴雄¹,山敷庸亮¹²
¹福島事故対策検討会,²京都大学

福島第一の格納容器は各号機 200 か所前後の配管貫通部があり厚さ 1mmの蛇腹がありその部分は塩害腐食のために穴が開いていると考えられている。現在、回収中に負圧を維持し放射性物質を外に出さないようにしてある。その負圧対策が十分であるか検討した。次にその対策案を提示した。

キーワード:燃料デブリ, 亀裂, 真空蒸着, 配管貫通部

1. 緒言

格納容器には既に微細な傷が多く存在すると想定される。 福島第一の格納容器は各号機 200 か所前後の配管貫通部があ りその部分は塩害腐食のために微細な穴が開いていると考え られている。燃料デブリを回収する前にそれらをすべて封鎖 する必要があるか検討を要す。

2. 浮遊するプルトニウムを試算し封鎖が必要な穴径を特定

浮遊粉塵のなかで最も危険とされるプルトニウムに着目した。無風状態でも対流によって 1 m/s は流れている。この時浮遊するプルトニウムの粒径を求めた。最大 15μ mであった。現在、回収工法で検討されている方策は格納容器内を負圧に引くことを前提としている。格納容器の微細なキレツに対して最大で 1 hPa の差圧しか確保できないと見られる。この差圧を持つ 1 mm の板に開いた穴径が何 μ m以上であればこのプルトニウムのバリアになるか簡単に試算してみた。プルトニウムの粒径までの穴に対しも外気がプルトニウムの微粒子に打ち勝てばプルトニウムは外に出ない。ところが試算によると 50μ m 以下の穴でればプルトニウムは外にでることになる。この配管貫通部には厚さ 1 mm m の蛇腹があり、このサイズの穴は数多くあると見られる。この配管貫通部からプルトニウムの 15μ m の微粒子が放出される。従って 50μ m 以下の穴径も完全に封鎖する必要がある。

3. 格納容器の封鎖

mm単位の穴径を持つ大きな穴に対して負圧管理すればプルトニウムを放出されないが、数十μmの穴を塞ぐことも重要である。その方策として侵入してくる空気中に含まれる水蒸気を凍結し穴を塞ぐ方法を提案する。

4.格納容器を零度以下に冷やす外気を結露凍結

(1)燃料デブリの密封状況

燃料デブリと格納容器を冷却する作業概略を図1に示す (2)格納容器の密閉効果

外気の水蒸気が結露凍結しキレツを密封する模式図を図2 に示す。

- 77°C PCV 9100㎡/h 冷却空気 デブリー lce

図1 格納容器の冷却方法

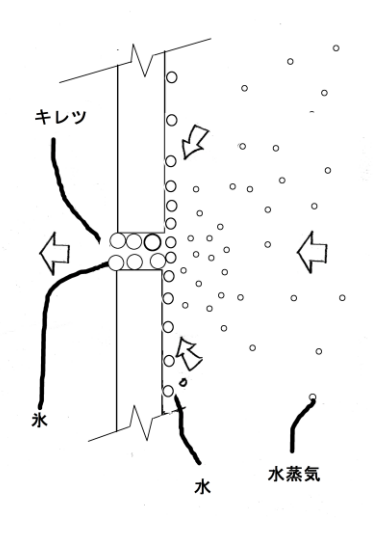


図2キレツの密封効果

5 姓論

格納容器の負圧管理だけでは不十分であり格納容器を冷却し結露凍結により気密を確保する必要がある。

- [1]「燃料デブリの空冷の実現可能性について」平成 25 年 11 月 28 日東京電力(株)経産省 HP より(H28.2.1 掲載確認)
- [2] 2017 年秋の大会 福島第一発電所における臨界対策を常時行う燃料デブリ回収案森重晴雄,森重晴貴,山敷庸亮
- [3] 日本原子力学会 2016年春の大会 福島事故対策・燃料デブリアイス回収工法 森重晴雄、森重晴貴、山敷庸亮

[4]ASME PVP2017 ICE FUEL DEBIRIS COLLECTION METHOD AT FUKUSHIMA NUCLEAR POWER STATION (PRESENTAION ONLY) 2017 年 7 月 18 日 Haruo Morishige, Yousuke Yamashiki

[5] 日本原子力学会 2018 年春の大会燃料デブリの低温空冷による凍結閉じ込め格納容器内空気を冷媒とする空冷 北村康文森重晴雄,山敷庸亮

1. Fukushima Nuclear Accident Countermeasures Review Group, 2Kyoto Univ.

^{*}Yasufumi Kitamura1, Haruo Morishige2 internetkobe@mountain.ocn.ne.jp and Yosuke Yamashiki1,2 yamashiki.yosuke.3u@kyoto-u.ac.jp

Oral presentation | V. Nuclear Fuel Cycle and Nuclear Materials | 505-3 Decommissioning Technology of Nuclear Facilities

[1F17-18] Dismantling and Decontamination Technology 1

Chair: Masashi Tezuka (JAEA)

Wed. Sep 5, 2018 5:30 PM - 6:00 PM Room F (A36 - A Building)

[1F17] Decontamination method for inside of small diameter piping waste(part3)

*TSUCHIDA DAISUKE¹, TAKAHASHI HIROSHI² (1. JAEA, 2. Fuji Furukawa Engineering &Construction Corp.)

5:30 PM - 5:45 PM

[1F18] Development of the Electrolytic Decontamination Machine for Pipes

*Akira Maruyama¹, Katsuya Sasaki², Hiroyuki Daiku², Masahiro Ishiyama³, Yuto Yoshida³, Kenta Aratani³ (1. Ultra Finish Technology, 2. Hitachi Zosen, 3. Japan Atomic Energy Agency)
5:45 PM - 6:00 PM

小口径配管廃棄物の内面除染方法の開発(その3)

Decontamination method for inside of small diameter piping waste (Part3)

*土田 大輔 1, 高橋 浩 2

1原子力機構, 2富士古河 E&C (株)

原子炉施設の廃止措置中である「ふげん」では、解体撤去した小口径配管について、乾式除染装置を用いて輪切り切断の形態で内表面汚染が除染できることを平成28、29年度に実施した実証試験にて確認した。今回は耐久性に期待が持てる、硬度や形状の違う2種類の投射材を用いて、①除染効率及び耐久性の確認、②弁などの複雑形状の内面除染試験を行ったので、その結果を報告する。

キーワード: 小口径配管, 乾式除染, 廃止措置

1. 緒言

昨年度の除染試験においては、鋭角形状の投射材を使用した場合、球状の投射材に比べより短時間で配管内面の除染が可能であることを確認した。一方、二次廃棄物が比較的に多く発生することが確認された。この課題に対して、投射材の性状を変えて除染試験を実施した。また複雑な形状(弁、エルボ、ティーなど)に対する除染効果を確認した。

2. 投射材耐久性確認試験、複雑形状物除染試験

シールリーク配管 (1/4B 配管:外径 14 mm、sus304) を L (輪切り長さ)/D (配管径) =1~7で輪切りに切断し、表 1 に示す昨年度使用した投射材及び形状/硬度の異なる 2 種類の投射材の 3 パターンで除染試験を実施した。配管内面の目視観察及び放射能量測定を行った結果、途中経過ではあるが図 2-1 及び図 2-2 に示すとおり除染開始後 2 時間でほぼ内面が除染されていること (maxDF=約 10~20) 及び二次廃棄物発生量が少ないことが確認された。また複雑形状物内面の除染は現在実施中であり、9 月に報告する。

3. まとめと今後の予定

投射材耐久性確認試験においては、鋭角形状の投射材を用いた場合、より短時間で除染できることを確認した。また、2次廃棄物発生量についても、昨年度使用した投射材より少ない見通しを得た。今後は、今回の試験から得られる課題について対応していくとともに、本除染方式の実用化に向け、自動化(被曝低減)及び大型化(除染工程短縮)の検討を行っていく計画である。

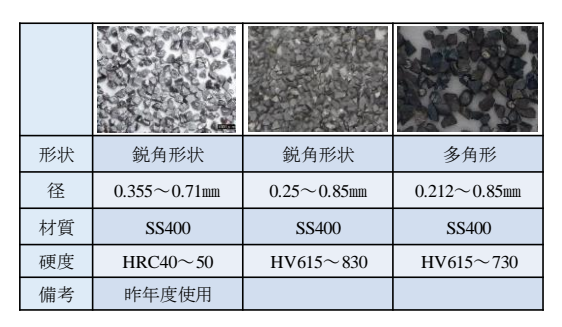


表 1. 使用した投射材

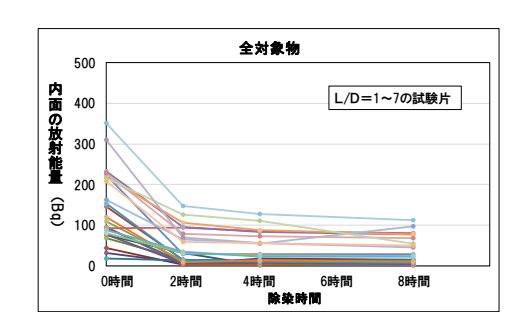


図 2-1. 配管内面の放射能濃度推移 (多角形投射材 (HV615~730) 使用)

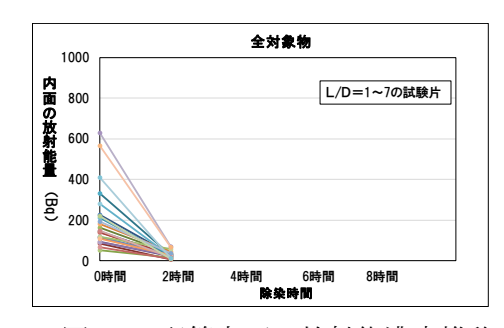


図 2-2. 配管内面の放射能濃度推移 (鋭角形状投射材 (HV615~830) 使用)

^{*}Daisuke Tsuchida¹, Hiroshi Takahashi²

¹ JAEA, ² Fuji Furukawa Engineering & Construction Corp

配管用電解除染装置の開発

(3) 研磨深さと除染性能の関係

Development of the Electrolytic Decontamination Machine for Pipes

原子力発電所の廃止措置において、解体された配管類をクリアランスレベルまで効率的に除染することができる電解除染装置を開発した。除染対象物となる配管の研磨深さをパラメータとして除染性能の評価を行い、本装置が優れた除染性能を有していることを確認した。

キーワード:廃止措置、除染、電解、クリアランス

1. はじめに

本開発の配管用電解除染装置は、電解液を噴出しながら移動する電極を用いることで、配管内面を効率的に電解研磨して除染できることが特長である。既報では本装置の基本特性及び「ふげん」における除染

試験結果について述べた^{[1][2]}。本報では除染の重要なパラメータとなる研磨深さと除染性能の関係について詳細を示す。

2. 試験方法

既報では「ふげん」の炉冷却材浄化系の配管を供試体として用いたが、比較的汚染レベルの低い配管であたったため、研磨深さと表面線量当量率の関係を明確にすることが難しかった。そこで、今回の試験では前回に比べて比較的汚染レベルが高く、1 桁以上表面線量当量率が高い上昇管(呼び径 3B、SUS 製)を 50mm×50mm に切断した供試体を用いた。この供試体に対して所定の研磨深さで除染を行い、GM 計数管式サーベイメータを用いて計数率を計測した。なお、電解液にはNaNO3水溶液を使用した。

3. 試験結果

図 1 に電解除染前後の供試体の状況を示す。除染前は茶褐色の強固な錆状であったものが、 1μ m程度の研磨により、本来の SUS 表面が露出した。

図2に研磨深さとGM管計数率の関係を示す。試験①は同

(除染前)

(除染後)

図1 電解除染前後の供試体

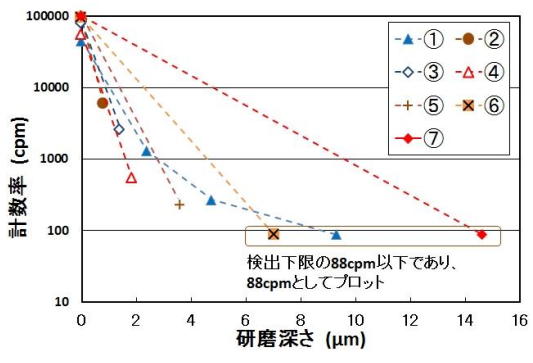


図 2 研磨深さと GM 管計数率の関係

一の供試体で段階的に研磨を繰り返した結果を、試験②から⑦は一度で 1μ m から 15μ m の研磨深さとなるようにした結果を示したものである。研磨前に数万 cpm 以上あった計数率は、研磨深さの増加に伴い大幅に低下した。本試験では 7μ m以上の研磨深さにより GM 計数管検出下限である 88cpm 以下となり、DF 値は 1000 以上となることが確認された。

4. まとめ

本試験により、今回開発した配管用電解除染装置における研磨深さと除染性能の関係が確認された。この結果を基に配管類除染の装置諸元と運転方法を決定することが可能となり、実用化の目処がついた。

参考文献

- [1] 佐々木ほか: 配管用電解除染装置の開発 (1)装置の基本特性について, 日本原子力学会 2017 秋の大会 1D09
- [2] 荒谷ほか: 配管用電解除染装置の開発 (2)除染試験結果について, 日本原子力学会 2017年秋の大会 1D10

^{*}Akira Maruyama¹, Katsuya Sasaki², Hiroyuki Daiku², Masahiro Ishiyama³, Yuto Yoshida³ and Kenta Aratani³

¹Ultra Finish Technology Co.,Ltd., ²Hitachi Zosen Corporation, ³Japan Atomic Energy Agency

Oral presentation | V. Nuclear Fuel Cycle and Nuclear Materials | 505-1 Radioactive Waste Management

[1G01-04] Nuclide Separation and Recovery 1

Chair: Akihiro Uehara (QST)

Wed. Sep 5, 2018 10:00 AM - 11:10 AM Room G (A37 - A Building)

[1G01] Realization Development of the Flexible Waste Management System for MA P&T Technology

*Yoichi Endo¹, Akihiro Suzuki¹, Atsushi Ohuchi¹, Fumiki Mizusako¹ (1. NFD) 10:00 AM - 10:15 AM

[1G02] Realization Development of the Flexible Waste Management System for MA P&T Technology

*AKIHIRO SUZUKI¹, Yoichi Endo¹, Tatsuro Matsumura², Tetsuo Fukasawa³ (1. NFD, 2. JAEA, 3. Hitachi GE)

10:15 AM - 10:30 AM

[1G03] Realization Development of the Flexible Waste Management System for MA P&T Technology

*Yusa Muroya¹, Yaohiro Inagaki², Tatsumi Arima², Akihiro Suzuki³ (1. ISIR, Osaka Univ., 2. Kyushu Univ., 3. NFD) 10:30 AM - 10:45 AM

[1G04] Realization Development of the Flexible Waste Management System for MA P&T Technology

*Tetsuo Fukasawa¹, Kuniyoshi Hoshino¹, Keita Endo¹, Akihiro Suzuki² (1. Hitachi-GE Nuclear Energy, Ltd., 2. Nippon Nuclear Fuel Development Co., Ltd.)

10:45 AM - 11:00 AM

MA 分離変換技術の有効性向上のための柔軟な廃棄物管理法の実用化開発 (9) バッチ式ロータリーキルン試験による顆粒体製造条件の検討

Realization Development of the Flexible Waste Management System for MA P&T Technology

(9) Progress on HLW Granule Production Concept by Batch-type Rotary Kiln Test Device *遠藤 洋一」,鈴木 晶大」,大内 敦」,水迫 文樹」

¹NFD

高レベル廃液がロータリーキルン内で顆粒体となるまでに経る乾燥・仮焼・顆粒化の各プロセスについて 切り分けて調べ、管壁速度の目安及び各プロセスで達成するべき温度といった製造条件を得た。ロータリ ーキルンには複数の温度領域を持たせる必要があり、3つ以上の独立制御ヒーターを設置することとした。 **キーワード**:柔軟な廃棄物管理、ロータリーキルン法、高レベル廃液、高レベル廃棄物顆粒体

1. 緒言

将来確立する MA 分離変換技術への適用を目指し、現行再処理廃液を仮焼・顆粒化して貯蔵する柔軟な 廃棄物管理法の実用化開発[1]を進めており、仏国 AVM 法の仮焼段階として実績の高い傾斜付き回転管状 炉(ロータリーキルン)での顆粒化を検討している。ロータリーキルン内で廃液から顆粒体が形成される までには、水分や硝酸が蒸発し廃液が乾固体となる乾燥プロセス、乾固体が分解脱硝し硝酸塩と酸化物の 混合物である仮焼体となる仮焼プロセス、仮焼体が顆粒化する顆粒化プロセスを経ると考えられる。現在、 飛散しにくい大きさ(10μm以上)の顆粒体を製造するため、まずこれらのプロセスを一つずつ切り分けて、 バッチ式ロータリーキルン (傾斜を持たない均熱式回転管状炉) による模擬廃液を用いた試験をしており、 顆粒化プロセスについて仮焼体は 250℃以上、5 分ほどで顆粒化することがわかっている[2]。本報告では、 乾燥及び仮焼プロセスについての知見を拡充し、顆粒体の製造条件を検討した。

2. 製造条件の検討

乾燥プロセス試験では、回転(管壁速度 8cm/s)している 350℃程度の管壁に模擬廃液 35mL を滴下する と約1分で乾燥し、乾固体は管壁へ弱く付着した状態で凝集した。このため、乾固体を管壁から剥離させ、 凝集を解消するために剥離粉砕機構が必要となる。また、仮焼プロセス試験において、管内の乾固体の900℃ までの昇温過程を観察したところ、約400℃までは乾固体が管壁に付着したが、それ以降は付着することは なかった。したがって、剥離粉砕機構は仮焼プロセス中400℃に至る部分まで延長しておく必要がある。な お、顆粒体の化学的特性を決定する仮焼プロセスの最高温度は、顆粒体の貯蔵時特性及び再溶解性を試験 して決定する。

以上の結果を図1にまとめた。乾燥プロセス 及び顆粒化プロセス試験結果から、回転する管 壁の速度の目安は 8cm/s とした。また、乾燥プ ロセスは約350℃、仮焼プロセスは300~900℃ のうちいずれかの温度、顆粒化プロセスは 250℃程度[2]とし、一本の管状炉内にこれらの 温度領域を持たせるため、ロータリーキルンに 3つ以上の独立制御ヒーターを設置することとした。

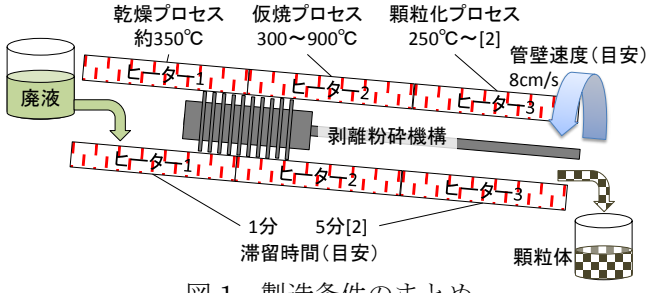


図1 製造条件のまとめ

参考文献

[1] 鈴木ら、日本原子力学会 2017 年春の年会、IL01 [2] 遠藤ら、日本原子力学会 2018 年春の年会、2014 本報告は、特別会計に関する法律(エネルギー対策特別会計)に基づく文部科学省からの受託事業として、日本核燃料開発株式会社 が実施した平成29年度「MA分離変換技術の有効性向上のための柔軟な廃棄物管理法の実用化開発」の成果です。

^{*}Yoichi Endo¹, Akihiro Suzuki¹, Atsushi Ohuchi¹ and Fumiki Mizusako¹ (¹NFD)

MA 分離変換技術の有効性向上のための柔軟な廃棄物管理法の実用化開発 (10) 製造条件の異なる顆粒体の適用性評価

Realization Development of the Flexible Waste Management System for MA P&T Technology (10) System Compatibility of HLW Granules produced under the Multiple Candidate Conditions *鈴木晶大 ¹, 遠藤洋一 ¹, 松村達郎 ², 深澤哲生 ³

¹NFD, ²原子力機構, ³日立 GE

廃棄物顆粒体の製造条件に応じて物理・化学特性の異なる 6 種の顆粒体について、柔軟な廃棄物管理法の 顆粒体製造工程及び再溶解工程への適用性を、製造容易性、Ru 揮発、有機物分解、再溶解性の観点から評 価し、いずれの顆粒体を適用しても成立することを確認すると共にその優劣をまとめた。

キーワード: 柔軟な廃棄物管理、環境負荷低減、HLW 顆粒体、顆粒体製造、顆粒体再溶解

1. 緒言

現行再処理廃液を仮焼・顆粒化して将来 MA 分離変換技術が確立するまで貯蔵するという柔軟な廃棄物管理法では、回転式管状炉(ロータリーキルン)での顆粒化を検討[1]している。管状炉中の最高温度である仮焼温度は300~900℃の範囲での設定を検討しているが、仮焼温度に応じて顆粒体の酸化物/硝酸塩比が異なるため、その化学的性質を評価して選択する必要がある。また、ロータリーキルンから出力された顆粒体そのままでの貯蔵は工程を少なくできるが、顆粒体を高温プレスによって高密度顆粒体とすると貯蔵時の熱伝導率向上などが期待できる。本発表では、仮焼温度を300℃(硝酸イオン約40wt%)、600℃(同約29wt%)、900℃(同約0.1wt%以下)とした顆粒体及び高密度顆粒体の計6種の製造条件の異なる顆粒体について、柔軟な廃棄物管理法の顆粒体製造工程及び再溶解工程への適用性を、製造容易性、製造時 Ru 揮発、製造時有機物分解、再溶解性の観点から評価した。

2. 適用性評価

①製造容易性 模擬廃液を 300℃、600℃で仮焼した仮焼体粉末を 230~250℃に保持した回転式管状炉に保持すると、低融点硝酸塩相による粘結が見られ、飛散防止に有効な 10μm 以上の粒径を持つ顆粒体が容易に製造できた。また、製造工程が増えるものの、これらの顆粒体の高密度化を加熱プレスで行ったところ、250℃、2kN/1cmφ 以下で容易に 90%T.D.程度の高密度顆粒体が製造できた。一方、900℃で仮焼した仮焼体 微粉末は、水蒸気導入による一部酸化物の水酸化物化により粘結を進めたが、水蒸気分圧や反応時間への依存が大きくやや注意が必要な工程となる。また、酸化物が多いために固く 90%T.D.程度の高密度顆粒体を得るには 8kN/1cmφ 以上が必要となった。

②Ru 揮発 製造時の Ru 揮発については、いずれの温度で仮焼した仮焼体でも模擬廃液中 Ru 割合から約 1/7 に減少した。乾固時に大部分が揮発しており、いずれの顆粒体製造でも Ru トラップ設置が必要となる。

③有機物分解 可燃物を含んだ貯蔵の観点から課題となる TBP 等有機物は 900℃仮焼では分解するが、 300℃及び 600℃仮焼では分解しないと考えられ、あらかじめ廃液からこれらを除去する工程が必要となる。

④再溶解性 模擬廃液から作製した仮焼体粉末の硝酸への再溶解性を試験した。900℃仮焼した仮焼体では 再溶解時の残渣が多く、残渣をそのままガラス固化すると MA 回収率に影響するため、アルカリ溶解法に

よる残渣の溶解工程が必要となる。300℃及び 600℃仮焼した仮焼体では硝酸への再溶解が容 易に進み、残渣溶解が必要ない可能性が高い。

以上のように、いずれの顆粒体を選択しても 柔軟な廃棄物管理の顆粒化及び再溶解工程が成立するが、それぞれメリット・デメリット(表 1)が生じた。今後、貯蔵時評価を含め、6種の 顆粒体の優劣を評価して製造条件を絞り込む。

表 1 製造条件の異なる顆粒体の各観点の優劣のまとめ

	製造条件						
	300℃仮焼		600℃仮焼		900℃仮焼		
	顆粒体	高密度 顆粒体	顆粒体	高密度 顆粒体	顆粒体	高密度 顆粒体	
①製造容易性	0	0	0	0	Δ	Δ	
②Ru揮発	0	0	0	0	0	0	
③有機物分解	0	0	0	0	0	0	
④再溶解性	0	0	0	0	0	0	

参考文献

[1]鈴木ら、日本原子力学会 2017 年春の年会(東海大)、1L01

本報告は、特別会計に関する法律(エネルギー対策特別会計)に基づく文部科学省からの受託事業として、日本核燃料開発株式会社が実施した平成29年度「MA分離変換技術の有効性向上のための柔軟な廃棄物管理法の実用化開発」の成果を含みます。

^{*}Akihiro Suzuki¹, Yoichi Endo¹, Tatsuro Matsumura², Tetsuo Fukasawa³ (¹NFD, ²JAEA, ³Hitachi-GE)

1G03 2018年秋の大会

MA 分離変換技術の有効性向上のための柔軟な廃棄物管理法の実用化開発 (11) 顆粒体製造条件の貯蔵時化学安定性への影響評価

Realization Development of the Flexible Waste Management System for MA P&T Technology (11) Chemical stability of the HLW granules produced under the candidate conditions *室屋 裕佐1, 稲垣 八穂広2, 有馬 立身2、鈴木 晶大3 ¹ 阪大産研, ² 九大, ³NFD

製造条件の異なる 6 種の顆粒体について、柔軟な廃棄物管理法における貯蔵時挙動への影響を、除熱性、 放射線分解による化学変化、キャニスタ内面腐食の観点から評価し、いずれの顆粒体を選択しても柔軟な 廃棄物管理の貯蔵の成立性は高いと判断した。

キーワード: 柔軟な廃棄物管理、環境負荷低減、化学的安定性、硝酸塩放射線分解、腐食挙動

1. 緒言

柔軟な廃棄物管理法における 50 年間を想定した HLW 顆粒体の貯蔵は、現行ガラス固化体貯蔵設備を共 用し、同じキャニスタ材を使用することを考えている。貯蔵の成立性確認のためには、除熱性の確保とと もに、NaNO3 を主成分とする顆粒体の化学安定性、及びキャニスタ材の内面腐食を確認する必要がある。 本発表では、仮焼温度を 300℃(硝酸イオン約 40wt%)、600℃(同約 29wt%)、900℃(同約 0.1wt%以下)とした 顆粒体及び高密度顆粒体の計 6 種の製造条件の異なる顆粒体(仮焼温度 300、600、900℃の顆粒体及び高密 度顆粒体)について、柔軟な廃棄物管理法における貯蔵時挙動への影響を、除熱性、放射線分解による化学 変化、キャニスタ内面腐食の観点から評価した。

2. 貯蔵時影響評価

模擬廃液より作製した仮焼温度の異なる顆粒体の熱伝導率は、酸化物比増大による熱伝導上昇と容易に 製造可能な密度に応じたマトリックス連続性の低下が打ち消しあった結果、差は小さいと分かった。また、 顆粒体の高密度化による発熱元素密度の上昇は、顆粒体間空隙の減少による熱除去性の向上によって補わ れ、いずれの顆粒体を選択しても細径キャニスタ[1]により、十分に自然循環で除熱できることが分かった。

長期保管時の顆粒体の化学変化についてはγ線照射時のNOx(NO、NO₂)の発生が課題であり、顆粒体 中硝酸塩成分の主成分である NaNO3 の粉末試薬において大きな NO2 発生[2]が見られている。一方、阪大産 研・コバルト照射施設 (Rabbit11) において 50~430 kGy の γ 線照射を実施したところ、模擬廃液を 300℃ で仮焼した仮焼体粉末の NOx 生成は、NaNO₃粉末試薬より 2 桁小さく、600℃で仮焼した仮焼体粉末では さらにその約 1/2 となり、900℃で仮焼した仮焼体粉末では NOx は検出されなかった。また、600℃で仮焼 した仮焼体粉末をプレスして作製した高密度顆粒体で NOx は検出されなかった。すなわち、顆粒体からの NOx の生成は、仮焼体中の硝酸イオン成分比に依存するものの、NaNO₃ 粉末試薬からの生成より桁違いに 小さく、また比表面積に依存してその生成量を制御できるものと考えられる。

一方、顆粒体中硝酸塩成分の主成分でありキャニスタ内面腐食に最も影響すると考えられる NaNO3 につ いて、粉末試薬を用いて、400℃~550℃で最長約13日間のSUS304L鋼の加速腐食試験を行った。溶融塩と 接触する場合でも腐食機構は空気中と同様の酸化を示した。これまでに得られた酸化速度に対して、アレ ニウスの式を仮定して 50 年間貯蔵時の腐食層厚さを見積もると、1μm 以下となり、硝酸塩成分の最も多い

食は大きな問題にはならないと考えられる。

300℃仮焼の顆粒体においても、キャニスタ内面腐 表 1 製造条件の異なる顆粒体の貯蔵時優劣のまとめ

以上の観点からは、いずれの顆粒体を選択して も柔軟な廃棄物管理の貯蔵の成立性は高くなると 判断した。それぞれのメリット・デメリットから (表 1)、今後すべての観点を総合して、6種の顆 粒体の優劣を評価して製造条件を絞り込んでいく。

	製造条件					
	300℃仮焼		600℃仮焼		900℃仮焼	
	顆粒体	高密度 顆粒体	顆粒体	高密度 顆粒体	顆粒体	高密度 顆粒体
除熱性	0	0	0	0	0	0
放射線分解	Δ	0	0	0	0	0
キャニスタ腐食	0	0	0	0	0	0

参考文献 [1]深澤ら、日本原子力学会 2017 年秋の大会 3A08、[2]室屋ら、日本原子力学会 2017 年秋の大会 3A09 本報告は、特別会計に関する法律(エネルギー対策特別会計)に基づく文部科学省からの受託事業として、日本核燃料開発株式会社が 実施した平成29年度及び平成30年度「MA分離変換技術の有効性向上のための柔軟な廃棄物管理法の実用化開発」の成果です。

^{*}Yusa Muroya¹, Yaohiro Inagaki², Tatsumi Arima², Akihiro Suzuki³ (¹ISIR, Osaka Univ., ² Kyushu Univ., ³NFD)

MA 分離変換技術の有効性向上のための柔軟な廃棄物管理法の実用化開発 (12) 顆粒体貯蔵設備の経済性評価

Realization Development of the Flexible Waste Management System for MA P&T Technology (12) Cost Evaluation for the Granule Storage Facility

*深澤哲生 ¹,星野国義 ¹,遠藤慶太 ¹,鈴木晶大 ²

¹ 目立 GE, ² NFD

柔軟な廃棄物管理法は、従来の廃棄物管理法では適用困難な高レベル廃棄物を顆粒体として一時貯蔵することにより、MA分離変換技術を適用可能とした。顆粒体貯蔵設備の経済性を従来のガラス固化体貯蔵設備と比較して評価した。

キーワード:柔軟な廃棄物管理、高レベル廃棄物、顆粒体、貯蔵設備、経済性評価

1. 顆粒体貯蔵設備の設計

軽水炉使用済燃料から発生する高レベル廃棄物を顆粒体として長期貯蔵する柔軟な廃棄物管理法について、顆粒体充填率をパラメータに顆粒体貯蔵設備の所要容積を評価し、六ケ所再処理ガラス固化体貯蔵設備のコストデータを基に貯蔵減容の経済性効果を評価した。顆粒体貯蔵設備は現行の六ケ所再処理工場のガラス固化体貯蔵設備を活用しつつ、できるだけ減容を図るものとした[1, 2]。

貯蔵設備の所要容積評価においては、冷却方式は現行の自然循環間接冷却方式とし、キャニスタの寸法、 顆粒体充填率、充填ガスをパラメータに、冷却空気温度≦65℃(ガラス固化体貯蔵設備と同じ)と顆粒体 中心温度≦275℃(顆粒体成分の融点)を制限条件として、簡易熱伝導解析を行った。

2. 顆粒体貯蔵設備の経済性評価

顆粒体貯蔵設備容量の評価結果を基に、六ケ所再処理工場ガラス固化体貯蔵設備のコスト見積データ及び増設計画[3]を参考に、柔軟管理法の顆粒体貯蔵設備コストの概算評価を行った。経済性評価条件としては、地層処分前冷却期間32年、非顆粒化処理(柔軟法非適用)期間10年を基準ケースとした。

一例として、基準ケースの貯蔵設備コスト評価結果を図1に示す。従来管理法の貯蔵設備コストを1と

した場合の柔軟法のコストは、空気 充填では顆粒体充填率が 50%~ 90%で 0.83~0.54、He 充填では 0.64~0.53 と評価された。柔軟法に よる経済性効果は、基準となる顆粒 体充填率が 70%の場合において空 気充填では 34%低減、He 充填で 44%低減でき、大きな効果があるこ とが分かった。

また、空気充填で顆粒体充填率90%の場合では46%の低減であるが、顆粒体充填率70%でもHe 充填で44%の低減効果があり、貯蔵経済性の観点からは顆粒体高充填率化とHe 充填は同程度の重要度の選択肢ということができる。

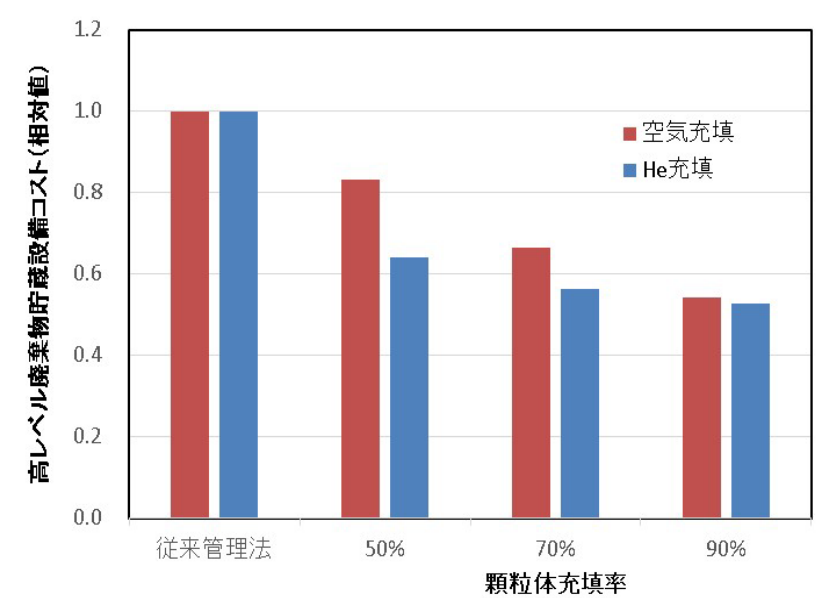


図1 顆粒体貯蔵設備のコスト評価結果

参考文献 [1]鈴木ら、日本原子力学会 2017 年春の年会 1L01、[2]深澤ら、日本原子力学会 2017 年秋の大会 3A08、[3]電気事業連合会、原子燃料サイクルのバックエンド事業コストの見積について(平成 16 年 1 月) 本報告は、特別会計に関する法律(エネルギー対策特別会計)に基づく文部科学省からの受託事業として、日本核燃料開発株式会社 が実施した平成 29 年度「MA 分離変換技術の有効性向上のための柔軟な廃棄物管理法の実用化開発」の成果です。

^{*} Tetsuo Fukasawa¹, Kuniyoshi Hoshino¹, Keita Endo¹, Akihiro Suzuki² (¹ Hitachi-GE, ² NFD)

Oral presentation | V. Nuclear Fuel Cycle and Nuclear Materials | 505-1 Radioactive Waste Management

[1G05-07] Nuclide Separation and Recovery 2

Chair:Daisuke Akiyama(Tohoku Univ.)

Wed. Sep 5, 2018 11:10 AM - 12:00 PM Room G (A37 - A Building)

[1G05] Extraction behavior of PGMs from Simulated High-level Liquid Waste using Functionalized Ionic Liquid

*Haruka Oosugi¹, Tadayuki Takahashi^{1,2}, Tatsuya Ito¹, Kiyoshi Kanie¹, Atsushi Muramatsu¹, Seong-Yun Kim¹ (1. Tohoku University, 2. Japan Nuclear Fuel Limited)
11:10 AM - 11:25 AM

[1G06] Zirconium separation from high-level radioactive waste by fluoride volatility method

*Yuko Kani¹, Daisuke Watanabe¹, Sohei Fukui¹ (1. Hitachi, Ltd.) 11:25 AM - 11:40 AM

[1G07] Sorption characteristics of aluminum hexacyanoferrate nanoparticles to Ru, Rh, Pd and Mo metal ions in nitric acid solution

*Toshiki Takeuchi¹, Shinta Watanabe¹, Masato Nakaya¹, Ria Mishima², Miki Harigai², Yusuke Inaba², Kenji Takeshita², Jun Onoe¹ (1. Nagoya Univ., 2. Tokyo Inst. Technol.) 11:40 AM - 11:55 AM

機能性イオン液体を用いた模擬高レベル放射性廃液からの白金族元素の抽出特性

Extraction behavior of PGMs from Simulated High-level Liquid Waste using Functionalized Ionic Liquid *大杉遥¹, 高橋正幸¹,², 伊藤辰也¹, 蟹江澄志¹, 村松淳司¹, 金聖潤¹

1東北大,2日本原燃㈱

高レベル放射性廃液からの白金族元素の選択的分離・回収法を検討するため、新たに合成した機能性 イオン液体 [DiOcAPmim][NTf2] (1-methyl-3-dioctylaminopropyl-imidazolium Bis(trifluoromethanesulfonyl) imide)の抽出特性について検討した。

キーワード:高レベル放射性廃液、機能性イオン液体、白金族元素、溶媒抽出

- 1. 緒言 使用済核燃料の再処理により発生する高レベル放射性廃液(HLLW)はガラス固化され、最終処 分される計画である。しかし、資源の有効利用及び高レベル放射性廃棄物処分の負荷軽減の観点から、 HLLW からの有用元素の効率的な分離・回収技術の開発が望まれている。比較的生成量の多い核分裂生成 物である白金族元素は希少元素であるものの、化学触媒や電子材料として今日の人類の生活において需要 が大きく、これらを輸入に頼っている我が国にとって戦略物質として重要である。そこで、安全性に優れ、 環境調和型溶媒と称されるイオン液体を用いた溶媒抽出法に着目し、HLLW からの発熱性核種、白金族元 素分離を検討し、効果的かつ選択的な分離が可能であることを報告してきた[1,2]。本研究では、白金族元 素を選択的に分離・回収するため、新たに機能性イオン液体として分子構造内にアミノ基を有する [DiOcAPmim][NTf₂](図1)を合成し、硝酸溶液からの白金族元素の抽出特性について検討した。
- 2. 実験 機能性イオン液体[DiOcAPmim][NTf₂]を合成し、5 mM の Ru(III)、 Rh(III)及び Pd(II)を含む硝酸溶液を同体積ずつ用いて、バッチ法抽出試験 により硝酸濃度依存性、抽出時間依存性、温度依存性等の抽出特性を評価 した。抽出前後の水溶液中金属濃度の測定には ICP-AES を用いた。
- n-Oct 図 1. [DiOcAPmim][NTf₂]の構造
- 3. 結果 [DiOcAPmim][NTf2]による Ru(III)、Rh(III)及び Pd(II)の抽出の硝酸濃度依存性を図 2 に示す。Pd(II)は本 試験の条件下において高い抽出率(E_{metal})を示した。一 方、Ru(III)及び Rh(III)は硝酸濃度 0.1~1 M において高い 抽出率を示したが、2M で E_{metal} が大きく減少し、それ以 上の濃度では E_{metal} の増加が確認されたことから、硝酸濃 度2M付近を堺に、異なる機構による抽出が行われてい るものと考えられる。また、[DiOcAPmim][NTf2]を用いて HLLW 中から Ru(III)、Rh(III)及び Pd(II)を効率的に分離す るためには、硝酸濃度を調整する前処理操作が必要と考 えられる。以上の結果に加え、時間依存性、温度依存性、 模擬 HLLW を用いた場合の白金族元素の抽出選択性など の特性について報告する。

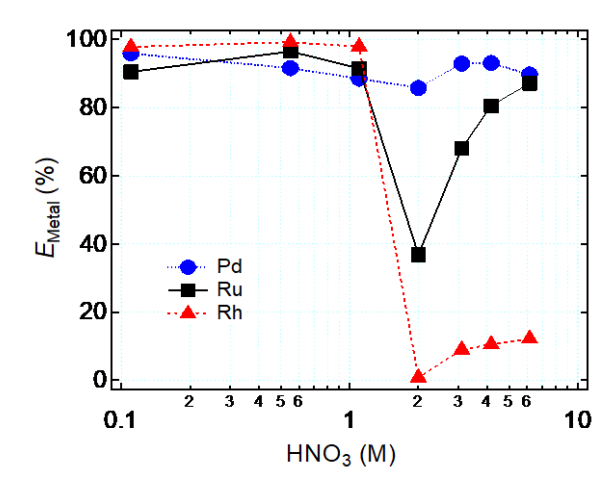


図 2. [DiOcAPmim][NTf₂]による Ru(III)、Rh(III) 及び Pd(II)の抽出に対する硝酸濃度の影響

参考文献

- [1] T. Takahashi, T. Ito and S.-Y. Kim, ANUP2016, Sendai, Oct. 25, P-21 (2016).
- [2] 高橋正幸、伊藤辰也, 金聖潤、日本原子力学会 2017 年春の年会、1L02 (2017).
- Haruka Ooshugi¹, Tadayuki Takahashi^{1,2}, Tatsuya Ito¹, Kiyoshi Kanie¹, Atsushi Muramatsu¹ and Seong-Yun Kim¹ ¹Tohoku Univ., ²Japan Nuclear Fuel Limited.

フッ化法による高レベル廃液からの Zr 分離回収

高レベル放射性廃液から長寿命核分裂生成物の一つであるジルコニウム(Zr)を分離回収する技術を開発した。模擬高レベル廃液からモリブデン酸ジルコニウムの沈殿を回収し、この沈殿とフッ素ガスを反応させて沸点の低い元素を揮発分離する試験を行い、Zr回収率>90%を得る条件を選定した。

キーワード:フッ化法、高レベル廃液、長寿命核分裂生成物、ジルコニウム、モリブデン酸ジルコニウム

1. 緒言

ImPACT「核変換による高レベル放射性廃棄物の大幅な低減・資源化」では、高レベル放射性廃棄物からの長寿命核分裂生成物(Zr, Pd, Cs, Se)の分離・核変換による廃棄物の大幅な低減と資源化を目指している。本研究では、対象元素の一つである Zr の高効率な分離回収技術として、高レベル廃液からの Zr 沈殿の回収とフッ化による分離精製からなる Zr 分離回収プロセス(図1)を提案し、模擬高レベル廃液を用いた試験によりその成立性を検討した。

2. 実験

2-1. Zr 沈殿回収試験

高レベル廃液から回収される Zr 沈殿は主にモリブデン酸ジルコニウム $(Zr(Mo_2O_7(OH)_2)(H_2O)_2)$ [1] で Mo/Zr 比は 2:1 であるが、高レベル廃液中の Mo/Zr 比は約 0.4 であり Mo が不足している。そこで、Mo/Zr 比をパラメータとして模擬高レベル廃液にモリブデン酸ナトリウム水溶液を添加し、沸騰温度で加熱還流して生成する Zr 沈殿を回収する試験を行った。試験溶液中の Zr 濃度変化から Zr 回収率を求めた。

2-2. Zr 沈殿フッ化試験

上記試験で回収した Zr 沈殿とフッ素ガスを Ni 製反応容器内で反応させ、残さを分析して Zr 回収率を求めた。反応容器の加熱温度をパラメータとして Zr 回収率との関係を評価した。

3. 結果

Zr 沈殿回収試験において、Zr 回収率は時間とともに増加し、Mo/Zr 比が高いほど回収率が高い結果となった(図 2)。 沈殿の主成分はモリブデン酸ジルコニウムで、他にリンモリブデン酸塩などが含まれていた。フッ化試験では、加熱温度が高いと Mo とともに Zr が揮発し回収率が低下した。試験結果より、Zr 分離回収プロセス(図 1)では、高レベル廃液に Mo を添加して Zr 沈殿を回収し、Zr フッ化物の揮発を抑制する温度(300℃以下)でフッ化することで Zr 回収率>90%を得ると評価した。本研究は、総合科学技術・イノベーション会議が主導する革新的研究開発推進プログラム (ImPACT) の一環として実施したものです。

参考文献 [1] JAEA-Review 2015-002 (2015).



図1 フッ化法によるZr分離回収プロセス

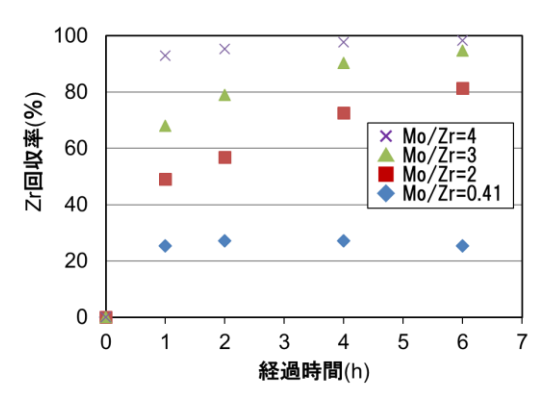


図 2 Zr 沈殿回収試験: Zr 回収率の経時変化

^{*}Yuko Kani¹, Daisuke Watanabe¹ and Sohei Fukui¹

¹Hitachi, Ltd.

硝酸水溶液中におけるフェロシアン化アルミニウムナノ粒子の Ru, Rh, Pd および Mo イオンに対する収着特性

Sorption characteristics of aluminum hexacyanoferrate nanoparticles to Ru, Rh, Pd and Mo metal ions in nitric acid solution *竹內 俊喜 ¹, 渡邊 真太 ¹, 中谷 真人 ¹, 三島 理愛 ², 針貝 美樹 ², 稲葉 優介 ², 竹下 健二 ², 尾上 順 ¹ ¹ 名古屋大学, ²東京工業大学

高レベル放射性廃液のガラス固化体の品質低下および処理コスト・処理スペースの増大を引き起こす白金 族元素およびモリブデンの一括回収プロセスの研究を行っている。その目的に資する収着剤の開発に向け て、ナノ細孔空間を有するフェロシアン化アルミニウムナノ粒子への白金族元素およびモリブデンの収着 特性を解析したので報告する。

キーワード:フェロシアン化アルミニウム, 高レベル放射性廃液, 白金族元素, モリブデン, 収着特性

- 1. **緒言**:高レベル放射性廃液(HLLW)のガラス固化体の高品質・減容化を目的に、我々はこれまで、フェロシアン化物ナノ粒子(MHCF)を収着剤に用いて、HLLW 中の白金族元素(Ru, Rh, Pd)およびモリブデン(Mo)の一括回収プロセスの開発を行ってきた。高収着能を有する MHCF を開発するためには、各種金属イオンの MHCF への収着特性を明らかにする必要がある。本研究では、MHCF の中で白金族元素および Mo に対する収着性能が高いアルミニウム HCF(AlHCF: M=Al³+)について、分光実験と理論計算により、上記金属イオンに対する収着特性を解析したので報告する。
- 2. 実験: 上記金属イオン収着前後の AIHCF について, 赤外 (IR) 分光法, 粉末 X 線回折測定および透過型電子顕微鏡観察から構造特性を, 紫外-可視-近赤外 (UV-Vis-NIR) 吸収分光法から電子状態を, それぞれ調べた。また, これらの測定結果と理論解析の比較から, 上記金属イオンに対する収着特性の解析を行った。
- 3. 結果: Fig. 1 に Pd イオンの収着前後における AlHCF の IR スペクトルを示す。収着前の AlHCF の IR スペクトルにおいて、2068 cm⁻¹ と 2123 cm⁻¹ にピークが観測された。これまでの研究[1]から、前者は FeHCF (FeHCF: M=Fe³+) の Fe(II)ーCNーFe(III)骨格 (Fe 骨格) 由来の、また、後者は Fe(II)ーCNーAl(III)骨格 (Al 骨格) 由来のそれぞれ CN 基伸縮振動モードであることから、収着前の AlHCF には Fe 骨格と Al 骨格が混在していることが分かった。一方、Pd イオン収着後の IR スペクトルでは、Fe 骨格および Al 骨格によるピークが減少するとともに、新たなピーク (Fig. 1 の矢印部分) が観測された。このピークは Pd を含む骨格によるものであることから、Fe 骨格および Al 骨格のそれぞれの金属イオンと Pd イオンが入れ替わる置換型収着をしていることが示唆される。その他の金属イオンの収着特性についても当日報告する。

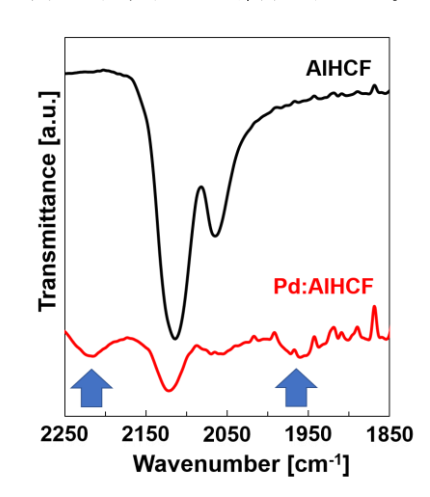


Fig. 1. Pd イオン収着前後の AIHCF の IR スペクトル

参考文献

[1] 平成 28 年度 文部科学省原子力システム研究開発事業「ガラス固化体の高品質化・発生量低減のための白金族元素回収プロセスの開発」成果報告書(平成 29 年 3 月)

*Toshiki Takeuchi¹, Shinta Watanabe¹, Masato Nakaya¹, Ria Mishima², Miki Harigai², Yusuke Inaba², Kenji Takeshita² and Jun Onoe¹

¹Nagoya Univ., ²Tokyo Inst. Technol.

Oral presentation | V. Nuclear Fuel Cycle and Nuclear Materials | 505-1 Radioactive Waste Management

[1G08-10] Debris Treatment

Chair: Akihiro Suzuki (NFD)

Wed. Sep 5, 2018 2:45 PM - 3:35 PM Room G (A37 - A Building)

[1G08] Development of Fuel Debris Treatment Technology by the Fluorination Method

*Kuniyoshi Hoshino¹, Keita Endo¹, Akira Sasahira¹, Tetsuo Fukasawa¹, Takahiro Chikazawa² (1. Hitachi-GE, 2. Mitsubishi Materials)

2:45 PM - 3:00 PM

[1G09] Development of Fuel Debris Treatment Technology by the Fluorination Method

*Keita Endo¹, Kuniyoshi Hoshino¹, Akira Sasahira¹, Tetsuo Fukasawa¹, Takahiro Chikazawa² (1. Hitachi-GE, 2. Mitsubishi Materials)

3:00 PM - 3:15 PM

[1G10] Local structural analyses of the uranium and zirconium in fuel debris containing boron at the Fukushima Daiichi NPP accident

*Akihiro Uehara^{1,2}, Daisuke Akiyama³, Numako Chiya⁴, Shino Takeda¹, Atsushi Ikeda⁵, Yasuko Terada⁶, Kiyofumi Nitta⁶, Toshiaki Ina⁶, Akira Kirishima³, Nobuaki Sato³ (1. QST NIRS, 2. Kyoto Univ., 3. Tohoku Univ., 4. Chiba Univ., 5. HZDR, 6. JASRI)

3:15 PM - 3:30 PM

1G08 2018年秋の大会

フッ化法を用いた燃料デブリの安定化処理技術の開発 (20)模擬デブリフッ化試験 (その6)

Development of Fuel Debris Treatment Technology by the Fluorination Method

(20) Simulated Debris Fluorination Experiments (Part 6)

*星野 国義¹、遠藤 慶太¹, 笹平 朗¹、深澤 哲生¹、近沢 孝弘² 「日立GE, ²三菱マテリアル

高速増殖炉(FBR)や軽水炉(LWR)の重大事故によって発生する破損・溶融燃料含有物質(燃料デブリ)を、フッ化物揮発法を応用した方法で安定化処理する技術を開発中である。これまで実施した 15 種の U 含有模擬デブリのフッ化試験の結果を報告する。

キーワード: FBR、LWR、重大事故、燃料デブリ、フッ化、安定化処理、模擬デブリフッ化試験

1. 緒言

本研究の目的は、FBR 等の革新炉や LWR の重大事故で万一発生した場合の燃料デブリ及び福島第一原子力発電所の事故で生じた燃料デブリに対する安定化処理技術を開発することである[1]。本発表では、これまで実施した 15 種の U 含有模擬デブリのフッ化試験の結果について報告する。

2. 実験

15 種の U 含有模擬デブリのフッ化試験を行った。模擬デブリ約 5g をフッ化反応炉に装荷し炉内を約 600 $^{\circ}$ とし、100 $^{\circ}$ $^$

3. 結果·考察

U含有模擬デブリの試験結果の 1 例として、 UO_2 - ZrO_2 模擬デブリ(塊状; ϕ 10mm×8mm、2200℃焼結)のフッ化試験前・中・後の試料状況を図 1 に示す。フッ化試験後の残渣を XRD 分析した結果(図 2)、Zr フッ化物となっていた。また、残渣の ICP-MS/AES 分析の結果、残渣への U 残留率は 1%以下であり、模擬デブリ中 U の 99%以上が U フッ化物(UF₆)で揮発したと考えられる。試験前の XRD 分析結果から、本模擬デブリは固溶体を形成していたと考えられるが、燃料成分である U はフッ化揮発し、その他の構造物(Zr)から分離回収できる見通しが得られた。他の 14 種の U 含有模擬デブリも含め評価した結果、固溶体,化合物,塊状でも、99%以上のU はフッ化揮発し、大部分の不純物を分離できる見通しを得た。また、試料ボート温度計測結果から 30 分程度で反応が終了しており、合理的な時間で処理できる見通しを得た。







UO₂-ZrO₂模擬デブリフッ化残渣
30 2 (degree) 50 70

(1)フッ化試験前 (2)フッ化試験中 (3)フッ化試験後 図1 UO₂-ZrO₂ 模擬デブリのフッ化試験前・中・後の 試料状況

図2 UO₂-ZrO₂ 模擬デブリの フッ化試験後のXRD分析結果

参考文献;[1]深澤ら、日本原子力学会 2014 年春の年会 H56

*Kuniyoshi Hoshino¹, Keita Endo¹, Akira Sasahira¹, Tetsuo Fukasawa¹, Takahiro Chikazawa² ¹Hitachi-GE, ²Mitsubishi Materials

本報告は、特別会計に関する法律(エネルギー対策特別会計)に基づく文部科学省からの受託事業として、日立 Œ ニュークリア・エナジー(株)が実施した平成27~29年度「フッ化技術を用いた燃料デブリの安定化処理に関する研究開発」の成果です。

1G09 2018年秋の大会

フッ化法を用いた燃料デブリの安定化処理技術の開発 (21)模擬デブリフッ化試験(その7)

Development of Fuel Debris Treatment Technology by the Fluorination Method

(21) Simulated Debris Fluorination Experiments (Part 7)

*遠藤 慶太¹、星野 国義¹、笹平 朗¹、深澤 哲生¹、近沢 孝弘²

「日立GE, ²三菱マテリアル

高速増殖炉(FBR)や軽水炉(LWR)の重大事故によって発生する破損・溶融燃料含有物質(燃料デブリ)を、フッ化物揮発法を応用した方法で安定化処理する技術を開発中である。チェコ Research Centre Rez(RCR)にて実施した U 含有模擬デブリフッ化試験の結果について報告する。

キーワード: FBR、LWR、重大事故、燃料デブリ、フッ化、安定化処理、模擬デブリフッ化試験

1. 緒言

本研究の目的は、FBR 等の革新炉や LWR の重大事故で万一発生した場合の燃料デブリ及び福島第一原子力発電所の事故で生じた燃料デブリに対する安定化処理技術を開発することである[1]。RCR で実施する Pu 含有模擬デブリフッ化試験の前段階として、日本国内試験試料と同等の U 含有模擬デブリを用いたフッ 化試験を同所にて実施し、日本国内試験と同様の結果が得られるかどうか確認した。

2. 実験

図1のような試験体系を構築し、UO₂-Fe 及び UO₂-ZrO₂ 模擬デブリのフッ化試験を実施した。基本的な試験方法は日本と同様であるが、試料量や温度等の試験条件に多少の変更を加えている。フッ化反応で生じた揮発性フッ化物をコールドトラップ (CT)、不揮発性フッ化物を試料ボート内で回収し、供試した模擬デブリとそれら回収物の XRD 分析、ICP-MS/AES 分析等を実施し、各々のフッ化挙動を評価した。

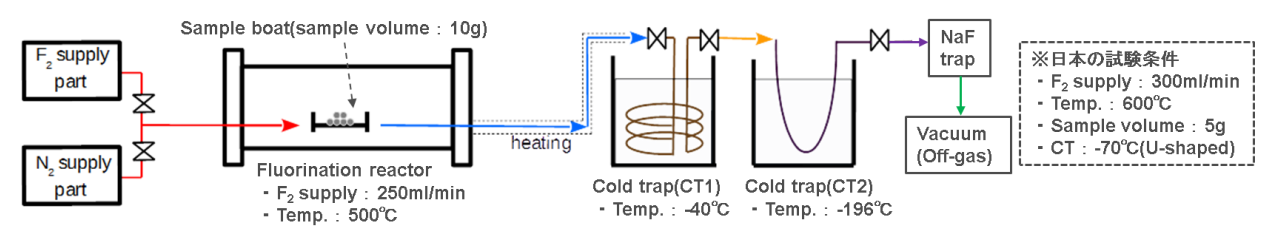


図1. チェコ RCR のフッ化試験体系

3. 結果・考察

RCR及び日本の試験結果[2]を比較したものを表1に示す。 試験前分析では両者試料ともに同様の性状を示すことを確認したが、RCR 試料においては試料が酸化される傾向が見られた。試験後分析では両者ともにUが99%以上フッ化揮発し91%以上がCTで回収されたこと、Fe及びZrが固体フッ化物として試料ボート内に残存したことを確認した。両者の試験条件や試験前試料性状に違いがあるものの、RCRでも日本国内試験と同様に、Uを大部分の不純物から分離

表1. フッ化試験結果の比較表

- 2	模擬デブリ	試験前性状	移行率*				フッ化
	(mol%)		元素	残渣	CT	計	残渣性状
チェコR C R	UO ₂ -Fe (50/50)	UO ₂ , Fe相の	U	0.1	99.9	100	-
		他、FeO相 が検出	Fe	95.3	4.5	99.8	FeF ₃
	UO ₂ -ZrO ₂ (50/50)	(U _x Zr _{1-x})O ₂ 固 溶体の他、	U	~0	~100	~100	-
		UO _{2.34} 相が 検出	Zr	86.9	0.5	87.4	ZrF ₄
日本		UO ₂ , Fe相が 検出	U	0.2	98.4	98.6	-
			Fe	102.7	1.6	104.2	FeF ₃
	UO ₂ -ZrO ₂ (50/50)	Uリッチ&Zr リッチの固 溶体が存在	U	0.7	91.7	92.4	-
			Zr	96.1	0.0	96.1	ZrF ₄

※移行率 (wt%) = 残渣・cT回収物中元素量 × 100

回収できる見通しを得た。本試験体系・方法は次の Pu 試験に反映し、Pu のフッ化挙動を詳細に評価する。

参考文献; [1]深澤ら、日本原子力学会 2014 年春の年会 H56、[2]星野ら、日本原子力学会 2016 年春の年会 2107

*Keita Endo¹, Kuniyoshi Hoshino¹, Akira Sasahira¹, Tetsuo Fukasawa¹, Takahiro Chikazawa²

¹Hitachi-GE, ²Mitsubishi Materials

本報告は、特別会計に関する法律(エネルギー対策特別会計)に基づく文部科学省からの受託事業として、日立 GE ニュークリア・エナジー(株)が実施した平成 28 年度「フッ化技術を用いた燃料デブリの安定化処理に関する研究開発」の成果です。

1G10 2018年秋の大会

福島第一原発事故において発生した燃料デブリの処理・処分のための

ウラン、ジルコニウム酸化物及びホウ素の局所構造解析

XAFS analyses of the uranium and zirconium mixed oxides and boron for waste management of the fuel debris occurred by the Fukushima Daiichi NPP accident.

*上原章寬 ^{1,2)}、秋山大輔 ³⁾、沼子千弥 ⁴⁾、武田志乃 ¹⁾、池田篤史 ⁵⁾、 寺田靖子 ⁶⁾、新田清文 ⁶⁾、伊奈稔哲 ⁶⁾、桐島陽 ³⁾、佐藤修彰 ³⁾ ¹⁾ 量研機構、²⁾ 京都大学、³⁾ 東北大学、⁴⁾ 千葉大学、⁵⁾ HZDR、⁶⁾ JASRI

1200 - 1600 ℃の温度領域においてウラン、ジルコニウム酸化物及び炭化ホウ素を酸化及び還元雰囲気において熱処理したのち、粉末 X 線回折及び X 吸収微細構造によって反応生成物の局所構造及び相状態を解析した。

キーワード:燃料デブリ、ウラン、ジルコニウム、ホウ素、XRD、XAFS

1. 緒言

福島第一原発の炉心では、核燃料である二酸化ウランと被覆管の主成分であるジルコニウムや構造材の主成分である 鉄・クロムが冷却材喪失事故により超高温となった炉心内部での溶融や、また、落下により下部コンクリート等と反応 して様々な種類および組成の燃料デブリが炉内に存在している。当研究グループでは、高温における酸化ウラン・酸化ジルコ ニウム UO₂-ZrO₂ 擬二元系の相関係や、制御材、構造材成分との高温反応を調べてきた。本研究では、UO₂と ZrO₂ に加えて炭 化ホウ素 B₄C を共存させ、1200 から 1600℃の温度条件にて処理された試料について、粉末 X 線回折(XRD)及び X 吸収微細 構造 (XAFS) 解析を行うことにより、相関係や溶解・溶出挙動に関する知見を得た。また炉心溶融における反応環境を模擬するために、酸素あるいは水素ガスを用いた酸化あるいは還元雰囲気条件下における反応性の違いについても検討した。

2. 実験

試料は、 UO_2 -B₄C あるいは UO_2 -B₄C- ZO_2 を等モル比に混合した試料を電気炉内に装荷し、 1200° Cから 1600° Cの温度範囲内において 100° 水素あるいは 20° 酸素ガスを1 時間通気して反応させることによって調製した。反応後の試料について XRD にて相状態を解析した。 XAFS 測定は大型放射光施設 SPring-8 内 BL01B1 において行った。本試料のうち U については UL_{III} -edge(17.166 keV)、 Z_I については Z_I K-edge(17.998 keV)をステップスキャンで同時に行った。それぞれの元素について XAFS スペクトルの主成分分析を実施し、各種反応条件下における生成物を定量的に見積もった。

3. 結果と考察

 UO_2 及び B_4 C を酸化及び還元雰囲気下で処理した試料について解析した。還元雰囲気下では、 1200° Cから 1500° Cへ上昇するに伴い UB_4 の生成量が増加し、 1500° Cではおおよそ 60° の生成率であることが分かった。一方、酸化雰囲気下では 1200° Cから 1300° Cでは B_4 C が酸素と反応し B_2O_3 を生じるため、 UB_4 の生成は確認できなかったが、 1400° C以上では、還元雰囲気下とほぼ同量の UB_4 が生成した。

 UO_2 及び B_4 C に Z_1O_2 が共存すると、共存しない場合とはと全く異なる結果を得た。 UO_2 は、酸化及び還元雰囲気いずれの条件においても全く反応しなかった一方、 Z_1O_2 と B_4 C の反応性が極めて高いことが示唆された。還元雰囲気下では、加熱温度の上昇とともに Z_1B_2 の生成量が増加し 1400 Cにおいてほぼ定量的に生成した。酸化雰囲気下では、加熱温度の上昇とともに Z_1B_2 の生成量は増加するものの、生成率は還元雰囲気下でのそれの半分であった。これは、 B_4 C が酸素と反応し B_2O_3 を生じたためであると考えられる。今後の燃料デブリ取り出しにおいては、このような知見が不可欠であり、炉内の内部状況や、放射性核種の移行挙動、デブリの処理・処分方策の検討に寄与できるものと期待される。

^{*}Akihiro Uehara^{1,2}, Daisuke Akiyama³, Chiya Numako⁴, Shino Takeda¹, Atsushi Ikeda⁵, Yasuko Terada⁶, Kiyofumi Nitta⁶, Toshiaki Ina⁶, Akira Kirishima³, Nobuaki Sato³,

¹ National Institutes for Quantum and Radiological Science and Technology, ² Kyoto Univ., ³ Tohoku Univ., ⁴ Chiba Univ., ⁵Helmholtz-Zentrum Dresden-Rossendorf, ⁶Japan Synchrotron Radiation Research Institute

Oral presentation | V. Nuclear Fuel Cycle and Nuclear Materials | 505-1 Radioactive Waste Management

[1G11-13] Zeolite Waste Solidification 1

Chair:Tetsuo Fukasawa(HGNE)

Wed. Sep 5, 2018 3:35 PM - 4:25 PM Room G (A37 - A Building)

[1G11] Vitrification of Cs-Sorbed Zeolite Waste Generated from Decontamination of Effluents at Fukushima Dai-ichi NPP

*Muneharu Yamauchi¹, Yaohiro Inagaki¹, Tatsumi Arima¹, Kazuya Idemitsu¹, Koji Yamakado¹, Nobuaki Sato², Daisuke Akiyama², Akira Kirishima² (1. Kyushu University, 2. Tohoku University)

3:35 PM - 3:50 PM

[1G12] Vitrification of Cs-Sorbed Zeolite Waste Generated from Decontamination of Effluents at Fukushima Dai-ichi NPP

*Daisuke Akiyama¹, Nobuaki Sato¹, Akira Kirishima¹, Yaohiro Inagaki², Tatsumi Arima² (1. Tohoku University, 2. Kyushu University)

3:50 PM - 4:05 PM

[1G13] Vitrification of Cs-Sorbed Zeolite Waste Generated from Decontamination of Effluents at Fukushima Dai-ichi NPP

*Yaohiro Inagaki¹, Tatsumi Arima¹, Kazuya Idemitsu¹, Nobuaki Sato², Daisuke Akiyama², Akira Kirishima² (1. Kyushu University, 2. Tohoku University)

4:05 PM - 4:20 PM

福島汚染水処理で発生する Cs 吸着ゼオライト廃棄物のガラス固化 (3) ガラス固化条件と固化体特性の相関

Vitrification of Cs-Sorbed Zeolite Waste Generated from Decontamination of Effluents at Fukushima Dai-ichi NPP

(3) Relation between vitrification conditions and vitrified waste properties
*山内 宗治¹, 稲垣 八穂広¹, 有馬 立身¹, 出光 一哉¹, 山門 鋼司¹, 佐藤 修彰², 秋山 大輔², 桐島 陽²

1九州大学工学研究院, 2東北大学多元研

福島第一原発の汚染水処理で大量に発生している Cs 吸着ゼオライト廃棄物の合理的な処理方法として溶融ガラス固化が挙げられる。本研究では、ガラス融剤の種類/添加量や溶融温度などの固化条件をパラメータとして、Cs 固定化率、化学的耐久性等の固化体特性を測定・評価し、両者の相関を評価した。

キーワード: セシウム吸着ゼオライト廃棄物、溶融ガラス固化、ガラス固化条件、ガラス固化体特性

1.緒言

福島第一原発の汚染水処理で発生した Cs 吸着ゼオライト廃棄物の合理的な処理方法の一つとして、溶融ガラス固化が検討されている。溶融ガラス固化では、ガラス融剤の種類/添加量や溶融温度などの固化条件が、減容率、Cs 固定化率、化学的耐久性等の固化体の諸特性と大きな相関を持つ。本研究では、ガラス融剤の種類/添加量や溶融温度などの固化条件をパラメータとしてガラス固化体を作製し、固化体特性を測定・評価した。その結果をもとに、固化条件と固化体特性の相関を評価し、最適な固化条件を検討した。

2.実験

Cs (コールド)を 1 wt%吸着させたゼオライト(合成チャバサイト)にガラス融剤として $Na_2B_4O_7(30$ wt%)に Li_2CO_3 (Li_2O 換算で $0\sim12$ wt%)を加え、 $950\sim1150$ ℃で 3 h 溶融し、アニールおよび徐冷によりガラス固化体を作製した。固化体の非晶質化と均質性を確認の後、アルキメデス法による密度測定から減容率を評価した。また、固化体中の Cs 含有量を XRF を用いて測定し、Cs 固定化率を評価した。一部の固化体(融剤 $Na_2B_4O_7$ 30 wt% + Li_2O 0,5,10 wt%)については、レーザーフラッシュ法を用いて熱伝導率を測定し、また、化学的耐久性評価としてマイクロチャネル流水試験法を用いた溶解試験によりガラス初期溶解速度 (r_0) の pH 及び温度依存性を測定・評価した。

3.結果及びまとめ

ガラス固化試験の結果、 Li_2O 添加量 2.5 wt%では溶融温度 1050 $^{\circ}$ $^{\circ}$ $^{\circ}$ $^{\circ}$ $^{\circ}$ wt%では 1025 $^{\circ}$ $^{\circ$

*Muneharu Yamauchi¹, Yaohiro Inagaki¹, Tatsumi Arima¹, Kazuya Idemitsu¹, Koji Yamakado¹, Nobuaki Sato², Daisuke Akiyama², Akira Kirishima², : ¹Kyushu University, ²Tohoku University.

謝辞:本研究の一部は、「文部科学省英知を結集した原子力科学技術・人材育成推進事業」により実施された「高汚染吸着材廃棄物の処理処分技術の確立と高度化」の成果である。

1G12 2018年秋の大会

福島汚染水処口で発生する Cs 吸着ゼオライト廃棄物のガラス固化 (4) ガラス固化条件の総合評価

Vitrification of Cs-Sorbed Zeolite Waste Generated from Decontamination of Effluents at Fukushima

Dai-ichi NPP

(4) Comprehensive evaluation of vitrification conditions

福島第一原発の汚染水処理で放射性 Cs を吸着したゼオライト廃棄物が大量に生じており、安定化処理することが課題となっている。合理的な処理方法の 1 つとして溶融ガラス固化があり、本研究ではアルカリ融剤(Li_2O)の添加量や溶融温度を変化させ、溶融ガラス固化時の放射性 Cs, Sr の揮発挙動を分析し、最適なガラス固化条件を検討した。

キーワード: セシウム吸着ゼオライト廃棄物、溶融ガラス固化、ガラス固化体、ガラス固化条件、放射性 Cs, Sr の揮発

1. 緒言

福島第一原子力発電所の事故により大量の汚染水が生じ、それらを処理するためにゼオライト吸着剤(チャバサイト)が使用されている。汚染水に含まれる放射性物質を吸着したゼオライトは吸着材廃棄物として今なお増え続けており、その安定保管および処分のための処理方法が検討されている。その合理的な処理方法の一つとして溶融ガラス固化法があるが、溶融ガラス固化時の放射性 Cs, Sr 等の揮発や処分時の化学的安定性を考慮して固化条件を設定する必要がある。本研究ではアルカリ融剤(Li₂O)の添加量と溶融温度をパラメーターとし、放射性 Cs, Sr の揮発挙動を分析し、最適なガラス固化条件を検討した。

2. 実験

放射性 $Cs(^{137}Cs)$ 、 $Sr(^{85}Sr)$ をトレーサーとして添加した CsCl、 $SrCl_2$ 溶液にチャバサイト(IE-96)を浸漬させ、Cs、Sr を 0.1wt%もしくは 1wt%吸着した模擬吸着剤廃棄物を作製した。この模擬吸着剤廃棄物にガラス融剤として $Na_2B_4O_7$ を 30wt%と、溶融温度を下げることが期待される Li_2O (添加試薬は Li_2CO_3)を 0~10wt% 添加して混合した後、溶融温度 $1000^{\circ}C$ で 3 時間加熱し溶融ガラス固化を行った。得られたガラス固化体は NaI シンチレーションカウンターを用いて放射能測定をし、この試料の Cs, Sr の固定化率を 100% と仮定した。その後、再度 $1000~1150^{\circ}C$ で 3 時間加熱処理をし、同様に放射能測定を行うことで Cs, Sr の固定化率の溶融温度依存性を評価した。

3. 結果およびまとめ

Cs についてはガラス融剤の添加量の増加および溶融温度の上昇によって揮発することで固定化率が下がるが、Sr はほとんど揮発しないことが分かった。Cs の固定化率が比較的高い条件としてガラス融剤: $Na_2B_4O_7$ (30wt%程度) + Li_2O (0-5wt%程度)、溶融温度 1025-1100 C程度、溶融時間: 30 分-3 時間程度が最適な溶融ガラス固化条件と判断された。なお、Cs 固定化率は作製するガラス固化体の大きさ(比表面積)及び溶融時間にも大きな影響を受けることが確認されたため、実規模での吸着材廃棄物のガラス固化を考えた場合、Cs 揮発の速度論的な評価が重要になると考えられ、工学的評価も含めた更なる検討が必要である。

*Daisuke Akiyama¹, Nobuaki Sato¹, Akira Kirishima¹, Yaohiro Inagaki² and Tatsumi Arima².

¹Tohoku Univ., ²Kyushu Univ.

謝辞:本研究の一部は、「文部科学省英知を結集した原子力科学技術・人材育成推進事業」により実施された「高汚染吸着材廃棄物の処理処分技術の確立と高度化」の成果である。

1G13 2018年秋の大会

福島汚染水処理で発生する Cs 吸着ゼオライト廃棄物のガラス固化 (5) ガラス固化体性能の総合評価

Vitrification of Cs-Sorbed Zeolite Waste Generated from Decontamination of Effluents at Fukushima Dai-ichi NPP

(5) Assessment of total performance of vitrified waste form

*稲垣 八穂広¹, 有馬 立身¹, 出光 一哉¹, 佐藤 修彰², 秋山 大輔², 桐島 陽²

¹九州大学工学研究院, ²東北大学多元研

福島第一原発の汚染水処理で大量に発生している Cs 吸着ゼオライト廃棄物の合理的な処理方法として 溶融ガラス固化が挙げられる。ここでは、ガラス固化体の製造、保管、処分の総合的観点から固化体性能を評価した。

キーワード: セシウム吸着ゼオライト廃棄物,溶融ガラス固化,固化条件,固化体性能,総合性能評価

1. 緒言

福島第一原発の汚染水処理で発生した Cs 吸着ゼオライト廃棄物の安定保管/最終処分のための処理方法として溶融ガラス固化が挙げられる。溶融ガラス固化では、ガラス融剤の種類/添加量や溶融温度などの固化条件が、減容率、Cs 固定化率、化学的耐久性等の固化体の諸特性に影響を及ぼすことから、固化条件と固化体諸特性の相関について基礎的な評価を進めている。本報では、これまでの評価結果を基にガラス固化体の製造、保管、処分の総合的観点から固化体性能を評価した。

2. 評価の観点と評価結果

ここでは以下の観点に着目して最適な固化条件を評価し、固化体性能の総合評価を行った。

(1) 製造容易性の観点からの溶融ガラス固化条件

製造容易性の観点からは低い溶融温度が有利であり、核種の揮発を抑え高い核種固定化率を得るためにも有利であるが、一方、均質なガラスを得るためには高い溶融温度が必要である。ガラス融剤として $Na_2B_4O_7(30 \text{ wt%})$ に Li_2O を少量 (2.5-10wt%)添加することで溶融温度を $1000\text{-}1050^{\circ}$ に下げられ、かつ、 Cs 固定化率 95%以上の固化体が得られることが分かった。なお、Cs の揮発についてはガラスの大きさ(比表面積)を考慮した速度論的な評価が必要になることが分かった。

(2) 固化体の保管、処分の観点からの溶融ガラス固化条件

固化体の保管においては熱伝導率の正確な情報が必要である。上記のガラス固化条件の固化体の熱伝導率は 1.5- $1.8 \, \mathrm{Wm}^{-1}\mathrm{K}^{-1}$ (300-700K) で組成依存性は小さく、気泡等の微細構造変化が熱伝導率を低下させる主要因であることが分かった。また、処分の観点からは高い化学的耐久性すなわち低いガラス初期溶解速度 (r_0) が必要となるが、上記のガラス固化条件の固化体では高レベルガラス固化体と同程度の低い r_0 が得られ、 $\mathrm{Li}_2\mathrm{O}$ 添加量 $5 \, \mathrm{wt}$ %程度で r_0 が概ね最小となることが分かった。

(3) 固化体性能の総合評価

以上の総合評価より、最適な固化条件として、ガラス融剤: $Na_2B_4O_7(30 \text{ wt%})+Li_2O(5 \text{ wt%})$ 、溶融温度: 1000-1050℃が挙げられる。なお、実規模のガラス固化試験とその工学的な評価が今後の課題である。

謝辞:本研究の一部は、「文部科学省英知を結集した原子力科学技術・人材育成推進事業」により実施された「高汚染吸着材廃棄物の処理処分技術の確立と高度化」の成果である。

^{*} Yaohiro Inagaki ¹, Tatsumi Arima ¹, Kazuya Idemitsu ¹, Nobuaki Sato ², Daisuku Akiyama ², Akira Kirishima ²

¹Kyushu Univ., ²Tohoku Univ.

Oral presentation | V. Nuclear Fuel Cycle and Nuclear Materials | 505-1 Radioactive Waste Management

[1G14-16] Zeolite Waste Solidification 2

Chair: Yaohiro Inagaki (Kyushu Univ.)

Wed. Sep 5, 2018 4:25 PM - 5:15 PM Room G (A37 - A Building)

[1G14] Leaching behavior of Sr from B-Na-Zn solidified waste containing spent zeolite

*Aiki Watanabe¹, Akane Usui¹, Tsuyoshi Arai² (1. Shibaura Institute of technology Graduate School , 2. Shibaura Institute of technology)

4:25 PM - 4:40 PM

[1G15] Durable evaluation and chemical stability of the iron phosphate vitrified solids for low level radioactive waste

*Mouri Masahiro¹, Arai Tsuyoshi², Sato Fuminori³, Saito Yasuo³ (1. Shibaura Institute of Technorogy Graduate School, 2. Shibaura Institute of Technorogy, 3. Japan Atomic Energy Agency)

4:40 PM - 4:55 PM

[1G16] Cs immobilization by the heat-treatment of natural mordenite and effects of sodium carbonate addition

*Aono Hiromichi¹, Takahashi Ryuichiroh¹, Itagaki Yoshiteru¹, Erni Johan¹, Naoto Matsue¹ (1. Ehime university)

4:55 PM - 5:10 PM

使用済みゼオライトを含む B-Na-Zn 固化体からの Sr の浸出挙動

Leaching behavior of Sr from B-Na-Zn solidified waste containing spent zeolite

*渡辺 藍己¹,薄井 茜¹,新井 剛²¹芝浦工業大学大学院,²芝浦工業大学

抄録: セシウム吸着装置に用いられるゼオライトの処理方法として Na_2O -ZnO- B_2O_3 ガラスによるガラス固化に着目した. 本研究では Sr 吸着ゼオライトと Na_2O -ZnO- B_2O_3 ガラスを一体化した固化体試料の化学的耐久性について検討を行った.

キーワード: 福島第一原子力発電所, ホウ酸塩ガラス, ゼオライト, ガラス固化

- **1. 緒言** 東京電力ホールディングス福島第一原子力発電所から発生する放射性物質を含む水 (汚染水) は、セシウム吸着装置等により浄化処理された後、循環注水冷却に用いられている。セシウム吸着装置にはゼオライト等の無機吸着材が用いられているが、Cs や Sr 等の放射性核種を吸着した無機吸着材の処理方法は未定である。そこで筆者らは、使用済みゼオライトの処理方法としてガラス固化法の適用を検討している。既往の研究成果より $Na_2O-ZnO-B_2O_3$ ガラスに Cs 吸着ゼオライトを 80 wt%添加することで良好な耐水性を示すことが明らかとなっているCs いるCs の着ゼオライトを添加した固化体試料の Cs の浸出挙動について検討を行った。
- 3. 結果・考察 図1に A-Sr_80 wt%の構成元素の規格化浸出量を示す. 図1より、A-Sr_80 wt%における構成元素の規格化浸出量は何れも基準値よりも低い値を示した^[2]. その中でも Zn に関しては検出限界以下の値を示した. また、Na 及び Sr の規格化浸出量が他の元素と比較して高いのは、固化体試料の水による浸食がアルカリイオンの溶出から生じるためだと考えられる. 加えて、菅野らの報告によればアルミノケイ酸ストロンチウムの結晶から Sr はほとんど浸出しないことが報告されている^[3]. そのため、A-Sr_80 wt%中のアル

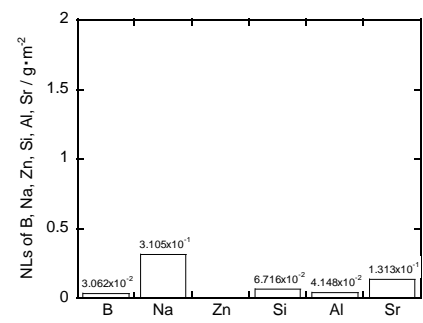


図 1 A-Sr_80 wt%の構成元素の規格化浸出量

ミノケイ酸ストロンチウムが Sr を固定化することで低い規格化浸出量を示したと推察される.

参考文献

- [1] 渡辺藍己ら: 学生研究発表会 予稿集 B-04, (2018)
- [2] 福井寿樹: 資源エネルギー庁委託業務における低レベル放射性廃棄物のガラス固化技術の開発状況, (2016), p17
- [3] 菅野卓治ら:原子力誌, 19 (1997), 113

謝辞 本研究は文部科学省廃止措置等基盤研究・人材育成プログラム委託費により実施された「廃止措置工学高度人材育成と 基盤研究の深化」の成果の一部である。また、本研究の推進にあたりユニオン昭和株式会社の三村均氏、松倉実氏にゼオライト試料をご提供頂いた。ここに深甚の謝意を表する。

^{*}Aiki Watanabe¹, Akane Usui¹, Tsuyoshi arai²

¹ Shibaura Institute of Technology Graduate school, ² Shibaura Institute of Technology

低レベル放射性廃液に対する鉄リン酸ガラス固化体の化学的安定性と耐久性評価 Durable evaluation and chemical stability of the iron phosphate vitrified solids for low level radioactive waste

*毛利 雅裕¹,新井 剛²,佐藤 史紀³,齋藤 恭央³
¹芝浦工業大学大学院,²芝浦工業大学,³日本原子力研究開発機構

抄録: 鉄リン酸ガラス(mol 比 Fe: P: Na=: 1.0:1.6:1.5)によるリン酸廃液のガラス固化体を作製し、冷却速度が化学的安定性に及ぼす影響について詳密に検討した.

キーワード: 鉄リン酸ガラス, ガラス固化, 低レベル放射性廃棄物

1. 緒言

使用済燃料の再処理に伴い発生する劣化溶媒(リン酸ジブチル: DBP)の再生には、炭酸ソーダ溶液や苛性ソーダ溶液を用いるため、リン酸塩やナトリウム塩等を多含する放射性廃液(リン酸廃液)が発生する. 従来のセメント固化法で本廃液を処理する場合、リン酸塩やナトリウム塩によりセメント凝固反応が阻害され、廃棄物充填率の低下及び固化体の安定性の低下が懸念される. そこで筆者らは、本廃液に多含するリン酸塩をガラスの固化体骨格として利用可能な鉄リン酸ガラスの検討を重ねている. 既往の研究成果より、鉄リン酸ガラスの組成を Fe: P: Na=1.0:1.6:1.5 (mol 比)とすることで、廃棄物を高充填できることが明らかとなった「」しかし、この高充填化による化学的安定性への影響は未検討である. また、実プロセスにおいて溶融ガラスはキャニスターへの充填が検討されているが、多量の溶融ガラスを固化する際、降温速度の低下に伴う結晶化が懸念される. 本発表では、模擬廃液を用いて溶融ガラス化試験を行い、急冷した試料と降温速度を低下させた試料を作製し、冷却速度が化学的安定性に及ぼす影響について検討した.

2. 実験方法

本試験では、リン酸廃液を模擬した混合廃液を作製後、溶融ガラス化試験を行った \Box . 模擬廃液中に含まれる Na の mol 量に対し、Fe: P: Na=1.0: 1.6: 1.5 となるように、試薬(酸化鉄及びりん酸二水素アンモニウム)を添加することで組成を調整した。 鉄リン酸ガラスは 1100 $\mathbb C$ で 4 時間加熱することで溶融後に自然放冷したものを急冷試料、溶融後に降温速度を一定 $(1.0 \mathbb C \cdot \min^{-1})$ にして作製したものを徐冷試料とした。 両試料は SEM 及び EDS で均質性を評価後、PCT-B に準拠した浸出試験を行い化学的安定性の比較を行った。

3. 実験結果と考察

Fig. 1 に急冷試料と徐冷試料の外観写真及び XRD 分析結果を示す。Fig. 1 の外観写真より、何れの試料においても黒色の外観が観察された。また、XRD 分析結果にて、急冷試料では非晶質を示すハローパターンが見られたためガラス化したと考えられる。しかし、徐冷試料では結晶ピークが検出されたため、 $1.0~C\cdot min^{-1}$

の降温速度ではガラス化が困難であることが明らかとなった.また,徐冷試料を粉砕した際,試料表面の黒色の層が剥離し,内部には茶褐色を呈する層の存在が観察された.Fig. 2 に SEM 及び EDS を用いた黒色の表面層と茶褐色の層の観察結果を示す.Fig. 2 の元素マッピングの結果から,降温速度を低下したことに伴い生じた黒色の表面層に Fe と O が偏析しているため,Fe の酸化物かつ黒色の外観を有する Fe $_3$ O $_4$ の化合物であると考えられる $^{[2]}$. これは試料表面の Na と P が揮発したことに伴い,残存した Fe が茶褐色の層を覆うように Fe $_3$ O $_4$ の層を形成したためと考えられる $^{[3]}$. 一方,茶褐色の層には Fe, P, Na, O が均一に分布されていることから,XRD 分析結果で確認された Fe $_2$ Na $_3$ (PO $_4$) $_3$ を多く含む層の化学的安定性評価を行い,冷却速度の違いにより生成された結晶が化学的安定性に及ぼす影響について検討したので報告する.

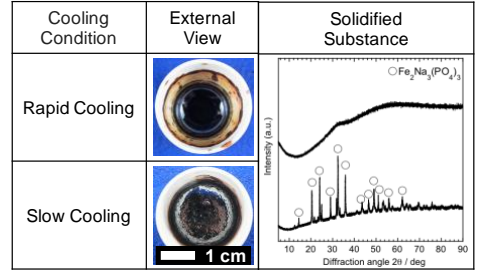


Fig. 1 Appearance and XRD pattern of these samples

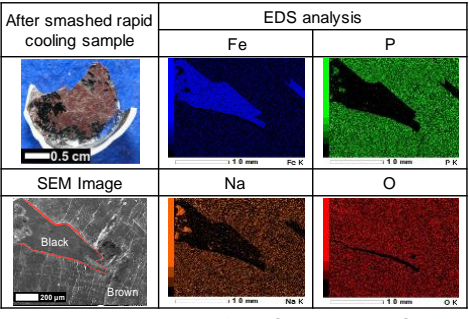


Fig. 2 The result of the SEM and EDS

4. 参考文献

- [1] 佐藤史紀: 日本原子力学会 2017年 秋の大会 予稿集, 2A-06 (2017).
- [2] 中原勝儼:無機化合物·錯体辞典,講談社,p. 228 (1997).
- [3] 椙山正孝:金属材料の高温酸化とその対策、Vol. 10, No. 9 (1959).
- 本研究は,経済産業省資源エネルギー庁「平成30年度放射性廃棄物の減容化に向けたガラス固化技術の基盤研究事業」の研究成果の一部である.

^{*}Masahiro Mouri¹, Tsuyoshi Arai², Fuminori Sato³, Yasuo Saito³

¹ Shibaura Institute of Technology Graduate school, ² Shibaura Institute of Technology, ³Japan Atomic Energy Agency

1G16 2018年秋の大会

天然モルデナイトの焼成による Cs 固定化および炭酸ナトリウム添加効果

Cs immobilization by the heat-treatment of natural mordenite and effects of sodium carbonate addition *青野 宏通, 高橋 龍一郎, 板垣 吉晃, エルニ ジョハン, 松枝 直人

愛媛大学

非放射性の Cs^{\dagger} を天然のモルデナイトに部分吸着させ、加熱によるセシウムの固定化を試みた。1000 C およびより高い温度での焼成では、ガラス相に固定化されるため Cs^{\dagger} の溶出は検出されなかった。炭酸ナトリウムをモルデナイトに添加したところ、より低温で固定化し溶出が無くなり、Cs の気化についても著しく抑制されることがわかった。

キーワード: Cs 除染, ゼオライト, 固定化, モルデナイト, 加熱操作

1. 緒言

放射性物質の除去の方法としてゼオライトによる吸着除去が用いられてきている。特にモルデナイト $(Na_8Al_8Si_{40}O_{96} \cdot 24H_2O)$ は Cs に対する選択的吸着性能が優れており、本研究では少量 Cs 吸着させた後、熱処理することによる $Na_2O-Al_2O_3$ - SiO_2 ガラスへの Cs の固定化の評価を行った。また状態図を基に融点を低下させるために Na_2CO_3 を添加し固定化温度の低下および Cs 気化の抑制についての検討を行った。[1]

2. 実験

安価な天然モルデナイトを使用し、100 mL の非放射性 Cs (100 ppm)溶液と 1.0 g のゼオライトを 3 h 振とうさせ、遠心分離・乾燥を行ったものを使用した。Cs 吸着後のゼオライト(全てのアルカリイオンサイトの 4.0%程度)を $600\sim1100$ $^{\circ}$ $^{\circ}$ で焼成し固定化試料を作製した。放射性物質の固定化の評価として溶出試験を行った。溶出試験は、0.1 g の焼成試料を 10 mL の純水中で 24 h 振とうさせ、遠心分離した溶液に溶出した Cs 濃度を測定した。その後、新たに純水を加えて再度振とうさせ、これを 14 日間繰り返し、溶液中に溶出した Cs の総量を算出した。 Na_2CO_3 を添加した試料については、モルデナイトと Na_2CO_3 の重量比を 9:1,8:1,7:3 とし検討を行なった。

3. 結論

天然モルデナイトの XRD 結果は、Cs の吸着の有無にかかわりなく同じ結果であり、モルデナイト相は 800 ℃焼成でも壊れず、900 ℃焼成で結晶構造が壊れ非晶質となり、1000 ℃以上では Cristobalite (SiO_2) を生成した。何も焼成しないモルデナイトでは 14 日間の純水による溶出実験により吸着したセシウムの うち 3.6%が溶出した。この溶出は 600 ℃の焼成によってもかなり低下し、1000 ℃およびより高い温度での焼成では、ガラス相に固定化されるため Cs 溶出が検出されなかった。

炭酸ナトリウムをモルデナイトに添加し同様の実験を行ったところ、添加量の増大に伴い溶融温度が低下した。炭酸ナトリウム添加試料は9:1 混合試料でも、900 ℃焼成を行なうことにより Cs の溶出が検出されなくなり、非晶質となる温度が強く影響していることがわかった。また、天然モルデナイトのみでは1000℃の焼成により約1%のセシウムの気化が起こるが、炭酸ナトリウムの添加によりセシウムの気化が著しく抑制されることがわかった。

参考文献

[1] H.Aono et al, Journal of Nuclear Materials, **508**, 20-25 (2018).

*Hiromichi Aono, Ryuitchiro Takahashi, Yoshiteru Itagaki, Erni Johan and Naoto Matsue Ehime Univ.

Oral presentation | III. Fission Energy Engineering | 304-1 Thermal Hydraulics, Energy Conversion, Energy Transfer, Energy Storage

[1H01-08] Melt Behavior 1

Chair: Masahiro Furuya (CRIEPI)

Wed. Sep 5, 2018 10:00 AM - 12:00 PM Room H (B32 -B Building)

[1H01] Advanced Multi-Scale Modeling and Experimental Tests on Fuel Degradation in Severe Accident Conditions (1)

*Yuji Nagae¹, Masaki Kurata¹ (1. JAEA)

10:00 AM - 10:15 AM

[1H02] Advanced Multi-Scale Modeling and Experimental Tests on Fuel Degradation in Severe Accident Conditions (1)

*Susumu Yamashita¹, Yuji Nagae¹, Masaki Kurata¹, Hiroyuki Yoshida¹ (1. Japan Atomic Energy Agency)

10:15 AM - 10:30 AM

[1H03] Advanced Multi-Scale Modeling and Experimental Tests on Fuel Degradation in Severe Accident Conditions (1)

*Masaki Kurata¹, Takehiko Tou², Masahiro Tanaka³, Susumu Yamashita¹, Yuji Nagae¹ (1. Japan Atomic Energy Agency, 2. NIPPON STEEL &SUMIKIN TECHNOLOGY, 3. Nippon Steel &Sumitomo Metal)

10:30 AM - 10:45 AM

[1H04] Advanced Multi-Scale Modeling and Experimental Tests on Fuel Degradation in Severe Accident Conditions (1)

*Saishun YAMAZAKI¹, Anton PSHENICHNIKOV¹, Yuji NAGAE¹, Masaki KURATA¹, Kan SAKAMOTO ², Kazuyuki TOKUSHIMA³, Masaki AOMI³ (1. JAEA, 2. NFD, 3. GNF-J)

10:45 AM - 11:00 AM

[1H05] Advanced Multi-Scale Modeling and Experimental Tests on Fuel Degradation in Severe Accident Conditions (1)

*Hai Vu Pham¹, Suguru Matsuura², Shotaro Nakajima², Makoto Nanko², Yuji Nagae¹, Masaki Kurata¹ (1. JAEA, 2. Nagaoka Univ. Tech.)

11:00 AM - 11:15 AM

[1H06] Advanced Multi-Scale Modeling and Experimental Tests on Fuel Degradation in Severe Accident Conditions (1)

*Yuji Ohishi¹, Toshiki Kondo¹, Hiroaki Muta¹, Ken Kurosaki¹ (1. Osaka University) 11:15 AM - 11:30 AM

[1H07] Advanced Multi-Scale Modeling and Experimental Tests on Fuel Degradation in Severe Accident Conditions (1)

*Takumi Sato¹, Naoya Hirata², Katsunari Oikawa², Yuji Nagae¹, Masaki Kurata¹ (1. Japan Atomic Energy Agency, 2. Tohoku university)

11:30 AM - 11:45 AM

[1H08] Advanced Multi-Scale Modeling and Experimental Tests on Fuel Degradation in Severe Accident Conditions (1)

*Ayako Sudo¹, Fumiki Mizusako², Kuniyoshi Hoshino³, Takumi Sato¹, Yuji Nagae¹, Masaki Kurata¹ (1. Japan Atomic Energy Agency, 2. Nippon Nuclear Fuel Development, 3. Hitachi-GE) 11:45 AM - 12:00 PM

シビアアクシデント時の燃料破損・溶融過程解析手法の高度化 (1) (その1)全体概要

Advanced Multi-Scale Modeling and Experimental Tests on Fuel Degradation in Severe Accident Conditions (1)

(No.1) Project outline

*永江 勇二」,倉田 正輝」

1日本原子力研究開発機構

「原子力の安全性向上に資する共通基盤整備のための技術開発事業(シビアアクシデント時の燃料破損・溶融過程解析手法の高度化)」に係る成果について、8件のシリーズ発表を実施する。本件はそのうちの全体概要を発表するものである。

キーワード: シビアアクシデント(SA)、燃料破損・溶融現象、材料科学的モデル、非典型的な事故条件

1. はじめに

軽水炉安全技術・人材ロードマップ(平成 27 年 6 月策定、平成 29 年 3 月改訂)では、安全解析技術の高度化に関して、産官学連携による SA に関する模擬試験や解析手法の高度化に基づく知見の体系的な深化、及びその継続実施の重要性を指摘している。その中で、SA 解析の一部である燃料破損・溶融現象については、複雑な物理・化学反応が温度急変する非均質体系で重畳して発生することから、従来は TMI 事故等を参考に典型的な事故シナリオを想定し、極めて単純化した溶融進展モデルを整備し、それを SA 解析コードに組み込んでいる。しかし、IF 事故の事故進展解析により、2 号機では典型的でない条件(極短時間での冷却水喪失と水蒸気枯渇条件での燃料溶融)で事故が進展した可能性が高いこと、また、BWR 体系では制御棒ブレードやチャンネルボックスの存在等により、PWR と異なる事故進展を引き起こす可能性があること、などが指摘された。このような従来想定されていない条件での燃料破損・溶融現象を適切に解析し、アクシデントマネージメントに向けた課題を抽出するには、機構論的に燃料破損・溶融事象を解析・評価できる詳細解析コードの開発が必要となる。炉心全体の溶融・崩落事象を機構論的に解析する必要はなく、

燃料集合体レベルの解析コードを整備し、その解析結果を加味して、従来 SA 解析コードの解析を行う手法が妥当と考えられる。

2. 実施概要

図1に実施概要を示す。(1)燃料破損・溶融の要素過程解析モデルとデータベースの高度化(BWR/PWR 双方の体系)、(2)解析モデルの連成(multi-scale/physics)、(3)解析モデルの V&V に向けた必要知見の拡充により、集合体規模で、様々な事故進展条件を想定して



図1 実施概要

詳細解析できる解析手法を整備する。平成30年度末までに、解析コードのベータ版を整備し、部分的な公開に着手する計画である。また、整備する要素過程解析モデルや、材料科学的検討に不可欠となる熱力学データベースについても随時公開し、人材育成・教育支援などにも活用していただく方針である。

8件のシリーズ発表では、BWR体系解析コードのベータ版整備に向けた進捗について報告する。

*本研究の成果は、平成 28 年度から平成 29 年度 原子力の安全性向上に資する共通基盤整備のための技術開発事業(シビアアクシデント時の燃料破損・溶融過程解析手法の高度化)の一部である。

^{*}Yuji Nagae1 and Masaki Kurata1

¹Japan Atomic Energy Agency

1H02 2018年秋の大会

シビアアクシデント時の燃料破損・溶融過程解析手法の高度化(1) (その2)炉内構造物の溶融移行挙動詳細解析コード整備

Advanced multi-scale modeling and experimental tests on fuel degradation in severe accident conditions (1) (No.2) Development of a numerical simulation method of melt relocation behavior for core internals

*山下 晋¹, 永江 勇二¹, 倉田 正輝¹, 吉田 啓之¹
¹日本原子力研究開発機構

物理化学的・材料科学的知見に基づいて溶融移行挙動を推定するため、多相多成分熱流動解析コード JUPITER に対し、炉内構造物構成材成分(B₄C、SUS など)の溶質拡散手法と熱力学データベースを新たに組込んだ。 燃料集合体内構造物の溶融挙動解析に適用し、共晶溶融物の生成などを考慮した評価が可能な見通しを得た。 キーワード:計算流体力学、溶融・凝固、移行挙動、多成分流

1. 緒言

原子力機構では、過酷事故時の炉心溶融挙動に関する現象把握のため、炉内溶融物移行挙動等を現象論的に解析できる多相多成分熱流動解析コード JUPITER [1]を開発している。本報では、より現実に則して燃料集合体構成材の溶融開始時の挙動を解析するため、JUPITER に構造材の溶質拡散と熱力学データベースを導入し、制御棒などで発生する液相化現象に対し直接的に数値予測へ適用した結果を報告する。

2. 燃料集合体溶融挙動解析

図1左に計算体系を示す。CADデータより、BWR の制御棒、チャンネルボックス、燃料棒の一部を入力データとして作成し、中性子吸収材(B4C)と制御棒シース(SUS)界面での液相化過程解析を行った。領域は縦横高さが、45、17.5、100mmで、格子解像度は、120×320×690である。BとCの初期溶質濃度を標準的なB4Cの重量比である78.3%,21.7%と設定し、拡散方程式により求めた各溶質濃度と熱力学データベースから融点を評価した。図1右より、拡散により溶質濃度が変わることで融点

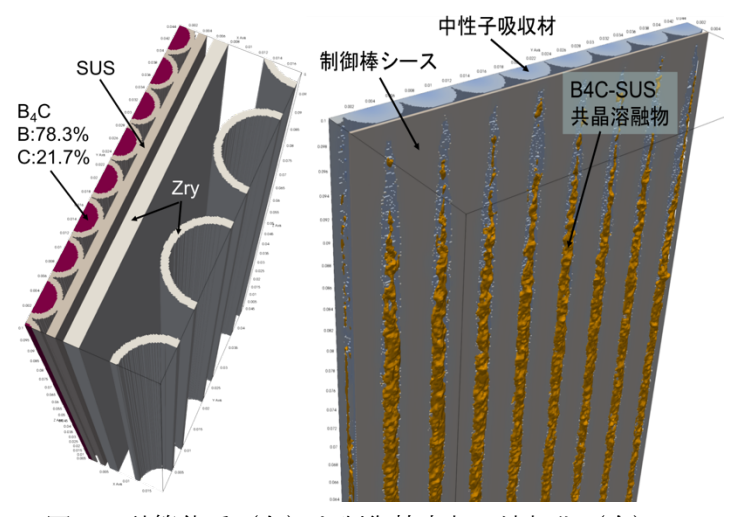


図1 計算体系(左)と制御棒内部の液相化(右)

が低下し、制御棒シースと中性子吸収材被覆管界面で共晶溶融物が生じている。

3. 結論

炉内構成材の溶質拡散による濃度と熱力学データベースによる融点を用いることで、共晶溶融物の生成と 液相化などの、物理化学的・材料科学的知見に基づいた溶融物移行挙動が予測できることを確認した。今後、 本手法の検証等を進め、炉内溶融物の移行進展挙動の機構論的把握を進める。

謝辞 本研究の成果は、平成 29 年度原子力の安全性向上に資する共通基盤整備のための技術開発事業(シビアアクシデント時の燃料破損・溶融過程解析手法の高度化)の一部である。本研究は、日本原子力研究開発機構の大型計算機 ICE-X を用いた成果である。

参考文献 [1] S. Yamashita, et al., Nucl. Eng. and Design, vol. 322, pp. 301-312 (2017).

^{*}Susumu Yamashita¹, Yuji Nagae¹, Masaki Kurata¹ and Hiroyuki Yoshida¹

¹Japan Atomic Energy Agency

1H03 2018年秋の大会

シビアアクシデント時の燃料破損・溶融過程解析手法の高度化 (1) (その3) 炉内構造物の溶融要素過程解析モデル整備

Advanced multi-scale modeling and experimental tests on fuel degradation in severe accident conditions (1)

(No.3) Development of elementary degradation process model of internal structure

*倉田正輝3、藤 健彦1、田中正博2、山下 晋3、永江勇二3

1日鉄住金テクノロジー株式会社、2新日鐵住金株式会社、3日本原子力研究開発機構

燃料集合体と制御棒の初期段階における崩壊挙動について、共晶反応と水蒸気反応を考慮した有限体積法 による解析モデルを検討した。模擬燃料棒・制御棒を雰囲気中の水蒸気量を調整した環境下で誘導加熱する 実験結果と比較し、モデルの妥当性を検証した。

キーワード:計算流体力学,溶融・凝固,多成分流,水蒸気反応

1. 緒言

シビアアクシデントにより生成するデブリの状況予測に際しては、崩壊手順の理解が重要である。受託事 業では、崩落現象を支配する共晶反応と水蒸気反応の2つの要因について、実験・解析両面から検討を加え ている。本報では、解析モデルの概要と実験比較検証結果を述べる。

2. 解析モデルと検証

気 - 固液 2 相の混相流で、固液内で複数の溶質成分を持たせる有限体積法のモデルとした。制御棒中の Fe と減速材中のB間の反応(共晶温度1573K)、ジルカロイ中のZrと制御棒中のFe間の反応(共晶温度1210K)を 考慮した。溶融・凝固解析は VOF(Volume of Fluid)-埋込境界法に依った。水蒸気反応は界面に垂直な方向の酸 化膜成長速度を実験式に従って簡易モデル化し、発生水素も算出する文献[1]の方法を導入し、水蒸気有無の 影響を評価した。9 本で構成される模擬燃料棒の、水蒸気量を調整した雰囲気下での誘導加熱実験の結果と 比較し、定性的な現象の一致を確認した。図 1.2 に解析系と結果例を示す。

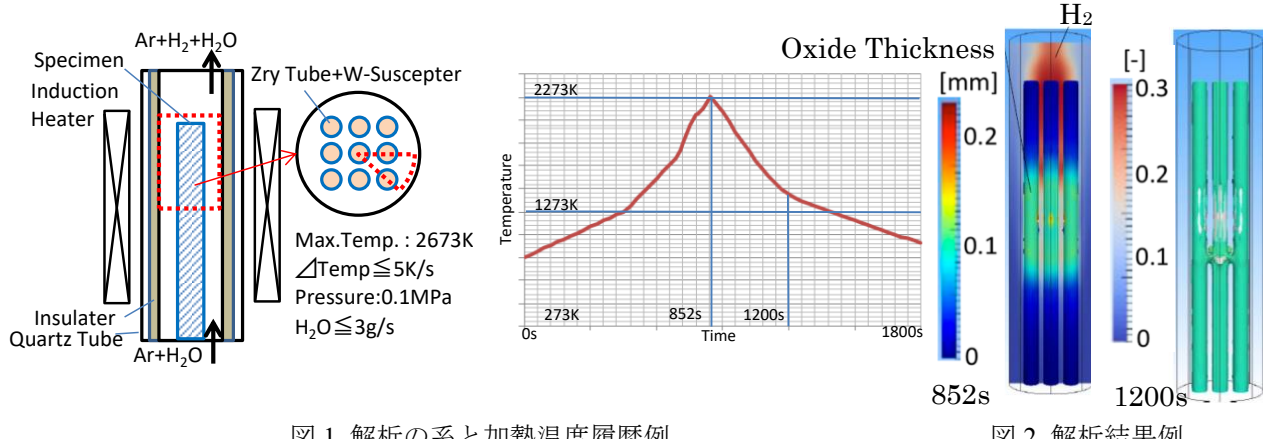


図1 解析の系と加熱温度履歴例

図2解析結果例

3. 結論

共晶反応と水蒸気反応の2つのシビアアクシデント初期段階の現象を支配する要因を組み込んだモデルを 作成し、基礎実験結果との比較で検証した。手法は大規模モデル JUPITER への組み込みを進めている。

謝辞 本研究の成果は、平成 29 年度原子力の安全性向上に資する共通基盤整備のための技術開発事業(シビア アクシデント時の燃料破損・溶融過程解析手法の高度化)の一部である。

参考文献 [1] H.T.Kim, B.W.Rhee and J.H.Park; Journal of Nuclear Science and Technology, (2007) 44:11, 1385-1394

^{*}Masaki Kurata³, Takehiko Toh¹, Masahiro Tanaka², Susumu Yamashita³, and Yuji Nagae³

¹ Nippon Steel & Sumikin Technology ², Nippon Steel & Sumitomo Metal Corporation, ³Japan Atomic Energy Agency

シビアアクシデント時の燃料破損・溶融過程解析手法の高度化(1) (その 4)ジルカロイ酸化/水素化モデルの整備

Advanced Multi-Scale Modeling and Experimental Tests on Fuel Degradation in Severe
Accident Conditions (1)

(4) Development of modeling for oxidation and hydrogen uptake of Zircaloy 山崎 宰春¹, プシェニチコフ アントン¹, 永江 勇二¹, 倉田 正輝¹,

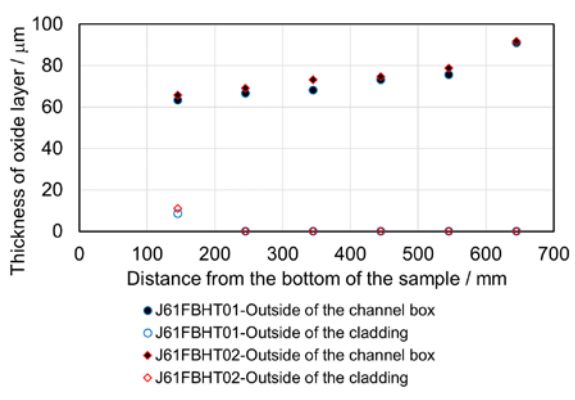
坂本 寛2, 徳島 二之3, 青見 雅樹3

¹日本原子力研究開発機構,²日本核燃料開発株式会社,³グローバル・ニュークリア・フュエル・ ジャパン

BWR 燃料集合体における水蒸気枯渇条件での被覆管の酸化、及び水素吸蔵現象をモデル化することを目的とし、被覆管 4 本の周囲にチャンネルボックスを配置した試験体体系にて、異なる 2 つの水蒸気供給速度による酸化/水素吸蔵挙動の違いに係るデータを取得した。

キーワード: BWR 燃料集合体,酸化,水素化,水蒸気枯渇

- 1. **緒言** チャンネルボックスで燃料被覆管が囲われた燃料集合体体系を有する BWR では、PWR と体系が異なることから、シビアアクシデント時の酸化/水素吸蔵挙動はこのチャンネルボックスの酸化/水素化を考慮する必要がある。本研究では、BWR での燃料集合体規模での被覆管の酸化、及び水素吸蔵現象をモデル化することを目的とし、被覆管 4 本の周囲にチャンネルボックスを配置した試験体を用い、異なる 2 つの水蒸気供給速度による酸化/水素吸蔵挙動の違いに係るデータを取得するため、1300℃で酸化/水素吸蔵挙動試験を実施した。
- 2. 結果と考察 水蒸気供給量が少ない場合、試験体チャンネルボックス内部では、試験体被覆管上部にて酸化膜が減少する(図 1)とともに水素吸収量が増加した(図 2)。これはこれまでに行なった被覆管 1 本での試験で認められた酸化/水素吸蔵挙動と同じ傾向である。水蒸気供給量と、酸化反応に係る試験体断面の外周および水蒸気流路面積で表される等価直径を用いて、酸化の進展程度を評価する規格化された水蒸気量を提案した。



1800 concentration / wtppm 1500 1200 900 600 300 ř 0 100 200 300 400 500 600 Distance from the bottom of the sample / mm o J61FBHT01-cladding J61FBHT01-channel box ◆ J61FBHT02-channel box J61FBHT02-cladding

図1 試験体軸方向の酸化膜厚変化

図2 試験体軸方向の水素吸収量変化

謝辞 本研究の成果は、平成 29 年度原子力の安全性向上に資する共通基盤整備のための技術開発事業(シビアアクシデント時の燃料破損・溶融過程解析手法の高度化)の一部である。

¹JAEA, ²NFD, ³GNF-J

^{*}Saishun Yamazaki¹, Anton Pshenichnikov¹, Yuji Nagae¹, Masaki Kurata¹, Kan Sakamoto², Kazuyuki Tokushima³ and Masaki Aomi³

Advanced Multi-Scale Modeling and Experimental Tests on Fuel Degradation in Severe Accident Conditions

(5) Model of Reaction between Control Rod and Channel Box

*Hai Vu Pham¹, Suguru Matsuura², Shotaro Nakajima², Makoto Nanko², Yuji Nagae¹ and Masaki Kurata¹

¹Japan Atomic Energy Agency, ²Nagaoka University of Technology.

Abstract. In this study, soaking experiments of pre-oxidized zry plates in molten mixture of stainless steel and 5 mol% boron carbide were conducted at 1200-1250°C. Thickness of oxide layer, ZrO₂ was measured before and after the soaking test to investigate the ZrO₂ thickness recession in the molten mixture. Results of the study indicated that the thickness recession of ZrO₂ was mainly caused by the diffusion of oxygen from oxide layer to metallic-Zr region.

Keywords: loss-of-coolant accident, zircaloy, control blade, fuel assembly degradation

1. Introduction

Loss-of-coolant accidents in nuclear energy industry have attracted much attention since the Fukushima dai-ichi incident in March 2011. The control blade composed of stainless steel and B₄C (hereafter referred as SS-B₄C) could be the first component liquefied at approximately 1200°C. The molten mixture of SS-B₄C then attacks the channel box and fuel cladding which are made of Zircaloy (Zry). To understand the relocation behavior of the molten materials toward nuclear decommissioning, interactions between the components such as channel box and control blade in early stage of the accident must be investigated. In this study, soaking experiments of pre-oxidized zry plates in molten mixture of SS-B₄C were conducted at 1200-1250°C.

2. Experimental procedure

Zry plates were pre-oxidized at 600°C for 12 h in Ar-10%H₂O to create 50 μm of ZrO₂ scale. The molten mixture of SS-5 mol%B₄C was prepared by heat-treatment at 1400°C in Ar gas. The temperature of the molten mixture was then lowered to 1200-1250°C of testing temperatures. After introducing Ar-1%H₂-0.6%H₂O gas mixture to test vessel, zry plate was soaked into the melt for 5-1200 s. Thickness of oxide layer, ZrO₂ was measured before and after the soaking test to investigate the ZrO₂ thickness reduction. Heat treatments of pre-oxidized zry plates in Ar gas at the same conditions were also carried out to clarify the reduction mechanism.

3. Results

Fig. 1 plots the thickness reduction of oxide scale in SS-B₄C melt (solid lines). After soaking in molten SS-B₄C at 1200°C for 20 min, the ZrO₂ layer (50 μm) almost disappeared completely. Heat treatment in Ar gas (dashed lines) at 1200°C for 20 min also resulted in thickness reduction of ZrO₂ layer from 50 μm to 35 μm. In conclusion, ZrO₂ layer formed on zry plate can be declined at high temperatures in environments with low oxygen potential such as in Ar gas or when ZrO₂ surface covered by the molten mixture.

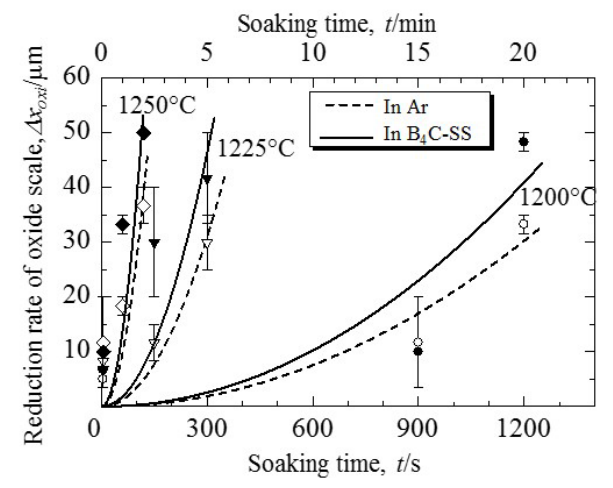


Fig. 1 Reduction rate of oxide scale of zry plate by soaking in SS-B₄C melt or heat-treatment in Ar gas.

Acknowlegdment

This study is performed in the framework of "Advanced Multi-scale Modeling and Experimental Tests on Fuel Degradation in Severe Accident Conditions" supported by Ministry of Economy, Trade and Industry, Japan.

シビアアクシデント時の燃料破損・溶融過程解析手法の高度化(1) (その6) BWR制御棒材とジルコニウムに対する酸素等の影響評価

Advanced Multi-Scale Modeling and Experimental Tests on Fuel Degradation in Severe Accident Conditions (1)

(No.6) Effect of Oxygen and other element on BWR control blade and zirconium

*大石 佑治¹, 近藤俊樹¹, 牟田 浩明¹, 黒崎 健¹.².³

¹大阪大学, ²福井大学, ³JST さきがけ

BWR 制御棒材とジルコニウムに関する熱力学データベースの高性能化のため、Zr-Fe 系をベースに熱力学データを拡充している。本発表では、文献データと実験結果を元に酸素と水素の影響を評価できるように熱力学データを拡充した結果について報告する。

キーワード: Zr-Fe-O-H, 熱力学平衡計算

1. 緒言

BWR 制御棒材とジルカロイの高温での挙動を熱力学平衡計算によって予測するためには、計算対象となる系の熱力学データが必要となる。計算対象となる系として、それぞれの主成分である Fe と Zr、及び水の構成元素である H と O からなる Zr-Fe-O-H の 4 元系を考えた。 Zr-Fe の 2 元系については、熱力学データは既に報告されているものの、 Zr-Fe 系の金属間化合物の一つである Zr₂Fe が 800 $^{\circ}$ $^{\circ}$

2. 実験方法

アーク溶解によって $Zr_{0.5}Fe_{0.5}$ の組成のインゴットを作製し、液体急冷法によって急冷した。得られたリボン状試料を放電プラズマ焼結法によって焼結温度 850 $^{\circ}$ $^{\circ}$

3. 結果と考察

図 1 に、熱処理前及び 600-800 $^{\circ}$ で熱処理した後の試料の XRD パターンを示す。熱処理前には $\mathbf{Zr_2Fe}$ と $\mathbf{Zr_Fe_2}$ が存在して $\mathbf{Zr_3Fe}$ は存在していないが、熱処理後には $\mathbf{Zr_3Fe}$ が生成していることが分かる。このことから、 $\mathbf{Zr_2Fe}$ は 800 $^{\circ}$ C以下で $\mathbf{Zr_3Fe}$ と $\mathbf{Zr_Fe_2}$ へ分解すると考えられる。この結果を元に Thermo-Calc を用いて $\mathbf{Zr_3Fe}$ 熱力学データを更新し、さらに文献データを元に $\mathbf{Zr_3Fe}$ - A 熱力学データベースを構築した。

--謝辞---

本研究の成果は、平成 27 年度発電用原子炉等安全対策高度化技術基盤整備事業(シビアアクシデント時の燃料破損・溶融過程解析手法の高

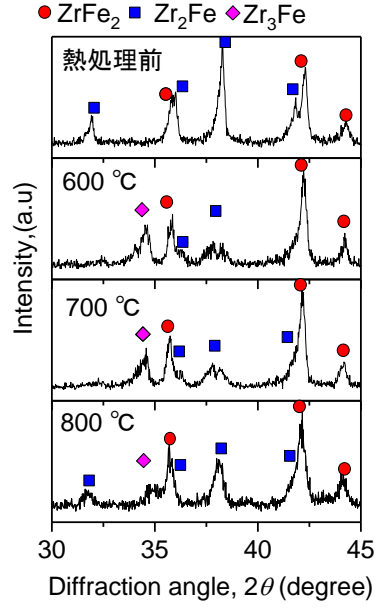


図 1 熱処理前及び熱処理後の 試料の XRD パターン

度化)、及び平成 29 年度原子力の安全性向上に資する共通基盤整備のための技術開発事業(シビアアクシデント時の燃料破損・溶融過程解析手法の高度化)の一部である。

^{*}Yuji Ohishi¹, Toshiki Kondo¹, Hiroaki Muta¹, Ken Kurosaki^{1,2,3}

¹Osaka Univ., ²Univ. of Fukui, ³JST PRESTO.

シビアアクシデント時の燃料破損・溶融過程解析手法の高度化 (1) (その7) 凝固モデル整備

Advanced Multi-Scale Modeling and Experimental Tests on Fuel Degradation in Severe Accident Conditions (1)

(No.7) Development of solidification model *佐藤 拓未¹,平田 直哉²,及川 勝成²,永江 勇二¹,倉田 正輝¹ 「日本原子力研究開発機構、²東北大学

本研究では、シビアアクシデント後期フェーズでの重要課題である溶融酸化物燃料の凝固時の成分偏析、マクロ偏析に関して、溶融物の凝固時界面での溶質元素の固相・液相間の分配に Scheil モデルを導入し、溶融酸化物燃料におけるマクロ偏析挙動を数値解析により評価できる手法を整備し、予備解析を行った。

キーワード:溶融燃料、凝固、マクロ偏析、計算流体力学、シビアアクシデント

1. 緒言

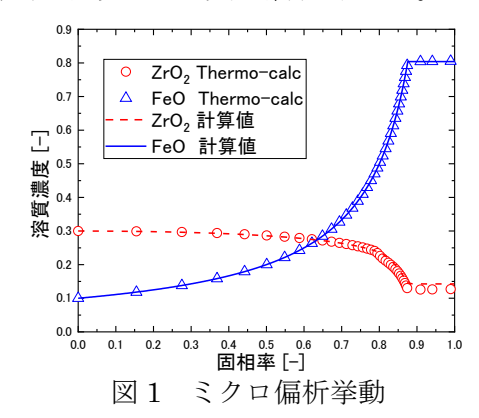
現行 SA 解析コードでは、熱水力・流動解析が中心であり、溶融燃料の凝固現象については、成分均質下での熱バランスによるクラスト成長といった簡易モデルが使用されている。しかし、一般に多成分系の溶融物では、凝固時に成分偏析・マクロ偏析を起こすことが知られており、凝固した燃料デブリについて、特に遅い凝固過程では成分の成層化や偏析[1]が発生すると考えられる。本研究では溶融酸化物燃料の凝固時の成分偏析に関して、凝固時の冷却速度と溶融物流れを考慮した解析モデル整備を目標とした。

2. 溶融酸化物燃料の凝固及びミクロ偏析計算

本研究では、材料科学的なマクロ偏析発生メカニズムの手順を模擬し計算を行った。まず、冷却による溶融物の凝固と同時に発生する溶質の再分配・ミクロ偏析による液相部溶質濃度の変化を算出し、次に、温度・溶質対流に基づく溶質の移流及び最終的な凝固物中の分布を予測した。ミクロ偏析計算には Scheil モデルを導入した。液相線温度や分配係数については、機構の開発した熱力学データベースを用いて熱力学経産ソフトウェア(Thermo-calc)で計算を行い、その結果を近似関数として実装することにより、凝固・ミクロ偏析挙動を解析にて再現した(図 1)。予備解析として、模擬溶融酸化物燃料の組成(UO_2 -30wt% ZrO_2 -10wt%FeO)を設定し、上下左右 4 方向からの冷却の簡易的な 2 次元解析を行った。

3. 結論

凝固進行に伴い残存液相部での FeO 濃度が上昇し、また FeO は相対的に密度が低いため、液相上部へと移流する様子が見られた。凝固後の最終的な濃度分布では、FeO は UO_2 、 ZrO_2 に固溶しないため、凝固後期部・中心部に著しく濃化する傾向が得られた。一方で、 UO_2 、 ZrO_2 は凝固初期部、外側壁面部に濃化する傾向が見られた。種々の冷却条件を変更し、解析を行った結果、凝固速度が遅く、凝固界面での対流が大きいほど全体の偏析が起きやすいことがわかった。 1 Fで予測される 1 K/min 以下という遅い凝固速度下では、十分に成分偏析が起こりえうると考えられる。



*本研究の成果は、平成 29 年度原子力の安全性向上に資する共通基盤整備のための技術開発事業(シビアアクシデント時の燃料破損・溶融過程解析手法の高度化)の一部である。

参考文献

[1] Main Results of the First Phase of MASCA Project, RRC Kurchatov Institute, OECD MASCA Project integrated report, (2004).

^{*}Takumi Sato¹, Katsunari Oikawa², Naoya Hirata², Yuji Nagae¹ and Masaki Kurata¹

¹Japan Atomic Energy Agency., ²Tohoku Univ.

1H08 2018年秋の大会

シビアアクシデント時の燃料破損・溶融過程解析手法の高度化 (1) (その8) 凝固モデル検証データの取得

Advanced Multi-Scale Modeling and Experiment Tests on Fuel Degradation in Severe Accident Conditions (1)

(No.8) Acquisition of Experimental Data for Verification of Solidification Modeling 文樹², 星野 国義³, 佐藤 拓未¹, 永江 勇二¹, 倉田 正輝¹ *須藤 彩子 ¹,水迫 ¹原子力機構, ²日本核燃料開発, ³日立 GE

原子力機構で開発している溶融燃料凝固過程の解析モデルの検証のため、模擬溶融燃料の凝固試験を実施 した。核燃料、燃料被覆管およびその他の炉内構成材料を模擬した試験体を高周波加熱炉で溶融させた後、 冷却速度を変えた凝固試験を実施し、試験後試料の分析を行うことによって凝固時の冷却温度の違いが相 状態に与える影響に関する情報を取得した。

キーワード:シビアアクシデント、凝固試験、溶融燃料、高周波加熱炉、冷却速度

- 1. 緒言 過酷事故時に圧力容器 (RPV) 内で形成される溶融燃料 (コリウム) は、RPV 下部ヘッドにおいて 溶融金属層と溶融酸化物層の2~3層からなる成層化を起こし、それぞれ凝固すると考えられる。冷却速度 は、凝固後の燃料デブリ中の相状態(成分偏析)に大きく影響すると考えられるが、その知見は未だ十分 ではない。本試験では、燃料デブリの凝固過程解析モデルの開発に向け、高周波誘導加熱による酸化物模 擬デブリの溶融・凝固試験を行い、冷却速度の違いが相形成や成層化へ与える影響に係る知見を取得した。
- 2. 実験 酸化物系模擬デブリの調製には、UO2、ZrO2、模擬 FP 酸化物(Cs2CO3、SrCO3、Gd2O3、CeO2)、 FeO 及び B_4 C の粉末試薬を用いた。まず、 UO_2 、 ZrO_2 、模擬 FP 酸化物粉末を混合し、ペレット状に焼結し た後に破砕し、次に、この破砕物と FeO、B₄C の粉末を混合してタングステンるつぼに装荷(試料重量: 30g) し加熱試験に供試した。高周波誘導加熱炉内で、Ar 雰囲気中で 2600℃まで昇温、5 分間保持した後、 炉冷(No.1)、徐冷(5℃/min、No.2)の 2 条件で冷却固化を行った。固化後、試料を垂直方向に切断・研磨し、 金相観察および SEM/EDX 分析を行った。
- 3. 結果・考察 加熱後試料を垂直方向に切断したところ、No.1、 No.2 ともに酸化物層と金属層に分かれていることがわかった。 No.1 の固化後の試料断面金相写真を図 1(上)に示す。酸化物層 を SEM/EDX 分析した結果、(U,Zr)O2 (U リッチ)、(Zr,U)O2 (Zr リッ チ)、 ZrO_2 、Fe の 4 相が同定された(図 1 (下))。一方、金属層は W-Fe、Fe、Wの3相から構成されていた。2つの条件で生成され た相の組成はおおよそ一致していたが、(Zr,U)O2相の形成領域に相 違が見られた(No.2 で、酸化物層下部での成長を観測)。凝固解析 で重要となる(U,Zr)O₂、(Zr,U)O₂中への FeO の溶解度については、 本試験の結果はBechtaらの状態図[1]から予想される値とおおよそ 一致しており、 $(U,Zr)O_2$ 、 $(Zr,U)O_2$ へのFeOの固溶度が確認できた。 本試験で得られた凝固組織のサイズや組成の情報により凝固解析 モデルを検証することができる。

本研究の成果は、平成29年度原子力の安全性向上に資する共通基盤整備 のための技術開発事業(シビアアクシデント時の燃料破損・溶融過程解

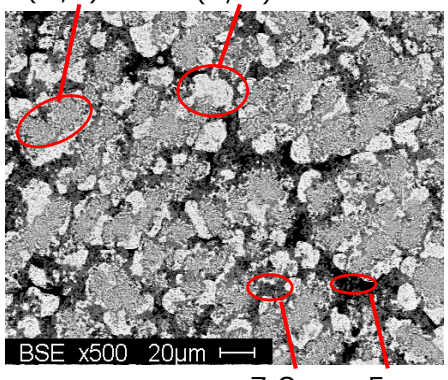
参考文献

[1] ISSN 1066-3622, Radiochemistry, 2011, Vol. 53, No. 1, pp. 13–18. (2011)

析手法の高度化)の一部である。



(Zr,U)O2 (U,Zr)O₂



ZrO₂

図 1 (上)金属顕微鏡断面写真(No.1) (下)分析領域 1 SEM 像

^{*}Ayako Sudo¹, Fumiki Mizusako², Kuniyoshi Hoshino³, Takumi Sato¹, Yuji Nagae¹ and Masaki Kurata¹ ¹Japan Atomic Energy Agency, ²Nippon Nuclear Fuel Development, ³Hitachi-GE.

Oral presentation | III. Fission Energy Engineering | 304-1 Thermal Hydraulics, Energy Conversion, Energy Transfer, Energy Storage

[1H09-12] Melt Behavior 2

Chair:Kei Ito(Kyoto Univ.)

Wed. Sep 5, 2018 2:45 PM - 3:50 PM Room H (B32 -B Building)

[1H09] Deepening Understanding of Ex-Vessel Corium Behavior by Multi-Physics Modeling

*Akifumi Yamaji¹, Masahiro Furuya², Yuji Ohishi³, Guangtao Duan¹ (1. Waseda University, 2. Central Research Institute of Electric Power Industry, 3. Osaka University)

2:45 PM - 3:00 PM

[1H10] Deepening Understanding of Ex-Vessel Corium Behavior by Multi-Physics Modeling

*Masahiro Furuya¹, Akifumi Yamaji², Yuji Ohishi³ (1. CRIEPI, 2. Waseda Univ., 3. Osaka Univ.) 3:00 PM - 3:15 PM

[1H11] Development of Numerical Simulation Method for Relocation Behavior of Molten Materials in Nuclear Reactors

*Yutaro Hihara¹, Hideaki Monji¹, Yutaka Abe¹, Hiroyuki Yoshida², Susumu Yamashita² (1. University of Tsukuba, 2. Japan Atomic Energy Agency)
3:15 PM - 3:30 PM

[1H12] Experimental Investigation of Hydrodynamic Effect on Eutectic Melting of Sn-Bi Binary System

*Shota Ueda¹, Kenta Inagaki², Kondo Masahiro³, Koji Okamoto¹ (1. The University of Tokyo, 2. Central Research Institute of Electric Power Industry, 3. National Institute of Advanced Industrial Science and Technology)

3:30 PM - 3:45 PM

1H09 2018年秋の大会

Multi-physics モデリングによる Ex-Vessel 溶融物挙動理解の深化 (4) 全体概要と MPS 法による Spreading 解析の高度化(2)

Deepening Understanding of Ex-Vessel Corium Behavior by Multi-Physics Modeling

(2) Overview and Progress on Spreading Analysis by MPS Method (2)

*山路 哲史¹, 古谷 正裕², 大石 佑治³, 段 广涛¹
¹早稲田大学, ²電力中央研究所, ³大阪大学

粒子法の一つである MPS 法による計算機実験、模擬溶融物流下試験、UO₂流下試験により、原子炉過酷事 故時の Ex-Vessel 溶融物挙動の機構論的な予測に取り組んでいる。

キーワード: 原子炉過酷事故、MPS 法, 粒子法, spreading, MCCI, ex-vessel, コリウム

1. 緒言

既存の解析手法では原子炉過酷事故時に格納容器床面の sump pit 等の凹部にデブリが集中して安定冷却が困難となる問題の正確な評価や対応策の検討が困難である。本研究では、伝熱・流動・相変化を伴う原子炉容器外(Ex-Vessel)溶融物挙動の理解の深化に取り組む。MPS 法による計算機実験、模擬溶融物流下試験、UO2流下試験により、機構論的な Ex-Vessel 溶融物挙動の予測を目標とする。本発表では全体概要とMPS 法による spreading 解析の高度化の過程で開発した新クラストモデルとその応用について報告する。

2. 研究内容

2-1. MPS 法による Ex-Vessel 溶融物挙動の理解の深化(早稲田大学)

MPS 法による解析により、溶融物の広がり(spreading)停止機構および MCCI によるコンクリートの非等方浸食機構の解明に取り組んでいる。MPS 法の新たなクラストモデルを開発した。同モデルでは、クラストの生成を溶融物の粘性の極大化でモデル化し、クラスト形成後のクラストの歪をクラスト粒子の相対的な変位で評価する。これらにより、従来の spreading 解析では不可能であった、クラストの生成に伴う流動停止の後のクラストの機械的な破断に伴う再流動(Stop & Go)を解析することに初めて成功した。

電力中央研究所で実施された BWR の Mark-I 型格納容器ペデスタル部を模した 1/100 スケール体系の spreading 実験を MPS 法により解析し、溶融物の spreading に伴うサンプへの流下やドライウェル床への流 出を妥当に予測できることを確認した。

2-2. 模擬デブリ流下試験による MPS 解析結果の妥当性の検証(電力中央研究所)

BWR Mark-I 型格納容器を模した実験体系を用いて模擬デブリ流下試験を実施する。試験パラメータに、 デブリ滴下位置、流量、流体粘性係数等を選定し、デブリの三次元流下挙動を可視化すると共に、サンプ ピットや搬出口流出量の時間変化を計測する。異なる縮尺で試験し、スケール効果を定量化する。

2-3. UO2 流下試験による基礎データ取得 (大阪大学)

ガス浮遊させた UO_2 試料を CO_2 レーザーで照射加熱し、落下する溶融 UO_2 試料の挙動をハイスピードカメラで撮影することで可視化する。 試料の組成や温度等をパラメータに系統的なデータを取得する。

3. 謝辞

本研究は、「文部科学省英知を結集した原子力科学技術・人材育成推進事業」により実施された「Multi-physics モデリングによる Ex-Vessel 溶融物挙動理解の深化」の成果である。

^{*}Akifumi Yamaji¹, Masahiro Furuya², Yuji Ohishi³ and Guangtao Duan¹

¹Waseda Univ., ²Central Research Institute of Electric Power Industry, ³Osaka Univ.,

Multi-physics モデリングによる Ex-Vessel 溶融物挙動理解の深化 (5) ペデスタル床複雑構造に拡がる溶融物の三次元流動

Deepening Understanding of Ex-Vessel Corium Behavior by Multi-Physics Modeling (5) Three-Dimensional Melt Spreading behavior in Complex Structure of Pedestal Floor

> *古谷 正裕1, 山路 哲史2, 大石 佑治3 1一般財団法人 電力中央研究所,2早稲田大学,3大阪大学

BWR 格納容器床のサンプピットや搬出口の複雑構造を付加造形技術によりスケーラブルに三次元造形し、 模擬溶融炉心としてシリコーン油を流下させて三次元流動を三方向から可視化した。VOF 法による数値混 相流体力学解析では三次元流動や液膜厚さ分布、流出重量の時系列が精度良く再現できることを確認した。

キーワード:原子炉過酷事故、炉容器外コリウム挙動、コリウム広がり挙動、可視化、VOF法

- 1. 緒言 BWR の過酷事故において炉容器から流出した溶融炉心が格納容器床のサンプピットに流下する と効率的な冷却が困難となり、コンクリートの浸食が顕著となる可能性がある。格納容器床上での三次元 流動挙動を正確に把握することはコリウムシールドの配置計画など安全対策の有効性を把握することや福 島第一原子力発電所の溶融炉心の状態推定のためにも重要である。本研究では格納容器床面に模擬溶融炉 心を流下させ、実験と解析により三次元流動挙動を把握することを目的としている。
- 2. 実験装置及び方法 BWR Mark-I 格納容器床の 2 箇所の矩形サンプピットおよび搬出口を三次元造形に より再現した付加造形技術を用いて縮尺率1/50と1/100にて三次元造形した。円筒床面には矩形サンプピッ トを2箇所、搬出口を1箇所配置した。試験溶液は粘性率が異なる4種類のシリコーン油とした。試験条 件は構造縮尺率、シリコーン油粘性率、流下位置、流下流量、構造体表面濡れ性である。シリコーン油の 三次元流動を三方向からビデオ撮影し、サンプピットと搬出口への流出量を重量計測し、同時にレーザー で厚さ分布を時系列計測した。数値混相流体力学(CMFD)計算には商用コード StarCCM+ v13.02 を用い、 Volume of Fluid (VOF)法で計算して得られる流出形状や重量を実験結果と対比した。
- 3. 実験結果及び考察 Fig. 1 に縮尺率 1/100 における動粘性係数 5000 mm²/s のシリコーン油を中心から 15 mm 南側に流量 40 ml/min で流下させた可視化画像を示す。三方向からの流動様相を比較した結果、床面衝 突後のシリコーン油の広がりや厚さ分布、サンプピットへの流下形状、搬出口への流出流量が実験と解析 で精度良く一致することが確認された。
- 4. 結論 BWR ペデスタルのサン プピットや搬出口の複雑構造を 付加造形技術によりスケーラブ ルに三次元造形し、模擬溶融炉心 を流下させて三次元流動を三方 向から可視化した。縮尺やシリ コーン油の粘性率、流下位置、流 量をパラメータに実験を行い、流 出重量や床面上の液膜厚さ分布 を時系列計測した。VOF 法によ る数値混相流体力学シミュレー ション結果は実験結果を精度良 く再現できることを確認した。

謝辞 本研究は、「文部科学省英 知を結集した原子力科学技術・人 24s 材育成推進事業」により実施され た「Multi-physics モデリングによ る Ex-Vessel 溶融物挙動理解の深 化」の成果である。



Fig. 1 Spreading behavior on pedestal floor with wo sump pits and doorway

(b) View from South

(c) View from North (NNW)

^{*}Masahiro Furuya¹, Akifumi Yamaji² and Yuji Ohishi³

¹CRIEPI, ²Waseda Univ., ³Osaka Univ.

原子炉内溶融物移行挙動数値解析手法の開発

(13) 流下液膜挙動および表面波速度計測

Development of Numerical Simulation Method for Relocation Behavior of Molten Materials in Nuclear Reactors

(13) The behavior of liquid film and the velocity of surface wave *日原 由太郎 ¹、文字 秀明 ¹、阿部 豊 ¹、金子 暁子 ¹、山下 晋 ²、吉田 啓之 ² 「筑波大学,²日本原子力研究開発機構

シビアアクシデント時の事象解明に資することを目的として、炉内溶融物移行挙動等を評価するための多相流解析手法を開発している。本報では、検証データを得ることを目的として行った実験について報告する。 実験では炉心下部の一部を模擬した装置を製作し、流路内部の挙動を調べ、表面波速度を計測した。

キーワード:移行挙動, 可視化計測, 液膜

1. 緒言

シビアアクシデント時の事象解明を目的として、炉内溶融物移行挙動等を評価する多相流解析手法(JUPITER)を開発している[1][2]。本報では、解析手法の信頼性向上のための検証データ取得を目的として炉心下部構造を模擬した装置を用い流下液膜挙動を計測し、数値計算結果との比較、検討を行なった。



図1 流速計測部

2. 実験

本研究では、制御棒の溶融挙動に注目し、制御棒が溶融した際に流下すると考えられる、燃料集合体と制御棒間の狭隘流路や燃料支持機構、制御棒速度リミッタ等をモデル化して実験装置を製作し、可視化計測を行った。また、可視化実験で高温溶融物を用いるのは困難であるため、本実験では常温の水を作動流体とし、PIV や LIF で取得した画像を処理することによって流速や表面波速度を計測した。

3. 結果

図 2 は液膜中央(壁面から 3mm)の流速、液膜厚さから求めた断面平均流速、断面画像より求めた表面波速度、断面平均流速の解析値を示す。狭隘流路下端から液膜は 2.5m/s 程度で流下し始め、そこから拡大部をなだらかに加速して流下することが分かる。また、傾斜部から下端にかけては一定の流速で流下することが実験結果に現れたが傾斜部での傾向は解析と異なっている。拡大部での表面波速度は解析、実験それぞれの液膜厚さ方向中央の流速に比べてやや小さい値が得られた。

4. 結言

狭隘流路の拡大部及び傾斜部において、拡大部では液膜流速が増加し、傾斜部では一定の値を示した。また数値計算結果との比較より、傾斜部で特に異なる結果が得られた。これは出口条件が適

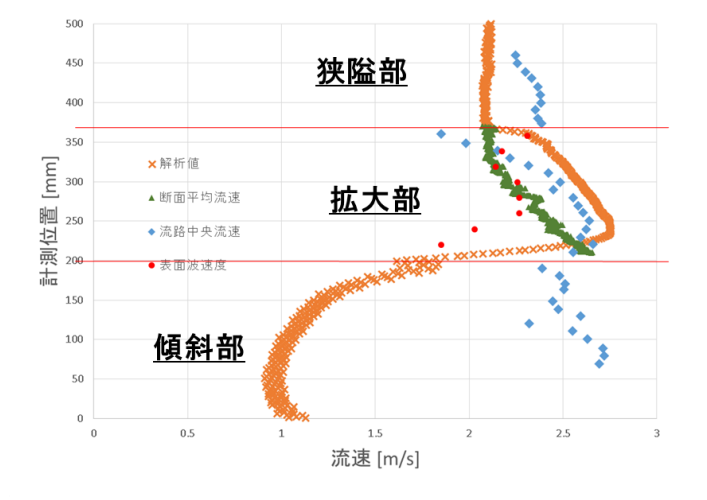


図 2 液膜流速

切に計算できていないこと、気液界面の挙動が詳細に再現されていないことが考えられる。また、画像処理により表面波速度を計測した結果、中央流速よりやや低い値が得られた。今後はより詳細な液膜流速、表面波速度、厚さの計測を行い、3次元的な分布を調べる予定である。

参考文献

- [1] Yamashita, S., et al., ICONE-22-30972, (2014).
- [2] Yamashita, S., et al., ICONE-23-1581, (2015).
- [3] 松浦, 他, 日本原子力学会 2016 年春の年会, 2C19, (2016).

^{*} Yutaro Hihara¹, Hideaki Monji¹, Yutaka Abe¹, Akiko Kaneko¹, Susumu Yamashita², Hiroyuki Yoshida² ¹Tsukuba Univ., ²Japan Atomic Energy Agency.

Sn-Bi 二元系の共晶溶融に流動が及ぼす影響の実験的検討

Experimental Investigation of Hydrodynamic Effect on Eutectic Melting of Sn-Bi Binary System

*植田 翔多¹,稲垣 健太²,近藤 雅裕³,岡本 孝司¹

¹東京大学大学院,²電力中央研究所,³産業技術総合研究所

福島第一原子力発電所の事故を受けて、事故進展解析などの観点から共晶溶融は注目されている。本研究では、融液内の流動が共晶溶融進展に与える影響を調査している。本稿では、流動が比較的低速な条件における共晶溶融の進展について報告する。

キーワード: 共晶溶融, 過酷事故, 多成分流体, 流体力学的影響

1. 緒言

過酷事故の初期に生じるとされている共晶溶融は、その重要性から欧米を中心に研究が行われてきた。従来研究では、金属組織学的側面が広く研究されてきたが、融液の流体力学的な挙動が共晶溶融進展に与える影響は調査されてこなかった。本研究では、融液内の流動が共晶溶融進展に与える影響を調査する。本稿では、流動が比較的低速な条件における共晶溶融の進展について報告する。

2. 実験方法

Fig. 1 は開発した実験装置の概略図である。るつぼ内を共晶融液 (Bi:Sn=43:57 [at%]) で満たし、先端をスズ円柱とした試験体を融液内に挿入する。実験では、固液界面から固体のスズ円柱が共晶溶融によって融けていく。融け残ったスズに働く浮力と重力の和の変化を電子天秤によって時間発展データとして取得する。実験中に任意の試験体回転数を与えることで融液内の流れを制御し、そのときの溶融進展速度を評価する。温度はフィードバック制御によって170 ℃程度にコントロールした。

3. 結果と考察

Fig. 2 は、時間経過によるスズ円柱の重量変化をプロットしたものである。150 rpm 未満の回転数では回転数の増加に伴う顕著な溶融速度の変化は見られない。本研究における低回転数領域ではリチャードソン数Riが $Ri\gg1$ であり自然対流が支配的となる。そのため、るつぼ内の流れに大きな差が出なかったためと考えられる。150 rpm では他の試験よりも溶融速度が著しく増加した。150 rpm ではRi<1となり強制対流が支配的になりはじめるため、融液の攪拌とせん断応力増大の影響が顕著に見られたと考えられる。

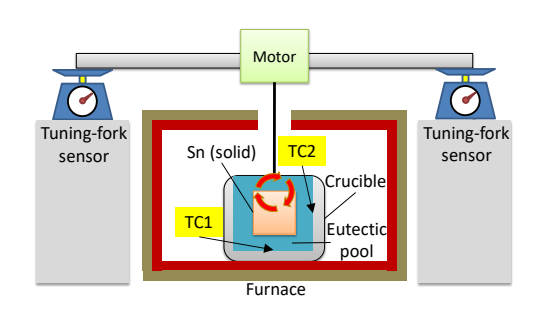


Fig. 1 実験装置の概略図

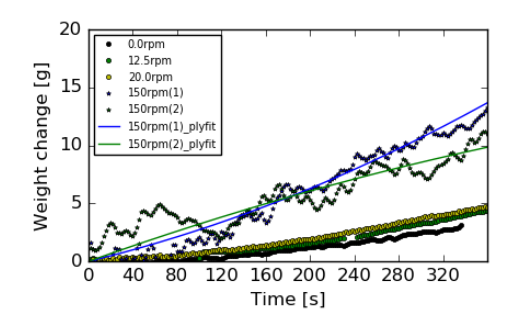


Fig.2 共晶溶融による試験体重量の時間変化

参考文献

[1] 植田翔多ほか, 日本原子力学会 2017 年秋の大会, 3E14.

*Shota Ueda¹, Kenta Inagaki², Masahiro Kondo³, Koji Okamoto¹

¹The University of Tokyo, ²Central Research Institute of Electric Power Industry, ³National Institute of Advanced Industrial Science and Technology.

Oral presentation | III. Fission Energy Engineering | 304-1 Thermal Hydraulics, Energy Conversion, Energy Transfer, Energy Storage

[1H13-16] Droplet and Liquid Film

Chair:Hide Okada(IAE)

Wed. Sep 5, 2018 3:50 PM - 4:55 PM Room H (B32 -B Building)

[1H13] Countercurrent Flow Limitation in a Pressurizer Surge Line

*Michio Murase¹, Koji Nishida¹, Takayoshi Kusunoki¹, Raito Goda², Akio Tomiyama² (1. Institute of Nuclear Safety System, Inc., 2. Kobe University)

3:50 PM - 4:05 PM

[1H14] Droplet-Entrainment Behavior at the Interface of High-Speed Gas Jet into a Liquid Pool

*Taro Sugimoto¹, Shimpei Saito¹, Akiko Kaneko¹, Yutaka Abe¹, Akihiro Uchibori², Takashi Takata ², Hiroyuki Ohshima² (1. Univ. of Tsukuba, 2. JAEA) 4:05 PM - 4:20 PM

[1H15] Study on secondary droplet during liquid jet collision onto solid surface

*Yi Zhan¹, Yusuke Kuwata¹, Kiyotaka Maruyama¹, Koji Enoki¹, Tomio Okawa¹, Mitsuhiro Aoyagi², Takashi Takata² (1. The University of Electro-Communications, 2. Japan Atomic Energy Agency)

4:20 PM - 4:35 PM

[1H16] Ultrasound measurement of liquid film on pipe inner surface

*Yuki Wada¹, Jun Sagawa², Akira Satou¹, Yasuteru Sibamoto¹, Taisuke Yonomoto¹ (1. JAEA, 2. MES)

4:35 PM - 4:50 PM

1H13

加圧器サージ管での気液対向流制限

Countercurrent Flow Limitation in a Pressurizer Surge Line
*村瀬 道雄 ¹, 西田 浩二 ¹, 楠木 貴世志 ¹, 合田 頼人 ², 冨山 明男 ²
「原子力安全システム研究所, ²神戸大学

鉛直管上端と加圧器サージ管での気液対向流制限(CCFL)に対する最近の測定値を含めて分析し、対象データを広げると相関式の不確かさが大きくなるが、提案済みの相関式への影響は小さいことを確認した。

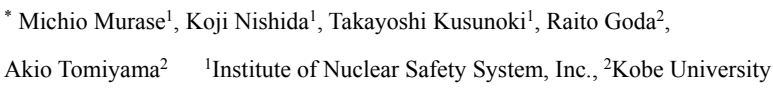
キーワード:加圧器サージ管,鉛直管上端,気液対向流制限

1. **緒言** 著者ら[1]は、加圧器サージ管での気液対向流制限 (CCFL) は鉛直管のシャープエッジ上端で生じることを示し、鉛直管上端での CCFL-U相関式を導出し、加圧器サージ管の縮小モデルでの CCFL は CCFL-U と異なるため別の CCFL-SL 相関式を導出した。また、CCFL-U に関して神戸大データと Wallis 研データと の相違を確認するために直径 $D=20~\mathrm{mm}$ での測定を追加した[2]。 西安交通大学で行われた AP1000 の加圧器サージ管の縮小モデル ($D=90~\mathrm{mm}$) での測定値が最近公開された[3,4]。そこで本報では、CCFL-SL の

再検討を行ない、CCFL-Uとの関係について検討した。

- 2. 評価の方法と結果 流体物性値の影響として、D=20 mm の鉛直管の上端での CCFL-U を Kutateladze パラメータ K^* で整理して図 1 に示す。空気・水系(A-W [2])では $D \ge 30 \text{ mm}$ より Wallis 型相関式の定数 C_K が小さい。蒸気・水系[5]では高圧になるほど定数 C_K が大きくなる。これらの全データは相関式 $(C_K=1.4\pm0.2, m=0.90\ [1])$ の不確かさの範囲内にある。Yuら(西安交通大学)による AP1000 の加圧器サージ管の縮小モデル($D=90\ \text{mm}$)での空気・水データ[3]と蒸気・水データ[4]を図 2 に示す。上部タンク水位 h_{ut} を 0.9 m まで変更しており、 h_{ut} が高いほど勾配 m が大きくなる傾向がある。これらの測定値を含む Wallis 型相関式は $C_K=1.24\pm0.18, m=0.82$ になり、提案済みの相関式 $(C_K=1.24\pm0.1, m=0.94\ [1])$ より m が小さく C_K の不確かさが大きくなった。
- **3. 結論** 加圧器サージ管での CCFL において、西安交通大学でのデータを評価に含めると提案済みの Wallis 型相関式より勾配 m が小さく定数 C_K の不確かさが大きくなった。

参考文献 [1] Y. Yamamoto, et al., Nucl. Eng. Des. 326, 175-182 (2018). [2] 島村長幸ほか、混相流シンポジウム 2018 (2018). [3] J. Yu, et al., Nucl. Technol. 196, 614-640 (2016). [4] J. Yu, et al., Exp. Thermal Fluid Sci. 96, 180-191 (2018). [5] Yu. N. Ilyukhin, et al., Teplofiz Vys. Temp. 26(5), 923-931 (1988). [6] K. Takeuchi, et al., Nucl. Eng. Des. 192, 45-58 (1999).



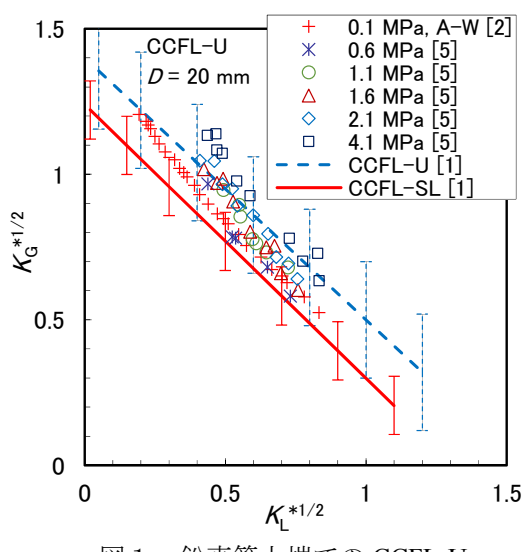


図1 鉛直管上端での CCFL-U

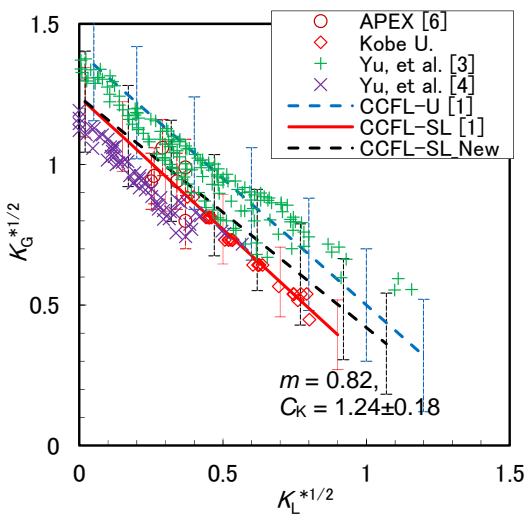


図2 加圧器サージ管での CCFL-SL

液相内高速気相噴流界面における液滴エントレインメント挙動

Droplet-Entrainment Behavior at the Interface of High-Speed Gas Jet into a Liquid Pool

*杉本 太郎 ¹, 齋藤 慎平 ¹, 金子 暁子 ¹, 阿部 豊 ¹, 内堀 昭寛 ², 高田 孝 ², 大島 宏之 ²

¹筑波大学, ²日本原子力研究開発機構

Na 冷却高速炉の蒸気発生器内伝熱管破損時 Na-水反応現象に対する数値解析コードの妥当性評価に 資する実験データ取得のため、水中に高速で空気を噴出させて噴流の気液界面から噴流内部へと液滴 がエントレインメントされる様子を可視化し、その挙動について調べた.

キーワード: Na 冷却高速炉,蒸気発生器, Na-水反応現象,液滴エントレインメント,可視化

1. 緒言

Na 冷却高速炉の蒸気発生器内伝熱管破損時に水蒸気が液体 Na 中へと噴出する際,噴流の気液界面から噴流内部へと液滴がエントレインメントされ,隣接伝熱管において液滴衝突エロージョンが発生する可能性がある.日本原子力研究開発機構で開発された多次元 Na-水反応現象数値解析コードには,液滴エントレインメント現象に対する解析モデルが含まれている[1].本研究では,水中に空気を高速で噴出させた際の液滴エントレインメント挙動を可視化し,解析モデルの妥当性評価に資する実験データ取得を目的とする.

2. 実験方法

横幅 600 mm, 高さ 300 mm, 奥行き幅 3 mm の薄型水槽に溜めた水深 30 mm の水中に空気を $j_g=300$ m/s で噴出させ, 1 辺 3 mm の矩形出口直上における噴流界面の状態を高速度ビデオカメラで撮影した. 図 1 に撮影された画像を示す. 界面が変形してちぎれ, 噴流中に液滴がエントレインメントされる様子を確認した. これら液滴の移動量とそれに要する時間から, 液滴速度を算出した.

3. 実験結果

図 2 に、ノズル中心からの位置 x [mm]における液滴の水平方向速度 v_x [m/s]を示す、x [mm]と v_x [m/s]はおおよそ異符号になることから、エントレインメントされた液滴はノズルの中心方向へと向かう傾向を確認できる。図 3 に、ノズル中心からの位置 x [mm]における液滴の鉛直方向速度 v_y [m/s]を示す。鉛直方向速度 v_y [m/s]はノズル中心に近づくほど大きくなる傾向を確認できる。また、図 2 と図 3 を比較すると、 v_x [m/s]に比べて v_y [m/s]の方が大きな値を示すことから、液滴の速度は鉛直方向成分が支配的であることが確認できる。

参考文献

[1] A. Uchibori and H. Ohshima, Proc. of NTHAS-9, N9P0050, 2014.

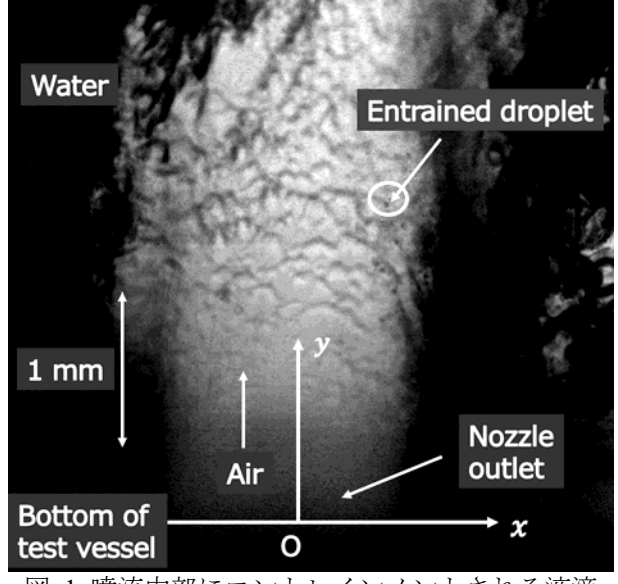


図 1 噴流内部にエントレインメントされる液滴

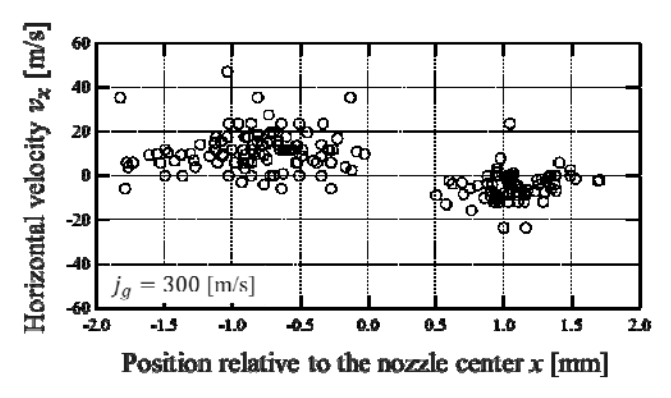


図 2 ノズル中心からの位置と液滴の水平方向速度

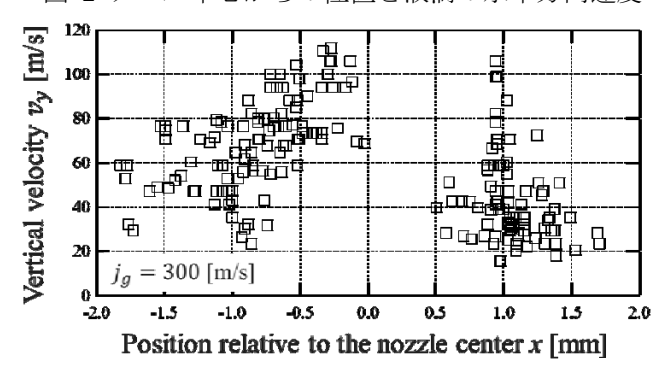


図 3 ノズル中心からの位置と液滴の鉛直方向速度

^{*}Taro Sugimoto¹, Shimpei Saito¹, Akiko Kaneko¹, Yutaka Abe¹, Akihiro Uchibori², Takashi Takata², Hiroyuki Ohshima² Univ. of Tsukuba, ²JAEA

液噴流の固体面衝突時における二次液滴に関する研究

Splashing droplets during liquid jet collision onto solid surface

*Zhan Yi¹, 桑田裕介¹, 丸山清嵩¹, 榎木光治¹, 大川富雄¹, 青柳光裕², 高田孝²¹電気通信大学, ²日本原子力研究開発機構

ナトリウム(Na)冷却高速炉における Na 漏えい時の燃焼解析手法の高度化に向け, 鉛直下方へ噴出させた液体噴流が水平固体面へ衝突する際の, 二次液滴径について検討した.

キーワード:液体噴流,飛散液滴量,二次液滴径

1. 緒言

Na 冷却高速炉の冷却材 Na が漏えい・燃焼する場合の熱影響解析評価を高度化する上では、漏えい Na が構造物等へ衝突し、液滴となって飛散する際における飛散液滴量、二次液滴径の把握が重要となる.

このため、鉛直下方に噴出させた液体噴流の固体面衝突時の現象を観測する実験研究を実施している[1,2]. 本報では、二次液滴径の計測を行ったので報告する.

2. 実験方法

本実験では、文献[1,2]と同様な実験を行う。図1に示すように、液噴流の固体面衝突時における二次液滴を高速度カメラより撮影する。カメラの解像度30µm/pixel。ピントを合わせるため、噴流衝突点の横に防水板を設置してある。そして、動画を画像解析することで、二次液滴径を計測する。

3. 結果 · 考察

二次液滴径 d_2 の確率密度分布を図 2 に示す.実験条件は, ノズル径 d_0 =2mm,流量 Q=1600ml/min,衝突高さ L=500 mm である.フリードマン=ダイアコニスの法則よりヒストグラ ムのビン幅を決めた.同じ条件の累積分布は図 3 に示す.本 報では,対数正規関数,ガウス関数,ガンマ関数を用いてフィティングした.対数正規関数が二次液滴径に対して,最も 良好なフィッティングを示した.

4. 結論

液噴流の固体面衝突による二次液滴径の分布を把握するため,高速度カメラの映像を画像解析することで、二次液滴径分布を計測した. その結果に基づき,対数正規関数を用いて実験結果を良好にフィティングできることを示した.

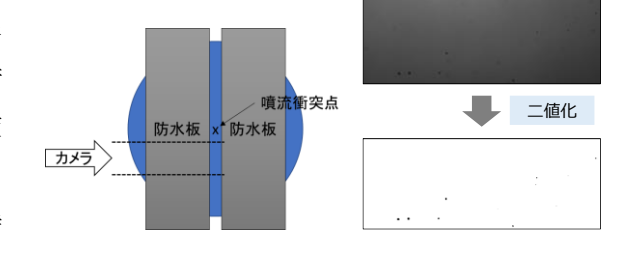


図1 二次液滴径の計測方法

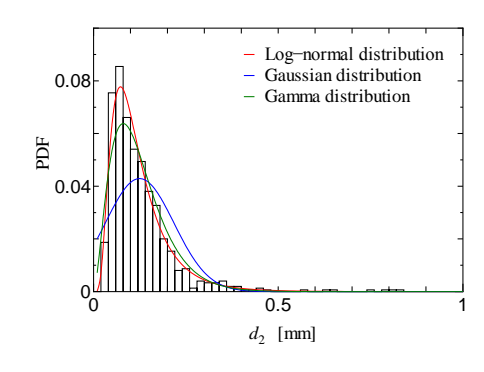


図2 二次液滴径の確率密度分布

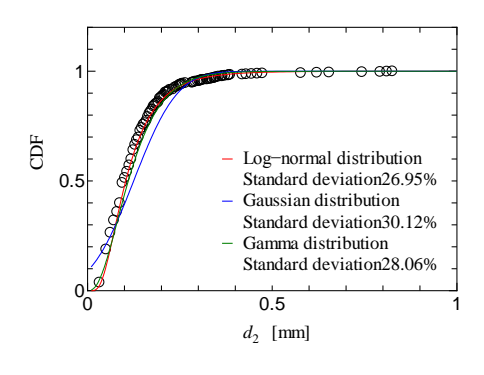


図3 二次液滴径の累積分布

参考文献 [1] Y. Zhan, et al., Exp. Therm. Fluid Sci. 98, 86-94 (2018).

[2] Y. Zhan, et al., 日本原子力学会 2017 年秋の大会, 2E13 (2017).

^{*}Yi Zhan¹, Yusuke Kuwata ¹, Kiyotaka Maruyama¹, Koji Enoki¹, Tomio Okawa¹, Mitsuhiro Aoyagi², Takashi Takata²

¹The University of Electro-Communications, ²Japan Atomic Energy Agency

管内面に形成される液膜の超音波測定

Ultrasound Measurement of Liquid Film on Pipe Inner Surface

*和田 裕貴¹, 佐川 淳², 佐藤 聡¹, 柴本 泰照¹, 与能本 泰介¹ 「日本原子力研究開発機構, ²水戸電子ソリューション株式会社

本研究では、測定可能液膜厚さをより小さくするために共振周波数 15MHz の圧電素子と独自の駆動回路 を用いた超音波液膜厚さ測定装置を製作した。本装置を水-空気系における垂直管内上昇環状液膜流に適用 した結果、良質な受信波形を取得でき、受信波形に基づいて推算した液膜厚さは概ね妥当な結果となった。

キーワード:超音波,液膜

1. **緒言**:超音波を用いた液膜計測において 0.1 mm 以下の薄い液膜を高精度で測定するためには、信号の立ち上がりが大きい、高周波数、高減衰、高 SN 比の高品質な超音波パルスの利用が要求される。従来研究では、これらの信号品質と測定結果の不確かさについての考察が不十分なままに、極めて薄い液膜厚さの定量性を論じているものが多くある。本研究では、高品質な超音波パルス波形を独自回路で生成・利用することにより、0.1 mm 以下の薄い液膜厚さを高精度で計測する技術開発を進めている。

2. 測定体系: 共振周波数 15 MHz の圧電素子 (素子サイズ: 5 mm×5 mm) を厚さ約 6 mm のアクリル製配

管外側に貼付け、配管内を流れる環状液膜流を測定した (図1参照)。

- 3. 結果:図2に垂直円管内上昇環状流の液膜厚さの測定とその評価結果を示す。本評価では、流路内壁での単独の反射波を実験とシミュレーションから求め (緑線)、これをベースとしてある液膜厚さ δ を仮定した合成反射波を媒質の音響インピーダンスと液膜内多重反射も考慮して計算し (赤線)、実測値 (青線)に最小自乗フィットさせることで δ を求める。薄い δ では、キャリア信号周期に近接した反射波を検出する必要があり、これを可能とするには立ち上がりが大きい高減衰のパルス波形が必要である。図 2 から、本計測では極めて高い分解能の超音波パルスが得られ、これは先行研究との大きな違いであり、独自の駆動回路を用いることで実現した。これにより、多重反射波を考慮した合成波形は実験結果と良好に一致した。このときの液膜厚さは 50 μm である。
- 4. 結論:本研究では、従来実施されてきた超音波液膜測定装置よりも高い共振周波数 15 MHz の圧電素子と独自の駆動回路を用いて円管内液膜流を測定した結果、先行研究に比べて良質な波形が得られ、それに起因して高い信頼性の下、液膜厚さ測定が実現された。

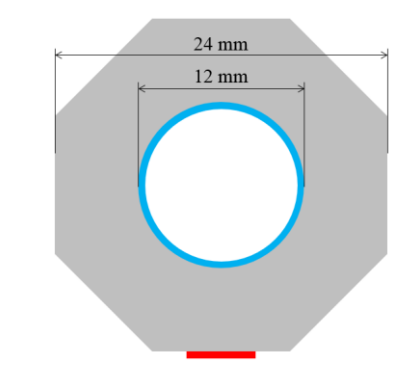


図 1 測定体系 (■:圧電素子、■:母材、■:液膜)

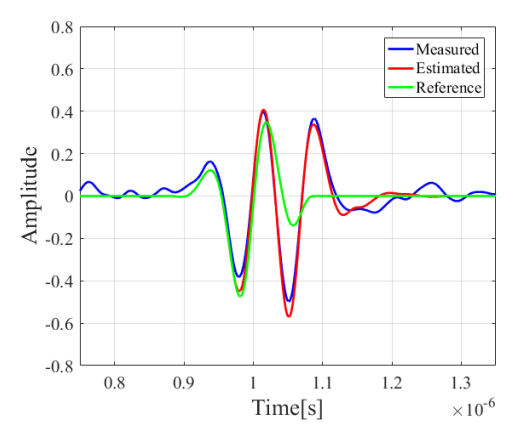


図2 液膜測定時の受信波形

(青色:測定値、赤色と緑色:固気界面反射波の測定値に基づくシミュレーション)

^{*}Yuki Wada¹, Jun Sagawa², Akira Satou¹, Yasuteru Sibamoto¹ and Taisuke Yonomoto¹

¹Japan Atomic Energy Agency, ²Mito Electronic Solution

Oral presentation | III. Fission Energy Engineering | 304-1 Thermal Hydraulics, Energy Conversion, Energy Transfer, Energy Storage

[1101-07] Thermal-Hydraulic Numerical Simulation

Chair: Masaaki Tanaka (JAEA)

Wed. Sep 5, 2018 10:00 AM - 11:55 AM Room I (B33 - B Building)

[1101] Numerical simulation of two-phase flow in 4x4 simulated fuel bundle using TPFIT

*Ayako Ono¹, Taku Nagatake¹, Takayuki Suzuki¹, Hiroyuki Yoshida¹ (1. Japan Atomic Energy Agency)

10:00 AM - 10:15 AM

[1102] Numerical simulation of reverse flow to the branch line of a mixing tee pipe

*Yoichi Utanohara¹, Koji Miyoshi¹, Masayuki Kamaya¹ (1. INSS)

10:15 AM - 10:30 AM

[1103] Modeling of Bathtub Vortex

*Kei Ito¹, Daisuke Ito¹, Yasushi Saito¹, Toshiki Ezure², Masaaki Tanaka² (1. Kyoto University, 2. Japan Atomic Energy Agency)

10:30 AM - 10:45 AM

[1104] Numerical simulations of phase-change heat transfer by lattice Boltzmann method

*Shimpei Saito¹, Kota Kawasaki¹, Ken-ichi Ebihara², Akiko Kaneko¹, Yutaka Abe¹, Kazuya Koyama³ (1. Univ. Tsukuba, 2. JAEA, 3. MFBR)

10:45 AM - 11:00 AM

[1105] Preliminary CFD simulation of critical heat flux for subcooled water flow boiling in vertical heated tubes

*KAI WANG¹, Nejdet Erkan¹, Koji Okamoto² (1. Department of Nuclear Engineering and Management, School of Engineering, The University of Tokyo, 7-3-1 Hongo, Bunkyo-ku, Tokyo 113-8654, Japan, 2. Nuclear Professional School, School of Engineering, The University of Tokyo, 2-22 Shirakata, Tokai-mura, Ibaraki, 319-1188, Japan)

11:00 AM - 11:15 AM

[1106] Heat Transfer Coefficient of Liquid Metal under Low Peclet Number Conditions

*Hiroyasu MOCHIZUKI¹ (1. Tokyo Institute of Technology, Institute of Innovative Research, LANE)

11:15 AM - 11:30 AM

[1107] Investigation of the Fluctuating Force Characteristics due to Internal Two-phase Flow

*Shuichiro Miwa¹, Takashi HIBIKI² (1. Hokkaido University, 2. Purdue University) 11:30 AM - 11:45 AM 1101 2018年秋の大会

TPFIT による4×4模擬燃料集合体内二相流動解析

Numerical simulation of two-phase flow in 4×4 simulated fuel bundle using TPFIT *小野 綾子¹, 永武 拓¹、鈴木 貴行¹, 吉田 啓之¹ 1日本原子力研究開発機構

軽水炉燃料集合体における機構論的限界熱流束予測評価手法への詳細二相流動解析コード TPFIT の適用を 目的とし、原子力機構で実施している4×4模擬燃料集合体二相流試験対象とした数値シミュレーションを実施した。

キーワード: 界面追跡法、詳細二相流解析、軽水炉、ボイド率分布

- 1. 緒言 軽水炉燃料の最適設計及び安全性評価では、機構論的限界熱流 東(Critical Heat Flux: CHF) 予測評価手法の確立が望まれる。原子力機構で は、機構論的 CHF 予測に必要となる燃料集合体内の沸騰気泡流動挙動を予 測するための詳細二相流解析手法の構築を目指している。本研究では、界面 追跡法による詳細二相流解析コード TPFIT を用いたバンドル内二相流挙動に 関する解析手法を整備するために、原子力機構で実施している 4×4 バンドル 試験体(以下「試験体」という)内の気泡流を対象とした数値解析を実施した。
- 2. 解析条件 図 1 に、試験体と本研究における計算領域を赤点線で示す。 56mm×56mm の矩形流路内に、直径 10mm の模擬燃料ロッド径が 13mm ピ ッチで 4×4 に正方配列されている。模擬ロッドは非発熱であり、断熱条件で試 験が実施された。入口から 1500mm、2000mm の位置にワイヤメッシュセンサ (WMS)が配置されており、サブチャンネル内の空間平均ボイド率を計測した。 入口から1段目の WMS までの間の 3 箇所にスペーサグリッドが設置されてい

る。試験では、圧力、温度、液相および気相流速を変化させた。本 研究では、スペーサグリッドから1段目の WMS までの 345mm を含 む高さ方向 400mm を解析対象とする。メッシュ幅は 0.5mm、総格 子数は約 1200 万である。図2に示すように入口においてバッファを 設置し、複数のノズルから蒸気を注入することにより実験条件を模 擬した。

- 3. 解析結果 図3に、大気圧下、蒸気流量10L/min および液相 流量 186L/min における解析結果を示す。バンドル部の入口に おいて気泡流となるように、ノズルの数、径や各ノズルでの気 相流速を調整した。サブチャンネル内を上昇する気泡流がシミ ュレーションされていることが確認できる。
- **4. 結言** 4×4 バンドル内の気泡流挙動について TPFIT により詳 細二相流動解析を実施した。今後は、解析結果を詳細に分析する とともに、バンドル内のボイド率分布などについて実験データ と比較し妥当性を確認する。

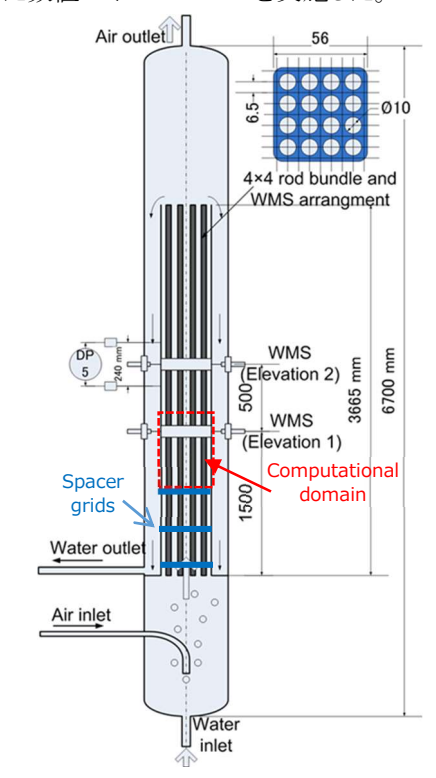
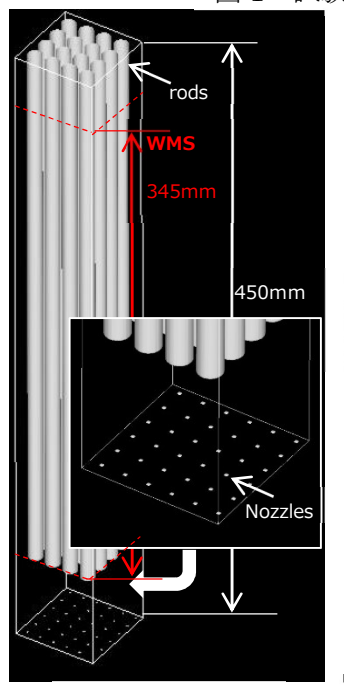


図 1 試験体と計算領域





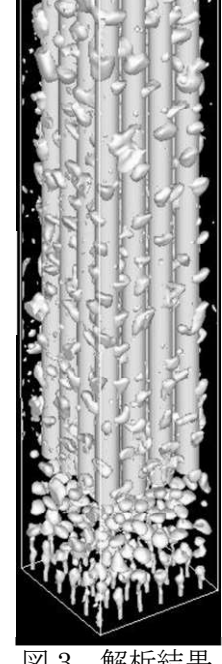


図 3 解析結果

^{*}Ayako Ono¹, Taku Nagatake¹, Takayuki Suzuki¹ and Hiroyuki Yoshida¹

¹Japan Atomic Energy Agency

1102 2018年秋の大会

T字配管合流部枝管上流への逆流現象の数値シミュレーション

Numerical simulation of reverse flow to the branch line of a mixing tee pipe

*歌野原 陽一」, 三好 弘二」, 釜谷 昌幸」

T 字合流配管下流での熱疲労現象はよく知られているが、近年、合流部から枝管上流へ遡った地点での熱疲労配管損傷事例が報告されている。また、T 字合流配管における流れ場の可視化実験では、主管・枝管の流量比を調整すると枝管への間欠的な逆流が観察された。本報告では可視化実験を対象に数値シミュレーションを実施し、逆流現象の再現を試みた。

キーワード: 熱疲労, T字配管, 温度変動, 数値シミュレーション

1. 緒言

高低温流体が混合する T 字配管では温度変動に起因する配管熱疲労が課題である。配管合流部下流での熱疲労はよく知られているが、近年米国の発電所で枝管上流へ遡った地点での熱疲労事例が報告されている。よって、筆者らは可視化実験で T 字合流配管の流れ場を確認し、主管・枝管の運動量比によっては主管の流れが枝管上流へ間欠的に逆流することを明らかにした[1]。本稿では、可視化実験を対象に数値シミュレーションを実施し、逆流現象の再現を試みた。

2. 実験および数値計算

原子力安全システム研究所の T-Cubic 実験装置に、透明なアクリル試験体(主管内径 $D_{\rm m}=150{\rm mm}$ 、枝管内径 $D_{\rm b}=50{\rm mm}$)を設置し、室温の水に粒径 $30{\rm ~\mu m}$ のナイロン粒子を混ぜて通水し、シート状のレーザーを照射して流れ場を可視化した。主管流速 $U_{\rm m}=3.1{\rm ~m/s}$ 、枝管流速 $U_{\rm b}=0.9{\rm ~m/s}$ とした際、図 1 に示すように枝管を逆流するような流れ場が観察された[1]。

数値計算には FLUENT17.2 を用い、LES Dynamic で計算を行った。主管、枝管の流体を区別し、主管流体の質量分率を描画すると、主管流体の枝管側への潜り込み・逆流が現れた。逆流は可視化実験と同様、間欠的に現れた。この現象は、枝管の噴流が主管流れと合流する際に揺動し、枝管内で壁面からはく離するタイミングで、主管の流れが潜り込むことで生じるものと考えられる。

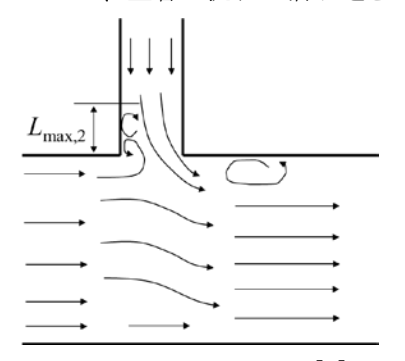


図1観測された逆流の模式図[1]

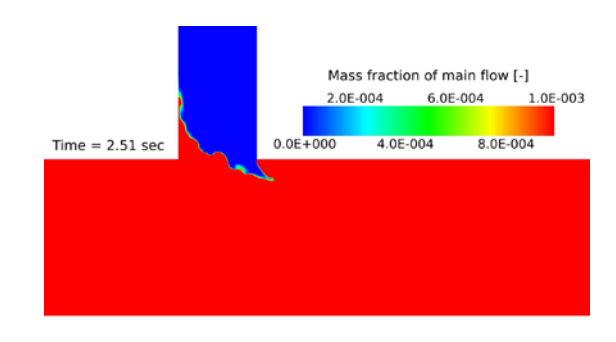


図2 主管流体の質量分率分布(0.1%以上で赤色)

参考文献

[1] 三好、釜谷、プラント配管の熱疲労防止に向けた流動挙動の検討、日本機械学会年次大会、J0310201、2017

^{*}Yoichi Utanohara¹, Koji Miyoshi¹ and Masayuki Kamaya¹

¹Institute of Nuclear Safety System, Inc.

1103 2018年秋の大会

バスタブ渦のモデル化に関する研究

Modeling of Bathtub Vortex

*伊藤 啓¹, 伊藤 大介¹, 齊藤 泰司¹, 江連 俊樹², 田中 正暁²¹京都大学, ²原子力機構

高速炉の安全研究において、自由液面におけるくぼみ渦 (バスタブ渦) によって引き起こされるガス巻込み現象の評価が非常に重要である。本研究では、バスタブ渦によるガス巻込み現象に関する理解を深めるため、下降流速分布を考慮した渦モデルについて、液面形状の評価精度の検証を行う。

キーワード:ガス巻込み,バスタブ渦,高速炉

1. 緒言

ナトリウム冷却高速炉の安全性研究の一環として、バスタブ渦によるガス巻込み現象を評価する手法の整備を進めている^[1]. 本評価手法では、一様な下降流速分布の仮定に基づく Burgers 渦モデルを用いて渦流れの計算を行っており、実際の自由表面渦が有する染料コア(渦中心における死水領域)などの影響が考慮されていない。本研究では、より高精度な評価手法の検討として、下降流速分布を考慮した渦モデルによるバスタブ渦の評価精度に関する調査を行う。

2. バスタブ渦のモデル化

2-1. 下降流速分布を考慮した渦モデル

下降流速分布を考慮するため、著者らは、Bohling の渦モデル^[2]を一般化したモデルを提案している^[3].

$$u_{z}(r,z) = \sum_{k=1}^{n} \frac{\gamma_{k}(p_{k}+1)r^{p_{k}-1}}{(r^{p_{k}+1}+\beta_{k}^{p_{k}+1})^{2}}(z-h_{\infty})$$
(1)

ただし、 β_k 、 γ_k 、 p_k は下降流速分布を設定するためのパラメーターであり、渦中心において下降流速が 0 となることから $p^k>1$ である.

2-2. バスタブ渦の評価精度

提案する渦モデルによるバスタブ渦の評価精度について検討するため、 β_k 、 γ_k 、 p_k に関して様々な値を設定して計算を行い、実験結果 $^{[4]}$ の液面形状の再現性を調査した。図1に、下降流速分布の一致度(実験結果と式(1)の一致度)に対するガスコア長さ(液面窪み深さ)の評価誤差をプロットした結果を示す。明らかに、一致度の上昇とともに誤差が減少しており、下降流速分布を正確に模擬することにより、液面形状を再現できることが分かった。

図1 ガスコア長さの評価誤差

3. 結論

下降流速分布を模擬した渦モデルを用いてバスタブ渦の評価を行い,下降流速分布の模擬性向上ととも に液面形状の評価誤差が減少することを確認した.

参考文献

- [1] 大島他, 日本原子力学会和文論文誌, Vol. 11, No. 4, pp. 329-339, 2012.
- [2] L. Bohling et al, Journal of Fluid Mechanics, Vol. 656, 2010,
- [3] 伊藤他, 日本機械学会論文集, Vol. 80, No. 818, 2014.
- [4] S. Moriya, Technical Reports of Central Research Institute of Electric Power Industry, U97072, 1998.

*Kei Ito¹, Daisuke Ito¹, Yasushi Saito¹, Toshiki Ezure² and Masaaki Tanaka²

¹Kyoto Univ., ²JAEA

格子ボルツマン法による相変化伝熱の数値解析

Numerical simulations of phase-change heat transfer by a lattice Boltzmann method *齋藤 慎平¹, 川崎 皓太¹, 海老原 健一², 金子 暁子¹, 阿部 豊¹, 小山 和也³ 「筑波大学, ²原子力機構, ³三菱 FBR システムズ

高速増殖炉の炉心溶融事故時には、溶融物から冷却材への伝熱量の把握が重要である。本研究では、二相系格子ボルツマン法に基づく相変化解析手法を構築し、強制対流沸騰による相変化伝熱挙動に適用した。

キーワード: Na 冷却高速炉, 炉心溶融事故, 格子ボルツマン法, 相変化伝熱, 強制対流沸騰

- 1. **緒言** Na 冷却高速炉において炉心溶融事故が発生した場合, 炉心溶融物はジェット状に冷却材中を流下することが想定される. 溶融ジェットから微粒化し生成した粒子が冷却材中を沈降する間の伝熱量を把握することは, 溶融物冷却性の観点から極めて重要である. 本研究では, 数値解析により冷却材中を沈降する高温粒子を模擬し, その際の相変化伝熱挙動を調べることを目的とした.
- 2. 問題設定 溶融ジェットから微粒化し生成した単一の高温粒子を模擬した以下のような体系を設定した. 体系は 2 次元とし、一様流速を与えられた飽和液中における、高温の静止円柱まわりの強制対流問題を考えた (Fig.1).
- 3. 解析手法 本計算における支配方程式は、質量、運動量およびエネルギーの保存式である。質量および運動量の保存式を二相系格子ボルツマン法(LBM)[1]で解き、エネルギー保存式[2]を有限差分法で解いた[3]。本手法の利点のひとつは、初期蒸気泡核や人為的な相変化の項が不要な点である。高温粒子の表面を模した円柱(以下、粒子とよぶ)表面は、Interpolated Bounce-Back スキーム[4]を用いて 2 次精度で表現した。
- 4. 結果 Fig. 2 に計算結果の一例を示す. 解析体系を 300 (x)×800 (y)とし, 粒子の直径に 20 格子を与え粒子 Reynolds 数は 10 とした. Fig. 2 (a)より, 粒子の上部に蒸気柱が発生し, 下流側には離脱した蒸気泡が変形しながら上昇している. Fig. 2 (b)より, 蒸気内部は液に比べて高温であることが見てとれる. 計算開始直後, 急激な相変化により粒子は蒸気泡に覆われた. その後, 強制対流および重力の影響で蒸気泡は下流へ流れ, 粒子の下流側は常に蒸気に接触し, 上流側は断続的に液と接触していた. 高温粒子の過熱度を変えることにより, 沸騰様相が変わることを確認しており, 今後は沸騰様相の遷移条件を明確化する必要がある.

謝辞 本研究は三菱重工業株式会社の佐藤裕之氏,坂場弘氏の支援を受けて実施しました.数値解析の一部は海洋研究開発機構の地球シミュレータを利用しました.

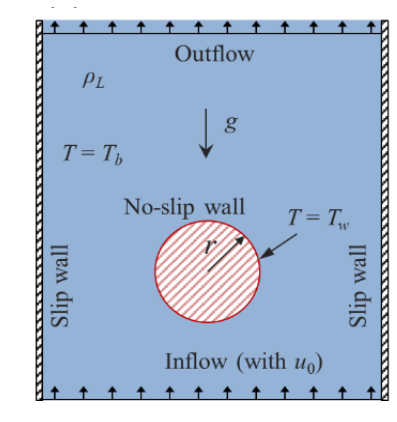


Fig. 1 Computational setup

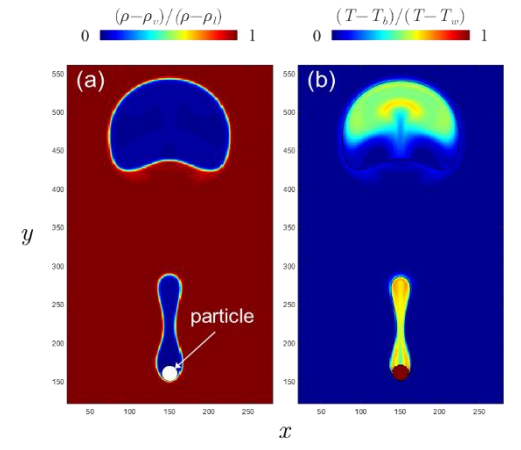


Fig. 2 Distributions of (a) density and (b) temperature

参考文献

[1] D. Lycett-Brown and K. H. Luo, Phys. Rev. E **94**, 053313 (2016); [2] W. Gong et al., Int. Heat Mass Transfer **125**, 323 (2018); [3] S. Saito et al., Proc. Int. Heat Transfer Conf., IHTC16-22464 (2018); [4] M. Bouzidi et al., Phys. Fluids **13**, 3452 (2001).

*Shimpei Saito¹, Kota Kawasaki¹, Ken-ichi Ebihara², Akiko Kaneko¹, Yutaka Abe¹, Kazuya Koyama³

¹University of Tsukuba, ²Japan Atomic Energy Agency, ³Mitsubishi FBR Systems, Inc.

Preliminary CFD simulation of critical heat flux for subcooled water flow boiling in vertical heated tubes

*Kai Wang¹, Nejdet Erkan¹, and Koji Okamoto¹

¹The University of Tokyo.

Eulerian two-fluid model coupled with an extended RPI wall boiling model was applied to simulate the departure from nucleate boiling (DNB) under ultra-high critical Heat Flux (CHF) in vertical heated tubes by using CFD.

Keywords: Subcooled boiling; Ultra-high critical heat flux; DNB; Critical heat flux model

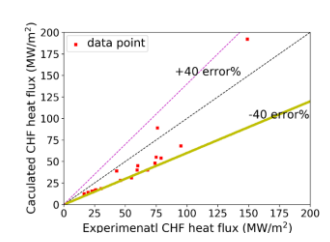
1. Introduction

One of the most important issues in the nuclear filed is the two-phase flow phenomena with boiling, and subcooled boiling has drawn much attention due to its high heat transfer coefficient. Li et al. [1] used Eulerian Two-fluid model coupled with extended wall boiling model was used to simulate the CHF in both uniform and non-uniform vertical heated tubes under high pressures by using STAR-CCM+.

2. Results

Eulerian multiphase model as well as interphase mass, momentum and energy transfer models is applied to consider the none-equilibrium between two phases. These models are calculated based on the interfacial area density model. Subcooled boiling at wall is modelled by the RPI wall boiling model proposed by Kurul and Podowski [2].





(a) Model (b) Maximum wall temperature change (c) Comparison of calculated CHF with experiment Fig.1 Simulation results

The schematic image of the tube was shown in fig.1.(a), In the CFD simulation, the inlet subcooling and other boundary conditions are maintained throughout the simulation, only the wall heat flux is increased step by step, usually 2000 kW/m² at the beginning small heat flux, 1000 kW/m² when the heat flux comes to about 80% of the CHF. At each value of heat flux, the maximum wall temperature is monitored and the maximum wall temperature varying with integration shown in fig.1.(b). Fig. 1.(c) shows the comparison of all the predicted CHF with the experimental data. The prediction meets well with the experimental data. Most of the prediction errors are within 40%. It can be concluded that the boiling curves based on CFD approach can give a good prediction for CHF in a wide range of conditions. But further work can be done to improve the prediction accuracy.

3. Conclusion

Eulerian two-fluid model coupled with extended RPI wall boiling model can be used in the simulation of ultra-high CHF phenomena.

References

- [1] Li Q, Avramova M, Jiao Y, et al. CFD prediction of critical heat flux in vertical heated tubes with uniform and non-uniform heat flux[J]. Nuclear Engineering and Design, 2018, 326: 403-412.
- [2] Kurul N, Podowski M Z. Multidimensional effects in forced convection subcooled boiling[C]//Proceedings of the Ninth International Heat Transfer Conference. Hemisphere Publishing New York, 1990, 2: 19-24.

1106 2018年秋の大会

液体金属の低 Pe 数領域熱伝達率について

Heat Transfer Coefficient of Liquid Metal under Low Peclet Number Conditions
*望月 弘保 ¹

1東京工業大学 科学技術創成研究院 先導原子力研究所

Johnson 等の液体金属の熱伝達率実験結果では、低流量域の計測値が理論値を大きく下回っている。彼らの計測データ処理式では、液体金属の熱伝達率と同程度以下の値を持つ実験体系に存在する接触コンダクタンスが考慮されておらず、伝熱面温度を過大評価し熱伝達率を過小評価してしまったとの結論である。

キーワード:液体金属、熱伝達率、低ペクレ数、円管内流れ、CFD解析

1. **緒言**: Johnson 等の Pb-Bi の熱伝達率実験結果^[2]では、低流量域の計測値が理論値を大きく下回っている。Lubarsky-Kaufman は、実験結果が正しいとして相関式を作成しているが、理論値に近い Skupinski 等^[3]の実験結果もあり、Johnson 等を含め多くの研究者が理論値より低い熱伝達率に疑問を持ってきた。 実験結果を見る限り、どこかに問題があるようには思えない。そこで、実験体系を FLUENT コードでモデル化して実験条件を解析し、何に問題があったかを明確にする。

2. 実験のシミュレーション: Johnson 等の実験で用いられた装置のテスト部(管内径:16.56 mm、管外径:19.05 mm、アルミジャケット外径:31.75 mm、全長:1219 mm)を FLUENT コードで図1のようにモデル化した。実験結果で問題になっているのは、層流と遷移流域であり、流況に適したモデルを選択して解析した。彼らの乱流域実験結果は、多くの実験結果と一致している。

解析結果を実験と比較した結果、伝熱面と流体の温度差が両者で大きく異なっていることが分かり、このような差が出た理由を検討した。Johnson等の実験では、熱伝達率を計測温度から導出する際に、液体金属の熱抵抗と同程度か大きな値となる接触熱抵抗を無視している「「ことが判明した。このため、伝熱面温度を過大評価し、熱伝達率を過少評価したとの結論に至った。CDF解析結果は、Skupinski等が実施したNaKでの実験結果にほぼ一致する結果となった。

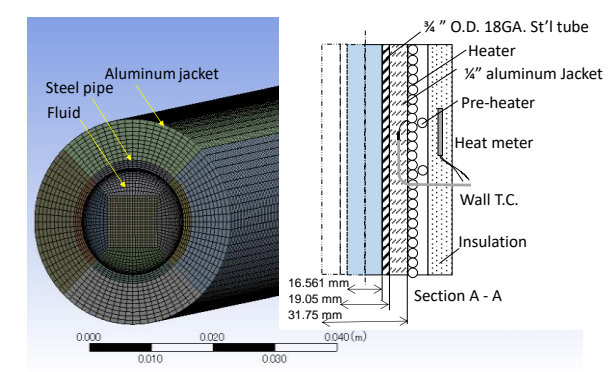


図1 テスト部の FLUENT モデル

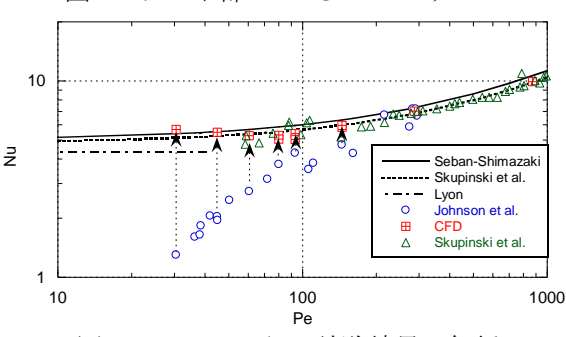


図 2 Johnson らの試験結果の解析

3. 結論: Johnson 等の実験で用いられた熱伝達率計測結果には、不備がある。接触熱抵抗は、接触材質 と圧力に依存するため、Skupinski 等のように伝熱面近傍に熱電対を配置しなかったことに原因がある。

参考文献: [1] Johnson, H.A., et al., Heat transfer to mercury in turbulent pipe flow, AECU-2627, (1953). [2] Johnson, H.A., et al., Heat transfer to lead-bismuth and mercury in laminar and transitor pipe flow, AECU-2637, (1953). [3] Skupinski et al., Determination des coefficients de convection d'un alliage sodium-potassium dans un tube circulaire, Int. J. Heat Mass Transfer, 8, (1965), 937-951.

^{*}Hiroyasu Mochizuki1

¹ Laboratory for Advanced Nuclear Energy, Institute of Innovative Research, Tokyo Institute of Technology

1107 2018年秋の大会

管内気液二相流による励振力予測手法の高度化に関する研究

Investigation of the Fluctuating Force Characteristics due to Internal Two-phase Flow

*三輪 修一郎 ¹, 日引 俊詞 ²
¹ 北海道大学, ²Purdue 大学

抄録 本研究では窒素-水系における 1 インチ径管内気液二相流実験装置を使用し、ステンレス配管曲がり部にて生じる流体励振力と、二相流パラメータの同時計測を実施した。得られたデータベースより、二流体モデルと界面積濃度を基として導出された励振力予測モデルとの比較検証を行った。

キーワード:気液二相流,熱流動,FIV,流体構造関連問題

1. 緒言

気液二相流が構造物と干渉する際に生じる気液二相流体励起振動(Two-phase FIV)は、原子力プラントや熱交換機器系にて頻繁に生じる流体構造関連問題の一つである。FIV は配管系の安全性に悪影響をもたらすことで知られており、構造物破断事故や、正常運転の阻害事例がこれまで数多く報告されてきた。筆者らは、管内気液二相流にて生じる FIV 問題として配管曲がり部に着目し、これまでに 2 インチ径ループにおける FIV 実験や、励振力評価モデル構築を行ってきた[1]。本研究においては、窒素-水系における 1 インチ径管内気液二相流実験装置を使用した実験を実施し、励振力予測の検討を行った

2. FIV 実験

2-1. 実験装置概要

北海道大学にて設置された窒素-水系 FIV ループ写真を図1に示す。ステンレス製配管曲がり部に、x, y, z 方向の流体励振力の計測を可能とする三軸力覚センサを設置した。流れ方向には局所圧力を計測するための圧力センサ、エルボー部入口・出口においては断面平均ボイド率を電気伝導差により瞬時計測するためのインピーダンスセンサが搭載されている。

2-2. 実験

1インチ径配管での気液二相流による Two-phase FIV 特性を検証する ため、気泡流から環状流までの全流動様式を網羅する試験範囲において



図 1 Two-phase FIV Loop

データベース構築を行った。二相流による励振力振動は、混合密度変動と圧力変動に加え、気液相対速度 が著しい流動様式においては液相スラグによる衝撃力による影響が大きくなることが示唆された。

3. 結論

本発表においては、Two-phase FIV 実験による各流動様式における実験結果ならびに二流体モデルと界面 積濃度項を用いた機構論的アプローチによるモデル構築手法について紹介する。

参考文献

[1] S. Miwa, T. Hibiki, and M. Mori "Two-phase flow induced vibration in piping systems", Progress in Nuclear Energy (2015) Vol. 78, 270-284

^{*}Shuichiro MIWA1 and Takashi HIBIKI2

¹Hokkaido Univ., ²Purdue Univ.

Oral presentation | III. Fission Energy Engineering | 304-1 Thermal Hydraulics, Energy Conversion, Energy Transfer, Energy Storage

[1108-12] Fast Reactor Thermal Hydraulics 1

Chair:Koji Morita(Kyushu Univ.)

Wed. Sep 5, 2018 2:45 PM - 4:05 PM Room I (B33 -B Building)

[1108] Development of multi-level, multi-scenario simulation systems for sodium cooled fast reactor

*norihiro doda¹, hideo araseki¹, kunihiko nabeshima¹, takashi takata¹, masaaki tanaka¹, hiroyuki ohshima¹ (1. JAEA)

2:45 PM - 3:00 PM

[1109] Development of multi-level, multi-scenario simulation systems for sodium cooled fast reactor

*Akihiro Uchibori¹, Mitsuhiro Aoyagi¹, Kei Ito², Takashi Takata¹, Hiroyuki Ohshima¹ (1. JAEA, 2. Kyoto Univ.)

3:00 PM - 3:15 PM

[1110] Development of multi-level, multi-scenario simulation systems for sodium cooled fast reactor

*Akikazu Kurihara¹, Shin Kikuchi¹, Ryota Umeda¹, Takashi Takata¹, Hiroyuki Ohshima¹ (1. Japan Atomic Energy Agency)

3:15 PM - 3:30 PM

[1111] Development of multi-level, multi-scenario simulation systems for sodium cooled fast reactor

*Yoshihiro Deguchi¹, Shin Kikuchi², Akikazu Kurihara², Takashi Takata², Hiroyuki Ohshima² (1. Tokushima University, 2. JAEA)

3:30 PM - 3:45 PM

[1112] Development of multi-level, multi-scenario simulation systems for sodium cooled fast reactor

*Shin Kikuchi¹, Nobuyoshi Koga², Akikazu Kurihara¹, Takashi Takata¹, Hiroyuki Ohshima¹ (1. Japan Atomic Energy Agency, 2. Hiroshima University)

3:45 PM - 4:00 PM

ナトリウム冷却高速炉におけるマルチレベル・シナリオシミュレーション技術開発 (5) マルチレベルシミュレーションシステムの基本モジュール構築

Development of multi-level, multi-scenario simulation systems for sodium cooled fast reactor

(5) Development of basic module in multi-level simulation system

*堂田 哲広, 荒関 英夫, 鍋島 邦彦, 髙田 孝, 田中 正暁, 大島 宏之原子力機構

ナトリウム冷却高速炉(SFR)の安全基盤技術としてマルチレベル・シナリオシミュレーションシステムの開発を進めている。本報では、SFR の設計オプションに柔軟に対応し、設計で想定される運転状態に対して高効率解析から高精度な現象予測解析までを 1 つのシステムで実行できるマルチレベルシミュレーションシステムの基本モジュールの構築結果を報告する。

キーワード:ナトリウム冷却高速炉、連成解析、プラント動特性解析、CFD解析

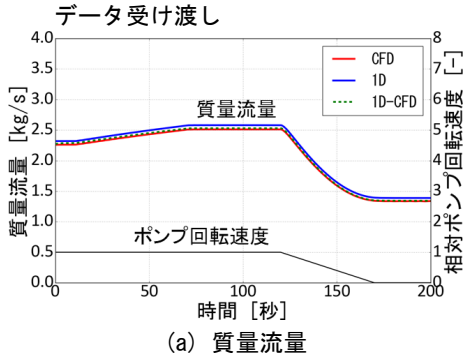
- 1. 緒言 マルチレベルシミュレーションシステムは、SFR の設計オプションに柔軟に応し、設計で想定される運転状態に対する高効率なプラント挙動解析と高精度な局所現象解析を統合して1つのシステムで実行することを目的としている。本件では、前報[1]に示した概念設計に基づき、Super-COPD (1D コード)とANSYS Fluent (CFD コード)の連成手法を構築し、その妥当性を評価した。
- 2. 連成手法の構築と妥当性評価 解析領域を 1D コードと CFD コードで重複なく分割し、境界でのデータを 1D コードから CFD コードへシーケンシャルに時間ステップ内で受け渡す連成手法 を構築した(図1)。本連成手法の妥当性について、基本的な体 系の解析を行い、評価を行った。流路幅を基準(H=0.01m)に した高さ40州、幅10州の断熱壁で囲まれた2次元ループに対して、 浮力の効果を考慮できるよう右側ループ上方に除熱領域、左側 ループ下方に加熱領域を、また強制循環とする場合のポンプを 左側ループ上方に設けた。連成解析では体系の上半分を 1D コー ド、下半分を CFD コードでモデル化した (図 2)。また妥当性確 認としては、同体系を CFD コードのみ及び 1D コードのみで解析 した結果との比較とした。図3にCFDコード、1Dコード、1D-CFD 連成の解析結果を示す。本解析ケースでは、10~70 秒はループ への入熱及び除熱によって左右の中央高さで温度差が生じ、120 秒以降はポンプ停止に伴う流量低下によってその温度差が拡大 する。図より、本連成手法の妥当性が確認された。
- 3. 結論 マルチレベルシミュレーションシステムのベースとなる 1D-CFD 連成手法を構築し、その妥当性を確認した。今後はプラント動特性解析コードと局所多次元解析コードを連成させた解析を行い、その妥当性を評価する。*本報告はエネルギー対策特別会計に基づく文部科学省からの受託事業として、原子力機構が実施した平成 29年度「革新的ナトリウム冷却高速炉におけるマルチレベル・マルチシナリオプラントシミュレーションシステム技術の研究開発」の成果です。

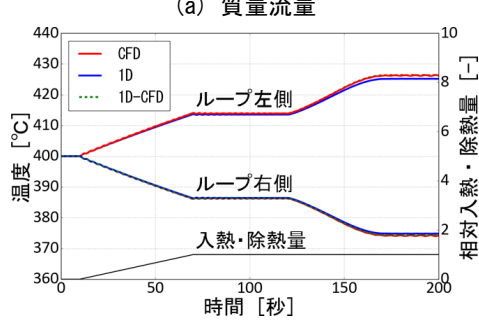
参考文献 [1] 堂田他, 原学会 2017 年秋の大会, 2E16.

start 1DJ-H t= t+∆t 質量流量 領域 G_{1D} ↑ 1Dコード 温度 G_{1D} 温度 T_{1D, out} 圧力差 T_{CFD, ou} Δp_{CFD} CFDコード Δp_{CFD} 加熱 T_{CFD, out} 領域 t > t_{max} Yes CFD⊐end

図1コード間の

図2解析体系(連成)





(b) ループ左右の中央高さの温度

図3 1D-CFD 連成解析と CFD 解析及び1D 解析の比較

*Norihiro Doda, Hideo Araseki, Kunihiko Nabeshima, Takashi Takata, Masaaki Tanaka and Hiroyuki Ohshima Japan Atomic Energy Agency

ナトリウム冷却高速炉におけるマルチレベル・シナリオシミュレーション技術開発 (6) マルチシナリオシミュレーションシステムの基本モジュール構築

Development of multi-level, multi-scenario simulation systems for sodium cooled fast reactor

(6) Development of basic module in multi-scenario simulation system *内堀 昭寬¹, 青柳 光裕¹, 伊藤 啓², 髙田 孝¹, 大島 宏之¹ 「原子力機構,²京都大学

ナトリウム冷却高速炉の安全基盤技術としてマルチレベル・シナリオシミュレーションシステムの開発を 進めている。本報では、シビアアクシデント時の炉内/炉外事象を統一的に扱うマルチシナリオシミュレ ーションシステムの基本モジュール構築結果を報告する。

キーワード: ナトリウム冷却高速炉、シビアアクシデント解析、炉内事象、炉外事象

1. **緒言** ナトリウム (Na) 冷却高速炉 (SFR) の設計最適化・革新技術開発を支える安全基盤技術の一つとしてマルチレベル・シナリオシミュレーションシステムを開発している。このうちマルチシナリオシミュレーションシステムは、SFR シビアアクシデント (SA) 時の様々な炉内/炉外事象を統一的に解析することを目的としている。本件では、前報に示した概念設計[1]に基づき、本システムのベースとなる炉内側及び炉外側それぞれの熱流動解析基本モジュールを構築すると共に、その機能検証や妥当性確認を行った。

2. 基本モジュールの構築及び妥当性確認

- 2-1. 炉内側 SA 時の 1 次主冷却系流動に対し、低マッハ数近似(圧縮性考慮)、Volume-of-fluid(VOF)法、完全陰解法を採用した多次元解析手法を構築した。その機能検証として、SFR の1 次主冷却系を参考とした 2 次元体系において冷却材流出事象の解析を実施した。図 1 に示す通り、アルゴンと Na が存在する条件において、冷却材流出とともに気液界面位置が低下する基本的な事象を解析可能であることを確認した。
- 2-2. **炉外側** 複数の部屋が流路や構造部を介して連結した体系を質点系として扱い、完全陰解法により気相、気相成分、エアロゾルの輸送

に関する基礎方程式を解くことで圧力、温度、気相成分質量分率、エアロゾル濃度、部屋間通気速度等を評価する解析手法を構築した。その妥当性確認として、2部屋が接続された体系で部屋間の圧力差により気相が移行する問題を解析した。理想的な体系での理論解との一致に加え、既開発の質点系 Na 燃焼解析コード SPHINCS[2]による解析結果との一致(図 2)を確認した。また、完全陰解化による数値計算安定化の大幅な向上も併せて確認した。

3. 結論 炉内側基本モジュールについては冷却材流出事象を解析可能なこと、炉外側基本モジュールについては部屋間の気相やエアロゾル移行挙動について理論解との比較やコード間クロスチェックから解析手法の妥当性を確認した。*本報告は、エネルギー対策特別会計に基づく文部科

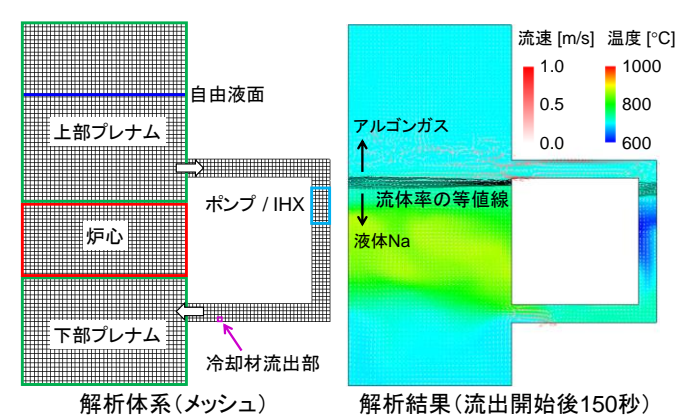


図 1 炉内基本モジュールによる冷却材流出事象の解析

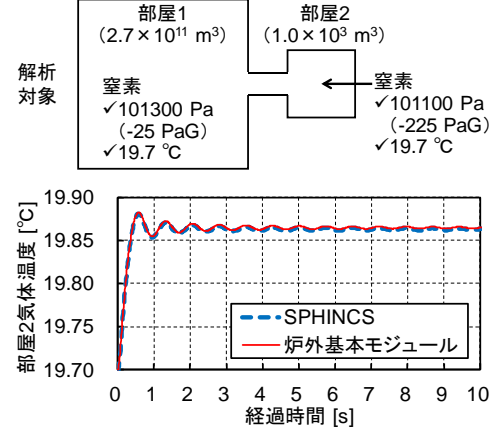


図2 炉外基本モジュールによる解析の一例

学省からの受託事業として、原子力機構が実施した平成 29 年度「革新的ナトリウム冷却高速炉におけるマルチレベル・マルチシナリオプラントシミュレーションシステム技術の研究開発」の成果です。

参考文献

[1] 髙田他, 原学会 2017 年秋の大会, 2E17. [2] A. Yamaguchi, et al., Nuclear Engineering and Design, 219, pp.19-34, 2003.

^{*} Akihiro Uchibori¹, Mitsuhiro Aoyagi¹, Kei Ito², Takashi Takata¹ and Hiroyuki Ohshima¹

¹Japan Atomic Energy Agency, ²Kyoto Univ.

ナトリウム冷却高速炉におけるマルチレベル・シナリオシミュレーション技術開発 (7) 模擬粒子を用いた燃焼生成エアロゾル物質移行実験

Development of multi-level, multi-scenario simulation systems for sodium cooled fast reactor

ナトリウム (Na) 冷却高速炉 (SFR) の安全基盤技術としてマルチレベル・シナリオシミュレーションシステムの開発を進めている。本報告では、SFRの炉外固有事象であるNa漏えい燃焼挙動評価のコードV&Vを目的として実施した、模擬粒子を用いたセル間のエアロゾル物質移行実験装置の設計製作、試験計画の策定について報告する。

キーワード: ナトリウム冷却高速炉, ナトリウム漏えい, エアロゾル

- 1. **緒言** 炉外構造物からの Na 漏えい時には、漏えいした Na のエアロゾルあるいは周囲雰囲気下で燃焼生成した Na 酸化物のエアロゾルが、区画化されたコンクリート構造物間を、構造物やケーブル敷設用の貫通 孔を通して移行する。本報告では、Na 漏えい事象に係る既存知見整理及び模擬エアロゾル物質移行実験装置の設計製作、試験計画の策定について報告する。
- 2. 模擬粒子を用いたセル間のエアロゾル物質移行実験

2-1. Na 漏えい事象に係る既存知見の整理

Na 漏えい事象における重要度ランク評価、コード V&V の観点での既存実験の整理(評価マトリクスの作成)を実施するとともに、実験装置のスケールに対する検討を行った。

2-2. 実験装置 重要物理現象の知見整理でデ ータ不足が指摘された燃焼生成エアロゾルの伝 熱流動や物質移行挙動を明らかにするため、模 擬エアロゾル (微細粒子) を用いて、複数の貫 通部で連結された多区画部内での温度や粒子移 行挙動等を計測可能な多セル区画実験装置を設 計製作した。図1に、実験装置の全体系統を示 す。本装置は、2つの区画部(セル)、貫通部、 計測機器、エアロゾル生成器(図 2)及び計測 室等で構成される。エアロゾル生成器は、噴出 量の定量化精度を考慮し、固形微細粒子をピス トンに封入し、一定速度で上昇させるとともに ブラシで削り出し実験体系に送られる。試験計 画では、本公募で計測された粒径[1]およびこれ までに計測された燃焼時のエアロゾル濃度から 噴出量、実験時間の選定を行った。

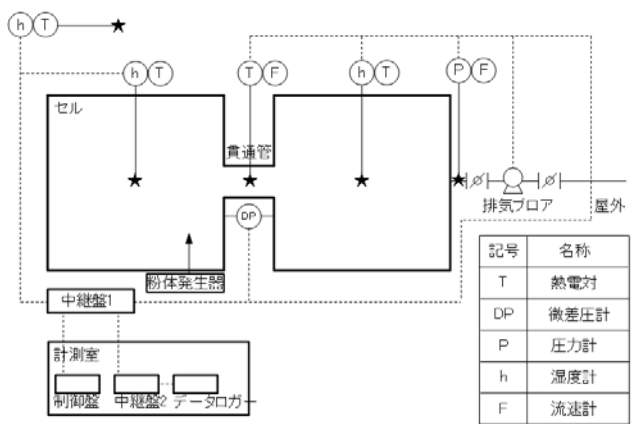


図1 模擬エアロゾル物質移行実験装置全体系統





図2 エアロゾル生成器(左)及び噴出の様子(右)

3. 結論 Na 漏えい事象に係る重要物理現象の知見整理に基づき、セル内及びセル間の燃焼生成エアロゾル移行挙動を把握するため、模擬粒子を用いた物質移行挙動試験装置の設計製作、試験計画の策定を行った。 *本報告は、エネルギー対策特別会計に基づく文部科学省からの受託事業として、原子力機構が実施した平成 29 年度までの成果です。

参考文献 [1] 出口他、原学会 2018 年秋の大会、第8報(次報)、2018.

^{*}Akikazu Kurihara¹, Shin Kikuchi¹, Ryota Umeda¹, Takashi Takata¹ and Hiroyuki Ohshima¹, ¹Japan Atomic Energy Agency

ナトリウム冷却高速炉におけるマルチレベル・シナリオシミュレーション技術開発 (8) 反応界面における反応生成物エアロゾル粒径計測

Development of multi-level, multi-scenario simulation systems for sodium cooled fast reactor

(8) Particle size measurement of reaction product aerosol at reaction surface

*出口 祥啓¹, 菊地 晋², 栗原 成計², 高田 孝², 大島 宏之²
¹徳島大学, ²原子力機構

ナトリウム(Na)冷却高速炉(SFR)の安全基盤技術としてマルチレベル・シナリオシミュレーションシステムの開発を進めている。本報告では解析コードの V&V に資するため、Na-酸素反応にて生成するエアロゾルに注目し、反応場の可視化とエアロゾル粒径に関する計測結果について報告する。

キーワード: ナトリウム冷却高速炉、ナトリウム燃焼、レーザー計測

1. 緒言

ナトリウム(Na)冷却高速炉(SFR)の安全基盤技術としてマルチレベル・シナリオシミュレーションシステムの開発を進めている。このシミュレーションシステムの V&V を適切に実施するには、信頼性を確保した実験知見やデータベースの構築が必要不可欠である。本報告では、Na-酸素反応にて生成するエアロゾルに注目し、反応場のふく射熱輸送解析などに資することを目的として、反応場の可視化とエアロゾル粒径に関する計測結果について報告する。

2. 実験方法

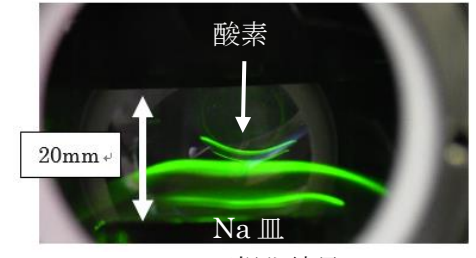
Naー酸素反応には、対向型 Na 反応装置を用いた[1]。本装置では、液体 Na プール上に酸素を導入し、一次元的に Naー酸素反応を持続できる。試験では、圧力 0.05MPa、Na 温度 820K、酸素濃度 2%及び 4%(バッファガス: Ar)の条件を用いた。反応場の可視化には 532nm のレーザ光を用いた。また、エアロゾル粒径計測では、波長の異なる複数のレーザ光(405nm、450nm、520nm、532nm、650nm、650nm、785nm)を用いたミー散乱法と LII(Laser Induced Incandescence)を用い、異なる 2 手法から粒径を求め、計測精度の向上を図った。

3. 結果及び考察

図1に酸素濃度 2%における Naー酸素反応を対象とした反応場の可視化結果と LII を用いた粒径計測結果を示す。エアロゾルとして数百 $nm\sim1\mu m$ の粒径が算出されており、ナトリウム皿に近づくに従い、粒径が大きくなっていることが分かる。これは、ナトリウム皿近傍で、流速が遅くなり、エアロゾルの成長、重合などの現象が顕著に表れるためである。本粒径計測結果は、同条件にてミー散乱法を用いた計測と良い一致を示すことが確認された。

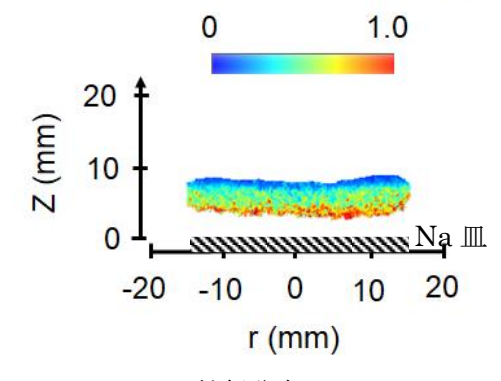
4. 結言

Na-酸素反応現象を解明するための基礎試験として、ミー散乱法及び LII を用いた計測を実施した結果、数百 nm~lμm の粒径を有するエアロゾルが生成されることを確認した。また、両計測結果は良い一致を示すことが確認された。



(a) 可視化結果

Particle Diameter (µm)



(b) 粒径分布(LII)

図1 Na-酸素反応場の試験結果

*本報告は、エネルギー対策特別会計に基づく文部科学省からの受託事業として、原子力機構が実施した平成 29 年度「革新的ナトリウム冷却高速炉におけるマルチレベル・マルチシナリオプラントシミュレーションシステム技術の研究開発」の成果です。

参考文献

[1] Deguchi Y., Applied Thermal Engineering 114 (5) (2017) 1702-1706.

^{*}Yoshihiro Deguchi¹, Shin Kikuchi², Akikazu Kurihara², Takashi Takata², Hiroyuki Ohshima²

¹ Tokushima University, ² Japan Atomic Energy Agency

ナトリウム冷却高速炉におけるマルチレベル・シナリオシミュレーション技術開発 (9) ナトリウムーコンクリート反応基礎試験

Development of multi-level, multi-scenario simulation systems for sodium cooled fast reactor

(9) Fundamental experiment on sodium-concrete reaction

*菊地 晋¹, 古賀 信吉², 栗原 成計¹, 高田 孝¹, 大島 宏之¹ 「原子力機構, ²広島大学

ナトリウム(Na)冷却高速炉(SFR)の安全基盤技術としてマルチレベル・シナリオシミュレーションシステムの開発を進めている。本報告では解析コードの V&V に資するため、SFR の固有事象であり、安全評価上重要となる Na-コンクリート反応に関する基礎試験の結果について述べる。

キーワード:ナトリウム冷却高速炉、ナトリウムーコンクリート反応、熱分析

1. 緒言

ナトリウム(Na)冷却高速炉(SFR)の安全基盤技術としてマルチレベル・シナリオシミュレーションシステムの開発を進めている。このシミュレーションシステムの V&V を適切に実施するには、信頼性を確保した実験知見やデータベースの構築が必要不可欠である。本報告では、SFR 固有事象である Naーコンクリート反応現象を解明するため、高速炉構造コンクリート表層部に断熱材として敷設されるパーライトコンクリートの主成分であるカルシウム化合物と Na の反応に係る熱分析試験を実施した結果について述べる。

2. 実験方法

熱分析試験にはアルゴン(Ar)雰囲気で満たされたグローブボックス(GB)内に設置された SETARAM 社製の DSC (示差走査熱量測定) 装置 DSC-111 を用いた。試料容器は Na との反応性を考慮して、SUS304L 製で内径 5mm、深さ 76mm のものを用いた。基準物質は融点の高いアルミナを、試料側には Ar 雰囲気の GB 内で調整した純度 99wt%の Na と炭酸カルシウム(CaCO3)を用いた。Na と CaCO3の割合は Naーコンクリート反応で想定される総括反応(4Na+3CaCO3→2Na2CO3+3CaO+C)の量論比を参考に Na: CaCO3=4:3 に設定した。試験は昇温速度 2.5~10K/min で室温から 1073K まで加熱し、反応温度を測定した。

3. 結果及び考察

図 1 に Na-CaCO₃ 反応を対象とした各昇温速度における DSC 曲線を示す。各昇温速度において、約 371K に Na の融点に対応する吸熱ピークが確認できる。その他、約 680~825K において 2 つの発熱ピークが確認でき、第 1 発熱ピークは昇温速度の上昇に伴い高温側へのシフトが見られ、速度論評価が可能な反応となっている。第 2 発熱ピークはピーク形状がシャープであるが、昇温速度による依存性はなく、出現温度にバラツキがあることが分かる。ここでは、第 1 発熱ピークが Na-CaCO₃ 反応に直接の寄与がある主要な反応(初期反応)

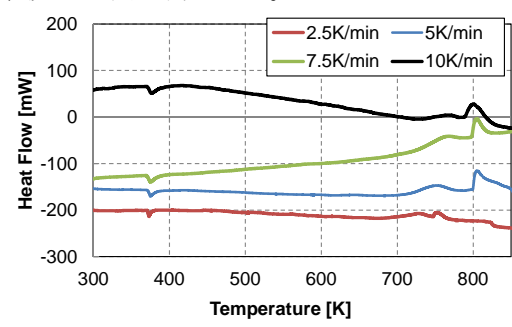


図1 Na-CaCO3 反応の DSC 曲線

であると考えられ、Kissinger 法^[1]を用いた簡易的な速度論評価を実施した。評価の結果、活性化エネルギーや頻度因子の速度論パラメータについて、石灰岩系コンクリートの反応性評価において報告されている知見^[2]と相違があるが、前述の反応温度領域では反応速度定数に有意な差がないことを確認した。

4. 結言

Na-コンクリート反応現象を解明するための基礎試験として、Na-CaCO₃ 反応を対象とした熱分析試験を 実施した結果、約680~825Kにおいて反応に伴う発熱ピークを確認した。また、簡易的な速度論評価を実 施した結果、反応温度領域における反応速度定数は既往知見と同程度であることが分かった。

*本報告は、エネルギー対策特別会計に基づく文部科学省からの受託事業として、原子力機構が実施した平成29年度「革新的ナトリウム冷却高速炉におけるマルチレベル・マルチシナリオプラントシミュレーションシステム技術の研究開発」の成果です。

参考文献

[1] Kissinger HE., Anal Chem 29 (11) (1957) 1702-1706. [2] Suo-Anttila AJ.; NUREG/CR-3379 (1983).

^{*}Shin Kikuchi¹, Nobuyoshi Koga², Akikazu Kurihara¹, Takashi Takata¹, Hiroyuki Ohshima¹

¹Japan Atomic Energy Agency, ²Hiroshima University,

Oral presentation | III. Fission Energy Engineering | 304-1 Thermal Hydraulics, Energy Conversion, Energy Transfer, Energy Storage

[1113-18] Fast Reactor Thermal Hydraulics 2

Chair: Mamoru Konomura (Univ. of Fukui)

Wed. Sep 5, 2018 4:05 PM - 5:40 PM Room I (B33 -B Building)

[1113] Mechanism of heat transfer from molten fuel pool to structural wall in EAGEL 1D1 test

*Koji Morita¹, Ryusei Ogawa¹, Xiaoxing Liu¹, Wei Liu¹, Kenji Kamiyama² (1. Kyushu University, 2. JAEA)

4:05 PM - 4:20 PM

[1114] PLANDTL-2 Experiment for Evaluation of Decay Heat Removal in Sodiumcooled Fast Reactors

*Toshiki Ezure¹, Jun Kobayashi¹, Takamitsu Onojima¹, Akikazu Kurihara¹, Masaaki Tanaka¹ (1. JAEA)

4:20 PM - 4:35 PM

[1115] Development of Simulation Code of Bubble and Dissolved Gas Behavior in Sodium-cooled Fast Reactor Primary Coolant System

*Kentarou Matsushita¹, Kei Ito², Toshiki Ezure¹, Masaaki Tanaka¹ (1. Japan Atomic Energy Agency, 2. Kyoto Univ.)

4:35 PM - 4:50 PM

[1116] Study on coolant behavior in damaged core of sodium-cooled fast reactor *Tatsuya Kurisaki¹, Daisuke Ito², Kei Ito², Yasushi Saito², Yuya imaizumi³, Ken-ichi Matsuba³, Kenji Kamiyama³ (1. Kyoto Univ., 2. KURNS, 3. JAEA) 4:50 PM - 5:05 PM

[1117] Self-leveling Behavior of Mixed Solid Particles in Cylindrical Bed Using Gas-injection Method

*Le Hoang Sang Phan¹, Phi Manh Ngo¹, Ryo Miura¹, Yusuke Tasaki¹, Tatsuya Matsumoto¹, Wei Liu ¹, Koji Morita¹ (1. Kyushu Univ.)

5:05 PM - 5:20 PM

[1118] Studies on Advanced Measurement and Control of Liquid Sodium Flow Field

*Yuta Akimoto¹, Yuma Michishita¹, Takeshi Fukuda¹ (1. Osaka Univ.) 5:20 PM - 5:35 PM

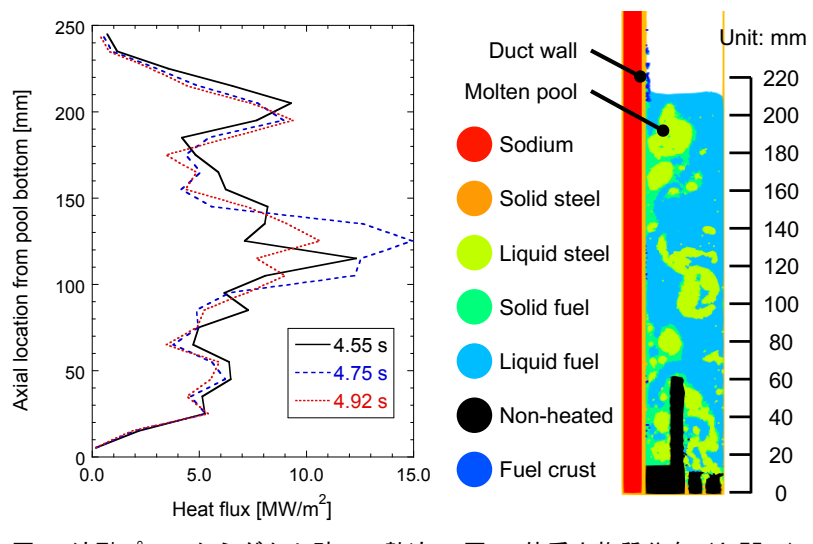
EAGLE ID1 試験における溶融燃料プールから構造壁への熱伝達機構に関する検討

Mechanism of Heat Transfer from Molten Fuel Pool to Structural Wall in EAGEL 1D1 Test *守田 幸路 ¹, 小川 竜聖 ¹, 劉 暁星 ¹, 劉 維 ¹, 神山 健司 ² ¹九州大学, ²日本原子力研究開発機構

EAGLE ID1 試験における燃料ピン束の崩壊から溶融燃料プール形成よる構造壁の熱伝達までの一連の挙動に関する粒子法シミュレーションの結果に基づき、構造壁の破損要因と推定される構造壁への高熱流束を生じさせる物理的なメカニズムについて検討した。

キーワード: ナトリウム冷却高速炉, 炉心損傷事故, 粒子法, 溶融プール熱伝達, 構造壁破損

- 1. **緒言** 内部ダクト付燃料集合体 (FAIDUS) からの溶融燃料の排出を実証するための炉内試験 EAGLE ID1 では、早期のダクト壁破損の要因となった非常に高い熱流束を伴う溶融プールからの熱伝達は、プール中の液体スティールによって促進されたものと推定されている[1]。本研究では、EAGLE ID1 試験における燃料ピン束の崩壊から溶融燃料プール形成までの一連の挙動を対象とした 2 次元多相流粒子法シミュレーション[2] を実施し、溶融プールから構造壁への熱伝達機構について解析的検討を行った。
- 2. 結果・考察 図1から分かるように、ダクト壁の破損(本解析では 4.92 s)直前に、溶融プールからダクト壁への熱流束は局所的に 10 MW/m²を超えており、試験後解析[2]と整合する結果が得られている。図2、図3に、それぞれ、熱流束が最大となる 4.75 s での体系内の物質分布、ダクト壁近傍での燃料・スティール体積率の軸方向分布を示す。本解析では、熱流束はダクト壁近傍の液体/固体燃料の割合に応じて増減する傾向を示しているが、液体スティールの影響は小さい。この結果は、試験後解析で得られた知見とは異なり、核発熱を伴う液体燃料がダクト壁に直接接触することでも高い熱流束が生じることを示唆している。
- 3. 結論 本粒子法シミュレーションでは、試験後解析で用いられた多流体モデルが依拠する流動様式マップ 等の工学的経験モデルは用いておらず、局所的な熱流動挙動を直接的に模擬することで、従来の知見とは異 なるダクト壁破損に関わる熱伝達機構の可能性を示した。



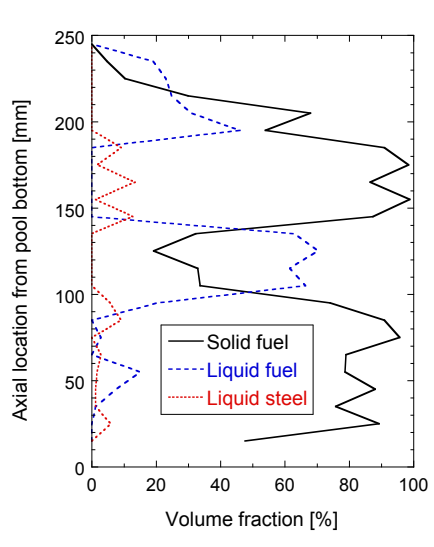


図1 溶融プールからダクト壁への熱流 東の軸方向分布の変化

図2 体系内物質分布(4.75 s)

図3 ダクト壁近傍の燃料・スティール 体積率の軸方向分布(4.75 s)

参考文献

[1] 豊岡ら, 本会和文論文誌, 12(1), pp. 50-66 (2013) [2] X. Liu et al., Comput. Phys. Commun., 230, pp. 59-69 (2018)

^{*}Koji Morita¹, Ryusei Ogawa¹, Xaoxing Liu¹, Wei Liu¹ and Kenji Kamiyama²; ¹Kyushu Univ., ²Japan Atomic Energy Agency

高速炉崩壊熱除去特性に関する PLANDTL-2 試験 -定常時インターラッパ部冷却挙動の多次元性-

ナトリウム高速炉の安全性強化の一環として、崩壊熱除去システム起動時の炉心部インターラッパ領域での多次元的な冷却挙動の把握を目的に模擬発熱集合体 30 体(電気ヒータによる発熱模擬) および非発熱集合体 25 体で炉心を構成するナトリウム試験装置(PLANDTL-2)を用いた定常試験を実施した。

キーワード: ナトリウム冷却高速炉、ナトリウム試験、インターラッパフロー冷却、崩壊熱除去システム **1. 緒言** ナトリウム冷却高速炉の安全性強化に係る重要課題の一つとして、SA 時を含む様々なプラント

条件に対応可能な崩壊熱壊熱除去システムの構築がある[1]。原子力機構では、有力なシステムとして浸漬型直接炉心冷却系熱交換器(浸漬型 DHX)に着目し、崩壊熱除去時の炉心部(インターラッパ領域に着目)における熱流動現象の把握に向け、PLANDTL-2 を用いたナトリウム試験を実施している[2]。本報では、浸漬型 DHX 等を用いた崩壊熱除去システム起動時の定常除熱状態におけるインターラッパ(IW)領域を含む炉心部での冷却挙動の把握を目的としたナトリウム試験結果を報告する。

2. 試験装置・試験 図1に、PLANDTL-2のループ構成を示す。試験体は、ループ型大型ナトリウム冷却高速炉の1/5縮尺規模(炉容器径)のナトリウム試験装置であり、模擬炉心の入口プレナム部、模擬炉心部および上部プレ

ナム部により構成される。模擬炉心部は、模擬燃料集合体として、六角管流路内に電気ヒーターを有する発熱集合体30体および冷却材流路のみの非発熱集合体25体で構成される[2]。上部プレナム部は、シェルアンドチューブ・直管型DHX(図1左上写真)1基と模擬UIS等で構成される。また、1次系ループは、試験体の他、電磁ポンプ、流量計、1次系冷却器(PHX)および中間熱交換器(IHX)等を有する。試験では、炉心発熱量、1次系流量および炉心入口温度を一定値とし、DHXまたはPHX(炉心発熱量に応じてIHX)冷却により系全体を定常状態とした。各熱交換器の2次側は空気冷却器による強制循環冷却(流量一定)とした。

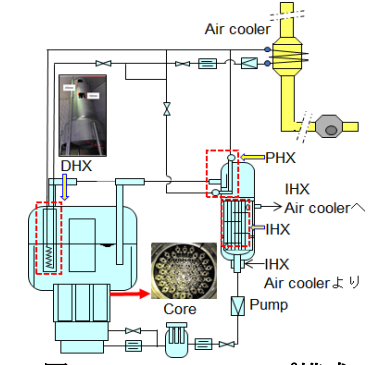


図 1 PLANDTL2 ループ構成

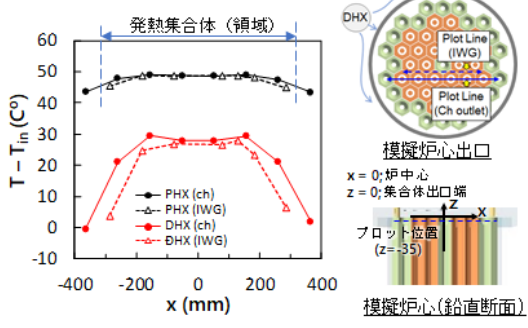


図2 炉心出口温度分布

- 3. 試験結果 図 2 に、試験結果の一例として、炉心発熱量 100 kW 及び 1 次系流量 100 L/min における炉心 出口部(z=-35mm、図 2 右参照)の時間平均温度分布を示す。横軸は水平方向位置(x)、縦軸は炉心入口 温度を基準とした温度変化である。PHX による冷却時(黒印)では、外周部(非発熱集合体の領域)の集合体出口でわずかに温度低下が見られるが、集合体出口(●)、IW ギャップ(IWG)部(△) 共に概ね一定温度となっている。一方、DHX による冷却時(赤印)では、発熱集合体領域を含む外周部の集合体出口部において温度低下している。さらに、IWG 部の温度も全体的に低下している。これは、DHX により冷却された低温のナトリウムが炉心部に潜り込むことで、炉心外周部から炉心を冷却したものと考えられる。
- 3. **結言** ナトリウム冷却高速炉における崩壊熱除去時の炉内熱流動現象の把握・予測に向け、崩壊熱除去システムを起動した定常状態において炉心領域の温度分布計測を実施し、DHX 冷却による炉心領域への低温ナトリウムの潜り込み挙動を含むインターラッパ領域の多次元的な冷却挙動を把握した。

参考文献 [1]H. Kamide, et al., NED, 312 (2017), p.30, [2]小林ら, 2018 秋の大会,J21

謝辞 本報告は経済産業省からの受託事業である「高速炉の国際協力等に関する技術開発」の一環として実施した成果を含む。

^{*}Toshiki Ezure¹, Takamitsu Onojima¹, Jun Kobayashi¹, Akikazu Kurihara¹, Msaaki Tanaka¹

¹Japan Atomic Energy Agency,

ナトリウム冷却高速炉 1 次冷却系における気泡・溶存ガス挙動解析手法の開発 - (1)タンク型炉の解析モデルの検討 -

Development of Simulation code of Bubble and Dissolved Gas Behavior in Sodium-cooled Fast Reactor Primary Coolant System

- (1)Study on Analytical Model for Tank Type Reactor - *松下 健太郎 ¹, 伊藤 啓 ², 江連 俊樹 ¹, 田中 正暁 ¹ 原子力機構, ²京都大学

ナトリウム冷却高速炉におけるガス巻き込み影響評価に必要な解析ツールとして、高速炉1次系統内気泡・溶存ガス挙動解析コード SYRENA の開発を進めている。本報では、タンク型炉への適用性検討の一環として、気泡挙動特性に関する解析モデルを構築し、その適用解析を実施した結果について報告する。

キーワード:ナトリウム冷却高速炉、ガス巻き込み、溶存ガス挙動評価、気泡挙動

1. 緒言 ナトリウム冷却高速炉の1次系統内気泡および溶存ガス挙動解析コードSYRENAの開発を進めてい

る^[1]。SYRENAはフローネットワークコードであり、評価対象となる各部をコンポーネントに分割し、その評価点および合流(分岐)点を設定することで高速炉プラントをモデル化する。各評価点では、冷却材流量、温度および圧力等を与えて、各コンポーネント内の溶存ガス挙動評価を行う。本報では、図1に示す典型的なタンク型炉(仮想タンク型炉)を設定してフローネットワークモデルを構築し、試解析を実施して、高速炉プラント内のAr、Heガス挙動特性について検討した。

2. 解析結果・考察 まずは、タンク型炉の解析結果に関する代表例として、Ar ガス挙動を説明する。図2に平衡状態までのAr ガスの気泡モル数の時間変化について炉心出入口

および IHX 出入口で示す。ホットプレナム液面でのガス巻込みにより気泡が供給されるため、いずれの評価点でも、気泡モル数は計算開始から 3.0x10⁴ 秒付近まで緩やかに増加している。3.0x10⁴ 秒以降の気泡モル数の急激な増加は、Na 中の Ar 溶解量が飽和状態に達し、ナトリウム温度が低下する IHX で気泡析出が開始したためである。その後、ホットプレナム液面での気泡供給と気泡放出および IHX での気泡析出がバランスし、平衡状態に至ったと考えられる。図 3 に炉心出入口および IHX 出入口での系統内における気泡数密度(平衡状態)を Ar ガスの気泡半径に対して示す。気泡半径が小さいピーク(第 1 ピーク)は主にホットプレナム液面からのガス巻込みによるもので、気泡半径が大きいピーク(第 2 ピーク)はIHX での気泡析出に起因するものである。第 2 ピークでは、ホットプレナム液面で Ar ガスの溶け込みや放出が発生するため、IHX入口において気泡数密度が極端に少なくなっている。なお、He ガスについても同様の挙動を確認した。

一方で、図 1 の仮想タンク型炉はホットプレナム液面を静定させる構造(ディッププレート)のない体系であるため、液面から Ar 気泡が抜けやすく、タンク型炉における 1 次系統内の総気泡モル数はループ型炉の半分ほどになった。

3. 結言 タンク型炉を対象として SYRENA 解析モデルを新たに 構築し試解析を行って、タンク型炉の系統内におけるガス挙動特性を把握するとともに、ループ型炉の解析結果との相違点を明らかにした。今後、タンク炉型を対象とした解析モデルの整備を進めるとともに、更なる妥当性確認を実施していく。

参考文献 [1] K. Ito, et al., JAEA-Research 2014-023

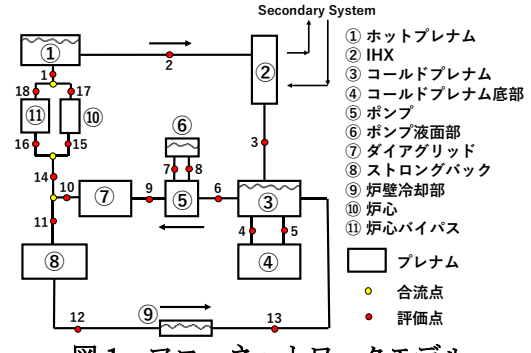


図 1 フローネットワークモデル (仮想タンク型炉)

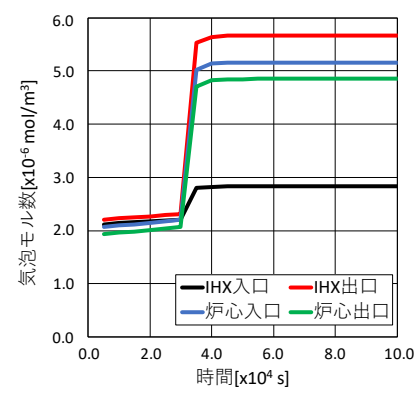


図 2 Ar ガスの気泡モル数時間変化

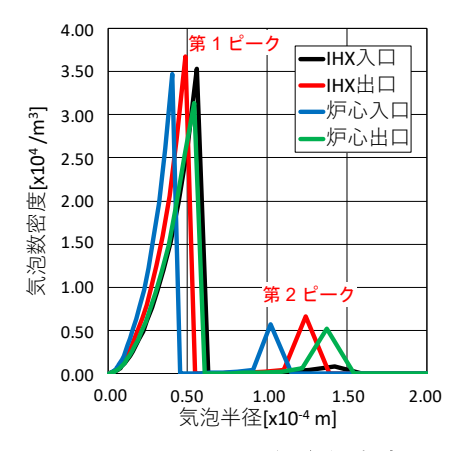


図3 Ar ガスの気泡数密度

^{*}Kentarou Matsushita¹, Kei Ito², Toshiki Ezure¹ and Masaaki Tanaka¹ JAEA., ²Kyoto Univ.

1116 2018年秋の大会

ナトリウム冷却高速炉における損傷炉心内の冷却材挙動に関する研究 (4)模擬デブリ内における空隙率分布を考慮した圧力損失評価

Study on coolant behavior in damaged core of sodium-cooled fast reactor

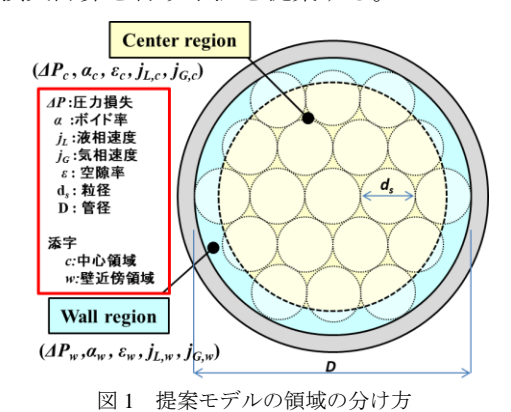
(4) Evaluation of pressure drop through simulated debris bed in consideration of porosity distribution *栗﨑 達也¹, 伊藤 大介¹, 伊藤 啓¹, 齊藤 泰司¹,今泉 悠也², 松場 賢一², 神山 健司²¹京都大学, ²原子力機構

模擬デブリ体系における圧力損失評価に関して、空隙率分布の影響を考慮した評価手法を提案し、その 予測精度について検討を行った。

キーワード:模擬デブリ,空隙率,ナトリウム冷却高速炉,気液二相流,シビアアクシデント

- 1. **緒言**: ナトリウム冷却高速炉のシビアアクシデント時において、炉心部で形成される燃料デブリベッドの安定的な冷却(インプレース冷却)は、損傷炉心物質の原子炉容器内保持を達成するために重要である。インプレース冷却挙動を評価する一つの指標として、デブリベッド内の気液二相流圧力損失が挙げられる。その予測式としては Lipinski モデル[1]が提案されており、これまで様々な模擬デブリベッド体系(球充填体系)における実験値との比較が行われてきている。しかしながら Lipinski モデルは均一な空隙率分布を仮定しており、空隙率の空間分布がある場合に予測精度が低下すると考えられる。そこで本報では、空隙率分布が存在する気液二相流に対して Lipinski モデルを用いた圧力損失計算を行う手法を提案する。
- 2. 計算方法: 中心領域と壁近傍で空隙率が異なる球充填円管内 気液二相流を計算対象とした。従来のモデルによる計算におい ては流路断面で空隙率を一定としているが、今回提案する手法 では図1のように、流路断面を中心と壁近傍の2領域に分割し、 空隙率分布モデル[2]から両領域の空隙率を与えた。その上で、 それぞれの領域において Lipinski モデルを用いた圧力損失算出 を行い、壁面近傍と中心領域で同じ圧力損失になるようにボイ ド率比および気液相みかけ速度比を変化させ、繰り返し計算を 行った。
- 3. 結果:提案した手法によって得られた圧力損失と実験値との比較結果を図2に示す。実験では内径50mmの円管に直径10mmの樹脂ビーズを充填した試験部を用い、気液相みかけ速度を変化させた際の圧力損失を計測した[3]。図2から、従来のLipinskiモデルから予測される値に比べて、提案した手法の計算結果は実験値に近づく傾向を示した。しかしながら、低液相速度では、誤差が大きくなる条件もあり、ボイド率や気液相速度の配分について、再検討が必要である。

参考文献: [1] Lipinski, 1984, Nucl. Tech., 65-1, 53-66, [2] Mueller, 1991, Chem. Eng. Sci.,46-2, 706-708, [3] 栗崎他 原子力学会 2018 春の大会



| Company | Comp

図 2 Lipinski モデルと提案モデルの比較

^{*}Tatsuya Kurisaki¹, Daisuke Ito¹, Kei Ito¹, Yasushi Saito¹, Yuya Imaizumi², Ken-ichi Mastuba² and Kenji Kamiyama²

¹Kyoto Univ., ²JAEA.

Self-leveling Behavior of Mixed Solid Particles in Cylindrical Bed Using Gas-injection Method

*Le Hoang Sang Phan¹, Phi Manh Ngo¹, Ryo Miura¹, Yusuke Tasaki¹, Tatsuya Matsumoto¹, Wei Liu¹ and Koji Morita¹

¹Kyushu Univ.

Abstract

In the present study, we performed self-leveling experiments in cylindrical bed using binary mixture of solid particles with different properties. An empirical model was developed to predict variations of bed mound height during the self-leveling process for various particles mixtures and gas injection velocities.

Keywords: sodium-cooled fast reactor, core disruptive accident, debris bed, self-leveling, mixed particles

1. Introduction

In sodium cooled fast reactors, during a core disruptive accident, molten core material may discharge into the lower inlet plenum of the reactor vessel and form the debris beds over debris trays. However, coolant boiling that is caused by decay heat in the fuel debris could lead to a leveling-off of the debris bed. This phenomenon, which is termed self-leveling behavior, is of essential importance for the heat-removal capability from debris beds as well as the neutronic characteristics because it depends on bed shape or bed height strongly.

2. Methodology

In this study, several experimental cases of binary-mixed particles, which include two different components of particles (same-size different-density and same-density different-size), were performed. By using the dimensional-analysis approach, an improved empirical model was formulated to predict the behavior of binary-mixed particle beds.

3. Results

Over the 62 cases with 774 experimental data points, the present empirical model can predict all data points of the transient bed mound height $H_b(t)$ within a deviation of $\pm 10.0\%$ compared with the experimental results. Figure 1 shows the transient self-leveling behavior of mixtures of: (a) Al₂O₃ and SS particles with the same diameter $d_p = 6.00$ mm and (b) SS particles with diameter $d_p = 2.00$ mm and 4.00 mm predicted by our empirical model (lines) in comparison with experimental data (points). The proposed empirical model can predict the experimental data reasonably well for a wide range of experimental conditions.

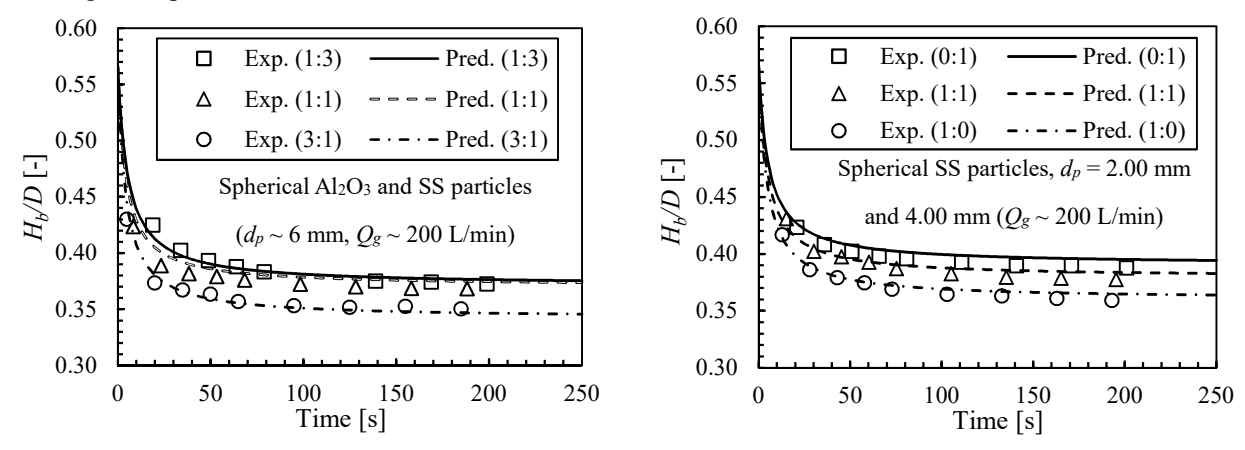


Figure 1. Transient bed mound height by prediction (Pred.) and experiment (Exp.)

References

[1] K. Morita et al., J. Nucl. Sci. Technol., 53(5), 713-725 (2016).

1118 2018年秋の大会

液体ナトリウム流動場の計測・制御手法の高度化に関する基礎研究

本研究ではナトリウム冷却高速炉におけるガス巻き込みや液中渦の発生等の伝熱流動に関する課題解決への寄与を目的として、ナトリウム可視化試験装置^[1]を用いて液体ナトリウム可視化試験を行う。講演では液体ナトリウム流動場の計測手法及び制御手法の高度化について検討した結果について報告する。

キーワード:ナトリウム冷却高速炉、真空紫外光、可視化、気液二相流

1. 緒言

現在第4世代原子炉の候補として研究開発が進められるナトリウム冷却高速炉では高出力・小型化に伴う流速増大が予測されており、炉心構造物の強度に影響を及ぼす渦や炉心出力に影響を及ぼすガス巻き込みの発生が懸念されており液体ナトリウム流動場の計測及び制御が必要である。そこで本研究では液体ナトリウム流動場の計測手法の高度化を目的として、真空紫外光を用いた液体ナトリウム可視化試験を試みた。

2. 実験

実験は大阪大学が保有するナトリウム可視化試験装置^[1]を用いて行う。本試験装置は波長 157nm の F2 レーザーより成る可視化光学系と長さ 15m の水平試験部と鉛直試験部を有する液体ナトリウム循環装置から成る。

本研究では液体ナトリウム中に生じる気液二相流の計測の ため2つの実験を行う。

始めに予備試験として固体ナトリウムサンプルを用いた固体ナトリウム一気相境界の可視化試験を行う。固体ナトリウム試験の結果を踏まえ、液体ナトリウム試験の実験条件を決定し、試験装置の鉛直試験部を用いて液体ナトリウム可視化試験を行う。

液体ナトリウム試験では液体ナトリウムをチャージした鉛直試験部の下方からアルゴンガスを注入した後、波長157nmを透過する CaF2 窓を通じて試験部に F2 レーザーを照射し、透過光を ICCD カメラで撮影することで液体ナトリウム中の気液二相流計測を試みる。

3. 結論

現在実験中であり、講演で実験結果及び結論を報告する。



図 ナトリウム可視化試験装置[1]

参考文献

[1] T.Fukuda,et al,Proc.ICONE18,29671

^{*}Yuta Akimoto¹, Yuma Michishita¹ and Takeshi Fukuda¹

¹Osaka University.

Oral presentation | VII. Health Physics and Environmental Science | Health Physics and Environmental Science

[1J01-06] Dose Assessment 1

Chair: Yoshitaka Yoshida (JANSI)

Wed. Sep 5, 2018 2:45 PM - 4:20 PM Room J (A41 - A Building)

[1J01] Evaluation of Radiation Dose by Recycling of Pd and Zr Recovered from High-level Radioactive Waste

*Sentaro Takahashi¹, Tomoyuki Takahashi¹, Satoshi Fukutani¹, Maiko Ikegami¹, Takumi Kubota¹, Sota Tanaka², Kayoko Iwata², Rui Akayama², Yuko Kinashi¹ (1. KURNS, 2. Kyoto Univ.) 2:45 PM - 3:00 PM

[1J02] Evaluation of Radiation Dose by Recycling of Pd and Zr Recovered from High-level Radioactive Waste

*Takumi Kubota¹, Kayoko Iwata², Maiko Ikegami¹, Satoshi Fukutani¹, Yuko Kinashi¹, Tomoyuki Takahashi¹, Sentaro Takahashi¹ (1. KURNS, 2. kyoto Univ.)

3:00 PM - 3:15 PM

[1J03] Evaluation of Radiation Dose by Recycling of Pd and Zr Recovered from High-level Radioactive Waste

*Satoshi Fukutani¹, Takumi Kubota¹, Maiko Ikegami¹, Kayoko Iwata², Sota Tanaka², Rui Akayama², Tomoyuki Takahashi¹ (1. KURNS, 2. Kyoto Univ.) 3:15 PM - 3:30 PM

[1J04] Evaluation of Radiation Dose by Recycling of Pd and Zr Recovered from High-level Radioactive Waste

*Tomoyuki Takahashi¹, Sota Tanaka², Kayoko Iwata², Rui Akayama², Takumi Kubota¹, Satoshi Fukutani¹, Maiko Ikegami¹, Yuko Kinashi¹, Sentaro Takahashi¹ (1. KURNS, 2. Kyoto Univ.) 3:30 PM - 3:45 PM

[1J05] Study of the level 3PRA method using WinMACCS

*Masaharu Tsuzaki¹, Ryogo Kurokawa¹, Koichi Sada¹ (1. CRIEPI)

3:45 PM - 4:00 PM

[1J06] Study of the level 3 PRA method using WinMACCS

*Ryogo Kurokawa¹, Masaharu Tsuzaki¹, Koichi Sada¹ (1. Central Research Institute of Electric Power Industry)

4:00 PM - 4:15 PM

高レベル放射性廃棄物から回収した Pd ならびに Zr の再利用と被ばく線量評価 (1) 高レベル放射性廃棄物からの有用資源の回収と放射線防護

Evaluation of Radiation Dose by Recycling of Pd and Zr Recovered from High-level Radioactive Waste

(1) Radiation Protection in the Recycling of Useful Elements Recovered

from High-level Radioactive Waste

*高橋千太郎¹⁾、高橋知之¹⁾、福谷哲¹⁾、池上麻衣子¹⁾、窪田卓見¹⁾、田中草太²⁾、 岩田佳代子²⁾、赤山類²⁾、木梨友子¹⁾

1)京都大学複合原子力科学研究所、2)京都大学農学研究科地域環境科学専攻

Development of recycle and reuse of valuable element from high-level radioactive waste are now progressed. When the recovered elements are reused, the contamination with long half-life radionuclides is concerned. Here, we describe the lifecycle of Pd and Zr,, and discuss the important issues to be considered for radiation protection. Key words: High Level Waste, Zirconium, Palladium, Reuse, Lifecycle, Radiation Protection

1. 緒言

高レベル放射性廃棄物に含まれる核分裂生成物の分離・変換は、環境への負荷低減の観点から各国で研究開発が進んでいる。さらに近年我が国においては偶奇分離操作により有用元素を回収して再利用しようという研究開発が進展している。しかしながら、再利用される有用元素には微量ながら放射性核種が含まれることになり、その中でも長半減期核種による放射線被ばくが懸念される。

本研究の目的は、再利用の可能性が高いジルコニウム(Zr)ならびにパラジウム(Pd)を対象に、仮に無制限で一般生活環境に放出され、すべての製品が均一に単位濃度の長半減期核種 ¹²⁷Pd または ⁹³Zr を含有していた場合に一般公衆が受ける放射線量を評価し、最終的には原子炉の資材に設定されているようなクリアランスレベルを提示することを目的としている。ここでは Pd と Zr のライフサイクルに関する調査結果を報告するとともに、線量評価が必要な経路(人での曝露量が多い経路)について考察する。

2. 調査研究対象

政府ならびに関係機関の報告書、国連機関の報告書、ならびに関連する学術論文等を調査対象とした。 特に、わが国における Pd および Zr の利用形態やその量、年度ごとの変動等については(独)石油天然ガス金属鉱物資源機構のマテリアルフローを、一般公衆における摂取量等については国際保健機関の調査報告書を中心に調査し、線量評価の観点から必要な情報を個別の学術論文から取得した。

3. 結果と考察

3.1 Pd のライフサイクルと人での曝露ばく経路

我が国における Pd の年間消費量は 64.5 トンで、その 60%以上が自動車用及び産業用触媒として利用され、リサイクル率はそれぞれ 60%および 100%と高い。地球環境レベルでは自動車排ガスからの放出が最も量的に大きいが、人への曝露という点では現時点では重要ではない。特徴的な利用は歯科補綴材であり、特に我が国において使用量が多く、いわゆる金パラ合金として年間 15 トンが使用されている。

3.1 Zr のライフサイクルと人での曝露経路

Zr の多くは酸化物や珪酸化物として使用され、特に耐熱レンガとしての利用が多く 2015 年の我が国での使用量の 58%、年間約 9000 トンがこの用途に使用さており、製造・取扱・廃棄が人での主要な曝露経路と考察される。金属 Zr の使用量は比較的少なく年間 170 トン程度で、主として原子力産業に使用されている。近年、Zr セラミックが医療用などで使用量が増えているが、化学的に極めて安定で、人への曝露は少ないものと考えられる。

本研究は、総合科学技術・イノベーション会議が主導する 革新的研究開発推進プログラム (ImPACT) の一環として実施したものである。

*S. Takahashi^{1,2}, T. Takahashi¹, S. Fukutani¹, M. Ikegami¹, T. Kubota¹, S. Tanaka², K. Iwata², R. Akayama², Y. Kinashi¹

¹Kyoto University, Institute for Integrated Radiation and Nuclear Science, ²Kyoto University, Graduate School of Agriculture.

高レベル放射性廃棄物から回収した Pd ならびに Zr の再利用と被ばく線量評価 (2) Pd ならびに Zr のトレーサ作成と経根・消化管吸収率の測定

Evaluation of Radiation Dose by Recycling of Pd and Zr Recovered from High-level Radioactive Waste

(2) Production of Zr and Pd Tracers, and Application for Measurement of Root- or

Intestinal-absorption Ratios

*窪田卓見¹,岩田佳代子²,池上麻衣子¹,福谷哲¹,木梨友子¹,高橋知之¹,高橋千太郎¹ ¹京大複合研,²京大院農

高レベル放射性廃棄物から回収したパラジウムならびにジルコニウムの利用による被ばく線量を評価するため、放射性トレーサの製造方法について検討するとともに、実際にリーフレタスにおける経根吸収率およびラットにおける消化管吸収率を求める実験に利用しその有用性を確認した。

キーワード:高レベル放射性廃棄物、放射性パラジウム、放射性ジルコニウム、電子ライナック、経根吸収、消化管吸収

1. 緒言

高レベル放射性廃棄物から回収したパラジウムならびにジルコニウムを再利用する場合には、共存する長半減期核種の 107 Pd (6.5x 106 年) ならびに 93 Zr (1.61x 106 年) による被ばく線量を知る必要があり、環境中や生体中での動態に関する知見が必須である。本研究では、短半減期の放射性トレーサ 103 Pd (17 日) ならびに 89 Zr (3.27 日) の製造方法について検討するとともに、植物(リーフレタス)の経根吸収率および動物(ラット)の消化管吸収率を求める実験に利用してその有用性を確認した。

2. 実験方法

 103 Pd および 89 Zr は、京都大学複合原子力科学研究所の電子ライナックを用い、それぞれ 101 PdCl₂ および 101 Pd および 101 Pd および 101 Pd となる。 101 Pd に関係した、マクロ量の放射性トレーサである。 照射後の 101 PdCl₂ 中に生成する 101 Pd は放射能測定を妨害するため、アスコルビン酸を用いて精製した 101 PdCl₂を使用した。一方、照射後の 101 Pd は放射能測定を妨害するため、アスコルビン酸を用いて精製した 101 PdCl₂を使用した。 101 PdCl₂を使用した。 101 PdCl₂を使用した。 101 PdCl₂を放射を加した。 101 PdCl₂を放射を添加し、 101 PdCl₂を放射能を測定し、 101 PdCl₂を液を添加し、 101 PdCl₂を液を添加し、 101 PdCl₂を液を添加し、 101 PdCl₂を液を添加し、 101 PdCl₂を放射能を測定し、 101 PdCl₂を添加を添加し、 101 PdCl₂を使用した。 101 PdCl₂PdCl

3. 結果

リーフレタスに対する 103 Pd および 101m Rh の経根吸収率は、それぞれ $^{3.3}$ x10 3 および $^{9.5}$ x10 2 ((Bq/kg)/(Bq/L)) となり、転流率は、0 および 0.1 となった。 103 Pd は、根に吸着もしくは吸収されるが、可食部位への転流は非常に少ないことが示唆された。 ラットに投与した 89 ZrO $_{2}$ は、排泄開始後、生物学的半減期 3 時間で指数関数的に減少し、消化管吸収率は 4 x10 3 以下と算出され、消化管からの吸収は非常に少ないことが示唆された。以上の結果から、今回開発した製造方法により、動植物実験に利用できるトレーサの製造が可能であることが確認された。

本研究は、総合科学技術・イノベーション会議が主導する 革新的研究開発推進プログラム (ImPACT) の一環として実施したものである。

参考文献

[1] 原子力学会 2018 春の年会:使用済燃料から回収されたジルコニウムの再利用による被ばく線量の試算 (1)ジルコニウムトレーサの作成

^{*}Takumi Kubota¹, Kayoko Iwata², Maiko Ikegami¹, Satoshi Fukutani¹, Yuko Kinashi¹, Tomoyuki Takahashi¹, Sentaro Takahashi¹ Institute for Integrated Radiation and Nuclear Science, Kyoto Univ. ²Graduate School of Agriculture, Kyoto Univ.

高レベル放射性廃棄物から回収した Pd ならびに Zr の再利用と 被ばく線量評価

(3) 環境中における Pd ならびに Zr の溶出特性と土壌分配係数

Evaluation of Radiation Dose by Recycling of Pd and Zr Recovered from High-level Radioactive Waste (3) Dissolution Characteristics and Soil-Liquid Distribution Coefficient of Zr and Pd in the Environment *福谷哲¹, 窪田卓見¹, 池上麻衣子¹, 岩田佳代子², 田中草太², 赤山 類², 高橋知之¹, 高橋千太郎¹¹京都大学複合原子力科学研究所、²京都大学農学研究科

回収パラジウムならびにジルコニウムの再利用による被ばく線量の評価に資するため、評価上重要なパラメータとなる環境中での溶出特性や土壌-溶液系での分配係数を求めた。

キーワード:パラジウム、ジルコニウム、溶出特性、分配係数、耕作地土壌、森林土壌

1. 緒言

高レベル放射性廃棄物から回収されたパラジウム(Pd)やジルコニウム(Zr)が再利用された場合、使用中に飛散したり、廃棄過程において地中に埋設されたりすることにより環境中に付加されることが想定される。このような経路での被ばく線量を評価するには、当該元素の環境動態に関する知見が必須である。本研究では、ジルコニウム質レンガや金属パラジウムの溶出特性を実験的に明らかにするとともに、安定及び放射性元素を使い土壌・溶液系での分配係数を求めたので報告する。

2. 実験材料および方法

分配係数を求める実験において、土壌には京大原子力研敷地内の耕作地(畑)から採取した土壌と岩手大学演習林から採取した土壌を用いた。溶液には京大原子力研のライナックにおいて ¹⁰⁴Pd(γ,n)¹⁰³Pd 反応で作成した放射性の ¹⁰³Pd 溶液や定量用混合標準溶液(安定元素)などを用いた。土壌 4.0g と溶液 40mL を 50mL 容量の遠沈管に取り、約 200rpm で振とうさせながら固液接触を行った。固液接触開始から 2、4、6、…等、所定時間後に遠心分離し上澄み液を採取して測定試料とした。各測定試料採取後、遠沈管をよく振り、振とうに戻した。実験は各土壌それぞれ 2 系統で行った。試料中の放射性核種、安定元素の測定はそれぞれ Ge 半導体検出器、ICP-MS で行った。

3. 結果と考察

土壌に耕作地土壌、溶液に 103 Pd 溶液を用いて行った実験(A,B2系統)の 103 Pd の $_{\gamma}$ 線(357keV)を測定した結果を、横軸に接触時間を縦軸に液中 103 Pd 濃度(cps/mL)を取り図 1 に示す。0 時間の点は原液中の 103 Pd 濃度を示した。 103 Pd の吸着量は初めの 2 時間で大きい値を取り、その後 6 時間でほぼ平衡状態に達すると考えられる。これより算出される分配係数は約 19.9(L/kg)であった。

本研究は、総合科学技術・イノベーション会議が主導する 革 新的研究開発推進プログラム (ImPACT) の一環として実施 したものです。

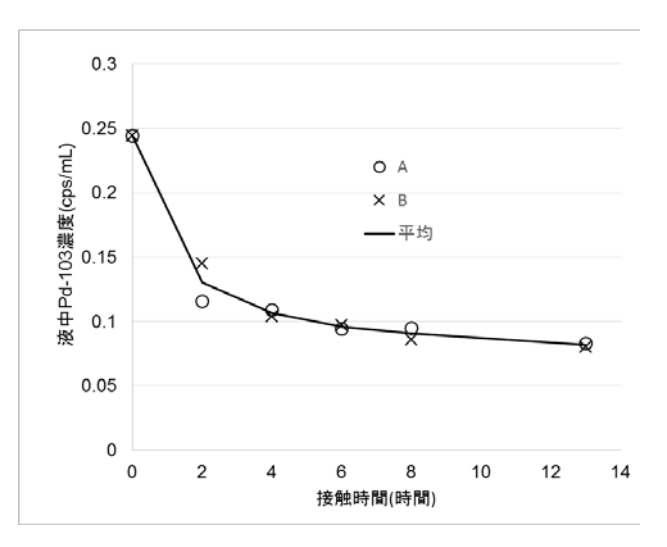


図 1. 液相中 103Pd 濃度の経時変化

^{*} Satoshi Fukutani ¹, Takumi Kubota ¹, Maiko Ikegami ¹, Kayoko Iwata ², Sota Tanaka ², Rui Akayama ², Tomoyuki Takahashi ¹ and Sentaro Takahashi ¹ 1 Kyoto University, Institute for Integrated Radiation and Nuclear Science, 2Kyoto University, Graduate School of Agriculture.

高レベル放射性廃棄物から回収した Pd ならびに Zr の再利用と被ばく線量評価(4)高レベル放射性廃棄物から回収された Pd ならびに Zr の再利用におけるクリアランスレベルの検討

Evaluation of Radiation Dose by Recycling of Pd and Zr Recovered from High-level Radioactive Waste

(4) Consideration of the Clearance Levels for the Reuse of Pd and Zr Recovered from

High-level Radioactive Waste

*高橋知之¹⁾、田中草太²⁾、岩田佳代子²⁾、赤山類²⁾、窪田卓見¹⁾、福谷哲¹⁾、池上麻衣子¹⁾、 木梨友子¹⁾、高橋千太郎¹⁾

1)京都大学複合原子力科学研究所、2)京都大学農学研究科地域環境科学専攻

Pd and Zr recovered from high-level radioactive waste may contain a small amount of long-lived radioactive nuclides. Here, using the data on environmental behavior and metabolism in human body, the radiation doses are determined in a few selected pass ways of utilization. In addition, the clearance level for these elements are discussed. Key words: High Level Waste, Zirconium, Palladium, Reuse, Radiation Dose Estimation, Clearance Level

1. 緒言

高レベル放射性廃棄物から有用元素を回収して再利用する場合、微量ながら長半減期の放射性核種が含まれることになり、放射線被ばくが懸念される。ここでは、先の演者らの発表したジルコニウム(Zr)ならびにパラジウム(Pd)のライフサイクルと人での曝露経路、植物移行や動物への吸収率、及び土壌中における分配係数や消失係数に関する研究結果に基づき、一般公衆における被ばく線量の評価を行うとともに、クリアランスレベルの設定という観点からの留意すべき点について報告する。

2. 研究方法

2-1. 評価経路

先の演者の発表した利用形態や人での曝露の可能性などを参考に、Pd については 1)自動車排ガス触媒から放出された微粒子の吸入、2)食品・飲料水からの摂取、3)歯科補綴材からの溶出の 3 経路を、Zr では 1) ジルコニウム質耐熱レンガの取り扱い時における粉塵の吸入、2)ジルコニウム質耐熱レンガの埋設廃棄後の地下水の飲用、3)金属ジルコニウムの加工時における粉塵やヒュームの吸入の3 経路を対象とした。

2-1. 評価パラメータ

摂取・曝露量に関しては国際健康機関の報告書や先行研究のデータを利用した。評価上、重要なパラメータである土壌--植物移行係数、土壌分配係数、溶出率、及び消化管吸収率については実験的に求め、先行研究のデータの妥当性を確認した。また、埋設廃棄後の地下水溶出に関しては原子力施設のコンクリートのクリアランス係数策定のパラメータを参照し、線量係数は ICRP Pub.71 を用いた。

3. 結果と考察

各評価経路の年間 10µSv を与える濃度(Bq/g)は以下のように評価された。利用方法から考えて外部被ばくの評価は不要であった。Pd では地球規模で問題となる自動車排ガス触媒への利用は現時点では大きな線量を与えないこと、Zr に比べ高い濃度となること、歯科補綴材のような特殊な用途のあることが分かった。

核種	評価経路	主要パラメータ	年間 10μSv を与 える濃度(Bq/g)
¹⁰⁷ Pd	自動車排ガス触媒	空気中濃度、呼吸率、線量係数	2.6 x 10 ¹¹
	食品・飲料水	食品・飲料水平均摂取量、線量係数	3.7×10^8
	歯科補綴材	最大摂取量、線量係数	4.8×10^7
93 Zr	金属 Zr の加工	空気中濃度、呼吸率、作業時間、線量係数	4.2×10^{1}
	耐熱レンガの埋設廃	廃棄関連パラメータ、流出係数、飲料水平均	1.2×10^3
	棄後の地下水飲用	摂取量、線量係数	1.2 X 10
	耐熱レンガ製造・加工	空気中濃度、呼吸率、作業時間、線量係数	6.3×10^7

本研究は、総合科学技術・イノベーション会議が主導する 革新的研究開発推進プログラム (ImPACT) の一環として実施したものである。

^{*}T. Takahashi¹, S. Tanaka², K. Iwata², R. Akayama², T. Kubota¹, S. Fukutani¹, M. Ikegami¹, Y. Kinashi¹, and S. Takahashi¹

¹Kyoto University, Institute for Integrated Radiation and Nuclear Science, ²Kyoto University, Graduate School of Agriculture.

1J05 2018年秋の大会

WinMACCS を用いたレベル 3PRA 手法の検討 (1)早期段階の計算パラメータの感度解析

Study of the level 3PRA method using WinMACCS

(1) Parameter sensitivity study on early phase

*津崎 昌東¹, 黒川 諒悟¹, 佐田 幸一¹ 1電力中央研究所

レベル 3PRA の実施に向けた知見の蓄積が必要とされていることから、米国 NRC が開発した最新のレベル 3PRA 計算コードである WinMACCS について特性の把握と日本への適用性を検討している。本報では WinMACCS の概要と早期被ばくの計算におけるパラメータの感度解析結果について報告する。

キーワード: レベル 3PRA、WinMACCS、シビアアクシデント、感度解析

1. 緒言

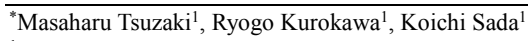
レベル 3PRA では、環境中に放出された放射性物質の移動、沈着とこれによる外部、内部被ばくを計算 し、ヒトに及ぼすリスクを算出する。さらに、評価結果の不確実さ解析を行う。MACCS2(現在の最新バー ジョンは WinMACCS)は米国 NRC が開発したレベル 3PRA コードであり、SOARCA 研究(NUREG/CR-7110[1] 他)等で用いられている。WinMACCSでは不確実さを評価するために、個々の計算パラメータが有する不 確実さの幅及び分布を設定して計算を実施する。本研究では、WinMACCS の特性を把握することを目的と して、早期被ばくに関わるパラメータについてグローバルな感度解析のための手法の検討を行うとともに ローカルな感度解析を行っている。本報では個別のパラメータに対するローカルな感度解析結果について 述べる。なお、本研究では具体的なサイトのリスク評価を目的としていないため、入力データ等は基本的 に文献値[1][2]や WinMACCS 付属のサンプル等の値を用いている。

2. 感度解析

パラメータにそれぞれ文献値の上限値と下限値 を与えて計算を実施し、感度解析を行った。図 1 に平均個人リスクについて、SOARCA 研究で設定 された標準パラメータを用いた計算結果を1とし て、15のパラメータの値を変化させた場合の比を 示す。本計算条件下では影響が大きいパラメータ は ES、CF、等であること、多くのパラメータに ついては偶然の不確実さ(気象の影響:We)よりも 影響が小さいことが示された。

参考文献

- [1] U. S. NRC, "State-of-the-Art Reactor Consequence Analyses Project Volume 1: Peach Bottom Integrated Analysis", NUREG/CR-7110, Vol. 1
- [2] U. S. NRC, "State-of-the-Art Reactor Consequence Analyses Project Uncertainty Analysis of the Unmitigated Long-Term Station Blackout of the Peach Bottom Atomic Power Station", NUREG/CR-7155



¹Central Research Institute of Electric Power Industry

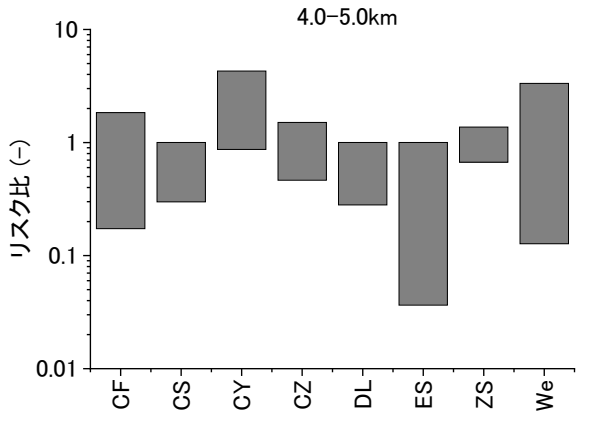


図1 パラメータを変化させた場合のリスク比の変化 放出源から 4km-5km について、影響の大きなパラメータ を抜粋。CF:線量-リスク換算の係数、CS:クラウドシ ャインの遮蔽係数、CY:水平方向の拡散幅の係数、CZ: 鉛直方向の拡散幅の計数、DL:避難開始までの時間、ES: 避難速度、ZS:鉛直方向拡散補正係数、We:気象条件によ る変動(参考値)。

1J06 2018年秋の大会

WinMACCS を用いたレベル 3PRA 手法の検討 (2) メタモデルを用いたグローバル感度解析

Study of the level 3 PRA method using WinMACCS

(2) Global sensitivity analysis with meta-models
*黒川 諒悟 ¹, 津崎 昌東 ¹, 佐田 幸一 ¹

1電力中央研究所

レベル 3PRA 計算コード WinMACCS の動作を近似するような計算コストの低い代替モデル(メタモデル)を機械学習アルゴリズムにより構築し、その適合度を評価した。また、構築したメタモデルのグローバル感度解析への適用性を確認した。

キーワード: レベル 3PRA, グローバル感度解析, メタモデル, 機械学習

1. 緒言

レベル 3PRA で用いる WinMACCS のような数多くの入力パラメータが存在する複雑なモデルに対しては、評価結果の不確実さに対する寄与が大きい入力パラメータを同定するグローバル感度解析が有効である。しかしながら、計算コストの側面から、そのような複雑なモデルをグローバル感度解析に直接用いることは現実的ではない。そのため本研究では、WinMACCS の動作を近似する計算コストの低い代替モデル(メタモデル)を用いたグローバル感度解析の手法を検討する。

2. 結果

WinMACCS において SOARCA 研究等[1][2]を参考にし、早期被ばくに関わる 35 種類の入力パラメータに確率分布を与え、平均個人リスクを複数回計算した。その入出力データから機械学習アルゴリズムによってメタモデルを構築し、WinMACCS との適合度を評価した。その結果、放出源からの距離やアルゴリズムによってその適合度に差が見られた(図 1)。

また、構築したメタモデルを用いてグローバル感度解析を行った結果、 ランダムフォレスト(RF)や勾配ブースティング(GBDT)によるメタモデル がグローバル感度解析を実施する上で有効であることが示された。

参考文献

- [1] U.S. NRC. State-of-the-Art Reactor Consequence Analyses Project Uncertainty Analysis of the Unmitigated Long-Term Station Blackout of the Peach Bottom Atomic Power Station. NUREG/CR-7155. 2016.
- [2] NRC, U. S. Uncertainty and sensitivity analysis of chronic exposure results with the MACCS reactor accident consequence model. NUREG/CR-6135. 1995.

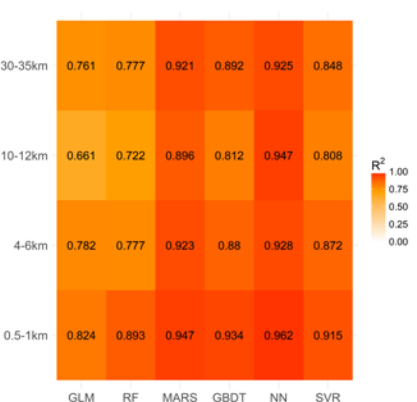


図 1 各メタモデルによる適合度 放出源からの距離区分における WinMACCS の計算値とメタモ デルの予測値から算出した決定 係数 R²。GLM: General Linear Model, RF: Random Forest, MARS: Multivariate Adaptive Regression Splines, GBDT: Gradient Boosting Decision Tree, NN: Neural Network, SVR: Support Vector Regression

^{*}Ryogo Kurokawa1, Masaharu Tsuzaki1 and Koichi Sada1

¹Central Research Institute of Electric Power Industry

Oral presentation | VII. Health Physics and Environmental Science | Health Physics and Environmental Science

[1J07-12] Dose Assessment 2

Chair:Tomoyuki Takahashi(Kyoto Univ.)

Wed. Sep 5, 2018 4:20 PM - 6:00 PM Room J (A41 - A Building)

- [1J07] Unsertainty and sensitivity analysis of doses to the public after the Fukushima Daiichi Nuclear Plant accident
 - *Shogo Takahara¹, Masatoshi WATANABE^{1,2} (1. Japan Atomic Energy Agency, 2. V.I.C.) 4:20 PM - 4:35 PM
- [1J08] Ratios between spatial and individual radiation doses in litate Village

 *Makoto Imai^{1,2}, Souji Obara², Tadashi Ogawa², Yoichi Tao², Muneo Kanno², Masaji Takahashi²,

 Kazuhiko lijima³, Tadashi Ishikawa³, Shin-ichi Sasaki³ (1. Kyoto Univ., 2. Resurrection of

 Fukushima, 3. KEK)

 4:35 PM 4:50 PM
- [1J09] Development of the computer code for dose estimation from external exposure to radioactive plume having an arbitrary shape

 *DAIKI SATOH¹, HIROMASA NAKAYAMA¹, TAKUYA FURUTA¹ (1. JAEA)

 4:50 PM 5:05 PM
- [1J10] Study on Radiation Dose Evaluation based on the OIL

 *Yoshitaka Yoshida¹, Shunsuke Takahashi² (1. Institute of Nuclear Safety System, 2. Kansai Electric Power Co.)

 5:05 PM 5:20 PM
- [1J11] Indoor radiocaesium contamination in residential houses near the FDNPP and evaluation of internal exposure to residents

 *Hiroko Yoshida¹, Naohide Shinohara², Kentaro Manabe³ (1. Tohoku Univ., 2. AIST, 3. JAEA)

 5:20 PM 5:35 PM
- [1J12] Development of a function calculating deposition probabilities of inhaled aerosols compatible with the revised Human Respiratory Tract Model

 *Kentaro Manabe¹, Fumiaki Takahashi¹ (1. JAEA)

 5:35 PM 5:50 PM

福島第一原子力発電所事故後の住民の被ばく線量に関する不確実さ・感度解析

Uncertainty and Sensitivity Analysis of Doses to the Public after the Fukushima Daiichi Nuclear Power Plant accident *高原省五¹,渡邊 正敏 1,2

1日本原子力研究開発機構,2ヴィジブルインフォメーションセンター

福島第一原子力発電所(1F)事故後の住民の被ばくについて6経路からの影響を考慮して線量評価モデルを開発し、事故後30日間、1年間及び10年間での実効線量に対するモデルパラメータの不確実さ・感度解析を実施した。

キーワード:福島第一原子力発電所事故、グランドシャイン、クラウドシャイン、プルーム吸入、再浮遊吸入、食物摂取、土壌直接摂取、グローバル感度解析

- 1. **緒言** IF 事故後の汚染地域において住民の被ばく線量は、(i) 行政上の被ばく管理の決定でも、(ii) 個々の生活の将来像を検討するうえでも基本的な指標の一つである。しかし、事故後のあらゆる期間において、すべての住民の線量を実測することは困難であり、モデルに基づく評価が必要となる。モデルでの評価には、空間的又は時間的な汚染濃度の変動及び個々の生活習慣の違いによる変動性とともに、知識不足による不確実さが含まれる。したがって、これらの変動性や不確実性にどのように対処するかが、線量評価における重要な課題となる。本研究では、住民の被ばく線量評価モデルを開発し、評価結果のばらつきの程度とその原因となるパラメータを特定するため、不確実さ解析を行うとともに、グローバル感度解析手法の一つである Elementary Effect (EE) 法[1]を用いて感度解析を行った。
- 2. 方法 線量評価モデルの概要を図 1 に示す。外部被ばく(グランドシャイン、クラウドシャイン)と内部被ばく(プルーム吸入、再浮遊吸入、食物摂取、土壌直接摂取)の合計 6 経路をモデル化した。放射性プルーム中濃度及び再浮遊核種濃度は、地表面濃度をもとに、それぞれ実効沈着速度と再浮遊係数を利用して算出する。このほか、モデルのパラメータは6 経路の合計で101 個である。福島市内での環境モニタリングの結果や先行研究に関する文献の調査を行って、これらのパラメータの値と分布形を決定した。この分布形に従ってランダムサンプリングを行い、モデルのパラメータセットを作成し、モデルでの計算を20000回実施することで、線量の分布を評価した。福島市内の成人の実効線量を評価対象とし、事故後30日間、1年間及び10年間での線量を評価した。

また、評価対象の線量 Y について、EE 法による感度解析を行った。パラメータ x_i の EE $_i$ は、EE $_i$ (x) = $[Y(x_1\cdots,x_i+\Delta,\cdots x_n)-Y(x)]/\Delta$ と表される。ここで、 $x=(x_1,\cdots,x_n)$ であり、 $\Delta=5/9$ とした[1]。各パラメータの EE $_i$ を 10000 個算出し、それらの絶対値の平均 μ^* と標準偏差 σ を計算した。 μ^* はパラメータの線量に対する平均的な感度を表し、 σ は他のパラメータとの相互作用の程度を表している。

3. 結論 不確実さ解析及び感度解析の結果の一例として、事故後 1 年間での成人 (屋外作業者) の実効線量に関する解析結果をそれぞれ \mathbf{Z} 及び \mathbf{Z} び \mathbf{Z} に示す。この期間における実効線量の平均値は4.77 mSv y 1 であり、5%値と95%値を比較すると約4.2 倍の違いが見られた。

図3に示した感度解析の結果は、このような線量のばらつきの原因を考察するうえで重要なパラメータを示しており、 μ^* と σ が大きいほど線量のばらつきへの寄与が大きいことを示している。1年間の実効線量に対しては、グランドシャインに関連するパラメータの μ^* と σ が大きい。特に、 137 Cs 地表面濃度と屋外滞在時間の影響が大きくなった。管理の目的で自治体単位・多様な集団を一括して線量評価する際には、汚染濃度の地域差や生活行動の個人差のような変動性へ対処する方法が重要になる。



図1 モデルの概要と主要なパラメータ

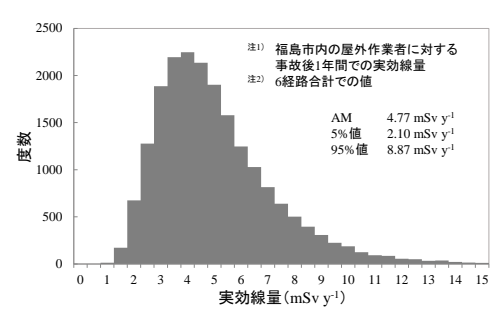


図2 福島市内の屋外作業者を対象とした 実効線量の評価結果

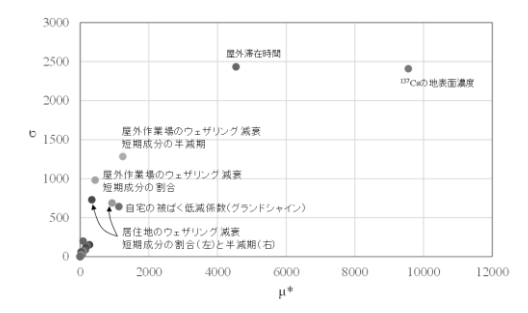


図3 感度解析の結果(図2の線量に対するモデルパラメータの μ^* と σ)

参考文献 [1] M. D. Morris, Technometrics, 33 (2), 161–174, 1991.

^{*}Shogo Takahara¹ and Masatoshi WATANABE^{1,2}

¹Japan Atomic Energy Agency (JAEA)., ²Visible Information Center (V.I.C.).

1J08 2018年秋の大会

福島県相馬郡飯舘村における空間線量と個人線量の相関

Ratios between spatial and individual radiation doses in Iitate Village

*今井 誠 1,2 , 小原 壮二 2 , 小川 唯史 2 , 田尾 陽一 2 , 菅野 宗夫 2 , 高橋 正二 2 , 飯島 和彦 3 , 石川 正 3 , 佐々木 慎一 3

1京都大学、2ふくしま再生の会、3高エネルギー加速器研究機構

東京電力福島第一原子力発電事故に伴う避難指示が段階的に解除され、実際に帰還した住民が被る個人線量と従来基準とされてきた空間線量率との関係が議論されている。飯舘村の避難指示解除区域と帰還困難区域において、ガラスバッジを含む各種個人線量計測定値と空間線量率の比を実測した。

キーワード: 東京電力福島第一原子力発電所事故,環境放射能,周辺線量当量,個人線量当量,帰還支援

東京電力福島第一原子力発電所事故に伴う避難指示が段階的に解除され、除染効果の評価や避難指示解 除などの基準は、従来の空間線量率から実際に帰還した住民が被る個人線量当量へと移されつつあるが、 人体に関する本来の防護量である実効線量を直接測定することは不可能であるため、実際にはその推定値 又は上限値を与える個人線量当量が用いられ、職業人の被曝を想定した平行垂直入射前面照射場において 個人線量当量(1 cm 線量当量)が測定できるよう校正された個人線量計が使用されている。これに対し、 事故後顕現した放射能が地表(場所によっては周辺の山林も)に沈着し、周囲 360 度の地表面からの照射 を受ける環境における個人線量当量、さらにこのような環境での小児の個人線量当量の正確な評価が現在 求められており、計算による評価研究[1]や個人線量計を装着した人体ファントムを回転させて ROT 照射場 における応答を実測する研究[2]ならびに水槽型ファントムに装着した個人線量計あるいは実際に個人線量 計を装着して行動した場合の測定値と空間線量率積分値の比較研究[2-4]などが行われている。これらの結 果は、個人線量計の測定値が結果的に現在の環境での実効線量に相当する線量となることを示す[1]一方、 実際に装着した個人線量計の測定値と空間線量率積分値の比は 0.15[4]~0.6 [2]と異なっている。測定条件 が異なり、これらをそのまま比較することは適切ではないが、特に今後コスト面から最も利用されると思 われるガラスバッジに関しては、自治体の集団(個人線量)モニタリング結果と航空機モニタリングによ る空間線量率との比較研究[2]が報告されているのみでさらなる検証が必要と考えられる。飯舘村の避難指 示解除区域と帰還困難区域計 3 地点(空間線量率各 0.25, 1.0, 2.6 μSv/h)において、ファントムに装着して 地上高 1.0m に設置したガラスバッジを含む各種個人線量計の測定値と、その地点で NaI シンチレーション サーベイメータ他により実測した空間線量率との関係につき報告する。

参考文献

- [1] 平山英夫, EGS5 による地表に広く分布した 134 Cs 及び 137 Cs の環境における個人線量計の評価, Radioisotopes **62**, pp. 335-345 (2013).
- [2] 大町康,「個人線量計による個人被ばく線量評価の経験」日本原子力学会 2014 年秋の大会(2014 年9月9日).
- [3] W. Naito, M. Uesaka, C. Yamada, et al., PLoS ONE 11, e0158879 (2016).
- [4] M. Miyazaki and R. Hayano, J. Radiol. Prot. 37, pp. 1-12 (2017).

*Makoto Imai^{1,2}, Souji Obara², Tadashi Ogawa², Yoichi Tao², Muneo Kanno², Masaji Takahashi², Kazuhiko Iijima³, Tadashi Ishikawa³ and Shin-ichi Sasaki³

¹Kyoto Univ., ²NPO Resurrection of Fukushima, ³KEK

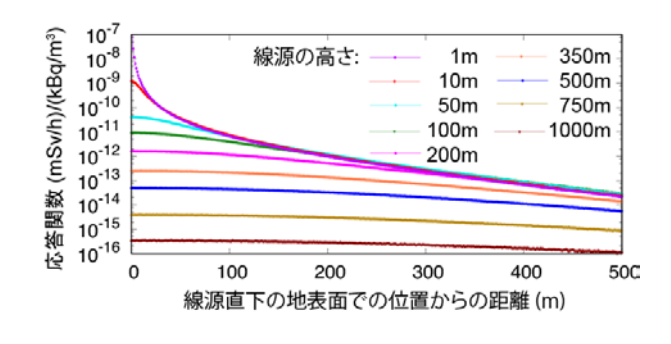
1J09 2018年秋の大会

任意形状の放射性雲からの外部被ばく線量評価コードの開発

任意の放射能濃度分布を持つ放射性雲からの外部被ばく線量を、迅速かつ正確に解析するコンピュータコードを開発した。精度検証として、ガウス型放射性雲に対して本コードとモンテカルロ法に基づく放射線輸送計算コード PHITS で計算した地表面の線量率分布を比較した結果、両者は良い一致を示した。

キーワード:外部被ばく線量評価,放射性雲,コンピュータコード,PHITS

- **1. 緒言** 環境に放出された放射性核種に対する公衆の放射線防護に資するため、外部被ばくと内部被ばくの両方に対応した統合線量評価システムの開発を進めている。そのシステムの一部として、大気への放出初期に観測される放射性雲からの外部被ばく線量を評価するコードを開発した。
- 2. 方法 短時間での線量評価を可能とするため、大気中の放射性核種から地上への線量寄与をPHITSによりあらかじめ計算し、応答関数として整備した。線源となる放射性核種は 85Kr、131 I、132 I、133 I、132 Te、134 C、136 Cs および 137 Cs であり、線源高さは地表面から高度 1000m までとした。この線源に対し、地上 1m 高さにおける周辺線量当量率と空気カーマ率を水辺方向に 1m の分解能で 500m 先まで評価した。図 1 に 137 Cs に対する周辺線量当量率の応答関数を示す。放射性雲内部の放射能濃度分布は、放射性雲を含む大気領域を任意のサイズのグリッドで分割し、各グリッドに放射能濃度を割り当てることで再現する。地上における線量率分布は、各グリッドの放射能濃度に応答関数を乗じ、全グリッドで総和を取ることで計算される。
- 3. 結果と考察 精度検証として、¹³⁷Cs が高度 150m の放出点から放出量 1Bq/s および風速 1m/s で定常放出された際のガウス型放射性雲による地上 1m 高さにおける周辺線量当量率の分布を計算した。図 2 は、整備した応答関数を用いて本コードで計算した風下方向に沿った線量率分布と、線源情報としてガウス型放射性雲を組み込んだ PHITS による放射線輸送計算の結果との比較である。モンテカルロ法に基づく PHITS の放射線輸送計算には大規模並列計算機にて数 10 時間を要したが、あらかじめ整備した応答関数に基づく本コードは 1 分程度で同等の精度の結果を与えることが分かった。



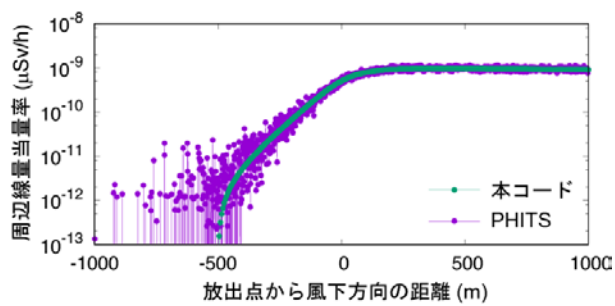


図 1 $^{137}\mathrm{Cs}$ に対する地上 $1\mathrm{m}$ 高さの周辺線量当量率の応答関数

図2 ガウス型放射性雲に対する地上1m高さでの風下方向に沿った周辺線量当量率の分布

謝辞 本研究は JSPS 科研費 JP17K070717 の助成を受けた。

*Daiki Satoh¹, Hiromasa Nakayama¹ and Takuya Furuta¹

¹JAEA

1J10 2018年秋の大会

OIL に基づく被ばく線量評価の検討

(4) OIL1, 2 用再浮遊係数の評価

Study on Radiation Dose Evaluation based on the OIL

(4) Evaluation of the Resuspension Factor for OIL1 and OIL2

*吉田 至孝1 高橋 俊佑2

1原子力安全システム研究所 2関西電力株式会社

緊急時防護措置 (OIL1) および早期防護措置 (OIL2) の被ばく経路は、沈着した放射性物質によるグランドシャイン、再浮遊による吸入、不注意な経口摂取とされている。再浮遊係数は、沈着した放射性物質の再浮遊による被ばく線量の計算に用いられ、一般的に 10⁴~10¹⁰ (m¹) とされており、これまでは 10⁴ (m¹) を用いてきたが、その根拠は明確でなかった。そこで、チェルノブイリ事故ならびに福島第一原発事故時の再浮遊係数実測データを分析して、OIL1 および OIL2 に基づく被ばく線量評価に用いる再浮遊係数を評価した。

キーワード:運用上の介入レベル、公衆防護措置、原子力災害、被ばく線量、再浮遊係数

1. 緒言

運用上の介入レベル (OIL) に対する包括的判断基準である被ばく線量に着目して、OIL 観測値に基づく被ばく線量評価手法の検討を行っている。本研究では、OIL1 および OIL2 に基づく被ばく線量評価に用いる再浮遊係数を、事故時の再浮遊係数実測データから評価した。

2. OIL1 および OIL2 被ばく評価手法の概要

OIL1 および OIL2 被ばく線量は、それぞれ 1 週間および 1 <u>月</u> 1.E-07 年間のグランドシャイン (OIL2 は屋内滞在中の遮蔽効果を考 紙 1.E-08 慮)、再浮遊による吸入、不注意な経口摂取による被ばく線量 1.E-09 の和で求められる。このうち、再浮遊による吸入には再浮遊 1.E-10 係数が用いられる。

3. 再浮遊係数データの分析

再浮遊係数とは、放射性物質放出源からの放出は無視できるような状況下において、土壌に沈着した放射性物質が再度空気中に浮遊する割合を、(1)式で求めたものである。

$$U(i) = \frac{B_{air}(i)}{B_{dep}(i)}$$

U: 再浮遊係数 (m·1) i: 核種 Bair: 浮遊放射能濃度 (Bq/m³) Bdep: 沈着放射能濃度 (Bq/m²)

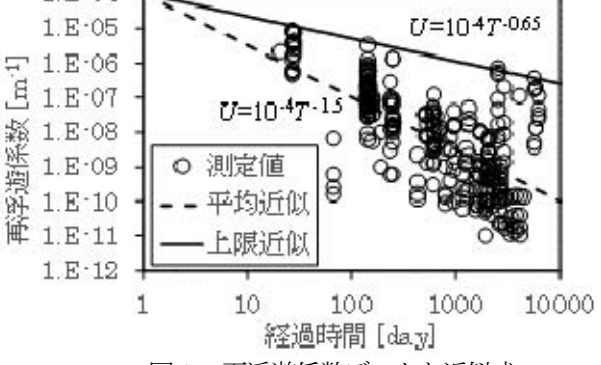
文献から抽出した再浮遊係数データおよび近似式を図 1 に示す。上限近似式より、OIL1 用の再浮遊係数は8.1×10⁵ (m⁻¹)、OIL2 用の再浮遊係数は6.2×10⁶ (m⁻¹)となった。

4. OIL1 および OIL2 被ばく線量の試計算

OIL1 および OIL2 の判断基準である空間線量率までヨウ素 131 またはセシウム 137 で土壌が汚染されていたと仮定し、グランドシャイン、再浮遊による吸入、不注意な経口摂取の被ばく線量に占める割合を試計算し、初報 1)と比較した。OIL1 の結果を図 2 に、OIL2 の結果を図 3 に示す。再浮遊による吸入の割合は、OIL1 のヨウ素 131 を除き、大きく低下した。

5. 今後の課題

収集した再浮遊係数データは、事故発生後短期間のものが少ないため、事故直後の再浮遊係数データを反映する必要がある。また、内部被ばく線量は IAEA より預託線量とすることが明示されたので、線量換算係数データ等を見直していく必要がある。



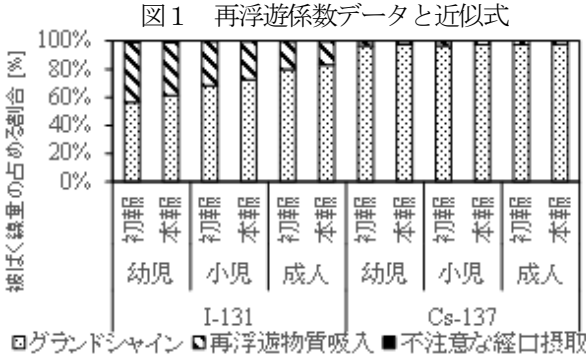


図2 OIL1 被ばく線量の占める割合

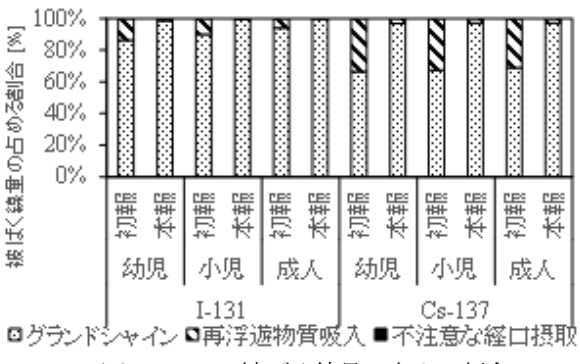


図3 OIL2被ばく線量の占める割合

1) 吉田至孝, 岩崎良人他, "運用上の介入レベルに基づく被ばく線量計算手法の検討ー計算式および線量換算係数等の整備ー", Journal of INSS, Vol.23, NT-9, pp.101-129, (2016).

^{*}Yoshitaka Yoshida¹ Shunsuke Takahashi²

¹ Institute of Nuclear Safety System, Incorporated ²Kansai Electric Power Company

福島第一原発に近い地域の住家内セシウム汚染の実態と これによる内部被ばく線量評価

Indoor radiocaesium contamination in residential houses near the FDNPP and evaluation of internal exposure to residents

*吉田 浩子¹,篠原 直秀²,真辺 健太郎³
¹東北大学,²産総研,³原子力機構

福島第一原発に近い地域における住家内汚染の表面汚染密度は第一原発からの距離と逆相関関係にある。 ハウスダストの経口摂取及びハタキがけによって舞い上がったエアロゾルの経気道摂取による内部被ばく 線量の評価結果も第一原発からの距離と同じく逆相関関係にあることが示された。

キーワード:福島第一原子力発電所事故、屋内汚染、放射性セシウム、内部被ばく線量

1.緒言

帰還困難区域における特定復興再生拠点区域では 5 年後を目途に線量の低下状況も踏まえて避難指示を解除し、居住を目指すこととなった。住家の屋内は除染の対象となっていないため、住民の帰還と居住にあたっては、住民がもっとも長い時間を過ごす自宅内の身近にある屋内汚染の状況を把握することが重要である。2012 年~2014 年にかけてその当時の避難指示区域の木造住家 95 戸について屋内の表面汚染を乾式スミア(拭き取り)法により調査し、放射性セシウムのレベルは福島第一原発に近いほど高いこと、遊離性汚染として屋内に存在していることを明らかにした10。屋内汚染の再浮遊による空気汚染は内部被ばくの原因となる。本研究では、福島第一原発に近い地域における住家内に残存する放射性 Cs によって生じる内部被ばく線量を評価し、第一原発からの距離との相関関係を考察した結果を報告する。

2. 調査内容

双葉町、大熊町、浪江町の住家 44 戸(福島第一原発からの距離 $1.60 \sim 11.85 \,\mathrm{km}$)において、全室を対象として住民の掃除を模した掃除機がけ(サイクロン式を使用)を行い粒径別にハウスダストを捕集した。水溶性、 HCl 溶解性の放射性物質を分離し、それぞれ放射性 Cs を測定した。さらに、ハタキがけ、掃き掃除を行い、再浮遊したエアロゾルをカスケードインパクターを用いて粒径別に捕集した。これらの実測値を用いて、 DCAL (ORNL/TM-2001/190, 2006)により預託実効線量を計算した。この際、粒径分布及び溶存性情報を組み入れて評価を行った。

3. 結果 • 考察

経口摂取(手を介しての経路)に寄与するハウスダストは $\langle 180\,\mu\,\text{m}$ と考え、 $\langle 20\,\text{mg}/\text{H} \rangle$ (US EPA, 2017)を摂取するとして ^{137}Cs による預託実効線量を計算した。福島第一原発からの距離に対して逆相関があるように見えるが、ばらつきがある。ハタキがけ中に再浮遊したエアロゾル(全粒径で計算)を 1.5 時間吸入摂取したとして ^{137}Cs による預託実効線量を計算した。福島第一原発からの距離に対して逆相関関係が示された。(図 1)

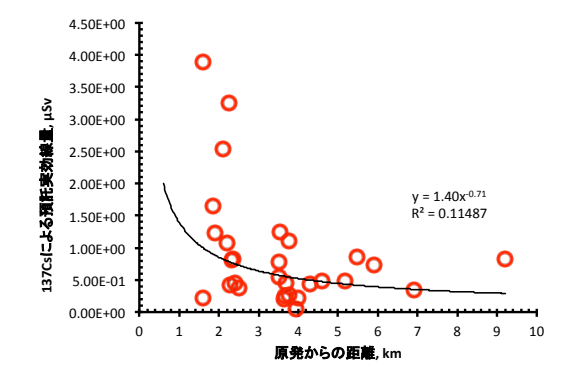


図 1 エアロゾルを吸入摂取したときの 137 Cs による 預託実効線量と福島第一原発からの距離との関係

参考文献

[1] Hiroko Yoshida-Ohuchi et al. Sci. Rep. 6:26412 (2016)

*Hiroko Yoshida¹, Naohide Shinohara², Kentaro Manabe³

¹Tohoku Univ., ²AIST, ³JAEA

改訂ヒト呼吸気道モデルに対応した吸入エアロゾルの沈着割合計算機能の開発

Development of a function calculating deposition probabilities of inhaled aerosols compatible with the revised Human Respiratory Tract Model

国際放射線防護委員会の呼吸気道沈着モデルを用いて、任意の粒径分布を持つエアロゾルに対し、改訂ヒト呼吸気道モデルにおける沈着領域区分に対応した沈着割合を計算する機能を開発した。

キーワード: 内部被ばく線量評価、吸入摂取、エアロゾル、粒径分布、沈着割合、ヒト呼吸気道モデル

- 1. 緒言 環境に放出された放射性核種に対する公衆の放射線防護に資するため、外部被ばくと内部被ばくを統合した線量評価システムの開発を進めている。内部被ばくで考慮すべき被ばく形態のひとつとして、大気中に浮遊する放射性エアロゾルの吸入摂取がある。吸入摂取による被ばく線量は、エアロゾルの粒径、密度、形状等により変化するが、国際放射線防護委員会(ICRP)の線量係数(単位放射能当たりの預託実効線量)は粒径が一定の対数正規分布であると仮定して評価されている。また、IMBA、LUDEP等の既存コードでは粒径について単一値又は対数正規分布しか考慮できず、沈着領域区分が最新のヒト呼吸気道モデル(改訂 HRTM) [1]にも対応していない。そこで、本研究では、線量評価システムの一部として、任意の粒径分布、密度、形状係数のエアロゾルに対し、改訂 HRTM の領域区分に対応した沈着割合計算機能を開発した。
- 2. **計算フロー** 図 1 に、沈着割合計算機能の計算フローを示す。 粒径分布は、任意の確率密度関数で、または対数正規分布である として熱力学的放射能中央径(AMTD) (μm)もしくは空気力学的放 射能中央径(AMAD) (μm)と幾何標準偏差(σ_g)で設定可能とした。後 者の場合は、設定値に従って確率密度関数を計算することとした。 パラメータは、エアロゾルについては密度と形状係数を、評価対 象者については性別、年齢群、呼吸習慣、運動状態とその時間割 合を設定可能とした。単一粒径粒子に対する呼吸気道の各領域(胸

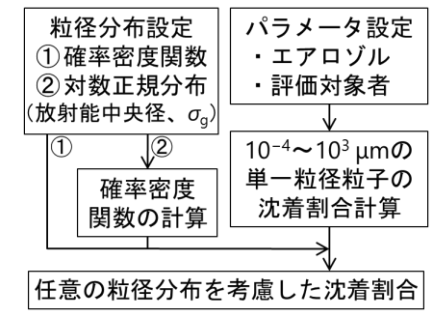


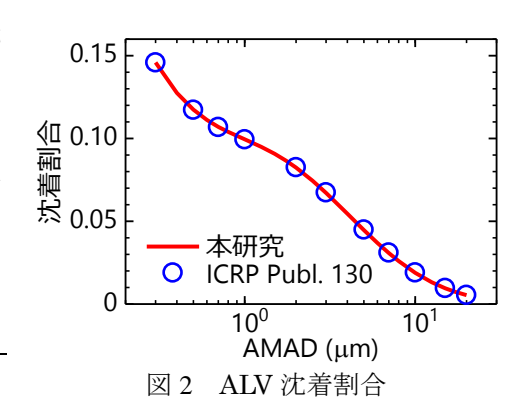
図1 沈着割合計算フロー

郭外領域(ET)、気管支(BB)、細気管支(bb)及び肺胞(ALV))への沈着割合の計算は、呼吸気道沈着モデル[2] を用いた。ET 沈着割合の前鼻道(ET1)及び後鼻道・咽頭・喉頭(ET2)への分配比は ET1:ET2 = 65:35、ET2、BB 及び bb 沈着における隔離成分の割合は 0.2% とした[1]。最後に、粒径の確率密度関数と単一粒径に対する沈着割合の関数を組み合わせ、任意の粒径分布を考慮した沈着割合を計算できるフローとした。

3. 機能の検証 開発した機能を用い、軽作業時の成人男性が AMAD 領域 (0.3 µm 以上) のエアロゾルを吸入した時の ALV への 沈着割合を計算した結果を図 2 に示す。ICRP Publ. 130 の数値をよ く再現しており、本機能は正しく沈着割合を計算していることを 確認した。

謝辞 本研究は JSPS 科研費 17K07017 の助成を受けたものです。

参考文献 [1] ICRP Publ. 130. [2] ICRP Publ. 66.



^{*}Kentaro Manabe¹ and Fumiaki Takahashi¹

¹JAEA

Oral presentation | VII. Health Physics and Environmental Science | Health Physics and Environmental Science

[1K01-07] Environmental Radioactivity and Monitoring 1

Chair:Daiki Satoh(JAEA)

Wed. Sep 5, 2018 10:00 AM - 11:55 AM Room K (B41 -B Building)

- [1KO1] Investigation on distribution of radioactive substances in Fukushima
 *Kimiaki Saito¹ (1. Japan Atomic Energy Agency)
 10:00 AM 10:15 AM
- [1KO2] Investigation on distribution of radioactive substances in Fukushima *Masaki Andoh¹, Norihiro Matsuda¹, Kimiaki Saito¹ (1. JAEA) 10:15 AM 10:30 AM
- [1KO3] Investigation on distribution of radioactive substances in Fukushima
 *Jun Goto¹, Takeshi Takahashi¹, Shu Sengoku¹, Hidenori Yoshida², Tatsuya Kondo¹ (1. Niigata
 University, 2. Niigata University of Health and Welfare)
 10:30 AM 10:45 AM
- [1KO4] Investigation on distribution of radioactive substances in Fukushima
 *Minoru Tanigaki¹ (1. Kyoto University)
 10:45 AM 11:00 AM
- [1K05] Investigation on distribution of radioactive substances in Fukushima

 *Kazuya Yoshimura¹, Jyun Saegusa¹ (1. JAEA)

 11:00 AM 11:15 AM
- [1K06] Investigation on distribution of radioactive substances in Fukushima *Takuya Yamashita¹, Kimiaki Saito¹, Akihiro Kitamura¹ (1. Japan Atomic Enargy Agancy) 11:15 AM 11:30 AM
- [1K07] Investigation on distribution of radioactive substances in Fukushima

 *Tetsuro Sato¹, Masaki Andoh², Kimiaki Saito² (1. Hitachi Solutions East Japan, Ltd., 2. Japan
 Atomic Energy Agency)

 11:30 AM 11:45 AM

福島における放射性物質の分布状況調査 (1) 分布状況調査に関する現状と課題

Investigation on distribution of radioactive substances in Fukushima

(1) Current status and future challenges

*斎藤 公明

原子力機構

抄録:福島第一原子力発電所事故(福島事故)後に継続して行われてきた放射性物質等分布状況調査、並びにこれに関連した研究の現状と成果についてまとめるとともに今後の課題について議論する。

キーワード: 大規模環境調査, 空間線量率, 沈着量密度, 汚染マップ, 放射性セシウム移行

1. 緒言

福島事故後、大規模な環境調査が継続して実施され、放射性物質等の分布状況や経時変化その原因となる放射性セシウムの環境中移行の特徴が明らかにされた。得られた大量のデータを統計解析することにより、空間線量率の分布・変化に関するより詳細な情報が取得された。調査を実施する過程で新たな技術が開発され、またこれらを用いることで環境測定に関する経験が蓄積された。本発表ではこれらの現状を集約するとともに、今後の課題について考える。

2. 現状のまとめ

2-1. 分布状況の経時変化

福島原発サイトから 80 km 圏内の空間線量率は事故直後に比べて大きく減少してきた。特に、人間の生活環境における放射性セシウムに起因する空間線量率は、2011年6月から6年間に平均で1/10程度まで減少した。空間線量率減少の基本的な原因として放射性セシウムの物理半減期による減衰、地中への浸透による遮蔽効果の増加、水平方向への移行、除染等があり、減少に影響を与える要因として人間の活動や季節等が挙げられることがわかった。

2-2. 統計解析の結果

大量に得られた環境測定データを統計処理することにより、経験的な2成分モデルを用いた空間線量率の予測モデルが開発された。また、航空機モニタリング、走行サーベイ、歩行サーベイの結果を、ベイズ地質統計手法を適用して統合する手法が開発され、より信頼のおける空間線量率マップが作成された。これらは除染シミュレーションと組み合わせた将来予測等に用いられている。

2-3. 知見・データの公開

調査に関連して得られた知見やデータは、異なる対象者を考慮し様々な形態で公開されてきた。この中には、学術雑誌における特集号での論文発表、一般人向けの汚染マップや QA 集による情報提供、数値情報や簡単な解析ツールも含めたデータベースの公開等がある。

2-4. 技術・経験の蓄積と応用

KURAMA-II を用いた走行サーベイ技術や無人へリコプタを用いた測定技術が実用化され活用された。 大規模環境調査を繰り返し実施した経験に基づき、調査を効率良く実施するためのノウハウが蓄積された。 KURAMA-II 技術を応用し、公共バス等を利用した空間線量率の連続測定、帰還住民に対する現実的な被ば く線量評価を行う試みも進められている。

3. 今後の課題

得られた膨大な量の環境データを異なる視点から解析することにより(人間活動の定量化、具体的な除染スケジュールとの対比、環境の詳細な分類等を考慮)、観察された現象のより深い理解を促進する必要がある。将来予測モデルやデータ統合技術は、被ばく線量の現実的な評価や予測を通して、今後の福島の復興に対して有用なデータを提供することが期待される。また、得られた知見や経験に関しては、学術的・技術的な知見のみならず実用面で重要な情報も含めて、できる限り多くの機会を得て記録し公開していくことが重要である。さらに、福島に関連した環境モニタリング全体の最適化も不可避である。

*Kimiaki Saito

Japan Atomic Energy Agency

(注) 本発表は、文部科学省及び原子力規制庁からの受託で実施した分布状況調査の成果を含む。

1K02

福島における放射性物質の分布状況調査

(2) 2017年までの走行サーベイによる空間線量率の経時変化

Investigation on distribution of radioactive substances in Fukushima

(2) Change trend of air dose rate evaluated by car-borne surveys until 2017

*安藤 真樹 ¹,松田 規宏 ¹,斎藤 公明 ¹

『原子力機構

KURAMA システムを使用した 2017 年までの走行サーベイの測定結果を解析し、避難指示区域等による空間 線量率の経時変化傾向の特徴を明らかにした。

キーワード:福島第一原子力発電所事故、走行サーベイ, KURAMA システム、空間線量率

1. 緒言

福島第一原子力発電所事故に伴い放出された放射性物質による空間線量率分布状況調査の一環として、 KURAMA 及び KURAMA-II モニタリング装置[1]を用いた走行サーベイが 2011 年 6 月以降継続的に実施さ

れ、空間線量率の測定データが蓄積されている。本研究では、2017年までの15回の走行サーベイにより得られた測定データを活用し、避難指示区域等の地域毎に空間線量率の経時変化を調べた結果を報告する。

2. 空間線量率経時変化の評価結果

福島第一原子力発電所から 80km 圏内について、避難指示区域の内外での空間線量率の経時変化を図に比較する。避難指示区域外では、事故後比較的早い時期(第1回~第5回測定)に空間線量率が大きく減少している。立入制限を受けておらず車両の往来が多く、事故後早い時期から除染活動が開始されたためと考えられる。その後徐々に減少が緩やかになり、事故後6年経過以降(第12回~第15回測定)では物理減衰とほぼ同じ減少率であった。図中のフィッティング曲線に示すように、3成分の環境半減期の存在を示唆する結果が得られた。他方、帰還困難区域では、避難指示区域外より減少が遅く各時期の減少速度の変化も小さい。除染特別地域については、事故後約2年後に除染計画が策定されたが、本格的な除染作業は開始されていない。このような状況の違いから、避難指示区域内外での空間線量率の下がり方に差異が生じていると考えられる。

参考文献

[1] M. Tanigaki et al., Nuclear Instruments and Methods in Physics Research A, 781, 57–64(2015).

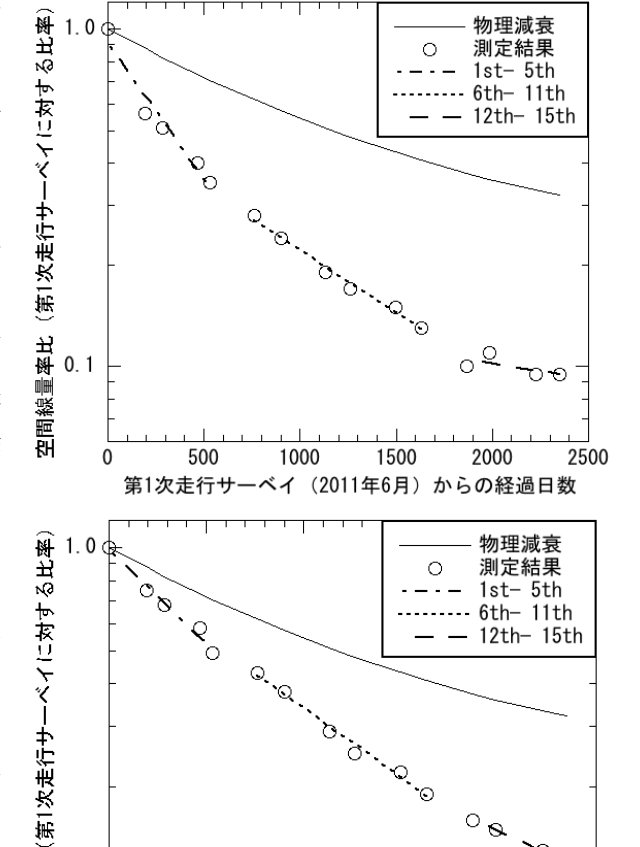


図 空間線量率の経時変化 (上:避難指示区域外、 下:帰還困難区域)

第1次走行サーベイ (2011年6月) からの経過日数

1500

2000

2500

1000

*Masaki Andoh¹, Norihiro Matsuda¹ and Kimiaki Saito¹

¹JAEA

本件は、原子力規制庁委託事業で得られた成果の一部である。

500

空間線量率比

0.1

福島における放射性物質の分布状況調査 (3) 自動車走行サーベイシステム ASURA による 道路表面の放射性セシウム沈着量の経時変化

Investigation on distribution of radioactive substances in Fukushima

(3) Temporal variation of radioactive cesium deposition densities on roads using ASURA

*後藤 淳」,高橋 剛」,千石 周」,吉田秀義2,近藤達也」

1新潟大学,2新潟医療福祉大

福島第一原発事故で汚染された地域を通る国道6号線にて道路表面の放射性セシウム沈着量を2015年4月から3年間測定した結果より、沈着量が物理減衰よりも速い速度で減衰している事が分かった。

キーワード:自動車走行サーベイ,福島第一原子力発電所事故

1. 緒言

原発事故被災地の効率的な除染等に資することを目的として 指向性がある自動車走行サーベイシステム ASURA (アシュラ) を開発し、被災地での調査を実施してきた。本発表では、ASURA で測定した放射性セシウム沈着量の経時変化について報告する。

2. ASURA について

ASURA は、測定方向以外を厚い鉛遮蔽で囲う事で一方向のみに感度を持たせた 6 台の CsI 検出器 (自動車の進行方向に対して前後左右上下の 6 方向に向けて設置) で構成され、各方向の計数率 (散乱線排除のためエネルギー弁別し、車体による遮蔽を各方向別に定めた補正係数で補正した値) から、それぞれの検出器が向けられた方向にある汚染からの寄与を分けて検出できる。6 台の内の下向き検出器は周囲の汚染からの影響を受けずに自動車の真下の狭い領域 (2m×2m 程度) からのガンマ線のみを検出できるので、シミュレーションで求めた検出効率を用いて道路表面の放射性セシウム沈着量 (Bq/cm2) を算出できる。

3. 結果·考察

2015年と2018年に国道6号線で測定した線量率及び沈着量を図1に示す。沈着量が道路舗装の区切りで急激に変化する事はすでに報告済みであるが、2015年からの3年間でその位置に変化が無い事から通行による道路表面汚染の広がりが無い事が分かる。高沈着量地点AとBの沈着量経時変化を図2に示す。2017年春の年会(約1年半のデータの解析結果)では沈着量が物理減

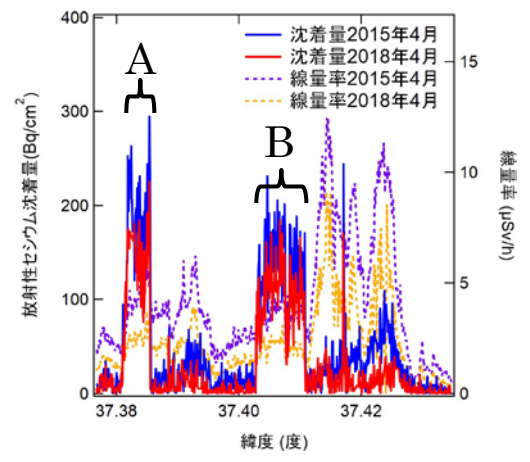


図 1. 2015 年と 2018 年に国道 6 号線で測定した沈着量と線量率

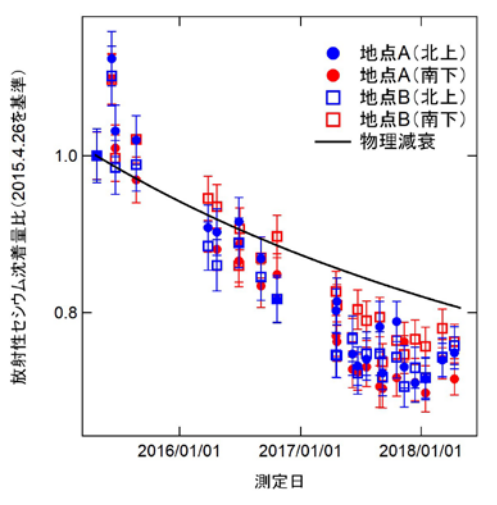


図2.2015年から2018年の高沈着量地点AとBの沈着量経時変化

衰と同程度で減衰すると結論付けたが、今回の結果(3年間のデータ)では沈着量が物理減衰よりも明らかに速い速度で減衰している事が分かる。物理減衰よりも早い速度で減衰した理由は、放射性セシウムが道路表面からより深い位置に移動したか、または道路の周囲に移動したためと考えられる。

謝辞 本研究は JSPS 科研費 16K00543 の助成を受けたものである。

^{*}Jun Goto¹, Takeshi Takahashi¹, Shu Sengoku¹, Hidenori Yoshida² and Tatsuya Kondo¹

¹Niigata University, ²Niigata University of Health and Welfare

福島における放射性物質の分布状況調査 (4)KURAMA-IIの展開と活用の現状

Investigation on distribution of radioactive substances in Fukushima (4) The present status of developments and applications of KURAMA-II

*谷垣 実 京都大学

走行サーベイシステムKURAMAの発展形のKURAMA-IIは、福島県を中心とした東日本一帯の空間線量率測 定や汚染分布の把握などで幅広く活用されている。その最新の利用や開発の状況、および中小規模利用者向 けのクラウド環境や解析ツール提供について報告する。

キーワード: 走行サーベイ, KURAMA-II, 空間線量率, 波高分布, クラウド

1. はじめに

東電福島第一事故に対応すべく開発されたGPS連動型放射線自動計測システムKURAMA[1]の発展形であ るKURAMA-II[2]は、福島県内で展開されている路線バスによる連続モニタリングや原子力規制庁事業とし て継続されている東日本一帯のモニタリング活動他に幅広く活用されている。また開発や利用を通じて得ら れた知見は体系化され放射能測定法シリーズ改訂に反映[3]されるなど、さらなる活用の広がりが期待され る。この発表では主にKURAMA-IIについて最近の開発や利用の動向を紹介するとともに、現在複合原子力 科学研究所の共同利用設備として整備を進めているKURAMA-II用クラウド環境の概要などを紹介する。

2. KURAMA-IIの開発・利用動向

National Instruments社のCompactRIO/myRIOをベースとした既存のKURAMA-IIは機器構成における 高い柔軟性を維持しつつ機能的にも成熟し安定した運用が可能となっている。そのため単なる走行サーベイ システムの枠を超えた様々な目的にも応用されている。例えば位置・時刻情報でタグ付した波高分布を得ら れる特徴を活かし、測定地点ごとの波高分布の再構成して建物による遮蔽の影響といった測定点の放射線場 の特徴を理解する試みが行われている。また、既報の土壌汚染密度推定技術を応用し、除染後農地の残留セ シウムや土壌の性質の推定を自動化する試みも始まっている[4]。

KURAMA-IIの大きな特徴の一つにクラウドによる大多数の機材展開と柔軟な測定活動がある。特に、既 報のKURAMA-II向けに開発したオープンソースベースのクラウドストレージシステム[5]は、RESTful API によりOSなどに依存しないシステムであり、最近のIoT技術との親和性も高い。そこで、これまでの KURAMA-IIの開発実績を基に、より小型なSingle board Computerへ移行する試みも始めている。

3. KURAMA-II用クラウド環境の整備

これまでのKURAMA-IIは比較的大規模かつ継続的な運用が中心で、調査に最適化したクラウドの運用や 独自の解析環境構築が行われていた。しかし予算や人員の限られた小規模な調査や短期間の調査での需要も 増えていることから、既報のオープンソースベースのクラウドストレージシステム[5]の最適化を進め、従来 のDropboxによるファイル共有と遜色ない水準にまで動作を改善、これをベースにGoogle Earth上でのリ アルタイム可視化や簡便な波高分布再構成機能も実装したサーバを開発している。これを京都大学複合原子 力科学研究所の共同利用研究の設備とし、独自にサーバや解析環境を構築するのが困難な非商用利用者向け に提供する計画である。このサーバによりKURAMA-IIのさらなる利用促進と普及を図りたい。

参考文献:

- [1] M. Tanigaki, R. Okumura, K. Takamiya et al., Nucl. Instr. Meth. A726(2013)162-168.
- [2] M. Tanigaki, R. Okumura, K. Takamiya et al., Nucl. Instr. Meth. A781 (2015)57-64.
- [3] 原子力規制委員会 https://www.nsr.go.jp/news_only/20171226_01.html
- [4] 農林水產技術会議 http://www.affrc.maff.go.jp/docs/fukushima/h30kettei.htm
- [Cloud] 谷垣実 日本原子力学会2017年秋の大会, 札幌市, 2017年9月13~15日

*Minoru Tanigaki

Kyoto University

1K05 2018年秋の大会

福島における放射性物質の分布状況調査 (5) 空間線量率の事故後初期~2 年後の減少傾向

Investigation on distribution of radioactive substances in Fukushima

(5) Decrease in dose rate during initial two years after the Fukushima Dai-ich NPP accident

*吉村 和也 ¹, 三枝 純 ¹原子力機構

本研究は、文部科学省が 2011 年 3 月 15 日以降に実施した空間線量率のモニタリング結果につき、事故 から 2 年後までの減少速度を解析した。空間線量率の減少は、二つの速度を有する指数関数で表され、舗 装面や建造物が支配的な環境で、草地など土壌面が支配する環境よりも早い減少速度が確認された。

キーワード:福島第一原子力発電所事故,空間線量率,減少速度,二重指数関数,土地利用

1. 緒言

福島第一原子力発電所の事故後、初期外部被ばく線量は、土壌に沈着した放射性核種の組成と沈着量情報を元に、時間の関数として推定した空間線量率から評価がなされてきた (UNSCEAR, 2013; IAEA, 2015)。しかしこれまでに、空間線量率の減少速度は土地利用の影響を受けることが報告されている (Kinase et al., 2014)。そのため、事故後初期の空間線量率の減少傾向につき、実測値に基づいて速度を評価し、その減少速度に影響する要因を把握することは、初期外部被ばく線量の推定精度の向上に有用な情報を供するものである。そこで本研究では、文部科学省(後、原子力規制庁)が 2011 年 3 月 15 日から実施した空間線量率のモニタリング結果を用い、事故後初期から 2 年後までにかけた、物理減衰とウェザリング効果に起因する空間線量率の減少傾向を評価した。

2. 解析

文部科学省による福島第一原子力発電所から 20 km 以遠のモニタリングデータ 103 地点 (NRA, 2018) の うち、除染など土地の擾乱の影響がない地点 (45 地点) を抽出した。さらに 45 地点のデータのうち、測定中心点より半径 10 m 以内の土地状況が、①75%以上が舗装面か宅地 (N=10)、②50%以上が農地や草地 (N=11) であるデータを抽出した。解析に用いるデータの期間は 2011 年 3 月 16 日から 2013 年 3 月 11 日 とした。降雨時、積雪時のデータは、解析から除外した。

3. 結論

空間線量率の減少は、早い減少と遅い減少の二つの速度を有する指数関数で表された。得られた減少速度は、舗装面や宅地優占地点で早く、農地や草地が優占する地点で遅かった。以上の結果は、これまでに報告されている市街地での速い空間線量率の減少傾向(Kinase et al., 2014)と符合するものであり、外部被ばく線量を推定する上で、土地利用を考慮することが重要であることを示唆する。

参考文献

- [1] UNSCEAR, 2013. UNSCEAR 2013 Report. Volume I, Report to the General Assembly, Scientific Annex A.
- [2] IAEA, 2015. The Fukushima Daiichi Accident The Report by the Director General.
- [3] Kinase et al., 2014. Radiat. Prot. Dosim. 160(4), 318-321

^{*}Kazuya Yoshimura1 and Jun Saegusa1

¹Japan Atomic Energy Agency

福島における放射性物質の分布状況調査

(6) 除染後の空間線量率の将来予測手法と実測データによる検証

Investigation on distribution of radioactive substances in Fukushima

(6) Future prediction method of air dose rate after decontamination and verification by measured data *山下 卓哉¹, 北村 哲浩¹, 斎藤 公明¹ 「原子力機構

除染後のエリアに対する「空間線量率減衰の2成分モデル」の適用性を確認するため、環境省が除染実施後のエリアを対象に実施した空間線量率の追跡調査結果と本モデルによる予測結果の比較を行った。

キーワード: 福島第一原子力発電所事故,空間線量率予測,除染エリア,空間線量率減衰の2成分モデル

1. 緒言

「空間線量率減衰の2成分モデル[1](以下2成分モデル)」は、除染後の測定データを用いた確認が十分に行われていないため、環境省による実測データを用いて除染後のエリアに対する適用性の検証を行った。

2. 除染後の空間線量率の将来予測手法と環境省の空間線量率の追跡調査

除染後の空間線量率の予測は、「除染活動支援システム RESET」を用いて除染直後の空間線量率を求め、 得られた空間線量率を初期値にして2成分モデルを使ってその後の空間線量率の予測を行っている。一方、 環境省は、除染実施後の地区を対象に空間線量率を継続的に測定し、周囲からの放射性物質の飛散等によ る再汚染の有無と自然減衰等による線量の低減状況を調査し、除染の効果が適切に維持されているか否か 確認を行っている[2]。2成分モデルによる予測と除染実施後の11地区の追跡調査結果を比較した。

3. 空間線量率減衰の2成分モデルによる予測と実測データの比較

図1に2成分モデルによる予測と追跡調査結果の比較の一例を示す。図には、環境半減期の中央値による予測(実線)のほか、環境半減期の5%値による予測(点線)及び環境半減期の95%値による予測(点線)及び実測値の平均値、最小値及び最大値を記載した。また、比較のため、セシウムの物理減衰による予測(1点鎖線)を併記した。

この図から分かるように、実測値のば らつきは大きいものの、実測値の平均値 と2成分モデルの中央値による予測は良 く合う。他の10地区でも同様の結果が得 られたことから、2成分モデルを除染後 の空間線量率予測に適用することに問題 はないと判断される。

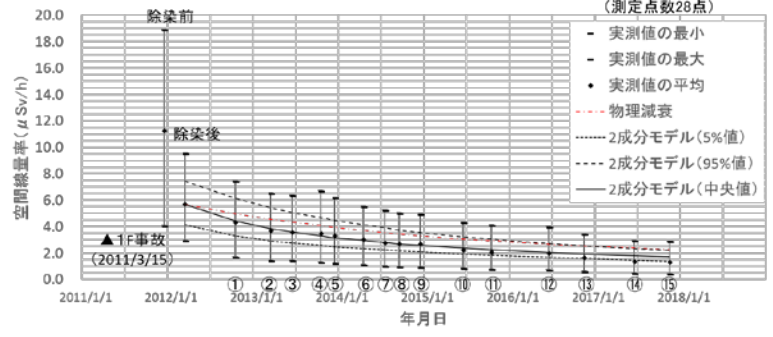


図1 2成分モデルによる予測と実測値の比較

- [1] 木名瀬栄、http://radioactivity.nsr.go.jp/ja/contents/10000/9735/45/part3_sum.pdf
- [2] 環境省ホームページ、http://josen.env.go.jp/en/pdf/progressseet_progress_on_cleanup_efforts.pdf

参考文献

^{*}Takuya Yamashita¹, Akihiro Kitamura¹, Kimiaki Saito¹

¹Japan Atomic Energy Agency.

福島における放射性物質の分布状況調査

(7) 生活行動経路に沿った空間線量率測定に基づく被ばく評価

Investigation on distribution of radioactive substances in Fukushima

(7) Estimation of exposed dose by measurement of air dose rate considering daily activity pattern *佐藤 哲朗 ¹, 安藤 真樹 ², 斎藤 公明 ²,

¹(株)日立ソリューションズ東日本, ²JAEA

避難指示が解除された地域等に住民が帰還した際の被ばく線量について、生活行動経路の聞き取り調査と その行動経路全体をカバーする空間線量率の測定によって精度よく推定する手法を考案した。考案した手 法に基づき実施した調査の結果について報告する。

キーワード: KURAMA-II システム、福島第一原子力発電所事故、空間線量率、外部被ばく線量

1. 緒言

東京電力株式会社福島第一原子力発電所における事故に伴って放出された放射性物質による被ばくのリスクを回避するため、避難指示等により今なお多くの住民が避難生活を余儀なくされている。帰還の選択をする個々の住民の被ばく線量を低減し、放射線に対する不安に向き合うためには、住民が自分の個人線量を把握し、自らの行動と被ばく線量との関係を理解することが重要である。しかしながら、個人線量を把握するためには個人が測定器を所持して生活することが必要となり、住民が帰還していない場所で測定を行うことはできない。そこで今後の避難区域等の見直しが想定される地域等において、帰還した際に想定される生活行動経路の聞き取り調査とそれに基づく空間線量率の測定によって被ばく線量を推定した。

2. 調査内容

2014 年度から 2016 年度までの 3 年間で、福島県内の 6 町村において延べ 196 名を対象にして調査を行った。帰還後に想定される生活行動経路全域をカバーできるように KURAMA-II システムを用いて空間線量率の測定を行った。生活行動経路の情報と空間線量率の測定結果を組合わせて被ばく線量の算出を行った。

3. 調査結果

算出された年間の追加被ばく線量について、居住すると想定される地域の制限区域の区分ごとに集計した結果を図 1

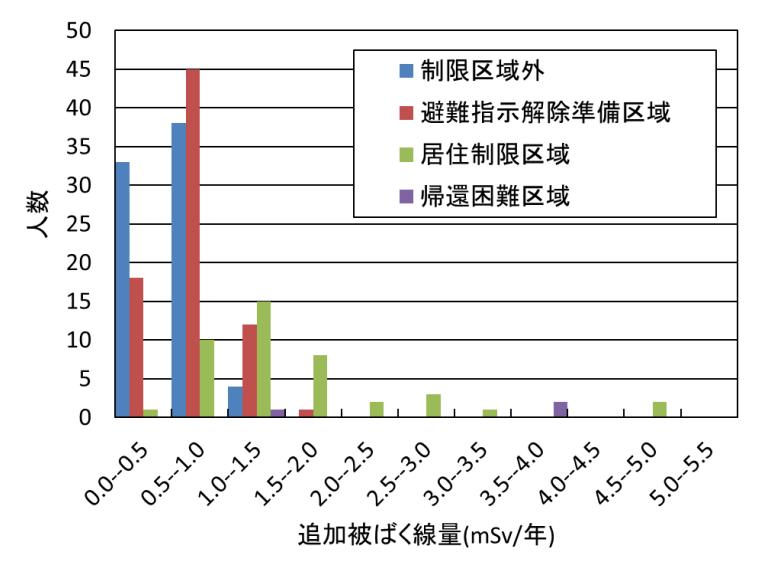


図1. 追加被ばく線量の算出結果

に示す。今回の調査では、年間の追加被ばく線量の最小値が 0.20 mSv、最大値が 4.9 mSv となった。また、対象者のうちの約 73%の方々について、年間の追加被ばく線量の推定値が 1.0 mSv 以下となった。

^{*}本件は、原子力規制庁委託事業で得られた成果の一部である。

^{*}Tetsuro Sato1, Masaki Andoh2 and Kimiaki Saito2

¹Hitachi Solutions East Japan, Ltd., ²JAEA

Oral presentation | VII. Health Physics and Environmental Science | Health Physics and Environmental Science

[1K08-14] Environmental Radioactivity and Monitoring 2

Chair: Taiga Okumura (Univ. of Tokyo)

Wed. Sep 5, 2018 2:45 PM - 4:40 PM Room K (B41 -B Building)

- [1KO8] Investigation on distribution of radioactive substances in Fukushima *Norihiro MATSUDA¹, Satoshi MIKAMI¹, Kimiaki SAITO¹ (1. Japan Atomic Energy Agency) 2:45 PM 3:00 PM
- [1K09] Investigation on distribution of radioactive substances in Fukushima *Hiroaki Kato¹, Yuichi Onda¹, Zul Hilmi Saidin¹ (1. Center for Research in Isotopes and Environmental Dynamics, University of Tsukuba)
 3:00 PM 3:15 PM
- [1K10] Investigation on distribution of radioactive substances in Fukushima *Junko Takahashi¹, Daichi Hihara¹, Kenji Tamura¹, Yuichi Onda¹ (1. Univ. of Tsukuba) 3:15 PM 3:30 PM
- [1K11] Investigation on distribution of radioactive substances in Fukushima

 *Momo Kurihara¹, Toshiro Yamaguchi¹, Hiroaki Kato¹, Yuichi Onda¹ (1. CRiED, University of Tsukuba)

 3:30 PM 3:45 PM
- [1K12] Investigation on distribution of radioactive substances in Fukushima *YUICHI ONDA¹, Sho Iwagami¹, Hiroaki Kato¹, Maki Tsujimura¹ (1. CRiED University of Tsukuba)

3:45 PM - 4:00 PM

4:00 PM - 4:15 PM

- [1K13] Investigation on distribution of radioactive substances in Fukushima
 *Yoshifumi Wakiyama¹, Yuichi Onda² (1. Institute of Environmental Radioacitivity, Fukushima
 Universiy, 2. Center for Research in Isotopes and Environmental Dynamics, University of
 Tsukuba)
- [1K14] Investigation on distribution of radioactive substances in Fukushima *Hiroshi Takemiya¹, Kimiaki Saito¹, Hiroko Yoshida² (1. JAEA, 2. Tohoku Univ.) 4:15 PM 4:30 PM

福島における放射性物質の分布状況調査(8)土壌中深度分布調査結果の経時的な変化

Investigation on distribution of radioactive substances in Fukushima

(8) Temporal changes in the depth profiles of radioactive cesium in soil

*松田 規宏¹, 三上 智¹, 斎藤 公明¹ 原子力機構

東京電力(株)福島第一原子力発電所から 100 km 圏内の約 80 地点において、放射性セシウムの土壌中深度分布調査を平成 23 年 12 月から継続的に実施してきた。各年度において評価した緩衝深度の経時的な変化の特徴について報告する。

キーワード:福島第一原子力発電所,深度分布,放射性セシウム,土壌

1. 緒言

東京電力(株)福島第一原子力発電所(以下、「福島第一原発」という。)の事故に起因して自然環境中の特に平坦地の土壌に沈着した放射性セシウムによる空間線量率の経時的な変化は、放射性セシウムの土壌中深度分布と密接に関係している。そのため、本調査は、放射性物質等分布状況調査と呼ばれる大規模な環境調査において、継続的に実施してきた。

2. 調査

福島第一原発から 100 km 圏内、約 80 の各調査地点において、国際原子力機関 IAEA の標準的な土壌採取法であるスクレーパー・プレート法で深度別の土壌試料を採取、その放射能濃度 (Bq/kg) をゲルマニウム半導体検出器で定量分析し、放射性セシウムの土壌中深度分布を調査した。調査で得られた土壌中深度分布は、指数関数式及び双曲線正割関数に基づく近似式[1]を用いて解析した。

3. 結論

放射性セシウムの土壌中深度分布と空間線量率の関係を表す指標として、実効的な重量緩衝深度 $\beta_{\rm eff}[1]$ を各調査で評価した。 平成 29 年度に実施した最新の調査結果を含む 約 80 地点におけるこの幾何平均値の経時的な変化を図 1 に示す。このとき、各値の誤差は幾何標準偏差とした。本調査を開始した平成 23 年 12 月からのその経時的な変化は、おおよそ一次関数的な増加を示していることがわかった。

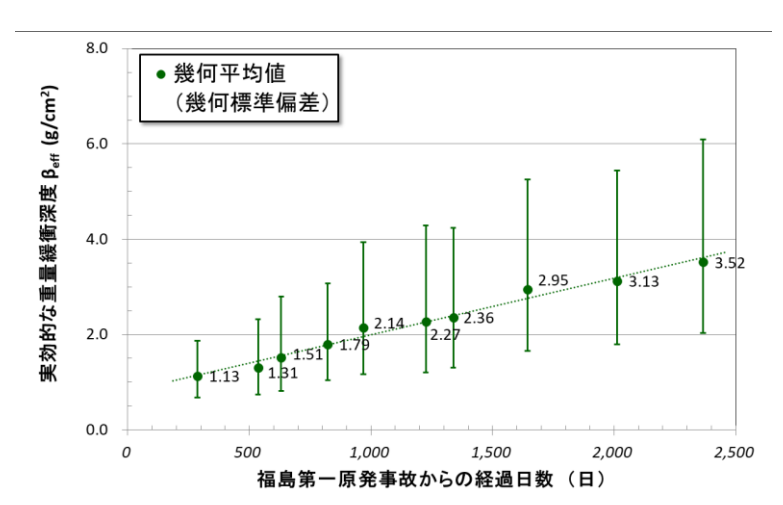


図1 平成23年12月からの継続的な調査で得られた 実効的な重量緩衝深度 βeff の経時的な変化

参考文献

- [1] N. Matsuda et al., J. Environ. Radioact., 139, 427-434 (2015).
- ※ 本件は、文部科学省及び原子力規制庁委託事業「東京電力株式会社福島第一原子力発電所事故に伴う放射性物質の 分布データの集約)事業」等で得られた成果の一部である。

^{*}Norihiro MATSUDA¹, Satoshi MIKAMI¹ and Kimiaki SAITO¹

¹Japan Atomic Energy Agency

1K09 2018年秋の大会

福島における放射性物質の分布状況調査 (9)福島県の森林における樹冠通過雨及び樹幹流の放射性セシウム濃度の変化要因

Investigation on distribution of radioactive substances in Fukushima

(9) Factors contoroling variation of radiocesium concentration in throughfall and stemflow

in the forest of Fukushima Prefecture

*加藤弘亮¹, 恩田 裕一¹, サイディン ズル¹ ¹ 筑波大学アイソトープ環境動態研究センター

福島第一原子力発電所事故直後から7年間の、福島県内の森林にける樹冠通過雨及び樹幹流のモニタリング調査結果に基づいて、放射性セシウム濃度の主な変動要因について考察を行った。

キーワード: 福島第一原子力発電所事故、森林、樹冠通過雨、樹幹流、放射性セシウム濃度

1. 緒言

森林に降下した放射性セシウムは、樹冠に捕捉され、その後の雨水や落葉等にともなって徐々に林床に移行する。樹冠から林床への放射性セシウムの移行状況を把握するためには、樹冠通過雨や樹幹流などの林内雨成分と落葉等の放射性セシウム濃度の経年変化及び変動要因を明らかにすることが不可欠である。そこで本研究では、福島原発事故から7年間の森林環境中の放射性セシウムのモニタリング調査結果に基づいて、林内雨に含まれる放射性セシウム濃度の変動要因について考察した。

2. 研究方法

本研究では、福島県伊達郡川俣町山木屋地区のスギ林及び広葉樹混交林を調査対象に選定した。スギからなる人工林2林分(31年生・15年生)と広葉樹混交林(コナラ及びアカマツ)において、樹冠通過雨、樹幹流、落葉等に含まれる放射性セシウム濃度を測定し、樹冠から林床への移行量を観測した。観測は2011年7月から開始し、現在もなお継続中である。雨水及び落葉等の試料は実験室に持ち帰り、雨水は100μmのステンレスメッシュを通過させて粗大有機物を除去した。落葉等は炉乾燥させた後に粉砕機で細かく粉砕し、均一化した。それらの試料を100 ccの測定容器に封入し、高純度ゲルマニウム半導体ガンマ線検出器を用いてセシウム137の測定誤差が10%以下になるまで測定した。放射性セシウム濃度の変動要因について、原発事故からの経過時間と降雨等の環境要因に着目して解析を行った。

3. 結果と考察

樹冠通過雨及び樹幹流に含まれるセシウム 137 濃度は、いずれの樹種においても、原発事故からの経過時間とともに指数関数的に減少する傾向を示した。また、セシウム 137 濃度の低減速度は、原発事故から 200 日以内で早く、それ以降は相対的に遅くなることが明らかになった。スギ林においては、針葉のセシウム 137 濃度の低下に対応して樹冠通過雨の濃度が低減したが、両者のセシウム 137 濃度比は時間経過とともに低下する傾向を示した。一方、広葉樹混交林においては、樹冠通過雨のセシウム 137 濃度の低下が遅く、事故直後からセシウム 137 濃度が一定して高い値を示すコナラの葉の影響が示唆された。一方、樹幹流については、外樹皮のセシウム濃度との対応は認められず、樹幹流に含まれるセシウム 137 の供給源の解明が今後の課題である。

謝辞:本件は、文部科学省科学技術戦略推進費(平成23~24年度)、原子力規制庁委託事業(平成24~25年度)、日本原子力研究開発機構委託事業(平成26~29年度)で得られた成果の一部を含む。

^{*}Hiroaki Kato1, Yuichi Onda1, Zul Hilmi Saidin1

¹Univ. of Tsukuba, Center for Research in Isotopes and Environmental Dynamics.

1K10 2018年秋の大会

福島における放射性物質の分布状況調査

(10)福島第一原発事故から7年間の森林土壌中の放射性セシウムの深度分布変化

Investigation on distribution of radioactive substances in Fukushima

(10) Seven-year monitoring of the vertical distribution of radiocesium in forest soils after the FDNPP accident

*高橋 純子」,日原 大智」,田村 憲司」,恩田 裕一」 「筑波大学

福島県川俣町山木屋地区の森林 3 地点(混交林, スギ壮齢林, スギ若齢林)における土壌中の放射性セシウムの深度分布の変化および下方移行を事故直後から 7 年間のモニタリング調査に基づいて報告する。

キーワード:放射性セシウム深度分布,森林土壌,緩衝深度,スクレーパープレート

1. 背景と目的

日常的に人が立ち入らない森林については積極的な除染が行われないことから、森林環境中の放射性セシウムの長期的な動態予測と影響評価が求められている。とくに、福島の場合はチェルノブイリ事故の影響地域と比較して、リター層から鉱質土層への放射性セシウムの移行が早いことが示されつつあり、鉱質土層内での下方移行や挙動の把握が重要である。そこで、福島県川俣町山木屋地区(旧計画的避難区域)に位置する3つの森林において、2011年6月から土壌中の放射性セシウム濃度の深度分布モニタリングを実施し、その移行傾向を評価することを目的とした。

2. 調査地および方法

福島原発から北西約 40 km に位置する山木屋地区の 3 地点の森林(混交林,スギ壮齢林,スギ若齢林) に約 $3 \text{ m} \times 3 \text{ m}$ のプロットを設置し,2011-2012 年は年に 2 回,2013 年以降は年に 1 回 の土壌採取を行なった。 リターおよび鉱質土壌は,スクレーパープレートを用いて 0-5 cm を 0.5 cm 間隔,5-10 cm を 1 cm 間隔,10-20 cm を 5 cm 間隔で採取し,乾燥・篩別後 6 Ge 半導体検出器で 6 Cs に $6 \text{ Cs$

3. 結果

スギ若齢林では、林床(リター層+土壌 20cm まで)の Cs-137 存在量は、樹冠からの二次的な沈着を反映して、時間とともに増加した。一方、混交林とスギ壮齢林では同様の傾向は認められなかった。リター層中の Cs-137 濃度および存在量の割合についても、スギ若齢林では樹冠からの二次沈着を反映して減少速度がやや遅い傾向にあったのに対し、混交林とスギ壮齢林では時間とともに指数関数的に減少し、2017 年の時点ですでにその割合は 3.6-6.4%ほどであった。いずれの地点でも、事故後 2-3 年の間にリター層中の Cs-137 濃度は土壌最表層(0-0.5cm)の Cs-137 濃度を下回った。鉱質土壌中の Cs-137 濃度深度分布より求めた緩衝深度については、スギ 2 地点では年間 0.08 cm ずつ深くなり、下方移行が進行していたものの、混交林では明確な下方移行は認められなかった。

参考文献

[1] Takahashi, J., Onda, Y., Hihara, D., Tamura, K., 2018. Six-year monitoring of the vertical distribution of radiocesium in three forest soils after the Fukushima Dai-ichi Nuclear Power Plant accident. J. Environ. Radioact. 192, 172–180.

*Junko Takahashi¹, Daichi Hihara¹, Kenji Tamura¹, Yuichi Onda¹

¹Univ. of Tsukuba

福島における放射性物質の分布状況調査

(11) 福島県山木屋地区の森林におけるリター層及び土壌層の放射性セシウム濃度と含水率の変化

Investigation on distribution of radioactive substances in Fukushima

(11) Variation of soil water content and radiocesium concentration in litter and soil layer in the forests of Yamakiya District, Fukushima Prefecture

> *栗原 モモ¹, 山口 敏朗¹, 加藤 弘亮¹, 恩田 裕一¹ ¹筑波大学アイソトープ環境動態研究センター

福島県山木屋地区の森林におけるリター層及び土壌層の放射性セシウム濃度と含水率の変化を調査したので報告する。

キーワード:森林,土壌,リター

1. 緒言

リター層や土壌層に蓄積した放射性セシウムは林内の空間線量率に大きく寄与するが、同時にこれらの層に含まれる水の遮蔽を受けるため[1]、その含水率の継時変化が空間線量率も変化させる可能性がある。本調査ではリター層及び表層土壌の含水率の変動幅を把握することを目的とし、含水率の経時変化を測定した。本調査結果は、森林空間線量率の計算モデルの基礎データを提供しうる。

2. 方法

調査地は、福島県伊達郡川俣町山木屋地区の広葉樹林とスギ林とし、土壌水分計(ECH2O、Decagon 社製)を用いてリター層及び土壌の含水率を測定した。観測期間は、2017年5月22日~9月19日である。さらに、国土交通省山木屋観測所で観測された時間雨量データから先行降雨指数(API: Antecedent Precipitation Index)を算出し、観測された含水率と比較を行った。

3. 結果·考察

広葉樹林のリター層および土壌層の体積基準含水率はそれぞれ $21\% \sim 64\%$ 、 $23\% \sim 68\%$ 、スギ林では $13\% \sim 26\%$ 、 $27\% \sim 53\%$ を示した。API の増加とともに含水率が増加する傾向が確認され、対象とする降雨期間を $540 \sim 672$ 時間 ($21 \sim 28$ 日間)とした累乗回帰式で、最も高い相関 ($R^2 = 0.07$ (スギ林リター) ~ 0.73 (広葉樹林土壌))が確認された。

4. 結論

本調査結果から、先行降雨指数を用いてリター層および土壌層の含水率の変化を推定できることが示唆された。今後は、含水率の継時変化と森林空間線量率の関係について明らかにする予定である。

参考文献

[1] 今村ら (2017) 森林内の放射性セシウム分布を考慮した空間線量率の推定, 日林誌 99:1-9

*Momo Kurihara¹, Toshiro Yamaguchi¹, Hiroaki Kato¹, and Yuichi Onda¹

¹CRiED, University of Tsukuba

福島における放射性物質の分布状況調査 (12) 森林小流域における渓流水の溶存態・懸濁態セシウム 137 濃度低下傾向 とその要因

Investigation on distribution of radioactive substances in Fukushima

(12) Factors controlling the declining trend of dissolved/particulate cesium-137 concentrations in stream water at small forested catchment

*恩田裕一¹、岩上 翔¹、加藤弘亮¹、辻村真貴²¹筑波大学アイソトープ環境動態研究センター

2 筑波大学大学院生命環境科学研究科持続環境学専攻

源流部に位置する森林小流域において、溶存態・浮遊砂・粗大有機物におけるセシウム 137 濃度の測定を 2011 年 から行ってきた. 6年分の濃度変化とともに、流出フラックスについて示すとともに土地利用による濃度低下傾向 について結果を示す。

キーワード:森林小流域,土地利用、溶存態,浮遊砂,粗大有機物,セシウム137,除染

1. 背景

福島第一原発事故により自然環境に沈着した放射性セシウムについて、河川を介した移行は移動距離が長いため 陸域環境中での分布状況の把握において重要なプロセスである。特環境中に放出された大量の放射性物質が沈着し た主なエリアは森林. 森林の樹冠やリター(Kato et al., 2015)や森林土壌(Kato et al., 2012; Takahashi., 2014)には依然 として多くの放射性セシウムが存在していることが示されている.

森林からは土壌流出、あるいは森林から流れ出る渓流水によって、溶存態・浮遊砂(SS)・葉や枝などの粗大有機物として放射性セシウムが流出する. しかしながら、これまでの調査により低減傾向は、流域によって異なっていることが明らかになってきた。そこで、福島の森林小流域において渓流水・浮遊砂(SS)・粗大有機物のセシウム137濃度低下傾向は事故後6年間の変化について調査結果を報告する。

<u>2. 方法</u>

調査対象地域は、石平山流域(0.075 km²)、疣石山流域(0.147 km²)、世戸八山流域(0.048 km²)、高太石山(0.535 km²)の4流域である(石平山、疣石山、高太石山は2011 年6月より観測開始、世戸八山は2014年5月より観測開始、高太石山は2013年9月に観測終了)。各流域には水位流量堰を設置し、流量を連続観測するとともに濁度計と合わせて流出土砂量を測定し、有機物ネットによって流下した粗大有機物の量を測定した。渓流水・浮遊砂・粗大有機物試料の採取は1-2カ月に一度の現地調査で行った。溶存態セシウム測定のため水試料は0.45 μmのフィルターを用いて濾過を行った。水サンプル中の溶存態放射性セシウム濃度は、2014年以降、濃度の低い水試料は1サンプルあたり40L採水しAMP濃縮を行ってU8容器を用いてゲルマニウム半導体検出器により測定した。浮遊砂・粗大有機物試料においては炉乾燥したのち粉砕し、Well容器を用いてゲルマニウム半導体検出器で放射性セシウム濃度を測定した。

3. 結果と考察

溶存態のセシウム 137 濃度は二重指数関数的な低下傾向を示し、緩やかな低下傾向を示している中にも源流域においても少しずつ傾向の違いがあった。具体的には、除染が行われた疣石山では SS のセシウム 137 濃度は大きく低下したものの、溶存態・粗大有機物には明らかな変化は見られず、ここからも溶存態と粗大有機物の関係が示唆された. リターのセシウム 137 濃度低下傾向を比べると、草の低下が早いことが分かり、流域の草地の割合で渓流水のセシウム 137 濃度の低下傾向パラメータとの関係をみてみると、草地の割合が多い(森林の割合が少ない)と渓流水の低下傾向が早いことが示された。

謝辞:本件は、文部科学省科学技術戦略推進費(平成23~24年度)、原子力規制庁委託事業(平成24~25年度)、科学研究費新学術領域研究(平成24~28年度)原子力研究開発機構受託研究費(平成26~29年度)で得られた成果である

^{*}Yuichi Onda¹, Sho Iwagami¹, Hiroaki Kato¹ and Maki Tsujimura²

¹ Center for Research in Isotopes and Environmental Dynamics, University of Tsukuba., 2 Department of Sustainable Environmental Studies, raduate School of Life and Environmental Sciences, University of Tsukuba.

1K13 2018年秋の大会

福島における放射性物質の分布状況調査

(13)斜面における土壌侵食にともなう 137Cs 深度分布および空間線量率の変化

Investigation on distribution of radioactive substances in Fukushima

(13) Changes of vertical distributions of ¹³⁷Cs in soil and ambient dose rates due to sediment transport *脇山 義史¹, 恩田 裕一²

1福島大学環境放射能研究所,2筑波大学アイソトープ環境動態研究センター

土壌侵食プロット内において土壌中の ¹³⁷Cs 深度分布を調べ、土砂移動との関係を考察した。土砂移動量が大きい斜面で未撹乱の土壌に比べて重量緩衝深度が大きかったことから、土砂移動によって ¹³⁷Cs の下方浸透および空間線量率の低下が促進されたと考えられた。

キーワード: 重量緩衝深度, 土壌侵食プロット, 土地利用

1. 緒言

斜面では雨滴による表層土壌の剥離や表面流による土砂の輸送・堆積といった土砂移動現象によって、¹³⁷Cs の深度分布が変化することが報告されている。 ¹³⁷Cs 深度分布の変化は空間線量率に影響を与える可能性があるため、定量的な評価が必要である。しかし、こうした土砂移動を経験した斜面における ¹³⁷Cs 深度分布および空間線量率の変化はあまり調べられていない。本研究では、土壌侵食プロットの観測により土砂移動量が既知である斜面において土壌中の ¹³⁷Cs 深度分布を調べ、土砂移動との関係を考察した。

2. 調査方法

調査対象としたのは福島県伊達郡川俣町内の山木屋地区に設置された土壌侵食プロット(未耕作畑 A、未耕作畑 B、耕作畑 B、草地 A、草地 B、草地 C)である。畑 A1 では侵食・堆積状況に応じて 9 地点、畑 A2・畑 B2 では、それぞれ斜面上部・中部・下部の畝上・畝下の 6 地点ずつ、畑 B1・草地 A、草地 B、草地 C では 3 地点で、15 cm×30 cm のスクレーパープレートを用いて 30 cm 深までの土壌を層別 に採取し、各深度の 137 Cs 濃度を測定した。 137 Cs 濃度の深度分布に基づいて 137 Cs インベントリー(Bq m²)を算出するとともに Saito and Jacob (1998)の換算係数を用いて実効的な重量緩衝深度 $\beta_{\rm eff}$ (g cm²)を算出した。

3. 結果および考察

未耕作畑 A、未耕作畑では、斜面上部では 137 Cs 濃度が深さとともに指数関数的に減少する分布が見られたが、斜面中部及び下部では、 137 Cs インベントリーが大きく深部に 137 Cs 濃度ピークをもつ形状が見られた。耕作畑 A、耕作畑 B では、耕作深(15 cm 深)までほぼ均一な 137 Cs 濃度が見られた。草地では、地点間のばらつきが大きいものの、 137 Cs 濃度は概ね指数関数的な深度分布を示した。 β_{eff} の平均値は未耕作畑 A、未耕作畑 B、耕作畑 B、草地 A、草地 B、草地 C でそれぞれ $^{1.77}$ 、 $^{1.77}$ 、 $^{5.20}$ 、 $^{5.16}$ 、 $^{0.55}$ 、 $^{0.64}$ 、 $^{1.73}$ g cm $^{-2}$ であった。Takahashi t al. (2015)に示される 137 Cs 深度分布データを基に算出した、未耕作畑 A・耕作畑 B 周辺の未撹乱土壌の β_{eff} 平均値は $^{0.88}$ 、 $^{0.86}$ g cm $^{-2}$ であった。このことから、未耕作畑では侵食にともなう表層土壌の流去や堆積によって、 137 Cs 下方移動が見かけ上促進され、空間線量率の低下が促進されることが示唆された。

参考文献

- [1] Saito, K., Jacob, P. (1998) JAERI-Data/Code 98-001.
- [2] Takahashi, J., Tamura, K., Suda, T., Matumura, R., Onda, Y. (2015) Journal of Environmental Radioactivity, 139, 351-361

^{*}Yoshifumi Wakiyama¹, Yuichi Onda²

¹IER, Fukushima Univ., ²CRiED, Univ. Tsukuba.

福島における放射性物質の分布状況調査 (14) 常磐自動車道における空間線量率分布

Investigation on distribution of radioactive substances in Fukushima

(14) Distribution of air dose rates along the Jobando Expressway *武宮 博¹, 斎藤 公明¹, 吉田 浩子²

1原子力機構,2東北大学

常磐自動車道の通行再開以来、広野から南相馬の区間における空間線量率の計測を継続的に実施している。 当該区間における空間線量率の空間分布及び経時変化傾向について報告する。

キーワード:環境モニタリング、空間線量率、空間分布、経時変化

1. 緒言

常磐自動車道は、東日本大震災後2年間にわたり補修や除染が実施され、2015年3月より全線の通行を 再開した。しかしながら、一部区間が帰還困難区域内に敷設されていることから、利用者には放射線の影 響に関する不安が存在している。我々は通行再開以来、帰還困難区域を含む広野 IC から南相馬 IC 間の区 間において継続的に空間線量率を測定している。本稿では、これまでの測定により得られた常磐自動車道 の空間線量率分布状況および経時変化傾向について述べる。

2. 測定結果

2-1. 常磐自動車道における空間線量率分布

車載型空間線量率測定器 KURAMA-II を用いて当該区間の 空間線量率を連日測定し、3年間で約600万点のデータを取得 した。解析においては、当該区間を 100m 間隔のメッシュで区 切り、月単位で各区間の平均空間線量率を算出した。車内外 補正については、規定位置(後部座席 1m 高さ)に KURAMA-II を設置することが困難であったことから、サーベイメータに よる比較測定および MC シミュレーションによる解析を実施

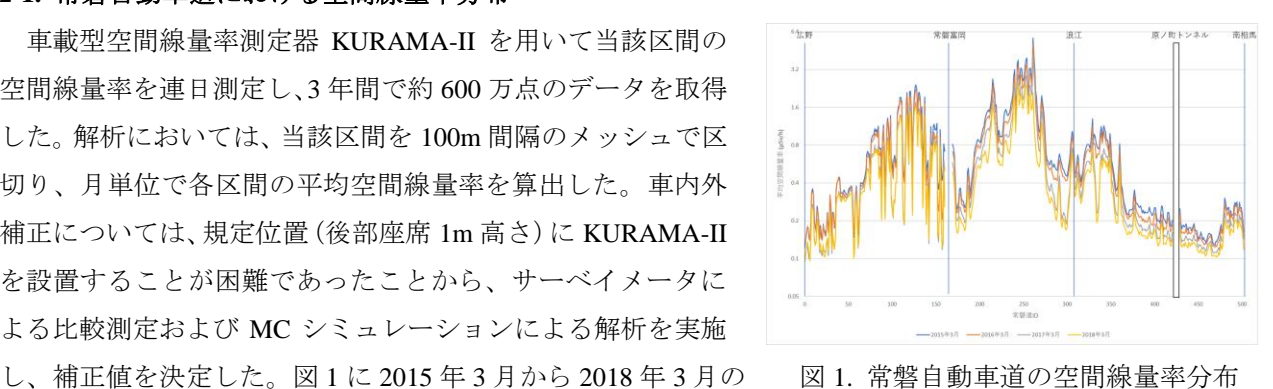


図 1. 常磐自動車道の空間線量率分布

各メッシュ区間における空間線量率分布状況を示す。通行再開当初は帰還困難区域内において 5μSv/h を 超える空間線量率が測定されたが、2018年3月には最大で2.5μSv/h程度となっている。

2-2. 常磐自動車道における空間線量率の減衰傾向

2.1 で得られた空間線量率分布データを用いて、当該区間 における空間線量率の経時変化傾向を分析した。図2に、 2015年3月時点での平均空間線量率を基準とした相対的な 経時変化傾向を示す。比較のために、物理減衰に基づく空 間線量率の減衰率を併せて示す。降雨、降雪等の影響によ るばらつきがあるものの、2016年7月以降、物理減衰を上 回る減衰が見られる。これは、当該区間の近傍地域で本格 的な除染が実施されたことが原因である。



図 2. 常磐自動車道の空間線量率減衰傾向

^{*}Hiroshi Takemiya¹, Kimiaki Saito¹ and Hiroko Yoshida²

¹Japan Atomic Energy Agency, ²Tohoku Univ.

Oral presentation | VII. Health Physics and Environmental Science | Health Physics and Environmental Science

[1K15-19] Environmental Radioactivity and Monitoring 3

Chair: Jun Goto (Niigata Univ.)

Wed. Sep 5, 2018 4:40 PM - 6:00 PM Room K (B41 -B Building)

[1K15] Analysis for the time variation of the air dose rate in Fukushima prefecture

*Kazuya Matsumoto¹, Nobuyuki Sato², Yutaka Kimura¹, Hiroshi Takemiya², Akiyuki Seki², Hiromi Inoue¹, Hiroyuki Sugai¹ (1. Fukushima Prefectural Centre for Environmental Creation , 2. Japan Atomic Energy Agency)

4:40 PM - 4:55 PM

[1K16] Numerical Studies for Seasonal Fluctuation of Cesium Transport at Dam Reservoir in the Hama-dori District of Fukushima Prefecture

*Susumu Yamada¹, Masahiko Machida¹, Hiroshi Kurilkami¹, Akihiro Kitamura¹ (1. JAEA) 4:55 PM - 5:10 PM

[1K17] Dissolution of radiocesium-bearing microparticles released by the Fukushima nuclear accident

> *Taiga Okumura¹, Noriko Yamaguchi², Terumi Dohi³, Kazuki Iijima³, Toshihiro Kogure¹ (1. UTokyo, 2. NARO, 3. JAEA)

5:10 PM - 5:25 PM

[1K18] Theoretical study of selective cesium complexation mechanism by fungi organic matter in forest

*Hiroya Suno¹, Masahiko Machida¹, Terumi Dohi¹ (1. Japan Atomic Energy Agency) 5:25 PM - 5:40 PM

[1K19] A method of estimating vertical distribution of radioactivity concentration in soil from NaI(TI) detector pulse height distribution *Hisashi Ichikawa¹, Hiromi Yamazawa¹, Jun Moriizumi¹, Shigekazu Hirao² (1. Nagoya Univ., 2.

Fukushima Univ.)

5:40 PM - 5:55 PM

福島県内空間線量率の経時変化傾向の分析 (3) 経時変化マップの作成と評価

Analysis for the time variation of the air dose rate in Fukushima prefecture (3)

Creation and evaluation of the time variation map

*松本 和也¹, 佐藤 信行², 木村 裕¹, 武宮 博², 関 暁之², 井上 広海¹, 菅井 裕之¹ 「福島県, ²原子力機構

空間線量率の変化に係る情報を提供するため、色々な手法で測定された福島県内の環境放射線モニタリング結果を用いて作成した避難指示解除準備区域等の統合化マップを基に、データ同化手法を用いて経時変化マップの作成と評価を行った結果について報告する。

キーワード:環境放射線モニタリング,空間線量率,統合化マップ,経時変化マップ,データ同化

1. はじめに

福島県環境創造センターでは、東京電力㈱福島第一原子力発電所事故発生から現在に至る放射性物質の分布状況の変化を、県民にわかりやすく提供するとともに、膨大な環境放射線モニタリング結果を、関係者が利用しやすい環境を提供するため、その結果を分析、評価し、経時変化傾向を明らかにする手法等に関する研究を進めている。

2.統合化マップ・経時変化マップの作成

平成 28 年度に郡山市を対象に統合化マップ・経時変化マップを作成したが、平成 29 年度は福島県内の避難指示が解除された区域、避難指示解除準備区域、居住制限区域及び帰還困難区域を有する 12 市町村を対象として、2011 年 4 月から 2017年 12 月までに測定された各種(サーベイメータ、モニタリングポスト、走行サーベイ、航空機サーベイ等)の空間線量率測定結果を統合した統合化マップを作成するとともに、データ同化手法を適用することで、同期間の月毎の経時変化マップを作成した。

統合化マップを図1、図2に、アンサンブルカルマンフィルタによる経時変化マップを図3に示す。

3. まとめと今後の展開

作成した統合化マップ・経時変化マップについては、今回 使用していない環境モニタリングデータとの比較、及び原子

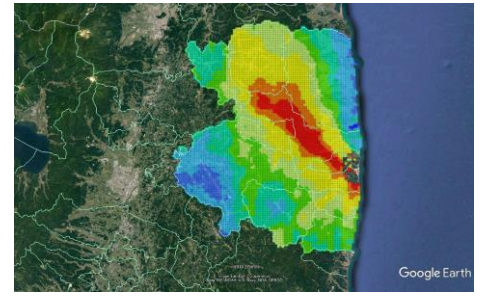


図1 統合化マップ(2011年4月)



図 2 統合化マップ(2017年12月)



図 3 アンサンブルカルマンフィルタに よる経時変化マップ (2017 年 12 月)

力規制庁の H28 年度放射性物質の分布状況調査結果との比較を行った結果、比較的良い一致が得られたが、 一次測定データ内の系統的なばらつきをどのように評価するかが今後の課題となる。

参考文献

[1] 放射性物質モニタリングデータの情報公開サイト(JAEA) : http://emdb.jaea.go.jp/emdb/

*Kazuya Matsumoto¹, Nobuyuki Sato², Yutaka Kimura¹, Hiroshi Takemiya², Akiyuki Seki², Hiromi Inoue¹, and Hiroyuki Sugai¹
¹Fukushima Pref., ²JAEA

1K16 2018年秋の大会

福島県浜通りダム湖におけるセシウム動態季節変動の数値解析

Numerical Studies for Seasonal Fluctuation of Cesium Transport at Dam Reservoir in the Hama-dori District of Fukushima Prefecture

*山田 進¹, 町田 昌彦¹, 操上 広志¹, 北村 哲浩¹
「原子力機構

福島県浜通り地方では、上流にセシウムの沈着量の多い河川が複数存在している。そのうちのいくつかの河川にはダムが建設されており、ダム湖の湖水は震災前、様々な用途にて利用されていた。従って、住民の帰還やそれに伴う産業復興と共に震災前へ回帰するためには、それらのダム湖内での放射性セシウムの動態を理解する必要がある。本発表では、その目的に必須な数値解析技術について報告する。

キーワード: 3次元動態解析シミュレーション、ダム湖、セシウム動態

1. 緒言

原子力機構では、福島長期環境動態研究(F-TRACE)プロジェクトの一環として、河川による放射性セシウムの移動及びその堆積分布等の予測システムの開発に取り組んでいる。多くの放射性セシウムは土砂に付着し、土砂の移動に伴って移動するため、河川による影響が大きく、実際、台風等で洪水になると多くの土砂が移動し、その移動に伴ってセシウムも移動し、河川敷等に堆積することが観測やシミュレーションにより確認されている[1]。また、河川がダム湖に流れ込むと流速が遅くなり、より多くの浮遊砂が堆積することが実際の観測により確認されている[2]。このことから、ダム湖内のセシウムの動態を理解することは湖水の利用のためには重要なことであると考えられる。このような状況の下、著者らは複雑な湖底形状を湖水流動ダイナミクスに反映可能なシグマ座標系モデルを用いた計算機シミュレーション技術を開発し、ダム湖内の浮遊砂の振る舞いを解析してきた。

一般に充分に大きなダム湖では、季節によって上層と下層の水温の違いにより湖水に温度成層が形成される。しかし、著者らが開発してきたシグマ座標系モデルでは、湖底の変化に合わせて鉛直方向の格子間隔を変化させているため、水平方向のセル間の移動でも互いのセルの高さが異なるため、水平移動したはずの成分の一部は鉛直方向に移動してしまうことが知られており、本モデルをそのまま用いたのでは成層化を再現することができない。

2. 温度成層を再現する3次元シミュレーション

温度成層を再現するためには必要以上の鉛直方向へ移動を抑制させる必要がある。そこで本研究では、シグマ座標系モデルで生じる水平方向のずれを評価し、それを補正する機能を追加した。この補正を追加したコードを用いて、福島浜通り地方にあり請戸川の上流域にある大柿ダムの夏期の状態を対象にしたシミュレーションを実施したところ、上層の水温が高く下層が低い成層化の状態が生成されるとともに、その状態が長時間保たれることを確認した。発表では、補正方法の詳細を発表するとともに、温度成層が形成される条件や、成層化により流入河川水の流動様式や懸濁体の挙動等がどのように変化するかを報告する。

参考文献

[1] 山田進 他,福島長期環境動態研究:(6)二次元河川コードを用いた河川内放射性物質の堆積分布予測,日本原子力学会秋の年会,2013年.

[2] H. Funaki, et. al., Evaluation of particulate 137Cs discharge from mountainous forested catchment using reservoir sediments and sinking particles, JER, 189, pp.48-56 (2018).

*Susumu Yamada¹, Masahiko Machida¹, Hiroshi Kurikami¹ and Akihiro Kitamura¹

¹Japan Atomic Energy Agency.

福島原発事故により放出された放射性 Cs 含有微粒子の溶解挙動の解明

Dissolution of radiocesium-bearing microparticles released by the Fukushima nuclear accident *奥村 大河 ¹, 山口 紀子 ², 土肥 輝美 ³, 飯島 和毅 ³, 小暮 敏博 ¹ 東京大学, ²農研機構, ³原子力機構

福島原発事故により放出された放射性 Cs を含有するガラス状微粒子について、様々な温度条件で純水と海水に浸潤し、その溶解速度を推定した。その結果、福島の平均水温では、純水中では完全に溶解するのに数十年を要するのに対し、海水中では数年しかかからないことが示唆された。

キーワード: 放射性 Cs 含有微粒子, CsMP, 溶解, 純水, 海水, 電子顕微鏡, 福島原発事故

1. 緒言

2011 年 3 月の福島第一原子力発電所事故により放出された放射性 Cs の一部は、珪酸塩ガラスを主体とする微粒子 (radiocesium-bearing microparticles; CsMP) に含まれて飛散した。事故後 7 年が経過したが、CsMP の環境中での挙動は十分解明されていない。これまで CsMP は "不溶性" 粒子と報告されてきたが、その主体は珪酸塩ガラスであるため、湿潤な環境中では徐々に溶解が進むはずである。そこで我々は環境中から採取した CsMP の純水及び海水での溶解実験を行い、CsMP の溶解挙動や環境中での寿命を推定した。

2. 実験

事故当時福島県の野外にあった農業資材から、これまでと同様な手法[1]により CsMP を単離した。この CsMP を様々な温度条件で純水または人工海水に浸潤し、放射能の減衰量から CsMP の溶解速度を推定した。 さらにアレニウスプロットを作成することで、福島の実環境に近い温度条件における溶解速度を算出した。 また溶解実験前後の CsMP を電子顕微鏡により分析することによって、その構造や形状の変化を調べた。

3. 結果·考察

福島の平均気温および平均海水温である約 13 °C での CsMP の溶解速度を活性化エネルギー等から推定した。その結果、純水(ただし大気中の二酸化炭素の溶解により pH はおよそ 5.5)では CsMP の半径が 0.011 μm/y の速度で減少するのに対し、海水中ではそれよりも 1 桁程度速く溶解することがわかった。これは半径 1 μm 程度の CsMP が完全に溶解するのに、純水中では数十年を要するのに対し、海水中では数年しかかからないことになる。よって CsMP が事故直後に海に落下した場合、現時点ではそのほとんどが消失している可能性が示唆された。純水での溶解実験前後の CsMP を電子顕微鏡により分析すると、ガラスが溶解したことによりそのサイズが小さくなっており、また形態は球形から複雑に変化していた。また、その表面にはスズや鉄の酸化物のナノ粒子が形成されていた。これと類似の構造を持つ CsMP が事故から 4 年後に大気中から見つかっていることから[2]、内陸に飛散した CsMP も徐々に溶解して放射能が減衰していることが示唆された。一方、海水中で溶解された CsMP の場合は、鉄とマグネシウムに富む板状の二次鉱物が表面を覆っていた。以上の結果から、"不溶性"粒子と考えられていた CsMP は長期的に見れば溶解し、CsMP に含まれる放射能は 137Cs の物理的半減期である 30.1 年よりも速く減少すると考えられる。

参考文献

[1] Okumura et al., Sci. Rep. (2018) **8**, 9707. [2] Yamaguchi et al., Geochem. J. (2017) **51**, 1–14.

*Taiga Okumura¹, Noriko Yamaguchi², Terumi Dohi³, Kazuki Iijima³, Toshihiro Kogure¹

¹UTokyo, ²NARO, ³JAEA

1K18 2018年秋の大会

森林内での菌類有機分子とセシウムの 選択的錯体形成機構の理論研究

Theoretical study of selective cesium complexation mechanism

by fungi organic matter in forest

*数納 広哉, 町田 昌彦, 土肥 輝美

日本原子力研究開発機構

森林内の有機物による放射性物質の取込・蓄積過程で大きな役割を果たしているのが、有機物構成分子と放射性セシウムとの錯体形成である。本研究では森林内有機物を構成する典型的な分子を調査し、これらの分子とセシウムの選択的な錯体形成機構について量子化学計算を用いた分子論な解明を行った。キノコの主要な色素成分であるノルバジオン A、および地衣類の主要な二次代謝物であるウスニン酸に関して、アルカリ金属カチオンとの錯体分子構造を計算した。また、錯体形成におけるセシウムカチオンの安定性を計算し、選択性を定量的に見積もった。

キーワード: 森林内有機物、放射性セシウム、東京電力福島第一原子力発電所事故、量子化学計算

1. 緒言

原子力発電所事故などにより環境中に放出された放射性セシウムは、森林に降着し、菌類や地衣類、樹木などの有機物に取込・蓄積され、これまでキノコなどの菌類、および地衣類から放射能が検出されている。この放射能蓄積過程では、森林内有機物の構成分子と放射性セシウムとの錯体形成が大きな役割を果たしていると考えられている。本研究では森林内有機物を構成する典型的な分子を調査し、これらの分子とセシウムの選択的な錯体形成機構について量子化学計算による分子論な解明を行った。

2. 計算手法の概要

計算手法は連続誘電体モデル(PCM)および密度 汎関数理論(DFT)に基づくものである。また、化学 反応経路探索プログラム GRRM と半経験的量子化 学ソフト MOPAC を併用した。水溶液中での錯体 の最安定構造および準安定構造を求めるととも に、錯体の自由エネルギーを計算した。

3. 結論

キ ノ コ 成 分 で あ る ノ ル バ ジ オ ン A(NBA;C35H18O15)および地衣類成分であるウスニ



図 1. NBA²⁻K⁺と NBA²⁻Cs⁺

ン酸($C_{18}H_{16}O_7$)について錯体構造と自由エネルギーを求めた。図 1 にノルバジオン A の二重脱プロトン状態である NBA^2 分子に関する結果を示す。セシウム錯体はカリウム錯体と比較して分子構想が顕著に異なり、また、自由エネルギーも 6.3 kcal/mol とかなり大きく低下する。これは、セシウム錯体がカリウム錯体よりはるかに安定な状態にあり、この分子がセシウムに対して選択的に錯体形成していることを示している。また、ウスニン酸に関しても同様の選択性が見られている。

4. 結論

量子化学計算による分子論的手法によって、森林中の代表的な菌類有機分子の放射性セシウムの選択的錯体の構造を求めた。分子によって大きなセシウムの選択性が見られた。

Japan Atomic Energy Agency

^{*}Hiroya Suno, Masahiko Machida and Terumi Dohi

NaI(TI)波高分布を用いた土壌中放射能濃度の深度分布推定法の検討

A method of estimating vertical distribution of radioactivity concentration in soil from NaI(Tl) detector pulse height distribution

*市川 寿 ¹, 山澤 弘実 ¹, 森泉 純 ¹, 平尾 茂一 ² ¹名大院工, ²福島大

NaI(TI)検出器で得られる波高分布の高度利用法の一検討として、波高分布を用いて土壌中放射能濃度の深度分布の推定可能性について議論する。先行研究にて開発された環境中放射能濃度推定法を利用して深度分布の推定を行い、推定結果を実測データを用いて評価した。

キーワード:放射能濃度、放射性セシウムの深度分布、NaI(Tl)波高分布、EGS5

- 1. **緒言** 先行研究はモニタリングステーションで常時取得されている波高分布を用いて環境中放射能濃度を推定する方法を開発した。この濃度推定は検出器周りの幾何学的構造や放射性核種の分布など現地調査を要する情報を必要とする。しかし、緊急時に現地調査を行うのは現実的ではない。そこで本研究では、従来利用してきた波高分布から現地調査を要する情報である土壌中放射能濃度の深度分布推定の可能性を検討した。
- **2. 推定方法・実測データ** 本研究では先行研究で開発された EGS5 での波高分布計算値を用いる濃度推定 法を利用する[1]。濃度推定時に深度分布を推定するために、放射性核種の土壌中での分布の違いにより土 壌の遮蔽効果で波高分布の低エネルギー側の計数率が異なることを利用した。

福島県内果樹園において、可搬型 $2"\phi \times 2"$ NaI(TI)検出器を用いて波高分布を取得した。また、同一地点の土壌をスクレーパー・プレートで地表面から 10cm 深さまでを 7 つの層($0\sim0.5$ 、 $0.5\sim1.0$ 、 $1.0\sim2.0$ 、 $2.0\sim3.0$ 、 $3.0\sim4.0$ 、 $4.0\sim6.0$ 、 $6.0\sim10.0$ cm)にわけて深度別に採取した。そして、得られた波高分布から深度分布を推定し、土壌サンプルから得られた深度別の放射能濃度は推定結果の評価に利用した。

3. 結論 深度分布を表す指標として重量緩衝深度 β を用いる。推定値の β は 1.1 (g/cm²) であり、実測値の β は 5.1 (g/cm²) であった。推定値と実測値に差異があるが、原因の 1 つと考えられるのが自然放射性核種の影響である。先行研究ではバックグランド (BG) の波高分布を差し引くことで人工放射性核種から放出されたガンマ線の波高分布を濃度推定に使用していた。しかし、本研究では BG の情報が存在しなかったため、自然放射性核種の波高分布を深さ方向に一様な濃度分布を仮定した計算から得ることで推定を行った。この違いが差異に影響している可能性があり、In-situ測定値から自然放射性核種の波高分布を計算することで推定精度の向上が考えられるため、発表にて議論する。

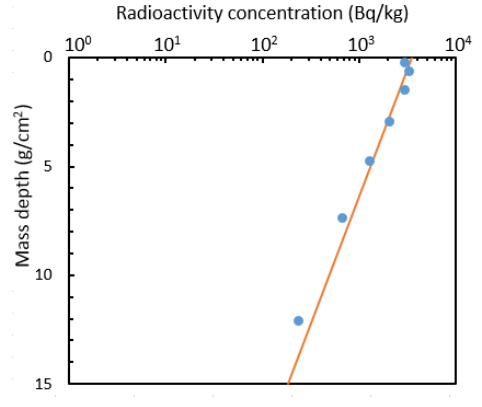


Fig. 1 土壌サンプルから得られた土壌中 放射能濃度の深度分布実測値

参考文献

[1] 廣内 淳、名古屋大学博士論文(2015)

*Hisashi Ichikawa¹, Hiromi Yamazawa¹, Jun Moriizumi¹ and Shigekazu Hirao²

¹Nagoya Univ., ²Fukushima Univ.

Oral presentation | III. Fission Energy Engineering | 303-1 Reactor Instrumentation, Instrumentation System, Reactor Control

[1L01-04] Measuring, Monitoring, and Wireless System

Chair: Yasutake Fujishima

Wed. Sep 5, 2018 10:15 AM - 11:20 AM Room L (D12 -D Building)

- [1L01] Hydrogen concentration detector system for Severe Accident installed inside Primary Containment Vessel (PCV)
 - *Kisato Habu¹, Toshiaki Ito¹, Kiyotaka Wakita¹, Motoshige Yagyu¹, Masashi Yamage² (1. Toshiba Energy Systems &Solutions Corporation, 2. Toshiba Corporation) 10:15 AM - 10:30 AM
- [1L02] Core Cooling Monitoring System based on Radiation Detection

 *Tsukasa Sugita¹, Kenichi Yoshioka¹, Makoto Takemura¹, Hidehiko Kuroda¹, Akira Moroi¹,

 Naotaka Oda¹, Toshiaki Ito¹ (1. TOSHIBA ENERGY SYSTEMS &SOLUTIONS CORPORATION)

 10:30 AM 10:45 AM
- [1L03] Core Cooling Monitoring System based on Radiation Detection

 *Makoto Takemura¹, Tsukasa Sugita¹, Hidehiko Kuroda¹, Akira Moroi¹, Naotaka Oda¹, Toshiaki

 Ito¹ (1. Toshiba Energy Systemus &Solutions Corporation)

 10:45 AM 11:00 AM
- [1L04] Wireless System with Controlling Electromagnetic Wave Distribution in Nuclear Power Plant

*hidehiko kuroda¹, takahiro shirota¹, yoshiro ikeda¹, jumpei ogawa², hiroyuki nishikawa ², takeshi hasegawa¹, naotaka oda¹, naoki asano¹ (1. TOSHIBA ENERGY SYSTEMS &SOLUTIONS CORPORATION, 2. Toshiba Corporation)

11:00 AM - 11:15 AM

重大事故時格納容器内水素濃度計システムの開発

Hydrogen concentration detector system for Severe Accident installed inside Primary Containment Vessel *羽生 大仁¹,伊藤 敏明¹,脇田 清貴¹,柳生 基茂¹,山華 雅司² 1東芝エネルギーシステムズ株式会社,2株式会社東芝

重大事故時に格納容器内の水素濃度を計測するシステムとして、水素吸蔵材を用いた水素濃度検出器を 製品化した。重大事故時の過酷な格納容器内雰囲気条件に適用可能な新しい計装システムの製品開発につ いて報告する。

キーワード:重大事故時,水素濃度,BWR

1. 緒言

重大事故時に格納容器内の水素濃度を直接計測するシステムとして、水素吸蔵材を用いた水素濃度検出 器の製品開発を進めてきた。重大事故時の環境下で安定した性能を実現するために、ヨウ素被毒対策や水 の放射線分解で生成する酸素の燃焼影響対策などを実施し、重大事故時の環境下で、直接計測可能な新し い水素濃度計測システムを製品化した。

2. システム概要

本システムの構成を図1に示す。格納容器内の重大事故時 環境下にて計測するため、格納容器内のドライウェルとサプ レッションチェンバに水素濃度検出器を設置し、格納容器内 は MI ケーブルにて敷設する。水素濃度検出器は、水素吸蔵材 の Pd と温度補正用の Pt からなる水素センサと、ヒータ及び 測温抵抗体により温度制御する。水素センサの抵抗値を測定 し、信号処理装置にて水素濃度を演算する。

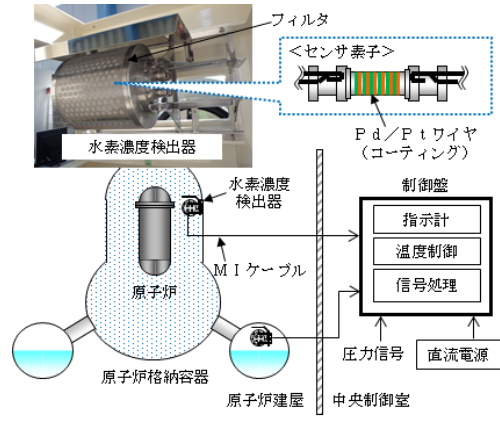


図 1 水素吸蔵材料式水素濃度計システム構成

3. 製品対策・検証

重大事故時の環境下で、安定した性能を実現するためには、ヨウ素被毒対策、水の放射線分解で生成す る酸素の燃焼影響対策などの技術課題があった。ヨウ素被毒対策は、ヨウ素フィルターを装備し、センサ 素子に到達するヨウ素を除去した。酸素による燃焼影響対策は、水素を選択透過する SiO2 膜をセンサ素子 表面に成膜することで、燃焼による温度上昇を抑えかつ測定値影響を抑制する事を確認した。更に、水素 濃度検出器は格納容器内に設置する必要があるため、水素濃度検出器の小型・軽量化を図り、ケーブルを 容易に取り外せる構造にする事で、施工性やメンテナンス性を向上させた。

4. 結論

ョウ素除去フィルターと、SiO₂ 成膜による水素選択透過機能の装備で技術課題を解決し、製品化を実現 した。更に、検出器の小型・軽量化等により、施工性やメンテナンス性を向上させた。このシステムの開 発により、重大事故時における格納容器内の水素濃度の直接計測が可能となった。

^{*}Kisato Habu¹, Toshiaki Ito¹, Kiyotaka Wakita¹, Motoshige Yagyu¹ and Masashi Yamage²

¹Toshiba Energy Systems & Solutions Corporation, ²Toshiba Corporation

放射線計測による炉心冷却状態監視システム (1)機械学習を利用した炉内状況推定

Core Cooling Monitoring System based on Radiation Detection

(1) Analysis of the Reactor Core Conditions with Machine Learning

*杉田 宰¹, 吉岡研一¹, 竹村真¹, 黒田英彦¹, 茂呂居玲¹, 小田直敬¹, 伊藤敏明¹ 「東芝エネルギーシステムズ(株)

原子炉圧力容器(RPV)外部での放射線測定により過酷事故時の炉心冷却状態を監視するシステムを開発している。事故時の放射線分布の時間変化をシミュレーションにより解析し、放射線分布と炉内状況の関係をモデル化することで過酷事故時の燃料冠水状態や燃料溶融率を推定し、炉心冷却状態を把握できることを確認した。

キーワード: 炉内状況, 炉心冷却状態, 過酷事故, 放射線計測, 機械学習

1. 緒言

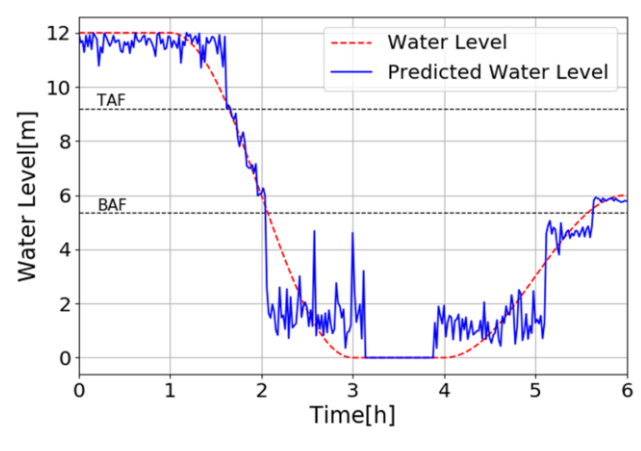
過酷事故時の炉内状況を把握するためには、燃料の冷却状態を監視することが重要となる。これまでに炉外の複数点で放射線を測定し、各位置での測定値から炉内状況を推定する技術開発が進められてきた[1]が、過酷事故時には水位の低下、燃料の露出および溶融などの様々な事象が同時に進行するため、複雑な状況に対応した炉内状況推定技術が必要となる。

2.解析

本研究では、様々な炉内状況における RPV 外の放射線分布を再現するために、炉心から格納容器(PCV)までを再現した原子炉モデルを用いた二次元輸送計算を実施することで、原子炉内のガンマ線分布を解析した。燃料頂部から RPV 底部までのガンマ線を測定する条件とするために、RPV 表面付近に高さ方向に 1m 間隔で合計 10 個の検出器を並べることを想定し、事故進展に伴い水位の低下および燃料の溶融が発生した条件での、各点でのガンマ線強度の時間変化を評価した。単純化のために、溶融した燃料は全て RPV底部に堆積すると仮定した。ガンマ線強度から炉内状況を推定するために、推定する値となる目的変数を「炉心水位」および「燃料溶融率」とし、推定のための説明変数を全 10 点の「ガンマ線強度」と設定した条件で機械学習を適用することにより、両者の関係性をモデル化した。作成したモデルを用いてガンマ線強度から炉内状況推定するために、テスト用データとして事故開始後 1 時間後に水位が低下して燃料が露出した後、全量が RPV 底部に移行するシナリオでのガンマ線強度の時間変化をシミュレーションにより作成した。このガンマ線強度の時間変化から作成したモデルを用いて炉心水位の推定(図 1)および燃料溶融率の推定(図 2)を行った結果、シナリオ上で設定した冠水状態および溶融状態が推定できることを確認した。

3. 結論

本技術を用いることに放射線計測による炉心冷却状態監視の有効性を確認した。今後さらに複雑な状況を想定したシミュレーション結果を追加することにより、様々な事象に対応したシステムの開発を進める。



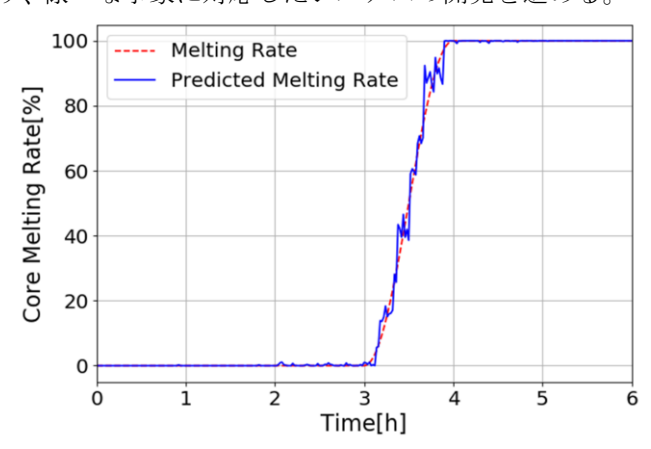


図1. ガンマ線分布解析による炉心水位の推定

図 2. ガンマ線分布解析による炉心燃料溶融率の推定

参考文献

[1] Hampel R, *et al.*, "Water Level in Boiling Water Reactors-Measurement, Modelling, Diagnostic" Prog. Nucl. Energy 43(2018) No. 1-4, pp. 121-128

^{*}Tsukasa Sugita¹, Kenichi Yoshioka¹, Makoto Takemura¹, Hidehiko Kuroda¹, Akira Moroi¹, Naotaka Oda¹, Toshiaki Ito¹

¹Toshiba Energy Systems & Solutions Corporation

放射線計測による炉心冷却状態監視システム (2) センサ及び信号ラインの検討

Core Cooling Monitoring System based on Radiation Detection

(2) Study of Sensor and Signal Line

*竹村 真¹, 杉田 宰¹, 黒田 英彦¹, 茂呂居 玲¹, 小田 直敬¹, 伊藤 敏明¹ 「東芝エネルギーシステムズ株式会社

炉心が溶融する状態でも炉内燃料の冷却状態を監視する炉心冷却状態監視システムを開発している。当該 冷却状態を RPV 外表面付近での γ 線を測定して監視する計装システムを開発した。また、想定の環境状態 を考慮した実プラント相当のケーブルや接続状態をシミュレーションし、信号ラインの成立性を検証した。 キーワード: 炉心冷却, 状態監視, 過酷事故, 放射線計測, 信号ライン

1. 緒言

炉心が溶融する状態で、原子炉外から炉心冷却状態を監視するシステムを開発している。このシステムでは炉内の燃料からの γ 線を炉外から測定する必要がある。また、炉心溶融状態となる RPV 近傍の環境条件の下で、 γ 線の信号を格納容器外まで伝送する必要がある。そこで、RPV 近傍の検出器位置で測定される γ 線量を見積もるとともに、その線量に対応した耐環境性の高いセンサ及び信号ラインを評価した。

2. センサ設計

炉心冷却状態監視システムのセンサ設置位置での線量を解析で評価した。計算されたγ線分布に下限値に対する一定のノイズを加えたデータを作成し、測定精度を解析することで、センサの検出下限を評価した。評価の結果、必要な検出下限値は 0.1Sv/h となった。この検出下限と炉心溶融時の RPV 外近傍の環境条件で使用可能なセンサとして電離箱式の放射線検出器を選定し、適用化設計をした。

3.信号ラインの検討

使用する検出器と検出下限値 0.1Sv/h から、センサの出力は微少電流となる。また、環境条件から、前置 増幅器は原子炉格納容器外に設置する必要があり、そこまでの距離をメタルケーブルで伝送する必要がある。このセンサから前置増幅器までを図 1 のようにモデル化してシミュレーションで評価し、成立性を確

認した。また、途中のケーブルでの リーク電流等を確認するため、ケー ブルを試作し、想定される環境条件 で試験検証を実施した。これらの評 価から想定される環境条件で実用 可能であることを確認した。

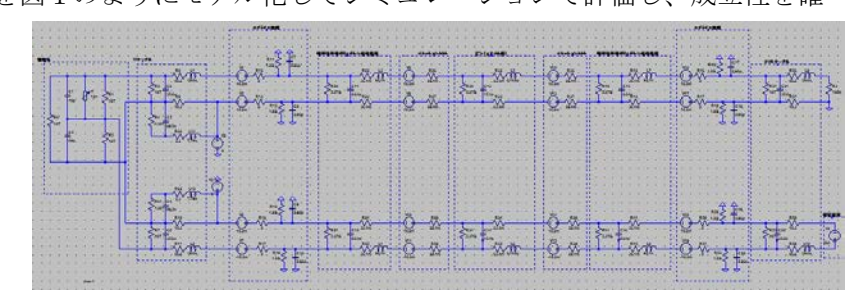


図1 信号ラインのモデル

4. 結論

炉外で測定されるγ線量、環境条件で使用可能なセンサを設計し、格納容器外までの信号ラインを事故 時の環境も考慮して回路シミュレーションと試験で検証した結果、センサ及び信号ラインの成立性を確認 した。今後、他方式の計測システムの情報も含めた過酷事故時の炉内状態監視システムの高度化を進める。

本検討では東芝電子管デバイス株式会社にご協力いただきました。心より感謝いたします。

^{*}Makoto Takemura¹, Tsukasa Sugita¹, Hidehiko Kuroda¹, Akira Moroi¹, Naotaka Oda¹ and Toshiaki Ito¹

¹Toshiba Energy Systems & Solutions Corporation

原子力発電所内の無線適用に向けた電波分布制御手法の開発 (V)無線システムの性能検証

Wireless System with Controlling Electromagnetic Wave Distribution in Nuclear Power Plant

(V) Performance Evaluation for Wireless Control System

*黒田 英彦¹,代田 孝広¹,池田 芳朗¹,小川 純平²,西川 浩行², 長谷川 健¹,小田 直敬¹,浅野 直樹¹ 「東芝エネルギーシステムズ株式会社、²株式会社 東芝

無線機器を原子力プラントで適用する場合には設備への電磁ノイズ干渉及びセキュリティへの対策が求められる。無線通信におけるセキュリティ対策時の通信時間を評価し、解析及び試験を実施して目標の通信時間を満足できる見込みを得た。

キーワード:情報端末, IoT センサ, ワイヤレスセンサ, 無線通信, 情報管理, サイバーセキュリティ

1. 緒言

原子力プラントでは無線端末による点検保守作業の効率化、端末の位置情報に基づく作業管理、ワイヤレスセンサを適用することでのケーブル物量の削減、設備の監視診断用データの拡充など無線技術を適用することで各種効果が期待できる^[1]。セキュリティ対策として、電波を不要な領域へ拡散させないことに加え、無線機器の認証、通信データの暗号化及び改竄検知を行う。無線端末のデータはマルチメディア情報を扱うことから大容量を伝送でき、各種無線センサデータは一定の時間間隔で確実に伝送できることが望まれるがセキュリティ処理に時間がかかる。ここでは通信時間に関する性能検証について報告する。

2. 通信時間の検討

無線通信システムは無線端末や無線センサが個別にアクセスポイントと通信するインフラストラクチャモードとする。無線基板を送受信に用い、共通鍵暗号でデータ暗号化して認証及び改竄検知を行った場合の解析結果及び実際の測定結果例を表1に示す。受信側(復号化)の処理は送信側(暗号化)と異なり負荷が大きいことから各々の処理時間を評価した。実際の測定結果はデータサイズ約400Bの場合に11.0msecとなり、監視系モニタの信号に求められる1秒間隔の通信が可能であることが確認できた。またデータサ

イズ 1kB の場合でも 15.8msec となる解析結果が得られた。なお、受信側において、データサイズに 反して測定結果が解析結果と比べて時間が長くなる結果が得られているが、受信側サーバの負荷変動による誤差範囲と評価した。

表 1 処理時間の評価結果

単位:msed

項目	解析結果 (データサイズ1kB)	測定結果 (データサイズ約400B)
送信側(暗号化)	0.7	0.1
受信側(復号化)	5.8	6.2
通信時間	15.8	11.0

3. 結論

通信時間を解析と試験で評価を行い、約 400B のデータを 11.0msec で無線通信できることを確認できた。 また 1kB のデータにおいても 15.8msec で無線通信できる見込みである。監視系モニタの信号に求められる 1 秒間隔で通信できる見込みが得られた。引き続き、無線端末の通信時間を評価して性能検証を進める。

参考文献

[1] H. M. Hashemian et al., "Wireless Sensor Applications in Nuclear Power Plants", Nuclear Technology Vol.173, No1, P8-16, (2011)

*Hidehiko Kuroda¹, Takahiro Shirota¹, Yoshiro Ikeda¹, Jumpei Ogawa², Hiroyuki Nishikawa², Takeshi Hasegawa¹, Naotaka Oda¹ and Naoki Asano¹. ¹Toshiba Energy Systems & Solutions Corporation, ²Toshiba Corporation.

Oral presentation | III. Fission Energy Engineering | 303-3 Human-Machine Systems, Advanced Information Processing

[1L05-06] Lesson and Training

Chair: Hidehiko Kuorda (TOSHIBA ESS)

Wed. Sep 5, 2018 11:20 AM - 11:55 AM Room L (D12 -D Building)

[1L05] Derivation of Lessons from TV Conference of Fukushima Daiichi Nuclear Power Plant Accident(1)

*Kyoko Oba¹, Atsufumi Yoshizawa², Masaharu Kitamura³ (1. Japan Atomic Energy Agency, 2. Nagaoka University of Technology, 3. Research Institute for Technology Management Strategy)

11:20 AM - 11:35 AM

[1L06] A consideration of training methods to acquire the basic abilities of plant operations

*Akio Gofuku¹, Seizo Yamaoka¹ (1. Okayama University)

11:35 AM - 11:50 AM

福島第一原子力発電所事故のテレビ会議録からの教訓抽出(1)

定量的な分析を目指したデータベース作成の試み

Derivation of Lessons from TV Conference of Fukushima Daiichi Nuclear Power Plant Accident (1) Attempt to Create a Database Enabling Quantitative Analysis

*大場 恭子¹, 吉澤 厚文², 北村 正晴³

¹JAEA, ²長岡技大, ³テムス研究所

本研究の目的は、福島第一原子力発電所(以下、「IF」)事故における現地対策本部を中心とする関係者の対応を明らかにし、そこから導出される教訓を、緊急時対応力向上施策に反映することである。その目的を達成するため、東京電力株式会社(以下、「東電」)の関係組織を繋いだ貴重な一次情報であるテレビ会議システムの発話データ記録(以下、「TV会議録」) いを、レジリエンスエンジニアリング(以下、RE)のコア4能力やワークロードの構成要素に整理し、さらに定量的な評価を可能にするデータベース作成を試みた。本稿では、その作成の考え方及び結果について報告する。キーワード:福島第一原子力発電所事故、テレビ会議、データベース、レジリエンスエンジニアリング、ワークロード

- 1. 緒言 TV 会議録は、IF 事故の東電関係組織を繋いだテレビ会議システムの録画映像のうち、マスコミに公開された 3月12日~14日のTV 会議システムの発話をまとめたものである。既存の事故報告書では、TV 会議録を参考にしているものの、直接にその分析を行い、事故対応の教訓を導出していない。本研究では、TV 会議録から、IF 事故の現地対策本部を中心とする関係者が、限定されたリソースの中で、高いワークロードにどのように対応していたのかを明らかにし、そこから導出される教訓を、緊急事態対応力向上施策に反映させることを目指し、TV 会議録から RE のコア 4能力やワークロードの構成要素に整理したデータベースを作成した。
- 2. 方法 具体的な緊急時対応力が求められた事象である 3 号機の原子炉への注水回復を研究対象とし、3 月 13 日 2:42 の 高圧注水系 (HPCI) の停止から、原子炉への注水を暫定的に回復することに成功した同日 13:12 までを含む、13 日 0 時から、13 日 14 時までを分析対象とした。尚、本研究では、発話の内容を重視しており複数の内容が含まれている発話については内容ごとに分割する一方で、単純な応答だけの発話は排除したうえで、データをまとめている。

【カテゴリ整理】

組織,発電所対策本部の活動の分類,号機別により、13のカテゴリに整理した

組織:本研究では、事故対応の能力発揮の主体を組織で整理することから、TV 会議録のカテゴリも発言者ではなく、 組織単位での整理とした。組織は、テレビ会議システムの繋がっていた発電所対策本部、本店、オフサイトセンター・ 他発電所、直接 TV 会議はつながってないが、間接的に TV 会議録に頻繁に登場していた官邸・保安院の計4つとした。 発電所対策本部の活動の整理:組織のひとつである発電所対策本部の活動(能力を発揮すべき対象)は、1Fの原子力事 業者防災計画の要求事項に基づいていたことから、対象時間帯開始時に実施していた要求事項に従い、①応急措置、② 対外的な情報発信に係る対応、③資機材の調達に係る対応(号機ごとの調達を除く)、④放射能影響範囲の推定及び防 護措置及び線量評価に係る対応、⑤前述①~④を除くサイト内の対応(医療活動等)とした。

号機別の整理:発電所対策本部の活動の整理の①応急措置は、1-6の各号機別とした。

【RE のコア4能力およびワークロードの構成要素に基づく分類】

カテゴリ整理したものを、現場でどのような RE のコア 4 能力(Anticipating, Learning, Monitoring, Responding)の発揮があったのかを明らかにするために、コア 4 能力に分類した。また、現地対策本部のワークロードマネジメントを明らかにするために、ワークロードの構成要素(優先順位付け、業務配分、ストレス管理)にも分類した。

【定量化データベース】

RE のコア 4 能力およびワークロードの構成要素に基づいて分類した発話を 1 つの単位(カウント数) とし、各時間帯の総量を出した。

3. まとめ 時間経過とともに把握できる TV 会議録から, 発電所緊急対策本部を中心とした事故対応に関係した組織の 状況を RE のコア 4 能力やワークロードの構成要素に整理したデータベースの作成を試みた。本研究で作成を試みたデータベースは、コア 4 能力およびワークロードの構成要素の時間推移等に関する研究に有効である。今後、IF 事故の 貴重な一次資料に基づき作成した本データベースの適用範囲や適用限界について、さらに検討を進め、活用を図りたい。

参考文献 [1] 福島原発事故記録チーム:福島原発事故 東電テレビ会議49時間の記録, pp.7-104, 2013

^{*} Kyoko Oba 1, Atsufumi Yoshizawa 2 and Masaharu Kitamura 3

¹ Japan Atomic Energy Agency, ² Nagaoka University of Technology, ³ Research Institute for Technology Management Strategy

プラント運転の基本操作習得への訓練方法に関する一考察

A consideration of training methods to acquire the basic abilities of plant operations

*五福 明夫 1, 山岡 晟造 1,

1 岡山大学

新人運転員に規定通りの作業を定着させる方法として、チェックリスト添付型トレーニングマニュアルの効果を実験室スケールの模擬プラントを用いて実験的に検討した。その結果、チェックリストによる学習効果は見られないことが示唆されたが、著者らの先行研究での結果との比較により、基本操作の習得には操作ミスの指摘が効果的であると考察された。

キーワード:プラント運転、トレーニングマニュアル、新人運転員、操作ミスの指摘

1. **緒言** 近年,原子カプラントの運転においては,長期間の運転停止による運転経験の蓄積が困難となっているために,運転員の運転スキルの低下が懸念されている。また,発生確率の低いレアイベントへの対応能力の育成も必要となってきており,新人運転員の教育・訓練の効率化が求められている。本研究では,工業プラントの新人運転員に規定通りの作業遂行を促して定着させるために,チェックリスト添付型トレーニングマニュアルの効果の検証実験結果の検討により,基本操作習得への訓練方法を考察した。

2. チェックリスト添付型トレーニングマニュアルの効果の検討実験

- 2-1. 新人運転員の操作ミスのパターンの抽出実験 著者らは、工業プラントの運転において、新人運転員が犯し易い操作ミスを調査するために、ボイラー型の発電プラントを模擬した実験室スケールの模擬ボイラー発電プラント[1]を用いて、本文と備考欄から成る操作マニュアルを使用した操作実験を行った。実験協力者には操作後の状態確認や、数値・状態などの確認作業の際の指さし呼称、操作卓操作時の着座、マニュアル通りの操作を指示した。その結果、タスクのステップを飛ばす操作ミスが最も多く、しかも付加的情報が多く記載されている備考欄のタスクステップにおいて多く発生していることが明らかとなった。2-2. チェックリスト添付型トレーニングマニュアル 新人運転員に多いタスクステップを飛ばすという操作ミスを避けるために、実施タスクステップをすべて行毎に記載し、各タスクステップの横にチェックリストを設けたトレーニングマニュアルのプロトタイプを作成した。
- 2-3. 効果の検討実験と考察 実験協力者 (合計 20 名) を、操作訓練を行う通常のマニュアルでグループ A と、チェックリスト添付型トレーニングマニュアルで行うグループ B の 2 つのグループに分け、5 回ず つ操作訓練を行った。最終的には通常マニュアルで操作を行うことを前提として基本操作の習得に効果が あるかを検討するため、グループ B は、5 回目の操作は通常のマニュアルを使用させた。操作訓練における操作ミスの傾向、操作訓練に類似したタスクの通常マニュアルによる操作や、5 回目の操作後の操作内容 理解度テストの結果から、チェックリスト添付型トレーニングマニュアルの効果は見られないことが示唆 された。しかしながら、著者らが先行研究として実施したバイオレーション要因検討実験[1]における、「各回の操作訓練終了後に操作ミスの指摘を行うかどうか」の実験条件だけが異なる協力者グループの操作ミスの傾向と比較したところ、操作ミスの指摘が基本操作の習得に効果があることが考察された。
- 3. 結論 新人運転員に対しては、チェックリストよりも操作ミスの指摘が効果的であると考察された. 謝辞 本研究の成果の一部は、科学研究費補助金(課題番号:16H03136)により得られた.

参考文献

[1] 山岡, 他, ヒューマンインタフェースシンポジウム 2016 論文集, pp. 449-454 (2016).

^{*}Akio Gofuku¹, Seizo Yamaoka¹

¹Okayama Univ.

Oral presentation | II. Radiation, Accelerator, Beam and Medical Technologies | 203-1 Accelerator and Beam Acceleration Technology

[1L07-09] Beam Diagnostics and Accelerator Technology

Chair: Takafumi Kondoh (Osaka Univ.)

Wed. Sep 5, 2018 2:45 PM - 3:35 PM Room L (D12 -D Building)

[1L07] Energy measurement of coherent transition radiation

*Koichi Kan¹, Jinfeng Yang¹, Masao Gohdo¹, Takafumi Kondoh¹, Yoichi Yoshida¹ (1. ISIR, Osaka Univ.)

2:45 PM - 3:00 PM

[1L08] Progress on Ultrasensitive Detection Techniques for Hard-to-measure Nuclide ⁴¹Ca with the 6 MV Tandem Accelerator Mass Spectrometry System

*Kimikazu Sasa¹, Seiji Hosoya², Tsutomu Takahashi¹, Kenta Takano¹, Yuta Ochiai¹, Yasuji Oura³, Keisuke Sueki¹ (1. Univ. Tsukuba, 2. QST, 3. Tokyo Metropolitan Univ.) 3:00 PM - 3:15 PM

[1L09] Progress report of a negative ion generation technique in a compact ion microbeam system

*Takeru Ohkubo¹, Yasuyuki Ishii¹ (1. QST) 3:15 PM - 3:30 PM

コヒーレント遷移放射のエネルギー測定

Energy measurement of coherent transition radiation
*菅 晃一,楊 金峰,神戸 正雄,近藤 孝文,吉田 陽一
阪大産研

本研究では、予め、マイケルソン干渉計によりフィラメント(熱型)光源をマイケルソン干渉計で測定する ことにより、コヒーレント遷移放射により得られるテラヘルツ光のスペクトル・エネルギー測定の可能性に ついて報告する。

キーワード:電子ビーム,コヒーレント遷移放射,テラヘルツパルス

1. 緒言

阪大産研では、レーザーフォトカソード RF 電子銃ライナックを導入し、高時間分解能パルスラジオリシスの開発を行っている。これまでに、マイケルソン干渉計を用いて、検出部に液体へリウム冷却ボロメーターと液体窒素冷却 MCT(mercury cadmium telluride)検出器を備えることにより測定帯域を拡張し、フェムト秒電子ビーム診断を行ってきた[1]。しかし、これまでの電子ビーム診断では、コヒーレント遷移放射(CTR、coherent transition radiation)によるテラヘルツ波の周波数領域は考慮しているが、強度(検出器毎の出力電圧、パルスあたりのエネルギー)は考慮されていなかった。

そこで、本研究では、予め、マイケルソン干渉計によりフィラメントによる熱型赤外光源をマイケルソン 干渉計で測定することにより、コヒーレント遷移放射により得られるテラヘルツ光のスペクトル・エネルギー測定の可能性について報告する。

2. 熱型赤外光源・コヒーレント遷移放射の測定

干渉計の感度(検出する光エネルギーあたりの出力電圧)を算出するために、光チョッパーにより変調された熱型赤外光源(IRS, IRS-001C, IR System Co.)の測定を行った。干渉計内で、入射電磁波はビームスプリッタにより分岐され、片方は移動鏡、もう片方は固定鏡により反射され、赤外線検出部で合流した。赤外検出器には、液体ヘリウム冷却 Si ボロメータ(Infrared Laboratories Inc.)を用いた。ビームスプリッタは、反射・透過率が検出効率に影響するため、遠赤外~中赤外領域において比較的高い反射・透過率を有する高抵抗 Si 基板を用いた。測定では、移動鏡の距離を変化させインターフェログラムの計測を行った。さらに、インターフェログラムのフーリエ変換により周波数スペクトルを解析した。一方、電子ビーム計測では、電子ビームが平面鏡の境界条件で発生する CTR を本干渉計により測定した。当日は、光源毎(熱型赤外光源、CTR)の比較、CTR については先行研究[2]との比較・電子ビーム発生条件によるテラヘルツスペクトルの違いについて報告する。

参考文献

- [1] I. Nozawa et al., Phys. Rev. ST Accel. Beams 17, 072803 (2014).
- [2] Y. Shibata et al., Phys. Rev. E 49, 785 (1994); T. Takahashi et al., Phys. Rev. E 50, 4041 (1994).

*Koichi Kan, Jinfeng Yang, Masao Gohdo, Takafumi Kondoh and Yoichi Yoshida ISIR, Osaka Univ.

6 MV タンデム加速器質量分析装置における難測定核種 ⁴¹Ca の 高感度検出技術の進展

Progress on Ultrasensitive Detection Techniques for Hard-to-measure Nuclide ⁴¹Ca with the 6 MV Tandem Accelerator Mass Spectrometry System

*笹 公和¹, 細谷 青児^{1,2}, 高橋 努¹, 高野 健太¹, 落合 悠太¹, 大浦 泰嗣³, 末木 啓介¹
「筑波大学, ²量研機構, ³首都大学東京

筑波大学 6 MV タンデム加速器質量分析装置を用いて,難測定核種 41 Ca の高感度検出手法の開発を進めている。加速電圧 6.0 MV で 41 Ca $^{5+}$ を 32.5 MeV まで加速して,5 枚電極型ガス電離箱で検出することにより, 41 Ca 同位体比の検出下限として 41 Ca/Ca \sim 3 \times 10 $^{-15}$ を達成した。

Keywords: 41Ca, Accelerator Mass Spectrometry (AMS), 6 MV tandem accelerator

1. 緒言

長半減期放射性核種であるカルシウム 41 (41 Ca: $T_{1/2} = 1.04 \times 10^{5}$ yr)は,宇宙線との相互作用における 40 Ca(n, γ) 41 Ca 反応などにより天然に逐次生成されている。自然界同位体比は 41 Ca/Ca $\sim 10^{-14}$ 程度であり,通常の質量分析法では同重体の 41 K が妨害となり検出することが困難な核種である。しかし, 41 Ca は宇宙線照射による年代測定研究に応用することができ,また,人為起源による放射性廃棄物のクリアランス評価対象核種でもある。そのため, 41 Ca の高感度検出手法の開発が必要となっている。本研究では,6 MV タンデム加速器質量分析装置[11]における従来の検出手法の改善をおこない, 41 Ca の検出性能の向上を図った。

2. 実験方法

⁴¹Ca の加速器質量分析(Accelerator Mass Spectrometry: AMS)では、 CaF_2 試料から負分子イオン ⁴¹Ca F_3 -を引き出している。また、加速器ターミナルでの炭素薄膜($4.8~\mu g/cm^2$)により荷電変換をおこない、加速をおこなっている。本研究では、加速電圧 6.0~MV により ⁴¹Ca を高エネルギーに加速して、検出器により ⁴¹Ca の直接検出をおこなった。検出器は、5~ 枚電極型ガス電離箱において、75~nm 厚の Si_3N_4 膜を入射窓に用いてイソブタンガスを封入している。これまでは、44.5~MeV の ⁴¹Ca $^{7+}$ を検出しており、 41 Ca の検出限界として 41 Ca $^{7+}$ Ce では、 41 Ca $^{7+}$ Ce では、 41 Ca $^{7+}$ Ce では、 41 Ca の検出限界として 41 Ca $^{7+}$ Ce では、 41 Ce では

3. 結論

 $6\,\mathrm{MV}$ タンデム加速器質量分析装置における $^{41}\mathrm{Ca}$ 検出手法の改善により、 $^{41}\mathrm{Ca}$ の検出限界として $^{41}\mathrm{Ca}/\mathrm{Ca}$ $\sim 3 \times 10^{-15}$ を得た。また、 $^{41}\mathrm{Ca}$ の測定精度は、 $^{41}\mathrm{Ca}$ 同位体比 9.76×10^{-12} の標準試料に対して約 3%となっている。本研究成果により、国内で初めて難測定核種 $^{41}\mathrm{Ca}$ の高感度直接検出を実現した。現在は、隕石の分析や地形形成における表面照射年代測定などに利用されている。

参考文献

- [1] K. Sasa et al., Nucl. Instrum. Methods Phys. Res. B 361 (2015) 124-128.
- [2] 細谷青児 他, 日本原子力学会 2016 年秋の大会.

*Kimikazu Sasa¹, Seiji Hosoya^{1,2}, Tsutomu Takahashi¹, Kenta Takano¹, Yuta Ochiai¹, Yasuji Oura³, Keisuke Sueki¹

¹Univ. Tsukuba, ²QST, ³Tokyo Metropolitan Univ.

小型イオンマイクロビーム装置における負イオン発生技術の現状報告

Progress report of a negative ion generation technique in a compact ion microbeam system

*大久保 猛1, 石井 保行1

1量子科学技術研究開発機構

イオンビームを数百 keV に加速しながら 1 μm 径に集束する小型イオンマイクロビーム装置で、ビーム 径の縮小化を目的として水素負イオンマイクロビーム形成を試みた結果、ガスイオン源と直結しているビーム引出部分の低真空によりビームの大半が散乱、中性化されてしまうことが示唆されたことから、真空 度を改善して負イオンビーム発生実験を行った。

キーワード:マイクロビーム,加速レンズ,小型,PBW,PIXE

小型イオンマイクロビーム装置は、一般的な大きさの実験室や工場内に設置して 1 μm 程度の空間分解能でのプロトンビーム描画(PBW)や微量元素分布分析(PIXE)を手軽に行うことを目的として開発されている。これまでに、図 1 に示す最大 300 keV のプロトタイプ装置を開発し、1.8 μm 径の 120 keV 水素正イオンマイクロビームを形成した[1]。 さらなるビーム径の縮小化には、ビーム集束の妨げとなる色収差の低減、即ちイオンビームのエネルギー幅を小さくすることが解決策の一つである。負イオンビームは、その発生機

構から正イオンに比べてイオン温度が低くエネルギー 幅が狭いため、現在より色収差の低減が可能である。

本研究では、プロトタイプ装置のデュオプラズマト ロン型ガスイオン源を使った水素負イオンマイクロビ ーム形成の第一段階として、電子・イオン混合のマイ クロビーム形成を試みた。しかし実験の結果、集束点 で測定したビームの電流値は、イオン源から引き出さ れたビームの電流値から想定される値に比べて 1000 分の1程度と微小であった。原因を精査した結果、本 装置では 300 eV 程度の低エネルギーでガスイオン源 からビームを引き出す必要があるため、ガスイオン源 と直結している比較的低真空の引出部分で多くの電子 や負イオンが残留ガスとの衝突により散乱、あるいは 中性化し、大半のビームが集束レンズを通過していな いことが示唆された。そこで、引出電極のビーム進行 軸から十分に遠い箇所にガス抜き用の穴を複数開けて 真空度を改善し、負イオンビーム発生実験を行った。 詳細は講演で発表する。

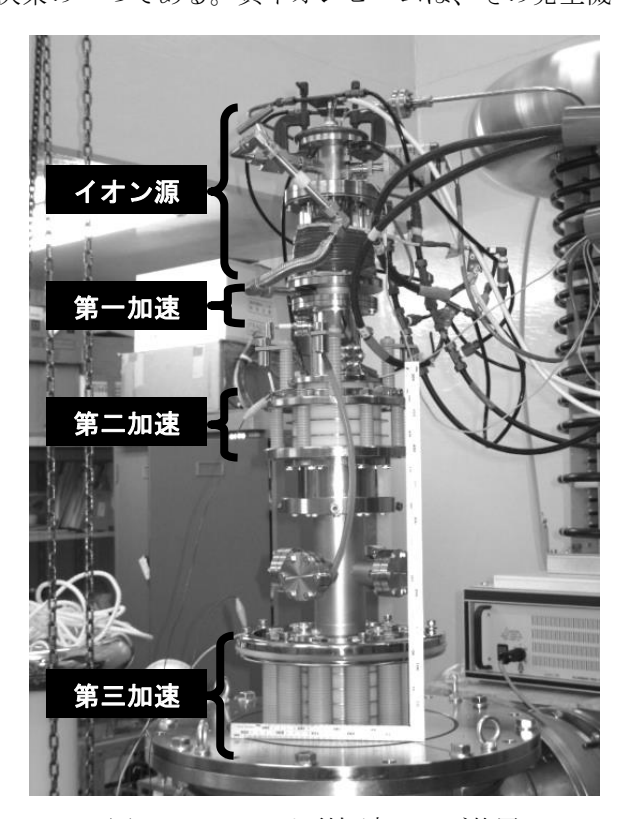


図1:300 kV 小型加速レンズ装置

参考文献

[1] T. Ohkubo and Y. Ishii, Physics Procedia, 90, 79-84 (2017).

^{*}Takeru Ohkubo1 and Yasuyuki Ishii1

¹National Institutes for Quantum and Radiological Science and Technology (QST)

Oral presentation | II. Radiation, Accelerator, Beam and Medical Technologies | 203-3 Application of Beams, Target

[1L10-14] Radiation Chemistry, Biology and Gamma-ray Application

Chair:Koichi Kan(Osaka Univ.)

Wed. Sep 5, 2018 3:35 PM - 5:00 PM Room L (D12 -D Building)

[1L10] Delbruck scattering by laser Compton scatternig gamma-rays

*Takehito Hayakawa¹, James Kevin Koga¹, Toshiyuki Shizuma¹, Zen Heishun², Toshiteru Kii², Hideaki Ohgaki², Masaki Fujimoto³, Masahiro Kato³ (1. QST, 2. Kyoto Univ., 3. IMS) 3:35 PM - 3:50 PM

[1L11] Upgrade Plan of CT Isotope Imaging by LCS-NRF in UVSOR

*Hideaki Ohgaki Ohgaki¹, Heishun Zen¹, Hani Negm^{5,1}, Toshiteru Kii¹, Takehito Hayakawa², Toshiyuki Shizuma², Masahiro Kato³, Masaki Fujimoto³, Hiroyuki Toyokawa⁴, Yoshitaka Taira⁴ (1. Institute of Advanced Energy, 2. National Institutes for Quantum and Radiological Science and Technology, 3. Institute for Molecular Science, 4. National Institute of Advanced Industrial Science and Technology, 5. Assuit University)

3:50 PM - 4:05 PM

[1L12] Influence of secondary electrons on dissociation of biomolecules in liquids by fast heavy-ion collisions

*Hidetsugu Tsuchida¹, Kensei Kitagima¹, Shinji Nomura¹, Akihiro Kajiwara¹, Takuya Majima¹, Manabu Saito¹ (1. Kyoto Univ.)

4:05 PM - 4:20 PM

[1L13] Study on primary process of radiation-induced chemical reaction of metal resist ligands

*Teppei Yamada¹, Satoshi Ishihara¹, Hiroki Yamamoto², Yusa Muroya¹, Yoshitaka Komuro³, Daisuke Kawana³, Akiyoshi Yamazaki³, Takahiro Kozawa¹ (1. ISIR. Osaka Univ, 2. QST, 3. Tokyo Ohka Kogyo)

4:20 PM - 4:35 PM

[1L14] Study of early stage of radiation chmistry in alkane by pulseradiolysis and probe molecule.

*Takafumi Kondoh Kondoh¹, Masao Gohdo¹, Kimihiro Norizawa¹, Koichi Kan¹, Jinfeng Yang¹, Seiichi Tagawa¹, Yoichi Yoshida¹ (1. ISIR, Osaka University)
4:35 PM - 4:50 PM

レーザーコンプトン散乱ガンマ線によるデルブリュック散乱

Delbruck scattering by laser Compton scattering gamma-rays

*早川 岳人¹, James K. Koga¹, 静間 敏行¹, 全 炳俊², 紀伊 俊輝², 大垣 英明², 藤本 将輝³, 加藤 政博³

¹量研, ²京大工ネ研, ³分子研

最近、直線偏光ガンマ線を用いることで、デルブリュック散乱の振幅を選択的に測定可能なことが理論的に指摘されている。その実証のために、UVSOR-III 放射光施設において、最大エネルギー約 1MeeV のレーザーコンプトン散乱ガンマ線の生成を行った。

キーワード: QED, デルブリュック散乱, レーザーコンプトン散乱ガンマ,

1. 緒言

これまで、デルブリュック散乱の振幅を選択的に計測する手段がなかったが、最近の理論研究によって直線偏光ガンマ線で選択的に計測できる条件が発見された。そこで、原理実証を行うために、分子研のUVSOR-III 放射光施設で炭酸ガスレーザーを導入してレーザーコンプトン散乱ガンマ線の開発をすすめ、最大エネルギーが約 1MeV の LCS ガンマ線を生成した。

2.研究方法

古典電磁気学にはない量子電磁力学(QED)固有の現象の検証のため、デルブリュック散乱の反応断面積の計測が行われてきた。この研究には大強度の単色ガンマ線が必要であり、従来は原子炉で製造した高レベルの放射性同位体のガンマ線、中性子捕獲反応ガンマ線が入射ビームとして用いられてきた。しかし、ガンマ線の弾性散乱として、デルブリュック散乱以外にも、レーリー散乱、原子核トムソン散乱、原子核巨大共鳴などがあり、実験的に計測できる反応断面積はこれらの振幅の和の2乗に比例する物理量であった。そのため、振幅の符号が確かでないため、デルブリュック散乱の振幅のみを計測することができなかった。2017 年、J.K.Koga と T.Hayakawa[1]は、直線偏光したガンマ線を入射ビームとして用いた場合には、選択的にデルブリュック散乱の振幅を計測できる条件を発見した。その原理実証のため、電子エネルギーが750MeV の UVSOR-III 電子蓄積リングに、約 $10\,\mu$ m の波長の炭酸ガスレーザーを導入して、レーザーコンプトン散乱ガンマ線を生成した。ガンマ線のエネルギーを臭化ランタンシンチレーション検出器で計測して、最大エネルギーを評価した。

3. 結論

生成した LCS ガンマ線の最大エネルギーは期待した通りに最大エネルギーは約1 MeV であった。デルブリュック散乱には、リアルに対生成を経由する過程と量子力学の不確定性関係で許される仮想的な過程がある。本研究によって、仮想的なデルブリュック散乱の測定が本手法で可能なことが判明した。

参考文献

[1] J.K. Koga and T. Hayakawa, Phys. Rev. Lett. 118, 204801 (2017)

^{*} Takehito Hayakawa¹, James K. Koga¹, Toshiyuki Shizuma¹, Heishun Zen², Toshiteru Kii², Hideaki Ohgaki², Masaki Fujimoto³ Masahiro Katoh³

¹QST, ²IAE, Kyoto Univ., ³IMS

UVSOR における LCS-NRF による同位体 CT 測定システムのアップグレード計画

Upgrade Plan of CT Isotope Imaging by LCS-NRF in UVSOR

*大垣 英明¹,全 炳俊¹,ネグム ハニ^{1,5},紀井 俊輝¹,早川 岳人², 静間 俊行²,加藤 政博³,藤本 将輝³,豊川 弘之⁴,平 義隆⁴, ¹京大エネ研,²量研機構,³分子研,⁴産総研,⁵アシュート大学

UVSOR のレーザーコンプトンガンマ線(LCS γ 線)を用いて、同位体 CT に関する研究を行ってきた。鉛、 鉄、アルミニウムからなる小型ファントムに対して、CT 画像の取得に成功し、現在行っている、鉛同位体 を用いた実験のための LCS ビームのアップグレードと、GEANT4 による測定系の最適化を報告する。

キーワード:同位体イメージング,核共鳴蛍光散乱(NRF),同位体CT

1. 緒言

同位体 CT 画像は核物質管理等に関し有効と考えられており、我々のグループでは、LCS γ 線と光核共鳴散乱 (NRF) 法を用いた手法を提案し、実証実験を行ってきている [1]。最近では放射光施設 UVSOR において、LCS γ 線ビームラインを新たに立ち上げ、同位体 CT 像の取得のための基礎的な研究を進めている。

2. UVSOR での LCS γ線ビームラインと同位体 CT 実験

NRF の反応断面積は μ b のオーダーであり、特に同位体イメージングの実用化には、強力な LCS γ 線源 開発が必須である。現在、最も強力な LCS γ 線施設は米国 Duke 大学の HIGS 施設であるが、現在ルーマニアでは ELI-NP の建設が進んでおり、 10^9 ph/s/keV の LCS γ 線がユーザー提供可能と見込まれている。我々は NRF を用いた同位体 CT イメージング研究のために、UVSOR にて LCS γ 線のビームラインの開発と、同位体 CT の基礎的研究を 2014 年度より開始している。これまで LCS ビームラインとして、5 W のファイ

バーレーザーを導入し、LCS γ 線発生とその特性評価を行った結果、5.4 MeV の LCS γ 線を得ている。更に鉛、鉄、アルミニウムロッドを埋め込んだ小型ファントム(40mm ϕ)に照射して、同位体分布の CT 画像取得実験を行った。 208 Pb を含むファントムを透過した LCS γ 線を同じく 208 Pb を含む天然鉛(ウィットネスターゲット)に導き、 208 Pb の NRF γ 線(5.2MeV)を 2 台の大型 Ge 検出器を用いて測定した。結果を図に示す。

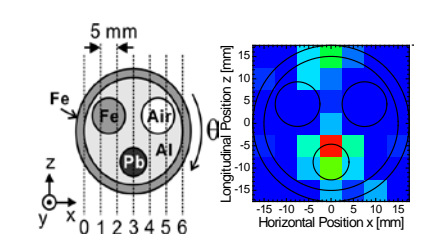


図: CT ターゲット(左)と同位体 CT 像(右)

3. アップグレード計画

図より分かるように、識別はされているもの、NRF 収量(γ 線フラックスと測定時間の関係)から、解像度が低い。そこで、レーザーの出力の増大(50W)と波長の最適化を行い、NRF 収量の増加を目指す。また、ターゲットには濃縮 208 Pb と 206 Pb を用いて、同位体識別のより本格的な実験を行う。一方、実験を再現するシミュレーション計算も GEANT4 を用いて行っており、実験配置の最適化を検討している。

参考文献

[1] H. Ohgaki et al., IPAC2016, TUPOY046.

^{*} Hideaki Ohgaki¹, Heishun Zen¹, Negm Hani^{1,5}, Toshiteru Kii¹, Takehito Hayakawa², Toshiyuki Shizuma², Masahiro Katoh³, Masaki Fujimoto³, Hiroyuki Toyokawa⁴, Yoshitaka Taira⁴

¹IAE, Kyoto Univ., ²QST, ³IMS, ⁴AIST, ⁵Assuit Univ.

高速重イオン衝突による液体内生体分子の分解における二次電子の影響

Influence of secondary electrons on dissociation of biomolecules in liquids by fast heavy-ion collisions

*土田 秀次, 北島 謙生, 野村 真史, 梶原 章弘, 間嶋 拓也, 斉藤 学
京都大学大学院工学研究

放射線の生体への影響において、生体物質の大部分を占める水分子からの放射線反応物が重要な役割を果たしている。本研究では、高速重イオンによる DNA 損傷について、水分子の電離に伴う二次電子が生体分子損傷に与える影響を考察した。二次電子の発生は LET (線エネルギー付与) に起因し、二次電子の量やエネルギー分布等は LET に相関していることが知られている。本研究の実験では、真空内で生体分子水溶液のマイクロジェットや液滴標的に高速イオンを照射し、反応生成物を飛行時間型二次イオン質量分析した。反応生成物の中で、生体分子損傷に起因する生成物の収量の LET (線エネルギー付与) 依存性を調べた。

キーワード:生体分子,放射線損傷,液体,二次電子,高速重イオン

1. 緒言

生体の放射線作用において、生体物質の媒体となる水分子は、二次電子やラジカルの発生源となり、様々な過程により生体分子の損傷を引き起こす。本研究では、粒子線がん治療に関連する基礎研究として、液体内の生体分子損傷を調べた。高速イオンが生体物質の大部分を占める液体の媒質を通過すると、イオンの飛跡に二次電子が発生する。この二次電子が生体分子に衝突することで引き起こす損傷について、水に対するLETと生体分子損傷度合いの相関を調べた。

2. 実験

標的は、真空内液体分子線および液滴法により作製したアミノ酸(グリシン、プロリン)水溶液である。 この標的に、0.8~6.5 MeV の C イオンを照射する。照射によって液体から放出される二次イオンを、飛行 時間型質量分析によって測定する。生体分子からの分解片イオンの収量の入射イオン依存性を調べること で、LET 依存性を得る。LET の評価には、SRIM コードを用いた。

3. 結論

用いたアミノ酸分子の照射損傷において、分子の $C-C\alpha$ 結合の切断が支配的に生じる。また、複数の結合が切断され、分子の多重分解も生じる。これらの切断に起因する反応生成物の収量を、液体の水に対する LET およびアミノ酸分子に対する LET の依存性を見ると、水に対する LET 依存性と相関があることが分かった。この結果は、LET が媒質から発生する二次電子に関連していることを考慮すると、本研究で注目した $C-C\alpha$ 結合の切断が、水分子から発生した二次電子によって引き起こされると考えられる。

参考文献

[1] S. Nomura et al., J. Chem. Phys. 147, 225103 (2017).

*Hidetsugu Tsuchida, Kensei Kitajima, Shinji Nomura, Akihiro Kajiwara, Takuya Majima and Manabu Saito Kyoto Univ.

メタルレジスト配位子の放射線化学反応機構の解明

The elucidation of radiation-chemical reaction mechanism on ligands of metal resists

*山田 徹平¹, 石原 智志¹, 山本 洋揮², 室屋 裕佐¹ 小室 嘉崇³, 川名 大助³, 山﨑 晃義³, 古澤 孝弘¹ 1. 阪大産研、2. 量研機構、3. 東京応化

高感度かつ耐エッチング性の高いメタルレジストは次世代フォトレジストとして注目されているが、そのビーム誘起反応のメカニズムについては未だによくわかっていない。そこで本研究では、パルスラジオリシス法とガンマラジオリシス法を用いてその反応メカニズムを調べた。

キーワード:パルスラジオリシス,ガンマラジオリシス,次世代レジスト,配位子

1. 緒言

金属ナノ粒子を用いたメタルレジストは露光感度の高さと耐エッチング性から次世代レジスト材料の一つとして注目されている。ナノ粒子の配位子がメタルレジストの性能に影響を与えるという報告がなされており「LLL、金属コア・配位子界面の量子ビーム誘起反応を把握・制御することが重要である。しかし、その反応メカニズムは未だによくわかっていない。本研究では、配位子として用いられている様々なカルボン酸の量子ビーム誘起反応を、ナノ秒パルスラジオリシス法を用いて調べた。

2. 方法

カルボン酸には安息香酸(BA), o-トルイル酸(o-TA), p-トルイル酸(p-TA)を用いた。これらのカルボン酸とラジカルカチオンとの反応性を調べるために溶媒にはドデカンを用いた。また、ラジカルアニオンを除去するために 0.5 M ジクロロメタン(DCM)を用いた。全てのサンプルについて、Ar バブリングを行うことによって酸素を除去した。

3. 結果および考察

カチオンとの反応性について、ドデカンのラジカルカチオンの吸収帯(800 nm 近傍)のタイムプロファイルを測定すると、全ての芳香族カルボン酸にて吸光ピークの減少が見られた一方で、その減少には差が見られた。このことから、芳香族カルボン酸の置換基の種類、または位置によって、ラジカルカチオンに対する反応性が変化していることが示唆された。



[1] Christopher K. Ober et al, J. Photopolym. Sci. Technol, 28,4, 515-518 (2015)

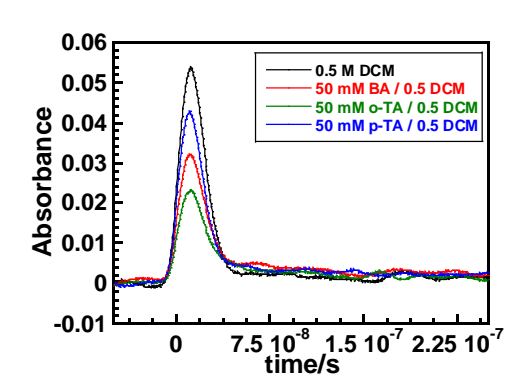
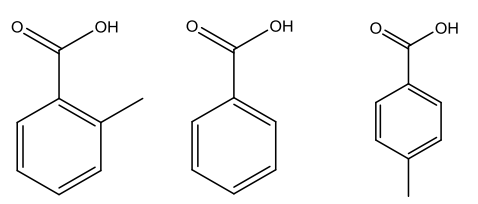


図1:ラジカルカチオンのタイムプロファイル (2=800 nm)



o-toluic acid Benzoic acid p-toluic acid

謝辞:本研究は阪大産研量子ビーム研究施設及び東京大学原子力専攻ライナック施設 の共同利用の一環として実施した

*Teppei Yamada¹, Satoshi Ishihara¹, Hiroki Yamamoto², Yusa Muroya¹, Yoshitaka Komuro³, Daisuke Kawana³,

Akiyoshi Yamazaki³, Takahiro Kozawa¹

¹ISIR. Osaka Univ, ²QST, ³Tokyo Ohka Kogyo

パルスラジオリシスとプローブ分子を用いた放射線化学初期過程の研究

Study of early stage of radiation chmistry in alkane by pulseradiolysis and probe molecule *近藤 孝文¹,神戸 正雄¹,法澤公寬¹,菅 晃一¹,楊 金峰¹,田川 精一¹、吉田 陽一¹ 「阪大産研

電子線照射によるアルカン中のイオン化収量を求めるために、種々の捕捉剤をプローブ分子として導入 し溶液をフェムト秒パルスラジオリシス測定した。アルカンラジカルカチオンはプローブ分子ラジカルカ チオンに、電子はプローブ分子ラジカルアニオンへと転換していく。そのダイナミクスのモンテカルロシ ミュレーションを行って、特定波長における、電荷移動ダイナミクスとモル吸光係数比を求め、シミュレ ーションとの比較により、初期イオン化 G 値を推定する。

キーワード:放射線化学、パルスラジオリシス、アルカン

1. 緒言

ドデカンは、使用済み核燃料再処理の抽出剤溶媒として用いられており、放射線照射効果および放射線分解の観点から、放射線化学過程を解明することが重要である。ドデカンに放射線が照射されると、イオン化により電子とラジカルカチオンが生成する。ドデカンは比誘電率が小さく、クーロン相互作用が比較的遠距離まで到達するので、これらはクーロン引力場中で拡散運動してジェミネートイオン再結合する。溶質がある場合、電子とラジカルカチオンは、それぞれ溶質ラジカルアニオン、溶質ラジカルカチオンを生成する。パルスラジオリシス法は、パルス放射線を試料に照射して活性種を生成し、これら各種活性種の濃度変化を時々刻々と測定する手法である。ドデカンは放射線場で用いられる重要な溶媒にも関わらず、初期イオン化収量(Gii 値)が決定されていない。本研究では、プローブ分子を含んだ溶液のフェムト秒パルスラジオリシシスとモンテカルロシミュレーションから、ドデカンの初期イオン化 G 値を求める。

2. 実験手法

フェムト秒パルスラジオリシス実験は、典型的には 0.4 nC, 500 fs, 35 MeV のパルス電子線を試料に照射し、フェムト秒レーザー光を波長変換して時間遅延路を経て分析光パルスとして試料を透過し、バンドパスフィルターで分光し、可視域は Si-アバランシェフォトダイオード (APD)、 近赤外域は InGaAs-APD により検出して吸光度を計算した。試料は、ドデカンを溶媒としたビフェニル他各種溶液を調整し、石英セル中で Ar バブリングで脱酸素した。ジェミネートイオン再結合や溶質への電荷移動には、モンテカルロシミュレーションを用いた。密度、誘電率、拡散速度定数、熱化分布距離、関数等は既報値を用いた。

3. 結果と考察

ビフェニル-ドデカン溶液のフェムト秒パルスラジオリシスの測定結果と、励起ラジカルカチオンを考慮したモンテカルロシミュレーションにより、800 nm におけるドデカンラジカルカチオンとビフェニルラジカルカチオンのモル吸光係数比 $\epsilon_{RH+}/$ $\epsilon_{\phi,+}$ =4 を得た。その他既報のモル吸光係数値とビフェニルラジカルカチオンスペクトルから 800nm でのドデカンラジカルカチオンのモル吸光係数を 13950 M-1 cm-1 と求めた。ラジカルカチオンの前駆体として励起ラジカルカチオンを考慮した場合のモンテカルロシミュレーションと比較することにより、ドデカンの初期イオン化 G 値(Gii)を 4.7(/100 eV)と推定した。しかしながら使用したビフェニルラジカルカチオンのスペクトルは、77K における s-BuCl のものであったので、今回より精度を高めるべく、室温でのジクロロメタン溶液中でのビフェニルラジカルカチオンのスペクトル、ドデカン中のビフェニルラジカルカチオンのスペクトルを測定した。その結果スペクトル形状が大きく事なることとなり、モル吸光係数ひいてはイオン化 G 値を再検討する。

*Takafumi Kondoh¹, Masao Gohdo¹, Kimihiro Norizawa¹, Kan Koichi¹, Jinfeng Yang¹ Seiichi Tagawa¹ and Yoichi Yoshida¹ ISIR, Osaka Univ.

Oral presentation | III. Fission Energy Engineering | 301-1 Reactor Physics, Utilization of Nuclear Data, Criticality Safety

[1M01-04] Uncertainty Evaluation 1

Chair: Tomohiro Endo (Nagoya Univ.)

Wed. Sep 5, 2018 10:00 AM - 11:10 AM Room M (E11 -E Building)

- [1M01] Study on uncertainty propagation due to nuclear analysis codes on statistical safety evaluation method
 - *Teppei Yamana¹, Hirohisa Kaneko¹, Yuji Honma¹, Kenichi Harada², Kohei Mochizuki³, rui kagiyama³, Takeshi Yamada³ (1. GNF-J, 2. Chubu Electric Power Co., Inc, 3. Hitachi GE) 10:00 AM 10:15 AM
- [1M02] Study on uncertainty propagation due to nuclear analysis codes on statistical safety evaluation method
 - *Kohei Mochizuki¹, Rui Kagiyama¹, Takeshi Yamada¹, Teppei Yamana², Yuji Honma², Hirohisa Kaneko², Kenichi Harada³ (1. Hitachi-GE, 2. GNF-J, 3. CHUBU Electric Power) 10:15 AM - 10:30 AM
- [1M03] Proposal of efficient MCCV method using sensitivity evaluation result *Shunsuke NIHIRA¹, Go Chiba¹ (1. Hokkaido Univ)
 10:30 AM 10:45 AM
- [1M04] Investigation of uncertainty evaluation methodology for spent fuel pit due to nuclear data and manufacturing tolerances based on statistical approach
 - *Tetsuya Sugimura¹, Kazuki Kirimura¹, Hiroki Koike¹, Daisuke Sato¹, Toshikazu Takeda² (1. MHI, 2. Fukui Univ.)

10:45 AM - 11:00 AM

統計的安全評価手法における核計算コードに起因する不確かさ伝播に関する検討 (5) プラントデータ不確かさの静特性解析への影響

Study on uncertainty propagation due to nuclear analysis codes on statistical safety evaluation method

(5) Influence of plant data uncertainty to static analysis

*山名 哲平¹, 金子 浩久¹, 本間 雄滋¹, 原田 健一², 望月 康平³, 鍵山 留衣³, 山田 雄士³

¹GNF-J, ²中部電力, ³日立 GE

BWR 電力共同研究として,統計的安全評価手法における核計算コードに起因する不確かさ伝播に関する検討を実施している。2017 春の年会で,(1)全体計画,(2)共分散核データの静特性解析への影響,(3)共分散核データの過渡解析への影響,(4)製造公差の静特性解析及び過渡解析への影響について報告した。今回はプラントデータ不確かさの影響について報告する。

キーワード:BWR, 統計的安全評価, 不確かさ, プラントデータ, ランダムサンプリング法, AETNA

1. **緒言** プラントの測定データの不確かさ(以降, プラントデータ不確かさと呼ぶ)によって, 出力分布や反応度特性が変わり過渡解析結果が影響を受ける。 その影響量を, 炉心計算コード AETNA¹⁾と動特性解析コード TRACG を一貫して実行するランダムサンプリング評価によって定量化した。本報では, AETNA による静特性解析について報告する。

表1. 摂動パラメータ設定

パラメータ	相対標準偏差
原子炉出力	2%
原子炉圧力	0.5%
全炉心流量	6.0%

2. プラントデータ不確かさの定量化 摂動パラメータには、SLMCPR 評価を参考にして原子炉出力・原子炉圧力・全炉心流量の3つを選定した(表1)。評価対象の炉心データは、9×9(A型)燃料が装荷された13ヶ月運転、ABWR平衡炉心を基点として、プラントデータ不確かさを考慮して10サイクル燃焼させることで作成した。定期検査ごとに測定系の校正を行うと仮定して、測定データの誤差設定はサイクル毎に独立とした。

原子炉出力・原子炉圧力・全炉心流量の摂動によって、ボイド率分布が軸方向に傾向をもって影響を受けることから(図 1)、軸方向出力分布に影響が見られた(図 2)。最も影響が大きいのは軸方向高さ 3/24 で、相対標準偏差 5%であった。反応度特性については、ボイド率分布や出力分布が影響を受けることの 2 次的な効果として、ボイド係数について相対標準偏差 1.4%の影響であった。また、熱的制限値の MCPR については標準偏差 0.05 の影響が見られたが、この影響は SLMCPR 評価にプラントデータ不確かさが含まれていることから、現行の MCPR 運転制限値に考慮されている。

静特性の評価結果と、別途求めたTRACGのパラメータ感度から、TRACG過渡解析(負荷遮断、タービンバイパス弁不作動事象)の"ΔMCPR/初期 MCPR"への影響は、標準偏差 0.005 と見積もられた。プラントデータ不確かさによる過渡解析への影響は、現行の MCPR 運転制限値に考慮されている影響量よりも小さいと見積もられた。

3. 不確かさ要因を同時に考慮した場合の影響 不確かさ要因を同時に 摂動させる場合と、個々に摂動させる場合とで、得られる不確かさ量に違いが生じることが考えられる。原子炉出力、原子炉圧力、全炉心流量、及び、前報²⁾で評価した共分散核データの計4つの不確かさ要因を用いて、 その影響を確認した。同時に摂動した不確かさと、個々に摂動した不確かさの足し合わせ結果がよく一致したことから、4つの不確かさ要因の重畳効果が想定通り小さいことを確認した(表 2)。

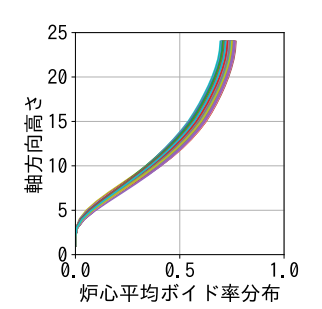


図1. 標本毎のボイド率分布

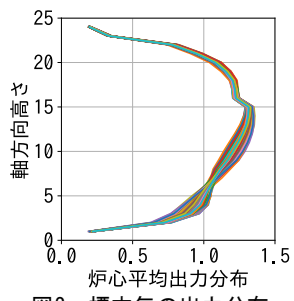


図2. 標本毎の出力分布

表2. ボイド係数への影響

相対標準偏差
0.6%
0.1%
1.3%
2.4%
2. 7%
2.8%

(*)相対標準偏差の2乗和平方根

参考文献

[1] GNF-J 炉心核熱水力特性解析システム GLR-005, [2] 山名, 他, 日本原子力学会春の年会, 3M08(2017)

*Teppei Yamana¹, Hirohisa Kaneko¹, Yuji Honma¹, Kenichi Harada², Kohei Mochizuki³, Rui Kagiyama³, Takeshi Yamada³ ¹GNF-J, ²Chubu Electric Power Co., Inc, ³HGNE

統計的安全評価手法における核計算コードに起因する不確かさ伝播に関する検討 (6) プラントデータ不確かさの動特性解析への影響

Study on uncertainty propagation due to nuclear analysis codes on statistical safety evaluation method (6) Influence of plant data uncertainty to dynamic analysis

*望月 康平1, 鍵山 留衣1, 山田 雄士1, 原田 健一2, 山名 哲平3, 金子 浩久3, 本間 雄滋3 ¹日立 GE, ²中部電力, ³ GNF-J

BWR 電力共同研究として、統計的安全評価手法における核計算コードに起因する不確かさ伝播に関する検討を 実施している。2017 春の年会で、(1)全体計画、(2)共分散核データの静特性解析への影響、(3)共分散核データの過 渡解析への影響、(4)製造公差の静特性解析及び過渡解析への影響について報告した。今回はプラントデータ不確 かさの影響について報告する。

キーワード:BWR, 統計的安全評価, 不確かさ, プラントデータ, ランダムサンプリング法, TRACG

1. 緒言

プラントの測定データの不確かさ(以降, プラントデータ不確かさと呼ぶ)によって, 出力分布や反応度特性が変わ り過渡解析結果が影響を受ける。その影響量を, 炉心計算コード AETNA¹¹と動特性解析コード TRACG を一貫して実 行するランダムサンプリング評価によって定量化した。本報では、TRACG による動特性解析について報告する。

2. プラントデータ不確かさの定量化

摂動パラメータには、SLMCPR評価を参考にして原子炉出力・原子炉圧力・全炉心流量の3つを選定した(表1)。 対象プラントは ABWR, 対象事象は発電機負荷遮断, タービンバイパス弁不作動とした。原子炉出力・原子炉圧力・

全炉心流量の摂動によって,静的な炉心特性が影響を受けることに加え,初期 ボイド率が変化し過渡変化中の印加反応度が変化することや、初期再循環ポ ンプ速度が変化しポンプトリップ時の流量低下率が変化すること等により, Δ MCPR/初期 MCPR が変化した。解析結果から、事象が厳しくなるサイクル末期 (EOC)において、 △MCPR/初期 MCPR の標準偏差は 0.008, 95%信頼水準 /95%累積確率値はノミナル値+0.013であった。

表1. 摂動パラメータ設定

パラメータ	相対標準偏差
原子炉出力	2%
原子炉圧力	0. 5%
全炉心流量	6.0%

3. 静的特性と動的特性の個別影響評価

炉心状態をノミナルで固定し、TRACG においてのみ表 1 の摂動パラメータを統計的に振ることで、静的な炉心特

性の影響を除いた場合のプラントデータ不確かさの影響を評 価した。その結果, Δ MCPR/初期 MCPR の標準偏差は 0.005, 95%信頼水準/95%累積確率値はノミナル値+0.005とな り,静的な炉心特性の影響を除いた,プラントパラメータの過 渡的な挙動の変化(動的特性)のみの影響量は大きくないこと が確認された。また、上記動的特性の Δ MCPR/初期 MCPR \sim の影響量と、本報告前段の(5)プラントデータ不確かさの静特 性解析への影響 において実施した, 静的特性のみの評価に おける影響量を足し合わせると、2.において実施した、炉心計 算と動特性解析を一貫して実行するランダムサンプリング評価 によって得られた △MCPR/初期 MCPR への影響量とよく一致 しており、静的特性と動的特性の影響を個別に評価することの 妥当性が確認された(図1)。

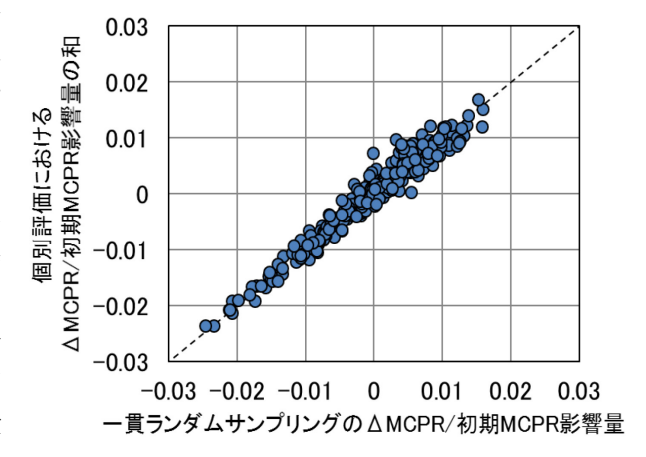


図 1. 一貫ランダムサンプリングとの比較

参考文献

[1] GNF-J 炉心核熱水力特性解析システム GLR-005

^{*}Kohei Mochizuki¹, Rui Kagiyama¹, Takeshi Yamada¹, Kenichi Harada², Teppei Yamana³, Hirohisa Kaneko³, Yuji Honma³

¹ HGNE, ²Chubu Electric Power Co., Inc. ³ GNF-I

感度係数による不確かさ評価結果を類似対称に用いた、 より効果的な MCCV 法の提案

Proposal of efficient MCCV method using sensitivity evaluation result

*二平 舜介¹, 千葉 豪¹

1北海道大学大学院工学院

ランダムサンプリング法(RS 法)に対する分散低減手法の一つである MCCV 法において用いられる類似対象 に感度係数を用いた不確かさ伝播計算を適用することを提案し、その有効性を評価した。

キーワード: ランダムサンプリング法,不確かさ評価,核データ,MCCV法

1. **緒言** 確率論的な不確かさ評価手法である RS 法は、入出力の関係に拠らず複雑な体系に対しても容易に 導入可能であるという利点を持つが、精度の高い評価を行うためには多くの標本を必要とし、それに応じて 計算コストも高くなる傾向にある。そこで、今回 MCCV 法[1]と呼ばれる分散低減手法に着目し、用いられる 類似対象として比較的簡便に求めることができる感度係数を用いた結果を適用することを提案する。

2.MCCV 法と類似対象 RS 法では通常、入力の不確かさに従って標本を複数作成し(入力 $a_i = \{a_1, a_2, ..., a_l\}$) これを用いて標本の数だけ対象とする計算を行う。 MCCV 法ではこの際、分散や期待値が既知である類似対象に対しても同様の乱数列を用いてサンプリングを行い、その結果を用いて対象の分散の低減を図る。ここで、期待値の推定を行う際の MCCV 法の式を(1)に示す。下式において、X は RS 法によって不確かさを推定したい評価対象、Y は分散や期待値が既知である類似対象を示す。

$$E[X] = \frac{1}{N} \Sigma \left(X_i - \alpha \, Y_i \right) + \alpha \, \mu_y \quad \left(\mu_y$$
は Y の期待値 $\right) \cdot \cdot \cdot (1)$

このとき、式中の α を指定する必要があるが、これはすなわち(X- α Y)の分散を最小化するような値が最適であり、 α = C_{XY}/σ_{Y}^{2} となるときが最も分散低減効果が大きい(C_{XY} は XY の共分散)。また同様の条件で分散 V[X] を求めると最適値は V[X]=V[X- α Y] $-\alpha$ 2V[Y]と表せるが、この α は(X- α Y)の分散を最小化する条件であり、V[X]の推定精度を最大化する条件と一致しておらず、実際に分散推定へMCCV 法を適用する際の係数は α 2ではなく α の方が効果は大きくなる。

3. 評価の結果と今後の展望 ここで、評価対象を一次の微係数 S1、二次の微係数 S2 とした二次関数、類似対象を一次の微係数 S1 のみに依存する一次関数として簡易モデルを作成し MCCV 法を適用した。結果は Fig.1 の通りである。なお、誤差棒は同サンプル数で 100 回統計量を算出し、得られた 2σ 信頼区間を用いている。また、Fig.1 は入力分布が平均5、分散 3 の正規分布を S1=2,S2=2 の伝播式に通した結果である。MCCV 法の誤差棒が通常の RS 法に比べ大きく低減されていることが分かる。また、このとき α は 10 サンプルごとに相

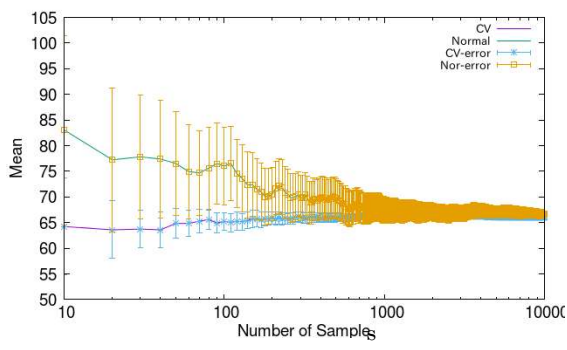


Fig.1 標本数に伴う期待値の収束

関を求め更新しており、この α の設定も分散低減効果に大きく影響を与える。すでに分散、歪度に関しても 評価済みであり、燃焼計算に適用した場合でも効果が見込まれている。

参考文献 [1]Jonathan Goodman, Chp.3 Variance Reduction, Lecture Notes on Monte Carlo Methods Fall Semester(2005).

[2] 柴、他、日本原子力学会 2018 春の年会予稿集、1F17

^{*}Shunsuke Nihira1, Go Chiba1

¹Hokkaido Univ.

使用済燃料ピットにおける核データと製作公差に起因する 核的不確かさの統計的取り扱いに関する検討

Investigation of uncertainty evaluation methodology for spent fuel pit due to nuclear data and manufacturing tolerances based on statistical approach

*杉村徹也¹,桐村一生¹,小池啓基¹,左藤大介¹,竹田敏一²
¹三菱重工業,²福井大学

使用済燃料ピットの未臨界性評価に対する不確かさ評価の高度化のため、核データの不確かさと製作公差をランダムサンプリング法 (RS) によって取り扱う手法を開発した。

キーワード:使用済燃料ピット、未臨界性評価、不確かさ、核データ、製作公差

1. 背景·目的

現行の使用済燃料ピットの未臨界性評価に対する不確かさは、設計コード起因の不確かさ(核データ起因の不確かさ)と製作公差起因の不確かさで構成される。製作公差起因の不確かさについては、燃料諸元、形状の製作公差に対し、実効増倍率の評価値が厳しくなるように公差の上限または下限を仮定した保守的な解析に基づいて評価しており、合理化の余地がある。本研究では、設計コード起因の不確かさ(核データ起因の不確かさ)と製作公差起因の不確かさを統計的に取り扱う手法(RS)を開発し、不確かさに対する保守性を低減した。

2. 不確かさ評価手法

本研究で開発した不確かさ評価手法では、RS に基づき、核データおよび未臨界性評価体系のインプット(燃料諸元、形状)をそれぞれ不確かさの範囲でランダムに変更した多数の解析条件を作成する。各条件に対して実効増倍率を算出し、その結果を統計処理して実効増倍率の平均値と標準偏差を求める(図 1)。

3. 検証

SCALE コードの SAMPLER モジュール [1]を用いて RS の有効性を検証した。評価体系は、燃料がラック内で偏心する効果を考慮できるように 4 × 4 の無限配列体系とした(図 2)。製作公差は、公差の上下限値で 3σ の正規分布となるモデルを適用した(図 3)。

評価結果を表1に示す。RSを用いることで不確かさが低減されることを確認した。

4. 結論

設計コード起因の不確かさ(核データ起因の不確かさ)と製作公差起因の不確かさを統計的に取り扱う手法(RS)を開発し、その有効性を確認した。

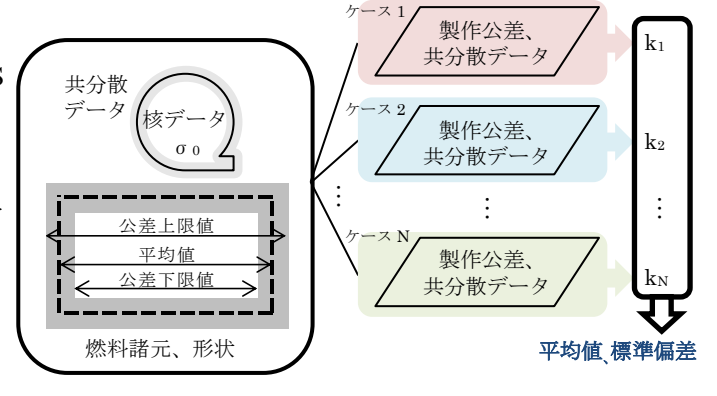
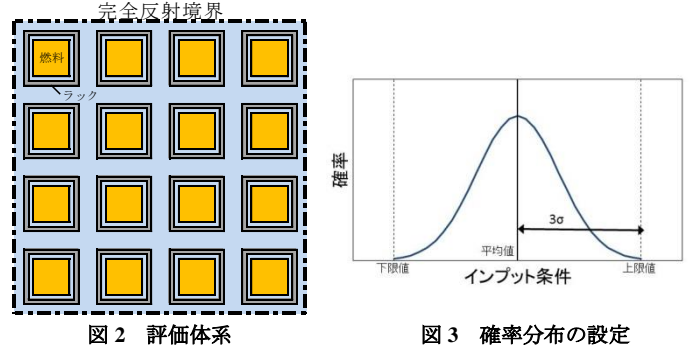


図1 ランダムサンプリング法



因3 惟平为41000

表 1 実効増倍率評価結果

	従来手法	本検討(RS)
不確かさを含んだ 実効増倍率 【従来手法からの差】	0. 9832	0.9780 [-0.0052]

[1] B. T. Rearden and M. A. Jessee, "SCALE Code System," ORNL/TM-2005/39Version 6.2.1 (2016).

*Tetsuya Sugimura¹, Kazuki Kirimura¹, Hiroki Koike¹, Daisuke Sato¹, and Toshikazu Takeda² ¹Mitsubishi Heavy Industries, Itd. ²Fukui University

Oral presentation | III. Fission Energy Engineering | 301-1 Reactor Physics, Utilization of Nuclear Data, Criticality Safety

[1M05-07] Uncertainty Evaluation 2

Chair:Cheol Ho Pyeon(Kyoto Univ.)

Wed. Sep 5, 2018 11:10 AM - 12:00 PM Room M (E11 -E Building)

[1M05] Nuclear data-induced uncertainty quantification of prompt neutron decay constant using the first-order perturbation theory

*Tomohiro Endo¹, Akio Yamamoto¹ (1. Nagoya University)

11:10 AM - 11:25 AM

[1M06] An Influence of Choice of Delayed Neutron Models on Inverse Kinetics Analysis

*Kazuki Takahashi¹, Kunihiro Nakajima¹, Atsushi Sakon², Sin-ya Hohara², Kengo Hashimoto² (1. Graduate School of Science and engineering, Kindai University, 2. Atomic Energy Research Institute, Kindai University)

11:25 AM - 11:40 AM

[1M07] Development of a prediction model for modeling approximation error using the principal component analysis and the Kriging

*Tomomi Hanai¹, Akio Yamamoto¹, Tomohiro Endo¹, Kento Yamamoto², Yasunori Ohoka², Hiroaki Nagano² (1. Nagoya Univ., 2. Nuclear Fuel Industries, Ltd.)

11:40 AM - 11:55 AM

1 次摂動論に基づいた即発中性子減衰定数の核データ起因不確かさの定量評価

Nuclear Data-Induced Uncertainty Quantification of Prompt Neutron Decay Constant using the First-Order Perturbation Theory

*遠藤 知弘 ¹, 山本 章夫 ¹ ¹名古屋大学

Godiva 臨界実験を対象として、Sn 輸送計算コード PARTISN により即発中性子減衰定数 α の数値解を求め、1 次摂動論に基づくことで核データに対する α の相対感度係数、核データ起因不確かさを評価した。 キーワード: 即発中性子減衰定数、 α 固有値計算、 α 0 次摂動論、感度解析、不確かさ定量評価

- 1. **緒言** 炉物理分野における V&V およびデータ同化手法として、炉雑音解析やパルス中性子法により直接測定可能な「即発中性子減衰定数 α 」に注目し検討を進めている。これまでの研究成果として、1 次摂動論に基づくことで、 ω 固有値方程式の forward/adjoint 固有関数を用いた、 α の相対感度係数評価式を導出した。また自作の拡散計算コードにより、直接法により評価された感度係数と比較することで、1 次摂動論による感度係数評価手法の妥当性を確認するとともに、 α を推定する場合には遅発中性子項を無視した即発中性子近似が適用可能であることを確認した。以上の結果を踏まえ、本研究では S_N 輸送計算コード PARTISNを用いた α の相対感度係数評価および核データ起因不確かさの定量評価について検討を実施した。
- 2. **計算手法** α は即発中性子のみを考慮した ω 固有値方程式の基本モード固有値に対応する $(\alpha = -\omega_p)$ 。(1)式において A,F_p は中性子消滅演算子、即発中性子生成演算子を表す。 S_N 輸送計算コード PARTISN に実装されている α サーチ機能を利用することで、(1)式を満足する時定数 ω_p を探索し、対応する中性子 ψ_p を求めることができる。(1)式に基づく

$$\left(\mathbf{A} + \frac{\omega_{\mathrm{p}}}{\mathrm{v}(E)}\right)\psi_{\mathrm{p}}(\vec{r}, E, \overrightarrow{\Omega}) \approx \mathbf{F}_{\mathrm{p}}\psi_{\mathrm{p}}(\vec{r}, E, \overrightarrow{\Omega})\cdots(1)$$

$$S_{\alpha,\sigma} = \frac{\sigma}{\alpha} \frac{d\alpha}{d\sigma} \approx \frac{\sigma}{\omega_{\rm p}} \frac{\langle \psi_{\rm p,g}^{\dagger} \left(\frac{\partial (\mathbf{F_p - A})}{\partial \sigma} + \frac{\omega_p \partial \mathbf{v}_g}{\mathbf{v}_g^2 \partial \sigma} \right) \psi_{\rm p,g} \rangle}{\langle \frac{\psi_{\rm p,g}^{\dagger} \psi_{\rm p,g}}{\mathbf{v}_g} \rangle} \cdots (2)$$

forward/adjoint の輸送計算を 2 回だけ実施し、 ψ_p および随伴中性子東 ψ_p^\dagger を求めることで、任意の核データ σ に対する σ の相対感度係数 $S_{\alpha,\sigma}$ は(2)式により評価できる。こうして評価された $S_{\alpha,\sigma}$ と核データ共分散行列を用いることで、不確かさ伝播則に基づき核データ起因の σ 不確かさを評価することができる。

3. 計算結果 Godiva(HEU-MET-FAST-001)では 臨界時の α が Rossi- α 法により測定されている。 SCALE6.2.3/CENTRM により 252 群実効断面積 を求め、PARTISN(S64-P5)により感度係数 $S_{\alpha,\sigma}$ を推定した。 $S_{\alpha,\sigma}$ と SCALE の核データ共分散 (252groupcov7.1)による α 不確かさ評価結果を図 1 に示す。なお、実効増倍率 $k_{\rm eff}$ と α の核データ 起因の相関は-0.9994と極めて強い。核データ 起因の $k_{\rm eff}$ 不確かさは約 1100pcm だが、 α の手法 起因相対誤差が3% = $\frac{1.144-1.11}{1.11}$ だとしても、 α 測 定結果を用いたバイアス因子法を適用することで、 $k_{\rm eff}$ 不確かさは 50pcm まで低減可能である。

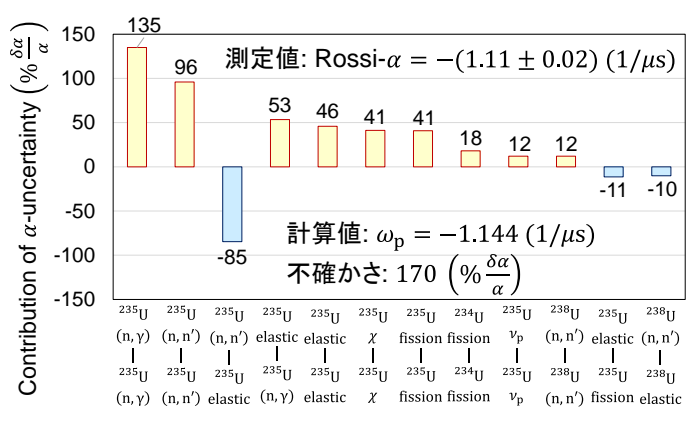


図1 αの核データ起因不確かさの内訳

謝辞 本研究は JSPS 科研費(17K14909)の助成による。

^{*} Tomohiro Endo¹, Akio Yamamoto¹

¹Nagoya Univ.

1M06 2018年秋の大会

逆動特性解析に対する遅発中性子モデル選択の影響

An Influence of Choice of Delayed Neutron Models on Inverse Kinetics Analysis

*高橋 和暉¹, 中嶋 國弘¹, 左近 敦士², 芳原 新也², 橋本 憲吾²¹近畿大学総合理工学研究科, ²近畿大学原子力研究所

逆動特性解析に対する遅発中性子モデルの相違の影響を検討した。、Spriggs らの遅発 8 群モデルによる反応度結果と Keepin の遅発 6 群モデルによる結果との差異は僅かであった。Wilson らのモデル、Brady のモデルによる結果と Keepin のモデルによる結果との間には有意な差異が観察された。

キーワード: 遅発中性子モデル, 逆動特性解析

1. 緒言

遅発中性子データは、炉物理実験において反応度を決定するための必須のデータであり、反応度測定値の精度に大きな影響を及ぼす。遅発中性子のモデルとしては Keepin の 6 群モデルが使用されてきたが、近年、遅発群構造や相対収率が異なる様々なモデルが提案され、商業炉を中心に 8 群モデルの採用も検討されている。本研究では、逆動特性解析に対する遅発中性子モデルの相違の影響を検討した。

2. 検討方法

Keepin の遅発 6 群モデル、Brady の遅発 6 群モデル、Spriggs らの遅発 8 群モデル、Wilson らの遅発 6 群及 び 8 群モデルについて逆動特性解析への影響を検討した。遅発群構造と相対収率の差異の影響を評価するため、逆動特性解析ではドル単位の反応度を算出した。逆動特性解析は、近畿大学原子炉で実施した制御棒落下実験、制御棒連続引抜実験等の時系列データに対して行った。

3. 結果

一例として、図1に Keepin の遅発 6 群モデルと Wilson らの遅発 8 群モデルによる結果の比較を、図2に Keepin のモデルと Spriggs らの遅発 8 群モデルによる結果の比較を示す。Keepin の遅発 6 群モデルによる反応度と Wilson らの遅発 8 群モデルによる結果との差異は大きいが、Spriggs らの遅発 8 群モデルによる結果との差異は極めて僅かであった。

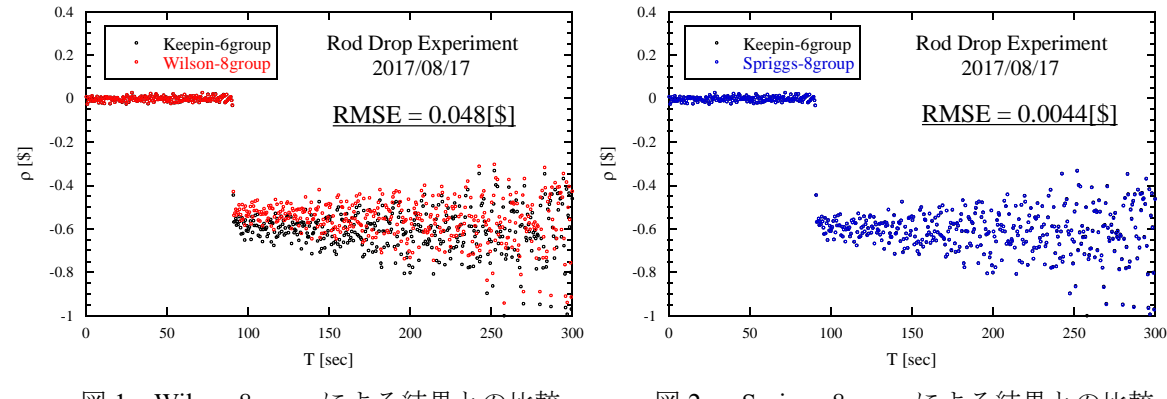


図 1 Wilson-8group による結果との比較

図 2 Spriggs-8group による結果との比較

^{*}Kazuki Takahashi¹, Kunihiro Nakajima¹, Atsushi Sakon², Sin-ya Hohara², Kengo Hashimoto²

¹Graduate School of Science and Engineering, Kindai University., ²Atomic Energy Research Institute, Kindai University.

主成分分析及び Kriging を用いた解析手法起因誤差の予測モデルの開発

Development of a prediction model for modeling approximation error

using the principal component analysis and the Kriging

*花井 智海1, 遠藤 知弘1, 山本 章夫1, 山本 健土2, 大岡 靖典2, 長野 浩明2 1名古屋大学,2原子燃料工業

核計算における解析手法起因誤差の評価を目的として、主成分分析(PCA)及び Kriging を用いて、解析手法 起因誤差の予測を可能とするサロゲートモデルを作成した。

キーワード: 主成分分析, PCA, Kriging, 解析手法起因誤差, サロゲートモデル

1. 緒言

炉心設計においては、核計算コードにより求められる炉心の核特性と制限値を比較している。一般的な核 計算コードでは、拡散近似、Characteristics 法(MOC)等、様々な解析手法が用いられているが、そこには解析 手法に起因する誤差が存在する。この解析手法起因誤差は、連続エネルギーモンテカルロ計算等による参照 解と比較することで評価される。しかし、参照解に値する計算結果を得るには、多大な計算コストを要する ため、実機炉心設計において、解析手法起因誤差を評価することは難しい。そこで本研究では、少数の検証 結果より、解析手法起因誤差を予測可能なサロゲートモデル[1]の作成を目的とする。具体的には、PCA や Kriging を用い、設計計算において得られる核特性パラメータから、解析手法起因誤差を予測するサロゲート モデルの作成手法について検討を行う。

2. サロゲートモデル作成手法

実機の運転状態を模擬する入力条件にてランダムサンプリングを行い、ピンセル体系のインプットを N 個 作成した。これらのインプットをもとに、設計計算として CASMO4(MOC)の結果及び参照値として MVP の 結果を用い、両者の差異として実効増倍率の解析手法起因誤差を求めた。また、CASMO4 の結果より、体系 全体で均質化した9群構造の中性子束及び巨視的断面積(捕獲、生成、全)、実効増倍率の計37種の核特性パ ラメータを読み取った。得られた 37 種の核特性パラメータに PCA を適用し、主成分得点を得た。解析手法 起因誤差及び 37 種の主成分得点をまとめて、データセットとした。対応する特異値が大きい主成分得点か ら、モデルの入力パラメータとして使用し、Kriging によりサロゲートモデルを作成した。作成したモデルを 交差検証し、モデルの推定値と参照値の差異が最も小さくなる主成分得点の数を決定した。

3. 結果

UO2ピンセル体系のデータセットで作成したモデルによ り、PWR 燃料集合体体系における解析手法起因誤差を推定し た。結果を図1に示す。モデルの入力には第1主成分得点か ら第24主成分得点の計24種を使用し、モデルの作成に用い たデータセットは300サンプルであった。サロゲートモデル により、解析手法起因誤差を-30 pcm から+180 pcm の差異で 推定可能だと確認できる。

参考文献

[1] Y. BANG, et al. Proc. PHYSOR2012, (2012).

謝辞 本研究の一部は JSPS 科研費(16K06956)の助成に拠る。

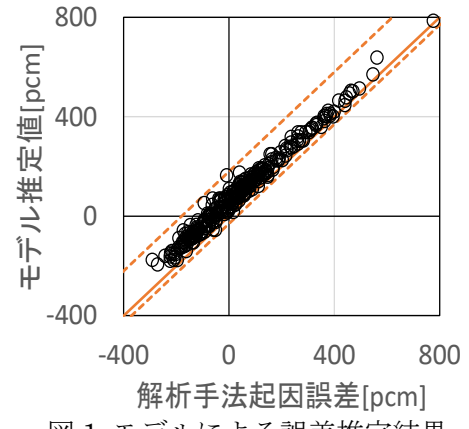


図1 モデルによる誤差推定結果

^{*} Tomomi Hanai¹, Akio Yamamoto¹, Tomohiro Endo¹, Kento Yamamoto², Yasunori Ohoka², Hiroaki Nagano²

¹Nagoya Univ., ²Nuclear Fuel Industries, Ltd.

Oral presentation | III. Fission Energy Engineering | 301-1 Reactor Physics, Utilization of Nuclear Data, Criticality Safety

[1M08-13] Criticality Safety 1

Chair: Yasunobu Nagaya (JAEA)

Wed. Sep 5, 2018 2:45 PM - 4:25 PM Room M (E11 -E Building)

[1M08] Theoretical Development of Method to Estimate Reactivity and Fissile Isotope Ratio at the Same Time Based on Power Profile in Quasi Steady State

*Yuichi Yamane¹ (1. Japan Atomic Energy Agency) 2:45 PM - 3:00 PM

[1M09] Exponent dependency of neutron multiplication factor distribution in system randomized with $1/f^{\beta}$ frequency spectrum

*Shouhei Araki¹, Yuichi Yamane¹, Taro Ueki¹, Kotaro Tonoike¹ (1. Japan Atomic Energy Agency)

3:00 PM - 3:15 PM

[1M10] Criticality control technique development for Fukushima Daiichi fuel debris

*Takuya UMANO^{1,2}, Mitsuaki YAMAOKA^{1,2}, Rei KIMURA^{1,2}, Yamato HAYASHI^{1,2} (1. International Research Institute for Nuclear Decommissioning, 2. Toshiba Energy Systems &Solutions Corporation)

3:15 PM - 3:30 PM

[1M11] Criticality control technique development for Fukushima Daiichi fuel debris

*Yamato Hayashi^{1,2}, Rei Kimura^{1,2}, Masahiko Kuroki^{1,2} (1. IRID, 2. Toshiba ESS) 3:30 PM - 3:45 PM

[1M12] Criticality control technique development for Fukushima Daiichi fuel debris

*Shinya Kano^{1,2}, Satoshi Wada^{1,2}, Tsuyoshi Misawa³, Kitamura Yasunori³ (1. IRID, 2. Toshiba Energy Systems &Solutions Corp., 3. Kyoto Univ.)

3:45 PM - 4:00 PM

[1M13] Criticality control technique development for Fukushima Daiichi fuel debris

*Satoshi Wada^{1,2}, Shinya Kano^{1,2}, Tsuyoshi Misawa³, Yasunori Kitamura³ (1. IRID, 2. Toshiba Energy Systems &Solutions, 3. Kyoto University)

4:00 PM - 4:15 PM

1M08 2018年秋の大会

準静的状態の出力挙動に基づいて反応度と核分裂性同位体比を 同時に求める方法の理論的開発

Theoretical Development of Method to Estimate Reactivity and Fissile Isotope Ratio at the Same Time

Based on Power Profile in Quasi Steady State

*山根 祐一原子力機構

未臨界状態の核燃料で準静的状態の出力挙動からドル単位の反応度を評価する、新しく提案した手法に関して、数百秒分の中性子計数率データがあれば、核分裂性同位体比を同時に評価できることの理論的予測と、 過渡臨界実験装置 TRACY の数十秒程度のデータに適用するために開発した方法及び適用結果を報告する。

キーワード:未臨界、反応度評価、核分裂性同位体比、出力挙動、準静的状態、TRACY

1. 緒言

核燃料溶液の臨界管理されていない容器への流入や燃料デブリ取出し等への適用を想定した、未臨界の核燃料の反応度変化と出力の即発跳躍に続いて現れる準静的状態の出力挙動から、ドル単位の反応度を評価する手法を開発し、実験データに適用して妥当な結果を得たことをこれまで報告した[1][2][3]。この新しい手法は、ドル単位の反応度と核分裂性同位体比rを同時に評価可能であると理論的に予測されることを報告する。このことは、反応度評価に必要なデータが実質的に中性子計数率だけで、予備解析や核燃料内外の条件に対する仮定が不要であることを示唆する。この成果は、核燃料施設や原子炉施設の安全性向上、核燃料物質を取り扱う際の臨界防止に役立つことが期待される。

2. 核分裂性同位体比の評価

準静的状態における出力挙動が方程式 $P=\alpha_y q+P_\infty$ を満たす[1]ことから $D\equiv\alpha_y q/(P-P_\infty)$ は常に 1 となる。もし q の計算時に実際とは異なる r を想定し、その遅発中性子相対比率と崩壊定数を用いると、D が 1 からずれ、評価の指標としての相関係数 R が低下するため、R が最大となる r が実際の値に最も近いと予想される。崩壊定数の時定数の範囲から、ずれの生じる数百秒分のデータがあれば評価可能と考えられる。

3. 不十分な実験データへの適用

²³⁵U を用いた数十秒の実験データ (-1.4\$) [4]に対して、²³⁵U と ²³⁹Pu の混合物と想定して、本手法を適用したところ (図 1 参照)、R の最大値を採用すると ²³⁹Pu 100%かつ-1.65\$となる。相関係数の計算で回帰直線の切片の大きさ C が、上述のずれに伴って大きくなると予想したところ、その傾向があることを確認できた。 ²³⁹Pu の比率がゼロで-1.31\$の点で C が最小となることも確認でき、数百秒に満たないデータでも評価できる見通しを得ることができた。

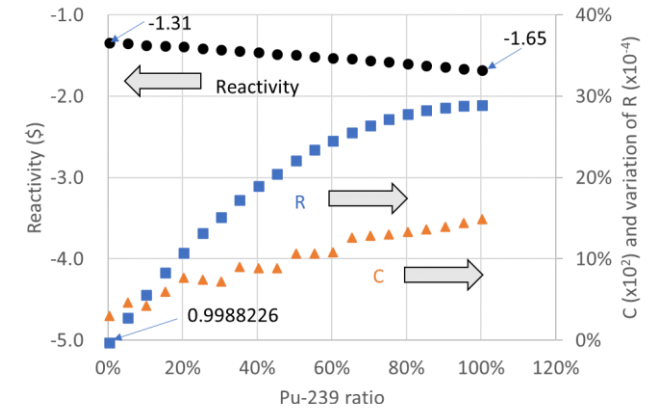


図1:評価した反応度と相関係数Rの変化量及び切片の大きさC

[1] 山根祐一、2017 春の年会 1F04 (2017). [2] 山根祐一、2017 秋の大会 3G15 (2017). [3] 山根祐一、2018 春の年会 1F04(2018). [4] S. Gunji, et al., "Study of accelerator transient on ADS operation using TRACY," PHYSOR 2004 (2004).

参考文献

^{*}Yuichi Yamane JAEA

1M09 2018年秋の大会

1/f^β周波数分布乱雑体系における中性子実効増倍率分布の指数依存性

Exponent dependency of neutron multiplication factor distribution in system randomized with 1/f^β frequency spectrum

*荒木 祥平 ¹,山根 祐一 ¹,植木 太郎 ¹,外池 幸太郎 ¹
□日本原子力研究開発機構

体系の空間分布の乱雑さの様子と中性子実効増倍率(k_{eff})の分布の関係を明らかにする目的で解析を行った。確率論的乱雑化モデルを用いて $1/f^{\beta}$ の周波数分布を持つ乱雑体系を生成し、周波数 f の指数 β と k_{eff} 分布の標準偏差 σ との関係を調査した。解析の結果、標準偏差 σ は β に対し正の相関があることが分かった。

キーワード: 燃料デブリ、中性子実効増倍率、モンテカルロ計算、乱雑さ、臨界安全

1. 緒言

福島第一原子力発電所の燃料デブリ取出し時の再臨界リスクを評価するためには、様子のわからないデブリ内部について、物質の乱雑な分布を仮定して臨界計算を行う必要がある。仮定する乱雑さの様子の候補として、ホワイトノイズの他、ピンクノイズ、ブラウンノイズなどの自然界の無秩序な体系でよく見られる $1/f^0$ の周波数分布を持つ乱雑さが考えられる。計算結果の中性子実効増倍率(k_{eff})は仮定した乱雑さに応じた分布を持つが、その分布は再臨界時の影響(核分裂数、被ばく量等)に分布を与えるため、乱雑さの様子の仮定が再臨界リスクの評価に影響を与えると予想される。ここでは、 $1/f^0$ の周波数分布を持つ乱雑な体系に対し、 k_{eff} の分布の広がり(標準偏差 σ)と指数 β との関係について調査した結果について報告する。

2. 解析手法

本解析では、 $1/f^0$ の周波数分布を持つ乱雑体系を確率論的乱雑化モデル[1]を用いて生成した。 $1/f^0$ の周波数分布の指数 β の 1 近傍から 3 の範囲において、それぞれの β に対し $100\sim300$ 個のサンプル体系を作成して k_{eff} を計算し、 k_{eff} 分布の標準偏差 σ を計算した。燃料デブリの組成で臨界近傍となるように条件を設定した。具体的には、各サンプル体系は 1 辺が 100cm の立方体とその周囲を覆う 140cm の立方体で構成し、内部の立方体には燃料成分とコンクリート成分とを体積割合 1:7 で乱雑に配置し、その周囲を覆う領域はコンクリートのみで配置した。なお、乱雑領域全体で $1/f^0$ 周波数特性が満たされるように、 $1/f^0$ の周波数分布に対応する空間変動スケールの周期 S を 100cm とした。

3. 結果·結論

図 1 に k_{eff} 分布の標準偏差 σ と指数 β との関係を示す。 β の増加に伴って σ は増加しており、 $1<\beta \leq 3$ の範囲において β と σ には正の相関があることが分かる。このことから、同じ組成の体系であっても β が大きいほど、 k_{eff} 分布の広がりは大きくなり、 k_{eff} + 3σ に相当する再臨界時の影響の上限が大きくなると予測される。

参考文献

[1] T. Ueki, Monte Carlo criticality analysis under material distribution uncertainty, J. Nucl. Sci. Tech. 2017, 54(3), 267-279.

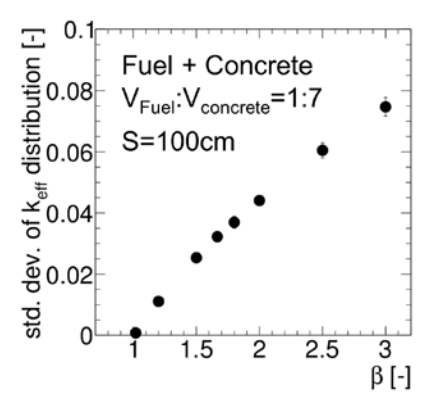


図 1.1/f^βの周波数分布を持つ 乱雑体系における指数βと k_{eff}分布の標準偏差との関係

^{*}Shouhei Araki¹, Yuichi Yamane¹, Taro Ueki¹ and Kotaro Tonoike¹

¹Japan Atomic Energy Agency

(41)統計的臨界評価 Gd 偏在の影響を考慮した 1F-2/3RPV 下部デブリの評価

Criticality control technique development for Fukushima Daiichi fuel debris

(41) Statistical evaluation of criticality - The criticality evaluation of 1F-2/1F-3 RPV lower part debris with considering non-uniform positioning of UO₂+Gd₂O₃

> *馬野 琢也 ^{1,2}, 山岡 光明 ^{1,2}, 木村 礼 ^{1,2}, 林 大和 ^{1,2} ¹IRID, ²東芝エネルギーシステムズ株式会社

苛酷事故解析コード "MAAP", "SAMPSON"の予測計算結果に基づき,福島第一原子力発電所 2 号機/3 号 機(1F-2/1F-3)の圧力容器(RPV)下部の燃料デブリの冠水時の(再)臨界可能性評価を実施した。本評 価では MVP コードの確率論的幾何形状モデル(STGM)を2重に適用することで第1サイクルの燃料集合 体に存在していた Gd 物質の空間配置の違いによる中性子吸収量の差を考慮した。

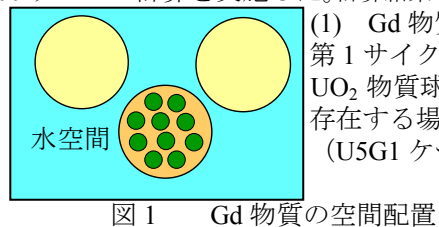
キーワード:福島第一原子力発電所事故、燃料デブリ、臨界安全、Gd 物質、偏在の影響、MVP、STGM

1. 緒言

燃料デブリ取出し作業に関し、冠水時の臨界可能性の定量評価は不可欠である。燃料デブリの性状が明確 に規定出来ない現状況では,多くの計算パラメータをそれぞれ変化させた網羅的な計算が必要であるが,こ こでは計算パラメータの値を一様乱数を用いて選定し,更に、強い中性子吸収材である Gd 物質の空間的な 配置効果(Gd 偏在の影響)を考慮できる幾何形状の計算モデルで臨界性の評価を実施した。

2. 計算手法

RPV 下部に存在する燃料デブリや構造材の質量は、"MAAP"、"SAMPSON"の予測計算結果に従った。臨 界評価計算はMVP コード[1]とJENDL-4.0^[2] を用い,原子数密度は1F-2/1F-3 の炉心管理コードによる事故直 前時の燃料集合体の燃料棒1本毎の詳細データをサイクル毎に平均化して使用した。強い中性子吸収材で ある Gd 物質($\operatorname{UO}_2+\operatorname{Gd}_2\operatorname{O}_3$)は第1サイクルの燃料集合体のものを UO_2 物質と平均化せずに独立に取り扱 った。Gd 物質は小球として STGM で UO2 物質球内の空間に配置し,更にその UO2 物質球を STGM で RPV 下部空間に配置した。Gd 物質の配置に関しては,(1) 第1サイクルの UO₂物質内に存在する場合,(2) 第1 ~ 第5サイクル平均の全ての UO₂物質内に存在する場合 の2通りを想定した。計算モデルの概念図を図1 に示す。燃料デブリの各数値パラメータは数値範囲を仮定して,一様乱数を用いて計算点を決めた。(1),(2) とも 600 ケースの計算を実施した。計算結果を重回帰分析し、臨界性を支配する計算パラメータの順位付けをした。



 Gd 物質が 第1サイクルの UO2物質球のみに 存在する場合 (U5G1 ケース)

● Gd 物質球 UO2+Gd2O3

(2) Gd 物質が 第1~ 第5サイクル 平均の UO₂物質に 存在する場合 (U1G1 ケース)

UO2物質球

3. 計算結果

上記(1),(2)の 1F-2 の計算結果をヒストグラム にして図2に示す。中性子実効増倍率が 1.000 を 超える割合は(1)の方が多く.Gd 物質の空間的偏在 効果による中性子吸収量の変化が示されているが、 その効果は 1F-2 の場合も 1F-3 の場合も極めて 大きいとは言えず限定的であった。

4. まとめ

50 50 U5G1 40 40 数 30 数 30 10 0.8 0.9 1.0 中性子実効増倍率 図 2 (1) U5G1 ケース

U1G1 0.8 0.9 中性子実効増倍率

本計算は多くの仮定の下での計算で、今後、炉内調査が進むにつれ、計算パラメータの数値幅や分布形を修 正した計算が必要になる。一方,今回の計算結果の重回帰分析から,臨界性に関して第一の支配因子は燃料デ ブリの体積占有率で,次に Gd 物質球の直径や混在する構造材の質量であり,Gd 物質の空間的偏在効果は支 配因子ではないと理解できた。これらの知見については引き続き将来の検討に利用できると判断される。

本件は、資源エネルギー庁『平成 27 年度補正予算「廃炉・汚染水対策事業費補助金(燃料デブリ臨界管 理技術の開発)」』の成果の一部を取りまとめたものである。

[1] Y. Nagaya, et al., JAERI -1348(2005). [2] K. Shibata, et al., J. Nucl. Sci. Technol. 48(1), 1-30 (2011). 本論文に掲載の商品等の名称は、それぞれ各社が商標として使用している場合があります。

^{*}Takuya UMANO^{1,2}, Mitsuaki YAMAOKA^{1,2}, Rei KIMURA^{1,2}, Yamato HAYASHI^{1,2} IRID, ²Toshiba Energy Systems & Solutions Corporation

(42) デブリ取り出し作業中に想定される臨界シナリオに基づく 臨界挙動の解析評価

Criticality control technique development for Fukushima Daiichi fuel debris

(42) Criticality behavior analyses based on assumed criticality scenario during fuel debris retrieval

*林 大和 1,2, 黒木 政彦 1,2, 木村 礼 1,2

¹IRID、²東芝エネルギーシステムズ

デブリが臨界になった場合の核分裂挙動・被ばく影響を評価するための解析コード"PORCAS-F"の開発を進めている。デブリ取り出し作業時に想定される臨界事象について解析を行い、万一臨界になった場合においても作業者および公衆への被ばく影響は小さい見通しが得られた。

キーワード: 福島第一発電所事故、燃料デブリ、臨界安全、臨界挙動解析、PORCAS-F

1. 緒言

1F-1/2/3 号機の燃料デブリ取出し時に,形状が変化してデブリ内部に水が浸入して,水対燃料体積比が最適になると,臨界になる可能性がある。デブリを加工する方法は複数あり,臨界に至るシナリオも異なるため,どのような臨界シナリオの場合に臨界リスクが大きくなるのか,検討した。

2. 想定される臨界シナリオ

デブリ取り出し作業時に想定される代表的な臨界シナリオとして、デブリに亀裂が入るケース、デブリが崩落するケース、デブリに穴を開けるケース、の3ケースを選定した。また、デブリ取り出し作業と関わりなく、地震などの外部要因によって発生する可能性のある臨界シナリオの代表例として、CRDハウジングに付着しているデブリが落下するケースを仮定した。

3. 解析方法

デブリ組成を仮定し、"MVP"計算コードロで H/U や温度などのパラメータを変化させた計算を行い、各パラメータに対する反応度係数を評価した。また、ケースごとの反応度投入量を評価した。

これまでに開発を進めてきた解析コード"PORCAS-F"^[2]に反応 度係数と投入量をインプットして、デブリが臨界になった場合の 核分裂挙動・被ばく影響を解析評価した。

臨界によって新たに発生する FP ガスが,バウンダリから漏えい, または建屋外に放出されるものとして,作業員や公衆の外部・内 部被ばく影響を評価した(図2)。

4. 臨界挙動解析結果

臨界になった場合の被ばく影響の大きさは、穴あけく亀裂く崩落の順番となることが示された。作業に起因する臨界事象は、外部要因の代表例と考えられるデブリ落下に起因する臨界事象と比べて同程度若しくは小さくなる見込みである(図 3)。また、屋外作業員の被ばく線量は事故時の管理目標値を下回る見通しであり、屋内作業員や公衆についてはこれよりも2桁小さい結果が得られた。



図1 デブリに亀裂が入るイメージ

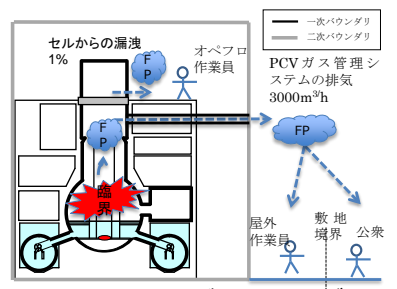


図2被ばく評価のモデル

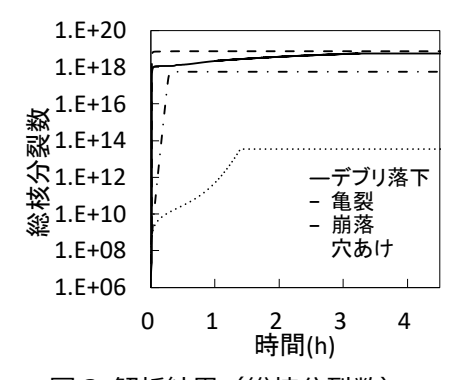


図3解析結果(総核分裂数)

5. まとめ

デブリ取り出し作業時に想定される臨界事象による被ばく影響について,相対的な大小関係が示され, 万一臨界になった場合においても作業者および公衆への被ばく影響は小さい見通しが得られた。

斜條

本件は、資源エネルギー庁『平成27年度補正予算「廃炉・汚染水対策事業費補助金(燃料デブリ臨界管理技術の開発)」』の成果の一部を取りまとめたものである。

協立圣念

[1] Y. Nagaya, et al., JAERI 1348(2005), [2]林 他, AESJ 2016 年秋の大会"2H16"

*Yamato HAYASHI^{1,2}, Masahiko KUROKI^{1,2} and Rei KIMURA^{1,2}

¹IRID, ²Toshiba Energy Systems & Solutions Corporation

本論文に掲載の商品の名称は、それぞれ各社が商標として使用している場合があります。

(43) ファインマンα法と中性子源増倍法を組み合わせた臨界近接監視手法の 成立性の検討

Criticality control technique development for Fukushima Daiichi fuel debris

(43) Feasibility study of sub-criticality monitoring method using Feynman- α method and neutron source multiplication method

> *加納 慎也 1,2, 和田 怜志 1,2, 三澤 毅 3, 北村 康則 3 ¹IRID、²東芝エネルギーシステムズ、³京都大学

IF 燃料デブリ取出し時に,ファインマンα法と中性子源増倍法を組み合わせて臨界近接監視を行うことを 検討している。本稿では、この臨界近接監視の手法の成立性を検討した結果について報告する。

キーワード: 福島第一原子力発電所事故,燃料デブリ,臨界安全,未臨界度測定,ファインマンα法

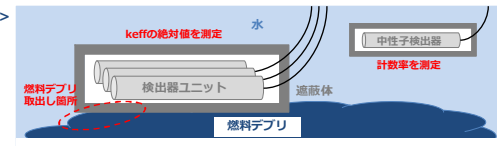
- 1. 緒言 燃料デブリ取出し時に、臨界に近接する状態を早期に検知し、臨界の発生を未然に防止するため のシステム(臨界近接監視システム) \square を開発している。臨界近接監視システムでは、ファインマン α 法(FA 法)と中性子源増倍法(NSM法)を組み合わせて体系の実効増倍率(keff)を監視し、臨界近接を検知する。本稿 では、この臨界近接監視の手法の成立性を試験/解析等により検討した結果について報告する。
- 2. FA 法と NSM 法を組み合わせた臨界近接監視 燃料デブリ取出し前は、図1の通り、掘削する箇所の近 傍に、複数の中性子検出器を束ねたユニット(検出器ユニット)を設置し、FA 法により、keff の絶対値を測 定する。この際、併せて、別の離れた場所に中性子検出器を設置し、この keff に対応した中性子計数率を 測定しておく。燃料デブリを取出す際は,検出器ユニットを移動し,その直下の燃料デブリを掘削する。 離れた場所の中性子検出器で、中性子計数率の測定を継続し、NSM 法により、燃料デブリ取出し前の時点 からの keff の変化(相対値)を求める。keff が 0.95 未満であれば、取出し作業を継続する(ここでは推定臨界 下限増倍率が 0.95 と仮定。)。keffが 0.95 に達したら、警報を発し、取出し作業の停止、中性子吸収材の投 <燃料デブリ取出し前> 入 等臨界の発生を防止するための措置を促す。
- 3. 臨界近接監視の成立性の検討 表1の通り,燃料 デブリ取出し前/中において, 臨界近接監視を妨げる 可能性のある要因を抽出し、KUCA 試験等により、 その影響を評価した。燃料デブリ取出し中は、FA法と NSM 法の両方の keff の測定誤差が加わることになる ため、頻繁に臨界近接を誤検知し、取出し作業を停止 することによる作業効率の低下が懸念されたが、KUCA 試験で確認された結果から、その可能性は低く、

提案する臨界近接監視手法が成立する見通しを得た。

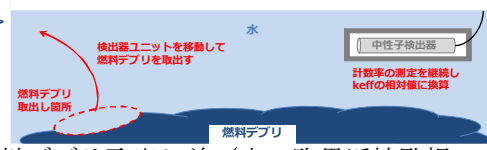
4. 結論 FA 法と NSM 法を組み合わせた臨界近接監視 手法が成立する見通しを得た。今後は、実機で想定され る大型の体系での成立性を確認するとともに, 臨界近接 監視システムの実機への実装に向けた検討を進めていく。

謝辞 本件は、資源エネルギー庁『平成27年度補正予算「 廃炉・汚染水対策事業費補助金(燃料デブリ臨界管理技術の 開発)」』の成果の一部を取りまとめたものである。

参考文献 [1] 加納 他, AESJ 2017 年秋の大会 "2H19"



<燃料デブリ取出し中>



燃料デブリ取出し前/中の臨界近接監視 図 1

府 関 監 担 の 式 立 州 の 検 計 妹 里 (壮 牧)

		表 1 臨界	・監視の成立性の)検討結果(抜粋)					
		検討項目	懸念事項	検討結果					
		keff および H/Uの影響	深い未臨界での keffの推定精度の低下	KUCA試験により、FA法によるkeffの推定誤差が、最大8%dk/k程度であることを確認 (keff = 0.7~0.95, H/U = 50~300)					
		燃料デブリ-検出器間 距離の影響	燃料デブリ-検出器間距離 による検出効率の低下	KUCA試験により、keffの測定に最低限必要 となる検出効率が2.0E-5 程度であることを 確認					
	燃料 デブリ	外部中性子源の影響	外部中性子源からの中性子による keffの測定精度の低下	KUCA試験により,外部中性子源があると,Y 値が小さくなり,測定に悪影響を与えること を確認					
)	取出し前	中性子計数 (=計数率*測定時間) の影響	計数率が得られない場合の 測定時間の長時間化	1F燃料デブリ測定時の計数率は予測できない ため、サンブリング等で測定した結果(計数率 およびY値の概算値)から、必要な測定時間を 予測する方法を策定					
		中性子吸収材の影響	中性子吸収材による 検出効率の低下	Cfの測定試験により、中性子検出器と中性子 吸収材が数cm以上離れていれば、中性子吸収 材の影響は十分に小さいことを確認					
	燃料 デブリ 取出し中	keffおよび H/Uの影響	深い未臨界での keffの推定精度の低下	KUCA試験により、NSM法によるkeffの推定 誤差が、最大7%dk/k程度であることを確認 (keff = 0.7~0.95, H/U = 50~300)					
		•••							
		臨界近接の誤検知	FA法とNSM法のkeffの推定誤差 の重なりによる臨界近接の誤検知	非現実的に少ない取出し回数で,臨界近接が 誤検知されることがないことを確認					

*Shinya Kano^{1,2}, Satoshi Wada^{1,2}, Tsuyoshi Misawa³ and Yasunori Kitamura³ ¹IRID, ²Toshiba Energy Systems & Solutions Corp., ³Kyoto Univ.

(44) KUCA を用いた臨界近接監視システムの成立性確認試験

Criticality control technique development for Fukushima Daiichi fuel debris

(44) Verification of sub-criticality monitoring system by KUCA experiment

*和田 怜志 ^{1,2}, 加納 慎也 ^{1,2}, 三澤 毅 ³, 北村 康則 ³

¹IRID、²東芝エネルギーシステムズ、³京都大学

福島第一発電所事故で発生した燃料デブリの取り出し作業中の再臨界による被ばくリスク低減のために Feynman-α 法を用いた臨界近接監視システムの開発を行っている。システム成立性確認試験のために京都大学臨界集合体で実施した試験の結果と検討内容について報告する。

キーワード:福島第一発電所事故,燃料デブリ,京都大学臨界集合体,臨界安全,ファインマン α 法 1. 緒言

燃料デブリ取り出し時の未臨界度監視には他の手法と比較して燃料の組成や形状への依存度が小さく,検出効率に依存しないファインマン α 法が有効であると考えられる[1]。そこで,ファインマン α 法を用いた臨界近接監視システムを開発[2]し,京都大学臨界集合体実験装置(KUCA)にて成立性検証試験を実施した。

2. 未臨界度測定試験の方法

燃料デブリの組成は不定であるため、KUCA の A/B 架台で 93%- 235 U-Al 合金燃料および PE の組み合わせにより、中性子スペクトル ($H/^{235}$ U=50 \sim 300) と未臨界度 (k=0.7 \sim 0.95) が広範囲に異なる炉心を設定し、増倍率および炉心特性に対する臨界監視システムの増倍率推定精度への感度を評価した。燃料デブリに対する中性子検出器の配置を検討するため、燃料要素と中性子検出器 (B10 比例計数管) の距離を離した測定を実施した。燃料デブリの中性子源は自発核分裂核種の 244 Cm が主であり初期相関を持つ、またデブリは広く分布しているため測定したい対象以外の中性子相関を検出する。試験では自発核分裂核種の 252 Cf を用いることで初期相関の影響や、検出器の背後から飛来する相関中性子 (BG 中性子) の影響を評価した (図 1 参照)。また、測定時間は 30~60 分とした。

3. 試験結果

keff の推定誤差は、keff = 0.95 の場合であれば 1% Δ k/k 程度、keff = 0.7 であれば 8% Δ k/k 程度となった。 keff の推定精度に与える影響は、keff が低いほど大きく、H/U の影響は keff に比べて小さいことが分かった。 炉心-検出器間距離は、距離が離れるほど、keff の推定精度が下がり、水中では約 20cm が測定限界となることを確認した。中性子源に初期相関を持つとき、Y 値の飽和値(Y ∞)が大きくなることを確認した。一方、BG 中性子は即発中性子減衰定数 α に影響を持ち、特に深い未臨界時に影響が大きいことがわかった。

4. まとめ

開発した臨界近接監視システムの成立性を KUCA 試験を用いて示した。図 2 に実験で得られた結果のまとめを示す。深い未臨界度 (k=0.7) においても実用的な測定時間・測定精度で未臨界度を推定することができた。中性子スペクトルの不確かさによる推定誤差への影響は小さいことが確認された。一方で、炉心中性子検出器間距離や、深い未臨界時の中性子の初期相関や BG 中性子の未臨界度推定精度への影響が大きいことが確認された。



図1 KUCA 試験体系図

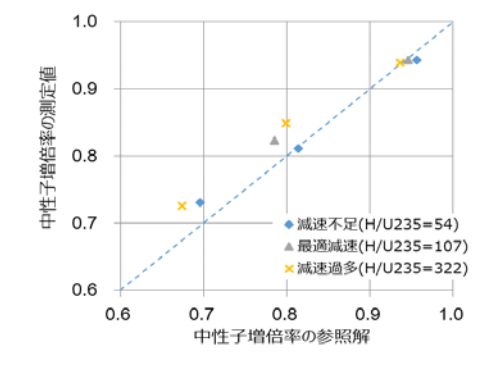


図 2 増倍率の推定値と参照解の関係

筘攄

本件は、資源エネルギー庁『平成27年度補正予算「廃炉・汚染水対策事業費補助金(燃料デブリ臨界管理技術の開発)」』の成果の一部を取りまとめたものである。

参考文献

[1] 菊池 他, AESJ 2016 年秋の大会 "2H17", [2] 加納 他, AESJ 2017 年秋の大会 "2G19",

*Satoshi WADA^{1,2}, Shinya KANO^{1,2}, Tsuyoshi MISAWA³ and Yasunori KITAMURA³

¹IRID, ²Toshiba Energy Systems & Solutions Corporation, ³Kyoto University

Oral presentation | III. Fission Energy Engineering | 301-1 Reactor Physics, Utilization of Nuclear Data, Criticality Safety

[1M14-19] Criticality Safety 2

Chair:Go Chiba(Hokkaido Univ.)

Wed. Sep 5, 2018 4:25 PM - 6:00 PM Room M (E11 -E Building)

[1M14] Criticality control technique development for Fukushima Daiichi fuel debris

*Takeshi Mitsuyasu¹, Yuichi Morimoto¹, Koichi Okada¹, Masanori Akaike¹, Tsuyoshi Misawa², Tasunori Kitamura² (1. IRID(Hitachi-GE), 2. Kyoro Univ.)
4:25 PM - 4:40 PM

[1M15] Criticality control technique development for Fukushima Daiichi fuel debris

*YASUHIRO HARADA¹, Makoto Nakano¹, Kazuya Yamaji¹, Tsuyoshi Misawa², Yasunori Kitamura² (1. IRID(MHI), 2. Kyoto Univercity)

4:40 PM - 4:55 PM

[1M16] Criticality control technique development for Fukushima Daiichi fuel debris

*Yuta Shindo^{1,2}, Kazuya Ishii^{1,3}, Tsuyoshi Misawa⁴, Yasunori Kitamura⁴ (1. International Research Institute for Nuclear Decommissioning, 2. Toshiba Energy Systems &Solutions Corporation, 3. Hitachi-GE Nuclear Energy, Ltd, 4. Kyoto University)
4:55 PM - 5:10 PM

[1M17] Criticality control technique development for Fukushima Daiichi fuel debris

*Ryo Ishibashi^{1,3}, Kazuya Ishii^{1,3}, Toshiyuki Fujita^{2,3}, Yuta Shindo^{2,3}, Yuuichi Morimoto^{1,3} (1. Hitachi-GE Nuclear Energy, Ltd., 2. Toshiba Energy Systems &Solutions, Co, 3. International Research Institute for Nuclear Decommissioning)

5:10 PM - 5:25 PM

[1M18] Criticality control technique development for Fukushima Daiichi fuel debris

*Shohei Kawano¹, Yuta Shindo¹, Tetsuji Kaneko¹ (1. Toshiba Energy Systems &Solutions Corporation)

5:25 PM - 5:40 PM

[1M19] Development of the insoluble neutron absorbers using self-assembled surfactant aggregates(2)

*Noriaki Ushio¹, Kouji Koyanagi¹, Hiroyuki Terazaki¹ (1. Kao Corporation) 5:40 PM - 5:55 PM

燃料デブリの臨界管理技術の開発 (45) KUCA 試験における仮想中性子捕獲法の精度評価

Criticality Control Technique Development for Fukushima Daiichi Fuel Debris

(45) Accuracy Evaluation of Virtual Neutron Capture Method in KUCA Experiments

*光安 岳 ^{1,2}, 森本 裕一 ^{1,2}, 岡田 耕一 ^{1,2}, 赤池 正則 ^{1,2}, 三澤 毅 ³, 北村 康則 ³

¹IRID ²日立 GE ³京都大学

燃料デブリ取り出し時の臨界管理のため、炉内臨界近接検知システムを開発している。本システムにおいて、中性子増倍率推定法として開発した仮想中性子捕獲法の予測精度について検討した。京都大学臨界集合体実験装置(KUCA)試験で得られた検出器出力から未臨界度を評価した。その結果、中性子増倍率 0.7 において最大誤差は 4.3%dk であり、炉内臨界近接検知システムにおける中性子増倍率予測手法として適用できる見込みであることを確認した。

キーワード: 福島第一原子力発電所事故,溶融燃料,デブリ,臨界管理,未臨界

1. 緒言

炉内臨界近接検知システムの臨界検知手法として仮想中性子捕獲法を開発した。本手法を用いたシステムの成立性評価として, KUCA 臨界試験における中性子増倍率の予測誤差評価について報告する。

2. 仮想中性子捕獲法の概要

仮想中性子捕獲法はデブリ表面近傍の部分的なサンプリング情報と解析を活用して,中性子計数率と解析値から中性子増倍率を推定する手法である[1]。

3. KUCA 試験体系

実効増倍率0.7~0.95となる炉心体系を燃料とポリエチレンの装荷比率の異なる3つの燃料集合体(減速過多,減速不足,最適減速)それぞれを用いて構成した。図1に実効増倍率0.95,最適減速燃料の試験体系を示す。本研究では検出器1の検出器出力を用いて,中性子増倍率の予測精度を評価した。

4. 仮想中性子捕獲法の誤差評価

解析にはモンテカルロコード MVP および核データとして JENDL-4.0 を用いた。解析結果を表 1 に示す。中性子増倍率 予測精度に関する一次要求は, keff≥0.9 で 1%dk, 0.7≤keff<0.9 で 5%dk, keff<0.7 で 10%dk としており、それぞれの範囲の仮

	11	12	13	14	15	16	17	18	19	20	21	2	ポリエチレン
た	2	2	2	2	2	2	2	2	2	2	2	3	ボイド
れ	2	8	2	2	2	2	2	9	2	2	2	6	制御棒①
そ	2	2	2	21	21	21	2	2	2	2	2	7	制御棒②
0	2	9	21	21	21	21	21	6	3	10	2	8	制御棒③
ね	2	15	21	21	21	21	21	14	2	2	2	9	安全棒①~③
な	2	2	7	21	21	21	9	2	2	2	2	10	AmBe線源
'n	2	2	2	11	11	11	2	2	2	2	2	11	検出器A
む	2	2	2	2	2	2	2	2	2	2	2	14	検出器B
う	2	2	2	2	2	2	2	2	2	2	2	15	検出器1

図 1. KUCA 試験体系

表 1. 誤差評価結果

燃料体(最適減速)

番号	燃料要素	中性子 増倍率	評価値	誤差 (%dk)
1	減速過多	0.952	0.966	+1.5
2	減速過多	0.807	0.825	+1.8
3	減速過多	0.690	0.733	+4.3
4	減速不足	0.932	0.959	+2.8
5	減速不足	0.793	0.806	+1.4
6	減速不足	0.716	0.713	-0.3
7	最適減速	0.778	0.790	+1.1
8	最適減速	0.940	0.955	+1.5

想中性子捕獲法の最大誤差は+2.8%dk, +1.8%dk, +4.3%dk であり、本手法は 0.9 未満で要求を満たしている。臨界近接検知システムの運用に関する現在の検討では、0.95 は国際的な未臨界管理基準の上限値、10cm 角のデブリ取り出し時にデブリの落下などで万が一反応度が投入されたときの最大値が 13%dk であり、デブリ取り出しの際には 0.95-0.13=0.82 以下での運用が想定されることから、本手法は 中性子増倍率予測手法として適用できる見込みである。

5. 結論 KUCA 臨界試験において仮想中性子捕獲法の中性子増倍率の予測精度を検証した。本手法は中性子増倍率予測精度に関する一次要求を満たし、炉内臨界近接検知システムにおける中性子増倍率推定法として適用できる見込みである。

謝辞 本件は、資源エネルギー庁『平成 27 年度補正予算「廃炉・汚染水対策事業費補助金(燃料デブリ臨界管理技術の開発)」』の成果の一部を取りまとめたものである。

参考文献

[1] 光安岳他「燃料デブリの臨界管理技術の開発 (34)仮想中性子捕獲法による臨界検知」2017 年秋の大会 2G21 (2017)

*Takeshi Mitsuyasu^{1,2}, Yuichi Morimoto^{1,2}, Koichi Okada^{1,2}, Masanori Akaike^{1,2}, Tsuyoshi Misawa³ and Yasunori Kitamura³ International Research Institute for Nuclear Decommissioning, ²Hitachi-GE Nuclear Energy, Ltd., ³Kyoto University

燃料デブリの臨界管理技術の開発 (46)KUCA 試験による溶解性中性子吸収材の核的特性の評価

Criticality control technique development for Fukushima Daiichi fuel debris (46) Criticality benchmark experiment using soluble boron at KUCA *原田 康弘 ¹, 中野 誠 ¹, 山路 和也 ¹, 三澤 毅 ², 北村 康則 ² ¹IRID(三菱重工), ²京都大学

京都大学複合原子力科学研究所(以下、京大複合研)の臨界集合体実験装置を用いて、燃料デブリ取出し時に使用を検討している高濃度五ホウ酸ナトリウム水(以下、ホウ酸水)による臨界防止性能にかかる核的精度確認試験を実施し、計算コードによる臨界計算の誤差評価(不確定さの評価)を行った。なお、試験には6,000ppm および12,000ppm のホウ酸水を使用した。

キーワード:福島第一原子力発電所事故、溶融燃料、デブリ、臨界安全、中性子吸収材

1. 緒言

燃料デブリ取出し時においてホウ酸水を使用して臨界防止を行う場合、これまでの国内外の軽水炉において使用されているホウ素濃度より高いホウ素濃度のホウ酸水が使用される可能性がある。そのため、本研究では京大複合研の臨界集合体実験装置(KUCA)を用いて、高濃度ホウ酸水を用いて核的精度確認試験を実施し、計算コードによる臨界計算の誤差評価(不確定さの評価)を行った結果を報告する。なお、試験では6,000ppm および12,000ppm の試料を装荷することによる反応度変化を中性子源増倍法等を用いて測定した。

2. 臨界実験の概要

臨界実験は、KUCA(A 架台)を使用し、図 1 に示す炉心により実施した。溶解性中性子吸収材は図 2 に示すようにアクリル容器に密封封入したうえでアルミ容器に入れ、図 1[れ 14]の位置に装荷した。なおホウ水サンプルの設置位置が炉心高さ方向中央となるように、上下にポリエチレン(PE)を装荷した。試験は、6,000ppm、12,000ppm について実施した。また、別途体系の H/U を変化させた試験も同様に実施した。

3. 計算コードの精度確認結果

モンテカルロ計算コード MVP2.0(JENDL4.0 ライブラリ)を用いて、臨界

実験体系をモデル化し、計算コードの精度確認を実施した。再現計算の結果を図3に示す。6,000ppm, 12,000ppmのいずれにおいても、実験での測定値との差は小さく、よい一致を確認した。また、ホウ素濃度が上昇することによる誤差傾向に変化がないことが確認できた。

4. 結論

ホウ素濃度が高濃度となった場合でも計算コードの誤差が既存の臨界実験で得られている誤差と同程度となることを確認した。

謝辞 本件は、資源エネルギー庁『平成27年度補正予算 「廃炉・汚染水対策事業費補助金(燃料デブリ臨界管理 技術の開発)」』の成果の一部を取りまとめたものである。

	9	10	11	12	13	14	15	16	17	18	19	20	21
か	2	2	2	2	2	2	2	2	2	2	2	2	2
ょ	2	2	2	2	2	2	2	2	2	2	2	2	2
た	2	2	2	2	2	F	F	F	2	2	2	2	2
れ	2	2	2	C3	F	Α	F	F	F	s	2	2	2
そ	2	2	2	2	F	F	F	F	F	2	2	2	2
つ	2	2	2	s	F	F	F	F	F	ō	2	2	2
ね	2	2	2	2	F	F	16	F	F	2	2	2	2
な	2	2	2	2	C2	2	2	2	s	2	2	2	2
'n	2	2	2	2	2	2	2	2	2	2	2	2	2
む	2	2	2	2	2	2	2	2	2	2	2	2	2



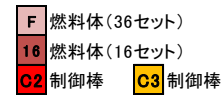




図2 五ホウ酸ナトリウム水サンプル

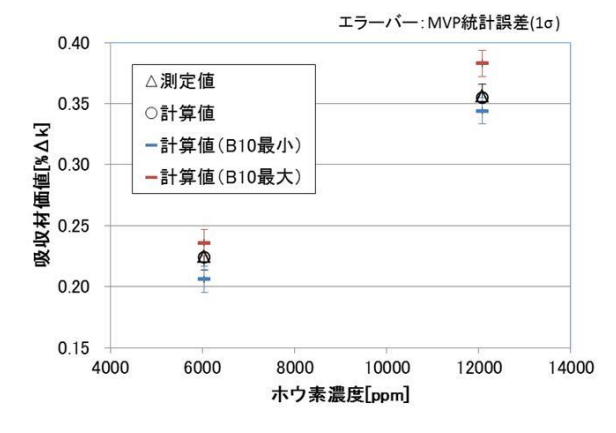


図3 吸収材価値の測定値と計算値の比較

^{*}Yasuhiro Harada¹, Makoto Nakano¹, Kazuya Yamaji¹,Tsuyoshi Misawa²,Yasunori Kitamura²

¹International Research Institute for Nuclear Decommissioning (Mitsubishis Heavy Industries, LTD), ²Kyoto Univ.

(47) KUCA 試験による非溶解性中性子吸収材の核的特性の評価

Criticality control technique development for Fukushima Daiichi fuel debris

(47) Measurement of nuclear reactivity of insoluble absorber by using KUCA test facility

*進藤 雄太 ^{1,2}, 石井 一弥 ^{1,3}, 三澤 毅 ⁴, 北村 康則 ⁴

¹IRID、²東芝エネルギーシステムズ、³日立 GE ニュークリア・エナジー、⁴京都大学 福島第一原子力発電所(以下、1F)燃料デブリ取り出し時の再臨界防止用に開発を進めている非溶解性 中性子吸収材(以下、吸収材)5種類について、臨界試験を行い、中性子吸収能力を実証し、計算コードに よる予測精度を確認した。

キーワード:非溶解性中性子吸収材、デブリ、核的特性、KUCA

1. 緒言

開発中の吸収材はこれまで使用された実績がないため、中性子吸収能力 を実証する必要がある。また、中性子吸収能力を解析で評価する際の不確

かさを評価しておく必要がある。このため、 京都大学の臨界集合体実験装置(以下、 KUCA)を用いて吸収材の反応度価値を測定 した。本試験の目的は、燃料デブリ性状の不 確かさ(=中性子エネルギースペクトルの違 い)が、吸収材の吸収反応度価値に及ぼす影 響確認と、解析手法の検証である。

2. 試験の方法

核的特性試験用に「Gd₂O₃ 粒子」「水中硬 化樹脂」「水ガラス」「B₄C 金属焼結材」「B・

Gd 入りガラス材」の 5 種類の試験材を作製した。Al 容器(図 1)に各試験材を充填しフタをネジ閉めした。 KUCA に吸収材を封入した容器を装荷して、その反応 度価値を中性子源増倍法により測定した。中性子スペ クトルの異なる 2 種類の炉心状態 (最適減速(図 2)、減 速過多)を設定した。空容器を炉心に装荷し、3本の 制御棒を調整して未臨界状態の異なる 2 つの基準状態 をつくり、中性子計数率を測定した。次に吸収材を封 入した容器を炉心に装荷して、中性子計数率の変 化を測定し、反応度価値を求めた。

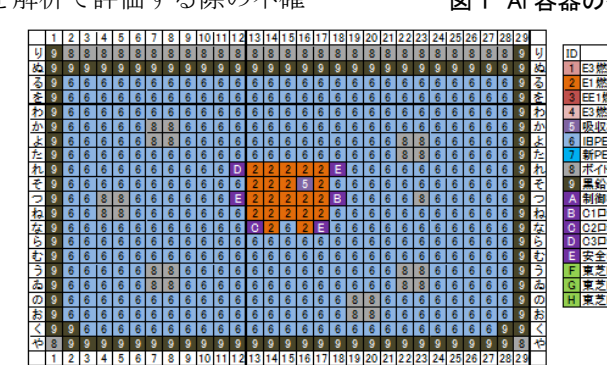


図 2 炉心平面図(最適減速炉心)

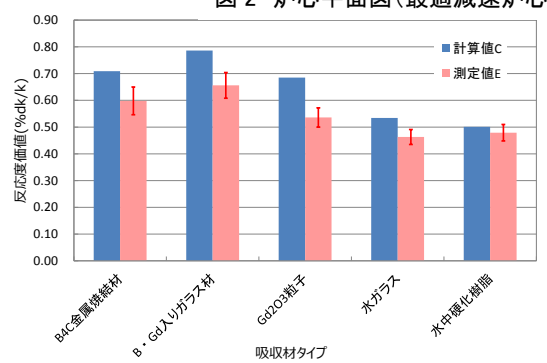


図3 反応度価値の計算値と測定値の比較(最適減速炉心)

3. 試験の結果

最適減速炉心の反応度価値を MVP コード[1]で計算し、測定値と比較した結果を図 3 に示す。C/E は $1.05\sim1.28$ であった。 水ガラス等は 3σ の範囲内で計算値と測定値が一致したが $\mathrm{Gd}_2\mathrm{O}_3$ 粒子は 3σ の範囲内 で一致しなかった。Gd の粒径が大きく(数百μm)、容器内の配置を厳密に模擬できないことが差異の原 因と考えられる。いずれの吸収材も計算値は測定値より高めとなった。減速過多炉心の C/E は 1.07~1.36 であり最適減速炉心と比較するとやや高めであるが、同様の傾向であった。

4. 結論

①新規開発した吸収材の中性子吸収能力が実証された、②吸収材の反応度価値について計算コードによ る予測精度を確認できた。デブリに適用する際には、C/E を考慮して余裕のある量を投入すれば良いと考 えられる。

謝辞 本件は、資源エネルギー庁『平成 27 年度補正予算「廃炉・汚染水対策事業費補助金(燃料デブリ 臨界管理技術の開発)」』の成果の一部を取りまとめたものである。

参考文献 [1] Y. Nagaya, et al., JAERI 1348(2005)

Yuta Shindo^{1,2}, Kazuya Ishii^{1,3}, Tsuyoshi Misawa⁴ and Yasunori Kitamura⁴ ¹IRID, ²Toshiba Energy Systems & Solutions, ³Hitachi-GE Nuclear Energy, ⁴Kyoto University

1M17

燃料デブリの臨界管理技術の開発

(48) 溶液 pH および水素発生に及ぼす非溶解性中性子吸収材の影響

Criticality control technique development for Fukushima Daiichi fuel debris

(48) Effect on Insoluble Neutron Absorbers on pH of a Sloution and Hydrogen Generation *石橋 良 ^{1,2}、石井 一弥 ^{1,2}、藤田 敏之 ^{1,3}、進藤 雄太 ^{1,3}、森本 裕一 ^{1,2} ¹ IRID、 ² 日立 GE、 ³ 東芝エネルギーシステムズ

福島第一原子力発電所(1F)-1/2/3 号機での燃料デブリ取り出し時における臨界管理技術の一つとして、非溶解性中性子吸収材を用いた臨界防止技術を開発しており、副次的影響を検討した結果を報告する。

キーワード:福島第一原子力発電所事故、燃料デブリ、中性子吸収材、臨界防止、ガンマ線照射

1. 緒言

1F-1/2/3 号機の燃料デブリを安全に取り出すため、炉内作業時の臨界管理技術としてほう素(B)、ガドリニウム(Gd)等の熱中性子吸収断面積の大きな元素を含んだ非溶解性の固体、固化体または粘性体(非溶解性中性子吸収材)を用いた臨界防止技術を検討しているり。燃料デブリ取り出し作業後、燃料デブリとともに回収された非溶解性中性子吸収材は数十年ほどの長期間の照射環境に晒される可能性があることから、収納・貯蔵工程における非溶解性中性子吸収材適用による副次的影響の評価が早急の課題である。本研究は、長期間の放射線照射に伴う非溶解性中性子吸収材の副次的影響を評価することを目的とする。

2. 検討方法

非溶解性中性子吸収材候補に対して長期間のガンマ線照射試験を実施し、放射線照射に伴う副次的影響として、1)溶出による構造材腐食等に及ぼす影響、2)水素発生に及ぼす影響を評価した。1)は気中ガンマ線照射材の溶出試験および水中ガンマ線照射試験での試験水水質変化から推定し、2)は水中ガンマ線照射試験によりみかけの水素発生 G 値から推定した。評価した候補材は、 B_4C 金属焼結材、 $B \cdot Gd$ 入ガラス材、 Gd_2O_3 粒子、水ガラス/ Gd_2O_3 造粒粉材、水中硬化樹脂/ Gd_2O_3 造粒粉材である。気中ガンマ線照射試験は、線量率 10 kGy/h で最大 3603 h 実施した。溶出試験では、比液量 40 ml/cm² で 80° Cの 200 倍希釈人工海水中に試験片を 72 h 浸漬した。水中ガンマ線照射試験では、比液量 40 ml/cm² で 500 ml の 200 倍希釈人工海水中に試験片を浸漬し,内部を窒素ガスで満たして密閉した内容積 1000 ml の容器を照射した。事前に測定した試験片位置での線量率は $6\sim9$ kGy/h であり、最大で照射量 11 MGy まで照射した。

3. 結果と考察

3-1. 水質変化

気中ガンマ線照射材の溶出試験液は、水ガラス/ Gd_2O_3 造粒粉材では照射量にかかわらず強アルカリ性 (pH12)を示し、水中硬化樹脂/ Gd_2O_3 造粒粉材では照射量 7.2 MGy 以上になると中性域(pH5 \sim 9)から酸性 (pH4)に移行したが、他の候補材では中性域(pH5 \sim 9)にあった。水中ガンマ線照射試験では、窒素ガスと水との反応により試験水中の硝酸イオン濃度の増加がみられた。試験片のない場合では pH が低下し照射量 6.5 MGy 以上で試験液は酸性(pH2 \sim 3)となった。一方、試験片が存在すると pH の変化は緩和された。収納・貯蔵工程での腐食に及ぼす影響は、対象の構造材料、水量、雰囲気などを考慮する必要があるものの、本検討により候補材それぞれの腐食に及ぼす影響を評価するための知見が得られた。

3-2. 水素発生

ガンマ線が照射されると水の放射線分解により水素分子が発生し、気相に水素ガスとして移行する 20 。本試験では、試験時間に発生した水素ガス量を測定し、液相中の水素分子と平衡状態にあるとしてみかけの水素発生 60 値を算出した。密閉容器を用いた本試験では、照射量が増加するに従い、発生した水素分子が試験液および気相に蓄積することにより、みかけの水素発生 60 値が低下する傾向がみられた。試験片が存在すると、候補材による程度の違いはあるものの、みかけの水素発生 60 値が試験片のない場合と比べて上昇する傾向にあることがわかった。ただし、引き続きデータの拡充が必要ではあるものの、純水における初期水素発生 60 $^{$

謝辞 本件は、資源エネルギー庁『平成 27 年度補正予算「廃炉・汚染水対策事業費補助金(燃料デブリ臨界管理技術の開発)」』の成果の一部を取りまとめたものである。さらに、量子科学技術研究開発機構の施設共用制度に基づき高崎量子応用研究所のガンマ線照射設備を利用して得られた成果の一部である。

参考文献

- [1] R. Ishibashi, T. Fujita, K. Ishii, and Y. Harada, Proc. ICAPP 2017, 17279, (2017).
- [2] 例えば,室屋裕佐, RADIISOTOPES, 66, 425-435 (2017).

^{*}Ryo Ishibashi^{1,2}, Kazuya Ishii^{1,2}, Toshiyuki Fujita^{1,3}, Yuta Shindo^{1,3}, and Yuichi Morimoto^{1,2}

¹International Research Institute for Nuclear Decommissioning (IRID), ²Hitachi-GE Nuclear Energy, Ltd., ³ Toshiba Energy Systems & Solutions, Co.

(49) 水ガラス系中性子吸収材の粘性及び施工性評価

Criticality control technique development for Fukushima Daiichi fuel debris (49) Viscosity and applicability evaluation of water grass based neutron absorber *川野 昌平 1.2, 金子 哲治 1.2, 進藤 雄太 1.2

福島第一原子力発電所の燃料デブリ取出し時の臨界防止用に、非溶解性中性子吸収材(以下、吸収材)の開発を進めている。水ガラスを主成分として酸化ガドリニウム粒子を混合した吸収材の粘度特性に及ぼす材料成分や温度の影響を把握した。また水中での付着特性に及ぼす防錆剤の影響を評価した。

キーワード:非溶解性中性子吸収材、燃料デブリ、粘性、施工性

1. 緒言

粘性体タイプの吸収材は、遠隔施工装置で搬送された後、水中でデブリ表面に拡がって付着する必要があり、搬送中は粘性が低く、デブリ表面に達した後に粘性が増加し硬化する特性が望ましい。そこで水ガラスが主成分の吸収材を対象に、添加材で硬化時間を調整した試験材料を作製し、粘度の時間変化に及ぼす材料成分や温度の影響を測定した。一方、水中での付着特性を昨年報告したが、格納容器等の構造健全性の観点から水中に防錆剤を投入する可能性があるため、防錆剤を含む水中での付着特性を評価した。

2. 試験方法

材料は水ガラス(ケイ酸ソーダ)と Gd_2O_3 、硬化材(セメント)、添加材(第一リン酸ナトリウム)の混合材である。温度を変数として粘度の時間変化を測定し、取得データから材料成分や温度の影響を評価した。さらに、防錆剤を含む水溶液中で SUS304 板に水ガラス系吸収材を流下し、付着面積や厚さを測定した。防錆効果を発現する溶液成分の試験前後の変化を分析した。防錆剤は4種類である。①五ホウ酸ナトリウム、②タングステン酸ナトリウム+五ホウ酸ナトリウム、③リン酸塩系防錆剤(亜鉛/モリブデン酸ナトリウム混合リン酸塩:ZSCMP)、④リン酸塩系防錆剤(亜鉛/炭酸ナトリウム混合リン酸塩:ZSCMP)

3. 試験結果

20,50,80℃の粘度測定結果を図1に示す。粘度は時間とともに増加し、温度とともに粘度増加が早まった。所定粘度に達する時間は温度に対してアレニウス型の式で近似され、各温度での粘度と時間の近似曲線は、実験データと一致した。また、防錆剤環境が付着特性に及ぼす影響を調べた結果、水ガラス系吸収材は4種類の防錆剤環境中でSUS304板上に付着固化することを確認した。試験前後の溶液中のpH測定結果を図2に示す。23kgの水溶液に45gの吸収材を流下した本条件では試験前後に有意差はなかった。

4. 結論

水ガラスを主体とする吸収材の粘度特性を把握するとともに、防錆剤を含む水溶液中でも水ガラス系吸収材は対象物の表面に付着固化することを確認した。

謝辞 本件は、資源エネルギー庁『平成 27 年度補正予算「廃炉・汚染水対策事業費補助金(燃料デブリ臨界管理技術の開発)」』の成果の一部を取りまとめたものである。

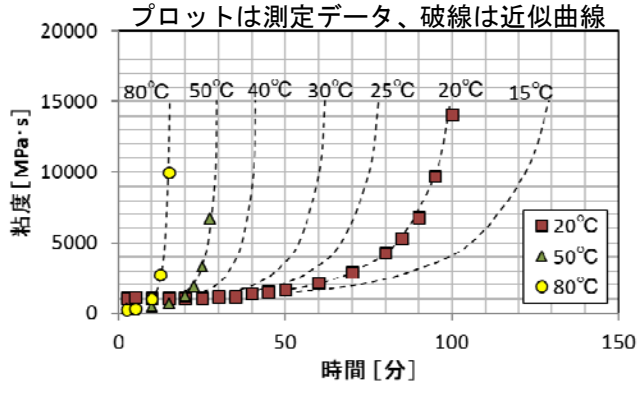


図 1 粘度と時間の温度依存性測定結果および近似曲線成分比;水ガラス:48%、Gd₂O₃:35%、硬化材:10%、残りは水

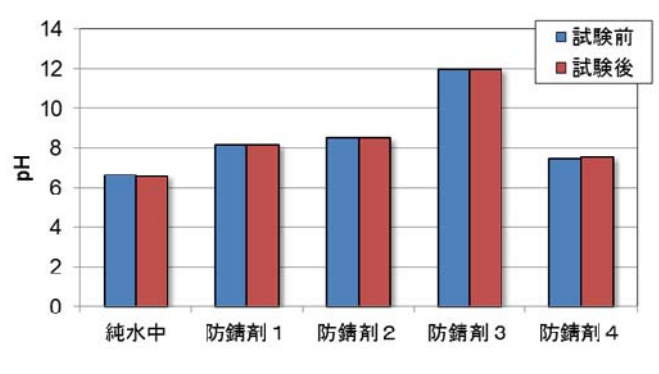


図 2 試験前後の水溶液の分析結果 (pH)

^{*} Shohei Kawano^{1,2}, Tetsuharu Kaneko^{1,2}, Yuta Shindo^{1,2}, ¹IRID, ²Toshiba Energy Systems & Solutions

1M19 2018年秋の大会

界面活性剤自己集合体を用いた非溶解性中性子吸収材の開発(2)

Development of the insoluble neutron absorbers using self-assembled surfactant aggregates(2)

*牛尾 典明 ¹, 小柳 幸司 ¹, 寺﨑 博幸 ¹

『花王株式会社

福島第一原発において安全、かつ迅速に燃料デブリを取り出すことを目的として、非溶解性中性子吸収材を用いた再臨界防止剤の開発を行っている。我々はビスコトップ(VT)による炭化ホウ素を担持した高粘度流動体が有効であると考え、昨年度、VTを用いた粘性体タイプの非溶解性中性子吸収材の提案を行った。ひも状ミセルを形成する界面活性剤自己集合体であるVTは放射線分解が予測される。これまでにVTの耐放射線性と高温における溶出耐性の改善を検討し、改良処方を得ている。今回、改良処方の放射線分解物の定量と水中照射試験を実施した。また、デブリ取出し時の施工を模した検討も進めている。

Keywords: Insoluble neutron absorbers, Surfactant, Viscotop, Worm-like micelles

1. 緒言

水溶液中において、界面活性剤は様々な形態の自己集合体を形成する。数多くの自己集合形態の中で、 ひも状ミセルは非常に高い粘弾性を有する水に不溶な流動体を形成する。ひも状ミセルは多くの炭化ホウ 素粒子を担持する事が出来、またこの流動体は水中で隙間に入り込む事が出来ることから燃料デブリの新 しい破断面に展着可能である。これらのことからVTは再臨界防止剤として貢献出来るものと考えている。

2. VTの放射線耐性

VTはアルキルアリルスルホネート (アニオン) とアルキルアンモニウム塩 (カチオン) とのコンプレックスである。VTは積算照射量 100kGy 程度の γ 線量であれば問題ないが、高い γ 線積算照射量 (7200kGy) に曝されるとアニオン、カチオンともに分解する。昨年度、アニオンをサリチル酸に代替することで分解を抑制できることを報告した。今回、分解物の分析を行い、酢酸、ギ酸、シュウ酸、フェノール等を同定・定量した。また、ヒドロキシル化、メチル化されたサリチル



図1. ビスコトップを用いた スラリーの隙間流動性

酸の存在も示唆された。更に水中照射試験を行ったところ、物性が変化することが分かった。

3. デブリ取出し時施工を想定した検討

本中性子吸収材は水中で高温に曝される可能性があることから、格納容器の水循環環境を模して水中で 本中性子吸収材を高温体に接触させた際の影響を検討した。また、デブリ取出し時の機械力を想定して、 流動性を有する本中性子吸収材が機械力により水中にどの程度拡散するか検討を行った。

4. 結論

我々はVTを改良して燃料デブリの再臨界を防止するための粘性体タイプ非溶解性中性子吸収材を開発した。耐放射線性、高温溶出耐性の改善を行い、放射線分解物の定量を行った。水中照射や施工検討に向けてまだまだ課題は多く残り、更なる改善検討を行っている。本発表では最新知見を紹介する予定である。

謝辞 本研究は量子科学技術研究開発機構の施設共用制度を用いて実施した。

参考文献

[1] 牛尾, 小柳, 寺崎, 日本原子力学会 2017 年秋の大会予稿集, 3G05, (2017)

^{*}Noriaki Ushio¹,Kouji Koyanagi¹ and Hiroyuki Terazaki¹

¹Kao Corporation

Oral presentation | VI. Fusion Energy Engineering | 601-1 Plasma Technology, including Inertial Confinement Fusion / 601-4 Reactor Component Technology, First Wall, Divertor, Magnet

[1N01-07] Engineering and Design for Nuclear Fusion (Heat and Masstransfer Characteristic, Engineering Design)

Chair:Teppei Otsuka(Kindai Univ.)

Wed. Sep 5, 2018 10:00 AM - 11:55 AM Room N (D23 -D Building)

[1N01] Spatial Distribution of Ion Generation in a Linear-type Inertial Electrostatic Confinement Fusion Device

*Tomonobu Itagaki¹, Jun Hasegawa¹, Shinnosuke Tabata¹, Eiki Hotta¹, Kei Takakura¹ (1. Tokyo Institute of Technology)

10:00 AM - 10:15 AM

[1N02] Design against Cavitation in a Downstream Conduit of the Liquid Lithium Target for IFMIF

*ChangHo Park¹, Hiroo Kondo¹, Makoto Oyaizu¹, Yasushi Hirakawa², Tomohiro Furukawa² (1. National Institutes for Quantum and Radiological Science and Technology, 2. Japan Atomic Energy Agency)

10:15 AM - 10:30 AM

- [1NO3] Emissivity measurement on lithium-lead droplet while falling in vacuum *Fumito Okino¹, Keisuke Mukai¹, Juro Yagi¹, Satoshi Konishi¹ (1. I.A.E. Kyoto-U.) 10:30 AM 10:45 AM
- [1NO4] Plasma-driven hydrogen isotope permeation in tungste deposition layer *Daisuke Mori¹, Kazunari Katayama¹, Satoshi Fukada¹ (1. Kyushu Univ.) 10:45 AM 11:00 AM
- [1N05] Development of tungsten laminated composite for suppresion of lowtemperature brittleness

*Takefumi Hazama¹, Shuhei Nogami¹, Hiroyuki Noto², Takuya Nagasaka², Takeshi Miyazawa¹, Akira Hasegawa¹ (1. Tohoku University, 2. National Institute for Fusion Science) 11:00 AM - 11:15 AM

[1N06] Evaluation on structural integrity of cylindrical blanket structure under load conditions of ITER

*Wenhai Guan¹, Hyoseong Gwon¹, Hisashi Tanigawa¹, Takanori Hirose¹, Yoshinori Kawamura¹ (1. QST)

11:15 AM - 11:30 AM

[1N07] A fast discharge scheme of toroidal field coils for a fusion demo reactor *yasuyuki Itoh¹, Hiroyasu Utoh²,³, Yoshiteru Sakamoto²,³, Ryoji Hiwatari²,³ (1. Fukui University of Technology, 2. National Institutes for Quantum and Radiological Science and Technology, 3. Joint Special Design Team for Fusion DEMO)

11:30 AM - 11:45 AM

1N01

直線型慣性静電閉じ込め核融合装置におけるイオンの生成分布

2018年秋の大会

コンパクト中性子源への応用を目指し、冷却に有利な直線型慣性静電閉じ込め核融合(IECF)装置を開発している。装置内部の粒子速度分布と初期イオン生成分布を分光測定およびモンテカルロシミュレーションにより解析した。

キーワード: 慣性静電閉じ込め核融合,中性子源,分光測定,放電プラズマ

1. 緒言

慣性静電閉じ込め核融合(IECF: Inertial Electrostatic Confinement Fusion)では、希薄な重水素ガス(~1 Pa)を充填した真空容器内部に高電圧(~100 kV)の陰極および接地電位の陽極を配置し、グロー放電により生成した重水素イオンを静電界により加速・収束させて核融合反応を起こす。装置構成が単純で比較的小型で取り回しの良い中性子源として地雷探査[1]などへの応用が期待されている。

2. 円筒直線型 IECF 装置

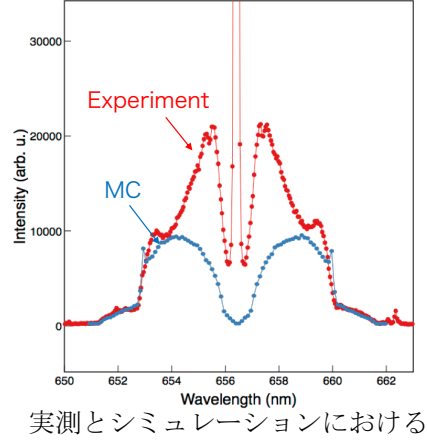
放電電極の冷却は IECF 装置の課題である. 我々は直線的な電極配置を持つ IECF 装置を開発した. 装置全体は円筒形状で,両端に接地陽極,中央に中空陰極が配置され,分光測定のため壁面にガラス管が用いられている. この構造により全ての電極を接触伝熱により効率的に冷却できるのが特徴である.

3. 分光測定によるイオン速度の分析

IECF 装置内では静電界で加速されたイオンと中性背景ガス分子との荷電交換反応により高速の中性粒子が生成される. 高速中性粒子が放射する光の波長は, 粒子速度に応じてドップラーシフトすることを利用し, 軽水素放電時のバルマー α線(中心波長 656.3 nm)の発光スペクトルを観測することで, 核融合反応に寄与しうる高速粒子の速度分布を分析した.

4. モンテカルロ・シミュレーションによる分析

分光測定と並行して、一次元モンテカルロ (MC) 計算により高速粒子の速度分布を解析した. MC 計算では、イオンの初期生成分布を任意に与えることができるので、様々な初期条件のもとで粒子速度分布を求めた.



実測とシミュレーションにおける 典型的な Hα スペクトル (軽水素, 30 kV, 0.57 Pa)

5. 実験結果および解析結果

典型的な分光測定および MC 計算の結果を示す. MC 計算では、初期イオンを空間的に一様に生成した. ドップラーシフトの小さい領域で相対的に大きな発光が観測され、MC 計算の結果と大きな違いが見られた. この結果は、イオン生成領域が加速ポテンシャルの低い陰極側に偏っていることを示唆している. 講演ではより詳細な分析により、直線型 IECF 装置中での初期イオン生成分布について議論する.

参考文献

[1] K. Yoshikawa et al. "Research and development of a compact discharge-driven D–D fusion neutron source for explosive detection", Nucl. Instr. and Meth. in Phys. Res. B 261 (2007) pp.299–302

^{*}Tomonobu Itagaki¹, Jun Hasegawa¹, Shinnosuke Tabata¹, Eiki Hotta¹ and Kei Takakura¹

¹Tokyo Institute of Technology.

1N02 2018年秋の大会

IFMIF の液体リチウムターゲットの下流配管での キャビテーション現象に対する設計検討

Design and Countermeasures against Cavitation in a Downstream Conduit of the Liquid Lithium Target for IFMIF

*朴 昶虎¹,近藤 浩夫¹,小栁津 誠¹,平川 康²,古川 智弘² ¹量子科学技術研究開発機構,²日本原子力研究開発機構

A liquid-lithium (Li) free-surface stream flowing under a high vacuum serves as a Li target. To clarify the cause of this acoustic noise in the downstream conduit of Li target assembly of ELTL, we found the method to determine this conflict (initial arrival) location was formulated. To examine the detailed location of the cavitation-like acoustic noise, the change of initial arrival position in the downstream conduit according to the velocity of Li target was calculated by the flow analysis, and the design and countermeasures against this type of cavitation were discussed.

Keywords: IFMIF, Liquid lithium target, Cavitation

【序論】高真空下で流動する液体リチウム(Li)自由表面類は、IFMIF/EVEDAプロジェクトのLiターゲットシステムに対する日本の主要活動により、Li試験ループ(ELTL)を利用したLiターゲットの下流配管で生じたキャビテーションのような異音放出が報告された。この異音の原因を明確にするため、アコースティックエミッションセンサーを用いて下流曲げ配管の狭い領域での音響放出の特定ができ、この衝突(初期到着)の位置を決定する手法として策定した。間欠的な高周波異音は、キャビテーション気泡の崩壊により構造材料のキャビテーションエロジョンの原因となる。本研究では、キャビテーション現象を防止することを目的として、流動解析によるLiターゲットの速度に対するターゲットの下流配管内の初期到着位置の変化を計算による異音の詳細な位置を特定し、下流配管からターゲットアッセンブリから吐き出される高速リチウム流を安定な流動状態に変換すると共に重陽子ビーム入熱を均一化して主循環系に戻す為のクエンチタンクまでの流動場設計検討を行った。

【設計検討・結論】 既存のL字型下流配管(図1a)ではLiターゲットの下流配管内面に当たる角度が高くキャビテーシ

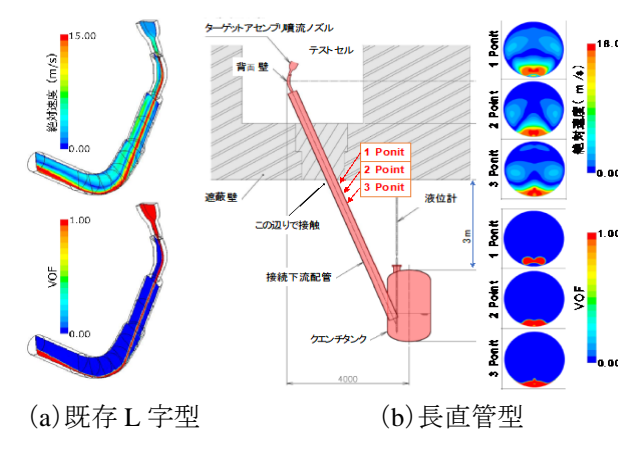


図1 接続配管内での接触(初期到着位置の把握)

ョンが生じやすい構造であるため、クエンチタンクまでの下流配管を長直管型(図1b)として設計を見直し、ANSYSを用いてLiターゲットからクエンチタンクへの突入方式及びクエンチタンク配置と流動解析・検討を行った。配管内流況解析結果からキャビテーションの恐れはまだ残っているが、接触部を遮蔽の外に出すことで肉厚監視

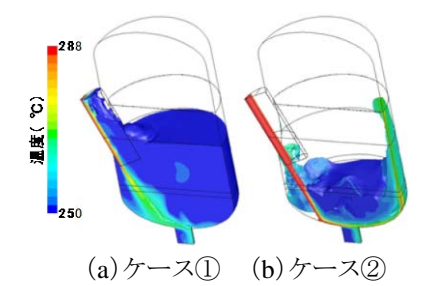


図2 クエンチタンクへの突入方式

検討している。クエンチタンクへの突入方式は、二つのケースとして、ケース ①の場合(図2a)、クエンチタンク内液面はほとんど乱れなくクエンチタンク上

部の真空排気配管と液面計管台への影響が少なかった。又、ケース②の場合(図2b)、接続配管に逆流はしないが、クエンチタンク内液面が大きく乱れてクエンチタンク内液位が少なすぎた。いずれのケースでも、温度が均一化する前にクエンチタンクから流出して周期的な温度変化が生じた。内部構造を設けて、温度均一化を図ったのち、流出させることが必要である。又、クエンチタンクは電気計装品の寿命・メンテナンス・液位計の引抜等を考慮する為に遮蔽から3mの間隔を離して配置した。今後、解析モデルの改良を行ってLiターゲット下の下流配管~クエンチタンク構造を決定していく。

^{*}ChangHo Park¹, Hiroo Kondo¹, Makoto Oyaizu¹, Yasushi Hirakawa² and Tomohiro Furukawa²

¹National Institutes for Quantum and Radiological Science and Technology, ²Japan Atomic Energy Agency

1 N 0 3 2018年秋の大会

リチウム鉛液滴の真空落下中 "ふく射率" 測定

Emissivity measurement on lithium-lead droplet while falling in vacuum

*興野 文人 ¹, 向井 啓祐 ¹, 八木 重郎 ¹, 小西 哲之 ¹
「京都大学 エネルギー理工学研究所

リチウム鉛(PbLi)液滴から熱エネルキーを真空下で回収する概念において落下中液滴表面の全半球ふく射率(ε)は 熱回収能率を評価する最重要パラメータであるが実測値は未報告である。今回試験装置を試作し放射測定法に より 0.2~0.3 の値を得た。今後追加実験と理論解析により妥当性を検証する。

キーワード:液体リチウム鉛、PbLi、液滴、真空、熱回収、ふく射率

1. 緒言

液体リチウム鉛(PbLi)液滴から真空落下中に熱エネルギーを回収する概念の実現性をシミュレーションにより検討し平均径 0.17mm の場合 ϵ が 0.3 程度あれば実用レベルの回収が可能となる事を演者らは報告している。その成立性は PbLi 液滴のふく射率 ϵ に大きく依存するが、液体金属の ϵ に関しては水銀(非酸化状態)での報告がある

のみで PbLi に関しては未報告である。金属表面の ε は表面粗度や酸化膜の存在に大きく依存し同一材料に於いても 0.1 から 0.9 近くにまで変化する事が報告されており[1]、新鮮な表面を持つ液体金属では実測が不可欠であるため、その手法を開発し初期的結果について報告する。

2. 測定手法と実測結果

2-1. 落下中液滴の ε 測定手法

Fig. 1 に示す LiPb 液滴製造装置により InfRec 社製赤外線温度計 H-9000 (波長域 2.0μm-5.7μm)を用い容器外より落下中液滴の温度を測定した。チャンハーカ面と校正用熱電対は 400℃でヘーキンク・し粗黒体に変色させ使用した。液滴の実態温度はノス・ル直近に設置した熱電対の温度を利用し観測点までの落下時間は0.05s 以内として温度変化を 1%以下に抑えた。 ビューポートはサファイア製を使用し測定温度該当波長に対する透過率を確保した。 ε は、

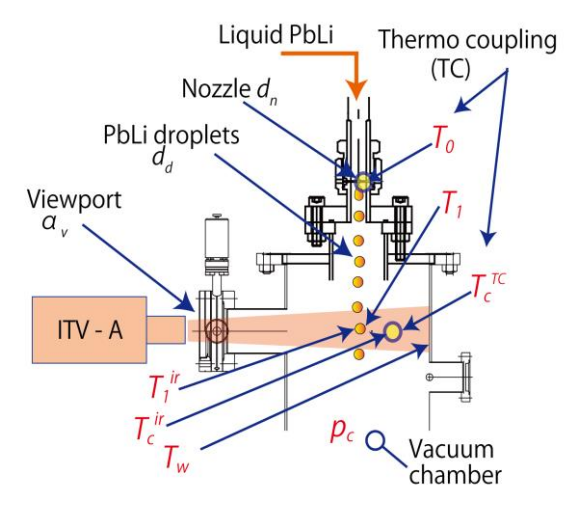


Fig. 1 ϵ 測定装置概念図 ITV-A は赤外線温度計、 T_0 , T_1 , T_e , T_w は液滴 / χ * ν 点、液滴計測点、熱電対、壁面の温度、ir は赤外線表示温度を示す。

放射計測には壁面の反射を考慮し、液滴温度 T_I と壁面温度 T_w より $\varepsilon = (T_i^4 - T_w^4)/(T_I^4 - T_w^4)$ で算出した。

2-2. 測定結果と考察

液滴径 0.8mm 温度 400 \mathbb{C} で 3 回の測定を実施。結果の一例を Fig. 2 に示す。 今回の測定から得られた ϵ は 0.2 ~0.3 であった。今後は測定回数の増加、表面性状に対する変動要因を加味した追加測定を実施し信頼性を向上させる。

3. 結論

真空中を落下する金属液滴の ε 値の測定に成功した。熱回収法としてのフィジビリティを確証するには熱収支の評価とあわせ信頼性の向上が必要。本研究は NIFS 一般共同研究(NIFS18KEMF115)により実施した。

参考文献

[1] R. Siegel & J.R. Howell, Thermal radiation heat transfer 2nd ed. CH. 5, pp. 122-166.

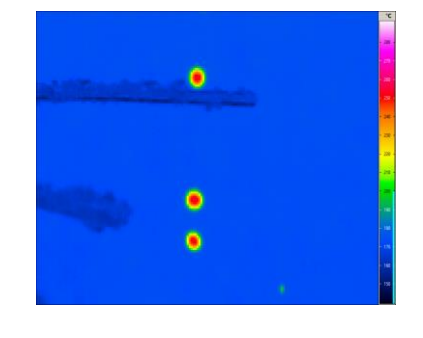


Fig. 2 落下中液滴表面温度計測例 青色は壁面、水平棒は校正用の熱電対 $T_l, T_l, T_w = 400,268,185$ $^{\circ}$ $^{\circ}$ 液滴径 0.8mm $\epsilon = 0.26$

^{*}Fumito Okino¹, Keisuke Mukai¹, Jyuro Yagi¹ and Satoshi Konishi¹

¹Kyoto Univ., Institute of Advanced Energy.

1N04

タングステン堆積層におけるプラズマ駆動水素同位体透過挙動

Plasma-driven hydrogen isotope permeation in tungsten deposition layer

*森 大輔 ¹, 片山 一成 ¹, 平中 芳樹 ¹, 深田 智 ¹

核融合炉内でスパッタリングにより形成される金属堆積層における水素同位体挙動の把握はまだ十分に 行われていない。高周波プラズマ装置を用いて水素プラズマスパッタリングによるタングステン堆積層の 形成とそれに伴う水素透過挙動を観測したところ、堆積に伴う透過フラックスの減少が確認された。

キーワード: タングステン,スパッタリング,水素透過

1. 緒言

プラズマ対向壁におけるトリチウム挙動の理解は、核融合炉の安全性及び燃料サイクル成立性の観点から重要な課題である。タングステン(W)は、プラズマ対向材料として有望視されており、国内外でトリチウム挙動に関する研究が進められている。本研究グループは、プラズマスパッタリングにより形成される W 堆積層に注目した研究を進めている。これまでに、水素プラズマスパッタリングによる W 堆積層形成過程での水素取込量の評価や、ガス駆動水素透過実験による水素拡散係数、水素溶解度定数の定量を行った。しかし実際のプラズマ対向壁環境では、プラズマ駆動によるトリチウム透過が生じる。そこで本研究では、W 堆積層作製用の高周波スパッタ装置を改良し、W 堆積層形成過程でのプラズマ駆動透過による水素透過フラックスを計測した。

2. 実験

図 1 に実験装置概略図を示す。W 堆積層作製用の高周波プラズマ装置のグラウンド電極側に厚み 20μm の円板状 Ni 基板を設置した。Ni 基板は銅ガスケットと穴あきフランジによって挟み、穴あき部分から W スパッタターゲットが見通せる構造となっている。なお、ターゲットと Ni 基板の距離は可変である。Ni 基板設置後、ターボ分子ポンプによりプラズマ側及び透過側の真空排気を行い十分に排気ができたのちにプラズマ側にマスフローコントローラーを介して水素ガスを導入しガス圧を調整した。その後高周波電極に電力を印加してプラズマを点火した。Ni 基板及び W 堆積層を透過した水素は、四重極質量分析計を用いて測定した。Ni 基板温度は下部から挿入した熱電対により測定した。

3. 結果 · 考察

高周波電力 100W、水素圧力 10Pa での観測された水素透過フラックスを図 2 に示す。基板温度は、およそ 100℃であった。プラズマの点火後、比較的速やかに透過水素が観測された。その後、水素透過フラックスは、ピークを示した後、徐々に減少した。はじめは水素の飛程未満の厚さの W 堆積層が入射側への拡散抵抗として働くため高いフラックスを示し、厚みが増すことで徐々に減少する様子が観測された。Ni 基板の厚み 20μm に対して、実験終了までに形成される W 堆積層の厚みは 1μm よりも小さいと見積もられている。本結果は、わずかな堆積層の形成が水素透過に影響を及ぼすことを示す。今後、印加電力や水素圧力等を変えてデータを取得し、数値解析によって再結合係数等のパラメータの評価を行う予定である。

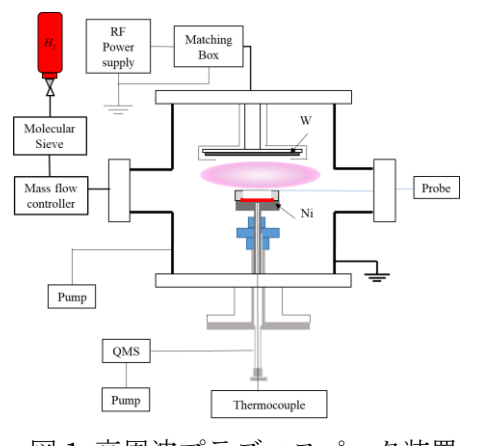


図1 高周波プラズマスパッタ装置

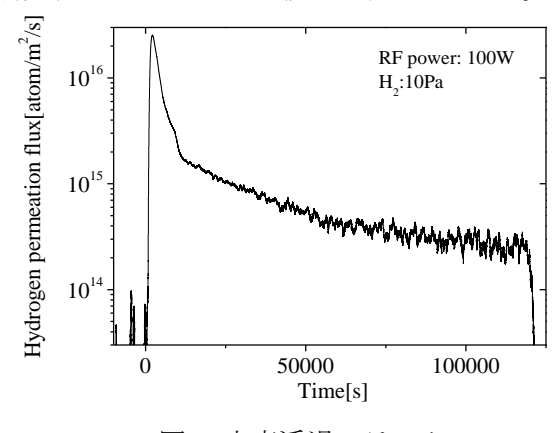


図2 水素透過フラックス

^{*}Daisuke Mori¹, Kazaunari Katayama¹, Yoshiki Hiranaka¹ and Satoshi Fukada¹

¹Kyushu Univ.

1N05

低温脆性の改善に向けたタングステン積層複合材料の開発

Development of tungsten laminated composite for suppression of low-temperature brittleness

* 間 偉文¹, 野上 修平¹, 能登 裕之², 長坂 琢也², 宮澤 健¹, 長谷川 晃¹

「東北大学, ²核融合科学研究所

タングステン(W)の課題である低温脆性の改善のため、室温で延性を示す純Wフォイルを用いたWフォイル積層複合材料が先行研究において開発された。本発表では、同複合材料の使用上限温度向上を目的とし、再結晶化を抑制したカリウム(K)ドープWを用いた積層複合材料の開発状況について報告する。

キーワード: ダイバータ, タングステン, 低温脆性, 延性, 積層複合材料

1. 緒言

タングステン(W)は融点、熱伝導率およびスパッタリング耐性などの観点から核融合炉ダイバータの候補材料として期待されているが、Wの低温脆性による機器の損傷が懸念されている。強加工したWフォイルは室温でも延性を示すことが報告されているが、構造材料として利用する際には材料の薄さが課題となることがある。これらの課題に対して、室温での延性を有する純Wフォイルを積層し、複合化することで、構造材料としての利用を可能にした純Wフォイル積層複合材料の研究がなされている。一方、強加工したWフォイルでは再結晶が通常のWよりも起こりやすいとされており、再結晶の抑制が課題とされている。本研究では、カリウム(K)を添加し、再結晶を抑制したKドープWフォイルを用いることでW積層複合材料の使用上限温度の向上を目指したKドープWフォイル積層複合材料の開発を目的として材料の製作を行い、その特性の評価を行った。

2. 実験方法

供試材は、㈱アライドマテリアル社製の粉末焼結と圧延で製作した厚さ $0.2~\mathrm{mm}$ の K ドープ W 材(以下 KWF)である。初めに、素材の再結晶挙動について調べるため、受入れまま材を真空中で 800° Cから 1500° C において $1~\mathrm{fhll}$ 時間熱処理を行い、ビッカース硬さを測定した。次に、低温域での延性を調べるため受入れまま材から平行部 $5~\mathrm{mm}$ x $1.2~\mathrm{mm}$ x $0.2~\mathrm{mm}$ の引張試験片(SS-J 型)を製作し、室温大気中と 200° C真空中において引張試験を行った。ここでは、引張試験片の長手方向を圧延方向とした。この KWF と、中間材を交互に積層し、一軸加圧、高温保持により接合した。中間材は厚さ $0.05~\mathrm{mm}$ の純バナジウム(V)または、純銅(Cu)を用いて、KWF5 枚と中間材 $4~\mathrm{th}$ ないらなる積層複合材を得た。積層のための接合条件は、圧力 $20~\mathrm{MPa}$ 、保持時間 $1~\mathrm{th}$ 時間 $1~\mathrm{th}$ 時間 $1~\mathrm{th}$ 接合温度 900° C(KWF/Cu および KWF/V)および 1250° C(KWF/V のみ)で行った。これら積層複合材料の低温域での変形挙動および延性を調べるため、試験片の長手方向を圧延方向として、 $20~\mathrm{mm}$ x $1.5~\mathrm{mm}$ x $1.2~\mathrm{mm}$ の曲げ試験片を製作し、室温大気中において $4~\mathrm{ch}$ 点曲げ試験を行った。

3. 結果

ビッカース硬さ測定の結果、供試材の KWF は 1350^C以上での熱処理により硬さが大きく低下しており、再結晶していることが示唆された。また、引張試験の結果、室温および 200 ^Cにおいて延性が確認された。 4 点曲げ試験の結果、900^Cで接合した W/Cu 積層複合材料についてはき裂を伴わずに塑性変形し、延性を示した。900^Cで接合した W/V 積層複合材料については塑性変形はほとんどせず、試験片の端部からき裂が発生し、接合界面でき裂が偏向することによる擬延性を示した。1250^Cで接合した W/V 積層複合材料については塑性変形を示した後、試験片中央付近からき裂が発生し、接合界面でき裂が偏向することにより、両者の中間的な挙動を示した。発表では W の再結晶の挙動と積層複合材の室温での脆化について検討した結果についても報告する。

^{*}Takefumi Hazama¹, Shuhei Nogami¹, Hiroyuki Noto², Takuya Nagasaka², Takeshi Miyazawa¹, Akira Hasegawa¹

¹Tohoku Univ., ²National Institute for Fusion Science.

1N06 2018年秋の大会

ITER の負荷条件における円筒型 TBM 筐体の構造健全性評価

Evaluation on structural integrity of cylindrical blanket structure under load conditions of ITER *管文海」,権暁星」,谷川尚」,廣瀬貴規」,河村繕範」 1量子科学技術研究開発機構

核融合炉ブランケットには熱負荷や冷却材の圧力による高い応力が生じるため、構造体の力学状態を把 握した上で構造健全性を確保することが必要である。本研究では、ITERにおける負荷条件を適用し、量研 機構が開発している水冷却固体増殖 TBM の円筒型筐体の構造健全性を評価した。

キーワード: Test Blanket Module, Thermo-mechanical analysis, F82H

1. 緒言

日本は水冷却固体増殖ブランケットの研究開発を進めている。従来検討されてきた箱型ブランケットに おいて内部冷却管の破断を想定し、筐体に耐圧性を持たせる場合には、筐体が肉厚となるためにトリチウ ム増殖性能が低下することが懸念されている。そこで量研機構は円筒型筐体のブランケットモジュールを 開発した。本研究では、構造材料である低放射化フェライトマルテンサイト鋼(F82H)の特性と圧力容器構 造規格に基づいて、ITER の負荷条件下での筐体の温度分布および静的力学状態を材料特性に基づく基準値 と比較し、円筒型筐体の構造健全性を総合的に評価する。

2. 解析

開発した円筒型 TBM のサブモジュールを図 1 に示す。筐体と内部構造とは中性子増倍材の充填体で仕 切られていて直接の相互作用がないことから、筐体のみをモデル化した。解析モデルは円筒形筐体の 1/4

モデルとし、内圧および熱負荷により生じる応力を有限 要素解析コード ANSYS による弾完全塑性解析により評 価した。設計条件である冷却材圧力 17.2 MPa、温度 343℃ を冷却流路に負荷し、中性子壁負荷 0.78 MW/m² を考慮し て核計算から求めた発熱密度分布を筐体全体に負荷した。 表面熱負荷 0.3 MW/m² を半球殻に負荷した。対称条件を 考慮した拘束条件において評価した応力状態を対象とし、 圧力容器構造規格に基づいて構造健全性を評価した。

3. 結果

解析結果の一例として、内圧のみが負荷された半球殻 外側のトレスカ応力分布を図2に示す。半球殻と円筒の 遷移部で最大 230 MPa の応力が確認され、天頂の応力は 116 MPa であった。天頂部には最も高い熱負荷が与えら れることから、繰返し荷重を含む構造健全性を検討する 必要がある。講演では、熱負荷や繰返し負荷の解析結果 に併せて、設計疲労曲線を含む材料特性に基づく基準値 と比較し、考察した成果を報告する。

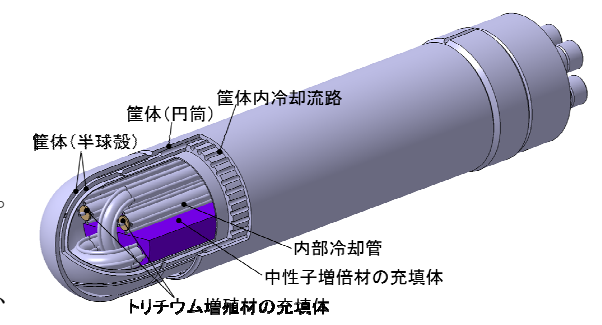


図 1、円筒型 TBM の構造

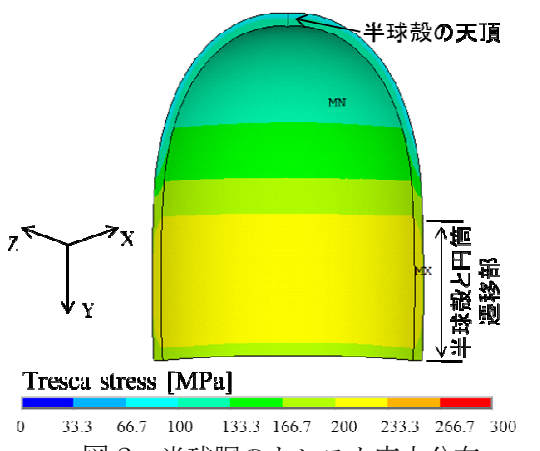


図2、半球胴のトレスカ応力分布

^{*}Wenhai Guan¹, Hyoseong Gwon¹, Hisashi Tanigawa¹, Takanori Hirose¹ and Yoshinori Kawamura¹

¹National Institutes for Quantum and Radiological Science and Technology

核融合原型炉トロイダル磁場コイルの高速放電スキーム

A Fast Discharge Scheme of Toroidal Field Coils for a Fusion Demo Reactor *伊藤 保之¹, 宇藤 裕康^{2,3}, 坂本 宜照^{2,3}, 日渡 良爾^{2,3} 「福井工大, ²量研, ³原型炉設計合同特別チーム

16 本で構成される TF コイルを 2 分割し (8 本 \times 2 ,偶数番目と奇数番目のコイル群を電気的に分離),異常となった側のみを高速放電することで,放電時間を増大させることなく絶縁電圧の低減化を図る。 キーワード:核融合原型炉,トロイダル磁場コイル,高速放電,絶縁電圧,インダクタンス

1. 緒言

原型炉設計合同特別チームが提示している炉概念において、トロイダル磁場(TF) コイルは、その寸法が ITER の 1.5 倍程度になることから、導体電流値を同程度とすればインダクタンスが 3-4 倍程度にまで増大する。このためクエンチ等の異常時に ITER と同様の放電スキーム[1] や放電時定数を採用して高速放電を行おうとすると、巻線間絶縁電圧 v_T の大幅増大が不可避となり、TF コイルの信頼性を大きく損なうことになりうる。本報ではこの問題を回避すべく絶縁電圧の増大が抑えられる高速放電スキームを提案する。

2. TF コイル放電スキーム

2 分割した TF コイルの導体本数 N は 1/2 になるので、その自己インダクタンス L が概ね元のコイルの 1/4 になることから、与えられた時定数に対し高速放電時の巻線間電圧(∞ L/N)を半減できると期待される。しかしながら、異常となった分割 TF コイル(導体電流値 I_1)のみに抵抗 R_1 を接続して放電させると、磁束が正常コイル側に乗り移ってその導体電流値 I_2 を増大させるため、正常コイルにも抵抗(R_2)を接続して磁束を消費させる必要がある。

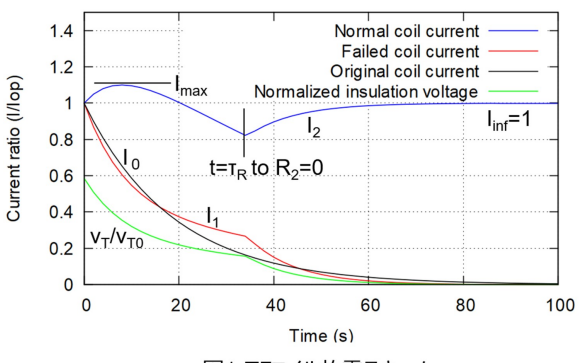


図1 TFコイル放電スキーム V_{T0} : 元コイルの巻線間最大電圧 $(I_{OP}R_0/N)$

3. 結論

本放電スキームの採用により、 $I_{max}/I_{op}\sim1.1$ に対して巻線間絶縁電圧 v_T を 60%程度に抑えられることが判った(図 1)。正常コイルの許容電流値は PF コイル磁場が発生させる転倒力を考慮して定める必要がある。

参考文献

[1] ITER DDD 11, Magnet, 2.4 Fault and Safety Analysis, Annex 6a, N 11 DDD 175 01-07-13 R 0.1

^{*}Yasuyuki Itoh ¹, Hiroyasu Utoh ^{2, 3}, Yoshiteru Sakamoto^{2, 3}, Ryoji Hiwatari^{2, 3}

¹Fukui University of Technology, ²National Institutes for Quantum and Radiological Science and Technology, ³Joint Special Design Team for Fusion DEMO

Oral presentation | VI. Fusion Energy Engineering | 601-3 Tritium Science and Technology (Fuel Recovery and Refining, Measurement, lisotope Effect, Safe Handling)

[1N08-10] Tritium Engineering (Detritiation and Recovery Process)

Chair:Yoshimi Kasugai(JAEA)

Wed. Sep 5, 2018 2:45 PM - 3:35 PM Room N (D23 -D Building)

[1N08] Evaluation of production of tritiated methane in catalytic reactor of detritiation system

*Yuki Edao¹, Hiroo Asahara¹, Katsumi Sato¹, Yasunori Iwai¹ (1. QST)

2:45 PM - 3:00 PM

[1N09] Study on detritiation efficiency of atmospheric detritiation system in an event of fire at fusion facility

*Yasunori IWAI¹, Yuki EDAO¹ (1. National Institutes for Quantum and Radiological Science and Technology)

3:00 PM - 3:15 PM

[1N10] Recovery of tritium in liquid blanket from counter-current liquid-gas

*Satoshi Fukada¹, Kinjyo Mao¹, Nishikawa Terunori¹, Katayama Kadzunari¹, Makoto Oya¹ (1. Kyushu University)

3:15 PM - 3:30 PM

1 N 0 8 2018年秋の大会

トリチウム除去系の触媒塔におけるトリチウム化メタン生成評価

Evaluation of production of tritiated methane in catalytic reactor of detritiation system

*技尾 祐希 ¹, 浅原 浩雄 ¹, 佐藤 克美 ¹, 岩井 保則 ¹ ¹量研機構

異常時用トリチウム除去系の触媒塔システム設計検討のために必要な情報として、火災時に発生するメタンとトリチウムが触媒塔内で反応して生じるトリチウム化メタンの生成挙動を調べた。

キーワード:核融合,トリチウム除去系,触媒塔,トリチウム酸化,トリチウム化メタン生成

1. 緒言

ITER のトリチウム除去系 (DS) は、火災等の異常時においても確実にトリチウムを除去する必要がある。 異常時用 DS におけるトリチウム酸化触媒塔は、トリチウムを室温で酸化可能な室温触媒塔と 200℃の低温 触媒塔の 2 連の触媒塔で構成される。火災時のメタン発生とトリチウム漏洩が同時に発生した場合、DS の 触媒塔内でトリチウムを処理する過程において、触媒塔内でメタンとトリチウムが反応し、トリチウム化 メタンが生成する。トリチウム化メタンの生成量によっては、異常時用 DS の触媒塔の設計においてトリ チウム化メタン酸化用の 500℃の高温触媒塔が必要となる。本研究では、触媒塔におけるトリチウム化メタ ンの生成挙動を実験により調べた。

2. 実験

触媒塔におけるトリチウム化メタンの生成量を評価するために循環処理型の実験装置を整備した。メタンガス濃度が 0.5%になるように調整した 12m^3 の気密容器内に約 0.5GBq のトリチウムを放出し、1L の白金触媒を充填した触媒塔に $1.3\text{Nm}^3\text{h}$ の処理流量で約 30 時間循環させた。気密容器内のトリチウム濃度とトリチウム化メタン濃度を測定し、触媒塔におけるトリチウム化メタンの生成量を評価した。

3. 結果 • 考察

図 1 に触媒温度 200℃におけるトリチウム濃度及びトリチウム化メタン濃度の経時変化を示す。トリチウム濃度は気密容器の容積と処理流量から導出される理論的な除去挙動に従って低下することが確認できた。触媒塔で生成するトリチウム化メタンは気密容器内に蓄積するが、トリチウム化メタン濃度はトリチウム濃度に比べて十分に小さく、トリチウム化メタンの生成速度が極めて遅いことがわかった。約 30h の循環運転でトリチウム化メタン濃度は蓄積により上昇したが、実際の異常時用 DS はワンススルーで稼働することから、異常時用 DS の設計ではトリチウム化メタンを処

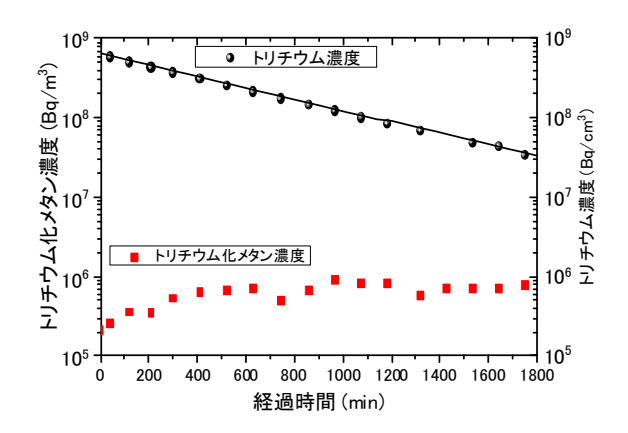


図 1 気密容器内のトリチウム濃度及びトリチウム化メタン濃度の経時変化

理するための高温の触媒塔を追加する必要がないことを明らかにした。

1QST

^{*}Yuki Edao¹, Hiroo Asahara¹, Katsumi Sato¹, and Yasunori Iwai¹

1N09 2018年秋の大会

核融合施設火災時のトリチウム除去システムの性能確保に関する研究

Study on detritiation efficiency of atmospheric detritiation system in an event of fire at fusion facility *岩井保則,枝尾祐希

量子科学技術研究開発機構

大量の放射性物質トリチウムを燃料として取り扱う核融合炉施設では放射性物質の環境への漏洩を防ぐトリチウム除去システムの性能維持が重要となる。施設火災時においてもトリチウム除去システムの除去性能の確実な維持が求められ、性能維持に向けた検討結果を報告し、現状の技術的課題を概説する。

キーワード: トリチウム、トリチウム除去システム、触媒酸化塔、火災、安全性

1. 緒言

核融合炉施設の公衆受容を図るためには、火災や商用電力喪失などの施設で発生する可能性がある異常事象を十分考慮したトリチウム閉じ込め・除去システムの設計を行い、核融合安全システムの技術的信頼性を確保しなければならない。トリチウム漏洩を伴う異常事象発生時は閉じ込め区画内のトリチウムを除去するためにトリチウム除去システムが設けられる。トリチウム除去システムはトリチウムを酸化させトリチウム水蒸気とする触媒酸化塔とトリチウム水蒸気の除去装置から構成される。核融合施設で火災が発生した場合、メタン、エチレン、プロピレン、ベンゼンなどの炭化水素ガスが電気ケーブルの燃焼生成ガスとして生成する。トリチウム除去システムは炭化水素ガスが含まれるトリチウム含有ガスを処理しなければならない。炭化水素を含むトリチウムガスの処理には特別の設計上の配慮が必要となる。

2. 結果・考察

トリチウム除去システムの触媒酸化塔は以下の二点につき、設計上留意する必要が生じる。

- 1) 触媒層内で炭化水素の燃焼反応により生じる反応熱による触媒層の急激な温度上昇、
- 2) トリチウム酸化の副反応として触媒層内で生じるトリチウムと炭化水素の反応によるトリチウム化炭化水素の生成。
- 3) 火災時に燃焼により生じる水蒸気による触媒活性の低下
- 1)については触媒層内の急激な温度上昇による触媒塔の機械的健全性への影響やトリチウムの透過率の上昇、また触媒塔下流機器への影響など踏まえて、触媒層内の急激な温度上昇を抑制する必要がある。2)についてはトリチウム化炭化水素の生成という副反応により、トリチウム酸化という主反応が阻害されるため、副反応は抑制する必要がある。トリチウム化炭化水素の主な生成メカニズムは水素化であり、水素同位体交換によるトリチウム化炭化水素の生成は遅い。したがって、炭化水素の中では水素化反応によって容易にトリチウム化されるエチレンとプロピレンに特に注意を払わなければならない。

核融合施設火災時にトリチウム除去システムの触媒酸化塔に生じる上記の 1) と 2) の技術的問題点を解決する方法として、室温触媒酸化塔におけるエチレンとプロピレンの酸化処理技術の開発を要する。3) の影響を考慮し、エチレンとプロピレンの酸化処理に用いる室温触媒酸化塔向けの疎水性白金触媒を開発している。エチレンとプロピレンの酸化用の疎水性白金触媒の性能は触媒母材の細孔径、白金粒子径等に大きく影響されることを見出した。

National Institutes for Quantum and Radiological Science and Technology

^{*}Yasunori Iwai, Yuki Edao

1N10

気液向流充填層によるブランケット液体流からのトリチウム回収

Recovery of tritium from liquid blanket flow by liquid-gas counter-current flows in packed tower *深田智¹, 金城真生¹, 西川央哲¹, 片山一成¹, 大宅諒¹¹九州大学

DEMO 炉の Li-Pb 液体ブランケットを想定し、発生トリチウムを効率的に連続回収する手段として、ラシヒリング金属充填材を挿入した充填層内に Li-Pb と不活性ガスが向流で流れるシステムを考え、小型実験装置を製作し、水素回収率の Li-Pb 流量、Ar 流量、充填層内の流れの影響について実験的に検討した。

キーワード:液体ブランケット、トリチウム回収、Li-Pb、充填層、流れの分散、物質移動係数

1. 緒言

核融合炉液体ブランケットからトリチウムを効率的に連続回収する手段として気液向流充填層を考え、 回収率の流量依存性を求め、効果的に気液接触する条件、DEMO炉設計に繋がる関係を実験的に検討する。

2. 向流充填層実験

2-1. 実験装置と物質収支

図1に装置図を示す。あらかじめ一定水素濃度に設定した Li-Pb 共融合金と不活性ガスを SS304 製ラシヒリング充填槽(充填高さ h)の上下供給口から 400°C 一定温度、一定空塔速度で供給し水素回収率を求めた。 気液向流充填層の定常状態物質収支を考え、Li-Pb 境膜内拡散が律速段階と考えると、充填層塔頂塔底の

Li-Pb 中の溶解水素濃度比は $^{x_{bottom}}/_{x_{top}} = exp\left[-\frac{hk_La_V}{u_{LiPb}}\right]$ と表せる。この考えに基づき、Li-Pb 空塔速

度(u_{LiPb})一定で、Li-Pb 中の塔頂塔底水素濃度比(x_{bottom}/x_{top})を実験で求め、物質移動容量係数(k_{La_V})を求めた。結果、 k_{La_V} が u_{LiPb} に比例する事が分かり、DEMO 炉 Li-Pb の T回収率の定量評価に繋げられる事が分かった。

2-2. 充填層内の流れ直接観察

気液間の物質移動速度が液流速に比例する原因を探るため、ラシヒリング近くの気液流の流れ状態を可視化し直接観察するための装置を別に製作し、円筒形充塡塔の半径方向と軸方向の気液接触状態、液分散状態を求め、 k_{LaV} が u_{LiPb} に比例する原因として接触面積増加と判断した。気液接触を増加させる充填材の可能性が示唆できる。

3. 結言

Li-Pb と希ガス直接接触による T 回収装置内の物質移動状態を濃度測定と流れ観察から明らかにした。

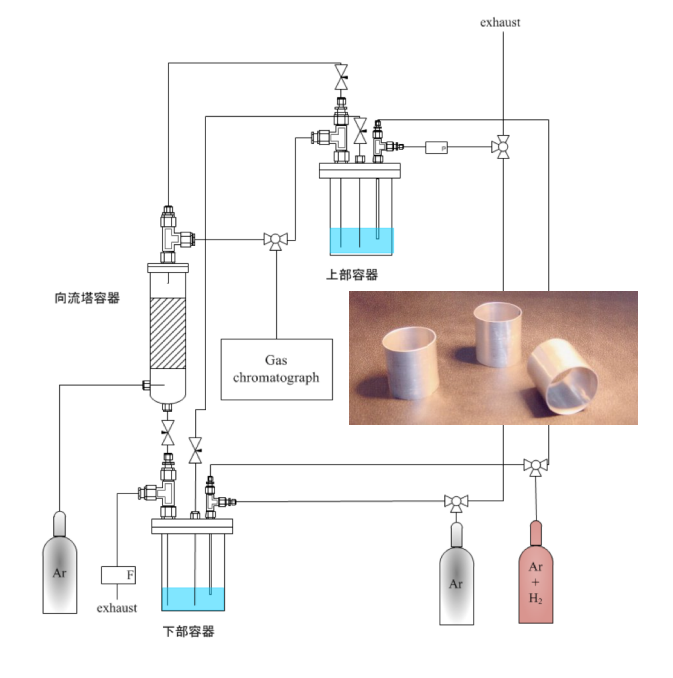


図1 Li-Pb 向流充填層回収実験装置図

^{*}Satoshi Fukada¹, Mao Kinjyo¹, Masanori Nishikawa¹, Kadzunari Katayama¹ and Makoto Oya¹

¹Kyushu Univ.

Oral presentation | VI. Fusion Energy Engineering | 601-3 Tritium Science and Technology (Fuel Recovery and Refining, Measurement, lisotope Effect, Safe Handling)

[1N11-15] Tritium Engineering (Tritium Release Behavior)

Chair: Takumi Chikada (Shizuoka Univ.)

Wed. Sep 5, 2018 3:35 PM - 4:55 PM Room N (D23 -D Building)

[1N11] Tritium sorption and desorption behavior on the surface of the Li₂TiO₃ with excess Li

*Haruaki Sakagawa¹, Kazunari Katayama¹, Satoshi Fukada¹, Tsuyoshi Hoshino² (1. KYUSHU Univ., 2. QST)

3:35 PM - 3:50 PM

[1N12] Tritium desorption behavior from soil immersed in tritiated water *Kazunari Katayama¹, Daiki Ishii¹, Toshiharu Takeishi¹, Satoshi Fukada¹ (1. Kyushu Univ.) 3:50 PM - 4:05 PM

[1N13] Behavior of tritium release from a stainless vessel of the mercury target as a spallation neutron source

*Yoshimi Kasugai¹, Koichi Sato¹, Kazutomo Takahashi², Yukihiro Miyamoto¹, Tetsuya Kai¹, Masahide Harada¹, Kasuhiro Haga¹, Hiroshi Takada¹ (1. J-PARC Center, JAEA, 2. J-PARC Center, KEK)

4:05 PM - 4:20 PM

[1N14] Hydrogen dissolution and desorption behavior for Y-doped BaCeO₃
*Tadahiro Iwasa¹, Kenichi Hashizume¹ (1. Kyushu Univ.)
4:20 PM - 4:35 PM

[1N15] Tritiumu release from graphite containing tritium at ambient temperature

*Masanori Hara¹, Masao Matsuyama¹, Kenji Okuno² (1. University of Toyama, 2. Shizuoka University)

4:35 PM - 4:50 PM

Li 添加型 Li₂TiO₃ 表面におけるトリチウム捕捉・放出挙動

Tritium sorption and desorption behavior on the surface of the Li₂TiO₃ with excess Li

*坂川 悠明 ¹, 片山 一成 ¹, 深田 智 ¹, 星野 毅 ² ¹九州大学, ²量子科学技術研究開発機構

本研究では、QST で開発が進められている Li 添加型 Li₂TiO₃ ペブルの充填層へトリチウム水蒸気を流通させ、電離箱を用いてトリチウム捕捉挙動を観測した。ペブル表面に形成される炭酸リチウムを含む層の有無により、室温でのトリチウム捕捉挙動に違いが生じることがわかった。

キーワード:トリチウム増殖材,トリチウム捕捉

1. 緒言

固体トリチウム増殖材からのトリチウム放出挙動には、グレイン表面での反応が強く寄与することが知られている。グレイン表面には、吸着水や構造水が存在するため、グレインバルク内を拡散したトリチウムの多くは、これら表面水を介して気相へ放出されると考えられる。そのため、増殖材におけるトリチウム挙動特性の把握には、表面水量の評価が重要である。本研究では、原型炉に向けた先進トリチウム増殖材として開発が進められている Li 添加型 $\text{Li}_{2+x}\text{TiO}_{3+y}$ ペブル[1]を試料として用いた。ペブル製造方法の最適化前と最適化後に製造されたペブル表面の SEM 像を Fig.1 に示す。製造方法の最適化により、炭酸リチウムを含む層の形成が大きく低減され、細孔が明瞭に確認できる。この 2 つのペブルそれぞれの充填層にトリチウム水蒸気含有ガスを流通させ、トリチウム捕捉挙動を比較した。

2. 実験

ここでは、製造方法最適化前のペブルを Pebble211(Li/Ti 比:2.11)、最適化後のペブルを Pebble210(Li/Ti

比:2.10)と呼ぶ。試料約 1.0g を石英反応管に充填し、実験温度で約 1 時間乾燥アルゴンパージを行った。次に、HT及び H_2 含有 Ar ガスを酸化銅塔に導入して HTO 及び H_2O に変換し、ペブル充填層に導入した。反応管出口のトリチウム濃度は、電離箱で連続計測した。ペブルへのトリチウム捕捉終了後、Ar ガス、 H_2 含有ガス、 H_2O 含有ガスによりトリチウム脱離を行った。

3. 結果・考察

Fig.2 に充填層出口でのトリチウム濃度変化を示す。一般に表面水量は温度上昇とともに低下することから、300℃よりも室温でのトリチウム捕捉量が多くなる。しかし、Pebble211 では室温よりも 300℃での捕捉量の方が多かった。炭酸リチウムを含む層によりトリチウムのペブル細孔内への浸透が妨げられた結果、室温での捕捉量が小さく見積もられたと考えられる。一方、Pebble210 では、室温での捕捉量は 300℃よりもやや多く、妥当な結果が得られた。試料ガスの HT 比を考慮すると Pebble211 よりもPebble210 の方がトリチウム表面捕捉容量[mol-T₂O/g]が小さいことがわかった。以上より、最適化された方法で製造されたペブルは、表面水量及び細孔内へのガス成分の移動抵抗が低減されていることが明らかになった。

参考文献

[1] T.Hoshino, Fusion Eng. Des., 98-99 (2015) 1788-1791.

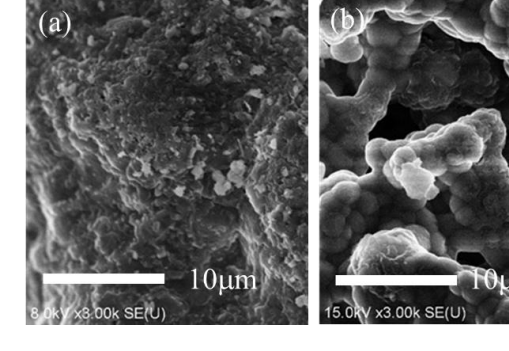


Fig.1 表面 SEM 像 (a)最適化前, (b)最適化後

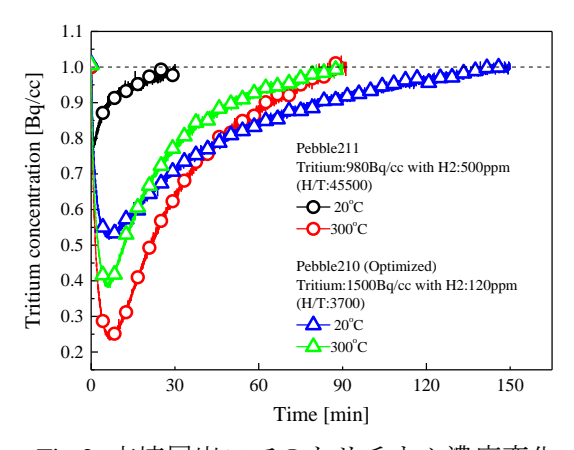


Fig.2 充填層出口でのトリチウム濃度変化

^{*}Haruaki Sakagawa¹, Kazunari Katayama¹, Satoshi Fukada¹ and Tsuyoshi Hoshino²

¹Kyushu Univ., ²QST.

トリチウム水に浸漬した土壌からのトリチウム放出挙動

Tritium desorption behavior from soil immersed in tritiated water

*片山 一成 ¹, 石井 大貴 ¹, 竹石 敏治 ¹, 深田 智 ¹ ¹九州大学

トリチウム水に浸漬した天然土壌をアルゴン気流中で室温から 1000℃まで加熱して、トリチウム放出挙動を観測した。トリチウム放出挙動は、別途測定した水蒸気放出挙動とおおよそ一致した。また、トリチウムの放出化学形は、主に水蒸気状であることもわかった。

キーワード:トリチウム、土壌、昇温脱離

1. 緒言

水冷却方式の核融合炉発電プラントでは、大量のトリチウム水を取り扱うため、万が一のトリチウム水漏えい事故を想定して、周辺環境におけるトリチウム挙動を把握しておくことが必要である。本研究では、土壌中でのトリチウム挙動の把握を目的として、土壌充填層へのトリチウム水透水実験や、トリチウム水への土壌浸漬実験等を行ってきた。これらの実験を通じて、トリチウム水と接触した土壌には、無視できない量のトリチウムが保持されることが明らかとなった。土壌を構成する粘土鉱物中には、一般に吸着水、層間水、構造水といった水が存在することから、トリチウムはこれら水中の軽水素との同位体交換反応によって保持されているものと推測している。しかしながら、もともと含まれている水と捕捉されたトリチウムとの関係性は明らかにされていない。そこで本研究では、まず天然土壌を室温から1000℃まで加熱し、水分放出挙動を調べた。その後、トリチウム水に浸漬した土壌を同様に加熱し、トリチウム放出挙動と水分放出挙動を比較して、土壌へのトリチウム捕捉・放出機構について考察した。

2. 実験

2-1.水分放出実験

天然土壌を石英管に充填し、アルゴンガスを 300cc/min で流通させながら、室温から 1000 $^{\circ}$ こまで 5 $^{\circ}$ C/min で加熱した。充填層出口ガス中の水分濃度は、水分計で測定した。

2-2.トリチウム放出実験

実験装置概略図を図 1 に示す。長期間トリチウム水(約 300kBq/cc)に浸漬した土壌の一部を石英管に充填し、100cc/min のアルゴン気流中で十分乾燥させた後、1000 $^{\circ}$ まで 5 $^{\circ}$ C/min で加熱した。充填層出口ガス経路には、酸化触媒塔を設置し、その前後にバブラーを配置して、水蒸気状成分(HTO)と水素状及び炭化水素状成分(HT や CH₃T 等)を弁別して回収した。バブラーは、およそ 5 分毎に交換し、水中のトリチウム濃度を液体シンチレーションカウンターで測定した。

3. 結果及び考察

図2に、昇温開始後の水分放出挙動とトリチウム放出挙動を比較して示す。水分放出とトリチウム放出のピーク位置はほぼ一致した。このことから、土壌中に捕捉されたトリチウムは、土壌中に存在する水分中に保持され、水分放出に伴って放出されることがわかった。ピーク高さの比は、水分とトリチウムで異なることから、各ピークに対応する捕捉サイトのトリチウム捕捉率には差があることがわかった。なお図に示すように、脱離速度が、脱離可能なトリチウムの濃度の1次に比例すると仮定する数値解析により、トリチウム放出曲線は、4つの放出曲線の合計として再現することができた。また、2つ目のバブラーのトリチウム濃度はほとんど上昇しなかったことからトリチウムは主に水蒸気状で放出されることがわかった。

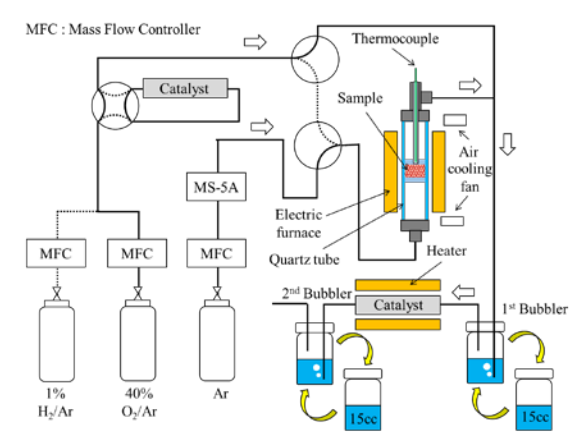


図1 トリチウム放出実験装置概略図

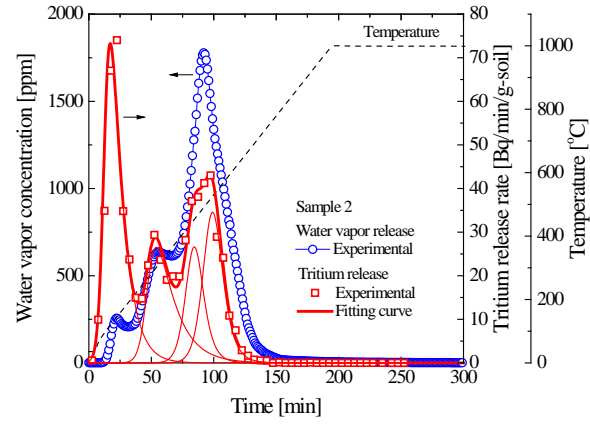


図2 加熱に伴う水分放出とトリチウム放出の比較

^{*}Kazunari Katayama¹, Daiki Ishii¹, Toshiharu Takeishi¹, Satoshi Fukada¹

¹Kyushu Univ.

水銀を使った核破砕中性子源ステンレス標的容器からのトリチウム放出挙動

Behavior of tritium release from a stainless vessel of the mercury target as a spallation neutron source *春日井 好己¹, 佐藤 浩一¹, 高橋 一智², 宮本 幸博¹, 甲斐 哲也¹, 原田 正英¹, 羽賀 勝洋¹, 高田 弘¹

¹原子力機構, J-PARC, ²KEK, J-PARC

J-PARC の物質・生命科学実験施設では、水銀を使った核破砕中性子源を運用している。水銀を内包するステンレス製の水銀標的容器は、定期的に交換を行っているが、その際、標的容器等からのトリチウムの放出が観測されている。本件では、その放出挙動と解析結果について報告する。

キーワード:核破砕中性子源,水銀,トリチウム,ステンレス材料

1. 緒言

J-PARC の物質・生命科学実験施設では、水銀を標的とする核破砕中性子源の運用を行っている。図1にシステムの概要を示す。水銀を内包する標的容器(ステンレス製)は、放射線損傷等の観点から定期的な交換が必要となる。本件では、標的容器の交換作業時に観測されたトリチウムの放出挙動について報告する。

2. 標的容器交換作業の概要

交換作業の事前準備として、①系内のカバーガス(ヘリウム)をガス処理システムへ回収、②循環系内の 水銀をドレンタンクへ移動、さらに③ヘリウムガスによる循環系内浄化(浄化に使ったガスはガス処理シ ステムで回収)を実施した。事前準備の後、一連

の交換作業を実施した。標的容器は高汚染・高放射化物であることから、交換作業はホットセル内で、すべて遠隔で実施した。

3. 交換作業時のトリチウム放出

一連の交換作業時に、ホットセル内の放射能濃度測定を実施したところ、トリチウム(HTO)濃度の顕著な上昇が見られた。これは、ビーム運転時に水銀中で核破砕生成物として生成されたトリチウムが標的容器等のステンレス材料に吸蔵され、標的交換作業で循環系が開放された際に、同位体交換によって放出されたものと考えられる。観測されたトリチウムの放出挙動について、上記の観点で解析を行ったところ、測定結果を定量的に説明できることがわかった。

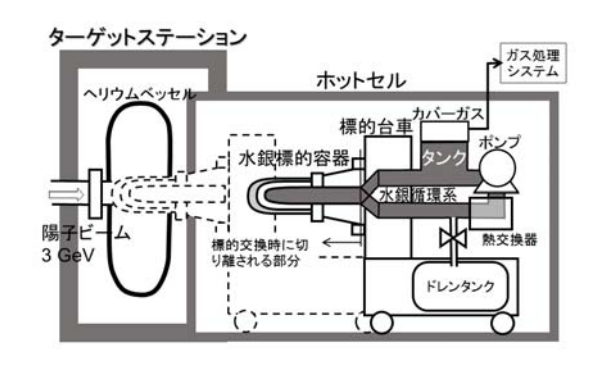


図1 水銀標的システムの概念図を示す。システムは水銀標的容器、水銀循環系(ポンプ、タンク、熱交換器等)で構成されており、すべてひとつの可動式台車上に載せられている。ビーム運転時、台車は点線の位置にあり、標的容器はへリウムベッセル内に位置している。標的容器の交換作業を実施する際は、事前に水銀から発生した放射性ガスをガス処理システムで回収した上で、系内の水銀を台車下部のドレンタンクに移送し、循環系内を空にする。台車を後退させ、遠隔操作により、矢印で示す部位を切り離し、新しい容器を装着する。

^{*}Yoshimi Kasugai¹, Koich Sato¹, Kazutoshi Takahashi², Yukihiro Miyamoto¹, Tetusya Kai¹, Masahide Harada¹ Katsuhiro Haga¹ and Hiroshi Takada¹

¹JAEA J-PARC, ²KEK J-PARC

1N14

Y添加 BaCeO3 中の水素溶解放出挙動 Hydrogen dissolution and desorption behavior for Y-doped BaCeO₃

*岩佐 匡浩1, 橋爪 健一1 1九州大学

重水素を吸収させた Y 添加 BaCeO3 の昇温脱離分析により重水素溶解量測定を行った。また、測定結果か ら室温での重水素の拡散係数および重水素溶解量の曝露圧力依存性を評価した。

キーワード:プロトン導電性酸化物、水素、拡散係数

1. 緒言

ペロブスカイト構造(ABO₃)を有する酸化物の一部は、高温領域において良好なプロトン導電性を示すこと が知られている。これらのプロトン導電性酸化物は水素を選択的に透過させる機能から、核融合炉における 燃料回収分析、精製システムへの応用が検討されている。機能性材料として実用化するためには、材料中の 水素挙動を把握することが重要である。本研究では代表的なプロトン導電性酸化物である $BaCe_{0.9}Y_{0.1}O_{3-a}$ を 試料とし、重水素または重水雰囲気中で加熱、溶解させた後、昇温脱離分析により重水素溶解量測定を行っ た。得られたデータから重水素溶解量の圧力依存性を調べた。また、重水素曝露をした試料では室温で試料 中の重水素量の放出、減少がみられ、この放出挙動から室温での重水素の拡散係数を評価した。

2. 実験

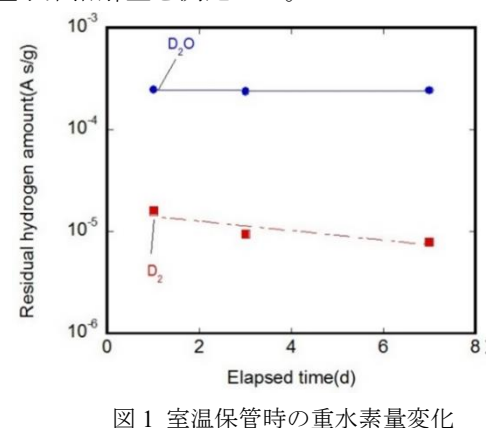
試料として(株)TYK 製 BaCe0.9Y0.1O3-a 粉末を圧縮成形、1600℃で 5 時間焼結した後、得られた焼結体を 短冊状(0.5×7×3mm³)に切断加工したものを用いた。短冊状試料を 1000℃で 30 分真空加熱し、所定の圧力 の重水素(D₂)または重水(D₂O)雰囲気中で 600℃で 3 時間加熱することで重水素を吸収させた。試料を室温大 気中で一定時間保管した後、昇温条件 1℃/s で昇温脱離分析を行い重水素溶解量を測定した。

3. 結果

図1に室温大気中での保管時間による残存重水素量の変化を示 す。D2O 曝露によって溶解した重水素量には明確な変化は見られな かった。一方、D2曝露によって溶解した重水素量は減少している。 (7日後に50%減少) これは D_2 、 D_2O によって溶解熱が異なり D_2 曝露の場合、溶解状態はエネルギー的に不安定であるため放出され ると考えられる。D2 曝露試料中の重水素量の変化から重水素の室 温での拡散係数を算出した($D=3.1\times10^{-10}$ [cm²/sec])。室温での水素の 拡散係数値の報告はないが、高温域で測定された文献値[1]-[3]の外挿 値にほぼ一致した。また、図2に D_2 曝露における重水素溶解量と 曝露圧力の関係を示す。D2曝露において重水素溶解量は圧力の 4 分の 1 乗に比例した。これは水素分圧の変化により水素の溶解反 応に寄与する正孔の数が変わるためであると考えられる。

参考文献

- [1] T. Schober, et al, Solid State Ionics, 176 (2005) 357-362.
- [2] M. Oishi, et al, Solid State Ionics, 179 (2008) 2240-2247.
- [3] K. Yamashita, et al, Solid State Ionics, 275 (2015) 43.



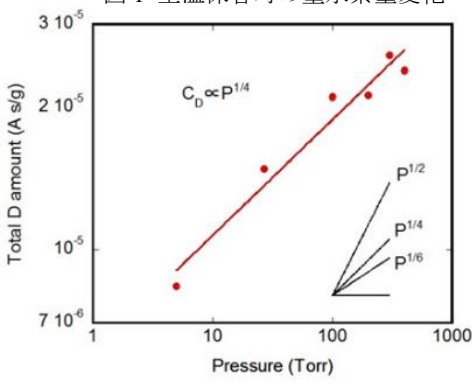


図2 重水素溶解量の圧力変化

^{*}Tadahiro Iwasa1, Kenichi Hashizume1

¹Kyushu Univ.

トリチウムを含む黒鉛からの室温近傍でのトリチウム放出

Tritium release from graphite containing tritium at ambient temperature

*原 正憲 ¹, 松山 政夫 ¹, 奥野 健二 ²

1富山大学,2静岡大学

種々の黒鉛にトリチウムイオンを注入した。この黒鉛材料を純水、または液体シンチレータに浸漬し、 純水、液体シンチレータ中へのトリチウム放出を測定した。その結果、室温では黒鉛中に捕獲されたトリ チウムの純水、液体シンチレータ中への放出はほとんど起こらないことが明らかとなった。

キーワード:トリチウム、黒鉛、廃棄物

- 1. **緒言** 黒鉛材料は核融合実験装置のプラズマ対向壁,ガスケット等としてトリチウム取り扱い装置で使用されている。使用後,トリチウムを吸収した黒鉛材料は放射性廃棄物となり,保管管理される。しかしながら,室温近傍で保管された黒鉛材料からのトリチウム放出挙動は詳細に調べられていない。そこで,種々の黒鉛中にトリチウムイオンを注入し,これらを純水,または液体シンチレータに浸漬して室温近傍での黒鉛からのトリチウム放出挙動を測定した。
- 2. 実験 実験に使用した黒鉛材料は HOPG, IG-430U, 単結晶黒鉛であり, 参照試料には単結晶シリコンを用いた。これら試料に, トリチウム濃度が約 0.5%である重水素ガスをイオン銃によりイオン注入し, トリチウムを含有する試料を調製した。なお, 加速電圧は 500 V とした。

トリチウムを注入した試料を純水、あるいは液体シンチレータに浸漬した。純水中のトリチウム濃度は液体シンチレーションカウンタにより定期的に測定した。液体シンチレータに浸漬した試料は、そのまま液体シンチレーションカウンタで試料ごと測定を行った。液体シンチレータに浸漬した試料では、黒鉛中よりトリチウムが液体シンチレータ中に放出されると、計数値の向上が見られると期待できる。これは、黒鉛表層のトリチウムの幾何学的な測定配置は 2π であるが、シンチレータ中へ放出されたトリチウムでは 4π となるためである。

3. 結果と考察 図に液体シンチレータ に浸漬した試料を液体シンチレーションカウンタで計測した結果を示す。縦軸 は壊変補正を加えた壊変率、横軸はイオン注入からの経過時間を示す。いずれの 試料においても壊変率は18000時間経過後もイオン注入直後と大きな差はみられなかった。これは、注入されたトリチウムは黒鉛中に強く捕獲されておりシンチレータ中にほとんど放出されていないことを示唆する。

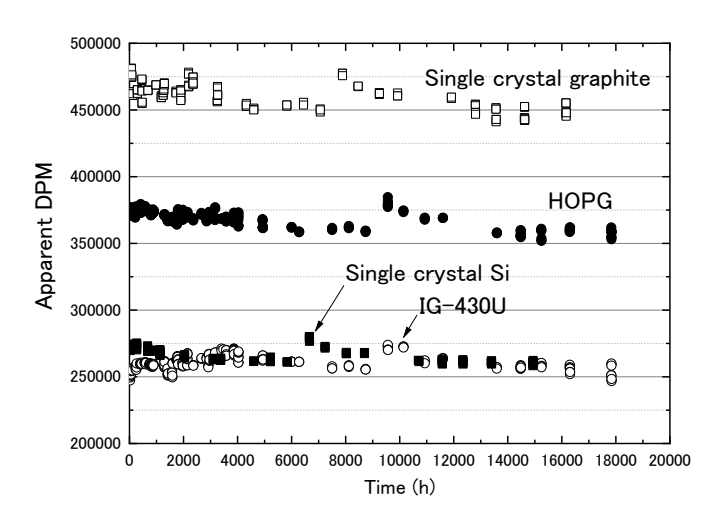


図 シンチレータに浸漬した試料の壊変率の経時変化

^{*}Msanori Hara¹, Masao Matsuyama¹ and Kenji Okuno²

¹University of Toyama, ²Shizuoka University.

Oral presentation | VI. Fusion Energy Engineering | 601-3 Tritium Science and Technology (Fuel Recovery and Refining, Measurement, lisotope Effect, Safe Handling)

[1N16-19] Tritium Engineering (Tritium Permeaton and Absorption Behavior)

Chair: Kazunari Katayama (Kyushu Univ.)

Wed. Sep 5, 2018 4:55 PM - 6:00 PM Room N (D23 -D Building)

[1N16] Effect of surface nitriding and peening treatments on deuterium permeation behaviors through ferritic steels

*Teppei Otsuka¹, Tomoya Sonobe¹, Shougo Mori¹, Takayuki Umekage¹, Miho Tsuyama¹, Yuichiro Takemura¹ (1. Kindai University)

4:55 PM - 5:10 PM

[1N17] Influence of surface oxidation on deuterium permeation through reduced activation ferritic steel F82H

*Takumi Chikada¹, Keisuke Kimura¹, Jumpei Mochizuki¹, Seira Horikoshi¹, Moeki Matsunaga¹, Hikari Fujita², Kouhei Okitsu², Teruya Tanaka³, Yoshimitsu Hishinuma³, Yoshiteru Sakamoto⁴ (1. Shizuoka Univ., 2. Univ. of Tokyo, 3. NIFS, 4. QST)

5:10 PM - 5:25 PM

[1N18] Radial distribution of hydrogen atoms from RF discharge tube *Shintaro Nakano¹, Daisuke Yuki¹, Ikuji Takagi¹ (1. Kyoto Univ.) 5:25 PM - 5:40 PM

[1N19] Study on the structure of Li rod using Zr particles for T-production in HTGR

*Ryo Okamoto¹, Hideaki Matsuura¹, Yuki Koga¹, Takuro Suganuma¹, Kazunari Katayama², Teppei Otsuka³, Minoru Goto⁴, Shigeaki Nakagawa⁴, Estuo Ishitsuka⁴, Kenji Tobita⁵ (1. Kyushu Univ. Engineering, 2. Kyushu Univ. Interdisciplinary Graduate School of Engineering Science, 3. Kindai Univ. Faculty of Science and Engineering, 4. JAEA, 5. QST)

5:40 PM - 5:55 PM

フェライト鋼の重水素透過・蓄積挙動に及ぼす 表面窒化およびピーニング処理の効果

Effects of surface nitriding and peening treatments on deuterium permeation behaviors through ferritic steels

*大塚 哲平, 薗部 朋哉, 森 翔吾, 梅景 崇之, 津山 美穂, 武村 祐一朗 近畿大学・理工学部

鋼表面内側の数百ミクロン深さの領域(表面近傍領域)を窒化処理やピーニング処理により改質することにより、フェライト系ステンレス鋼 SS430 の重水素透過係数は 1/2 以下に減少することがわかった。

キーワード: 重水素透過係数,フェライト系ステンレス鋼,窒化物,ショットピーニング処理

- 1. **緒言** フェライト系ステンレス鋼 (フェライト鋼) は高強度化しやすく核融合炉構造材料の候補であるが、母材であるα鉄は水素透過能が高いため、炉外周辺環境へのトリチウム透過漏洩が懸念されている。 従来、フェライト鋼のトリチウム透過抑制・防止のために、鋼表面外側に水素溶解度の低い酸化物や窒化物を形成する手法が開発されてきた。 本研究では鋼自体の表面から深さ方向の表面近傍領域に水素透過低減機能を持たせることを目的とし、フェライト鋼 SUS430 に対してプラズマによる表面窒化処理を行い、水素透過能を低減できるかどうかを試みた。
- **2. 実験方法** 試料として SUS430 の円板膜(ϕ 21 mm x 2.5 mmt)を用いた。電子ビーム励起プラズマ装置により窒素プラズマ(ガス圧力 0.2 Pa)を生成し、673 K(4 時間)および 753 K(5 時間)、バイアス電圧(50 V)の条件で、円板膜試料片面の窒化処理を行った。673 K(4 時間)窒化処理では表面から最大で20 μ m 深さまで窒素が侵入していることをグロー放電発光分析による元素深さ分布測定により確認した。また、先行研究において、オーステナイト系 SUS304 についてではあるが、673 K 窒化処理では過飽和窒素固溶体層および 773 K 窒化処理では窒化クロム層が表面近傍に主に生成することが X 線回折実験により確かめられた[1]。以後、それぞれ表面窒化材 A(673 K)および B(773 K)と呼ぶ。

SUS430 受入材、表面窒化材 A または B を隔壁として、容器を 2 つに隔て、一方に重水素(0.1 MPa)を流通させ上流側とし、他方を真空引き(2×10^5 Pa)して下流側とした。この際、窒化処理表面が上流側を向くように試料を配置した。 $473 \times 673 \times 0$ 一定温度において、上流側から試料に侵入し、試料中を透過し、下流側に放出されてきた重水素の放出速度を四重極質量分析計によって測定した。

3. 結果および考察 図1に SUS430の重水素透過係数に及ぼす表面窒化の影響を示す。473 Kにおいて表面窒化材の重水素透過係数は受入材のものよりも小さく、表面窒化材 Bでは1/2以下に減少していた。これは、表面窒化材 Aの過飽和窒素固溶体層よりも Bの窒化クロム層のほうが重水素透過能低減効果が高いことを示唆している。一方、623 K以上では低減効果はみられなかった。また、複数回の実験および、昇温・降温を繰り返しても、各温度における重水素透過係数に大きな違いは見られなかった。発表では、SUS430の表面窒化層の重水素蓄積挙動、および重水素透過挙動に及ぼす表面ピーニング処理の効果について議論する。

参考文献

[1] 清水基弘, 電子励起プラズマによる合金鋼の窒化, 近畿大学修士論文 (2011)

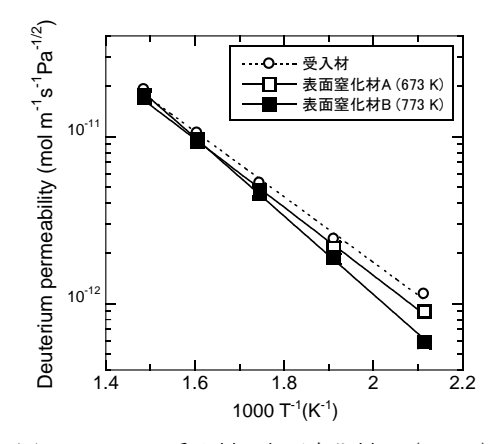


図1 SUS430 受入材、表面窒化材 A (673 K) および B (773 K) の重水素透過係数の 温度依存性

^{*}Teppei Otsuka, Tomoya Sonobe, Shougo Mori, Takayuki Umekage, Miho Tsuyama, Yuichiro Takemura Faculty of Science and Engineering, Kindai University

低放射化フェライト鋼 F82H の表面酸化処理が重水素透過に与える影響

Influence of surface oxidation on deuterium permeation through reduced activation ferritic steel F82H *近田 拓未 ¹, 木村 圭佑 ¹, 望月 惇平 ¹, 堀越 清良 ¹, 松永 萌暉 ¹, 藤田 光 ², 沖津 康平 ², 田中 照也 ³, 菱沼 良光 ³, 坂本 宜照 ⁴, 染谷 洋二 ⁴, 中村 博文 ⁴, 原型炉設計合同特別チーム ¹静岡大学, ²東京大学, ³核融合科学研究所, ⁴量子科学技術研究開発機構

低放射化フェライト鋼 F82H はトリチウムの透過が深刻である一方、表面の酸化処理によって透過を低減できる可能性がある。本研究では、熱処理によって F82H 表面に生成させた酸化クロム層の重水素透過 挙動および原型炉模擬環境における安定性を調べた。

キーワード:トリチウム,透過,F82H,酸化

1. 緒言

核融合原型炉の設計において、炉内のトリチウム移行挙動を正確に予測することはきわめて重要である。 構造材料として使用が検討されている低放射化フェライト鋼は、トリチウムの透過が深刻である一方、表 面の酸化処理によって透過の低減が報告されている[1]。そこで本研究では、表面酸化物層中の詳細な水素 同位体透過挙動や使用環境中での変化を明らかにするために、低放射化フェライト鋼 F82H に表面酸化物 層を生成させた後、重水素透過挙動および原型炉模擬環境における安定性を調べた。

2. 実験

F82H 平板に緻密な酸化クロム層を生成させるために、水素とアルゴンの混合ガス流下で 710 $^{\circ}$ C、10 分の熱処理を行った。膜厚約 100 nm の酸化クロム層を確認した後、原型炉実機模擬環境として、1%水素混合ヘリウム流下で 300 $^{\circ}$ C、100 $^{\circ}$ C、100 $^{\circ}$ E間の熱処理を実施した。熱処理後の試料分析として、走査型電子顕微鏡 (SEM) 観察および X 線光電子分光法による微細構造解析、また重水素透過試験を実施した。

3. 結果と考察

図に、酸化クロム層を生成させた F82H 試料の 500 ℃、100 時間実機模擬環境での熱処理試験後の断面 SEM 像を示す。膜厚 5 μm 程度の鉄を主体とする 2 つの酸化物層の生成が確認され、元素分析により表面側が酸化鉄、基板近くに鉄とクロムの複合酸化物が生成されていることが明らかになった。熱処理で生成させた酸化クロム層は鉄の拡散により複合酸化物となり、さらにその上部に組織の粗い酸化鉄が成長したと考えられる。発表では、他の温度での熱処理試験結果および熱処理後の重水素透過試験の結果から、酸化物層が重水素透過に与える影響を考察する。

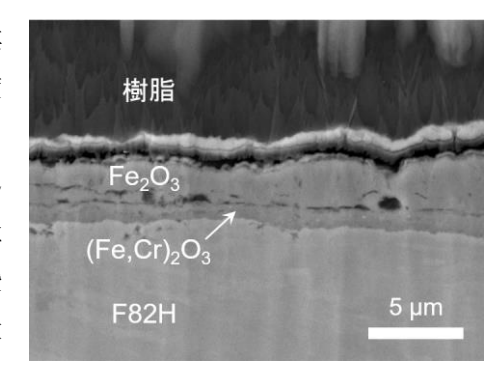


図 酸化クロム層生成 F82H 試料の 実機模擬環境下熱処理試験後の 断面 SEM 像(500°C、100時間)

参考文献

[1] T. Tanaka, T. Muroga, Fusion Engineering and Design 455 (2014) 630-634.

*Takumi Chikada¹, Keisuke Kimura¹, Jumpei Mochizuki¹, Seira Horikoshi¹, Moeki Matsunaga¹, Hikari Fujita², Kouhei Okitsu², Teruya Tanaka³, Yoshimitsu Hishinuma³, Yoshiteru Sakamoto⁴, Youji Someya⁴, Hirofumi Nakamura⁴ and The Joint Special Design Team for DEMO

¹Shizuoka Univ., ²Univ. of Tokyo, ³NIFS, ⁴QST

1N18 2018年秋の大会

RF放電管から飛来する水素原子の径方向分布

Radial distribution of hydrogen atoms from RF discharge tube

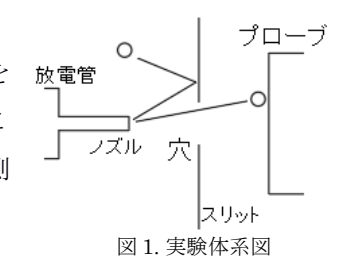
*中野 晋太郎, 高木 郁二, 中川 雄貴 京都大学

RF放電管から飛来する低エネルギー水素原子の径方向分布を測定し、その体系を模したシミュレーションと 比較した結果、水素原子の固体表面での反射係数は1に近い値であることがわかった。

キーワード: 水素原子, 反射, 透過プローブ, プラズマ-壁相互作用, モンテカルロ法

1. はじめに

核融合炉プラズマの長時間運転のためには固体表面での水素原子の反射挙動を 理解する必要があるが、低エネルギー領域での知見は少ない。本研究ではRFに よって発生した低エネルギー水素原子が固体表面で何回か反射した後の分布を測 定し、計算結果と比較した。



2. 実験

実験体系を図1に示す。RF放電管内で発生し、ノズル内表面で反射してから噴出するeV程度の水素原子を透過プローブで検出する。透過プローブはPdの薄板製でプラズマ誘起透過現象を利用することによって、水素原子のみを選択的に測定することができる。放電管と透過プローブとの間に円形の穴が開いたスリットを置き、この穴を通った原子のみがプローブに到達する。ノズルは内径5mmで長さは40mm、ノズルとスリットおよびスリットとプローブの間の距離はともに10mmである。穴の面積とプローブで測定される水素原子のフラックスとの関係を調べた結果、図2に示すようにほぼ比例した。

3. 考察

鏡面反射を仮定した場合、ノズル内表面での反射係数が低ければ多数回反射されてノズルの軸方向に対して大きな角度で出ていく水素原子はなくなるため、分布は軸方向に収束する傾向を示す。逆の場合は多数回反射されるような原子もノズルから出ていくため等方的な分布を示し、フラックスは近似的に穴の面積に比例すると考えられる。例えば穴の中心から半径0~1mmの範囲に到達する原子はノズル内部で平均1回程度しか反射しないが、半径4~5mmの範囲へは平均5回反射する。

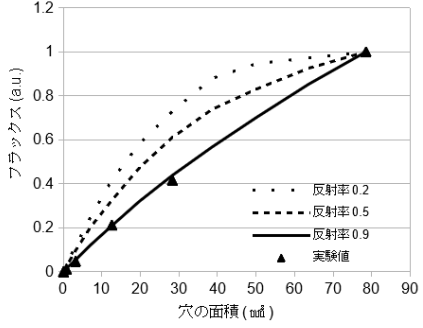


図 2.実験結果と計算結果との比較

反射現象を定量的に評価するため、実験体系内でランダムな初期速度を持った粒子を一定の反射係数で鏡面反射させるモンテカルロシミュレーションを行った結果、図2に示すように反射係数が0.9だと実験結果とよく一致した。このように反射係数が高い値となったのはノズル内表面が水素原子に覆われており、その影響で質点が壁と弾性衝突するように反射が起こっているためであると考えられる。

Kyoto Univ.

^{*}Shintaro Nakano, Ikuji Takagi and Yuki Nakagawa

粒状 Zr を用いた高温ガス炉用 T 製造 Li ロッド構造の検討 ~ Zr の非定常水素吸蔵特性~

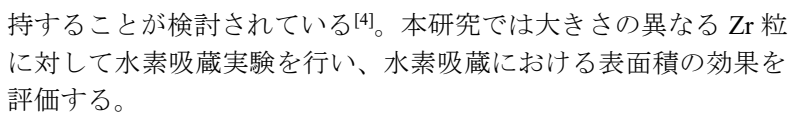
Study on the structure of Li rod using Zr particles for T-production in HTGR ~Non-equilibrium hydrogen absorption properties of Zr~ *岡本 亮 ¹, 松浦 秀明 ¹, 古賀 友稀 ¹, 菅沼 拓朗 ¹, 片山 一成 ² 大塚 哲平 ³, 後藤 実 ⁴, 中川 繁昭 ⁴, 石塚 悦男 ⁴, 飛田 健次 ⁵ ¹九大院工, ²九大院総理工, ³近大理工, ⁴JAEA, ⁵QST

高温ガス炉を用いたトリチウム (T) 生産の検討において高温条件下における Li 装荷体(Li ロッド)への T 閉じ込め法として Zr を用いた方法を提案している。本研究では Li ロッドへの Zr 装荷方法を検討するため、大きさの異なる Zr 粒試料の水素吸蔵特性を調べた。

キーワード:高温ガス炉,トリチウム生産,ジルコニウム,水素吸蔵

1. 緒言

DT 核融合の開発において原型炉の初期装荷や炉工学実証試験に必要なトリチウム (T) の調達方法の確立が必要である。そこで高温ガス炉に Li を装荷し、 6 Li(n, α)T 反応によって T を生産する方法が提案されている $^{[1]}$ 。安全面や T の回収の観点から発生する T を Li 装荷体(Li ロッド)内に閉じ込めることが望ましく、従来の検討 $^{[2]}$ では Li ロッドから冷却材中への T 流出量を抑制するため運転温度を低く想定していた。高温ガス炉の高い熱効率を発揮できる高温条件下において Li 装荷体からの T 流出を抑制する目的で Zr を用いた T 閉じ込め法を検討し、円筒状 Zr の水素吸蔵実験を行った $^{[3]}$ 。ただし Zr の酸化等の水素吸蔵性能の低下による T 流出量の増加が懸念されている。 Zr の水素吸蔵性能の低下に対して、図 1 の様に Zr を粒状に装荷することで吸収面積を増やし Li ロッドの T 閉じ込め性能を維



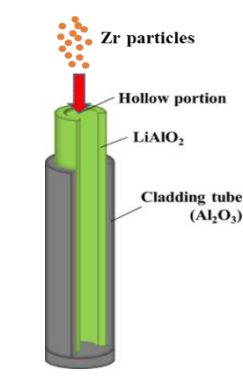


図1 Liロッド

2. 実験

直径 $2.5 \, \mathrm{mm}$ 、高さ $2.5 \, \mathrm{mm}$ 及び直径 $1.2 \, \mathrm{mm}$ 、高さ $1.2 \, \mathrm{mm}$ の大き さの異なる円柱状の Zr 粒を用い、それぞれの質量が等しくなるように Zr 粒の個数を調整した。図 2 の実験装置に Zr を装荷し、ヒーターの設定温度は $800 \, ^{\circ}$ とした。装置内に $500 \, \mathrm{Pa}$ で水素を封入し、 Zr の水素吸蔵による圧力変化を測定した。

3. 結果及び考察

図 3 に測定開始時の水素圧力を 1、平衡圧力を 0 に規格化した水素圧力の時間変化を示す。水素圧力は Zr 粒(小)の方が早く低下した。このとき吸収時間 τ (水素圧力が 1/e になる時間)は、Zr 粒(大)で約 125 min、Zr 粒(小)で約 60 min となった。吸収時間は Zr の総表面積が大きいほど短くなり、おおむね反比例の関係にあると推測される。吸収時間の時間変化は $P=\exp(-t/\tau)$ と表され(図 3 中の実線)、実験の圧力変化とほぼ一致する。

Li ロッドにおいては、T内圧はT生成とZrのT吸収の速さの バランスで求まると考えられる。実験から得られた吸収時間で Li ロッドのT内圧を計算すると直径2.5 mmのZr粒を中空部に

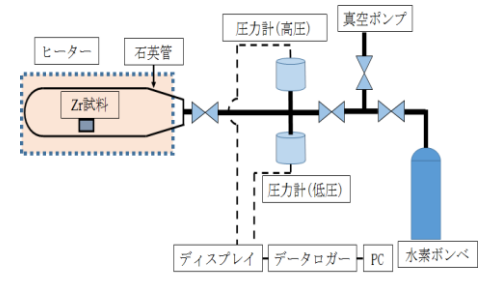
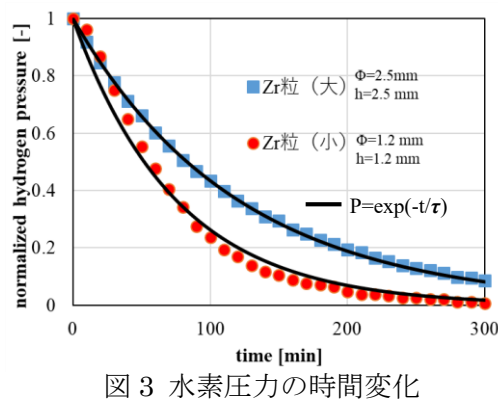


図2 水素吸蔵実験装置



装荷した場合の T 圧力は数 Pa 程度となる。実際の Li ロッドでの使用においては Zr の酸化等によって吸収時間が長くなり T 圧力が上昇することが懸念される。しかし、Zr 表面積を増やし吸収時間を短くすることで、これらの影響を緩和できると考えられる。発表では Zr 装荷方法と T 内圧の関係から Li ロッド構造の検討について述べる。

参考文献

- [1] H. Matsuura, et al.: Nucl. Eng. Des., 243 (2012), 95-101. [2] H. Nakaya, et al: Nucl. Eng. Des., 292 (2015), 277-282.
- [3] R. Okamoto, et al., 日本原子力学会 2017 秋の年会, [4] R. Okamoto, et al., 日本原子力学会 2018 春の年会

*Ryo Okamoto¹, Hideaki Matsuura¹, Yuki Koga¹, Takuro Suganuma¹, Kazunari Katayama², Teppei Otsuka³, Minoru Goto⁴ Shigeaki Nakagawa⁴, Etsuo Ishitsuka⁴ and , Kenji Tobita⁵

1,2Kyushu Univ., ³Kindai Univ., ⁴JAEA, ⁵QST Oral presentation | I. General Issues | General Issues

[1009,01-05] Communication

Chair: Yasuhisa Oya (Shizuoka Univ.)

Wed. Sep 5, 2018 10:15 AM - 11:55 AM Room O (D25 -D Building)

[1009] Strategic Emergency Decision-making and Role of Real-time Disaster Damage Prediction System

*Kohta Juraku¹, Shin-etsu Sugawara² (1. Tokyo Denki Univ., 2. CRIEPI)

10:15 AM - 10:30 AM

[1001] Social value-orientation for science and technology, and nuclear risk communication

*Reiko Kuwagaki¹ (1. Central Research Institute of Electric Power Industry Socio-economic Research Center)

10:30 AM - 10:45 AM

[1002] Visit of the underground research center by Nuclear critics and ther opinion changes.

*Shinji Mitani¹ (1. Nuclear Communications)

10:45 AM - 11:00 AM

[1003] Dialogue with college students on geological disposal of high-level radioactive waste

*Naoki Yamano¹ (1. Radiation Dose Analysis and Evaluation Network)

11:00 AM - 11:15 AM

[1004] Interest of high-level radioactive waste disposal in dialogue of university student

*Sachiyo Kamimura¹, Yoshimi Kawamoto¹ (1. University of fukui)

11:15 AM - 11:30 AM

[1005] Comprehensive evaluation system for ¹³⁷Cs migration and radiation levels in Fukushima Prefecture

*Fumiya Nagao¹, Akihiro Kitamura¹, Hiroshi Saito¹, Hiroshi Tamiya¹, Takeshi Matsubara¹ (1. Japan Atomic Energy Agency)

11:30 AM - 11:45 AM

原子力緊急事態における意思決定の戦略性とリアルタイム被害予測システムの役割 SPEEDIをめぐる論争状況の批判的検証を手がかりに

Strategic Emergency Decision-making and Role of Real-time Disaster Damage Prediction System
Lessons of "SPEEDI" Controversy and Its Critical Analysis

*寿楽 浩太1, 菅原 慎悦2

1東京電機大学,2電力中央研究所

原子力防災体制におけるリアルタイム被害予測システムの位置づけの国際比較を行い、それがもたらす情報を緊急時の意思決定における戦略性の向上に活かすしくみが日本では欠けていることを明らかにした。

キーワード: SPEEDI 原子力防災 リアルタイム被害予測システム 緊急時の意思決定 構造災

1. 緒言

緊急時迅速放射能影響予測ネットワークシステム(SPEEDI)の活用のあり方は、福島原発事故以降の原子力防災論議における大きな論点である。発表者らは、SPEEDIへの関係者や社会の期待の高さが、緊急事態の実態と制度の乖離を生み、事故後の論争の分極化にもつながったことをすでに明らかにしている[1]。今回は、この問題状況の継続をめぐり、国際比較を行って制度設計の不備を批判的に検討した。

2. 方法、結果、考察

2-1. 方法

文献調査に加え、リアルタイム被害予測システムの活用を原子力緊急事態における防災体制に組み込んでいるフランス、カナダで聞き取り調査を実施し、日本での調査結果と比較検討した。

2-2. 結果

専門的助言を緊急時の意思決定の戦略性を高める上での重要な要素と位置づけ、それを制度的に具現化すべく、事故進展予測や拡散予測をめぐる研究開発と実運用体制が丁寧に構想されていた。

2-3. 考察

両国における同システムの位置づけは、SPEEDIの計算結果をあいまいに「基本情報」と位置づけていた 福島原発事故以前の日本の制度とも異なるし、事故後の日本における活用論・否定論論争とも視座が異な る。日本の取り組みが意思決定の自動化、非属人化を企図していたとみられるのに対し、両国では、人間 が主体である意思決定の質の向上に技術が貢献するという前提が明確であった。

3. 結論

緊急時の対処は、データ、情報の収集のみに尽きず、それらを人間が総合的に勘案して意思決定を行うこと、その当否こそ死活的であるとの認識に立ち、リアルタイム被害予測システムを意思決定の戦略性に活かすという見地は、現在の日本の原子力防災体制・論議に大きく欠けている。「意思決定」のあり方そのものを問い直し、社会的合意を改めて確立して、同システムのあるべき活用の方途を見定めるべきである。

参考文献

[1] Sugawara, S. and K. Juraku, "Post-Fukushima Controversy on SPEEDI System: Contested Imaginary of Real-time Simulation Technology for Emergency Radiation Protection," S. Amir (ed.), *The Sociotechnical Constitution of Resilience: A New Perspective on Governing Risk and Disaster*, Palgrave Macmillan, 2018.

^{*}Kohta Juraku1 and Shin-etsu Sugawara2

¹Tokyo Denki Univ., ²CRIEPI.

1001

科学技術リスクへの人々の価値意識と原子カリスクコミュニケーション

Social value-orientation for science and technology, and nuclear risk communication
*桑垣 玲子 ¹

1 (一財) 電力中央研究所 社会経済研究所

電力消費地である全国の大都市圏に居住する一般市民を対象に、科学技術に対する考え方に関する先行研究等を踏まえた 29 の調査項目から複数の分析手法を用いて、リスクに対する受けとめ方を軸に 4 つのクラスタを抽出した。この結果と年代、性別、関心などの特徴と共に、原子力発電利用に対する考え方等を分析した結果の一部を報告する。

キーワード: 社会意識, リスクコミュニケーション, 科学技術リスク

1. 緒言

科学技術に対する考え方では、専門家と一般市民の違いや専門分野の異なる専門家間での違い(土屋・小杉,2011)、東日本大震災後の考え方の変化(小杉,2013)を報告してきた。また、原子力世論を構成する社会的な価値観として、科学技術リスクの受け止め方と関係があることも複数指摘されてきた。電気事業者が進めている原子力のリスクコミュニケーションにおいて、日々のマネジメントを通じた地道な信頼の獲得は不可欠であるが、現在のように社会的な信頼が低下している状況下では、個々の一般市民がどのような価値の尺度を持って判断を下しているのか(価値意識)を踏まえ、異なる価値を重んじる人々との共考、あるいは価値共有による信頼の構築も重要となる。

2. 調査結果

2-1. 調査概要

全国の大都市圏の居住者を対象に、科学技術及び原子力発電への関心や考え方、利用態度などの把握を目的として、ネットリサーチ会社に登録するモニターから 20 歳以上 80 歳未満の男女で均等割り付けを行い、3,840 サンプルを回収した(2018 年 2 月)。

2-2. 科学技術リスクへの人々の価値意識の分析

科学技術の必要性、制御可能性、リスク態度を被説明変数としたクラスタ分析の結果から、①利便性を強く認識し、効力感を持ち、利益があればリスクを受容する人々(科学信頼群、2割程度)、②態度を保留する人々(態度保留群、3割程度)、③効力感が低く懸念は強いものの、利益があればリスクを受容すべきとも考える人々(譲歩群、3割程度)、④懸念が強く、リスクがあるものは使用すべきではないと考える人々(懐疑群、2割程度)、の4群を抽出した。

2-3. リスクの対処への異なる価値意識(リスク観)を持つ人々の特徴と原子力発電への態度

懐疑群は年代を追うごとに割合が増加し、社会関心が高く、環境や次世代影響、公共の福祉を重視し、倫理観が高い。若い世代には科学信頼群と態度保留群が多く、社会関心が低く、経済性(価格)や自己の生活を重視する。譲歩群はどの立場も追認する中庸の曖昧さがある。原子力発電に対しては、必ずしも懐疑群のみが特異な懸念を持っている訳ではなく、重視する評価ポイントや有用性・不安感において、他群も同じような否定的な意見や懸念を持っている。

3. 考察と課題

科学技術に対して、好ましい影響を導く経済的な利点と、好ましくない影響に及ぼす倫理的な懸念を、異なる価値尺度で判断する人々が存在している。リスクコミュニケーションにおいては、どちらか一方の観点のみではなく、両者の判断を裏打ちするような科学的な確からしさを持ち、リスク評価や管理方法の検討が行われることが望ましい。

参考文献

- [1] 土屋智子, 小杉素子, 市民と専門家のリスク認知の違い, 電力中央研究所報告 Y11003, 2011.
- [2] 小杉素子, 東日本大震災後の人々の科学技術に対する考え方の変化, 電力中央研究所報告 Y12010, 2013.

^{*} Reiko Kuwagaki 1

¹ Central Research Institute of Electric Power Industry, Socio-economic Research Center

原発批判派による地層処分研究施設見学前後の考え方の変化

Visit of the underground research center by Nuclear critics and ther opinion changes.

*三谷 信次1、半谷 輝己2,

「原子力コミュニケィションズ,2リスクコミュニケーションジャパン

原発に対し比較的批判的な一般人を Facebook で募集し、瑞浪の超深地層処分研究施設を見学した。地層処分についての彼らの考え方の変化について動画に収録し Youtube に掲載し発信した。その内容について報告する。

キーワード:原発批判派、地層処分、リスクコミュニケーション、合意形成、Youtube

1. 緒言

NUMO一原子力文化財団の募集した地層処分研究施設見学について、団体や組織の人ではなく Facebook を通して関心の高い人達を募集した。原子力に比較的批判的な人達が多い一般人が集まってきた。 地層処分に関する技術的な課題は、概ね理解して頂いたが制度的な問題で予想外の提案をしてきた。

2. 方法

「持続可能な社会の構築のためにエネルギー問題の解決は必須の課題である。エネルギーの消費者たる 我々一人ひとりが、正しい情報をもとにこのことに適切に対処することが求められている。原子力発電に より発生し、すでに蓄積されている高レベル放射性廃棄物の処分の問題は、将来に向けて避けて通れない 世代を越えての重要な課題のひとつである。このことを理解し議論するために、瑞浪深地層処分研究施設 を見学し、今後の対応を考えないか」という形で一般人に Facebook で呼び掛けた。

多くの人達が応募してきたが、予算の関係で 15 名が参加した。参加者は、原子力とは全く無縁の主婦、会社員、元大学教授、元及び現役の技術者、医療関係者、フリーライター、自由業者たちであった。彼らの多くは原子力エネルギーの利用には必ずしも積極的な人は少なく、最初は地層処分についても漠然と不安を抱いていて、総論としての課題解決への関心は高いが、地層処分に関連する技術的な情報不足のため確たる意見を持てないでいた人達が多かった。彼らの原子力や地層処分に関する情報源は、募った関係で当然 SNS からが多いが、新聞、テレビ等のマスメディアも参考にしており、それも批判的にみている人達が多かった。事前学習会と見学会前後の討論で、漠然と反対していた人達が条件付き賛成に回った人が多くみられた。その内容を動画に収め Youtubu[1]に掲載した。昨年末から今年半ばまでのアクセス数は700余であった。I

3. 結論

参加者の多くの意見は次の通りである。「原発の再稼働と現在貯まっている使用済核燃料の地層処分とは 区別して考えるべき。すでに貯まっている核燃料は、現世代の責任でもって地層処分すべし。特に地産地 消も考えに入れるべし。今後再稼働で出てくるものは、再稼働プラントのサイトで処分することを考える べし。そうすることで、電力の生産地と消費地の住民が、互いに自分たちのこととして捉えざるをえず、 地層処分に対する国民の意識が高まることになる。そのような制度に改めるべきである」

[1] 動画、ミッドナイトラボ https://www.youtube.com/watch?t=&v=4ZTtqWmHukQ&app=desktop

2018年 日本原子力学会

^{*}Shinji Mitani ¹, Terumi Hangai²

¹Nuclear Communications., ²Risk Communication. Japan

高レベル放射性廃棄物地層処分に係る大学生との対話

Dialogue with college students on geological disposal of high-level radioactive waste *山野 直樹 ¹

1特定非営利活動法人放射線線量解析ネットワーク

高レベル放射性廃棄物地層処分に対する市民の理解促進を図るため、将来のオピニオンリーダーとなる大学生との対話活動を行った。地域参画型リスクコミュニケーション手法を適用し、ワークショップと見学会を組み合わせて効果的な理解促進を図るとともに、社会的課題の抽出と改善に向けた議論を行い有用な知見を得たので報告する。

キーワード:放射性廃棄物、地層処分、HLW、地域参画型、リスクコミュニケーション、対話

1. はじめに

筆者らは、地域参画型リスクコミュニケーション手法「を用いて、地層処分に係る一般市民との対話活動を平成 28~29 年度に行った。平成 28 年度はワークショップと見学会をそれぞれ 1 回実施したが、地層処分を初めて知る参加者には、技術的安全性から社会的課題に至るまでの広範な内容を 1 回のワークショップと見学会で理解することは困難であることが分かった。そのため、平成 29 年度は 5 回のワークショップと 2 回の見学会を組み合わせ、参加協力を要請した。様々な対話と議論を通して今後の理解推進活動の在り方について貴重な意見を聴取することができた。

2. 地層処分ワークショップ・見学会の実施内容

平成28年度は、大学院生(東京大、東工大)5名、大学講師1名、会社員1名、理科教諭1名の8名に対して実施した。平成29年度は、学部生(慶応大、東京都市大、東工大)6名、大学院生(東工大)3名、理科教諭1名の10名で実施した。ワークショップは都内の会議室を借用して、参加の容易な休日に実施した。見学会はワークショップを挟む形で2回行い、幌延深地層研究センターと六ケ所村原燃施設を見学した。ワークショップでは前半1時間を専門家の講演、後半2時間半を意見交換の場として対話を行った。

3. 論点整理と得られた成果

最初に論点として、放射性廃棄物、再処理を含む原子燃料サイクル、ガラス固化体、地層処分の技術的課題、実施の進め方、科学的特性マップ等の要点整理と「鍵になる質問」及び市民パネルの結論(UK CEED:1999)を提示し、対話の進め方(アジェンダ)を明確にした。社会的課題に関しては NUMO の担当者を交えた 2 回の意見交換を行った。幌延見学会では、地下坑道における実際の人工バリアを見て、地層処分のイメージ、地下水対策・排水処理や地域との信頼構築の努力が理解された。六ケ所村見学会では、実際の貯蔵・保管状況を見て、厳格に保管・貯蔵されている状況が理解された。また、六ケ所村意見交換会では、地域の環境、文化、教育、経済の変化について地域住民から生の声を聞くことができた。興味や関心を持たない層に、自分達の問題として気づいてもらうための方策を検討し、学生からのアイデアを聴取した。

4. おわりに

高レベル放射性廃棄物地層処分に対する理解促進のため、全国的な情報発信活動と並行して、科学的特性マップ提示後の全国意見交換会が NUMO 主催で実施されているが、地層処分の問題は、放射線・放射能、技術開発の現状、岩石学や地球物理などの地下深部の特性、原子力発電の将来展望、心理学や社会学の考察など極めて範囲が広く、1~2回程度のワークショップでは総合的な対話や議論を行うことは難しい。

5回のワークショップと2回の見学会を組み合わせて、現場を見て気づき、次のワークショップでの対話に活かすことができた。この方法の有効性を他の活動団体にも拡げることが極めて重要である。

謝辞本活動は高レベル放射性廃棄物地層処分に係わる学習の機会提供事業 [日本原子力文化財団]の助成を受けた。 参考文献 [1] 山野直樹,市民との対話-我が国における活動事例,日本原子力学会誌60巻,第2号,pp.93-96 (2018).

^{*}Naoki Yamano¹, ¹Registered Non-Profit Organization Radiation Dose Analysis and Evaluation Network.

大学生の対話における高レベル放射性廃棄物処分の関心事

Interest of high-level radioactive waste disposal in dialogue of university student

*上村 祥代 1, 川本 義海 1 福井大学

本研究では、福井県内3大学の学生を対象とした対話の場において、講演後、発表内容、対話後の3つの段階における意識の分析・考察を行い、大学生からみた高レベル放射性廃棄物処分の関心事を示す。

キーワード:対話、大学生、多様な分野、関心事

1. 緒言

原子力関係者は、科学的特性マップを用いて社会各層向けの対話型全国説明会や次世代向けの対話を行っている。このような原子力に関する対話の場に対して、日本学術会議は、特に女性や若年層、原子力分野以外の学生への対話活動、そして認識を高めることが課題と指摘している。実際には、科研バックエンド問題研究会が指摘するように若年層の参加が重要と考えるばかりに、コミュニケーションに重要な対話の中身を十分配慮していない場が一部見受けられる。

以上のことから、若年層の対話で関心をより一層高めるために、本研究では多様な分野に所属する大学生を対象に対話の場を通じて意識を調査し、高レベル放射性廃棄物処分についての関心事を明らかにする。

2. 対象者および調査

著者らは日本原子力産業協会(以下 JAIF)および県内の大学、高専と連携し、大学生と高専生を対象に 2008 年から計 6 回にわたり対話を行っている。そこで本研究では、7 回目にあたる 2017 年 12 月 16 日に実施した福井県内 3 大学 32 名(男性 23 名、女性 9 名:機械 2 名、建築・建設 7 名、物理 4 名、原子力 9 名、経済 10 名の学科また専攻)の学部生および大学院生を調査対象とした。なお、当日アンケートでメンバー特性を把握したところ、多くの学生がこれまで対話や学ぶ場の参加経験がある、事前勉強を行った上で本対話の場に参加している、事業の認知があり興味関心があるメンバーとなった。なおグループ対話では、所属は混成させ、6 人×3 つのグループ、7 人×2 グループで行った。

調査は、まずエネルギー政策、地層処分の概要、処分事業、科学的特性マップ、国内外の事例に関する 60 分間の講演後、1) 高レベル放射性廃棄物処分の考えや疑問に思ったこと、続いて 5 つの各々グループに おいて 95 分間の自由対話を行う中で、2) 個人の意見を付箋に書き出しそれを模造紙内にまとめること(模造紙にまとめた内容を対話後に 1 グループ 3 分程度発表を行う)、3) 対話後にグループ内で共有できたことの 3 つの段階の考えを確認した。

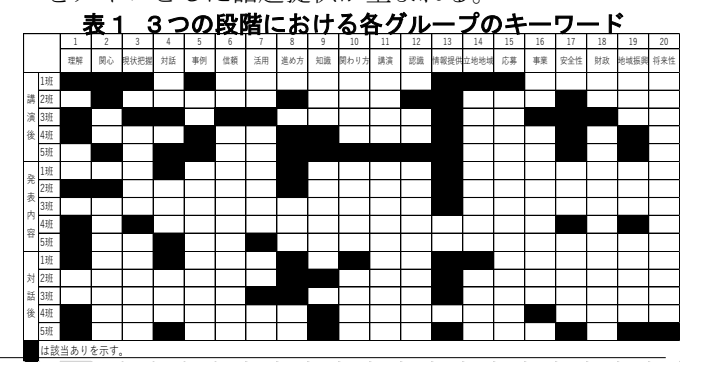
3. 結論

本対話の場および JAIF の調査からも確認できるように、大学生は「情報」の重要性を認識していた。さらに具体的には、本調査から「情報提供のあり方(内容、量、方法)」に対して改善を図る必要があると考えていことを確認し得た。

また各段階における関心事は表1に示すとおりであり、1)講演後は「理解」「関心」「現状把握」「対話」「事例」「信頼」「活用」「進め方」「知識」「関わり方」「講演」「認識」「情報提供」「立地地域」「応募」「事業」「安全性」「財政」「地域振興」の19個のキーワードに対する考えや疑問を持っており、幅広い視点から対話を行っていることが考えられる。一方で、2)発表内容は「理解」「関心」「現状把握」「対話」「活用」「進め方」「情報提供」「安全性」「地域振興」の9個のキーワードの問題提議や提案、また3)対話後は「理解」「対話」「活用」「進め方」「知識」「関わり方」「情報提供」「立地地域」「事業」「安全性」「地域振興」に、「将来性」が加わり12個のキーワードの共有を行っており、講演後に比べて意見が

集約されている。ここで、社会各層向けの対話での 関心事を原子力発電環境整備機構による報告から考 察すると、「リスク」「管理体制」「特性マップ」「安 全性」「処分事業」に関心があり、本対話では確認で きないキーワードがみられることから、参加層によ る関心事の違いは対話活動の重要な示唆になる。

そして今後、関心を高める材料として期待される ことから、大学生の対話では「情報提供のあり方」 をメインとした話題提供が望まれる。



^{*}Sachiyo Kamimura¹, Yoshimi Kawamoto¹

¹University of Fukui.

福島県の 137 Cs 動態および線量に関する包括的評価システムに関する取組み

原子力機構では住民や自治体の不安や疑問に答えるために、福島県内における放射性セシウムの動態や被ばく線量に関する調査研究成果を取りまとめた「包括的評価システム」を整備している。本発表では包括的評価システムに関するこれまでの原子力機構の取組みと今後の展望を説明する。

キーワード:福島県 放射性セシウム 情報公開 環境動態

1. 緒言

福島の原発事故の影響に関連して、住民の帰還判断や不安の低減、自治体の施政方針策定には科学的根拠に基づく知見を提供する必要がある。しかし、調査研究は原子力機構(以下、機構)を含む様々な機関で行われており、求める情報がどこを見れば得られるか把握が難しい。また、事故後時間が経過しており、ニーズが事故直後の影響の把握から、将来の空間線量率や食品中の放射能濃度等に移りつつある。さらに、そのような知見は、それを必要とする一般の利用者に分かりやすく説明・提示する必要がある。これらの課題を踏まえ、機構では放射性セシウムの環境動態に関する包括的評価システムを開発している。

2. 包括的評価システムの構成および概要

様々な機関の調査結果はそれぞれ違う場所で公開されており、また調査データの形式が異なり利用性が低かった。そのため、原子力機構では、機構内外の調査研究で得られた調査データを収集し、形式を共通化した上でウェブ上に公開している(環境モニタリングデータベース;平成27年2月公開)。これにはモニタリングデータ(平成23年3月~)に加え、平成28年5月からは機構の環境動態研究(平成24年12月~平成29年1月、森林調査、河川調査、河口域調査、ダム調査)で取得したデータも登録している。本データベースにより、利用者の求めるデータを探索・利用しやすくなる。また、将来の濃度分布や空間線量率の推定のため、機構では環境動態研究に基づいて土壌中濃度や林産物・水産物中濃度等目的に応じた複数の評価モデルを構築しており、これらのモデルに基づく解析結果を利用できる環境を本年度末の公開に向け整備中である(統合解析支援環境)。本環境の整備により、利用者の求める条件に応じた将来推定を参照可能となる。合わせて、機構では放射性セシウムの環境動態研究に基づく科学的知見を、Q&A形式で分かりやすく整理し、ウェブ上に公開している(環境回復知識ベース;H28.3 公開、H30.3 改装)。事故後時間が経過しており、一般の方でも専門知識を得ている場合もあることから、一般(理系大学生程度を想定)向けの説明から専門家向けの説明及び根拠となる文献へのリンクと階層的な整備を行った。これにより、利用者はその知識レベルや興味のレベルに応じて知見を得ることができる。

3. 結論および今後の展望

以上の整備により、住民や自治体へ科学的根拠に基づく知見を利用しやすく提供することを試みている。 今後、新規の知見の取入れや研究進展を反映したモデルの改善、公開後の利用者ニーズに応じたシステム 改善等を行う。

^{*} Fumiya Nagao ¹, Hiroshi Saito ¹, Hiroshi Takemiya ¹, Takeshi Matsubara ¹ and Akihiro Kitamura ¹

¹Japan Atomic Energy Agency

Oral presentation | I. General Issues | General Issues

[1006-09] Nuclear Policy

Chair:Tetsuo Sawada(Tokyo Tech)

Wed. Sep 5, 2018 2:45 PM - 3:50 PM Room O (D25 -D Building)

- [1006] Nuclear-Biomass Hybrid System 2 for Electricity Demand Fluctuation *Hoseok Nam¹, Keisuke Mukai¹, Satoshi Konishi¹ (1. Kyoto University) 2:45 PM - 3:00 PM
- [1007] Market Possibility of Nuclear-Biomass Hybrid System 2
 *satoshi konishi¹, nam hoseok¹, shutaro takeda², keisuke mukai¹ (1. IAE,Kyoto University, 2.
 Graduate School of Advanced Integrated Studies in Human Survivability, Kyoto University)
 3:00 PM 3:15 PM
- [1008] Clarifying the logical structure of court discussion on nuclear safety from analyzing judicial decisions about nuclear power plants

 *Go Kikuchi¹, Tuyoshi Takada¹ (1. Unuversity of Tokyo)

 3:15 PM 3:30 PM

Nuclear-Biomass Hybrid System 2 for Electricity Demand Fluctuation: Necessity of flexibility in Future Deregulated Electricity Market

*Hoseok Nam, Keisuke Mukai, Satoshi Konishi Kyoto University

Abstract

Use of the nuclear electricity for biomass conversion to charcoal and organic gas is analyzed to respond the demand fluctuation, particularly for the time of negative marginal price for electricity. Nuclear power can be sold in the capacity market and negawatt market for the time beyond break-even price. Low price electricity can be converted to biochar (fixed carbon) production utilizing waste biomass brings profit from carbon market by achieving carbon sequestration.

Keywords: Deregulated electricity market, Carbon sequestration, Carbon market, Nuclear, Biomass

1. Introduction

Deregulated electricity market (DEM) and carbon market are anticipated to grow due to electricity generation from various energy sources and the pledge for CO₂ reduction. This market shows negative marginal price based on liberal capitalism principle. Electricity generation from nuclear plant may not be profitable at the certain time of a day in the future. This study analyzes the possibility of base load nuclear electricity to respond the demand change by utilizing combination with biomass conversion plant.

2. Breakthrough for Nuclear Plant in the future

The introduction of the renewables increases [1], while electricity generation cost from renewables decreases [2]. Unsold nuclear power can be sold at capacity market and negawatt market. With the use of relatively lower price of

electricity from these market, biochar production ranging from 250°C to 400°C is possible. The conversion equation of $(\text{CH}_{1.6}\text{O}_{0.6})_n$ = $n\text{C}+0.4n\text{H}_2+0.6n$ H₂O-451n kJ is assumed to use biomass incorporated with the large portion of lignin. The biochar is a stable solidified carbon, which is considered carbon sequestration. The result indicates that if the breakeven price for electricity is \$66/MWh, carbon price needs to be \$16/t\text{CO}_2\$ to have the same annual income. Fig 1 describes the income change by marginal price and continuing hours of marginal price. If annual average electricity price takes place below 3,000 hours at \$-100/MWh, it

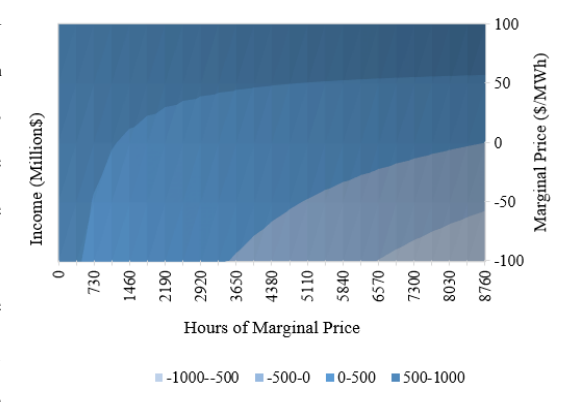


Fig 1. Income of Nuclear-Biomass Hybrid System

can make positive income because of profit from carbon market. This proves the complementary role of nuclear-biomass hybrid system operation.

4. Conclusion

The rise of DEM is possible in Japan, when the goal of 22 to 24% electricity generation from renewables is achieved in 2030 [3]. It is a plausible option for nuclear power industry to consider new concept of Nuclear-biomass hybrid system. This can be a new pathway to flexibly adapt to a new environment.

References

- [1] International Energy Agency, World Energy Outlook 2017, IEA, 2017
- [2] Ministry of Economic, Trade and Industry, Long-term Energy Supply and Demand Outlook, METI, 2015
- [3] International Renewable Energy Agency, Renewable Power Generation Costs in 2017, IRENA, 2018

原子カバイオマスハイブリッドシステムの市場可能性 2: 木炭生成、炭素隔離と排出権市場

Market Possibility of Nuclear-Biomass Hybrid System 2; Biochar production, carbon sequestration and emission credit *小西 哲之 ¹,南昊錫 ¹、武田秀太郎 ²、向井 啓祐 ¹ 「京都大学 エネルドー理工学研究所、²京都大学思修館

原子力エネルギーとバイオマスの複合では、バイオマスから木炭を製造し、それを大気循環からの二酸化炭素の恒久的隔離として、CCSと同様に排出権市場で販売できる可能性があり、これは電力、燃料とともに原子力の第3の市場となりうる。軽水炉以上の温度で、特に木質など炭素含有率の高いバイオマスを吸熱分解して炭化することで安定な固形炭素が得られ、これは電力や燃料の需要によらない。

キーワード:バイオマス、木炭、二酸化炭素、CCS、排出権

1. はじめに

バイオマスは CHO を主な構成元素とする複雑な化合物であるが、熱分解部分は比較的低温で起こる。

一方パリ合意に従えば今後世界のエネルギーは急速な脱炭素化を必要とし、エネルギー需要にまして二酸化炭素削減能力の需要が大きいと考えられる。原子力による二酸化炭素削減法としての木炭生成と炭素 隔離の可能性の検討を報告する。

2. 測定と検討

セルロースを嫌気条件で熱分解して熱天秤で測定した。280℃以上で炭化が起こり、300℃以上でほぼ完全に木炭化した。温度によるがバイオマスの70%程度の重量のチャーが得られる。この温度で留分は複雑な有機混合物であるが、炭化には軽水炉のエネルギーを利用できる。特に炭素含有率の高い木質バイオマスの主成分であるリグニンの生成熱からは、 $(CH_{1.6}O_{0.6})$ n = nC+0.4nH₂+0.6n H₂O-451n kJ と、理想的には大きな吸熱で炭素を生成する反応が考えられる。留分の完全なガス化は水性ガス生成と類似でより温度を必要とすると考えられるが、必要熱量は木炭と留分生成の場合これより少ない。

生成炭は化学的に安定でありバイオマス起源なので、大気中二酸化炭素を恒久的に固定したものとみなすことができる、つまり、CCS で用いられる CO_2 の地中への隔離と同様の効果を持つため、実効的には排出権を生成することになる。一方、CCS と異なり、化石燃料の燃焼や火力発電に付随して二酸化炭素を回収する必要がなく、また地中貯留よりも管理や立地が容易であるため、バイオマスの入手できるところであれば排出権生成の制約は少ない。つまり、核エネルギーを電力に転換する代わりに排出権クレジットという別の形のエネルギー商品を製造することになる。上記反応式の吸熱量は可能な最大熱量であるがこ

の場合でさえ、現在の代表的発電コストと炭素価格 がほぼ等価である。この排出権化フローの一例を図 1に示す。

3. 結論

ここで示すバイオマス炭化反応は、原子力の利用 法として、電力や燃料製造と異なる第3の市場可能 性を示唆しており、既存エネルギー市場の制約を受 けない。

¹Institute of Advanced Energy, Kyoto University, ²Graduate School of Advanced Integrated Studies in Human Survivability, Kyoto University.

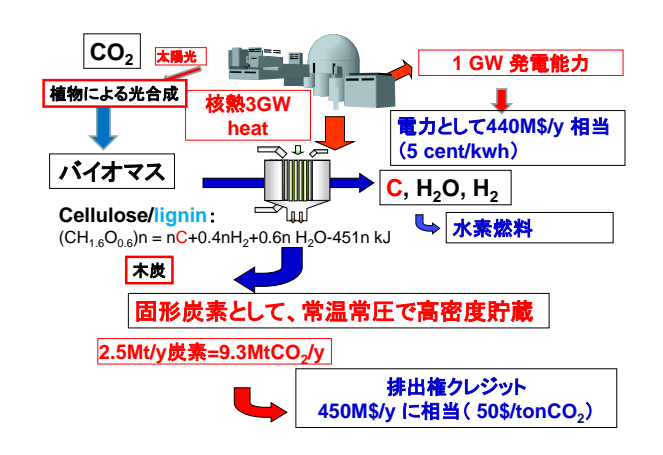


図1バイオマス炭化と排出権化のフロー

^{*}Satoshi Konishi¹, Hoseok Nam¹ , Shutaro Takeda², and Keisuke Mukai¹

原発訴訟の決定文に基づく原子力安全に関わる司法の議論構造の明確化

Clarifying the logical structure of court discussion on nuclear safety relying on judicial decisions about

nuclear power plants

*菊池 豪¹,高田 毅士¹ 「東京大学

本稿では、原子力発電所稼動の是非を問う裁判(以下、原発訴訟)において出された決定文を元に、当事者の主張の対立構造を含め、原発訴訟で扱われる原子力安全問題の構造を明らかにし、原発訴訟で扱われる問題の本質を明確にすることを目的とする。

キーワード:原子力安全,工学,原発訴訟

1. 背景・目的

これまで、全国各地で原発訴訟が行われており、福島第一原子力発電所事故以降、その数は急激に増加している。これらの原発訴訟における裁判所決定は、実際の原子力発電所の運用にも影響を与えており、工学として、この状況に真摯に向き合うことが必要である。

原発訴訟については、原子力界からも提言がなされており、その中には「一般市民に対する理解しやすい説明が必要である」とするものもある。理解しやすい説明が必要であることは否定しないが、ここでより重要なことは「何を」説明するのかということである。

原発訴訟では、個別具体的な案件まで踏み込んだ、専門性の高い争点が扱われている。専門性が高いが 故に、原子力安全という大きな枠組みの中の局所的な部分が争点になっており、専門家の答弁も局所的な ものにならざるを得ないという実情もある。個々の争点に対する理解しやすい説明は、原子力安全に関す る局所的な説明にしかならず、原子力安全という大枠の理解につながりにくいと考えられる。

本研究では、原発訴訟で扱われた争点を抽出し、各争点に対して、その争点の発端となった大枠の問題 意識を考察し、整理した。これにより、原子力安全の理解に向けて「何を」説明すればよいかが明確にな ると考えられる。本稿では地震に関する検討について報告する。

2.手法

過去に行われた 4 件の原発訴訟[^{1][2][3][4]}における判決文および決定文から、地震に関連する争点とそれに対する当事者の主張を筆者がとりまとめた。各争点および当事者の主張を分析し、それらが形成された背景にあり、理解しやすい説明が本来的に必要な要素を抽出する。

3. 分析結果

- 上記分析結果から抽出した要素は以下の通りである。
 - ①地震動評価における平均像のあり方(ばらつきの考慮)
 - ②安全余裕の与え方(システム全体の余裕、設計段階等各ステップでの余裕)
 - ③確率の考え方(敷地ごと、日本全体、考慮する期間)
 - ④地震学の水準(どこまでわかるのか、社会のニーズとの関連)
 - ⑤地震の経験と規準への反映 (知見を取り入れ、更新することの重要性)
 - ⑥「わからないこと」に対する対処のあり方(「震源を特定せず策定する地震動」の位置づけ)

4. まとめ

本稿では、原子力安全のあり方を分かりやすく伝えるために、地震に関して着目すべき要素の抽出を行った。原子力安全の根底にある工学の考え方を理解してもらうことが、原子力安全に対する一般市民の理解の助けとなると考えている。

参考文献

- [1] 大飯原発 3,4 号機運転差止請求事件. 平成 24年(ワ)第 394 号など: 福井地方裁判所,2014年 5月 21日
- [2] 川内原発稼動等差止仮処分申立事件. 平成 26 年(ヨ)第 36 号: 鹿児島地方裁判所, 2015 年 4 月 22 日.
- [3] 原発再稼動禁止仮処分申立事件. 平成 27年(ヨ)第6号: 大津地方裁判所, 2016年3月9日
- [4] 伊方原発3号機運転差止仮処分命令申立事件. 平成28年(ヨ)第38号など: 広島地方裁判所,2017年3月30日

*Go KIKUCHI¹, Tsuyoshi TAKADA¹

¹University of Tokyo

Oral presentation | I. General Issues | General Issues

[1010-13] Human Resource Development

Chair:Satoshi Konishi(Kyoto Univ.)

Wed. Sep 5, 2018 3:50 PM - 4:55 PM Room O (D25 -D Building)

[1010] Improvement of the severe accident practice tool

*IKUO KAWASAKI¹, AKIRA NAKAMURA¹, SHUNSUKE TAKAHASHI² (1. Institute of Nuclear Safety System, Incorporated , 2. The Kansai Electric Power co.,inc.)

3:50 PM - 4:05 PM

[1011] Effect of energy environmental education for university students

*Shinichi Oiso¹ (1. INSS)

4:05 PM - 4:20 PM

[1012] Present status and future prospective for human resource development of radiation safety specialist

*Yasuhisa Oya¹, Kenji Okuno¹, Yuji Hatano², Kazunari Katayama³, Akihiro Nohtomi³, Kenichi Hashizume³, Masanori Hara² (1. Shizuoka Univ., 2. Univ. of Toyama, 3. Kyushu Univ.) 4:20 PM - 4:35 PM

[1013] Analysis of the structure of *Genshiryoku-mura* toward a paradigm shift of consensus building (7)

*Tetsuo Sawada¹, Mask Bando² (1. Tokyo Institute of Technology, 2. NPO JEIN) 4:35 PM - 4:50 PM

シビアアクシデント演習ツールの改良

Improvement of the severe accident practice tool *川崎 郁夫¹,中村 晶¹,高橋 俊佑²¹原子力安全システム研究所,²関西電力

福島第一原子力発電所事故の教訓を踏まえて開発した、シビアアクシデント(SA)時の本部対応を疑似体験できる演習ツールにおいて、緊急時活動レベル(EAL)判断基準の見直し等を反映して演習ツールの改良を行った。 キーワード:シビアアクシデント(SA),緊急時活動レベル(EAL),原子力防災訓練,MAAP、SPDS

1. 緒言

福島第一原子力発電所事故の教訓を踏まえて開発した SA 演習ツールの演習シナリオは、従来より過去の原子力防災訓練シナリオを基に作成しており、演習時間の表示制限によるプラントの状況把握が困難等、先般の発電所教育を通じて課題の抽出、対応を進めていたところ、平成 29 年度に原子力災害対策指針等の改正に伴い、EAL 判断基準についても一部見直しされたことにより、従来の演習シナリオでは見直し後の EAL に対応していないものがほとんどであり、新 EAL の判断に対応していないことから、演習シナリオを抜本的に見直す必要性が発生した。また、従来の1シナリオあたり 30 分間の演習では演習前後のプラント状況がつかみづらいという課題があった。

2. 演習ツールの改良内容

演習シナリオについては、SA研修の時間(2時間)を考慮して、代表的な1次系の事象として原子炉冷却材漏えい、2次系の事象として2次系給水喪失を選定した。それぞれの事象について、今回のEAL判断基準の変更点を含むクロノロジを作成して、MAAP解析により演習シナリオおよび演習用SPDSデータを作成した。

また、プラント状況を理解しやすくするため、事象 発生から収束まで一連のシナリオの演習ができるよう に、演習シナリオ時間を最大50時間まで延長可能とし た。それに伴い、事象進展の早送り機能の強化(最大 64 倍速まで可能)、トレンドグラフ表示における横軸 (時間) スパンの変更を可能とした。

表1 演習シナリオのクロノロジの例(原子炉冷却材漏えい)

主要なイベント	事象発生からの経過時間			
LOCA発生	0分			
原子炉トリップ 変更前は ECCS イ	1 0/1			
ECCS作動(SI信号) よりSE21 と判	断したが 0分			
A, B-非常用DG自動起動 変更後は判断し	ない 0分			
A-CH/SIP起動失敗	0分			
B, C-CH/SIP起動	0分			
A-RHRP起動	0分			
B-RHRP起動	0分			
2次系強制冷却開始	10分			
A-RHRP停止 変更後はポン	.プ 20分			
14 6一非名用以3战隍停止	1 3077			
B, C-CH/SIP停止 全台停止によ	. 1 3073			
B-RHRP停止 SE21, GE21 と	判断			
炉心出口温度350℃超過	52分			
被覆管破損	57分			
炉心損傷検知	1時間2分			

3. まとめ

今回改良したSA演習ツールを用いてSA研修を実施し、研修受講者がEAL判断基準の変更点について理解を深めることができた。今後は不足しているEALを網羅するよう演習シナリオの充実を図る。



図1 訓練プラントステータスサマリ画面 (事象進展の早送り機能)



図2 トレンドグラフ表示画面(横軸スパン変更)

参考文献

- (1) 川崎郁夫ほか, 原子力学会 2014 春の年会, C22, 東京都市大学 (2014)
- (2) 川崎郁夫ほか, 原子力学会 2016 秋の大会, 2M04, 久留米シティプラザ (2016)

^{*} Ikuo Kawasaki¹, Akira Nakamura¹, Shunsuke Takahashi²

¹ Institute of Nuclear Safety System, Incorporated, ² Kansai Electric Power Co., Inc.

大学生に対するエネルギー環境教育の効果

Effect of energy environmental education for university students

*大磯眞一

(株)原子力安全システム研究所

福島第一原子力発電所事故以降、日本のエネルギーを取り巻く情勢はますます厳しくなり、エネルギーミックスやエネルギーセキュリティ、エネルギー自給率について、大学で教育する意義も高まってきている。そのような状況を踏まえ、エネルギーミックスおよび海外でのエネルギー情勢などに関する教育実践を行った。

キーワード:大学生、エネルギー環境教育、エネルギーミックス、エネルギーセキュリティ、エネルギー自給率

1. 緒言

2017年およびその前年の2016年の4月から8月に、福井大学において工学部学生(1~4年生)を対象に資源エネルギー論の講義を実施し、その中でアクティブラーニングを用いたエネルギーミックス教育も行ったので、その結果の比較、得られた知見について報告する。

2. 概要

2030 年度の日本の電源構成について、エネルギーミックスの講義の後、3 名~5 名の小グループ (A~Gの7 グループ) に分かれ、原子力、LNG、石炭、石油、再生可能エネルギーについて、それぞれ何%ずつにすればよいと考えるかを、各グループで議論の上、理由を含めて発表してもらった。再生可能エネルギーについては、風力、太陽光などを、それぞれ何%にするのか内訳も記載した上、理由についても明記してもらった。その上で、2017 年の結果を 2016 年の結果と比較分析した。また、講義後の海外のエネルギーの現状と課題への理解度も調べた。

3. 結果 (2017年)

	原子力	LNG	石炭	石油	再エネ		原子力	LNG	石炭	石油	再エネ
Α	20%	24%	28%	3%	25%	G	10%	30%	25%	5%	30%
В	20%	20%	24%	3%	33%	2017	16. 4%	28. 5%	26. 9%	6.6%	21.6%
С	10%	30%	25%	20%	15%	2016	20.3%	27. 6%	19. 9%	5. 2%	27. 0%
D	25%	32%	28%	2%	13%	変動	Ţ	1	1 1	1	↓ ↓
E	10%	35%	30%	3%	22%	σ	5. 80③	4. 954	2. 03⑤	6.022	7. 59①
F	20%	29%	28%	10%	13%	1本庁	22-20%	27%	26%	3%	22-24%

4. 考察

2017年の平均値をみると、原子力は16.4%と2016年の20.3%より下がった。再稼働がなかなか増えていかない現状を踏まえてのことと考えられる。再生可能エネルギーについては、2016年の27.0%を下回る21.6%となった。太陽光、風力など一長一短があり、2030年度見通しについて、学生はより現実的な見方をしてきていると言える。グループ毎のデータのばらつきを示す標準偏差(σ)は、再生可能エネルギーが最も大きくなっており、意見に差があることがうかがえる。また、海外主要4か国(米、中、独、仏)のエネルギーの現状と課題に関する理解では、講義により大幅な向上が見られた。現状については米国への理解度が最も高くなった。米国は、原子力を含めたエネルギーミックスが比較的実現できていることがわかりやすかったと考えられる。また、課題については中国への理解度が最も高くなった。環境問題が深刻になっているので、原子力発電や再生可能エネルギーの比率を増やしていくという方向性が学生にも見えやすかったと言える。一方、ドイツへの理解度が最も低くなった。すでに再生可能エネルギーの比率が高く、原子力の廃止も決定していることから今後の対策が見えにくかったと考えられる。

*Shinichi Oiso

Institute of Nuclear Safety System, Incorporated

放射線安全のための大学間連携放射線計測専門家育成プログラムの現状と 今後の展開

Present status and future prospective for human resource development of radiation safety specialist

*大矢恭久¹⁾, 奥野健二¹⁾, 波多野雄治²⁾, 片山一成³⁾, 納冨昭弘³⁾, 橋爪健一³⁾, 原正憲²⁾
¹静岡大学, ²富山大学, ³九州大学

静岡大学が中心となり、富山大学、九州大学と連携し、放射線安全のための大学間連携放射線計測専門家育成プログラムを構築し、これまでに2年間実施してきた。各大学の特色ある実習を組合せ、全放射線種の測定・取扱を体験できる実習となり、受講生からのアンケートを参考に満足度の高いプログラムを構築できた。

キーワード: 放射線安全, 放射線測定, 大学間連携プログラム, 原子力規制人材育成

1. 緒言

特に放射性物質や放射線リテラシー向上のためには、エネルギー・環境問題を理解した放射線計測・取扱専門家の育成が必要不可欠である。そのためには、種々の放射線計測の系統的な教育プログラムには大学間連携が必要不可欠であり、これらをひとつの教育プログラムとして実施することにより高度な放射線計測・取扱専門家の育成につなげることが可能となる。種々の放射線計測技術を有する国内の放射線教育研究機関が連携し、各機関での特徴ある放射線計測手法について実習課題としてまとめ、系統的な放射線計測・取扱・原子力科学教育カリキュラムをこれまで2年間実施してきた。

2. 教育プログラム

本プログラムでは大学間で連携し、役割を分担することにより様々なエネルギーのアルファ、ベータ、ガンマ線計測から中性子計測まで系統的に学習できるプログラムとした。各実施期間にて 2 日間の実習プログラムとし、各大学で放射線教育を受けた学生の専門性をさらに向上させるための実習をめざした。静岡大学では、コバルト 60 ガンマ線照射装置を用いたフリッケ鉄線量計、45 Ca を用いた同位体希釈法による Ca の定量分析、アルファ線スペクトロメトリー、九州大学ではレムカウンター・BF3 比例計数管による中性子線量測定、電離箱によるトリチウムベータ線計測、半導体素子を利用したガンマ線計測、富山大学ではイメージングプレートによるトリチウム定量評価、液体シンチレーションカウンタの特性評価、ベータ線による X線の発生を実施した。また、放射線取扱主任者試験対策の集中講義も開講した。

3. 実施状況

放射線測定機材を充実化させることにより、充実した実習を提供することができ、受講生の満足度向上につなげられた。受講生からは「放射線取扱の具体的なイメージが得られ、試験、実技に役立つ」「普段できない計測の実験ができて良かった。主任者試験につながる内容で来て良かった。」「放射線の計測経験が無かったので貴重な体験になった。」「非密封のRIを扱う経験が貴重であった。」「自分の大学で学べないことが学べたために非常に良かった。」「座学だけででは理解できないところまで深く学べ、より発展した内容まで知りたいと思った。」等の意見があり、満足度は高かった(9.13点/10点)。原子力や放射線安全(規制)に関する職への興味を向上させることにも貢献できた。今後更に少人数で受講生が自分で操作しすべての実習ができる環境を整え、さらに満足度を高めていく計画である。

*Yasuhisa Oya¹, Kenji Okuno¹, Yuji Hatano², Kazunari Katayama³, Akihiro Nohtomi³, Kenichi Hashizume³, Masanori Hara²

¹Shizuoka Univ., ²Univ. of Toyama, ³Kyushu Univ.

原子カムラの構造分析から合意形成論へ(7)

原子力黎明期の京大における総合原子力研究所構想と湯川秀樹

Analysis of the structure of *Genshiryoku-mura* toward a paradigm shift of consensus building (6)

– Integrated Atomic Energy Research Initiative of Kyoto Univ. and Hideki Yukawa at the dawning period*澤田 哲生 1, 板東昌子 2

1東京工業大学・先導原子力研究所, NPO あいんしゅたいん

湯川秀樹は、1957年3月29日に原子力委員を辞任した。湯川はそれ以降原子力研究と袂を分かったと巷間信じられているが、それを否定する歴史資料がある。辞任以降も湯川は大学での原子力研究の統合に関与した。

キーワード:原子カムラ、湯川秀樹、京大原子力研究整備委員会、原子核科学、関西原子炉

1. 緒言

1958年12月に京都大学で原子力研究整備委員会が開催された。そこでは、理医工農各学部、化学研究所、工学研究所、基礎物理学研究所を横断する総合原子力研究所の整備計画案が検討された。これは関西研究用原子炉(後に熊取に設置された京大原子炉実験所)とは別の研究組織構想である。その理念・意義と湯川秀樹との関連性について論じる。

2. 方法

研究方法は、湯川史料および関連する文献などの分析と原子力関係者への聞き取り調査である。

3. 京都大学の総合原子力研究所構想

1958年(昭和33年)年12月10日(水)午後1時から『原子力研究整備委員会』が開催された。委員は理医工農各学部長、化学研究所/工学研究所/基礎物理学研究所各所長、およびその他の教授4名である。この4名の中に荒木源太郎(原子核工学科)がいた。また、当時の基礎物理学研究所長は湯川秀樹である。なお、京大原子炉実験所は1956年に計画されている^[1]。 **原子力研究整備計画案** には、次の2点が記されている。

- 1. 最終目標としては総合的な研究所の設置を考える――その規模としては別記のような三部からなる研究所の設置を考える。
- 2. 差当りの実施方針としてはつぎの方法をとる――適当な時期に化学研究所の原子力関係部分を工学研究所に統合し総合研究所の形式を実現する。統合の時期は諸種の事情を考えに入れ、この委員会で充分研究の上決定する。それまでの間は化研、工研のままでこの整備計画の方針にしたがって設備および施設を整備する。

また、設立の理念には以下のようなくだりがある。

原子核科学についての学部の現状をみると、工学部に於ては原子核工学科が本年度より新設され(中略)原子 力を中心とした工学的教育体制が一応整備の方向に向かっている。(中略)

原子核科学についての教育と研究の体制は応用部面のみの充実では真にその目的を達することはできず、基礎 科学より応用科学に至る調和ある体制が必要であり、特に広い分野を包含する原子核科学に於いて大学の受持 つ重要な責務は基礎的研究と基礎的学科を充分修得した学生の養成にある。

4. 結言

総合原子力研究所は京大の "原子核科学の綜合研究所" という位置付けであった。京大の諸学部および諸研究所の共同利用の便に供されるべきものとして大学全体の計画の一環として構想されていたのである。

参考文献

[1] 門上登史夫「実録 関西原子炉物語-熊取に第三の火が灯るまで」(日本興論社、昭和39年4月)

^{*}Tetsuo Sawada¹, Masako Bando²

¹Tokyo Tech., ²NPO JEin

Oral presentation | I. General Issues | General Issues

[1014-16] Nuclear Non-proliferation and Nuclear Security

Chair: Yoshiki Kimura (JAEA)

Wed. Sep 5, 2018 4:55 PM - 5:45 PM Room O (D25 -D Building)

[1014] Current Activities of Human Capacity Building Support by ISCN/JAEA

*Mitsutoshi Suzuki¹, Naoko Noro¹, Yosuke Naoi¹ (1. Japan Atomic Energy Agency, Integrated Support Center for Nuclear Nonproliferation and Nuclear Security)

4:55 PM - 5:10 PM

[1015] A study on how to simultaneously promote and strengthen nuclear nonproliferation and nuclear security

*Takashi Kimura¹, Ryo Shimizu¹, Makiko Tazaki¹, Hiroshi Tamai¹, Kazunori Suda¹ (1. Japan Atomic Energy Agency)

5:10 PM - 5:25 PM

[1016] A study on how to simultaneously promote and strengthen nuclear nonproliferation and nuclear security

*ryo shimizu¹, takashi kimura¹, makiko tazaki¹, hiroshi tamai¹, kazunori suda¹ (1. Japan Atomic Energy Agency)

5:25 PM - 5:40 PM

人材育成支援事業の最近の活動状況

Current Activities of Human Capacity Building Support by ISCN/JAEA

*鈴木 美寿¹, 野呂 尚子¹, 直井 洋介¹

1日本原子力研究開発機構 核不拡散・核セキュリティ総合支援センター

2011年度以降、約7年間に亘って活動して来ているアジア地域の国々等を対象とした核不拡散及び核セキュリティ分野の人材育成支援事業について、今までの成果について取り纏めるとともに、最近の状況、課題等について報告する。

キーワード: 核不拡散・核セキュリティ,人材育成,バーチャルリアリティ,核物質防護実習フィールド

1. 緒言

核不拡散・核セキュリティ総合支援センター(Integrated Support Center for Nuclear Nonproliferation and Nuclear Security: ISCN)は、第1回核セキュリティサミットにおける日本政府の声明を起源としてアジア初の核不拡散・核セキュリティ地域拠点として設立され2011年より活動を開始して以降、アジア地域の国々の本分野における人材育成に貢献しており、アジア各国に加え日米両政府より高い評価を受けている。本発表では、ISCNの人材育成支援事業の最近の状況等について取り纏め報告する。

2. 人材育成支援事業の特徴

2-1. アジア諸国への貢献

ISCN の人材育成支援の目的は、アジア地域で原子力技術の発電又は産業利用を検討している国々に対して、核不拡散(保障措置)及び核セキュリティ分野における国際条約の批准、国内規制、施策実施等に携わる人材の育成を支援することにある。今までに、82の国及び3つの国際機関より150のトレーニングコースに合計3,922名の参加者を得ており、上記の人材育成支援に重きを置いた本事業は、我が国の経験知見をアジア諸国へ紹介提供することで、当該地域の核不拡散・核セキュリティ分野の意識や体制の向上に貢献している。

2-2. バーチャルリアリティ及び核物質防護実習フィールド

トレーニングを効果的に実施するために、講義による座学やグループ討議以外に、バーチャルリアリティ技術を用いて、核物質防護に係る機微情報に抵触しない範囲で原子力発電所の施設内部について参加者に視覚で体験して貰う設備、及び核物質防護対策で用いる侵入防止や出入り管理等の設備機器等の原理や特徴を、実際に手で触れて体験して貰うことが出来る施設(核物質防護実習フィールド)を整備して運用して来ており、記憶に残る強い印象を与えることが出来ることから参加者より高い評価を得ている。

2-3. 国際協力

国際原子力機関(IAEA)を始めとする、米国エネルギー省国家核安全保障局(DOE/NNSA)及び欧州委員会共同研究センター(EC/JRC)からの国際協力を得て、また、アジア地域の本分野の協力枠組み等にも参加して、当該地域の動向・関心等の把握に努めている。特に、核セキュリティサミットの後に、我が国と同様に韓国及び中国に人材育成トレーニングセンター(Center of Excellence: COE)が開所し、3 か国間で連携協力する活動を展開中であり、IAEA が主導する世界的な核セキュリティトレーニングセンターのネットワーク会議においても、地域 COE 協力の模範との評価を受けている。

3. 課題等

核不拡散(保障措置)分野のトレーニングにおいて機構の保有する資産を有効活用したコースの提供、 核セキュリティ分野で多様なニーズに適確に対応できる新規コース開発及びインストラクターの養成等。

^{*}Mitsutoshi Suzuki¹, Naoko Noro¹ and Yosuke Naoi¹

¹Japan Atomic Energy Agency, Integrated Support Center for Nuclear Nonproliferation and Nuclear Security

核不拡散、核セキュリティの推進方策に関する研究 (6) 核不拡散と核セキュリティの相乗効果に係る課題克服策の検討

A study on how to simultaneously promote and strengthen nuclear nonproliferation and nuclear security

(6) Investigation of measures addressing issues for synergistic effect between nuclear nonproliferation and nuclear security

*木村 隆志¹,清水 亮¹,田崎 真樹子¹,玉井 広史¹,須田 一則¹ 「日本原子力研究開発機構

核不拡散と核セキュリティ(2S)に係る更なる強化・効率化を目指して、2Sの相乗効果を得るために、2S相互間での情報共有の課題克服策を制度・技術の両面から調査・検討し、その実現性を評価した。

キーワード:核不拡散、保障措置、核セキュリティ、核物質防護、相乗効果

1. 緒言

これまでの報告^[1]では、内部脅威(盗取)対策として、核不拡散と核セキュリティ(2S)の各々の測定データ(情報)の 2S 相互間伝送(情報共有)により、相乗効果として早期検知が期待できることと、その効果を得るにあたり課題と考えられる事項を報告した。今回の検討では、測定データの 2S 相互間伝送における課題克服策を制度・技術の両面から調査・検討し、その実現性を評価した。

2. 核不拡散と核セキュリティの相乗効果に係る課題克服策の検討

核不拡散と核セキュリティ(2S)の各々の措置で扱われる測定データを相互に伝送して相乗効果を得るにあたり、制度上の課題(図1)と見なされる「測定データ」の「他者への情報伝達を禁止する」情報管理(例えば、核物質の重量や侵入検知器の詳細な配置状況など)に対し、情報管理を要さない放射線計測値等の「生データ」の相互間伝送による克服が考えられる。ただし、上記の克服策である「測定データ」と「生データ」を分離して 2S 相互間伝送を行う際の技術上の課題として、測定データはデータサーバーから入手が容易であるが、生データは現場に多数設置されている測定機器から逐一取得しなければならず、伝送ケーブル新設や伝送にあたるプログラム変更等、技術的手法の複雑化・困難化が想像される。この技術上の課題を克服するために、核セキュリティから核不拡散への伝送データは、核セキュリティ関連法令類上の解釈(IAEA 等が PP 情報を知る必要がある者とする)によって生データではなく測定データを伝送する方法がある。また、2S 各々の測定機器等の共用に伴う当該測定機器等に対するIAEA による検証やタンパープルーフ措置等の制度上の課題に対し、同検証方法等のルール作り等にて克服する。これら課題克服策の実現には、関係者間における課題及びその克服策の妥当性評価の実施に加え、関係者間の協調や伝送に係る費用等が必要であるため、本克服策の採用の当否は 2S 相互間伝送による相乗効果の度合い及び 2S の重要性の位置づけに依存するであろう。



図1 2S 各々の測定データの情報管理に係る制度上の課題及びその克服策

3. 結言

核不拡散と核セキュリティの 2S 相乗効果を得るにあたる課題を克服できること及びその克服策の実現性は 2S の 重要性の位置づけに係る関係者間の共通認識等が重要であろうことを明らかにした。

参考文献

[1] 2016 秋の大会(2M16)、2017 秋の大会(2F7、2F8、2F9)、2018 春の大会(2A05)

^{*} Takashi Kimura¹, Ryo Shimizu¹, Makiko Tazaki¹, Hiroshi Tamai¹, Kazunori Suda¹

¹ Japan Atomic Energy Agency

核不拡散、核セキュリティの推進方策に関する研究 (7) 核燃料サイクル施設での核不拡散、核セキュリティの相乗効果のまとめ

A study on how to simultaneously promote and strengthen nuclear nonproliferation and nuclear security

(7) Summary of the synergistic effect of nuclear security and nuclear nonproliferation

on nuclear fuel cycle facilities

*清水 亮¹, 木村 隆志¹, 田崎 真樹子¹, 玉井 広史¹, 須田 一則¹¹日本原子力研究開発機構

核不拡散、核セキュリティの相乗効果の研究成果の取りまとめとして、核燃料サイクル施設での相乗効果の適用性の評価結果、及び将来施設の設計時に考慮すべき事項等を報告する。

キーワード:核不拡散、保障措置、核セキュリティ、核物質防護、相乗効果

1. 緒言

核不拡散(保障措置)・核セキュリティ(2S)のさらなる強化・効率化を目指した研究で、2Sの相乗効果の活用と、一方で障害があればそれを除去するために必要な方策について、制度的・技術的な視点から調査・分析を行い、これまで6回報告を行ってきた[1]、本報告では、これまでのまとめを報告する。

2. 核不拡散と核セキュリティの相乗効果のまとめ

これまでの報告で、保障措置及び計量管理データの核セキュリティ側との共用は、盗取等の早期検知による内部脅威対策として相乗効果が期待できること、また、核セキュリティ側の、主に防護区域出入口での核物質探知装置や、区域境界の侵入検知装置等は、核物質の封じ込めをより確実にすることができ、保障措置の実施に貢献できることを報告した(図1参照)。これらの相乗効果は、核物質の取り扱い容易性等の観点から転用を目的とした盗取等のリスク並びに保障措置及び核物質防護上の要件が比較的に高く、核物質等の計量データが利用できるプルトニウム取扱施設(MOX 燃料加工等)が最も大きい。一方ウラン取扱施設では、元々転用を目的とした盗取等のリスクも低く、保障措置や核物質防護措置上、現状の施設では測定機器等がMOX 燃料加工施設等に比べて少ないため、相乗効果は相対的に小さい。

3. 相乗効果を得るための方策のまとめ

相乗効果を得るための最も大きな障害として、保障措置及び核セキュリティデータの他者への提供には制度上の制約があることを示したが、共用可能な測定装置として独立した信号を分岐出力可能な装置の導入や、機器の検証やタンパープルーフの方法を関係機関と調整する等制約を克服できれば、特に設置での制約の大きなセル内や管理区域内の機器の共用は、設置コストや保守管理の合理化等で大きな効果が期待できる。しかし、既存の設備を置き換えることは非常に困難であり、設計時にいかに IAEA を始めとする関係各所と調整を行うかが重要である。



図1 核不拡散と核セキュリティの相乗効果

参考文献

[1] 2016 秋の大会(2M16)、2017 秋の大会(2F7、2F8、2F9)、2018 春の大会(2A05)

^{*} Ryo Shimizu¹, Takashi Kimura¹, Makiko Tazaki¹, Hiroshi Tamai¹, Kazunori Suda¹

¹ Japan Atomic Energy Agency

Oral presentation | IV. Nuclear Plant Technologies | 403-1 Risk Assessment Technology, Application of Risk Information

[1P01-07] PRA Methodology

Chair:Katsumi Ebisawa(CRIEPI)

Wed. Sep 5, 2018 10:00 AM - 11:55 AM Room P (E21 -E Building)

[1P01] Internal Flooding PSA of ABWR

*Kyohei Echizen¹, Yuki Ishiwatari², Daichi Shiota², Takashi Sumikawa² (1. Hitachi Industry &Control Solutions, Ltd., 2. Hitachi-GE Nuclear Energy, Ltd.) 10:00 AM - 10:15 AM

- [1P02] Establishment of Internal Fire PRA Guide for Japanese NPPs

 *Tsuyoshi Uchida¹, Koji Shirai¹, Hiroyuki Takeuchi², Shingo Oda³, Kohei Sugita⁴ (1. NRRC, CRIEPI, 2. Toshiba, 3. Hitach GE Nuclear Energy, 4. MHI)

 10:15 AM 10:30 AM
- [1P03] Development of internal event (level 1) MUPRA evaluation method *Hiromichi Miura¹, Ryou Inomata¹, Kenichi Kanda¹, Tomoaki Yoshida¹ (1. CRIEPI NRRC) 10:30 AM 10:45 AM
- [1P04] Development of internal event (level 1) MUPRA evaluation method *Ryou Inomata¹, Hiromichi Miura¹, Kenichi Kanda¹, Tomoaki Yoshida¹ (1. criepi NRRC) 10:45 AM 11:00 AM
- [1P05] Research on Dynamic PRA methodology considering dependencies of Multi-unit nuclear power plant

*Kakeru Asano¹, Akira Yamaguchi¹, Sunghyon Jang¹ (1. Univ. of Tokyo) 11:00 AM - 11:15 AM

- [1P06] Development of Seismic-Tsunami PRA methodology

 *Hirohisa Yamakawa¹, Hitoshi Muta¹, Yasuki Ohtori¹ (1. Tokyo City University)

 11:15 AM 11:30 AM
- [1P07] Examples of PRA application to the prioritization of measures for safety enhancement at nuclear power plant

*Kenichiro Ikuno¹, Norihiro Ohara¹, Hirohisa Tanaka¹ (1. The Kansai Electric Power CO.,INC.) 11:30 AM - 11:45 AM

ABWR の内部溢水 PSA

Internal Flooding PSA of ABWR

*越善 匡平1, 石渡 祐樹2, 塩田 大地2, 住川 隆2

1(株)日立産業制御ソリューションズ,2日立 GE ニュークリア・エナジー(株)

EPRI 内部溢水 PSA ガイドライン[1]に基づく UK ABWR 標準設計の内部溢水 PSA を実施した。本稿では出力運転時の評価手法、ピアレビュー、評価結果およびリスク情報活用について報告する。

キーワード:内部溢水 PSA, UK ABWR, EPRI 内部溢水 PSA ガイドライン, ASME/ANS 標準

1. 緒言

日立 GE は UK ABWR 標準設計 PSA [2]の一環として内部溢水 PSA を実施した。評価スコープはプラント停止時や使用済み燃料プールも含む。このスコープの中から本稿では原子炉の出力運転時について報告する。

2. 評価手法

11 タスクで構成される EPRI 内部溢水 PSA ガイドライン[1]と EPRI 内部溢水 PSA 配管破断頻度[3]をベースとした。特に重要な Task 7 (溢水シナリオ詳細評価) では、簡易的なスクリーニングシナリオをまず作成し、リスク寄与が上位のシナリオから順次精緻化することで、評価物量を合理化した。内部火災 PSA[4]の入力データやプラント応答モデルを活用することで、作業を効率化した。EPRI 内部溢水 PSA ガイドライン[1]で規定される損傷モードに加えて、内部ブラスト源も内部溢水 PSA で考慮することで、内部ハザードの網羅性を高めた。開発したモデルと図書は、ASME/ANS RA-Sb-2013 に基づくピアレビューを実施した[5]。

3. 評価結果

評価結果を図1に示す。リスク寄与が高いシナリオを標準設計段階として可能な限り詳細評価したことにより、大規模放出頻度(LRF)は内的事象の3倍程度まで低減した。本評価は標準設計段階としての保守性が含まれており、今後の詳細設計や手順書整備を取り込んで更に現実的なリスク評価にしていく方針である。

4. リスク情報活用

内部溢水 PSA の評価結果に基づき、リスク上重要な機器の設置高さや排水ルートなどの詳細設計に向けて 留意点を抽出した。また、溢水量を低減するためのインターロックの有用性も明らかにした。

5. 結論

UK ABWR 標準設計の内部溢水 PSA を実施し、炉心損 傷頻度(CDF)は 1.75E-06(/y)、LRF は 1.75E-07(/y)という 結果を得た。ピアレビューによりモデルと評価結果の 妥当性を確認した。リスク情報活用として、詳細設計 に向けた今後の留意事項を抽出した。

中部プラスト 19%未満 37% Mp 2 19%未満 77% タービン建屋 77% タービン建屋 77% タービン建屋 78% タービン建屋 78% タービン建屋 78% タービン建屋 78% タービン建屋 78% タービン 33% 原子炉建屋 83% 33% 33%

図1 損傷モード毎のLRF内訳(左)と建屋毎のLRF内訳(右)

参考文献

- [1] Electric Power Research Institute, Guidelines for Performance of Internal Flooding Probabilistic Risk Assessment, 1019194, Final Report, December 2009.
- [2] Hitachi-GE Nuclear Energy, Ltd., Generic PCSR Chapter 25: Probabilistic Safety Assessment, Rev.C, 2017.
- [3] Electric Power Research Institute, Pipe Rupture Frequencies for Internal Flooding Probabilistic Risk Assessments, Rev.3, 3002000079, Final Report, April 2013.
- [4] 石渡祐樹, 塩田大地, 野崎義史, 文野通尚, ABWR の内部火災 PSA, 2018.
- [5] D. Henneke, et al., The Use of Comprehensive In-Process Peer Reviews in Support of the UK ABWR PSA Generic Design Assessment Process, PSA2017, Pittsburgh, PA, September 24-27, 2017.

^{*} Kyohei Echizen¹, Yuki Ishiwatari², Daichi Shiota² and Takashi Sumikawa²

¹Hitachi Industry & Control Solutions, Ltd., ²Hitachi-GE Nuclear Energy, Ltd.

国内プラントを対象とした内部火災 PRA ガイドの策定

Establishment of Internal Fire PRA Guide for Japanese NPPs

*内田 剛志 1、白井 幸治 1、竹内 裕行 2、織田 伸吾 3、杉田昂平 4

(1電力中央研究所、2東芝エネルギーシステムズ、3日立 GE ニュークリア・エナジー、4三菱重工)

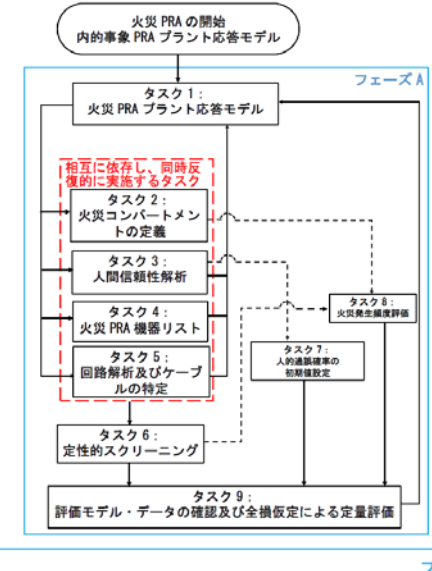
原子力発電所の内部火災は起因事象と緩和機能喪失を同時に引き起こしうる事象であり、重要なリスク要因の一つとなりうる。電力中央研究所では、我が国の原子力産業界における内部火災 PRA の実施を支援するため、内部火災 PRA ガイド (以下、ガイド)を策定中である。本ガイドでは、米国の火災 PRA ガイド (NUREG/CR-6850)及びその後続の研究成果を参照しつつ、国内原子力産業界に最新の内部火災 PRA 手法や国内運転経験に基づく火災発生頻度等のデータを提供する。

キーワード:内部火災、確率論的リスク評価 (PRA)、火災 PRA ガイド、火災発生頻度

- 1. **緒言** 内部火災によりプラントの通常運転が阻害されるとともに、影響緩和機能を有する機器が損傷を受け、炉心損傷又は格納容器機能喪失に至る頻度を評価する手法として、内部火災 PRA 手法がある。米国では 2005 年に火災 PRA ガイド (NUREG/CR-6850) が発行されたが、その後の火災 PRA に係る研究成果を反映した改訂はなされていない。電力中央研究所では、国内電力各社や発電プラントメーカの協力を受け、NUREG/CR-6850 に最新知見や国内経験に基づく火災発生頻度等のデータを反映したガイドを策定中である。本報では、策定中のガイドの概要について報告する。
- 2. **ガイドの構成** ガイドにおける内部火災PRA手法の全体フローを図1に示す。内部火災PRA手法をタスクに分割し、ガイドのモジュラー化を図っている。また、評価の合理化を図るため、内部火災PRA手法を、プラント応答モデルの構築、火災シナリオの構築及び火災発生頻度等のパラメータを設定するフェーズ(以下、フェーズA) と火災シナリオの詳細解析を行うフェーズ(以下、フェーズB) に分割している。

フェーズAでは、火災PRAプラント応答モデルの構築を中核タスクとし、それに関連するタスク及び火災シナリオを構築するタスクとの相互依存性を考慮することを明示している。フェーズBでは最新の技術的知見を反映した詳細解析手法を示している。また、米国における火災PRAの経験に基づき、NUREG/CR-6850からタスクを統廃合し、評価手法の合理化を図っている。

- 最新知見の反映 本ガイドの特徴として、米国における最新知見として、回路損傷解析 (NUREG/CR-7150)、人間信頼性解析 (NUREG-1921) 及び詳細火災モデリング (例: NUREG-2178、NUREG-2180) 等を反映した。
- 4. 今後の展開 本ガイドは、2018年度末を目途に完成し、試行を経て発行の予定である。また、国内原子力発電所の火災経験に基づく火災発生頻度評価も併せて進め、その成果をガイドに反映する予定である。



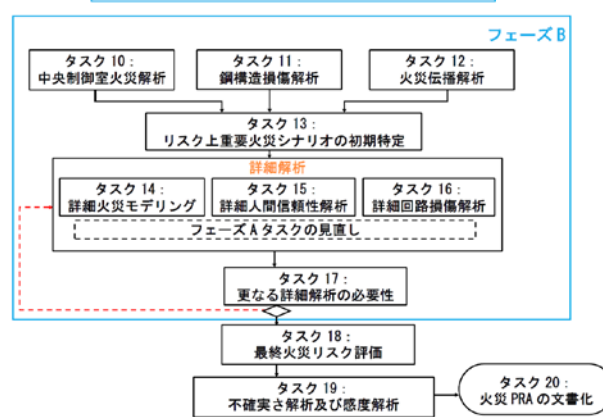


図 1 内部火災 PRA 手法の全体フロー

^{*} Tsuyoshi Uchida¹, Koji Shirai¹, Hiroyuki Takeuchi², Shingo Oda³, Kohei Sugita⁴

¹Central Research Institute of Electric Power Industry, ²Toshiba Energy Systems, ³Hitachi GE Nuclear Energy, ⁴Mitsubishi Heavy Industries

内的事象(レベル 1)MUPRA 評価手法の開発 (1) 内的事象(レベル 1)MUPRA 評価手法の検討

Development of internal event (level 1) MUPRA evaluation method

(1) Study on internal event (level 1) MUPRA

*三浦 弘道¹, 猪股 亮¹, 神田 憲一¹, 吉田 智朗¹
¹電力中央研究所

福島第一原子力発電所事故以降、同一サイト内の複数の原子炉が関与する事象に対する安全性やサイトリスク評価に対して関心が一層高まっている。本研究では、マルチユニット相互作用を考慮した複数原子炉に対する PRA、すなわちマルチユニット PRA(MUPRA)手法(内的事象レベル 1)について提案する。 キーワード:複数ユニットサイト、サイトリスク、同時発災、マルチユニット PRA

1. 緒言

現在、サイトリスクの把握やMUPRAへの関心が高まっている。このような状況の中、国際的にもMUPRAの経験は限定的であり、またコンセンサスの得られた手法はない。そこで、本研究では、外的事象も含めた MUPRA 評価の基盤となる内的事象レベル 1MUPRA 手法について提案する。

2. 内的事象レベル 1MUPRA 手法の開発

マルチユニット(MU)相互作用の適切な 反映、SUPRA との一貫性の確保及び実機適 用性を勘案し、本研究では、従来の ET/FT 法 をもとに、SUPRA モデルを開始点として MUPRA モデルに拡張する評価手法を提案す る(図 1)。本評価手法では、起因事象(IE)



図1 内的事象レベル 1MUPRA における評価フロー

を①偶発的同時発生 MU-IE、②共通原因 MU-IE、③カスケード MU-IE の 3 分類し、①については比較的起こり難いと考えられることから簡易評価とし、②及び③については詳細評価をとることとする。(青枠部)

2-1. 簡易評価手法概要

上記①を対象とした簡易評価では、「MU-IE がほぼ同時に発生する」ことを、ある事象の発生後 T_{mu} (ここでは使命時間)内に、他の 1 つまたは複数のユニットで事象が発生することと定義し、MU-IE 発生頻度を決定する。また、同時発生 MU-IE に対する条件付炉心損傷頻度(CCDP)を保守的に 1 として評価し、リスク上の重要度が十分に低いかどうかを確認する。

2-2. 詳細評価手法概要

近接ユニットの事故シナリオにより、ユニット間での依存性や従属性、人的過誤確率等は変わり得る。 上記②及び③については、これら近接ユニットの状態を考慮した詳細評価を実施する必要がある。詳細評価では、まず、SUPRA モデルの全シーケンスについて、ユニット間で全ての組合せを考える。次に、それぞれの組合せについて、設備・人員の取合いやユニット間共通原因故障等の MU 相互作用の影響を個別に反映し、また、設備・人員の取合い等により成立し得ない組合せシーケンスについては排除し、MUPRAモデルを構築する。組合せシーケンス毎に定量化を行い、所望のリスク指標に沿って集計する。

3. 結論

本研究により内的レベル 1MUPRA 実施のための手順を整備した。今後実務への適用性を確認する。

^{*}Hiromichi Miura¹, Ryou Inomata¹, Kenichi Kanda¹, and Tomoaki Yoshida¹

¹ Central Research Institute of Electric Power Industry.

内的事象(レベル 1)MUPRA 評価手法の開発 (2) ユニット間共通原因故障評価手法の開発

Development of internal event (level 1) MUPRA evaluation method

(2) Development of inter unit Common Cause Failure evaluation method

*猪股 亮 ¹, 三浦 弘道 ¹, 神田 憲一 ¹, 吉田 智朗 ¹

『電力中央研究所

マルチユニット PRA (MUPRA) においても共通原因故障 (CCF) は重要な要素である事が知られている。 MUPRA にてサイトリスクを評価する際、シングルユニット PRA では考慮されていないユニット間での CCF を新たに考慮する必要がある。本研究では、ユニット間 CCF を取り扱うための評価手法の開発を行う。 キーワード:サイトリスク, MUPRA, ユニット内 CCF, ユニット間 CCF, 機器の類似性

1. 緒言

マルチユニット PRA(MUPRA)にてユニット間 CCF を考慮する際、対象事象の抽出、故障モデルパラメータの算定、評価モデルへの適用などの観点に対し、ユニット間 CCF を取り扱うための評価手法が必要となる。本稿では、対象事象の抽出方法、及び故障モデルパラメータの算定方法を提案する。

2. ユニット間 CCF の評価手法

シングルユニット PRA (SUPRA) に用いた基事象を対象として、ユニット間 CCF を設定する。手法の 開発にあたり、ユニット内 CCF (SUPRA で考慮した CCF) の扱いから大きく逸脱しないよう注意する。

2-1. 対象事象の抽出方法

ユニット内 CCF の対象となる事象を抽出するための手順を整備した。抽出フローの概略を図1に示す。

Step1:シングルユニットに対するユニット間 CCF 候補の抽出 ユニット間 CCF の候補となる事象を抽出する。この時、シングルユニットにおいて単一(あるいは単一条件)の事象に対し、ユニット間を想定する事で、新たに CCF として選定される事象の抽出が必要である。

Step2:ユニット間でのペアリング(類似性の確認)

評価対象ユニットから抽出された事象に対し、共通原因機器 グループ(CCCG)の同定に照らした機器の類似性の判断を行い、 ユニット間 CCF として抽出すべき事象を絞り込む。

2-2. 故障モデルパラメータの算定方法

SUPRA コニットA コニットR Step1:ユニット間CCF候補の選定 考慮したCCFか 考慮したCCFか? NO 虚すべき基事象 # 當すべき 基事象 か Step2:対象ユニット間 対象外 対象外 でのペアリング 機器/基事象 ユニット間CCFを考慮する 機器/基事象

図1 ユニット間CCF対象事象の抽出フロー

故障モデルパラメータを策定するにあたり、CCCGの同定と共に、ユニット間 CCF としての原因共有性、同時発生性などのインパクトベクトルへの与え方や、実例の少ないユニット間 CCF をユニット内 CCF から推定する方法について検討を行った。

3. 今後の課題

提案した方法によりユニット間 CCF の対象事象の抽出、及びサイトリスクに対するユニット間 CCF の影響を概括的に捉える事が可能な故障モデルパラメータの算定が可能であると考える。今後は抽出事象のモデル化範囲の適正化や、より説明性の高い故障モデルパラメータの算定方法の研究が必要である。

^{*}Ryou Inomata¹, Hiromichi Miura¹, Kenichi Kanda¹, and Tomoaki Yoshida¹

¹Central Research Institute of Electric Power Industry

多数基立地サイトのユニット間相互作用を考慮した 動的リスク評価手法の研究

Research on Dynamic PRA methodology considering dependencies of Multi-unit nuclear power plant

* 浅野 翔,山口 彰,張 承賢
東京大学

2011年福島第一原子力発電所の事故以来、原子力プラントの安全評価における多数基立地サイト特有の事故リスクの考慮が重要性を増している。本研究では多数基立地サイトの事故リスクを定量的に評価するために、時間進展を考慮した動的なリスク評価手法を提案する。

キーワード:確率論的リスク評価,動的 PRA、マルチユニットサイト、連続マルコフ過程モンテカルロ法

1. 緒言

2011 年福島第一原子力発電所の事故では、隣接するユニット間の相互作用により事故の進展が悪化するというような、多数基立地サイト特有の事故リスクが明らかになった。しかし、既存の確率論的リスク評価 (Probabilistic Risk Assessment, PRA) の手法ではユニット間相互作用を十分考慮した評価は困難である。そのため本研究では、時間進展を考慮した動的なリスク評価手法を用いてマルチユニットサイトの事故リスクを定量化することを目的とした。

2. 研究内容

2-1. マルチユニット影響の分析

Schroer ら^[1]はマルチユニット影響を、起因事象、共有設備、同一設備、近接依存性、人的依存性、組織的 依存性の 6 つに分類した。これらの分類は、事故進展に与える影響の形態の観点から、外的依存性と内的依存性とに分けることができる。ここでは、福島第一原子力発電所事故^[2]の分析を行い、この分類が妥当であること及び、物資・機器・人員といったリソースの共有も重要なユニット間相互作用の一つとして追加した。このような分類をすることで、事故進展の段階ごとに考慮すべきマルチユニット影響を明示的に示すことができる。

2-2. マルコフ過程を用いたシナリオ定量化手法

事故シナリオ評価において考慮するべきマルチユニット影響は、事故進展中の隣接ユニットの状態に依存する。そこで、図1のように事故進展による各ユニットの状態の変化をマルコフ過程で表現する。状態はそれぞれ、健全、事故防止機能喪失(PS 喪失)、影響緩和機能喪失(MS 喪失)とする。このとき、安全機能の修復によって健全状態へ戻る状態の遷移も考慮する。各状態にある確率は微分方程式によって求められる。例えば単位時間当たりの健全状態の遷移確率は(1)式のようになる。

$$\frac{dP(\not ex)}{dt} = -\lambda (PS \cdot \cancel{ex} + \not ex) + \mu (\not ex) + \mu (\not ex)$$
(1)

ここで、 λ と μ はそれぞれ、時間当たりの損傷率と修復率を表す。このような事故進展マルコフ過程を複数ユニットに適用し、損傷率と修復率を隣接ユニットの状態に依存する条件付き確率として設定することで、マルチユニット影響により時間的に損傷率、修復率が変化するる。マルチユニット影響により時間的に損傷率、修復率が変化するモデルの定量化には連続マルコフ過程モンテカルロ(CMMC)法が適している。CMMC 法はシナリオを連続マルコフ過程として扱い、次の状態への遷移をモンテカルロ法によって決定する。この手法によって多数のシナリオを解析することによって、網羅的に事故シーケンスを定量化できる。

モンテカルロ法は乱数を用いるため、CMMC法で得られる事故進展状態にある確率はサンプル数に応じた誤差を持つ。発生される乱数が真にランダムであり、サンプル数が十分に大きいと仮定すると、事故進展状態確率は正規分布に従う。サンプル数と事故進展状態確率の推定値の95%信頼区間の関係を表1に示す。表1より0.10%の低頻度の状態でもサンプル数100000の解析で、十分小さい信頼区間で推定値を得ることができることがわかる。また、図1の事故進展マルコフモデルについてCMMC法による100000サンプルの結果と連立微分方程式を解析的に評価した結果を比較した(図2)。それぞれの評価で初期時刻における健全状態の確率を1とした。それぞれの解析結果は表1に示す信頼区間の中で十分一致している。

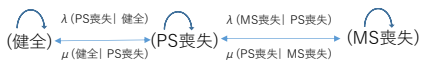


図1 事故進展状態のマルコフ過程

表 1 サンプル数毎の事故進展状態確率の 信頼区間

サンプル数\推定値	0.10%	1%	10%	
1000	0.20%	0.62%	1.86%	
10000	0.06%	0.20%	0.59%	
100000	0.02%	0.06%	0.19%	

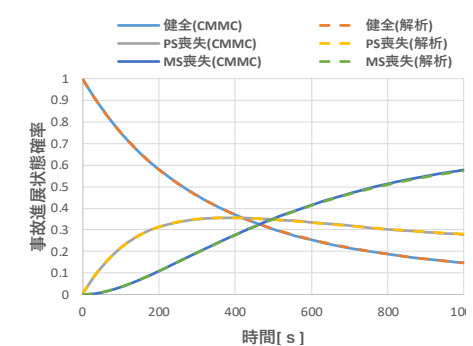


図2 CMMC 法と解析的手法の比較

3. 結論

マルチユニットサイトのユニット間相互作用について分析し、リスク評価手法への適用性の観点から影響の分類を行った。また、隣接ユニットの事故進展状態に依存するマルチユニット影響を考慮したリスク評価を行うために事故進展マルコフモデルを構築し、CMMC 法を用いたシナリオ定量化手法の妥当性を示した。

参考文献

[1] S. Schroer, M. Modarres, An event classification schema for evaluating site risk in a multi-unit nuclear power plant probabilistic risk assessment, Reliability Engineering and System Safety, 117, pp40-51, (2013)

[2]日本原子力技術協会、「東京電力(株)福島第一原子力発電所の事故の検討と対策の提言」,(2011)

*Kakeru Asano, Akira Yamaguchi and Sunghyon Jang The University of Tokyo

地震・津波の重畳を考慮した確率論的安全性評価手法の開発 (3)条件付き炉心損傷確率定量化プロセス

Development of Seismic-Tsunami PRA methodology

(3) Quantification Process of Conditional Core Damage Probability

*山川 裕久¹, 牟田 仁¹, 大鳥 靖樹¹ ¹東京都市大学

地震と津波の重畳を考慮したリスク評価においては、重畳事象を考慮した事故シーケンス評価手法が必要になる.外部事象の重畳では、機器損傷のメカニズムや状態は様々であるため、これらを反映した事故シーケンス評価手法が必要である.本研究では、地震と津波の重畳を考慮した場合の損傷形態の分類に基づく事故シーケンス評価手法について検討する.

キーワード:外部ハザード、重畳事象、事故シーケンス

1. 緒言

地震と津波の重畳を考慮したリスク評価において、様々な機器の損傷に至る経緯を考慮したフラジリティ 評価及び事故シーケンス評価が必要である.本研究では、機器のフラジリティを3つの照査型により評価し、 地震及び津波の影響を考慮した条件付き炉心損傷確率を評価するための定量化プロセスを提案するとともに、 簡単なモデルを用いた適用性検討について報告する.

2. 事故シナリオにおける、三種の照査型機器損傷のモデル化

既報その1,2において提案した三種の照査型モデルについて,以下のように定量化への適用を検討した.

① 個別値照査型

地震発生後,機器損傷発生の有無を判断, 損傷しなかった場合,津波発生による機器 損傷の有無を判断.

② 累積値照査型

地震発生後、機器に加わった外力の累積を 評価、さらに津波発生によって機器に加わった外力の累積を追加、累積値が損傷判断 値を超える場合に機器損傷と判断.

③ 統合値照査型

地震損傷によって津波対策の SSC が損傷,

図 個別値照査型の定量化手法

さらに津波が発生し、津波対策の喪失によって被水し、機器損傷が発生

上記全てのタイプに対し、プラントの構成機器全てに対し損傷を判断、炉心損傷論理が成立するかどうかを 判断する.

3. 結論

本稿では、地震・津波の重畳を考慮したリスク評価法を構築するための一環として、SSC 機能喪失の3つの照査タイプに基づく事故シーケンス評価手法に基づき、新たにシステム解析コードを構築し、試解析をとおして本手法の適用性を検証していく予定である。

^{*}Hirohisa Yamakawa¹, Hitoshi Muta¹ and Yasuki Ohtori¹

¹Tokyo City Univ.

1P07

原子カプラントの安全性向上の取組みにおける PRA の活用例

2018年秋の大会

Examples of PRA application to the prioritization of measures for safety enhancement at nuclear power plant

> *生野 健一郎1, 小原 教弘1, 田中 裕久1 1関西電力株式会社

原子力プラントの安全性向上の取組みにおける PRA の活用として、PRA 結果の分析により、より有効な 安全性向上対策を抽出する手法を検討し、当社が 2018 年 1 月に原子力規制委員会に届け出た高浜発電所 3 号機の安全性向上評価(以下、「SAR」という。)において採用した。

キーワード:確率論的リスク評価、PRA、安全性向上評価、リスク情報

1. 緒言

2013 年に施行された新規制基準では、再稼動した原子力発電所に対して SAR の届出が求められており、 SAR においては事業者が継続的に安全性の向上を図ることを目的として更なる安全性向上対策を抽出して いる。当社では、安全性向上対策の検討にあたり、PRA 結果を用いるとともに、2015年に日本原子力学会 により制定された SAM 標準川の内容も参考にして、安全性向上対策を抽出した。

2. 安全性向上の取組みにおける PRA の活用(高浜発電所3号機の例)

PRA において網羅的に想定した事故シナリオを、複数の事故シーケンス グループに分類し、グループ毎の発生頻度を考慮して、重要な事故シーケン スグループを抽出した。

また、抽出した重要な事故シーケンスグループに対し、PRA 結果を用い た重要度分類を行い、さらに、主要なカットセット等の分析を行うことで、 重要な事故シナリオ及び改善すべき設備や操作を同定し、ハード・ソフト両 面の対策案を抽出した。

高浜発電所3号機のPRAにおいて、上記の手法を採用した結果、RCPシ ャットダウンシールの導入 (ハード対策)、特定の機器の健全性確認手順の 追加(ソフト対策)等が、更なる安全性向上対策として抽出された。

3. 結論

本項で検討した手法を採用することで、PRA の活用により有効な安全性 向上対策を抽出することができた。また、本手法は、当社の他の原子力プラ ントでも適用可能であり、一貫性のある対策の抽出に資することができる。

PRA結果(炉心損傷頻度) 事故シーケンスグループに分類 YES 事故シーケンスク゛ルーフ。別 CDF≥10-6/炉年 NO YES 事故シーケンスク゛ルーフ゜別 CDF≥10⁻⁷/炉年かつ 全CDFの20%以上 NO 更なる安全性向上 対策の抽出不要 重要な事故シーケンスグループとして抽出 重要度領域の 分類※1 ※1SAM標準を参考 にした 重要度分類 カットセット等の分析による 改善すべき設備や操作の同定 安全性向上対策の抽出

図 安全性向上対策抽出プロセスの例

参考文献

[1] 原子力発電所におけるシビアアクシデントマネジメントの整備及び維持向上に関する実施基準:2013 (AESJ-SC-S005:2013)

^{*}Kenichiro Ikuno¹, Norihiro Ohara¹ and Hirohisa Tanaka¹

¹The Kansai Electric Power CO., INC.

Oral presentation | IV. Nuclear Plant Technologies | 403-1 Risk Assessment Technology, Application of Risk Information

[1P08-13] Seismic Counter Measures against Cliff Edges

Chair:Tsuyoshi Uchida(CRIEPI)

Wed. Sep 5, 2018 2:45 PM - 4:25 PM Room P (E21 -E Building)

- [1P08] Development of seismic counter measures against cliff edges for enhancement of comprehensive safety of nuclear power plants *Tsuyoshi Takada¹, Tatsuya Itoi¹, Takenori Hida¹, Hitoshi Muta², Osamu Furuya³, Keisuke Minagawa⁴, Hidemasa Yamano⁵, Akemi Nishida⁵ (1. The University of Tokyo, 2. Tokyo City University, 3. Tokyo Denki University, 4. Saitama Institute of Technology, 5. Japan Atomic Energy Agency)
 - 2:45 PM 3:00 PM
- [1P09] Development of seismic counter measures against cliff edges for enhancement of comprehensive safety of nuclear power plants *Hitoshi Muta¹, Yasuki Ohtori¹, Ken Muramatsu¹, Tsuyoshi Takada², Tatsuya Itoi² (1. Tokyo City University, 2. The University of Tokyo) 3:00 PM - 3:15 PM
- [1P10] Development of seismic counter measures against cliff edges for enhancement of comprehensive safety of nuclear power plants

 *Akemi Nishida¹, Byunghyun Choi¹, Hidemasa Yamano¹, Tsuyoshi Takada² (1. JAEA, 2. The Univ. of Tokyo)

 3:15 PM 3:30 PM
- [1P11] Development of seismic counter measures against cliff edges for enhancement of comprehensive safety of nuclear power plants

 *Keisuke Minagawa¹, Satoshi Fujita², Osamu Furuya², Tsuyoshi Takada³ (1. Saitama Institute of Technology, 2. Tokyo Denki University, 3. The University of Tokyo)

 3:30 PM 3:45 PM
- [1P12] Development of seismic counter measures against cliff edges for enhancement of comprehensive safety of nuclear power plants

 *Hidemasa Yamano¹, Akemi Nishida¹, Byunghyun Choi¹, Tsuyoshi Takada² (1. JAEA, 2. Univ. of Tokyo)

 3:45 PM 4:00 PM
- [1P13] Development of seismic counter measures against cliff edges for enhancement of comprehensive safety of nuclear power plants *Takenori Hida¹, Atsushi Ohno¹, Tatsuya Itoi¹, Tsuyoshi Takada¹ (1. The University of Tokyo) 4:00 PM - 4:15 PM

1P08

2018年秋の大会

原子カプラントの包括的安全性向上のための地震時クリフエッジ回避技術の開発 その 11:全体概要

Development of seismic counter measures against cliff edges for enhancement of comprehensive safety of nuclear power plants

Part 11: Project Plan

*高田 毅士¹, 糸井達哉¹, 肥田剛典¹, 村松健², 牟田仁², 古屋治³, 藤田 聡³, 皆川佳祐⁴, 山野秀将⁵, 西田明美⁵ ¹東京大学, ²東京都市大学, ³東京電機大学, ⁴埼玉工業大学, ⁵原子力機構

原子力プラントの地盤ー建屋ー設備機器ー安全系ー人間システム全体系を各分野領域横断的に取り扱い、 全体系および各部の要求性能を明確化した後、それに係るクリフエッジを各分野において特定・定量化し、 プラント挙動を俯瞰的に把握しつつ、これらを回避する技術を開発することを目的とする。

キーワード: 地震時要求性能、クリフエッジ、プラント地震時挙動、免震化、人間挙動

- 1. **緒言** 原子力発電所プラントは、建屋や機器、それらを操作・制御する人間を含めた、複雑な系であり、地震時における事故を回避するためには、プラントを全体系(トータルシステム)として評価することが重要となる。以下、全体系を構成する要素として、建屋、システムや機器設備、人間をSSCHと称する。炉心損傷等のシビアアクシデントが発生した場合には、周辺環境への放射性物質の拡散による汚染が問題となることから、事故の被害が敷地内のみならず敷地外の環境やインフラに及ぼす影響も考慮した広範囲にわたる防災計画の策定が望まれる。そのためには、原子炉建屋だけでなく、プラントのトータルシステムや、プラントを制御する人間等のそれぞれのクリフエッジを把握し、それらを回避する技術を確立することが必要不可欠である。このような背景から、原子力発電所とその周辺環境を含む包括的な安全性評価とクリフエッジの特定が安全性向上のために必須であると考えた。
- 2. 研究計画 プロジェクト項目として、①建屋システムのクリフエッジ回避技術においては、建屋系の応答解析のモデル化とクリフエッジの関係について考察し、②免震化による検討においては、建屋免震化の長短所を明確化し、③機器・システムのモデル化とクリフエッジ回避技術においては、安全系システム自体のクリフエッジについて、④原子炉容器・配管部分においては、クリフエッジの定量的評価手法の確立を目指す。⑤地震時の人間挙動のモデル化とクリフエッジ評価においては、人間の挙動と心理状態に関するクリフエッジの特定を実験的に行う。最後に、上記を踏まえて、プラント全体として多様なクリフエッジをフラジリティ曲線として表現し、プラント全体を俯瞰する。

原子力プラントを構成するSSCHの個々の要素の挙動とプラント全体の挙動について、深層防護概念に基づく要求性能の関係を明確にし、SSCHの物理的クリフエッジに関する地震フラジリティ曲線を描くことにより、プラントシステム全体のクリフエッジに関するフラジリティ曲線を表現する。

3. 成果の展開 期待される成果としては以下を考えている。1)多様なクリフエッジを特定することにより、プラントの安全性向上に貢献、2)免震化プラントの検討結果の活用、3)知識起因クリフエッジの特定結果の活用、4)人間挙動に関するクリフエッジの特定結果の活用

謝辞 本研究報告は、文部科学省国家課題対応型研究開発推進事業英知を結集した原子力科学技術・人材育成推進事業の成果である。関係各位に記して謝意を表する。

^{*} Tsuyoshi Takada¹, Tatsuya Itoi¹, Takenori Hida¹, Ken Muramatsu², Osamu Furuya³ Hitoshi Muta², Satoshi Fujita³, Keisuke Minagawa⁴ Hidemasa Yamano⁵, Akemi Nishida⁵

¹The University of Tokyo, ²Tokyo City University, ³Tokyo Denki University, ⁴Saitama Institute of Technology, ⁵JAEA

1Р09 2018年秋の大会

原子カプラントの包括的安全性向上のための地震時クリフエッジ回避技術の開発 (12) 地震時プラントの要求性能の分類と整理

Development of seismic counter measures against cliff edges for enhancement of comprehensive safety of nuclear power plants (12) Classification and Definition of Required Performance against Earthquake *牟田 仁¹, 大鳥 靖樹¹, 村松 健¹, 高田 毅士², 糸井 達哉² 「東京都市大学, ²東京大学

原子力プラントの包括的安全性向上のための地震時クリフエッジ回避技術の検討において,原子力プラントを一つの全体システムとして捉えた場合の,物理クリフエッジ及び知識起因クリフエッジに対する要求性能を定義し,この考え方に基づくクリフエッジ回避技術の有効性を評価する枠組みを提案する.

キーワード: 地震時リスク, 物理クリフエッジ, 知識起因クリフエッジ

1. 緒言

本研究では、原子力プラントを対象として様々なクリフエッジ状態、要求性能を明確化し、より幅広く SSCH をモデル化することにより、プラント全体システムと考える. 地震時の様々な相互作用、個々の挙動の関係 を考慮し、全体システムを対象としなければ得られない知見を摘出する.

2. 地震時プラントの要求性能の分類と整理

2-1. クリフエッジの分類と各々の性能指標

物理クリフエッジは、プラントの状態が大きく変わる物理的な事象であり、例えば、プラント設備の損傷や炉心損傷等がこれにあたる.物理クリフエッジの要求性能は、事象の発生確率(SSCH 損傷確率)で表すことができる.この考え方に基づくと、クリフエッジとなるのは以下の場合であると考えることができる.

物理クリフエッジ= $Max[P'(\alpha)]$ (但し、P: 要求性能に関わる SSCH の損傷確率、 α : 地震動の強さ) 一方、知識起因クリフエッジは、プラントの状態があらかじめ想定した範囲から逸脱する事象であり、要求性能は以下で表すことができる.

<u>知識起因クリフエッジ=Max[K'(x)] (但し, K: 要求性能に関わる知識量, x: 地震動の強さ等のパラメータやスコープの範囲)</u>

2-2. 各クリフエッジと要求性能

物理クリフエッジは深層防護の各レベルを跨ぐところで発生しており、深層防護各レベルの喪失条件が発生することで顕在化する.一方、知識起因クリフエッジは、知識範囲に基づき領域分類が可能であり、右図に示すような領域分類と状態遷移とを定義することができる.

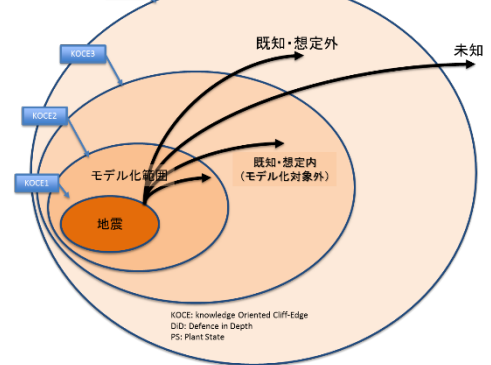


図 物理的クリフエッジの領域分類と状態遷移

物理クリフエッジに対しては、深層防護各レベルに対して物理的クリフエッジを設定し、対応する SSCH を整理し、更に、建屋システム、原子炉容器・配管、人間系に分けて検討を行なった成果を統合し、これらを全体システムとしてモデル化する手法を提案し、免震建屋を想定した場合の回避効果の試解析を通して、回避策の有効性を示すことができた.

3. 結論

^{*}Hitoshi Muta¹, Yasuki Ohtori¹, Ken Muramatsu¹, Tsuyoshi Takada², Tatsuya Itoi²

¹Tokyo City Univ., ²The University of Tokyo.

1P10 2018年秋の大会

原子カプラントの包括的安全性向上のための地震時クリフェッジ回避技術の開発 その13 建屋システムのクリフェッジの特定と評価

Development of seismic counter measures against cliff edges for enhancement of comprehensive safety of nuclear power plants Part 13: Identification and evaluation against cliff edges for nuclear building system *西田 明美1、崔 炳賢1、山野 秀将1、高田 毅士2

1日本原子力研究開発機構,2東京大学

本研究では、リスク概念と深層防護の考え方に基づいて様々なクリフエッジ状態を特定・定量化するト ータルシステムにより原子力プラントの耐震安全性を評価し、クリフエッジ状態を回避する手法を開発す ることを目的としている。本稿では、建屋システムに関して、免震導入による物理的クリフエッジの回避、 および、モデル化の違いに基づく知識起因クリフエッジの特定と評価についてフラジリティの観点から検 討し、得られた知見について述べる。

キーワード: 地震リスク、知識起因クリフエッジ、建屋システム、3 次元詳細モデル、免震システム

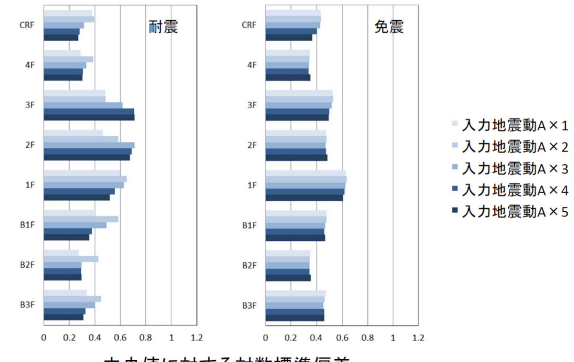
1. 緒言

地震時における原子力発電プラント全体の安全性確保のために、建屋システムで想定されるクリフエッ ジ状態の特定とそれらの回避方策の検討をすすめている。本稿では、建屋システムのクリフエッジの特定 と評価について、フラジリティの観点から検討した結果について報告する。

2. 建屋システムの応答のばらつき評価

建屋システムに免震装置を導入することで建屋応答は大幅に低減し、建屋システムの物理的クリフエッ ジの回避効果が期待される。そこで、耐震構造として設計された建屋システム(耐震建屋)、および、耐震 建屋に免震装置を導入した免震導入建屋に対し、基準地震動の1~5倍までの入力地震動を用いて非線形地

震応答解析を実施した。その結果得られた各層の建屋応 答の統計的分析を行い、中央値およびばらつきを整理し た。各層の最大せん断ひずみのばらつきに着目すると、 層によってばらつきが異なり、かつ、免震導入建屋では 入力地震動の大きさによらず同一層内のばらつきが一定 の傾向となることを確認した。一方、応答比(3次元詳 細モデルの応答/質点系モデルの応答)に着目すると、 全体的には入力地震動が大きくなるにつれて応答比が小 さくなる傾向、すなわち、3次元詳細モデルの方が応答 が小さくなる傾向が確認された。また、最大加速度より も最大せん断ひずみの方が応答比が小さく、3 次元効果が大きい結果となった。



中央値に対する対数標準偏差

図13次元詳細モデルの最大せん断ひずみの高さ方向分布

3. フラジリティ評価による違い

3次元詳細モデルと質点系モデルの応答解析結果を用いてフラジリティ評価を実施し、3次元詳細モデル を用いることでフラジリティを低減できる可能性があることを確認した。

4. まとめ

地震時におけるプラントのクリフエッジ状態の特定と評価のため、建屋システムの免震導入効果やモデ ル化の違いに起因する応答特性の違い等をフラジリティの観点から分析した。今後、プラント全体系に係 るクリフエッジを特定し、これらを回避する技術の開発へ展開する予定である。

謝辞 本研究報告は、文部科学省国家課題対応型研究開発推進事業「英知を結集した原子力科学技術・人材育成推進 事業」の成果である。関係各位に記して謝意を表する。

^{*}Akemi Nishida¹, Byunghyun Choi¹, Hidemasa Yamano¹ and Tsuyoshi Takada²

¹Japan Atomic Energy Agency, ²The University of Tokyo

原子カプラントの包括的安全性向上のための地震時クリフエッジ回避技術の開発 その 14: 免震化によるクリフエッジ回避技術

Development of seismic counter measures against cliff edges for enhancement of comprehensive safety of nuclear power plants

Part 14: seismic counter measures against cliff edges by seismic isolation

*皆川 佳祐1,藤田 聡2,古屋 治2,高田 毅士3

1埼玉工業大学,2東京電機大学,3東京大学大学院工学系研究科

積層ゴムを用いた免震構造は、過大な入力に対しては材料の特性変化や周囲の擁壁との衝突など様々な非線形性を有する。本論文では、免震構造の効果や非線形性による影響をクリフエッジの観点から整理する。 **キーワード**:地震リスク、クリフエッジ、プラント地震時挙動、免震

1. 緒言

原子炉建屋等を積層ゴムで免震した場合、入力地震動が 大きくなると積層ゴムの特性は非線形性を示し、また、建 屋が周囲の擁壁に衝突する可能性がある。これまでに、本 研究では上記の特性を考慮した解析手法を整理してきた。 そこで、本報では様々な条件で地震応答解析を実施し、免 震化によるクリフエッジ回避技術について検討する。

2. 地震応答解析

衝突や積層ゴムの特性が免震化によるクリフエッジ回避 技術に与える影響を検討するため、地震応答解析を実施し た。解析モデルは2質点5自由度系モデルで、積層ゴムの 非線形性、擁壁との衝突などを考慮している。なお、各種 パラメータは、非線形性が現れやすいように一部極端な値 を採用している。地震動は人工地震波で、振幅を様々に線 形倍して解析を実施し、入力と応答の関係を考察した。

結果の一例として、図 1 に建屋と擁壁のクリアランスを変化させた場合の水平方向の最大入力加速度と建屋最大応答加速度の関係を示す。図 2 は衝突剛性を変化させた場合の同様のグラフである。図 1、2 より、入力地震動が大きく

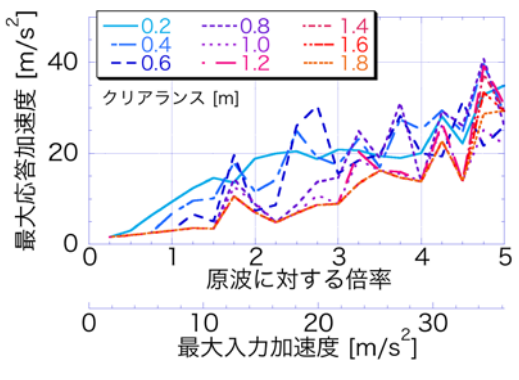


図1 クリアランスの影響

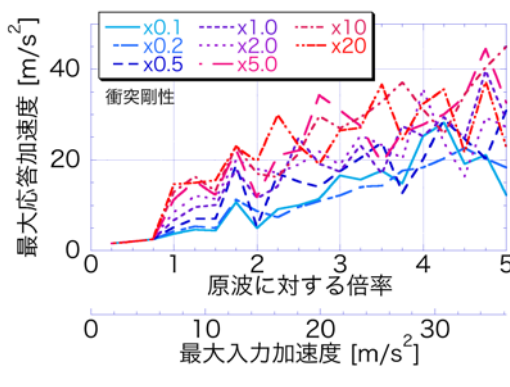


図2 衝突剛性の影響

なると応答加速度が大きくなり、挙動が急激に変化するクリフエッジが生じるが、クリアランスを広く、 また、衝突剛性を小さくすることでその影響を抑制できることが確認できる。

3. 結論

様々な条件で地震応答解析を実施した結果、条件を適切に設定することで免震構造特有のクリフエッジ の影響を抑制できることがわかった。

謝辞

本研究報告は、文部科学省国家課題対応型研究開発推進事業英知を結集した原子力科学技術・人材育成推進事業の成果である。関係各位に記して謝意を表する。

^{*}Keisuke Minagawa¹, Satoshi Fujita², Osamu Furuya² and Tsuyoshi Takada³

¹ Saitama Institute of Technology, ²Tokyo Denki University, ³The University of Tokyo

原子カプラントの包括的安全性向上のための地震時クリフエッジ回避技術の開発 その 15:原子炉容器・配管のクリフエッジ回避技術

Development of seismic counter measures against cliff edges for enhancement of comprehensive safety of nuclear power plants

Part 15: Cliff-edge elimination technology for reactor vessel and piping.

*山野 秀将¹, 西田 明美¹, 崔 炳賢¹, 高田 毅士²

¹日本原子力研究開発機構, ²東京大学

地震応答解析で評価された建屋の応答波形を用いて、原子炉容器および配管の応答について検討し、これらのフラジリティ評価を行った。また、クリフエッジ回避技術としての建屋の免震化による原子炉容器・配管の応答低減効果の定量的評価も実施した。

キーワード:原子カプラント、クリフエッジ、プラント地震時挙動、免震

1. 緒言

原子力発電所プラントの安全性確保のためにプラントをトータルシステムとして取り扱い、リスク概念と深層防護の考え方に基づいて様々なクリフエッジ状態を特定・定量化し、これらを回避する技術開発を進めている。本研究では、地震応答解析で評価された建屋の応答波形を用いて原子炉容器及び配管の応答について検討し、これらのフラジリティ評価を行うとともに、建屋の免震化による原子炉容器・配管の応答低減効果の定量的評価を行った。

2. フラジリティ評価

非免震プラント及び免震プラントを対象として、地震応答解析で得られた建屋の応答波形を用いて、原子炉容器及び配管を質点系でモデル化して地震応答解析を実施した。また、既往研究を参照にして不確定性を設定してフラジリティ評価を実施した。HCLPF(95%信頼度曲線で破損確率が5%となる荷重)を指標として比較した結果、免震プラントは非免震プラントよりHCLPFが2倍程度大きくクリフエッジを回避できる技術として有効であることが示された。一方、配管については非免震プラントでも高地震動で破損しにくいため両者のHCLPFの差は顕著でない。

3. 応答低減効果の定量的評価

建屋内の機器に対する不確定性として機器応答係数を考慮しているが、物理的に起こりうる範囲で不確定性幅を考慮してフラジリティ評価を行うと、非免震プラントに比べて免震プラントは不確定性を考慮しても2倍程度の応答低減効果を有することが明らかとなり、免震技術がクリフエッジ回避技術として有効である。

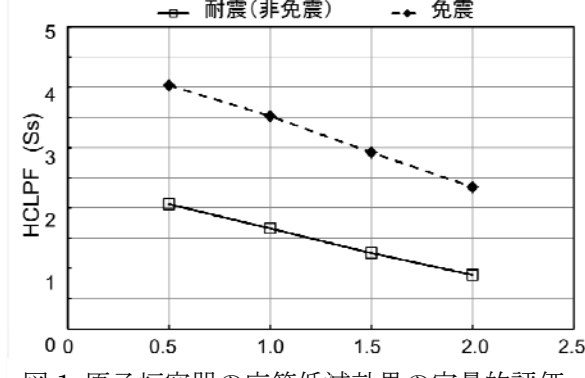


図1 原子炉容器の応答低減効果の定量的評価

フラジリティ評価の結果、非免震プラントに比べて免震プラントは応答低減効果が大きく、免震技術が クリフエッジ回避技術として有効であることを示した。また、不確定性を考慮しても 2 倍程度の応答低減 効果を示し、免震技術がクリフエッジ回避技術として有効できることを示した。

謝辞

4. 結論

本研究報告は、文部科学省国家課題対応型研究開発推進事業英知を結集した原子力科学技術・人材育成推進事業の成果である。関係各位に記して謝意を表する。

^{*}Hidemasa Yamano¹, Akemi Nishida¹, Byunghyun Choi¹ and Tsuyoshi Takada²

¹ Japan Atomic Energy Agency, ² The University of Tokyo

原子カプラントの包括的安全性向上のための地震時クリフェッジ回避技術の開発 その 16 人間挙動のモデル化とクリフェッジ評価

Development of seismic counter measures against cliff edges for enhancement of comprehensive safety of nuclear power plants, Part 16: Modeling of human behavior and evaluation of cliff-edge

> *肥田 剛典」, 大野 敦史」, 糸井 達哉」, 高田 毅士」 1東京大学

地震による人間の被害を軽減するためには、地震時の人間の行動や被害を評価することが重要である。本研 究では振動台搭乗実験を行い、人間の負傷評価のための人体の地震応答解析モデルを構築した。さらに、実 験結果と解析結果を比較し、構築した人体の地震応答解析モデルの妥当性を検証した。

キーワード:振動台実験,人体,人的被害,倒立振子,フィードバック制御

1. 緒言

地震時において原子力プラントで事故が発生した場合、人間は事故後対応のための重要な役割を持つ。地 震時の負傷等の人的被害を予測するためには、人間の身体や頭部の変位や速度等を予測できる人体の地震応 答解析モデルを構築することが極めて重要である。そこで本研究では振動台搭乗実験を行い、人間の負傷評 価のための人体の地震応答解析モデルを構築した。

2. 人間の地震応答解析モデル

振動台搭乗実験の様子を図 1 に示す。被験者を振動台に 乗せ、3Dモーションキャプチャにより身体各部位の挙動デ ータを得た。さらに、被験者の床反力をフォースプレートで 計測した。次に、地動加速度が外乱として入力される台車型 倒立振子により、地震時の人間挙動をモデル化した。解析モ デルの概要を図2に示す。振子の状態をフィードバックし て台車に駆動力を作用させる制御機構を付加した。解析に おける床反力中心と身体重心の変位は、実験と良好に対応 した。さらに、構築された解析モデルに対し、モデル構築の 際に用いたものとは異なる振動台加速度を入力し、モデル の応答と実験における被験者の応答を比較した。その結果、

ビデオカメラ 被験者 ウッドデッキ 加速度計 フォースプレート 振動台 図 1 振動台搭乗実験

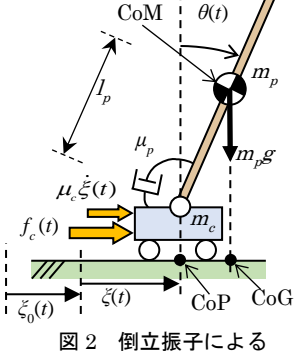
解析モデルの結果と実験結果は良好に対応し、これにより解析モデルの妥当性が 検証された。

3. 結論

本研究では、地震時における人的被害の予測に向け、振動台搭乗実験に基づき、 人体の地震応答解析モデルを構築した。

謝辞

本研究は、文部科学省の平成 27 年度英知を結集した原子力化学技術・人材育成推進事 業 No.27110 (代表: 高田毅士) および平成 28 年度科学研究費補助金若手研究(B) No.16K21011 (代表: 肥田剛典) の助成により遂行しました。関係各位に謝意を表します。



人間の地震応答解析モデル

^{*}Takenori Hida¹, Atsushi Ohno¹, Tatsuya Itoi¹ and Tsuyoshi Takada¹

¹The University of Tokyo

Oral presentation | IV. Nuclear Plant Technologies | 403-1 Risk Assessment Technology, Application of Risk Information

[1P14-19] Fault Displacement PRA

Chair:Hidemasa Yamano(JAEA)

Wed. Sep 5, 2018 4:25 PM - 6:00 PM Room P (E21 -E Building)

[1P14] Improvement of Fault Displacement PRA Methodology and Example of its Application to a Hypothetical NPP

*Katsumi Ebisawa¹, Hideaki Tsutsumi¹, Toshi Sakai¹, Futoshi Tanaka², Ryusuke Haragushi², Tetsuhiro Gou², Kunihiko Sato³, Huji Nikaido⁴, Yoshinori Mihara⁴, Shinichi Yoshida⁵ (1. Central Research Institute of Electric Power Industry, 2. MHI, 3. MHI Nuclear Systems Solution Engineering, 4. Kajima, 5. Obayashi)

4:25 PM - 4:40 PM

[1P15] Improvement of Fault Displacement PRA Methodology and Example of its Application to a Hypothetical NPP

*hideaki tsutsumi¹, sakai toshiaki¹, yuyama ayumi¹, ebisawa katsumi¹, mihara yoshinori², nikaido yuji², haraguchi ryusuke³ (1. Central Research Institute of Electroric Power Indutry, 2. kajima Copration, 3. Mitsubishi Heavy Industries)

4:40 PM - 4:55 PM

[1P16] Improvement of Fault Displacement PRA Methodology and Example of its Application to a Hypothetical NPP

*Yuji Nikaido¹, Yoshinori Mihara¹, Hideaki Tsutsumi², Ayumi Yuyama², Toshiro Sakai², Katsumi Ebisawa², Ryusuke Haraguchi³ (1. Kajima Corporation, 2. CRIEPI, 3. Mitsubishi Heavy Industry)

4:55 PM - 5:10 PM

[1P17] Improvement of Fault Displacement PRA Methodology and Example of its Application to a Hypothetical NPP

*Futoshi Tanaka¹, Manabu Miyata¹, Ryusuke Haraguchi¹, Kunihiko Sato⁴, Shinichi Yoshida³, Hideaki Tsutsumi², Toshiaki Sakai², Katsumi Ebisawa² (1. MHI, 2. CRIEPI, 3. Obayashi, 4. MHINSS)

5:10 PM - 5:25 PM

[1P18] Improvement of Fault Displacement PRA Methodology and Example of its Application to a Hypothetical NPP

*Ryusuke Haraguchi¹, Tetsuhiro Gou¹, Kunihiko Sato², Shinichi Yoshida³, Hideaki Tsutsumi⁴, Toshiaki Sakai⁴, Katsumi Ebisawa⁴ (1. Mitsubishi Heavy Industries, LTD., 2. MHI Nuclear Systems And Solution Engineering Co., Ltd, 3. OBAYASHI Corp., 4. Central Research Institute of Electric Power Industry)

5:25 PM - 5:40 PM

[1P19] Investigation and Consideration about Risk Evaluation by Fault Displacements for Nuclear Facilities(2)

*Masanobu Kamiya¹, Kouichi Kamiya¹, Tsutomu Ogawa¹ (1. JAPC) 5:40 PM - 5:55 PM

断層変位 PRA 手法の改良と仮想プラントへの適用例 (1) 概要・検討項目

Improvement of Fault Displacement PRA Methodology and Example of its Application to a Hypothetical NPP (1) Outline and Examination Items

*蛯澤 勝三¹, 堤 英明¹, 酒井 俊朗¹, 湯山 安由美¹, 田中 太², 宮田 学², 原口 龍将², 呉 哲浩², 佐藤 邦彦³, 二階堂 雄司⁴, 美原 義徳⁴, 吉田 伸一⁵
¹電力中央研究所, ²三菱重工業, ³MHI ニュークリアシステムズ・ソリューションエンジニアリング, ⁴鹿島組, ⁵大林組

断層変位 PRA 手法は、断層変位に対する①事故シナリオ同定、②ハザード評価、③フラジリティ評価、④ 事故シーケンス/炉損損傷頻度評価の各タスクからなり、⑤断層変位に対する各種対策工のタスクも含む。 キーワード: 断層変位 PRA, ハザード定義位置見直し, フラジリティ評価手法検証, 仮想プラントへの適用例

- 1. まえがき 原子力学会地震 PRA 実施基準改定 (2015) では、断層変位 PRA 手法の考え方が規定される [1] と共に、各種機関では関連評価が進められている。著者等も断層変位 PRA 手法開発を進め、定量的評価の蓄積を図っている [2]~[11]。本報は、5 つのシリーズ発表のうちの (1) 概要・検討項目であり、同シリーズ発表は 2017 年度資源エネルギー庁委託研究成果の一部をまとめたものである。同概要・検討項目では、断層変位 PRA 手法の改良及び仮想プラントへの適用例について述べると共に、検討項目を挙げる。
- 2. 断層変位 PRA 手法の改良 改良項目は、(1)断層変位ハザード定義位置の見直しと、(2)断層変位フラジリティ評価手法の妥当性検証である。(1)では地表面で定義の断層変位ハザードを解放基盤まで断層変位地盤伝達関数を介して変換する考え方と、同伝達関数がフラジリティ評価における解放基盤から建屋基礎等までの断層変位地盤伝播モデルとして考慮される考え方も提案した[8]。同考え方に基づき、断層変位地盤伝達関数を検討した。(2)では台湾集集地震(1999年)/石岡ダム損壊を対象として、関連データを収集し損傷シナリオを分析し、現実的応答・現実的耐力それぞれの中央値、偶然的及び認識論的不確実さ要因を同定すると共に、検証モデル作成の考え方を整備した[9]。同考え方に基づき、検証モデルを検討した。
- 3. 仮想プラントへの適用例 仮想プラントとしては、PWR/硬岩 NPP を対象とし、各種建屋(原子炉周辺建屋/制御建屋/廃棄物処理建屋/タービン建屋)や海水給水系及び重大事故対処施設等からなると共に、これら建屋及び施設内機器から構成されると仮定した。上記建屋基礎や施設基礎に複数本の縦づれ副断層が作用すると仮定した[10,11]。同条件のもと、炉心損傷頻度 CDF の点推定及び不確実さ評価を行い、CDF に寄与する事故シーケンス及び CDF の平均値を求めると共に、CDF に寄与する断層変位の範囲等も同定した。
- **4. 仮想プラントへの適用における検討項目** 主な検討項目としては、断層タイプ(横連れ)、プラントタイプ(BWR)、基礎地盤硬さ(柔岩)、ハザードの不確実さ幅、断層変位損傷の相関、断層変位と地震動の重畳等が挙げられ、これらの CDF への影響を検討する必要がある。
- **5. シリーズ発表の構成** シリーズ発表は次の5つからなる。(1)概要・検討項目/(2)断層変位ハザード評価位置の改善例/(3)断層変位フラジリティ評価手法妥当性検証における定量評価例/(4)断層変位事故シナリオ同定・事故シーケンス評価手法の仮想プラントへの適用例/(5)断層変位フラジリティ評価手法の仮想プラントへの適用例

参考文献 [1]原子力学会(AESJ-SC-P006:2015,2015.12), [2]~[6]蛯沢他(AESJ2017 秋の大会,2017.9)、[7]~[11]蛯沢他(AESJ2018 春の大会,2018.3)

*Katsumi Ebisawa¹, Hideaki Tsutsumi¹, Toshio Sakai¹, Ayumi Yuyama¹, Futoshi Tanaka², Manabu Miyata², Ryusuke Haraguchi², Tetsuhiro Gou², Kunihiko Sato³, Yuji Nikaido⁴, Yoshinori Mihara⁴, Sinji Yoshida⁵ ¹CRIEPI, ²MHI, ³MHI, ⁴Kajima, ⁵Obayashi

断層変位 PRA 手法の改良と仮想プラントへの適用例 (2) 断層変位ハザード位置評価の改善例

Improvement of Fault Displacement PRA Methodology and Example of its Application to a Hypothetical NPP (2) Example of Evaluation for Improving Evaluation Position of Fault Displacement

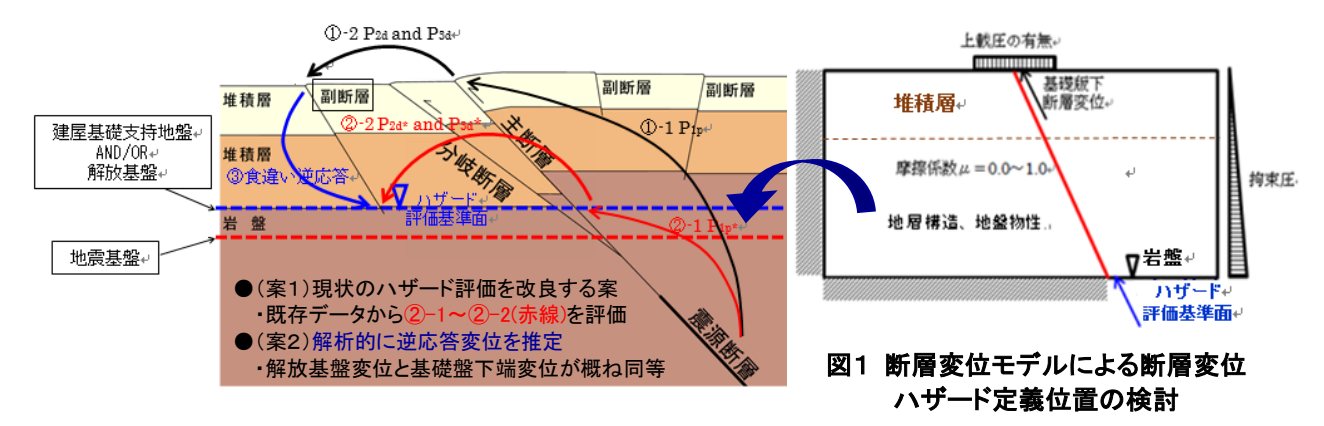
*堤 英明¹、酒井 俊朗¹、湯山 安由美¹、蛯澤 勝三¹、美原 義徳²、二階堂 雄司²、原口 龍将³
¹電力中央研究所,²鹿島建設,³三菱重工業

断層変位に関するハザード評価について断層変位の基本的な考え方や、地震動ハザードと断層変位ハザードの評価位置を統一的に扱う方法を提示する。

キーワード: 断層変位 PRA、断層変位ハザード、建屋・機器フラジリティ

- 1. **まえがき** 本報告は、断層変位PRA手法の開発において、地表面の断層変位を震源断層に基づく断層変位 モデルを介して解放基盤位置まで変換する考え方や手法を整理し、建屋・機器フラジリティ評価に対して解 放基盤から建屋基礎盤等の断層変位評価の考え方を提示した。本報告は2018年度資源エネルギー庁委託研究 成果の一部をまとめたものである。
- 2. 断層変位ハザード定義位置の基本的な考え方 ここで扱う断層変位は、断層の食違い変位であり、断層変位ハザードの評価手法は、Youngs 他(2003)、高尾他(2013),(2014) [1] の経験的断層変位ハザード手法が提案されている。高尾の手法では、Youngs らの確率論的断層変位ハザード解析手法を参照して、日本国内の逆断層および横ずれ断層のデータに基づき断層変位の評価式を策定し、同評価式を用いて確率論的断層変位ハザードの評価例を示している。
- 3. 断層変位ハザード定義位置の改善例 断層変位ハザード評価手法としては、基本的に高尾他の手法を用いることとするが、国内外の既往断層変位ハザードの定義位置は地表面である。地震動ハザードと断層変位ハザードとの重畳を効率的に評価するためには、サイト周辺の地形や地盤特性を考慮して地表面での断層変位を地震基盤又は解放基盤位置に変換し、建屋・機器フラジリティ及び炉心損傷頻度(CDF)を統一したハザード評価基準面から評価するのが合理的である。以下に改善例の概要を記す。

断層変位評価では、断層位置が明確な特定震源と不明確な領域震源にモデルを大別し、両モデルと 分類した断層との対応付けを行う。また、主断層・副断層に対するハザード評価基準面として、**図1**に 示すように地震基盤から表層までの岩盤や堆積層の構造や物性、地形を考慮して、断層変位と地震動ハザ ード評価の基準面を同一にして重畳を取り扱うこととする。評価基準面の位置や変位は、上載荷重や拘束 圧等の不確かさを考慮して、簡易な断層変位モデルを用いて解析的に変位量や不確かさの幅を検討する。



参考文献 [1] 高尾他;確率論的断層変位ハザード解析の信頼性向上,日本地震工学会論文集,2014

^{*}Hideaki Tsutsumi¹, Toshiaki Sakai¹, Ayumi Yuyama¹, Katsumi Ebisawa¹, Yoshinori Mihara², Yuji Nikaido², Ryusuke Haraguchi ³, ¹CRIEPI, ²Kajima, ³MHI

1P16 2018年秋の大会

断層変位 PRA 手法の改良と仮想プラントへの適用例 (3) 断層変位フラジリティ評価手法の妥当性検証例

Improvement of Fault Displacement PRA Methodology and Example of its Application to a Hypothetical NPP (3) Validation Case Study of Fault Displacement Fragility Evaluation Methodology

*二階堂 雄司¹、美原 義徳¹、堤 英明²、湯山 安由美²、酒井 俊朗²、蛯澤 勝三²、原口 龍将³
¹鹿島, ²電中研, ³三菱重工

断層変位に対する構造物のフラジリティ評価手法について、2018 年度春の大会において著者らが提案した 妥当性検証手法を、台湾/集集地震での被害事例に適用した。解析を通じて、中央値像モデルを策定し、断 層変位フラジリティ評価手法の実現性の見通しを得ることができた。

キーワード: 断層変位 PRA、断層変位フラジリティ評価、事故シーケンス

- 1. **まえがき** 原子力学会地震 PRA 実施基準改定(2015)では、断層変位 PRA 手法の考え方が規定される[1] と共に、各種機関において評価検討が進められている。著者等も断層変位 PRA に係る評価を行うことで、定量的評価結果の蓄積を図っている[2]~[11]。本報は、5 つのシリーズ発表のうちの(3) 断層変位フラジリティ評価手法の妥当性検証例であり、同シリーズ発表は 2017 年資源エネルギー庁委託研究成果の一部をまとめたものである。
- 2. 対象とする断層変位被害 評価手法の妥当性検証として、台湾/集集地震による石岡水力ダム被害を選定した。石岡ダムは、長さ約 290m、高さ約 27m の重力式ダムであり、集集地震においては、車龍埔断層終端部の分岐断層が右岸側約 20m 位置に約 8m の縦ずれを起こし、右岸部堤体基礎が損壊し決壊した(図 1)。
- 3. 断層変位フラジリティ評価手法の妥当性検証例 妥当性検証に関する基本方針・手順に従い、中央値像 モデルを策定した。ダム本体の崩壊の進展は、図 2 に示す有限要素解析の断層変位-軸力関係によって表す ことができる。約 60cm 時点の断層変位によって生じる圧縮力により圧縮破壊場が堤体断面を貫通し、150cm の変位に向け脆性破壊を起こしながら大きく耐力が低下、その後残留軸力を維持した状態で破壊が広がった。これらの傾向は、コンクリート構造物の一般的な圧縮破壊モードに類似し、また有限要素解析の最終 状態は、被害調査の状況を良く再現していることから、このモデルが応答の中央値像であると見做し得る。 この中央値像モデルを用いて、各パラメータについて応答幅の評価を別途行った。

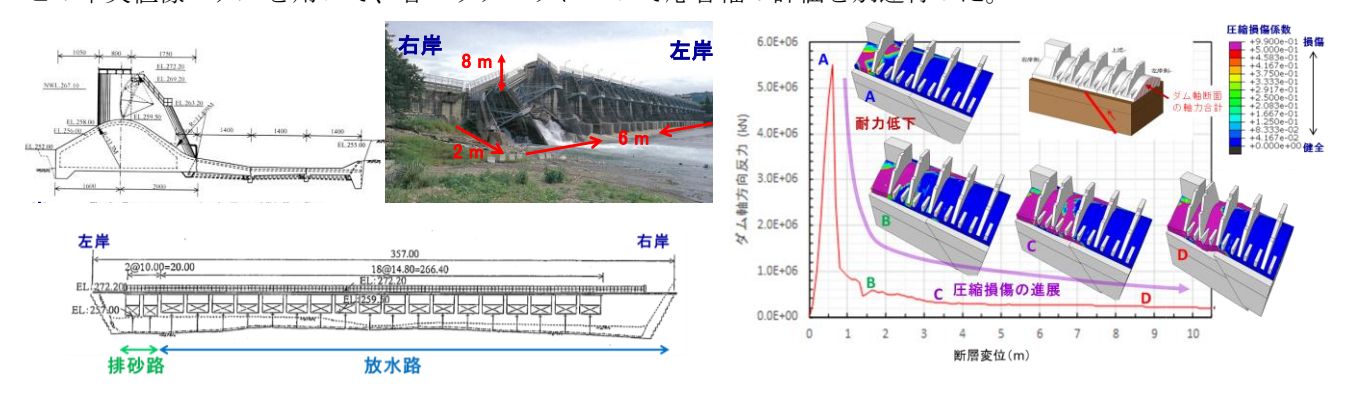


図1 台湾/集集地震による石岡水力ダム被害

図2 中央値像モデルによる損傷プロセス評価

参考文献 [1]原子力学会(AESJ-SC-P006:2015,2015.12), [2]~[6]蛯沢他(AESJ2017 秋の大会,2017.9), [7]~[11]蛯沢他 (AESJ2018 春の大会,2018.3);シリーズ発表内[9]二階堂他(AESJ2018 春の大会,2018.3)

^{*}Yuji Nikaido¹, Yoshinori Mihara¹,Hideaki Tsutsumi²,Ayumi Yuyama²,Toshiaki Sakai², Katsumi Ebisawa²,Ryusuke Haraguchi³
¹Kajima, ²CRIEPI, ³MHI

断層変位 PRA 手法の改良と仮想プラントへの適用例 ~ (4) 断層変位事故シナリオ同定・事故シーケンス評価手法の仮想プラントへの適用例

Improvement of Fault Displacement PRA Methodology and Example of its Application to a Hypothetical NPP (4) Example of Application of Fault Displacement Accident Scenario Identification and Accident Sequence Evaluation Methodology to a Hypothetical NPP

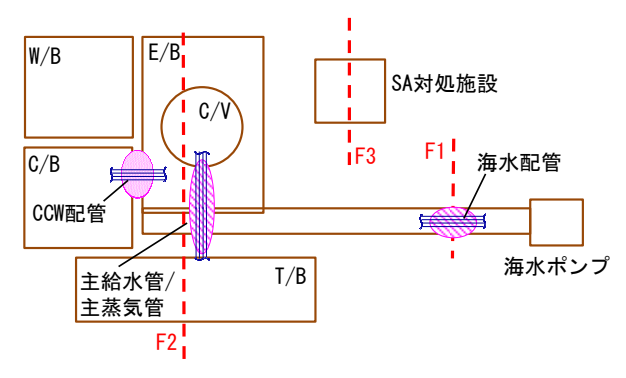
*田中 太 ¹, 宮田 学 ¹, 原口 龍将 ¹, 佐藤 邦彦 ², 吉田 伸一 ³ 堤 英明 ⁴, 酒井 俊朗 ⁴, 蛯澤 勝三 ⁴

¹三菱重工業, ²MHI ニュークリアシステムズ・ソリューションエンジニアリング ³大林組, ⁴電力中央研究所

断層変位 PRA 手法を、実機を想定した仮想プラントに適用し、点推定による炉心損傷頻度 (CDF) 評価及び 不確実さ解析を実施し、事故シーケンス定量化手法を構築した。

キーワード: 断層変位 PRA (Fault Displacement PRA), 外的事象リスク (External event risk)

- 1. 概要 2017 年度までに整備した評価手法[1][2]を用い、各種建屋(原子炉周辺建屋/制御建屋/廃棄物処理建屋/タービン建屋)、海水給水系及び重大事故対処施設等から構成される仮想的な PWR プラントに対し、縦ずれ副断層を想定した断層変位事象のシナリオの評価を実施した。炉心損傷頻度(CDF)の点推定及び不確実さ評価を行うとともに、CDF に寄与する断層変位の範囲等を同定し、定量化手法を構築した。
- **2. 評価モデル** 先行研究[2]により、断層変位によって生じうる起因事象の選定、事故シナリオの同定、ベースとなるイベントツリー及びフォルトツリーの作成を行っている。本研究ではその評価モデルを用いて定量化を実施した。
- 3. 定量化の評価条件 ハザード頻度および機器損傷確率の計算向けに HazardLite コード、事故シーケンス頻度の計算には RiskSpectrum PSA コードを使用した。解析ケースは、図1に示す各副断層及び F1~F3同時発災の4ケースとした。それぞれのケースについて、全 CDF、起因事象ごとの CDF、支配的な事故シーケンスの CDF を算出した。不確実さ解析については、点推定と同じ4ケースについて、全 CDF の不確実さを評価した。不確実さ要因としては、断層変位ハザード、フラジリティ、機器のランダム故障確率、人的過誤を考慮した。また、感度解析として地震動との重畳を考慮した解析を実施した。
- 4. 仮想プラントへの定量化手法の適用例 仮想プラントを対象とした試評価を実施した。地震動の重畳を考慮しない場合には、断層位置としては、原子炉周辺建屋を縦断する F2 断層が最も CDF の値が高く、ケーブルトレイや CCW 配管が損傷し海水系/CCW 喪失に至る事故シーケンスが支配的となった。また、図 2 に示すように地震動との重畳による影響が顕著となるハザード領域を感度解析で特定した。以上のように、断層変位 PRA について、事故シーケンスの定量化手法を構築した。



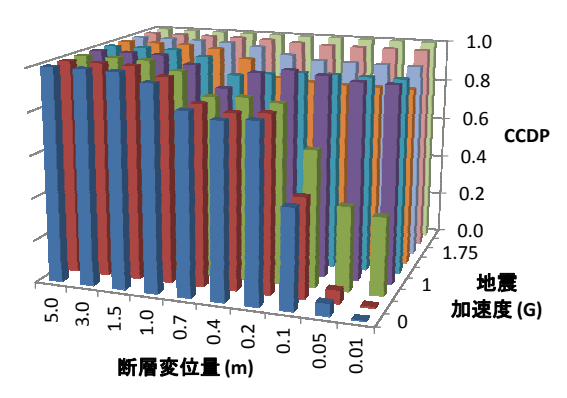


図1 仮想プラント構成及び断層位置

図2 地震動と断層変位の重畳の評価例

参考文献 [1] 田中他(AESJ2017 秋の大会, 2017.9) [2] 田中他(AESJ2018 春の大会, 2018.3)

^{*} Futoshi Tanaka¹, Manabu Miyata¹, Ryusuke Haraguchi¹, Kunihiko Sato², Shinichi Yoshida³, Hideaki Tsutsumi⁴, Toshio Sakai⁴, Katsumi Ebisawa⁴

¹MHI, ²NSE, ³Obayashi, ⁴CRIEPI

1P18 2018年秋の大会

断層変位 PRA 手法の改良と仮想プラントへの適用例 (5) 断層変位フラジリティ評価手法の仮想プラントへの適用例

Improvement of Fault Displacement PRA Methodology and Example of its Application to a Hypothetical NPP

(5) Example of Application of Fault Displacement Fragility Evaluation Methodology to a Hypothetical NPP

*原口 龍将¹, 呉 哲浩¹, 佐藤 邦彦², 吉田 伸一³, 堤 英明⁴, 酒井 俊朗⁴, 蛯沢 勝三⁴

 1 三菱重工業㈱, 2 MHI ニュークリアシステムズ・ソリューションエンジニアリング(株) 3 (株)大林組, 4 (駅)電力中央研究所,

断層変位フラジリティ評価に必要となる現実的応答・現実的耐力それぞれの中央値と不確実さを検討するとともに、昨年度までに整備した評価手法を用いて仮想プラントの SSC に対するフラジリティ定量化を行った。また、その結果に基づき事故シーケンス評価へのインプットとして整備する一連の手順を提案する。

キーワード: 断層変位, PRA, フラジリティ

1. まえがき 原子力学会地震 PRA 実施基準 (2015)では、断層変位 PRA 手法の考え方が規定される[1]と 共に、各種機関では関連評価が進められている。著者等も断層変位 PRA 手法開発を進め、定量的評価の蓄積を図っている[2]~[11]。本報は、5 つのシリーズ発表のうちの(5) 仮想プラントにおけるフラジリティ評価の適用例を示すものであり、同シリーズ発表は 2017 年度資源エネルギー庁委託研究成果の一部をまとめたものである。

2. 実施内容

- 2-1. 機器フラジリティに関する検討 事故シナリオ評価において抽出される評価対象機器について、原子力学会 2018 年春の年会において提案したスクリーニング・グルーピングの考え方により対象機器を設定する手順を整備した。また、同じく 2018 年春の年会において提案したフラジリティ評価手法及び実施手順を[11]を用いて、抽出された機器対象機器に関するフラジリティ定量化を実施し、事故シーケンス評価へのインプットとしてのフラジリティを作成する具体的な手順を整備した。
- 2-2. 建屋フラジリティに関する検討 建屋直下の断層が変位した場合に対する既往の解析結果[12]をインプットとして用いて,原子力学会 2018 年春の年会において提案した手法により仮想プラント建屋のフラジリティ定量化を実施し実プラント評価の手順として整理すると共に,断層変位建屋フラジリティの更なる精緻化に向けた課題を抽出した。
- **3. 結論** 本研究を通じて断層変位に関する事故シーケンス評価のインプットとして断層変位フラジリティを整備する一連の手順を体系化できた。今後は、機器フラジリティ評価における各係数の精緻化・合理化や地震動との重畳を考慮した手法整備に向けた検討等を引き続き実施する。

参考文献

[1] 原子力学会(AESJ-SC-P006:2015,2015.12), [2] \sim [6]蛯沢他(AESJ2017 秋の大会,2017.9), [7] \sim [11]蛯沢他(AESJ2018 春の年会,2018.3), [12] 原子力発電所敷地内断層の変位に対する評価手法に関する調査・検討報告書(平成 25 年 9 月)

*Ryusuke Haraguchi¹, Tetsuhiro Gou¹, Kunihiko Sato², Shinichi Yoshida³, Hideaki Tsutsumi⁴, Toshiaki Sakai⁴, Katsumi Ebisawa⁴

¹Mitsubishi Heavy Industries, LTD., ²MHI Nuclear Systems And Solution Engineering Co., Ltd., ³Obayashi Corp., ⁴Central Research Institute of Electric Power Industry

断層変位に対するリスク評価に係る調査・検討(その 2) ~国内外の取組み状況と当社の研究活動~

Investigation and Consideration about Risk Evaluation by Fault Displacements for Nuclear Facilities

(2) The Efforts both in Japan and Other Countries, and The Research Activities of JAPC

*神谷 昌伸 ¹, 上屋 浩一 ¹, 小川 勤 ¹ 「日本原電

断層変位に対するリスク評価に関しては、関連学協会、産業界等において技術検討、知見収集等の取組みが継続的に進められ、日本原子力学会(以下「AESJ」)標準委員会では、断層変位PRAに関する実施基準策定に向けた検討が進んでいる。

キーワード:原子力安全,断層変位,リスク評価,PRA

1. 学協会等の取組み

断層変位に対するリスク評価等に係る国内学協会等の取組みを図1に示す。

近年の各学協会における検討成果や 国内外の技術知見の蓄積を踏まえて、断 層変位 PRA に関する実施基準策定に向 けた検討が進んでいる。AESJ 主催の特 別国際シンポジウム「断層リスクに向き 合う原子力安全のアプローチ」(2018 年 5月31日)においては、断層変位に対し

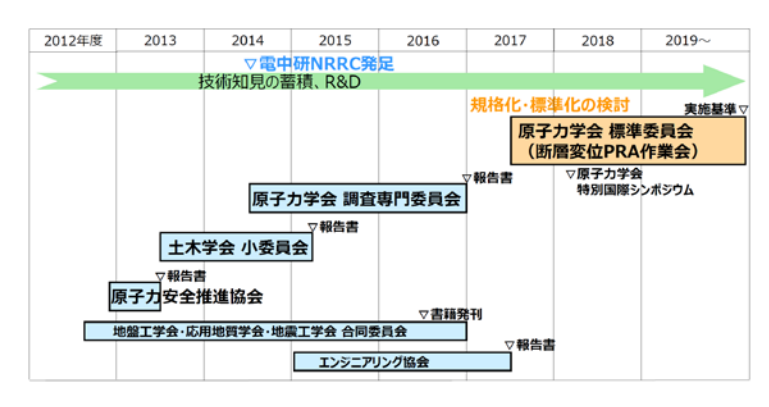


図1 断層変位のリスク評価等に係る学協会の取組み

ても、地震動や津波など他の自然外部ハザードと同様に、深層防護の概念の適用とリスク評価によって原 子力安全に関わる意思決定に繋げていくことの重要性があらためて確認されている。

2. 日本原電の取組み

これまでに、断層変位に対する原子力安全の考え方を整理^[1]するとともに、原子炉建屋の直下に縦ずれ変位及び横ずれ変位を仮定した場合の 3 次元 FEM 解析(図 2)による建屋に対する影響評価の検討^{[2][3]}、

さらには、建屋の変形や局部損傷の状況に基づく建屋内の機器・配管系に対する影響(制御棒挿入性、安全系ポンプや配管系の機能)の検討^{[4][5]}を進めてきた。これらの成果は上記学協会での検討でも適宜参照されている。

2018 年度からは、更なる高度化として原子炉建屋以外の建屋に対する影響評価や、建屋間渡り配管に着目し、配管サポートも含めた評価等に取り組み、技術基盤に厚みを持たせていくこととしている。

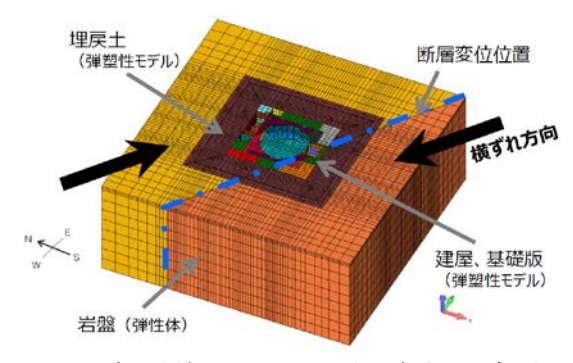


図2 建屋評価のための3次元解析モデル例

参考文献

[1] 神谷, AESJ2017 年春の年会, 3M01. [2] 神谷ほか, 日本機械学会第 21 回動力・エネルギー技術シンポジウム講演論 文集(2016), B222. [3] 神谷ほか, AESJ 2016 年秋の大会, 3G13. [4] 佐藤ほか, AESJ 2017 年春の年会, 3M02. [5] 新間ほか, AESJ 2017 年春の年会, 3M03.

^{*}Masanobu Kamiya¹, Kouichi Kamiya¹ and Tsutomu Ogawa¹

¹ The Japan Atomic Power Company